

Universitatea "Politehnica" din Timisoara
Facultatea de Mecanică

ing. Emil-Alexandru Brujan

TEZĂ DE DOCTORAT
DINAMICA BULEI CAVITATIONALE ÎN LICHIDE
NENEWTONIENE

1997

1997
Emil-Alexandru Brujan

Conducător științific:
Acad. Prof. Dr. Doc. Ing. **IOAN ANTON**

BIBLIOTECA CENTRALĂ
UNIVERSITATEA "POLITEHNICA"
TIMIȘOARA

1997

UNIVERSITATEA "POLIT"
TIMIȘOARA
Biblioteca centrală
Cota 618.47
Vol. 366 A

Cuprins

Introducere.....	1
O notă etimologică.....	2
1. Fenomenul cavitațional în lichide nenenewtoniene.....	3
1.1. <i>Cavitatia în soluții apoase de polimeri.....</i>	<i>3</i>
1.1.1. Influența aditivării cu polimeri asupra incipientei cavitaționale.....	3
1.1.2. Influența aditivării cu polimeri asupra distribuției nucleelor cavitaționale.....	5
1.1.3. Influența aditivării cu polimeri asupra spectrului presiunilor de soc cavitaționale.....	6
1.1.4. Influența aditivării cu polimeri asupra distrugerilor cavitaționale.....	7
1.2. <i>Cavitatia generată în chirurgia intraoculară cu laser.....</i>	<i>8</i>
1.3. <i>Cavitatia generată în litotritia indusă cu laser.....</i>	<i>11</i>
1.4. <i>Necesitatea studiului comportării dinamice a bulei cavitaționale în lichide nenenewtoniene.....</i>	<i>12</i>
2. Stadiul actual al cercetărilor asupra evoluției bulei cavitaționale în lichide nenenewtoniene.....	14
2.1. <i>Comportarea bulei cavitaționale sferice în lichide nenenewtoniene.....</i>	<i>14</i>
2.1.1. Influența concentrației soluției de polimeri și a tipului aditivului.....	14
2.1.2. Efectul difuziei gazului prin pereții bulei.....	18
2.1.3. Efectul transferului de căldură prin pereții bulei.....	19
2.1.4. Efectul câmpului electric aplicat lichidului (efectul Winslow).....	22
2.1.5. Influența elasticității lichidului.....	22
2.2. <i>Comportarea bulei cavitaționale nesferice în lichide nenenewtoniene.....</i>	<i>25</i>
2.3. <i>Concluzii și direcționarea activității în domeniul dinamicii bulei cavitaționale în lichide nenenewtoniene.....</i>	<i>28</i>
3. Proprietățile fizice ale lichidelor testate.....	31
3.1. <i>Viscozitatea aparentă a soluțiilor.....</i>	<i>31</i>
3.2. <i>Elasticitatea soluțiilor.....</i>	<i>34</i>
3.3. <i>Densitatea soluțiilor.....</i>	<i>36</i>
3.4. <i>Tensiunea superficială a soluțiilor.....</i>	<i>36</i>
3.5. <i>Viteza sunetului în soluții.....</i>	<i>37</i>
3.6. <i>Concluzii.....</i>	<i>37</i>
4. Dinamica bulei cavitaționale sferice în lichide nenenewtoniene cu comportare pseudoplastică.....	39
4.1. <i>Formularea modelului matematic.....</i>	<i>40</i>
4.1.1. Ipotezele simplificatorii adoptate în elaborarea modelului matematic.....	41
4.1.2. Ecuațiile care descriu comportarea dinamică a bulei cavitaționale.....	47
4.1.3. Forme particulare ale ecuațiilor de mișcare.....	50
4.1.4. Formularea adimensională.....	54
4.2. <i>Strategia soluției.....</i>	<i>56</i>
4.2.1. Metoda dezvoltărilor asimptotice.....	56
4.2.2. Soluția la ordinul zero (modelul incompresibil).....	59
4.2.3. Soluția la ordinul unu (modelul compresibil).....	64
4.3. <i>Distribuția presiunii în lichidul înconjurător bulei.....</i>	<i>73</i>
4.4. <i>Raza de echilibru a bulei.....</i>	<i>78</i>

4.5. Raza critică de oscilație a bulei.....	78
4.6. Rezultate și discuții.....	82
4.6.1. Variația în timp a razei bulei.....	82
4.6.2. Viteza maximă de colaps a bulei.....	86
4.6.3. Timpul de colaps al bulei.....	94
4.6.4. Amortizarea oscilației bulei.....	95
4.6.5. Variația în timp a presiunii în lichid la peretele bulei.....	100
4.6.6. Presiunea maximă în lichid la peretele bulei.....	101
4.6.7. Distribuția presiunii în lichidul înconjurător al bulei.....	113
4.6.8. Raza de echilibru a bulei.....	118
4.6.9. Raza critică de oscilație a bulei.....	118
4.7. Aspecte specifice ale comportării dinamice a bulei cavitaționale sferice în lichide newtoniene.....	121
5. Dinamica bulei cavitaționale generată cu laser în lichide newtoniene.	
Experiment	124
5.1. <i>Aranjamente experimentale</i>	124
5.1.1. Aranjamentul experimental pentru investigarea evoluției bulei cavitaționale folosind cinematografia secvențială rapidă.....	124
5.1.2. Principiul metodei și aranjamentul experimental pentru investigarea evoluției bulei cavitaționale folosind interferometria holografică cu dublă expunere.....	125
5.2. <i>Comportarea bulei cavitaționale situată într-un lichid newtonian extins la infinit</i>	132
5.2.1. Generarea bulei cavitaționale.....	132
5.2.2. Variația razei bulei în timp.....	135
5.2.3. Pierderea de energie a bulei în timpul colapsului.....	146
5.3. <i>Comportarea bulei cavitaționale situată în lichide newtoniene și în apropierea unui perete solid</i>	148
5.3.1. Aspectul bulei în secvența corespunzătoare fazei finale a colapsului.....	150
5.3.2. Timpul de colaps.....	157
5.3.3. Formarea jetului.....	161
5.3.4. Viteza jetului.....	167
5.3.5. Natura structurii prezente în apropierea peretelui superior al bulei.....	183
5.3.6. Distribuția presiunii în lichidul înconjurător al bulei.....	189
5.3.7. Migrația bulei înspre frontiera solidă.....	194
5.4. <i>Aspecte specifice ale evoluției bulei cavitaționale generată cu laser în lichide newtoniene</i>	197
6. Considerații asupra mecanismului de distrugere cavitațională	200
6.1. <i>Potentialul distructiv al jetului lichid care străbate interiorul bulei</i>	200
6.2. <i>Reducerea distrugerilor cavitaționale prin aditivarea apei cu polimeri</i>	201
6.3. <i>Efecte biologice generate de evoluția bulei cavitaționale indusă cu laser</i>	205
7. Concluzii finale	213
Mulumiri.....	218
Bibliografie	220
Anexe	
Anexa 1. Programul de calcul pentru soluționarea modelului incompresibil.....	233
Anexa 2. Programul de calcul pentru soluționarea modelului compresibil.....	240
Anexa 3. Grafică.....	247

Introducere

Initial, interesul pentru studiul dinamicii bulei cavitationale a fost datorat actiunii distructive asupra suprafetelor solide. Cele mai multe observatii sunt efectuate folosind apa ca lichid ambient bulei si, în acest caz, multe din aspectele fizice fundamentale ale evolutiei bulei au fost puse în evidenta. O serie de rezultate obtinute în ultimii ani au indicat inhibarea incipientei si evolutiei cavitatiei în lichide newtoniene, în special, în solutii apoase de polimeri. Reducerea distrugerilor cavitationale este, de asemenea, observata în prezenta aditivilor polimerici. Fara îndoiala ca proprietatile viscoelastice ale lichidului influenteaza comportarea dinamica a bulei cavitationale. Recent, a fost demonstrat ca evolutia bulei cavitationale are un rol important si în aplicatiile medicale iar caracterul newtonian al unor lichide biologice trebuie considerat. În chirurgia intraoculara cu laser, litotritia indusa cu laser sau angioplastia cu laser pulsurile laser sunt utilizate pentru a produce o spartura optica iar efectele fizice asociate - formarea plamei, emisia acustica si formarea bulei cavitationale - produc incizia tesutului sau fragmentarea calculilor. În acelasi timp, efecte colaterale nedorite asupra tesutului sunt generate de colapsul bulei.

Aceasta lucrare incearca sa puna în evidenta cateva din particularitatile evolutiei bulei cavitationale în lichide newtoniene. Lucrarea este organizata astfel. Primul capitol este o recenzie a literaturii care analizeaza evolutia cavitatiei, atat hidrodinamica cat si optica, în lichide newtoniene cu scopul de a preciza rolul dinamicii bulei cavitationale individuale. Capitolul doi sumarizeaza cele mai importante rezultate referitoare la comportarea dinamica a bulei cavitationale în lichide newtoniene. Sunt desprinse o serie de concluzii pe baza carora o directionare a activitatii în acest domeniu este stabilita. Proprietatile fizice ale lichidelor testate în investigatiile teoretice si experimentale sunt prezentate în capitolul trei. În capitolul patru este descrisa comportarea dinamica a bulei cavitationale sferice situata într-un lichid newtonian compresibil cu comportare pseudoplastică. Investigatiile experimentale asupra evolutiei bulei cavitationale generata cu laser în doua solutii apoase de polimeri sunt prezentate în capitolul cinci. Folosind cinematografia secventiala rapida si holografia interferometrica este investigata atat evolutia bulei situata într-un lichid extins la infinit cat si în apropierea unui perete solid. Unde a fost posibil rezultatele experimentale sunt comparate cu cele numerice. Consideratii asupra mecanismului de distrugere cavitionala sunt prezentate în capitolul sase. În final, capitolul sapte prezinta principalele concluzii ale investigatiilor teoretice si experimentale.

O notă etimologică

Sinonimul din limba greacă pentru cuvântul bulă, $\rho\omicron\mu\phi\omicron\lambda\nu\zeta$, este legat prin varianta intermediară $\rho\omicron\mu\phi\omicron\zeta$ de $\rho\epsilon\mu\phi\iota\zeta$ care are înțelesul "ceva care este creat prin creștere" [1]. Una din etimologiile interesante oferite pentru latinescul *bullā* este din rădăcina $\phi\alpha\lambda$ - (*phallus*), ce indică "orice obiect care se umflă" [2]. Un alt cuvânt grecesc folosit câteodată cu aceeași semnificație este $\beta\omicron\lambda\beta\omicron\zeta$ [1].

Este foarte posibil ca elementele onomatopeice să fi avut o influență asupra formei cuvântului deoarece sunetul de bază este regăsit și în alte limbi, cum ar fi sumeriană (bubul), accadiană (bubutu), hindi (bud-bud) și cebuano-visayan (bulā). Vechile forme în limba engleză sunt *boble*, *bobel*, *bubbul* sau *burble* [3] conducând în final la varianta din engleza modernă *bubble*. Cuvântul din germana curentă este *blase*, similar cu cel din olandeză *blaas*. În toate limbile romanice moderne cuvântul derivă din latinescul *bullā* cu toate că înțelesul original a fost pierdut. Un exemplu este limba spaniolă în care cuvântul *bullā* denotă actele oficiale emise de Papă, varianta modernă pentru bulă fiind *burbuja*.

$\rho\omicron\mu\phi\omicron\lambda\nu\zeta$ ο ανθρωπος - omul este o bulă - este un vechi proverb grec care exprimă caducitatea și nepermanenta vieții. Metafora este întâlnită la scriitorii latini și greci, cum ar fi Varro (36 î.Hr.) care, scuzându-se în prefata operei sale *De Re Rustica* că nu are claritatea dorită, trebuie să continue lucrul deoarece "*ut dicitur, si est homo bulla, eo magis senex*" ("dacă, după cum se spune, omul este o bulă, cu atât mai mult este un bătrân"). Petronius (sec. 1), într-un pasaj din *Satyricon*, scrie "*nos non pluris sumus quam bullis*" ("nu suntem mai mult decât niste bule", 42, 4). Ideea este regăsită și în climatul cultural nordic al secolelor 16 și 17. Cel mai succint este Erasmus: "*Homo bulla*" ("omul este o bulă", *Adagia*, 1508) iar Sir Francis Bacon în lucrarea "*The World*" (1629) are un punct de vedere și mai radical: "*The world's a bubble*" ("lumea este o bulă"). O descriere similară este dată și de japonezul Kamono Chomei: "Râul curge neostenit iar apa lui niciodată aceeași. Bulele care plutesc, acum dispărând, acum apărând, nu sunt de lungă durată: tot astfel și viața omului." De nouă ori cuvântul *bubble* apare în teatrul lui Shakespeare (nu a fost folosit în poezie) și de trei ori pentru a desemna superficialitatea și acțiunile lipsite de substanță. În "*Totul e bine când se termină cu bine*" al doilea lord, Dumaine, îl califică pe Paroles prin: "*On my life, mylord, a bubble*" (III,VI, 6) și explică: "*He's a most notable coward, an infinite and endless liar*" ("Este cel mai notabil las, un infinit și fără de sfârșit mincinos"). Se pare că poezii de limbă engleză nu au găsit alt cuvânt de a rima cu *bubble* decât *trouble* (aici cu sensul de osteneală). Shakespeare este cel mai cunoscut: "*Double, double toil and trouble, fire burn and cauldron bubble*" (*Macbeth*, IV,10) sau Dryden: "*War, he sung, is toil and trouble; honor but an empty bubble*" (*The Power of Music*, 97). Opera lui Dante, *Divina Commedia*, abundă de bule literare, iar pictorii olandezi, Rembrandt, Ketel, Molenaer, sau francezul Chardin au lăsat o serie de imagini cu copii care sparg bule. La începutul secolului 18 cuvântul pătrunde și în viața financiară. *The South Seas Bubble* a fost o lege folosită în 1711 în Anglia pentru a elimina datoria națională iar Franța, în 1717, introduce o lege similară sub titlul *Mississippi Bubble*.

1. Fenomenul cavitațional în lichide newtoniene

O comportare newtoniană prezintă sistemele bifazice la care faza dispersă constituie o parte importantă din volum - suspensiile de polimeri, vopselele, pastele de adezivi, sângele - dar și sistemele omogene macroscopic cum ar fi soluțiile și topiturile de polimeri, lichidul ocular și uleiurile minerale cu viscozitate mare [4]. Scopul acestui capitol este de a preciza necesitatea studiului comportării dinamice a bulei cavitaționale în lichide newtoniene. Sunt analizate aspectele legate de curgerile cavitaționale ale lichidelor aditivate cu polimeri, dar și cele referitoare la fenomenul cavitațional în lichidul ocular și sânge.

1.1. Cavitația în soluții apoase de polimeri

Odată cu investigațiile de pionierat ale lui Toms [5], care pun în evidență reducerea considerabilă a pierderilor hidraulice datorată aditivării lichidelor cu mici cantități de polimeri, un interes deosebit a fost arătat evoluției fenomenului cavitațional în soluții diluate de polimeri, în special asupra reducerii distrugerilor cavitaționale și a zgomotului [6, 7, 8, 9]. În 1968, Ellis și Hoyt [10] sunt primii care au arătat că viteza lichidului, la care fenomenul cavitațional se poate observa, este substanțial mai mare în cazul în care o specie de alge (*porphyridiam aerugeneum*) este prezentă în apă, iar în 1970, Ellis, Waugh și Ting [11] conduc primele experimente asupra cavitației în soluții diluate de polimeri.

1.1.1. Influența aditivării cu polimeri asupra incipientei cavitaționale

Influența concentrației soluției și a tipului aditivului asupra incipientei cavitaționale este studiată experimental de Ellis, Waugh și Ting [11] și Van der Meulen [12] în cazul curgerii în jurul cavitatoarelor axial-simetrice, de Brennen [13] și Ting [14] folosind aparatul cu disc rotitor imersat în lichid și de Hoyt [15], Baker, Holl și Arndt [16] și Oba, Ito și Uranishi [17] în cazul curgerii prin orificii.

Van der Meulen [12] investighează influența a două soluții de polimeri, Polyox WSR - 301 și gumă guar, în concentrație 20-500 ppm (părți pe milion), asupra incipientei cavitaționale pentru corpuri axial-simetrice cu cap emisferic, executate din oțel inoxidabil și teflon. Figura 1.1 prezintă variația coeficientului de cavitație, $\sigma = 2(p_v - p_c)/(\rho v_c^2)$, în funcție de numărul Reynolds, $Re = v_c d/\nu$. În aceste relații, p_c și v_c reprezintă presiunea și viteza lichidului la infinit, p_v este presiunea de vaporizare, ρ densitatea, ν caracteristica cinematică a viscozității și d diametrul corpului. Incipienta cavitațională este inhibată prin aditivarea cu polimerii testați iar acest efect este cu atât mai puternic cu cât concentrația soluției este mai mare. Rezultate similare privind inhibarea incipientei cavitaționale la curgerea în jurul cavitatoarelor axial-simetrice cu cap emisferic sunt obținute și în cazul soluțiilor de oxid de polietilenă [11] în intervalul de valori al numărului Reynolds cuprins între 7×10^4 și $3,1 \times 10^5$.

Incipienta și aspectul cavitatiei în soluții de polimeri cu greutate moleculară mare sunt examinate de Ting [14], utilizând o instalație cu disc rotitor imersat în lichid. Cavitatia este generată în spatele a doi cilindri de diametru d dispuși, diametral opus, pe suprafața discului rotitor la distanța radială r față de centrul de rotație. Două soluții de polimeri au fost testate, și anume Polyox FRA (oxid de polietilenă) și Separan (poliacrilamidă) în gama de concentrație 100-500 ppm. Coeficientul de cavitatie este definit în acest caz prin $\sigma = 2(p - p_v)/(\rho u^2)$, p fiind presiunea statică în spatele cilindrului și u produsul dintre viteza unghiulară de rotație a discului ω și distanța r la care este amplasat cilindrul, iar numărul Reynolds prin $Re = r\omega d/\nu$. Presiunea de vaporizare a lichidului este aproximată cu cea a apei iar viscozitatea este măsurată cu ajutorul unui viscosimetru cu tub capilar. Variația coeficientului de cavitatie cu numărul Reynolds pentru soluția Polyox FRA este redată în Figura 1.2.

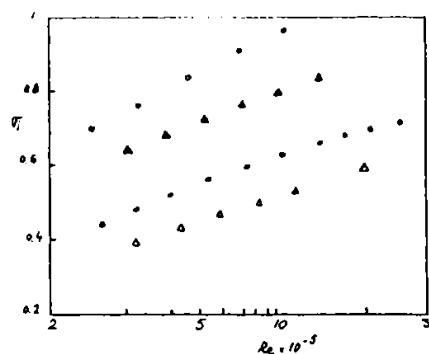


Figura 1.1 Influența aditivării cu Polyox WSR-301 și gumă guar asupra coef. de cavitatie σ pentru cavitația executată din oțel inoxidabil. Figura adaptată după Van der Meulen [12]. ○ apă; ● 200 ppm WSR-301; ▲ 500 ppm WSR-301; ▲ 200 ppm gumă guar.

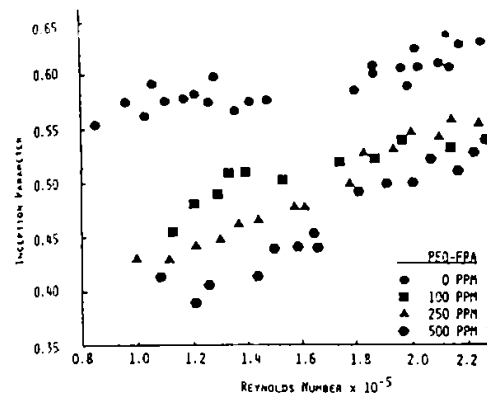


Figura 1.2. Influența aditivării cu Polyox FRA asupra coef. de cavitatie σ . Cavitatia este generată pe suprafața unui disc rotitor imersat în lichid. Figură adaptată după Ting [14].

Rezultatele obținute în cazul soluției de Polyox FRA indică o reducere semnificativă a valorilor coeficientului de cavitatie. Pentru $Re \sim 10^5$ și o concentrație de 500 ppm a soluției, valoarea coeficientului σ reprezintă 65% din cea obținută în cazul apei. Acest efect devine însă mai puțin pronunțat odată cu creșterea numărului Reynolds, lucru explicat de Ting [14] prin degradarea mecanică a soluției, indusă de ruperea macromoleculilor polimerului. În ceea ce privește aspectul cavitatiei, efectul aditivării cu polimeri se manifestă prin reducerea lungimii saizului cavitațional din spatele cilindrului și a numărului bulelor cavitaționale de dimensiuni mici, rezultate în concordanță cu cele obținute de Brennen [13]. Rezultate similare sunt obținute și pentru soluțiile de Separan.

Cele mai complete rezultate privind cavitatia în soluții apoase de polimeri sunt prezentate de Oba s.a. [17] în cazul curgerii lichidului printr-un orificiu. Aditivul testat este oxidul de polietilenă PEO-15 în concentrație 0, 10 și 50 ppm. Coeficientul de cavitatie este definit prin $\sigma = 2(p - p_v)/(\rho v^2)$, unde p este presiunea statică măsurată la distanța $1,27D$ în avalul orificiului, D fiind diametrul conductei în care este amplasat orificiul, v viteza medie în orificiu, iar p_v presiunea de vaporizare a apei. Figura 1.3 prezintă variația coeficientului de incipientă în funcție de concentrația soluției. Rezultatele sunt comparate cu cele obținute de Hoyt [15] și Baker s.a. [16]. Efectul de inhibare al incipientei cavitaționale este clar observat

si în cazul aditivării cu oxid de polietilenă PEO-15. În plus, se constată un rol important al continutului relativ de gaz al lichidului α/α_s (α fiind continutul total de gaz iar α_s continutul de gaz la saturatie) si al mărimii orificiului asupra atenuării valorilor coeficientului de incipientă cavitională, atenuare cu atât mai mare cu cât diametrul orificiului este mai mic.

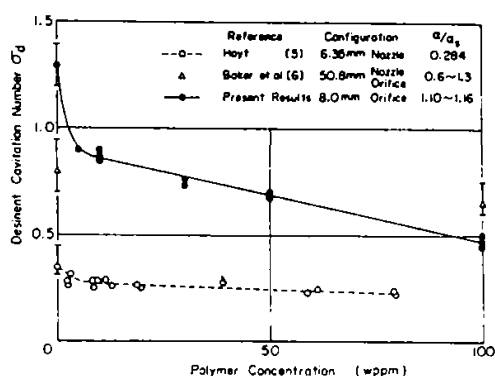


Figura 1.3. Inhibarea incipientei cavitationale datorată aditivării cu oxid de polietilenă PEO 15. Cavitația este generată în avalul unui orificiu. Figură adaptată după Oba s.a. [17].

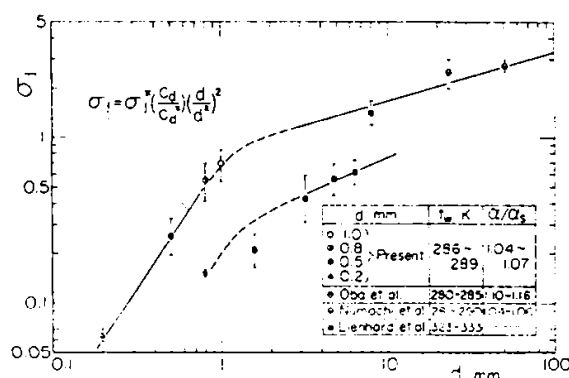


Figura 1.4. Coeficientul de incipientă cavitională σ_1 în funcție de diametrul orificiului d . Barele verticale atasate fiecărui punct reprezintă intervalul de incertitudine pentru σ_1 . Cavitația este generată în avalul unui orificiu iar lichidul de lucru este apă. t_w este temperatura lichidului iar α/α_s continutul relativ de gaz nedizolvat din lichid. Figură preluată după Oba s.a. [24].

În stadiul cavitional incipient, la creșterea concentrației soluției, dimensiunea, numărul și iregularitatea suprafeței bulelor masive crește. Odată cu intensificarea stadiului cavitional, zona de apariție a bulelor se apropie treptat de orificiu iar bulele cresc atât în dimensiune cât și în număr.

1.1.2. Influența aditivării cu polimeri asupra distribuției nucleelor cavitationale

Cavitația este în general considerată un fenomen stohastic [18, 19, 20] generat de diferitele mărimi de nuclee cavitationale, constituite din mici bule de gaz nedizolvate din lichid, distribuite aleator atât în spațiu cât și în timp. Rolul nucleelor de gaz nedizolvate din lichid în evoluția cavitației a fost sugerat inițial de descoperirea efectului Johnsson [21] prin care incipienta cavitională prezintă o largă varietate de aspecte la curgerea în jurul corpului ITTC, în diferite condiții experimentale, la aproximativ aceleași valori ale numărului Reynolds și coeficientului de cavitație. Ulterior, efectul Johnsson a fost pus în evidență și în cazul curgerii prin ajutorul Venturi [22] și orificii [23]. Un rezultat important este obținut de Oba s.a. [24] la curgerea unui lichid newtonian (apă) printr-un orificiu al cărui diametru este de același ordin de mărime cu dimensiunea nucleelor și redat în Figura 1.4. Rezultatele sunt comparate cu cele obținute anterior de Numachi s.a și Lienhard s.a [24]. În acest experiment numărul Reynolds construit cu parametrii aval de orificiu este cuprins între 420 și 7300 astfel încât intensitatea turbulentei este neglijabilă iar efectul vârtejului generat la trecerea lichidului este estimat la aproximativ 20% [25]. În aceste condiții, scăderea rapidă a valorii coeficientului de incipientă cavitională, la micșorarea diametrului orificiului, pune în evidență rolul important al nucleelor asupra incipientei cavitationale.

Patru metode sunt folosite pentru detectarea nucleelor cavitationale din lichid, si anume metoda optică [26], metoda contorului Coulter [27], metoda holografică [28] si metoda acustică [29]. O privire de ansamblu asupra primelor trei metode este dată si de Anton [6].

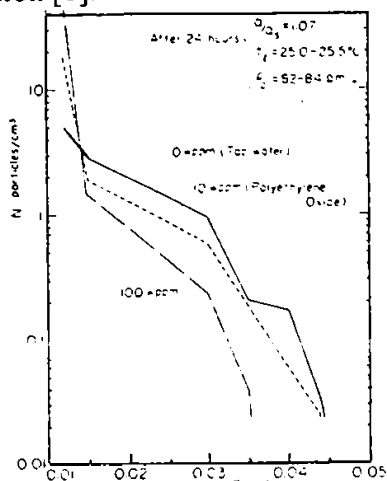


Figura 1.5. Distribuția nucleelor cavitationale în soluții apoase de oxid de polietilenă PEO 15. Temperatura lichidului este 25°C iar conținutul relativ de gaz $\alpha/\alpha_0=1.07$. Măsurătorile au fost efectuate după 24 de ore de la prepararea soluțiilor. Figură adaptată după Oba s.a. [30].

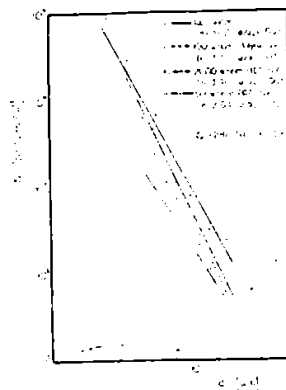


Figura 1.6. Influența tipului aditivului asupra distribuției nucleelor cavitationale. Temperatura lichidului este de 17°C iar conținutul de aer relativ este $\alpha/\alpha_0 = 1.05$ (apă): 1.03 (Polyox); 1.06 (HEC); 1.09 (PAM). Figură adaptată după Shima s.a. [31].

Oba s.a. [30], folosind contorul Coulter, investighează influența aditivării cu polimeri asupra distribuției nucleelor de gaz nedizolvate din lichid, indicând că intervalul de mărime al acestora este cuprins între 3 și 50 μm . Figura 1.5 prezintă distribuția nucleelor în soluții apoase de oxid de polietilenă (PEO-15, greutate moleculară 3×10^6). La creșterea concentrației soluției de polimeri se constată o reducere a numărului nucleelor cu diametru mai mare de 13 μm , în timp ce numărul nucleelor cu diametru sub 13 μm reprezintă mai mult de 80% din numărul total al acestora.

Influența tipului aditivului asupra distribuției nucleelor este examinată de Shima s.a. [31], folosind trei soluții apoase de polimeri: 100 ppm Polyox WSR-301, 2000 ppm HEC-250 HHR (hidroxietilceluloză) și 50 ppm PAM-A20P (poliacrilamidă). Figura 1.6 prezintă distribuția nucleelor în cele trei soluții testate în comparație cu cazul apei. Reducerea numărului de nuclee este observată pe întreg domeniul de măsură, cuprins între 3 și 20 μm . De remarcat că, deși soluția de poliacrilamidă are concentrația cea mai scăzută, diminuarea numărului nucleelor este cea mai pronunțată.

1.1.3. Influența aditivării cu polimeri asupra spectrului presiunilor de soc cavitationale

Spectrul presiunilor de soc cavitationale în cazul soluțiilor diluate de polimeri este investigat experimental de Oba s.a. [17] la curgerea lichidului printr-un orficiu. Pentru detectarea presiunilor sonore ce apar în procesul de cavitație o sondă piezoelectrică PZT [32] este fixată de peretele conductei în avalul orficiului unde se apreciază că procesul de eroziune este maxim. Semnalele preluate de la traductorul piezoelectric sunt analizate de un

nivelmetru, cu o lățime constantă a benzii de frecvență de 228 Hz, în gama de frecvențe 1 kHz - 1MHz.

Presiunile de soc cavitationale au cele mai mari valori în intervalul audio, la orice concentrație, în special în gama de frecvențe cuprinsă între 0,1 și 10 kHz. Valoarea frecvenței la care \bar{p}_{sm} este maximă descrește la creșterea concentrației soluției și la micșorarea valorii coeficientului de cavitație σ . Pentru orice concentrație, \bar{p}_{sm} prezintă valori ridicate pe frecvențele de 400 Hz, 800 Hz, 2 kHz, 5 kHz și 12 kHz. Interesant de observat este influența concentrației soluției la o valoare constantă a coeficientului de cavitație. Figura 1.7 prezintă acest aspect atunci când valoarea coeficientului de cavitație este $\sigma = 0,38$. Prin adăugarea unei cantități mici de polimeri în apă (10 ppm), rezultă o considerabilă reducere a presiunilor \bar{p}_{sm} la 2 - 3 kHz, în timp ce pe frecvența de 800 Hz se constată o creștere a valorii acestei presiuni. Pentru valori f mai mari de 3 kHz amplitudinea presiunilor de soc cavitationale este mai mare în cazul soluției 10 ppm PEO-15 în comparație cu cazul apei. Reducerea presiunilor \bar{p}_{sm} este explicată calitativ de autori prin diminuarea numărului bulelor cavitationale foarte mici.

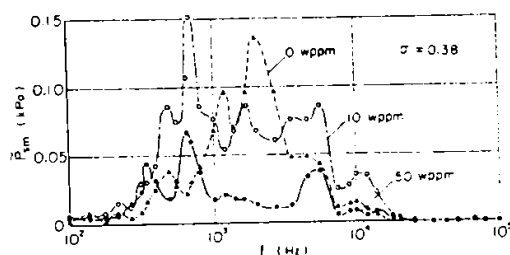


Figura 1.7. Spectrul presiunilor de soc cavitationale pentru diferite concentrații ale soluției de polimeri când $\sigma = 0,38$. Cavitația este generată în avalul unui orificiu. Temperatura lichidului este 12°C iar conținutul relativ de aer $\alpha/\alpha_0 = 1,13$. Incertitudinea asupra măsurării lui \bar{p}_{sm} și f este 10%, respectiv 1%. Figură preluată după Oba s.a. [17].

1.1.4. Influența aditivării cu polimeri asupra distrugerilor cavitationale

Distrugerea materialelor solide prin cavitație este una din problemele importante în funcționarea mașinilor și echipamentelor hidraulice. Cu toate că în cazul lichidelor newtoniene, și în special apă, există un vast material informativ [6, 7, 8], investigațiile asupra acestui efect în soluții apoase de polimeri sunt relativ reduse.

Shapoval și Shal'nev [33] au examinat distrugerea cavitațională generată în spatele unui cilindru circular, arătând că pierderea masică scade prin aditivarea apei cu 300 ppm poliacrilamidă. O tendință contrară este remarcată de Ashworth și Procter [34] care, folosind un aparat vibrator magnetostriktiv, arată că viteza de eroziune cavitațională este mai mare în cazul soluției 100 ppm poliacrilamidă în comparație cu cel al apei. În ambele experimente însă, degradarea mecanică a soluțiilor de polimeri pare să fie destul de mare, ceea ce implică o schimbare semnificativă a proprietăților reologice ale soluțiilor testate. Această deficiență este înlăturată de Shima s.a. [35, 36, 37] și Tsujino [38] care recirculă soluția de polimeri din bazinul aparatului vibrator magnetostriktiv.

Influența concentrației soluției de polimeri asupra distrugerilor cavitationale este examinată de Shima s.a. [35, 36], folosind soluții de Polyox WSR - 301 în concentrație 100, 500 și 1000 ppm. Figura 1.8 prezintă rezultatele obținute în cazul unui debit de recirculare $Q = 0,5 \times 10^{-3} \text{ m}^3/\text{min}$. În primele 10 minute ale testului pierderea masică, W_1 , este mai mare în

cazul solutiilor de polimeri decât în cazul apei. Tendinta curbei W_L-t în cazul solutiei 100 ppm Polyox este similară cu cea a apei dar pierderea masică este mai mare. Diferente apar în cazul concentratiilor ridicate unde, după 60 de minute, pierderea masică este diminuată la mai mult de jumătate în comparatie cu cazul apei.

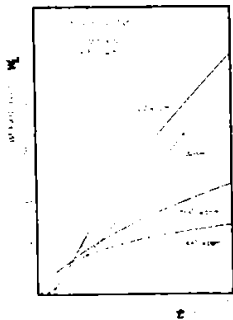


Figura 1.8. Influenta concentratiei soluției de polimeri asupra pierderii masice de material prin cavitație. Cavitația este generată cu un aparat vibrator magnetostriktiv. Figură preluată după Shima s.a.[35].

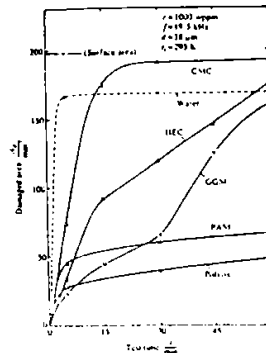


Figura 1.9. Variația în timp a suprafeței distruse din proba de material supus cavitației în soluții apoase de polimeri. Cavitația este generată cu un aparat vibrator magnetostriktiv. Figură preluată după Tsujino s.a. [37]

Influenta tipului aditivului asupra distrugerilor cavitationale este investigată de Tsujino s.a. [37]. în cazul solutiilor de poliacrilamidă (PAM A-20P), oxid de polietilenă (Polyox WSR-301), carboximetilceluloză (HEC 250HHR) și gumă guar (GGM Super Col GF) în concentrație 1000 ppm. Figura 1.9 prezintă variația în timp a suprafeței distruse de material prin cavitație. În cazul apei, suprafața probei este distrusă uniform cu excepția marginii care nu este distrusă chiar și după 60 de minute de expunere cavitațională. După un interval de 5 minute, în care suprafața distrusă crește considerabil, se atinge o valoare constantă în care pierderea masică de material este preponderentă. O tendință similară prezintă soluția de carboximetilceluloză cu deosebirea că atât suprafața distrusă cât și pierderea masică de material au valori mai ridicate decât în cazul apei. În cazul soluției de hidroxietilceluloză și gumă guar, suprafața distrusă în primele 10 minute de expunere cavitațională este mai mică decât în cazul apei, dar după 60 de minute valorile obținute sunt similare cu cele din cazul apei. Cea mai mare reducere a distrugerilor cavitationale este observată în cazul solutiilor de poliacrilamidă și oxid de polietilenă.

1.2. Cavitația generată în chirurgia intraoculară cu laser

Fotodisrupția cu laser reprezintă în ultimii 25 de ani una din aplicațiile cele mai interesante ale laserilor în chirurgia intraoculară. Procesul care stă la baza fotodisrupției este absorbția neliniară a luminii care conduce la formarea plasmei cu o temperatură maximă, în punctul de focalizare al laserului, mai mare de 15.000 K [39]. Creșterea rapidă a temperaturii are ca urmare o creștere a presiunii în interiorul plasmei (20-60 kbar), și expansiunea explozivă a plasmei. Deoarece expansiunea inițială a plasmei este supersonică o undă de soc este emisă atunci când viteza de expansiune coboară la viteze subsonice. Consecutiv, o bulă cavitațională este produsă de plasma aflată încă în expansiune [40]. Acest

proces de absorbtie neliniară a luminii numit *spartură optică* face posibilă depozitarea unei cantități de energie nu numai în tesutul pigmentat dar și în mediul transparent al ochiului.

Utilizarea laserului în chirurgia segmentului anterior al ochiului uman este descrisă pentru prima dată, în 1974, de către Krasnov [41], care tratează cu succes glaucomul cronic simplu, combinând radiația de joasă putere a unui laser argon-ion cu cea de înaltă putere a unui laser cu rubin cu pulsuri sacadate [42]. Laserul cu rubin are o durată relativ mare a pulsului, aproximativ 30-50 ns, ceea ce implică un control scăzut asupra plasmăi și introducerea unui factor de risc în evoluția intervenției chirurgicale. Astfel, începând cu anii '80, Frankhauser s.a. [43] și Aron-Rosa s.a. [44] introduc folosirea laserului Neodymium:YAG (Nd:YAG) în aplicațiile chirurgiei intraoculare. Avantajele acestui laser sunt energia scăzută a radiației, de ordinul 0,2 - 200 mJ, și în special durata foarte mică a pulsului, chiar de ordinul femtosecundelor, ceea ce face ca laserul Nd:YAG să fie în prezent cel mai utilizat din punct de vedere clinic [45].

Cea mai importantă aplicație a chirurgiei intraoculare cu laserul Nd:YAG este capsulotomia posterioară sau tăierea membranelor opacificate după chirurgia cataractei. Avantajul față de chirurgia clasică cu bisturiu ac este păstrarea intactă a capsulei posterioare în timpul extragerii cataractei, pentru implementarea lentilei intraoculare artificiale. O altă aplicație importantă a fotodisrupției este iridotomia sau producerea unei găuri prin iris. Acest tratament este necesar atunci când marginea pupilară a irisului este aderentă lentilelor împiedicând circulația lichidului ocular ceea ce provoacă o creștere nedorită a presiunii intraoculare. În ambele aplicații iradierea cu laser se poate face direct asupra corneei sau prin una sau mai multe lentile de contact. Pe lângă acestea, multe alte aplicații ale laserului Nd:YAG sunt descrise în literatura medicală [43].

În ultimii ani metoda extracapsulară de extragere a cataractei a fost mult mai frecvent folosită în comparație cu metoda intracapsulară. Creșterea popularității chirurgiei extracapsulare a cataractei se bazează pe faptul că păstrarea intactă a capsulei posterioare are ca rezultat mai puține complicații postoperatorii. Acestea includ riscul scăzut de apariție al edemului macular cistoid, dezlipirea de retină și o mai mare vascularizare a irisului la pacienții diabetici. Un studiu pe termen lung, cu scopul de a evalua incidența complicațiilor postoperatorii specifice extragerii extracapsulare a cataractei a fost realizat de Coonan s.a. [46]. A fost urmărită evoluția postoperatorie a 842 ochi de la 650 pacienți supuși chirurgiei cataractei între octombrie 1973 și octombrie 1983. Intervalul mediu de observație postoperatorie a fost de 32,2 luni. În 530 ochi (62,9% din totalul investigat) cataracta a fost singura anomalie oculară. Factori cunoscuți, încă din faza preoperatorie, de creștere a riscului dezlipirii de retină au fost identificați în 154 ochi (18,3%). Acești factori includ hipermiopia (mai mare de 8 dioptrii) observată la 86 ochi și o dezlipire anterioară de retină în celălalt ochi (68 ochi). Incidența dezlipirii de retină după chirurgia extracapsulară a cataractei a fost de 1,4% din totalul investigat (12 ochi) iar în acei ochi la care singura anomalie a fost cataracta de 1,3% (7 ochi). De remarcat că în 9 ochi tratați în prealabil cu criocoagulanți sau fotocoagulanți dezlipirea postoperatorie a retinei nu a fost observată. Rezultate similare sunt prezentate de Binkhorst [47] (1%, fără a preciza timpul mediu de urmărire postoperatorie și numărul de pacienți), Hurite s.a. [48] (1,6% din 1624 cazuri) și Jaffe s.a. [49] (0,66% din 151 pacienți). Incidența opacificării postoperatorie a capsulei posterioare necesitând capsulotomie a fost de 16,7% (141 ochi). Intervalul mediu de timp de la extragerea cataractei până la realizarea capsulotomiei a fost de 24,3 luni. Opacificarea capsulei posterioare este observată și de Wilhelmus și Emery [50] în 25% din cazuri după doi ani și chiar 50% din cazuri după cinci ani de la chirurgia cataractei. Rezultă că, deși, complicațiile postoperatorii după chirurgia extracapsulară a cataractei sunt reduse, după un timp suficient de lung, capsula posterioară devine opacă necesitând o capsulotomie pentru refacerea clarității optice. Capsulotomia folosind laserul Nd:YAG, cu toate că este superioară celei cu bisturiu ac, nu este complet lipsită de risc. Complicațiile segmentului ocular anterior după capsulotomia cu laserul Nd:YAG includ pierderea celulelor endoteliului, edemul corneei, creșterea presiunii intraoculare și distrugerea lentilei intraoculare [51]. Dezlipirea de retină este un risc postoperatoriu minor al capsulotomiei cu laserul Nd:YAG. Leff s.a. [52] urmăresc evoluția postoperatorie a peste 2000 de ochi de la pacienți între 38 și 85 ani (medie 65 ani). Dezlipirea de retină a fost raportată doar în 25 de cazuri ceea ce implică un risc de apariție al acestei complicații de aproximativ 1%. Alte observații care susțin acest

procent scăzut sunt date de Winslow și Taylor [53] și Ober s.a. [54]. Numai într-un caz capsulotomia a fost lipsită de succes chiar și după mai multe proceduri. Câteva mecanisme au fost propuse în literatura medicală pentru explicarea complicațiilor postoperatorii ale capsulotomiei cu laserul Nd:YAG. Cel mai important pare a fi o schimbare biochimică în corpul vitros indusă de temperatura înaltă a plasmăi din punctul de focalizare al laserului și manifestată prin pierderea acidului hialuronic [52]. De remarcat că deși unda de soc emisă în timpul spărturii optice cât și efectele colaterale induse de evoluția bulei cavitationale generată în punctul de focalizare al laserului au fost propuse pentru explicarea, în parte, a complicațiilor postoperatorii ale capsulotomiei Nd:YAG ele au fost respinse de comunitatea medicală până în 1990.

Vogel s.a. [55] sunt printre primii care investighează efectul iradierii cu laser asupra țesutului ocular, în special asupra endoteliului corneei (un strat cu celule poligonale cu o grosime de $3,5 \mu\text{m}$) și a membranei Descemet (stratul de sub endoteliu cu o grosime de $15 \mu\text{m}$, acelular). Trei geometrii de iradiere au fost studiate. Figura 1.10 (a) prezintă cazul iradierii directe asupra endoteliului, în timp ce (b) și (c) prezintă cazul focalizării la distanța s de cornee.

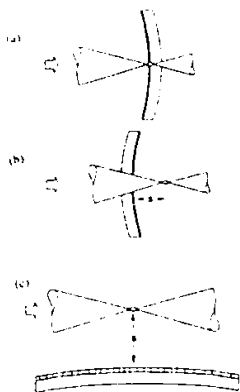


Figura 1.10. Geometriile de iradiere asupra corneei. Raza laserului este focalizată direct asupra endoteliului (a) sau la o distanță s față de endoteliu (b) și (c).



Figura 1.11. Leziunea produsă prin focalizarea unei raze laser cu energia 5 mJ perpendicular pe suprafața corneei. (a) arată întreaga leziune iar (b) partea centrală a craterului. Barele reprezintă $100 \mu\text{m}$ în (a) și $10 \mu\text{m}$ în (b). Figură preluată după Vogel s.a. [55].

Când raza laser este focalizată direct asupra endoteliului, sau în țesutul corneei, plasma este mecanismul principal implicat în generarea leziunilor în timp ce impulsurile acustice și evoluția bulei cavitationale sunt mecanismele secundare ce amplifică efectul deja produs de plasmă. Figura 1.11 prezintă morfologia suprafeței leziunii produse de un puls laser, focalizat direct asupra corneei, cu energia 5 mJ în modul operational fundamental. Diametrul leziunii este $0,5 \text{ mm}$. În centrul leziunii atât membrana lui Descemet cât și stroma au fost perforate în timp ce în jurul craterului central membrana lui Descemet este ruptă iar celulele endoteliului au fost dezintegrate. Aceste efecte sunt cauzate de evaporarea țesuturilor indusă de plasma laserului și de expansiunea plasmăi. Ceva mai departe de crater celulele endoteliului sunt încă prezente dar distruse. Este foarte posibil ca evoluția bulei cavitationale, generată în timpul spărturii optice, să fie cauza acestei distrugerii. Peretele craterului este foarte neted (cadrul b) și nici o fibră de colagen nu se găsește pe suprafața craterului.

Când pulsurile laser sunt focalizate la distanța s față de cornee interacțiunea între plasmă și țesut este redusă și numai evoluția bulei cavitationale și unda de soc emisă în timpul spărturii optice sunt mecanismele cu potențial distructiv. Figura 1.12 prezintă leziunea cauzată de un puls laser cu energia 6 mJ focalizat la distanța $s = 0,3 \text{ mm}$ de cornee.

Un crater central este vizibil în membrana Descemet datorat, cel mai probabil, impactului jetului lichid format în timpul colapsului bulei cavitationale în apropierea corneei. Diametrul craterului în membrana Descemet este aproximativ egal cu diametrul jetului lichid observat în cazul în care bula cavitațională evoluează în apropierea unei suprafețe solide, în apă (20-30 μm). Totuși, în intervalul investigat (2-10 mJ energia pulsului), pentru $s > 1$ mm nici o leziune nu este observată. În acest caz, acțiunea jetului lichid ce străpunge bula cavitațională în timpul colapsului este diminuată de impactul cu peretele bulei opus jetului.

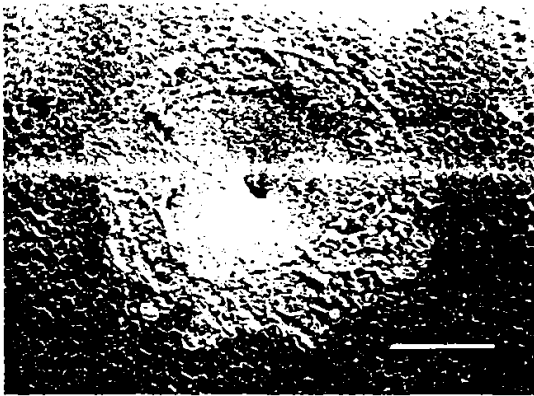


Figura 1.12. Leziunea produsă de un puls laser cu energia 6 mJ focalizat la distanța $s=0.3$ mm de corneă folosind geometria de iradiere paralelă cu corneea. Diametrul craterului în membrana Descemet este 25 μm . Bara reprezintă 100 μm . Figură preluată după Vogel s. a. [55].



Figura 1.13. Aspectul pietrei biliare supusă fragmentării cu laser. Cea mai mare dimensiune a pietrei este 2.3 cm. Figură preluată după Teng s. a. [59].

Interacțiunea între plasmă și țesut nu este total exclusă chiar dacă focalizarea razei laser se face la o distanță s față de corneă. Dezintegrarea celulelor endoteliului în jurul craterului central, observată clar, în special, în Figura 1.12, sugerează acest lucru. În acest caz interacțiunea plasmă-țesut este datorată extinderii spațiale a plasmei în momentul focalizării razei laser și expansiunii plasmei ca urmare a timpului relativ lung de iradiere.

1.3. Cavitația generată în litotritia indusă cu laser

Studiile recente au demonstrat fragmentarea calculilor biliari și urinari *in vitro* cu ajutorul pulsurilor laser. Avantajul litotritiei cu laser față de chirurgia clasică este eficiența tratamentului și durata redusă de staționare a pacientului în clinică. Efectele fizice asociate spărturii optice sunt formarea plasmei, generarea undei de soc acustice și a bulei cavitationale. Aceste procese fizice produc incizia țesutului. Plasma indusă de laser cauzează incizia directă a țesutului prin vaporizare, iar unda de soc emisă în timpul spărturii optice și cavitația produc ruperea țesutului prin solicitări mecanice. Există, însă, o valoare de prag a energiei razei laser pentru care distrugerea calculilor renali este observată. Investigațiile experimentale [56] arată că această valoare de prag a energiei este reproductibilă pentru același tip de piatră cu o toleranță de 20% dar diferă de la un tip de piatră la altul cu un factor de 10. În general, valoarea de prag a energiei ce cauzează distrugerea este mai scăzută în cazul calculilor pigmentați (culoare maro-negru) decât în cazul celor nepigmentați (culoare alb-galben).

Comportarea plasmei produsă în punctul de focalizare al razei laser determină nu numai dimensiunea zonei distruse dar și evoluția undei de soc și a bulei cavitationale asociate spărturii optice [57]. Atunci când energia de iradiere este 1 mJ, viteza inițială de expansiune a plasmei este estimată a fi mai mare de 2800 m/s. Valoarea vitezei de expansiune a plasmei scade după 500 ps la mai puțin de 500 m/s. Zysset s.a. [58] estimează, în aceste condiții, că presiunea undei de soc este aproximativ 20 kbar. Se precizează, însă, că evoluția plasmei și a efectelor fizice asociate acesteia sunt dependente de natura lichidului.

Figura 1.13 prezintă fragmentarea indusă cu laser a unui calcul biliar imersat în apă. Fotografia este realizată imediat după focalizarea razei laser la o distanță de 0,23 mm de piatră. Energia pulsului laser este 4,8 mJ. Un singur puls laser a distrus aproximativ 40% din volumul pietrei. Fragmentarea indusă cu laser a fost de 4 ori mai eficientă în cazul dispunerii pietrei în apă decât în aer, astfel încât Teng s.a. [59] consideră rolul important al dinamicii bulei cavitationale în procesul de distrugere al calculilor. La valori mici ale energiei de iradiere evoluția plasmei este foarte puțin violentă și, consecutiv, caracterul distructiv al acesteia este redus. Este un motiv destul de convingător pentru explicarea valorii de prag a energiei de iradiere necesară pentru distrugerea calculilor. Însă și pentru generarea bulei cavitationale există o valoare de prag a energiei de iradiere. În cazul laserului Nd:YAG cu durata pulsului 10 ns, la iradiere în apă, această valoare de prag este 0,6 mJ, valoare aproximativ egală cu cea necesară pentru distrugerea calculilor (0,7 mJ [57]).

1.4. Necesitatea studiului comportării dinamice a bulei cavitationale în lichide newtoniene

Toate experimentele recenzate indică o inhibare clară a incipientei și evoluției fenomenului cavitațional în soluții apoase de polimeri, pentru toate condițiile experimentale folosite și toate tipurile de aditivi testați. Diverse scenarii au fost propuse pentru explicarea acestui efect. Astfel, Lumley [60] explică acest efect prin schimbarea câmpului de presiuni ca rezultat al efectelor viscoelastice ale lichidului. Hoyt [15] prin reducerea intensității turbulentei ce reprezintă un factor important asupra inițierii și evoluției fenomenului cavitațional, iar Baker s.a. [16], Oba s.a. [17] și Crum și Brossey [61] atribuie acest fenomen efectului aditivilor asupra nucleelor cavitationale. Ponderea fiecărui factor asupra efectului de inhibare al cavitatiei în soluții de polimeri este însă puțin cunoscută.

Este posibil ca reducerea numărului nucleelor cavitationale, prin aditivarea cu polimeri, să aibă o pondere importantă asupra efectului de inhibare al cavitatiei. În cazul lichidelor aflate la temperaturi scăzute două mecanisme sunt responsabile pentru creșterea nucleelor în bule cavitationale, și anume scăderea presiunii lichidului înconjurător bulei și difuzia gazului din lichid în interiorul nucleului. În ambele cazuri creșterea nucleelor mari este însă favorizată pentru că forțele de tensiune superficială ce se opun creșterii nucleului sunt cu atât mai mici cu cât diametrul nucleului este mai mare iar cantitatea de gaz difuzată din lichid în interiorul nucleului este cu atât mai mare cu cât suprafața de schimb (aria laterală a nucleului) și deci dimensiunea nucleului este mai mare. Însă efectul aditivării cu polimeri se manifestă chiar prin reducerea numărului nucleelor cavitationale cu diametru mare, efect cu atât mai important cu cât concentrația soluției este mai mare. Mai mult, diminuarea numărului nucleelor ce pot ajunge în zona cu risc de apariție a cavitatiei poate fi o consecință și a efectului Uebler [62]. E.A. Uebler a observat în 1966 că într-o soluție de polimeri, bulele de dimensiuni adecvate, la îngustarea bruscă a secțiunii, se opresc în fața secțiunii de intrare deși lichidul continuă să curgă. Efectul se manifestă la bulele ce se

deplasează pe linia centrală de curgere și au diametrul $1/6$ până la $1/8$ din diametrul orificiului. În 1967, Metzner [62] a arătat că acest efect constă în oprirea bulelor de gaz în orice câmp cu viteze accelerate al unui lichid cu proprietăți viscoelastice.

Reducerea intensității turbulentei, ca rezultat al efectelor viscoelastice ale lichidului, acționează în special asupra aspectului cavitatiei. În cazul apei, Ito și Oba [63] pun în evidență o ușoară influență a intensității turbulentei asupra cavitatiei călătoare și turbionare [6], dimensiunea și numărul bulelor cavitationale fiind cu atât mai mici cu cât intensitatea turbulentei este mai mică. Reducerea intensității turbulentei în soluții apoase de polimeri este confirmată experimental în cazul curgerilor în absența cavitatiei [64] și, consecutiv, pare posibil explicarea reducerii activității cavitationale prin acest mecanism. Trebuie precizat că în experimentul condus de Ito și Oba [63] diferențe semnificative în aspectul cavitatiei sunt observate pentru o creștere de 5 ori a intensității turbulentei, în timp ce aditivarea cu polimeri are ca rezultat o reducere a intensității turbulentei de numai 1.5 ori pentru o concentrație de 1% poli(acrilamidă) în apă [64].

Aceste mecanisme dau o imagine, în special calitativă, asupra inhibării evoluției fenomenului cavitațional datorată aditivării cu polimeri. Dar chiar și efectul combinat al acestor mecanisme nu poate explica reducerea semnificativă a activității cavitationale prin aditivarea cu polimeri și mai ales diminuarea distrugerilor cavitationale. Atât timp cât mecanismele implicate în acest fenomen nu sunt complet cunoscute, este sugerat ca un posibil mecanism, efectul comportării nenewtoniene al soluțiilor de polimeri asupra dinamicii bulei cavitationale. Cea mai probabilă cauză a distrugerilor cavitationale este reprezentată de impulsurile de presiune ce apar în faza finală a colapsului bulei și acțiunea jetului lichid format în cazul colapsului bulei în apropierea unui perete solid. Aceste mecanisme sunt destul de puternice pentru a explica apariția distrugerilor cavitationale în cazul apei, însă detaliile referitoare la comportarea bulei în soluții de polimeri sunt puțin cunoscute.

Rezultatele prezentate de Vogel și al. [55] indică drept principal mecanism chirurgical al fotodisrupției evaporarea țesutului prin acțiunea plasmă. Volumul țesutului dezintegrat corespunde aproximativ cu volumul în care luminiscenta plasmă este observată. Sunt puse în evidență și efectele colaterale generate de dinamica bulei cavitationale inițiată de spărtura optică a laserului. Efectele cavitatiei sunt, în principal, date de formarea jetului în timpul colapsului bulei cavitationale, când o mare parte a energiei bulei este concentrată pe o suprafață mică [65]. Jetul produce distrugerea țesutului prin presiunea mare dezvoltată în timpul impactului cu cornea și prin forțele de forfecare ce acționează asupra celulelor endoteliului. Totuși, experimentul este realizat *in vitro* caz în care cornea este dispusă în apă. Concluziile desprinse din acest studiu se bazează pe observațiile asupra comportării bulei cavitationale situată în apă în apropierea unei suprafețe solide. Influența comportării nenewtoniene a lichidului, în acest caz a lichidului ocular, asupra evoluției plasmă și bulei cavitationale este necunoscută.

Rolul dinamicii bulei cavitationale în distrugerea calculilor renali în litotritia indusă cu laser este pus în evidență prin două observații experimentale. Pe de o parte, prin egalitatea valorilor de prag ale energiei de iradiere necesară pentru generarea bulei cavitationale și distrugerea calculilor și, pe de altă parte, prin eficiența sporită a distrugerii în cazul în care piatra este dispusă în apă în comparație cu dispunerea pietrei în aer. În cazul aplicației clinice (*in vivo*), comportarea dinamică a bulei cavitationale creată este influențată de caracterul nenewtonian al sângelui. Ca și în cazul capsulotomiei, detaliile referitoare la evoluția bulei cavitationale sunt necunoscute.

2. Stadiul actual al cercetărilor asupra evoluției bulei cavitationale în lichide newtoniene

Problema fundamentală a dinamicii bulei cavitationale este determinarea câmpurilor de presiune și viteză în lichidul înconjurător bulei, împreună cu mișcarea peretelui bulei sub acțiunea diferenței de presiune sau/si temperatură. Din punct de vedere fizic, problema este complexă din cauza, pe de o parte, faptului că bula conține atât gaz necondensabil (adesea aer) dar și vapori într-un raport necunoscut. Alte complicații provin din pierderile energetice implicate în amortizarea oscilației bulei: viscozitatea și compresibilitatea lichidului, tensiunea superficială la interfața gaz-lichid, conducția căldurii și difuzia gazului prin pereții bulei cât și compresibilitatea gazului sau amestecului de gaze din interiorul cavității.

Scopul acestui capitol este de a recenza, pe cât posibil, literatura ce are ca obiect dinamica bulei cavitationale în lichide newtoniene. Se urmărește stabilirea unor concluzii referitoare la abordarea acestei probleme sub aspect teoretic și experimental, dar și evaluarea influenței parametrilor hidro și termodinamici asupra comportării dinamice a bulei individuale.

2.1. Comportarea bulei cavitationale sferice în lichide newtoniene

Analizele teoretice consideră cazul bulei cavitationale individuale dispusă într-un lichid incompresibil, extins la infinit, iar ipoteza de bază în studiul mișcării este păstrarea simetriei sferice în timpul evoluției bulei. Consecutiv, sistemul de coordonate sferice (ρ, θ, φ) cu originea în centrul bulei este utilizat. În acest caz există o singură componentă a vitezei lichidului, în direcția r (Figura 2.1). Aici, p_s și T_s reprezintă presiunea statică și temperatura lichidului într-o zonă în care influența bulei este neglijabilă iar p_g și p_v reprezintă presiunea gazului, respectiv, a vaporilor din interiorul cavității.

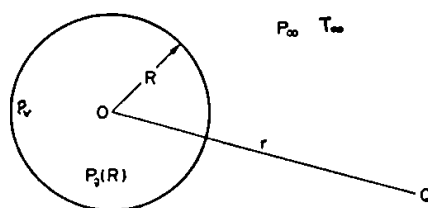


Figura 2.1. Descrierea geometrică a modelului bulei

2.1.1. Influența concentrației soluției de polimeri și a tipului aditivului

Inițial, comportarea dinamică a bulei cavitationale a fost tratată folosind diverse ecuații reologice ce descriu comportarea pur vâscoasă a lichidului. Modelele reologice utilizate descriu, în general, comportarea pseudoplastică a lichidului în care este situată bula

cavitatională. Astfel, au fost folosite modelul legea puterii [66, 67], modelul Casson [68], modelul Ellis [69], modelul Carreau [70], modelul Powell-Eyring [71], modelul Shima [72, 73, 74, 75], modelul Sutterby [76], modelul Williamson [77] și modelul Bueche [78]. În toate aceste studii se neglijează efectul gravitației, compresibilitatea lichidului și a gazului necondensabil, difuzia gazului și transferul de căldură prin peretele bulei. Mișcarea bulei este datorată diferenței de presiune între interiorul și exteriorul cavității, exprimată prin raportul $q = p_0/p_\infty$ cu p_0 presiunea inițială a gazului din bulă.

În aceste condiții mișcarea bulei este descrisă de următoarele ecuații:

$$\frac{1}{r^2} \frac{\partial}{\partial r} (r^2 v_r) = 0 \quad (2.1)$$

$$\rho_l \left(\frac{\partial v_r}{\partial t} + v_r \frac{\partial v_r}{\partial r} \right) = - \frac{\partial p}{\partial r} - \frac{\partial \tau_{rr}}{\partial r} - 3 \frac{\tau_{rr}}{r} \quad (2.2)$$

în care v_r este componenta vitezei în direcția r , ρ_l densitatea lichidului, t timpul și τ_{rr} componenta efortului unitar normal datorat viscozității în direcția r . Efortul unitar normal datorat viscozității are următoarea expresie [79]:

$$\tau_{rr} = -2\eta \frac{\partial v_r}{\partial r} \quad (2.3)$$

În cazul fluidelor newtoniene, viscozitatea aparentă, η , este funcție de viteza de deformare, $\dot{\gamma}$, definită în cazul lichidelor incompresibile prin:

$$\dot{\gamma} = \sqrt{\frac{1}{2} I_{\dot{\gamma}^2}} \quad (2.4)$$

cu $I_{\dot{\gamma}^2}$ al doilea invariant al tensorului vitezei de deformare:

$$I_{\dot{\gamma}^2} = 4 \left[\left(\frac{\partial v_r}{\partial r} \right)^2 + 2 \left(\frac{v_r}{r} \right)^2 \right] \quad (2.5)$$

Componenta radială a vitezei lichidului se obține ca soluție a ecuației (2.1.) cu condiția la limită $v_r = \dot{R}$ la $r = R$:

$$v_r = \frac{R^2}{r^2} \dot{R} \quad (2.6)$$

cu \dot{R} ($= dR/dt$), viteza peretelui bulei.

Înlocuind relațiile (2.3) - (2.6) în ecuația (2.2.) se obține:

$$\rho_l \left[\frac{1}{r^2} (2R\dot{R}^2 + R^2\ddot{R}) - 2 \frac{R^4}{r^5} \dot{R}^2 \right] = - \frac{\partial p}{\partial r} - 4 \frac{\partial \eta}{\partial r} \frac{R^2}{r^3} \dot{R} \quad (2.7)$$

Considerând o evoluție adiabată a gazului din bulă, echilibrul forțelor la peretele bulei se scrie [80]:

$$p(R) = p_o \left(\frac{R_o}{R} \right)^{3\gamma} - \frac{2\sigma}{R} - (\tau_{rr})_{r=R} \quad (2.8)$$

cu R_o raza inițială a bulei și σ tensiunea superficială la interfata gaz-lichid.

Prin integrarea ecuației (2.7.) în intervalul $r \in [R, \infty]$ se obține ecuația de mișcare a bulei și prin integrarea în intervalul $r \in [r, \infty]$ se obține ecuația presiunii în lichid. În general ecuațiile ce descriu mișcarea bulei și distribuția presiunii în lichid sunt foarte complicate și forma lor este dată de tipul relației reologice, $\eta = \eta(\dot{\gamma})$, folosită. Diferitele forme obținute pot fi consultate în referințele originale.

Ecuația reologică care modelează comportarea pseudoplastică a lichidului joacă un rol important în descrierea oscilației bulei. Figura 2.2 prezintă o comparație între oscilația bulei în soluția 0,272% CMC folosind modelul Powell-Eyring [71]:

$$\eta = \mu + \frac{A \operatorname{arcsh}(\dot{\gamma} / B)}{\dot{\gamma}} \quad (2.9)$$

și legea puterii [67], descris de relația:

$$\eta = k \dot{\gamma}^{n-1} \quad (2.10)$$

Diferențele sunt sesizabile chiar și pentru primul colaps al bulei. Modelul Powell-Eyring descrie mult mai bine comportarea pseudoplastică a lichidului decât modelul legii puterii însă nu suficient. Deficiența modelului Powell-Eyring este dată de eroarea mare în zona vitezelor de deformare foarte mici ($\dot{\gamma} < 10^{-2} \text{ s}^{-1}$) și foarte mari ($\dot{\gamma} > 10^2 \text{ s}^{-1}$). Din acest motiv, folosirea ecuațiilor reologice ce pun în evidență explicit valoarea viscozității la viteze de deformare zero, η_0 , și infinit, η_∞ , este recomandată [70, 72, 73, 74, 75, 77, 78].

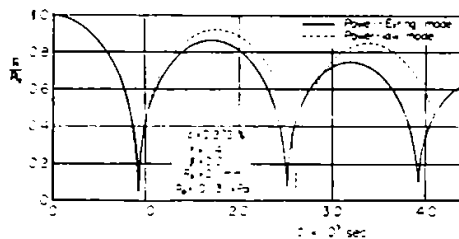


Figura 2.2. Variația în timp a razei bulei în soluția 0,272% CMC. Ecuația care descrie oscilația bulei este obținută folosind atât relația Powell-Eyring (linia continuă) cât și modelul legii puterii (linia întreruptă).

Figură preluată după Shima și Tsujino [71].

Influența tipului aditivului asupra comportării dinamice a bulei cavitaționale este examinată în [77] folosind trei tipuri de polimeri, carboximetilceluloză (CMC-4H), oxid de polietilenă (PEO-18) și poliacrilamidă (PAM A-20P), în trei concentrații: 0,2%, 0,5% și

1%. Figura 2.3 prezintă variația viscozității aparente a soluțiilor cu viteza de deformare. În aceeași figură, linia solidă reprezintă modelarea datelor experimentale cu ajutorul modelului Williamson:

$$\eta = \eta_{\infty} + \frac{\eta_0 - \eta_{\infty}}{1 + (\dot{\gamma} / k)^n} \quad (2.11)$$

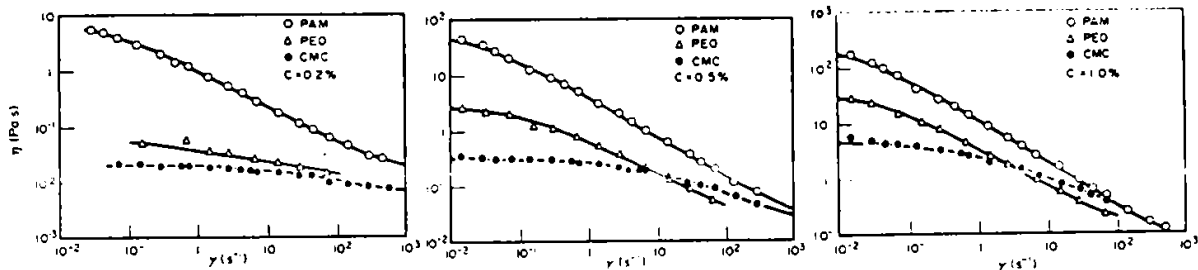


Figura 2.3. Comportarea pseudoplastică a soluțiilor CMC-4H, PEO-18 și PAM A20-P. C este concentrația soluțiilor. Figură preluată din [77].

Variația razei bulei în timp este prezentată în Figura 2.4 pentru $R_0 = 0,01$ mm și $q = 0,01$. Concentrația soluției de polimeri și tipul aditivului au influență asupra amortizării oscilației bulei. În general, cu cât η_{∞} și η_0 au valori mai ridicate cu atât este mai pronunțată amortizarea oscilației. În particular, influența parametrului η_{∞} este cea mai mare, η_0 având un rol mai important pentru valori mici ale razei inițiale ale bulei ($R_0 = 0,01$ mm) și pentru valori mari ale raportului presiunilor inițiale ($q = 0,1$). În cazul concentrației 1%, oscilația bulei în soluția de oxid de polietilenă este supra-amortizată. Figura 2.5 prezintă variația în timp a presiunii în lichid la peretele bulei pentru $q = 0,01$ și $R_0 = 0,01$ mm. Valoarea presiunii la peretele bulei crește rapid în stadiul final al colapsului bulei (presiuni impulsive) și acest proces este repetat periodic. Cu cât valoarea lui η_{∞} este mai mare și raza inițială este mai mică cu atât valoarea presiunii maxime la peretele bulei este mai mică. În cazul oscilației supra-amortizată presiunea impulsivă nu este observată, valoarea presiunii maxime în lichid la peretele bulei fiind aproximativ egală cu cea a presiunii statice în lichid p_{∞} .

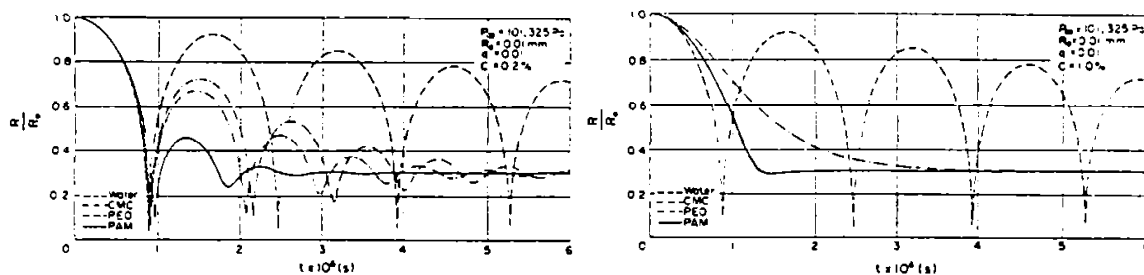


Figura 2.4. Variația razei bulei în timp în soluții apoase de CMC, PEO și PAM. $R_0=0,01$ mm și $q=0,01$. Rezultate comparate cu cazul situației bulei în apă. Concentrația soluțiilor este 0,2% (stânga) și 1% (dreapta). Relația Williamson a fost folosită pentru obținerea ecuației de mișcare a bulei [77].

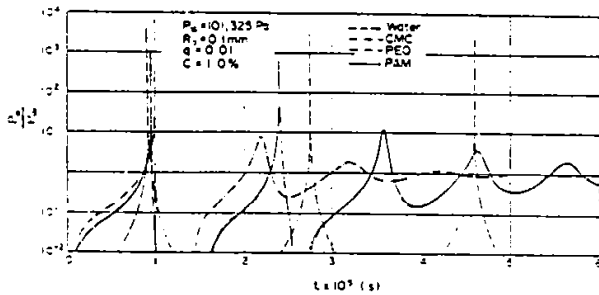


Figura 2.5. Variatia în timp a presiunii în lichid la peretele bulei pentru $R_0=0,01$ mm și $q = 0.01$.

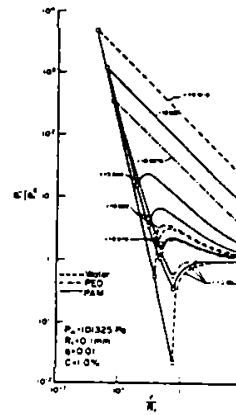


Figura 2.6. Variatia presiunii în lichidul înconjurător bulei situată în diferite soluții de polimeri. Concentrația soluțiilor este 1% [77].

Figura 2.6 prezintă distribuția presiunii în lichidul înconjurător bulei. Ca și în cazul lichidelor newtoniene [80], presiunea maximă la peretele bulei în soluțiile de polimeri investigate este atenuată în raportul $1/r$ în lichid.

2.1.2. Efectul difuziei gazului prin peretele bulei

Lucrările care examinează influența difuziei gazului sunt restrânse asupra fazei de creștere a bulei. Szekely și Martens [81], Szekely și Fang [82] și Rosner și Epstein [83] pun în evidență rolul difuziei gazului asupra evoluției bulei luând în considerare numai efectul tensiunii superficiale.

Cea mai completă lucrare este prezentată de Burman și Jameson [84] care consideră și inerția lichidului. În acest model, creșterea bulei este datorată transferului gazului dizolvat din lichid în interiorul cavității iar viteza de creștere este determinată de diferența de presiune dintre interiorul și exteriorul bulei, inerția și viscozitatea lichidului, tensiunea superficială la interfața gaz necondensabil-lichid, difuzivitatea gazului dizolvat din lichid și gradul de saturație al acestuia. Faza gazoasă din interiorul cavității este în echilibru termodinamic cu faza lichidă la interfață.

Ecuatiile care descriu mișcarea bulei sunt (2.1) și (2.2) la care se adaugă ecuația de difuzie a gazului:

$$\frac{\partial c}{\partial t} = D \left[\frac{\partial^2 c}{\partial r^2} + \frac{2}{r} \frac{\partial c}{\partial r} \right] - \left(1 - \frac{\rho_g}{\rho_l} \right) \frac{R^2 \dot{R}}{r^2} \frac{\partial c}{\partial r} \quad (2.12)$$

și ecuațiile de echilibru la interfață:

$$\rho_g \dot{R} = c(R, t) \frac{\rho_g}{\rho_l} \dot{R} + D \left. \frac{\partial c}{\partial r} \right|_{r=R} \quad (2.13)$$

$$p_g = H \cdot c|_{r=R}$$

În aceste relații, c este concentrația gazului dizolvat în lichid, D coeficientul de difuzie, ρ_g densitatea gazului din cavitate și H coeficientul lui Henry.

Când creșterea este limitată de difuzia gazului și de forțele hidrodinamice, presiunea gazului din interiorul bulei scade odată cu creșterea volumului bulei și gazul aflat în lichid va difuza, prin peretele bulei, în interiorul cavității. Figura 2.7 prezintă variația razei bulei în timp pentru un lichid ce respectă legea puterii (2.10) în cazul $n = 0,75$. Linia continuă reprezintă soluția cu considerarea difuziei gazului iar cea întreruptă cazul limitării creșterii bulei numai de către forțele hidrodinamice. Diferențele mici obținute între cele două soluții arată că difuzia gazului are un efect minor asupra comportării bulei. Un rezultat similar este prezentat de Sato și Shima [85] în cazul apei. Acest rol minor al difuziei gazului este dat în principal de valorile foarte mici ale coeficientului de difuzie ($D = 2 \times 10^{-9} \text{ m}^2/\text{s}$) și a constantei lui Henry ($H = 2 \times 10^{-4} \text{ kg}/(\text{m}^3 \text{ kPa})$). Difuzia gazului joacă un rol important în cazul în care oscilația parcurge multe cicluri cu amplitudine mare. Acest caz este specific evoluției bulei într-un câmp de presiune oscilant. Diferența între mărimea suprafeței laterale a bulei la raza maximă și raza minimă, precum și diferența între timpul de evoluție al bulei în faza expansiunii maxime și la volum minim face ca o parte din gazul difuzat din lichid în interiorul cavității să nu fie difuzat înapoi în lichid în faza de colaps a bulei. De aici, o acumulare de gaz în interiorul cavității care îi modifică comportarea dinamică. Acest mecanism este cunoscut sub numele de *difuzie rectificată*.

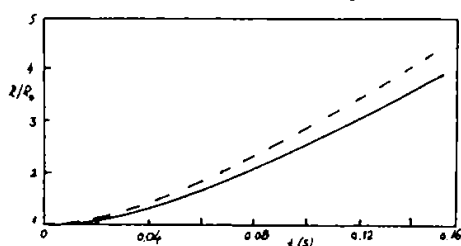


Figura 2.7. Variația razei bulei în timp într-un lichid nenenewtonian ce respectă legea puterii ($n=0,75$). Linia continuă denotă soluția cu considerarea difuziei iar cea întreruptă denotă soluția fără considerarea difuziei. Figură adaptată după Burman și Jameson [84].

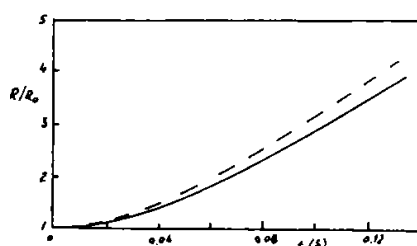


Figura 2.8. Influența transferului de căldură prin peretele bulei asupra evoluției acesteia. Linia întreruptă indică soluția fără considerarea transferului de căldură. Figură adaptată după Street s.a. [86].

2.1.3. Efectul transferului de căldură prin peretele bulei

Street s.a. [86] analizează acest aspect în cazul unui lichid care respectă modelul reologic legea puterii. Se consideră cazul unei bule ce crește datorită diferenței de presiune între exteriorul și interiorul cavității. Această expansiune a bulei induce atât gradienti de concentrație (datorită reducerii presiunii gazului din interiorul cavității) cât și gradienti de temperatură (datorită răcirii adiabactice a gazului) în lichid și, consecutiv, un transfer de masă și căldură prin peretele bulei. Ecuațiile care guvernează mișcarea bulei sunt (2.1), (2.2), (2.12), (2.13) plus ecuația de transfer termic:

$$\frac{\partial T}{\partial t} = \frac{1}{\rho_l c_l r^2} \frac{\partial}{\partial r} \left(r^2 k_l \frac{\partial T}{\partial r} \right) - \frac{R^2 \dot{R}}{r^2} \frac{\partial T}{\partial r} \quad (2.14)$$

și ecuația de echilibru la interfață:

$$p_g R + \frac{1}{R^2} \frac{d}{dt} \left(\rho_g U_g \frac{R^3}{3} \right) = k_l (T_i - T_g) + H_{g1} D \frac{\partial c}{\partial r} \Big|_{r=R} \quad (2.15)$$

În aceste ecuații c_l este capacitatea calorică a lichidului, k_l este conductivitatea termică a lichidului, U_g este energia internă a gazului din interiorul bulei și H_{g1} entalpia gazului.

Figura 2.8 prezintă efectul transferului de căldură prin pereții bulei în comparație cu cazul adiabatic (linia întreruptă). Efectul transferului de căldură se manifestă prin amortizarea creșterii bulei. Această influență este însă redusă. Efectul viscozității este oricum mai important decât cel al transferului de căldură.

Studiul prezentat anterior are ca ipoteză de bază echilibrul termodinamic la interfața gaz-lichid. O consecință imediată a acestei ipoteze este că viteza de condensare a vaporilor din interiorul cavității, este infinită iar presiunea vaporilor este cea corespunzătoare valorii de echilibru descrisă de ecuația Clausius-Clapeyron. Viteza de condensare a vaporilor este însă finită [87]. În faza finală a colapsului este posibil ca viteza peretelui bulei să fie suficient de mare pentru ca vaporii din interior să nu aibă timp să condenseze. Se vor comporta ca un gaz necondensabil care poate fi comprimat la presiuni înalte modificând comportarea dinamică a bulei cavitationale. Pare a fi un efect important și, prin urmare, influența vitezei finite de condensare a vaporilor asupra dinamicii bulei cavitationale situată într-un lichid incompresibil cu comportare pseudoplastică a fost investigată analitic și numeric în [88]. Debitul masic, pe unitatea de suprafață, de vaporii condensati sau lichid evaporat este [87]:

$$W = \frac{\alpha_M}{\sqrt{2\pi R_v}} \left(\frac{p_{i,v}}{\sqrt{T_L}} - \frac{p_v}{\sqrt{T_i}} \right) \quad (2.16)$$

unde α_M este un coeficient de acomodare pentru condensare sau evaporare (presupus constant), R_v constanta vaporilor, T_L temperatura lichidului la interfață, T_i temperatura amestecului de gaze (gaz necondensabil și vaporii), $p_{i,v}$ presiunea de echilibru a vaporilor (Clausius-Clapeyron) și p_v presiunea vaporilor. Coeficientul α_M poate lua valori între 0 și 1; cu cât α_M are valori mai mari cu atât condensarea vaporilor este mai rapidă. Fujikawa și Akamatsu [89] sugerează că valoarea 0,04 pentru α_M descrie cel mai bine viteza finită de condensare a vaporilor. Formularea matematică completă, în ipotezele simplificatorii adoptate, este prezentată în detaliu în [88].

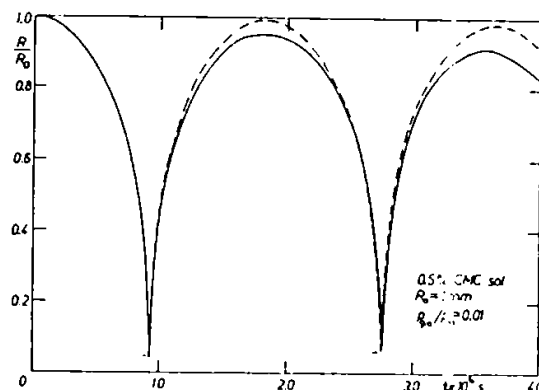


Figura 2.9. Variația în timp a razei bulei situată în soluția 0,5%CMC. Linia continuă reprezintă soluția modelului care ține seama de viteza finită de condensare a vaporilor și de transferul de căldură prin pereții bulei. Linia întreruptă este soluția modelului adiabatic. Figură preluată din [88].

Comportarea dinamică a bulei cavitationale situată în trei soluții apoase de carboximetilceluloză (CMC) în concentrație 0,2%, 0,5% și 1%, a căror caracteristică pseudoplastică este prezentată în Figura 2.3, este investigată. Rezultatele obținute sunt comparate cu cele ale modelului adiabatic [77]. Figura 2.9 se referă la oscilațiile libere ale bulei situată în soluția 0,5% CMC atunci când raza inițială a bulei este $R_0 = 1$ mm. În figură, linia întreruptă reprezintă soluția modelului adiabatic. Colapsul bulei este mai lent în comparație cu cazul adiabatic iar raportul de amortizare al razei maxime, R_{\max} , după primul colaps, $|R_{\max} - R_0|/R_0$ este 5,8% pentru cazul prezent și numai 0,7% pentru cazul adiabatic. În plus, viteza finită de condensare a vaporilor și transferul de căldură prin peretele bulei conduc la o ușoară prelungire a timpului de colaps al bulei.

Cele mai critice secvențe din evoluția bulei cavitationale au loc în faza finală a colapsului. Aici presiunea și temperatura lichidului la peretele bulei ating cele mai mari valori. Pentru o mai clară imagine în ceea ce privește diferențele între cele două modele se preferă prezentarea variației cu raza inițială a bulei, R_0 , a unor parametri critici. Figurile 2.10 și 2.11 prezintă valorile presiunii maxime la peretele bulei $p_{v,\max} / p_r$ și, respectiv, ale temperaturii maxime în lichid la peretele bulei $T_{l,\max} / T_r$, pentru diferite valori R_0 și cele trei concentrații ale soluțiilor de polimeri în comparație cu cazul apei.

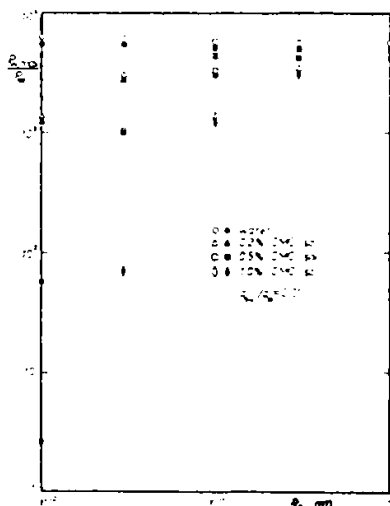


Figura 2.10. Variația presiunii maxime în lichid la peretele bulei cu raza inițială a acesteia. Bula este situată în soluții apoase de carboximetilceluloză. Simbolurile albe indică soluția adiabatică iar cele negre soluția cu considerarea transferului de căldură prin peretele bulei. Figură preluată din [88].

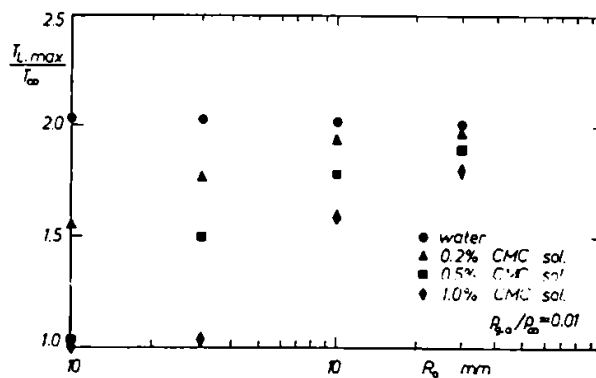


Figura 2.11. Variația temperaturii maxime în lichid la peretele bulei cu raza inițială a acesteia. Bula este situată în soluții apoase de carboximetilceluloză. Simbolurile albe indică soluția adiabatică iar cele negre soluția cu considerarea transferului de căldură prin peretele bulei. Figură preluată din [88].

Ambele valori descresc la creșterea concentrației soluției și la descreșterea razei inițiale a bulei. Ca o excepție, o ușoară creștere a acestor valori cu R_0 este observată în cazul apei. Pentru concentrații mai mari de 0,5% și valori $R_0 < 0,03$ mm influența vitezei finite de condensare a vaporilor și a transferului de căldură prin peretele bulei este nesemnificativă. În plus, pentru $R_0 = 0,01$ mm și $C = 1\%$ valoarea lui $T_{l,\max}$ este egală cu cea a temperaturii în lichid la infinit, indicând o evoluție adiabată a amestecului de gaze din interiorul bulei. În acest caz comportarea bulei este apropiată de cea supra-amortizată dată de valoarea ridicată a viscozității lichidului corespunzătoare vitezei de deformare infinită, η_r .

2.1.4. Efectul câmpului electric aplicat lichidului (efectul Winslow)

În 1875, Kerr [4] pune în evidență efectul câmpului electric asupra proprietăților fizice ale glicerinei și anumitor uleiuri, iar începând cu anii 40, Winslow [79] folosește acest efect în aplicațiile din domeniul mecanic. Principala caracteristică a efectului Winslow este creșterea viscozității la aplicarea unui câmp electric. Ceea ce contribuie la creșterea viscozității este componenta câmpului electric perpendiculară pe direcția de curgere a lichidului.

Shima s.a. [90] examinează influența efectului Winslow asupra comportării dinamice a bulei individuale. Ipotezele în care se situează acest studiu sunt cele prezentate în paragraful 2.1.1., astfel încât, ecuațiile care descriu mișcarea bulei sunt (2.1) și (2.2). Lichidul ales este un ulei naftenic a cărui comportare pseudoplastică este modelată cu o relație cu cinci constante:

$$\eta = \eta_{\infty} + \frac{\eta_1 \dot{\gamma} + \eta_2}{\dot{\gamma}^2 + \dot{\gamma} \eta_3 + \eta_4} \quad (2.17)$$

Rezultatele obținute sunt prezentate prin comparație între cazul neaplicării câmpului electric și cazul aplicării unui câmp electric cu valoarea $1,18 \times 10^3$ kV/m.

Figura 2.12 prezintă efectul câmpului electric asupra variației în timp a razei bulei. Pentru $R_0 = 1$ mm, efectul se manifestă prin amortizarea oscilației bulei în timp ce pentru $R_0 = 0,01$ mm, influența câmpului electric este neglijabilă. Aceleași tendințe sunt regăsite și în ceea ce privește variația presiunii la peretele bulei. Reducerea valorii presiunii maxime obținute pentru primul colaps al bulei este de aproximativ 20% pentru $R_0 = 1$ mm, 23% pentru $R_0 = 0,1$ mm și numai 3% pentru $R_0 = 0,01$ mm. Parametrul reologic cu cea mai mare influență asupra comportării dinamice a bulei cavitationale este η_{∞} , influența celorlalți parametri reologici, pentru condițiile investigate, fiind nesemnificativă.

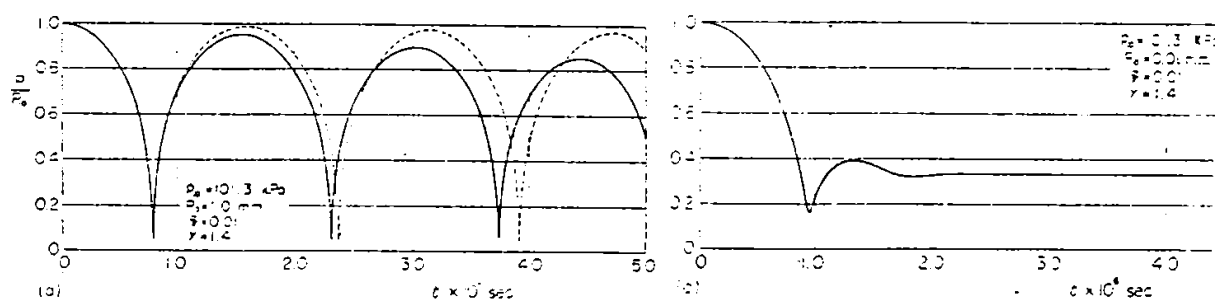


Figura 2.12. Influența efectului Winslow asupra variației în timp a razei bulei. Linia continuă indică soluția obținută la aplicarea câmpului electric. Linia întreruptă indică soluția obținută fără aplicarea câmpului electric. Lichidul de lucru este uleiul naftenic. Figuri preluate după Shima s.a. [90].

2.1.5. Influența elasticității lichidului

Influența elasticității lichidului asupra comportării bulei este investigată analitic și numeric de Fogler și Goddard [91], Hara și Schowalter [92] și Kim [93] folosind modelul

Maxwell, de Tanasawa si Yang [94], Ting [95] si Tsujino s.a. [96] folosind modelul Oldroyd si de Shima s.a. [97] folosind modelul Jeffreys. Ting [98] examinează influenta transferului de căldura prin peretele bulei situată într-un lichid viscoelastic iar Inge si Bark [99] analizează influenta tensiunii superficiale a lichidului. O recenzie amplă a acestui subiect, până în 1984, este dată de Schowalter [100].

Tsujino s.a. [96] discută efectul parametrilor viscoelastici asupra comportării oscilatiei bulei folosind modelul Oldroyd cu trei constante. Ecuatia reologica a acestui model, care are ca parametrii viscozitatea, η_0 , timpul de relaxare, λ_1 , si timpul de întârziere, λ_2 , este:

$$\tau_{rr} + \lambda_1 \frac{D\tau_{rr}}{Dt} = -2\eta_0 \left(e_{rr} + \lambda_2 \frac{De_{rr}}{Dt} \right) \quad (2.18)$$

cu e_{rr} viteza de deformatie si D/Dt derivata substantială. Pentru generalizarea solutiei, autorii introduc următoarele mărimi adimensionale:

$$\beta = \frac{R}{R_0}; \quad We = \frac{R_0 p_s}{2\sigma}; \quad \eta^* = \frac{\eta_0}{R_0 \sqrt{p_s \rho_l}}; \quad q = \frac{p_0}{p_s}; \quad (2.19)$$

$$\lambda_1^* = \frac{\lambda_1}{R_0} \sqrt{\frac{p_s}{\rho_l}}; \quad \lambda_2^* = \frac{\lambda_2}{R_0} \sqrt{\frac{p_s}{\rho_l}}; \quad \tau = \frac{t}{R_0} \sqrt{\frac{p_s}{\rho_l}};$$

Figurile 2.13 si 2.14 prezintă influenta timpului de relaxare, λ_1 , respectiv a timpului de întârziere, λ_2 , asupra variatiei în timp a razei bulei. Cu cât valoarea lui λ_1 este mai mică si valoarea lui λ_2 este mai mare cu atât amortizarea oscilatiei este mai mare. La descresterea viscozității lichidului, η_0 , efectul celor doi parametri asupra amortizării oscilatiei este mai mic. Timpul de relaxare caracterizează componenta elastică a lichidului în timp ce timpul de întârziere caracterizează componenta vâscoasă. Relatia de ordonare între λ_1 , λ_2 si timpul de colaps al bulei, T_c , determină componenta lichidului cu cea mai mare influență asupra oscilatiei bulei. Dacă $\lambda_1 > T_c$, miscarea bulei este dominată de elasticitatea lichidului, iar pentru $\lambda_2 > T_c$, dominantă este componenta vâscoasă. În aceste conditii, raportul λ_1/λ_2 caracterizează influenta celor două componente ale lichidului asupra miscării bulei.

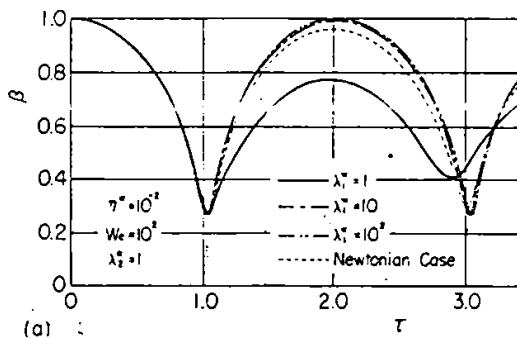


Figura 2.13. Influenta timpului de relaxare asupra oscilatiei bulei. Raza initială a bulei este $R_0=0.1$ mm. Relatia Oldroyd cu trei constante este folosită pentru obtinerea ecuatiei de miscare a bulei. Figură preluată după Tsujino s.a. [96].

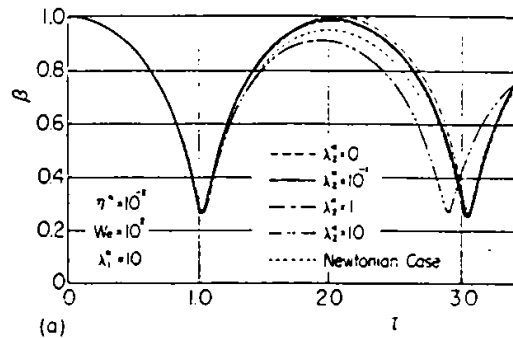


Figura 2.14. Influenta timpului de întârziere asupra oscilatiei bulei. Raza initială a bulei este $R_0=0.1$ mm. Relatia Oldroyd cu trei constante este folosită pentru obtinerea ecuatiei de miscare a bulei. Figură preluată după Tsujino s.a. [96].

Determinarea valorilor λ_1 și λ_2 este, însă, dificilă din punct de vedere experimental. Timpul de relaxare poate fi estimat folosind efectul Weissenberg, și Inge și Bark [99] și McComb și Ayyash [101] precizează că timpul de relaxare al soluțiilor de polimeri de joasă concentrație poate fi cuprins între 10^{-5} și 10^{-3} s. Astfel, influența elasticității lichidului ar trebui să fie dominantă pentru bulele cu raza inițială R_0 mai mică de 1 mm, dacă $\lambda_1/\lambda_2 > 1$. Această concluzie este, în parte, susținută experimental de Shima s.a. [102] în cazul soluției de poli(acrilamidă) în concentrație 0,1 și 0,05%. La aceste concentrații, componenta vâscoasă a lichidului este neglijabilă. Doar pentru $R_0 < 0,05$ mm, timpul de colaps al bulei în ambele soluții de polimeri este mai mic decât în cazul apei (Figura 2.15).

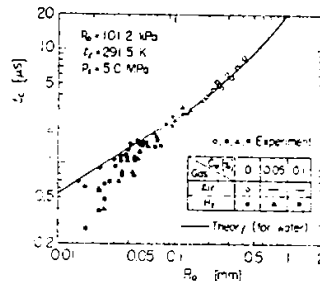


Figura 2.15. Variația timpului de colaps cu raza inițială a bulei în soluții apoase de poli(acrilamidă) în concentrație 0% (apă), 0,05% și 0,1%. Bulele conțin aer sau hidrogen. Linia continuă reprezintă modelarea matematică pentru cazul apei. Colapsul bulei este datorat interacțiunii cu o undă de presiune cu amplitudinea maximă $p_s = 5$ MPa. Figură preluată după Shima s.a. [102].

Influența elasticității și viscozității soluției asupra comportării dinamice a bulei cavitationale este investigată și de Kim [93] folosind modelul Maxwell:

$$\tau + \lambda \frac{D\tau}{Dt} = -2\eta e \quad (2.20)$$

Rezultatele obținute sunt prezentate pentru diferite valori Reynolds $Re = R_0 \sqrt{p_s \rho_l} / \eta$ și Deborah $De = \lambda / T$, cu $T = \sqrt{R_0^2 \rho_l / \Delta p}$ timpul caracteristic al mișcării (aproximativ egal cu timpul de colaps Rayleigh). Figura 2.16 ilustrează influența numărului Deborah asupra oscilației libere a bulei când $Re = 2$. Dacă $De = 0$ (lichid fără elasticitate), oscilația bulei este supra-amortizată. La creșterea valorii De , deci la creșterea valorii timpului de relaxare, λ , colapsul bulei cavitationale este mai rapid iar amplitudinea oscilației în ciclurile ulterioare crește. Pe de altă parte, cu cât valoarea numărului Deborah este mai mare cu atât colapsul bulei este mai puțin violent în faza finală a acestuia. Pentru o mai bună înțelegere a acestor efecte se prezintă în Figura 2.17 variația diferenței eforturilor normale, $\tau_{rr} - \tau_{\theta\theta}$, la peretele bulei, în timp. Creșterea valorii numărului Deborah implică valori mici ale efortului viscoelastic în faza inițială a colapsului dar, în faza finală, valoarea efortului viscoelastic crește considerabil. În consecință, deși, inițial, colapsul este mai rapid, în stadiul final efectul elasticității lichidului se manifestă prin atenuarea colapsului catastrofal al bulei. Câteva precizări sunt, însă, necesare în special în legătură cu rezultatele prezentate în Figura 2.16. În cazul apei, pentru o valoare $p_s = 1$ bar și $Re = 2$, raza inițială a bulei este $R_0 = 2 \times 10^{-7}$ m și, în acest caz, influența elasticității lichidului asupra colapsului bulei este importantă. Această influență devine cu atât mai redusă cu cât raza inițială a bulei este mare și Figura 2.18 ilustrează acest lucru. Aici $R_0 = 10^{-6}$ m. Această ultimă considerație este susținută și de Hara

si Schowalter [92]. De fapt, când $R_0 = 0,1$ mm, Hara si Schowalter nu găsesc nici o influență a elasticității lichidului chiar si la valori $De = 10^5$. Se poate concluziona că influența elasticității lichidului asupra comportării dinamice a bulei cavitationale este semnificativă pentru raze foarte mici ale bulei. Valoarea limită a razei initiale a bulei este mai mică de 0,01 mm [93].

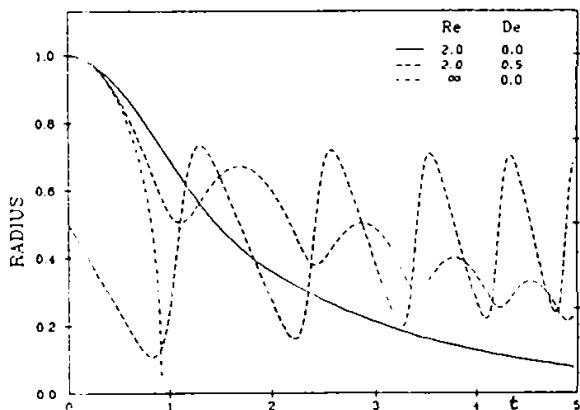


Figura 2.16. Influența numărului Deborah asupra oscilației libere a bulei când $Re=2$. Relația Maxwell a fost folosită pentru obținerea ecuației de mișcare a bulei. Figură preluată după Kim [93].

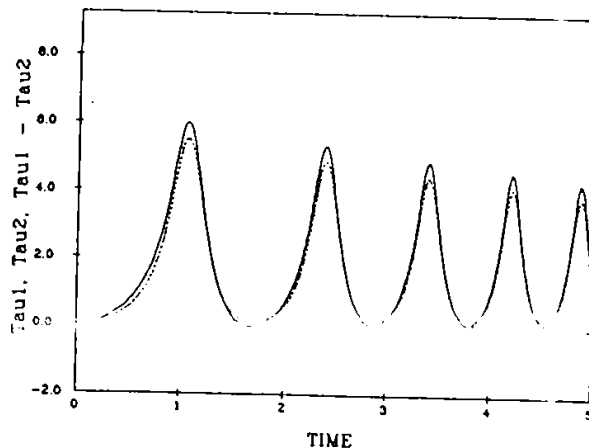


Figura 2.17. Variația în timp a efortului viscoelastic pentru diferite valori Deborah. De remarcă creșterea substanțială a efortului la creșterea valorii Deborah în faza finală a colapsului bulei. Figură preluată după Kim [93].

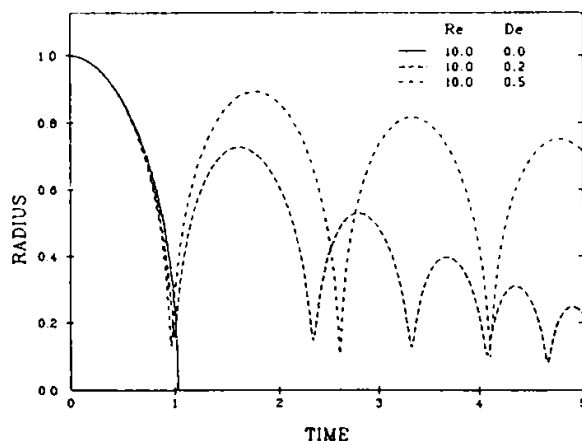


Figura 2.18. Influența numărului Deborah asupra oscilației libere a bulei când $Re=10$. Figură preluată după Kim [93].

2.2. Comportarea bulei cavitationale nesferice în lichide newtoniene

Complexitatea ecuațiilor ce descriu comportarea bulei nesferice în lichide newtoniene face ca această problemă să fie foarte puțin tratată în literatură. Hara si Schowalter [92] investighează acest caz folosind metoda perturbațiilor dezvoltată de Prosperetti [103]. Suprafața bulei $r(\theta, \varphi, t)$ este dată de

$$r(\theta, \varphi, t) = R(t) + \varepsilon \cdot a_n(t) \cdot Y_n(\theta, \varphi) + O(\varepsilon^2) \quad (2.21)$$

în care $R(t)$ este raza bulei sferice echivalente, Y_n o suprafață sferică armonică, a_n amplitudinea armonice corespunzătoare și ε un parametru ce descrie mărimea fiecărui termen. Ecuația constitutivă este de tip Maxwell, similară cu cea utilizată de Fogler și Goddard [91]:

$$\sigma_{ij} = -p\delta_{ij} + 2\int_{-\infty}^t N(t-t')e_{ij}(t')dt' \quad (2.22)$$

În aceste relații e_{ij} reprezintă componentele tensorului vitezei de deformare și N funcția de relaxare. Descrierea completă a formulării matematice este foarte complicată pentru a putea fi detaliată în acest paragraf. Poate fi consultată în referințele [92], [94] și, în parte, în [104].

Influența viscozității și elasticității lichidului asupra comportării bulei este exprimată prin mărimile adimensionale:

$$Re = \frac{R_0^2 \rho_l}{\mu \tau_0}; \quad De = \frac{\lambda}{\tau_0}; \quad \Pi = \frac{p_0}{p_v - p_s}; \quad \tau_0 = \sqrt{\frac{R_0^3 \rho_l}{\sigma}} \quad (2.23)$$

Figura 2.19 prezintă influența viscozității și elasticității lichidului asupra colapsului nesferic al bulei, pentru $\Pi = -0,1$. Efectul elasticității lichidului se manifestă mai pronunțat în cazul bulelor nesferice, dar dominante asupra oscilației bulei rămân efectele viscozității și inerției lichidului.

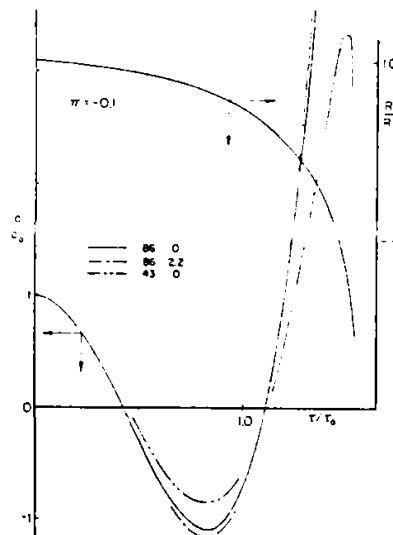


Figura 2.19. Influența viscozității și a elasticității lichidului asupra evoluției temporale a bulei nesferice. În momentul inițial bula nu este sferică, amplitudinea abaterii de la forma sferică fiind dată de termenul a_n .
Figură preluată după Hara și Schowalter [92].

Investigațiile experimentale asupra comportării bulei cavitaționale nesferice sunt extrem de reduse. Chahine și Fruman [105] par a fi singurii care examinează comportarea bulei în soluții de polimeri, atât în apropierea unei frontiere solide cât și într-un lichid nelimitat. În experimentul lor, bulele sunt generate cu scânteii electrice într-o soluție apoasă de oxid de polietilenă Polyox WSR-301 în concentrație 250 ppm. În cazul bulelor sferice nu există o diferență detectabilă între comportarea bulei în apă și soluția de polimeri. De notat că mărimea bulelor obținute este mai mare de 5 mm (între 5 și 40 mm). Diferențe semnificative sunt obținute în cazul evoluției bulei în apropierea unui perete solid. În acest caz, se examinează evoluția în timp a zonei superioare a bulei, zonă în care jetul poate fi inițiat (punctul A în Figura 2.20).

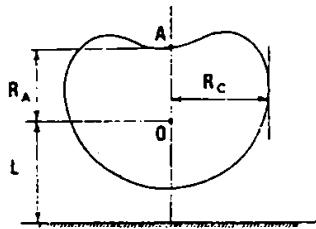


Figura 2.20. Caracteristicile geometrice ale bulei în apropierea unui perete solid.

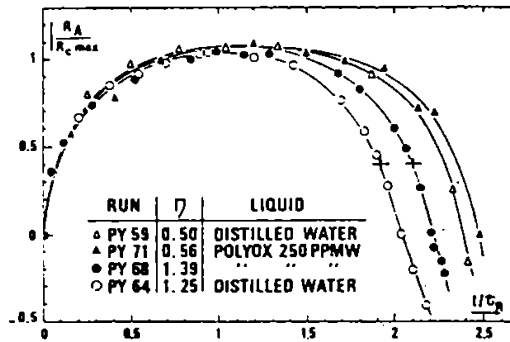


Figura 2.21. Comparatie între comportarea bulei în apă și soluția Polyox WSR-301 în concentrație 250 ppm.

Figuri preluate după Chahine și Irimian [105].

Distanța R_A împartită la dimensiunea maximă a bulei în direcție laterală, $R_{c \max}$, este prezentată grafic funcție de timp în Figura 2.21. Aici τ_R este timpul de colaps Rayleigh iar $\eta = R_{c \max} / L$. În faza de creștere a bulei nu există diferențe între cazul apei și al soluției de polimeri. După ce bula atinge dimensiunea maximă, efectul aditivării cu polimeri se manifestă prin întârzierea mișcării punctului A înspre peretele solid, efect cu atât mai important cu cât valoarea lui η este mai mare. Aceasta dă o primă indicație asupra diminuării intensității jetului și, consecutiv, a reducerii distrugerilor cavitaționale prin aditivare cu polimeri.

Comportarea bulei cavitaționale situată în lichide newtoniene aflate în mișcare este investigată experimental de Kezios și Schowalter [106]. Bulele sunt generate cu ajutorul unui laser cu rubin cu emisie sacadată (durata pulsului 30 ns), în soluții apoase de poli-acrilamidă și oxid de polietilenă în concentrații 500 până la 2000 ppm. În momentul focalizării razei laserului, lichidul se află într-o mișcare de tip Couette (între doi cilindri, cilindrul interior având viteza unghiulară ω), comportarea bulei fiind filmată cu până la 35.000 imag./s cu o cameră Cordin. Pentru determinarea abaterii bulei de la forma sferică, fiecare cadru fotografic este mărit de 18,5 ori. Figura 2.22 arată modul în care semi-axa mare, a, și cea mică, b, sunt determinate. Notațiile α și β se referă la dimensiunile măsurate pe fotocopia mărită, în timp ce a și b se referă la dimensiunile bulei. Mărimea deformării bulei este dată de relația:

$$A = a - R \cong 2(R - b) \quad (2.24)$$

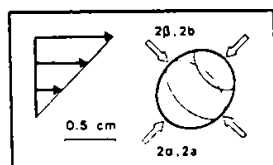


Figura 2.22. Fotocopia mărită a bulei și definiția axelor bulei.

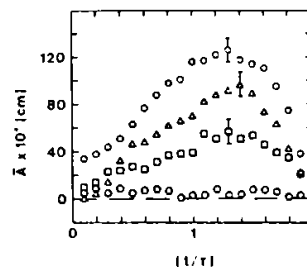


Figura 2.23. Amplitudinea deformării în diferite momente ale evoluției bulei în apă. ○ $\omega=0$; □ $\omega=360$; ▲ $\omega=575$; ● $\omega=865$ rpm [106].

Figura 2.23 prezintă amplitudinea deformatiei bulei, A , în diferite momente ale evoluției bulei în cazul apei. Valoarea maximă a deformatiei bulei se găsește la o valoare $t/T = 1,4$, deci în faza de colaps a bulei. Cu cât valoarea vitezei unghiulare a cilindrului interior, ω , și deci gradientul vitezei este mai mare, cu atât deformatia bulei este mai pronunțată. Efectul aditivării cu polimeri se manifestă prin reducerea substanțială a amplitudinii deformatiei bulei, observată pentru toți aditivii testați. Intervalul în care se manifestă această diminuare este de la mai puțin de 15%, în cazul soluției de 500 ppm oxid de polietilenă (PEO), până la mai mult de 50%, pentru soluția de 1000 ppm poli(acrilamidă) (PAM). Kezios și Schowalter explică aceste rezultate prin creșterea puternică a viscozității soluțiilor relativ la creșterea elasticității, cu toate că elasticitatea soluțiilor nu a fost măsurată. Importanța studiului lui Kezios și Schowalter constă în faptul că este primul care studiază comportarea bulei, chiar și sub forma abaterii de la sfericitate, într-un lichid newtonian aflat în mișcare. În acest caz, aditivarea cu polimeri conduce la reducerea nesfericității bulei cavitationale.

2.3. Concluzii și direcționarea activității în domeniul dinamicii bulei cavitationale în lichide newtoniene

Unul din scopurile studiului comportării dinamice a bulei cavitationale în lichide newtoniene îl constituie explicarea mecanismului de inhibare a evoluției fenomenului cavitațional prin aditivarea apei cu mici cantități de polimeri. Observațiile experimentale care pun în evidență acest aspect sunt inhibarea incipientei cavitationale, reducerea valorilor presiunilor de soc cavitationale și reducerea distrugerilor cavitationale. Pe de altă parte, procesele mediate de cavitație în aplicațiile chirurgicale ale laserilor, cum ar fi chirurgia intraoculară cu laser și litotritia indusă cu laser, implică cunoașterea și reducerea efectelor colaterale generate de evoluția plasmă și a bulei cavitationale.

Aspectul cel mai important al comportării dinamice a bulei cavitationale situată în lichide newtoniene îl reprezintă identificarea parametrilor termo și hidrodinamici care influențează oscilația bulei. În cazul în care bula este situată într-un câmp de presiune constantă comportarea ei dinamică este influențată de (a) viscozitatea lichidului, (b) elasticitatea lichidului, (c) transferul de căldură prin pereții bulei, (d) viteza finită de condensare a vaporilor din interiorul cavității, (e) difuzia gazului prin pereții bulei, (f) compresibilitatea gazului (amestecului de gaze) din interiorul cavității, (g) compresibilitatea lichidului, (h) prezența unei frontiere în vecinătatea bulei, (i) mișcarea inițială a lichidului în care evoluează bula cavitațională.

Influența viscozității lichidului se manifestă prin amortizarea oscilației bulei iar în cazul lichidelor newtoniene influența viscozității corespunzătoare vitezei de deformare infinită este esențială. Amplitudinea amortizării oscilației bulei crește la descreșterea razei maxime a bulei. Efectul elasticității lichidului constă în reducerea timpului de colaps al bulei și diminuarea vitezei peretelui bulei în faza finală a colapsului dar este semnificativ doar pentru bulele a căror rază maximă este mai mică de 10^{-2} mm. Influența transferului de căldură și a difuziei gazului prin pereții bulei precum și influența vitezei finite de condensare a vaporilor din interiorul cavității asupra oscilației bulei situată într-un câmp de presiune constantă este minoră. Aceste influențe sunt importante în cazul în care bula este situată într-un câmp de presiune oscilant și sunt datorate mecanismului de difuzie rectificată al transferului de căldură și masă prin pereții bulei. Atât efectul compresibilității gazului din

interiorul cavității cât și cel al compresibilității lichidului în care este situată bula nu sunt investigate. Detalii se cunosc atunci când bula este situată în apă și efectul compresibilității lichidului se manifestă prin amortizarea oscilației bulei. Amortizarea oscilației bulei datorată compresibilității lichidului este mai mare decât cea indusă de viscozitatea lichidului. Prezența unei frontiere solide sau lichide în vecinătatea bulei conduce la pierderea simetriei sferice a colapsului bulei și la formarea unui jet lichid care străbate interiorul bulei. În cazul bulei situată în vecinătatea unui perete solid Chahine și Fruman [105] precizează numai tendința de reducere a vitezei jetului prin aditivarea apei cu polimeri dar mărimea acestei reduceri rămâne necunoscută. Nu se cunosc detalii referitoare la comportarea bulei situată în lichide newtoniene și în vecinătatea unei suprafețe libere. În cazul bulei situată într-un lichid în mișcare Kezios și Schowalter [106] pun în evidență doar abaterea de la sfericitate a bulei. Detaliile referitoare la formarea jetului lichid în interiorul bulei și distribuția presiunii în lichid sunt necunoscute.

Următoarele aspecte ale comportării dinamice a bulei cavitationale situată în lichide newtoniene rămân o problemă deschisă pentru studiile teoretice și experimentale:

A. Cazul bulei situată într-un lichid extins la infinit

1. Modelarea teoretică a amortizării foarte mari a celui de-al doilea ciclu de oscilație a bulei. Această amortizare, observată în cazul oscilației bulei situată în apă, exprimată prin raportul razelor maxime din al doilea și primul ciclu de oscilație al bulei, este aproximativ 0,3.
2. Existența oscilației supra-amortizate a bulei. Deși remarcată teoretic este nedovedită experimental. Dimensiunea foarte mică la care este remarcată această oscilație implică serioase dificultăți experimentale pentru generarea bulei.
3. Determinarea experimentală a vitezei peretelui bulei. Dificultățile experimentale majore constau în lipsa de precizie a vizualizării la viteze de filmare mai mari de 5 milioane de imagini/s datorate dimensiunii foarte mici a bulei (de ordinul micronilor) și vitezei foarte mari a interfetei în faza finală a colapsului bulei.
4. Determinarea distribuției de presiune în lichidul înconjurător bulei precum și stabilirea legii de atenuare a amplitudinii presiunii în lichid.

B. Cazul bulei situată în apropierea unei frontiere solide sau lichide.

1. Modelarea matematică a evoluției bulei în vecinătatea unei frontiere solide sau lichide în lichide newtoniene. Dificultățile sunt date de complexitatea ecuațiilor de mișcare și de viteza mare a interfetei.
2. Observarea experimentală a evoluției bulei în lichide newtoniene la diferite distanțe relative a acesteia față de frontieră.
3. Determinarea vitezei peretelui superior și inferior al bulei și explicarea mecanismului de formare a jetului lichid care străbate bula în timpul colapsului.
4. Influența viscoelasticității lichidului asupra migrației bulei înspre peretele solid și mecanismul care generează această migrație.
5. Formarea inelului vortex ca urmare a distrugerii simetriei colapsului prin formarea jetului.
6. Determinarea distribuției presiunii în lichidul înconjurător bulei.
7. Influența mișcării inițiale a lichidului în care este situată bula cavitațională asupra comportării ei dinamice.
8. Influența dimensiunii maxime a bulei cavitationale asupra comportării ei dinamice.

Prezenta lucrare își propune să investigheze o parte a acestor aspecte. În prima parte se stabilește un model matematic care descrie comportarea dinamică a bulei cavitationale sferice și care include viscozitatea și compresibilitatea lichidului nenevtonian. Variația razei bulei în timp, viteza peretelui bulei, timpul de colaps și distribuția presiunii în lichidul înconjurător bulei sunt obținute în funcție de raportul inițial între presiunea gazului din interiorul cavității și presiunea lichidului ambiant, de raza inițială a bulei și de viscozitatea lichidului. Scopul urmărit este modelarea teoretică a oscilației bulei situată într-un lichid extins la infinit și, în special, a amortizării foarte mari a celui de-al doilea ciclu de oscilație al bulei. În partea a doua se stabilesc câteva aspecte fizice fundamentale referitoare la comportarea bulei situată într-un lichid extins la infinit dar și în apropierea unui perete solid în lichide nenevtoniene. Principalele instrumente investigative sunt cinematografia ultrarapidă, cu până la 1 milion de imagini/s, și interferometria holografică. Este investigată influența viscoelasticității lichidului asupra comportării dinamice a bulei în funcție de distanța relativă a acesteia față de peretele solid. Calitativ, folosind interferometria holografică, se evidențiază și distribuția de presiune în lichidul înconjurător bulei. Detaliile investigațiilor matematice și experimentale precum și concluziile stabilite se prezintă în următoarele capitole.

3. Proprietățile fizice ale lichidelor testate

Dinamica bulei cavitationale situată în lichide newtoniene este studiată analitic, numeric și experimental în două soluții de polimeri, o soluție apoasă de carboximetilceluloză (CMC-L, greutate moleculară 6×10^5) și o soluție apoasă de poliacrilamidă (PAM-Medazol, greutate moleculară $2,8 \times 10^6$), în concentrație 0,5% în greutate. Investigatii numerice sunt realizate și pentru cazul bulei situată în sânge uman cu scopul de a obține o primă informație asupra efectelor colaterale generate în litotritia indusă cu laser de evoluția bulei cavitationale. Toate rezultatele sunt comparate cu cazul în care bula este situată în apă. Se prezintă în acest capitol proprietățile fizice ale lichidelor testate.

3.1. Viscositatea aparentă a soluțiilor

Caracteristica vâscoasă a soluțiilor este definită în curgere permanentă de forfecare prin viscositatea aparentă

$$\eta = \frac{\tau}{\dot{\gamma}} \quad (3.1)$$

cu τ efortul de frecare și $\dot{\gamma}$ viteza de deformare.

În cazul soluțiilor apoase de polimeri viscositatea aparentă este determinată folosind un reometru con-placă Shimadzu (model RM1) care măsoară momentul necesar pentru a roti conul separat de placă printr-o probă din lichidul testat. Diametrul conului și al plăcii este 50 mm iar unghiul conului 2° . Turatia conului poate fi modificată între 0,0077 și 776 rot/min cu fluctuații mai mici de 0,1%. Pentru toate testele distanța între con și placă a fost 12 μm iar volumul de lichid introdus între con și placă 2 ml. Viteza de deformare este calculată cu relația:

$$\dot{\gamma} = \frac{\pi N}{30 \sin \theta} \quad (3.2)$$

unde N este turatia conului și θ unghiul conului, iar efortul de frecare folosind relația:

$$\tau = \frac{3M}{2\pi r^3} \quad (3.3)$$

cu M momentul transmis conului și r raza conului. Fiecare citire a fost repetată la fiecare 30 s până când valori stabile au fost obținute; mai puțin de 3 minute au fost necesare pentru obținerea acestora.

Figura 3.1a prezintă valorile viscosității aparente a celor două soluții apoase de polimeri la temperatura $T=24^\circ\text{C}$. Toate măsurătorile au fost efectuate la 24 de ore de la prepararea soluțiilor. În ambele soluții valoarea viscosității aparente scade la creșterea

vitezei de deformatie indicând o caracteristică pseudoplastică a soluțiilor. Există tendința ca la valori mici și, respectiv, mari ale vitezei de deformatie viscozitatea aparentă să atingă valori constante. La orice viteză de deformatie viscozitatea aparentă a soluției 0,5% PAM este mai mare decât cea a soluției 0,5% CMC.

Figura 3.1b prezintă valorile viscozității aparente ale sângelui după Chmiel și Walitza [107], Wells [108], Wang s.a. [109] și MacKintosh și Walker [110]. Aceeași caracteristică pseudoplastică ca în cazul soluțiilor de polimeri este regăsită și în cazul viscozității aparente a sângelui. Foarte mulți factori influențează viscozitatea sângelui, și anume, conținutul de hematocrit (HCT), hemoglobină, bioxid de carbon, glucoză, numărul celulelor roșii, pH-ul și temperatura. După Rosenblatt s.a. [111] conținutul de hematocrit și numărul celulelor roșii contribuie mai mult decât oricare alt factor la viscozitatea sângelui. Conținutul de hematocrit este cauza diferenței între valorile viscozității la nou-născuți și adulți ca și între bărbați și femei [108, 111]. Condițiile în care viscozitatea sângelui a fost determinată sunt redată în Tabelul 3.1. și sunt specifice cazului normal din punct de vedere clinic.

Tabelul 3.1. Condițiile la care au fost obținute datele din Figura 3.1

Autor	Hematocrit (%)	Hemoglobină (g/100 ml)	Nr. celule roșii (milioane/mm ³)	Temperatura (°C)
Chmiel și Walitza [107]	44			23
Wells [108]	45	13,4	4,64	37
Wang s.a. [109]	45		4,68	37
MacKintosh și Walker [110]	45	13,2	4,8	37

Fiecare linie continuă din Figura 3.1 reprezintă modelarea datelor experimentale cu ajutorul relației Williamson [79] cu patru constante:

$$\eta = \eta_{\infty} + \frac{\eta_0 - \eta_{\infty}}{1 + (\dot{\gamma} / k)^n} \quad (3.4)$$

Este, totuși, dificil ca pe baza valorilor determinate experimental ale viscozității să se folosească direct relația (3.4) pentru stabilirea dependentei $\eta - \dot{\gamma}$. Cunoașterea valorilor η_0 și η_{∞} simplifică considerabil problema. Soluția apoasă de poliacrilamidă este identică cu cea testată de Shima și Tsujino [75]. Valorile indicate în [75] sunt $\eta_0 = 8,885$ Pas și $\eta_{\infty} = 9,58 \times 10^{-3}$ Pas. În cazul soluției de carboximetilceluloză valorile η_0 și η_{∞} au fost alese observând paralelismul dependentei $\eta - \dot{\gamma}$ cu cea corespunzătoare soluției 0,5% PAM la viteze mici și, respectiv, mari ale vitezei de deformatie. Se obține $\eta_0 = 4,4$ Pas și $\eta_{\infty} = 6,2 \times 10^{-3}$ Pas. În cazul sângelui $\eta_0 = 0,118$ Pas [107] și $\eta_{\infty} = 4,2 \times 10^{-3}$ Pas [110, 112]. Cunoșcând valorile η_0 și η_{∞} relația (3.4) poate fi scrisă sub forma:

$$\log \frac{\eta_0 - \eta}{\eta - \eta_{\infty}} = n(\log \dot{\gamma} - \log k) \quad (3.5)$$

adică o ecuație de tip $y = a + nx$. Valorile n și k au fost determinate folosind sub MathCAD metoda celor mai mici pătrate cu o regresie liniară în $\dot{\gamma}$ dată de (3.5).

Viscozitatea apei a fost determinată folosind relația propusă de Schmidt [113]:

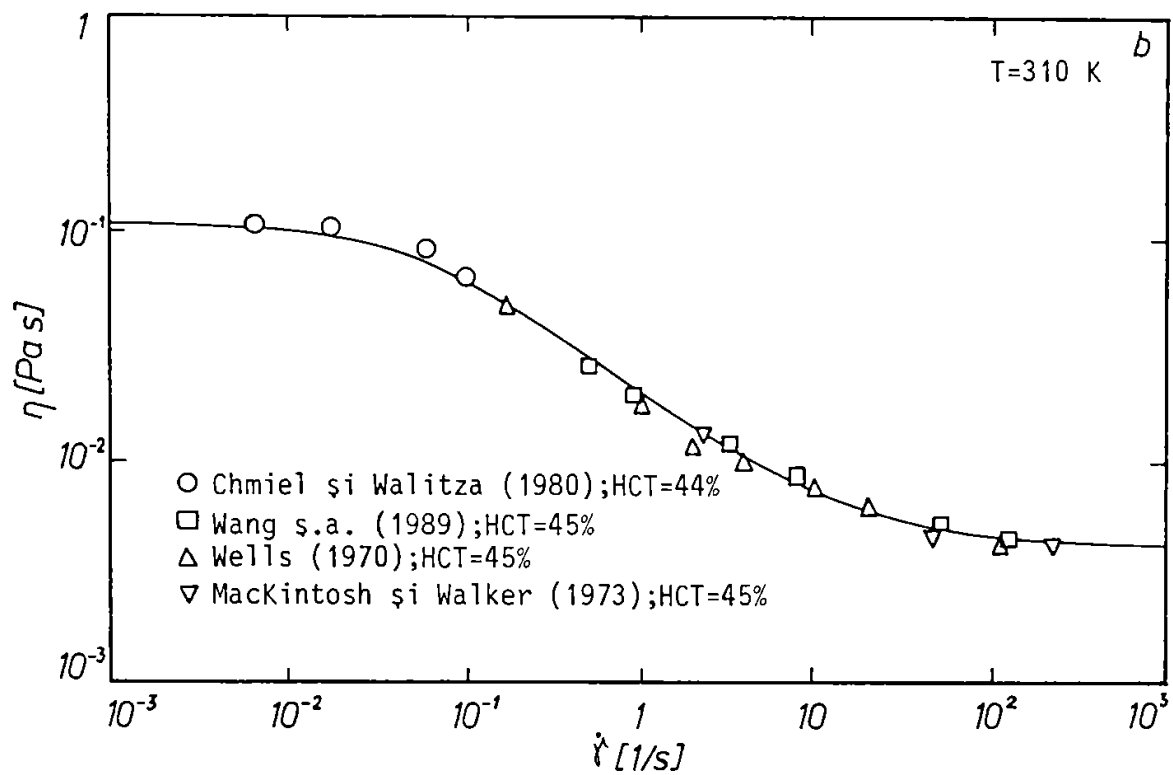
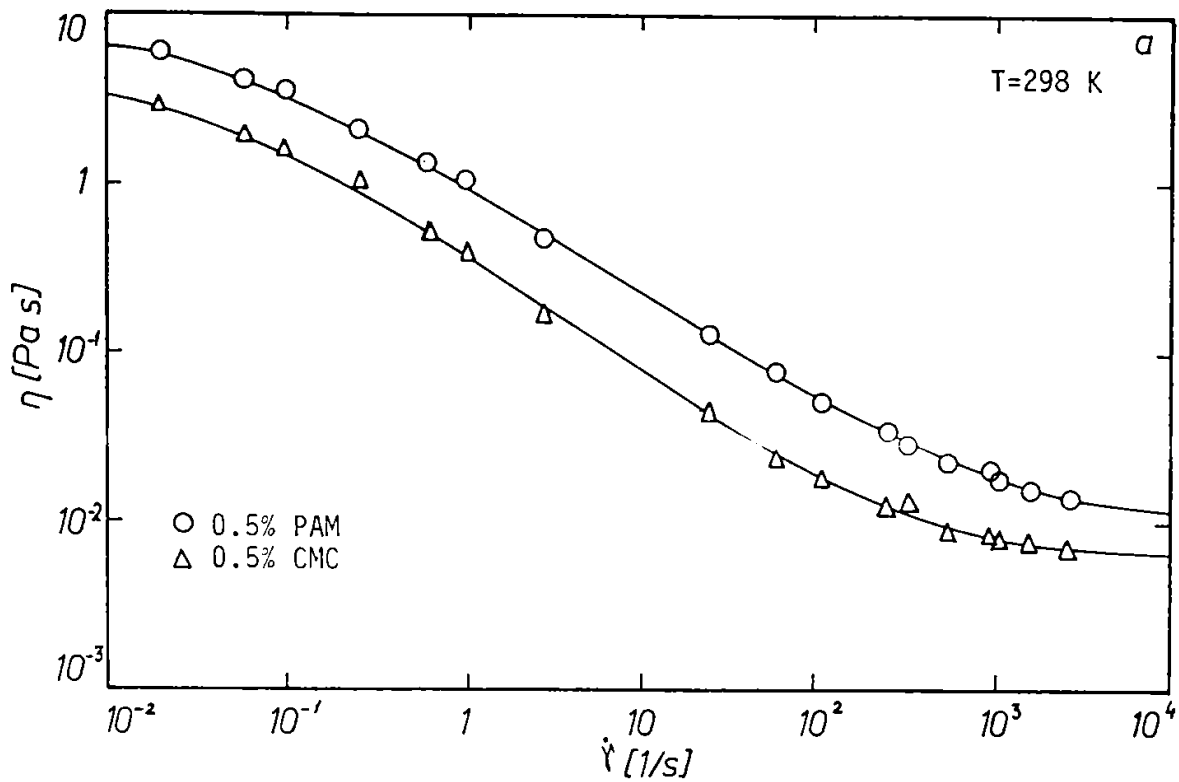


Figura 3.1. Viscositatea aparentă a soluției apoase 0,5% CMC și 0,5% PAM (a) și a sângelui uman (b)

$$\mu = \mu_0(T^*) \exp \left[\rho^* \sum_{i=0}^5 \sum_{j=0}^6 H_{ij} (T^* - 1)^{-i} (\rho^* - 1)^j \right] \quad (3.6)$$

cu H_{ij} :

$i \setminus j$	0	1	2	3	4	5	6
0	5,132	2,152	-2,818	1,778	-0,417	0	0
1	3,205	7,318	-10,707	4,605	0	-0,158	0
2	0	12,41	-12,632	2,34	0	0	0
3	0	14,767	0	-4,924	1,6	0	-0,036
4	-7,782	0	0	0	0	0	0
5	1,885	0	0	0	0	0	0

si:

$$\mu_0(T^*) = 55,071 \sqrt{T^*} \left(\sum_{i=0}^3 \frac{H_i}{T^{*i}} \right)^{-1} \quad (3.7)$$

cu $H_i = (1, 0,978, 0,58, -0,202)$ iar $T^* = T / T_c$, $\rho^* = \rho / \rho_c$, $T_c = 647,3$ K si $\rho_c = 317,76$ kg/m³.

3.2. Elasticitatea solutiilor

Determinarea elasticității unei solutii este dificilă si adesea lipsită de precizie în special la viteze de deformatie foarte mari [114]. Cele mai multe date publicate în cazul solutiilor diluate de polimeri sunt obtinute la valori ale vitezei de deformatie mai mici de 100 s⁻¹. Din punctul de vedere al dinamicii bulei cavitationale suntem, însă, interesati în obtinerea unor date la viteze de deformatie mari, de ordinul 10⁶ s⁻¹, specifice fazei finale a colapsului bulei. Complicatia esentială în determinarea timpului de relaxare a solutiei provine din faptul că viscozitatea aparentă este dependentă de viteza de deformatie. Totusi, pentru solutiile care au viscozitate constantă, determinarea timpului de relaxare pare posibilă, cel puțin, la viteze de deformatie mici. Pentru o asemenea solutie timpul de relaxare în cazul modelului Maxwell este [115]:

$$\lambda = \frac{N_1}{2\eta\dot{\gamma}^2} \quad (3.8)$$

cu N_1 prima diferenta a eforturilor normale. Tinând seama de dificultățile experimentale, în prezenta lucrare, ne rezumăm doar la o evaluare calitativă a elasticității solutiilor testate. Una din metodele de evaluare a elasticității lichidelor newtoniene se bazează pe efectul Weissenberg, de ridicare a lichidului pe o tijă aflată în miscare de rotatie. Acest efect poate fi folosit pentru a caracteriza elasticitatea lichidului fiind asociat cu diferenta eforturilor normale care există numai în cazul lichidelor elastice [116]. În acest scop a fost folosit un reometru cu tijă rotitoare [117] care consistă dintr-o tijă cu diametrul de 10 mm introdusă într-un container plin cu lichidul testat. Înălțimea H de ridicare a lichidului pe tijă este măsurată cu ajutorul unui microscop montat pe un vernier vertical paralel cu tija iar turatia

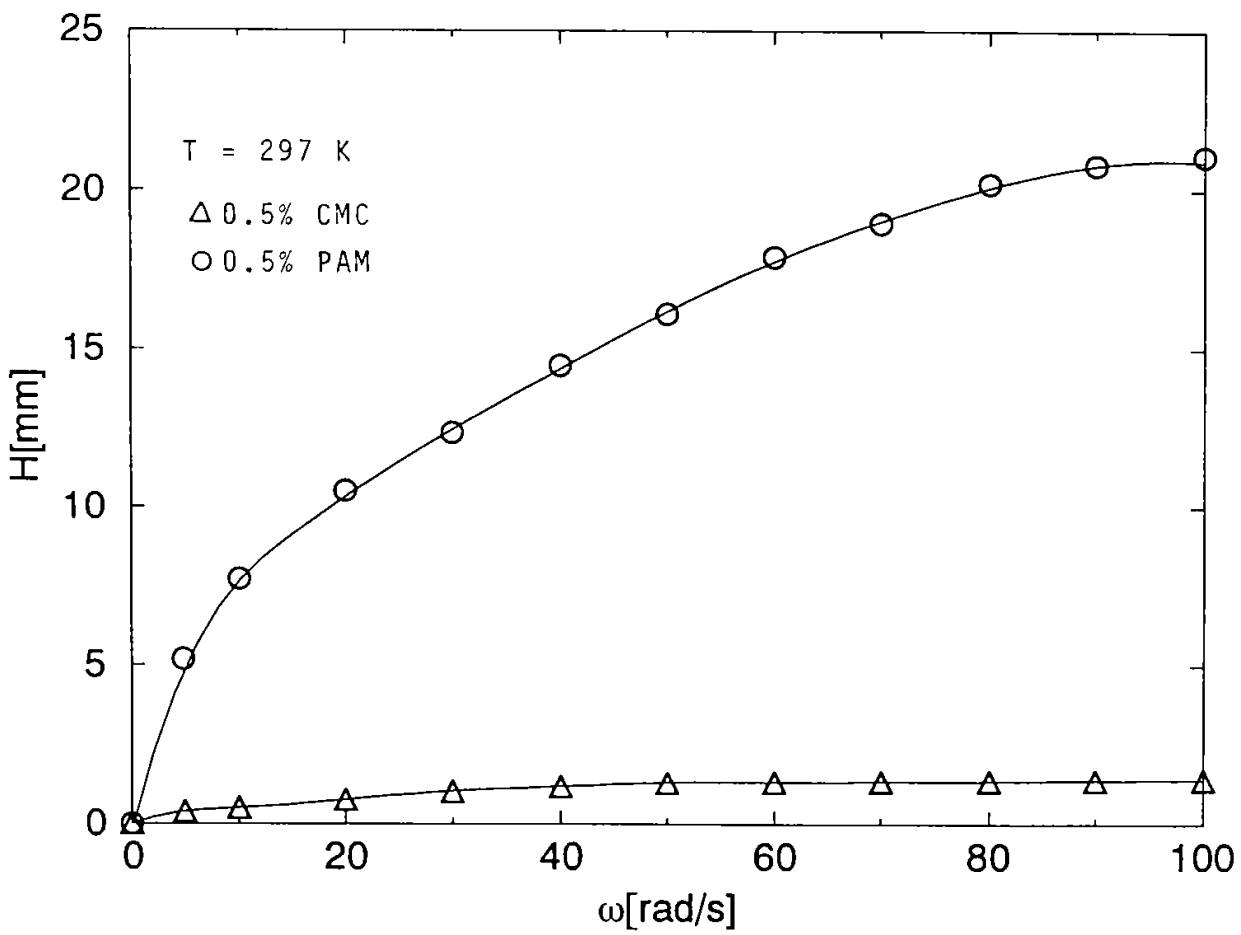
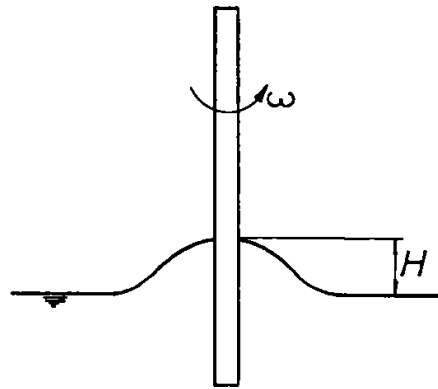


Figura 3.2. Înălțimea de ridicare pe tijă a soluției apoase 0,5% CMC și a soluției apoase 0,5% PAM

motorului cu un traductor Kaman. Figura 3.2 prezintă datele obținute în cazul soluției apoase de 0,5% CMC și, respectiv, 0,5% PAM. În ambele soluții la creșterea vitezei de rotație a tijei (a vitezei de deformare) înălțimea de ridicare pe tijă a lichidului crește. Valorile obținute în cazul soluției de carboximetilceluloză indică numai o componentă vâscoasă spre deosebire de cazul soluției de poliacrilamidă cu o puternică componentă elastică. Un rezultat similar este obținut și de Tsujino s.a. [37]. Mărimea componentei elastice a soluției de poliacrilamidă este, însă, necunoscută.

În cazul sângelui uman datele prezentate de Chmiel și Walitza [107] indică, la viteze de deformare mai mari de 400 s^{-1} , numai o componentă vâscoasă.

3.3. Densitatea soluțiilor

Determinarea densității soluțiilor apoase de polimeri și a apei a fost realizată cu o balanță tip Mohr-Westphal cu vasul de lichid termostatat. Temperatura la care au fost efectuate măsurătorile a fost 24°C . Pentru soluția 0,5% PAM a fost obținută valoarea $\rho_{\infty} = 1002,8 \text{ kg/m}^3$, pentru soluția 0,5% CMC $\rho_{\infty} = 1002 \text{ kg/m}^3$ iar pentru apă $\rho_{\infty} = 999,64 \text{ kg/m}^3$. Valorile reprezintă media a trei măsurători.

Valori ale densității sângelui uman sunt prezentate după Trudnowski și Rico [108], Leake s.a. [118] și Van Slyke s.a. [119] în Tabelul 3.2.

Tabelul 3.2. Densitatea sângelui uman

Autor	Densitatea sângelui (kg/m^3)	Temperatura ($^{\circ}\text{C}$)	Nr. pacienti
Trudnowski și Rico [108]	1051	37	20
Leake s.a. [118]	1056,5		118
Van Slyke s.a. [119]	1059,5	10	20

Temperatura influențează cel mai mult densitatea sângelui în timp ce numărul celulelor roșii contribuie foarte puțin. Variații de până la 345000 asupra numărului de celule roșii modifică valoarea densității sângelui cu numai 0,33% [118]. Deoarece singura valoare obținută la temperatura de 37°C este cea dată de Trudnowski și Rico s-a ales $\rho_{\infty} = 1051 \text{ kg/m}^3$ pentru densitatea sângelui.

3.4. Tensiunea superficială a soluțiilor

Valoarea tensiunii superficiale la interfața lichid-aer pentru soluțiile apoase de polimeri a fost adoptată folosind datele experimentale obținute de Tsujino și Shima [73, 74]. Pentru diferite soluții apoase de poliacrilamidă și carboximetilceluloză în concentrație 0,5% intervalul de variație al tensiunii superficiale este cuprins între 0,065 și 0,075 N/m [72, 73, 74].

Kunzel [108] prezintă pentru tensiunea superficială la interfața sânge-aer valoarea $\sigma = 0,0562 \text{ N/m}$ obținută în cazul a 82 de pacienți. De precizat că această valoare este obținută la $T = 20^{\circ}\text{C}$.

Pentru determinarea tensiunii superficiale a apei s-a folosit relația propusă de Haar s.a. [120]:

$$\sigma = 0,2358 \left(\frac{T_c - T}{T_c} \right)^{1,256} \left[1 - 0,625 \left(\frac{T_c - T}{T_c} \right) \right] \quad (3.9)$$

cu T temperatura apei.

Valorile adoptate pentru tensiunea superficială a soluțiilor sunt prezentate în Tabelul 3.3.

3.5. Viteza sunetului în soluții

Valoarea indicată de Schmidt [113] pentru viteza sunetului în apă la temperatura $T = 24^\circ\text{C}$ și presiunea 1 bar este $c_\infty = 1496$ m/s.

Pentru soluțiile apoase de polimeri în concentrație 0,05% până la 0,3% McComb și Ayyash [101] precizează că viteza sunetului are aceeași valoare cu cea în apă. În aceeași lucrare autorii discută datele experimentale date de Pryor (1954) și Bader și Cerf (1970) indicând că viteza sunetului în soluțiile apoase de polimeri este aproximativ egală cu cea în apă chiar și în cazul în care concentrația soluției este 10%. În consecință, în prezenta lucrare, se adoptă pentru viteza sunetului în ambele soluții de polimeri valoarea vitezei sunetului în apă.

Viteza sunetului în sângele uman este determinată experimental de Bakke s.a. [121] și Heimisch [122]. Bakke s.a. [121] arată că factorul cu cea mai mare influență asupra vitezei sunetului în sânge este conținutul de hematocrit și stabilesc că, la temperatura $T = 37^\circ\text{C}$, dependența celor doi parametri este liniară:

$$c_\infty = 1541,82 + 0,98HCT \quad (3.10)$$

Rezultate similare sunt prezentate și de Heimisch [122].

Tabelul 3.3 prezintă valorile proprietăților fizice, determinate experimental sau adoptate, pentru apă, sânge și soluțiile apoase de 0,5% carboximetilceluloză (CMC) și poliacrilamidă (PAM).

Tabelul 3.3. Proprietățile fizice ale soluțiilor testate

Soluția	η_0 (Ns/m ²)	η_∞ (Ns/m ²)	k (1/s)	n	ρ_∞ (kg/m ³)	σ (N/m)	c_∞ (m/s)	T (°C)	Observatii
apă		$1,01 \times 10^{-3}$			999,64	0,0725	1496	24	
sânge	$1,18 \times 10^{-1}$	$4,2 \times 10^{-3}$	0,115	0,801	1051	0,0562	1586	37	
0,5% CMC	4,4	$6,2 \times 10^{-3}$	0,0395	0,746	1002	0,07	1496	24	
0,5% PAM	8,885	$9,58 \times 10^{-3}$	0,043	0,679	1002,8	0,07	1496	24	elastică

3.6. Concluzii

Caracteristica pseudoplastică a lichidelor testate este pusă în evidență experimental folosind un reometru con-placă Shimadzu. Intervalul de variație al vitezei de deformare este

cuprins între 2×10^{-2} și $3 \times 10^3 \text{ s}^{-1}$. Modelarea viscozității aparente este realizată cu relația reologică Williamson. Avantajul utilizării acestei relații este că pune în evidență explicit valorile viscozității corespunzătoare vitezei de deformare zero și, respectiv, infinit. În plus, existența în literatură a unor rezultate obținute folosind relația Williamson [77] face posibilă comparația cu datele din prezenta lucrare.

O evaluare calitativă a elasticității lichidelor testate este realizată utilizând un reometru cu tijă rotitoare dar valoarea timpului de relaxare precum și variația acestuia cu viteza de deformare a lichidului este necunoscută. Soluția apoasă 0,5% CMC are numai componentă vâscoasă în timp ce soluția apoasă 0,5% PAM are și o componentă elastică.

Aditivarea apei cu mici cantități de polimeri nu modifică valoarea tensiunii superficiale a lichidului, a densității și a vitezei sunetului în lichid. Prezenta aditivilor polimerici modifică substanțial numai viscozitatea lichidului. În comparație cu cazul apei, viscozitatea, densitatea și viteza sunetului în sânge uman au valori mai mari. Valorile sunt cu 5% mai mari pentru densitate și cu 6% pentru viteza sunetului. Valoarea viscozității corespunzătoare vitezei de deformare infinită este însă de 4,2 ori mai mare decât a apei.

4. Dinamica bulei cavitationale sferice în lichide newtoniene cu comportare pseudoplastică

Cea mai cunoscută formulare matematică care descrie oscilația bulei într-un câmp de presiune constant este dată de Rayleigh în 1917 și, ulterior, modificată de Plesset [123]. Această formulare, cunoscută în literatură ca ecuația Rayleigh-Plesset, conține numai efectul viscozității lichidului și al tensiunii superficiale la interfața gaz-lichid și are forma:

$$R\ddot{R} + \frac{3}{2}\dot{R}^2 = \frac{1}{\rho_\infty} [p_B(t) - p_\infty] \quad (4.1)$$

cu R raza instantanee a bulei și p_B presiunea în lichid la peretele bulei. Are, însă, un dezavantaj major deoarece nu include efectul compresibilității lichidului. Deși modelează foarte bine colapsul lent al bulei își pierde valabilitatea în cazul colapsului violent specific fenomenului cavitațional.

Prima formulare matematică care include efectul compresibilității lichidului este dată de Herring [124] sub forma:

$$\left(1 - 2\frac{\dot{R}}{c_\infty}\right)R\ddot{R} + \frac{3}{2}\left(1 - \frac{4}{3}\frac{\dot{R}}{c_\infty}\right)\dot{R}^2 = \frac{1}{\rho_\infty} \left[p_B(t) - p_\infty + \frac{R}{c_\infty} \dot{p}_B(t) \right] \quad (4.2)$$

cu c_∞ și ρ_∞ viteza sunetului și, respectiv, densitatea lichidului la infinit. Ecuația (4.2) a fost obținută, pe diverse căi, și de Trilling [125], Tomita și Shima [126], Rath [127] și Fujikawa și Akamatsu [89].

Gilmore în 1952 [128] propune o ecuație scrisă în termeni de entalpie

$$\left(1 - \frac{\dot{R}}{c}\right)R\ddot{R} + \frac{3}{2}\left(1 - \frac{1}{3}\frac{\dot{R}}{c}\right)\dot{R}^2 = \left(1 + \frac{\dot{R}}{c}\right)H + \left(1 - \frac{\dot{R}}{c}\right)\frac{R}{c}\dot{H} \quad (4.3)$$

cu c viteza sunetului în lichid la peretele bulei și

$$H = \int_{p_\infty}^{p(R)} \frac{dp}{\rho} \quad (4.4)$$

Modelul Gilmore este extins de Cramer [129] prin determinarea distribuției de presiune în lichidul înconjurător bulei.

O ecuație similară cu cea dată de Herring, în sensul că este scrisă în termeni de presiune, a fost obținută de Keller [130, 131]:

$$\left(1 - \frac{\dot{R}}{c_\infty}\right) R \ddot{R} + \frac{3}{2} \left(1 - \frac{1}{3} \frac{\dot{R}}{c_\infty}\right) \dot{R}^2 = \left(1 + \frac{\dot{R}}{c_\infty}\right) \frac{1}{\rho_\infty} [p_B(t) - p_\infty] + \frac{R}{\rho_\infty c_\infty} \dot{p}_B(t) \quad (4.5)$$

iar în 1986 Prosperetti și Lezzi [132] arată că există o familie de ecuații care descriu oscilația bulei în lichide compresibile și care include ecuațiile obținute de Herring și Keller sub forma unor cazuri particulare. Formularea dată de Prosperetti și Lezzi este:

$$\left(1 - (\lambda + 1) \frac{\dot{R}}{c_\infty}\right) R \ddot{R} + \frac{3}{2} \left(1 - \frac{1}{3} (3\lambda + 1) \frac{\dot{R}}{c_\infty}\right) \dot{R}^2 = \left(1 + (1 - \lambda) \frac{\dot{R}}{c_\infty}\right) h_B + \frac{R}{c_\infty} \dot{h}_B \quad (4.6)$$

cu

$$h = \int_{p_\infty}^p \frac{dp}{\rho} \quad (4.7)$$

Pentru $\lambda=0$ în ecuația (4.6) se obține o ecuație de tip Keller și pentru $\lambda=1$ se obține o ecuație de tip Herring.

Ecuațiile (4.1), (4.2), (4.3), (4.5) și (4.6) sunt valabile numai pentru lichide newtoniene. Cu toate că există numeroase formulări referitoare la dinamica bulei cavitationale sferice în lichide nenewtoniene [66, 67, 68, 69, 70, 71, 75, 76, 77, 78] ele sunt obținute în ipoteza incompresibilității lichidului. Nici o formulare matematică care să țină seama de compresibilitatea lichidului nenewtonian nu există în literatură.

Prezenta formulare matematică este stimulată de lucrările lui Prosperetti și Lezzi [132, 133, 134] și este obținută folosind o versiune simplificată a metodei dezvoltărilor asimptotice propusă de Lagerstrom și Carsten [135]. Scopul principal al acestui studiu îl constituie obținerea unui set de ecuații care să descrie comportarea dinamică a bulei cavitationale sferice în lichide nenewtoniene și care să încorporeze într-un mod aproximativ efectul compresibilității lichidului. Setul de ecuații obținut poate fi apoi ușor adaptat pentru modelarea interacțiunii între o undă de soc și bula cavitațională sau pentru studiul comportării dinamice a bulei situată într-un câmp de presiune oscilant. În cursul lucrării va fi arătat că radiația acustică este efectul cel mai important care controlează dinamica bulei cavitationale sferice astfel încât interesul pentru o asemenea formulare este justificat.

4.1. Formularea modelului matematic

Se consideră cazul unei bule cavitationale sferice, cu raza inițială R_0 , situată într-un lichid nenewtonian compresibil extins la infinit.

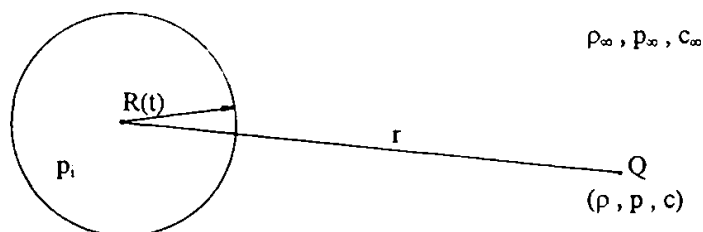


Figura 4.1. Descrierea schematică a modelului bulei. $R(t)$ este raza bulei la timpul t iar p_i este presiunea în interiorul cavității. Într-un punct Q din lichid densitatea este ρ , presiunea este p și viteza sunetului c în timp ce la infinit valorile corespunzătoare sunt ρ_∞ , p_∞ și c_∞ .

La timpul $t = 0$, presiunea în interiorul cavității scade brusc sub valoarea presiunii în lichid p_∞ iar bula începe să-și micșoreze volumul. Intuitiv, evoluția bulei poate fi descrisă astfel. Odată cu micșorarea volumului bulei presiunea în interiorul cavității crește și de la o anumită valoare a acesteia, mult mai mare decât cea a presiunii în lichid la peretele bulei datorită inerției lichidului, bula începe să-și mărească volumul. Creșterea volumului este însoțită de scăderea presiunii în interiorul bulei astfel încât se ajunge la o fază a mișcării similară cu cea din momentul inițial. Datorită, în special, disipării vâscoase și acustice a energiei oscilația bulei este amortizată și după un timp suficient de lung se ajunge la o stare de echilibru caracterizată prin raza de echilibru a bulei. Din cauza simetriei sferice a colapsului sistemul de coordonate sferice cu originea în centrul bulei este folosit. Descrierea schematică a modelului bulei este prezentată în Figura 4.1.

4.1.1. Ipoteze simplificatorii adoptate în elaborarea modelului matematic

Ipotezele simplificatorii adoptate în obținerea modelului matematic care descrie comportarea dinamică a bulei cavitationale în lichide newtoniene sunt: (a) bula își păstrează simetria sferică în timpul evoluției, (b) transferul de căldură prin peretele bulei este neglijabil, (c) efectul vaporilor din interiorul cavității este neglijabil, (d) presiunea gazului necondensabil din interiorul bulei este distribuită spațial uniform, (e) temperatura gazului necondensabil din interiorul bulei este distribuită spațial uniform, (f) difuzia gazului prin peretele bulei este neglijabilă, (g) elasticitatea lichidului se neglijează și (i) influența suspensiilor din lichid se neglijează.

Trei aspecte importante pot cauza distrugerea simetriei sferice a bulei în timpul colapsului, și anume, prezența unei frontiere solide sau lichide în apropierea bulei, interacțiunea între o undă de soc și bula cavitațională și efectul gravitației. În cazul în care bula este situată în apropierea unei frontiere solide viteza peretelui bulei cel mai apropiat de frontiera solidă este mai mică decât cea a peretelui bulei opus și, în final, va determina distrugerea simetriei sferice a colapsului. Shutler și Mesler [136], Tomita și Shima [137] și Vogel s.a. [138] arată că influența frontierei asupra formei bulei este esențială doar dacă distanța între frontiera solidă și centrul bulei, s , este de 5 ori mai mică decât raza bulei în faza expansiunii maxime. O concluzie similară este prezentată de Blake s.a. [139] și Kodama s.a. [140] în ceea ce privește distanța relativă între o suprafață liberă și bula cavitațională. Pe de altă parte, în punctul final al colapsului o undă de soc, care se propagă cu viteza sunetului [126], este radiată în lichid [137, 138]. Dacă o frontieră solidă sau lichidă se află în apropierea bulei, această undă de soc este reflectată de frontieră și interacționează cu bula care a generat unda. În acest caz asimetria colapsului este generată de transferul de moment între unda de soc și peretele bulei primul lovit de undă, care conduce la accelerarea substanțială a acestui perete, și de viteza finită de propagare a undei de soc peste bula cavitațională. După Mader [141] amplitudinea presiunii undei de soc în momentul interacțiunii cu bula cavitațională trebuie să fie mai mare de 30 bari pentru a deforma suprafața bulei. Condiția necesară ca interacțiunea între unda de soc și bulă să fie neglijabilă este ca timpul de colaps al bulei să fie mult mai mic decât timpul necesar undei de soc să parcurgă dublul distanței între bulă și frontiera solidă sau lichidă, t_{BF} :

$$t_c \ll 2t_{BF} = \frac{2s}{c} \quad (4.8)$$

În cazul apei ($c \cong 1500$ m/s și $\rho_\infty = 1000$ kg/m³), pentru $p_\infty = 1$ bar, timpul de colaps al bulei este dat, cu o bună aproximație [142], de relația Rayleigh, $t_c \cong 0,1R_{\max}$. Rezultă că distanța bulă-frontieră, la care interacțiunea undă de soc-bulă este neglijabilă, trebuie să fie de 75 ori mai mare decât raza maximă a bulei, valoare mult mai mare decât cea pusă în evidență anterior ($s > 5R_{\max}$). Însă presiunea undei de soc este atenuată invers proporțional cu distanța în lichid [126, 130] astfel încât, neglijând variația volumului bulei în timpul $2t_{BF}$, în momentul interacțiunii:

$$p(s) \approx \frac{R_{\min}}{2s} p_{\max} \quad (4.9)$$

Aici R_{\min} este raza minimă a bulei (în punctul final al colapsului) și p_{\max} presiunea maximă în lichid la peretele bulei. Folosind rezultatele numerice obținute de Shima și Tomita [126], $R_{\min} \cong 0,05R_{\max}$ și $p_{\max} \cong 1300$ bari, valabile pentru R_{\max} cuprins între 0,01 și 10 mm, rezultă $p(s=5R_{\max}) \cong 6$ bari. Această valoare este inferioară celei obținută de Mader și, deci, distanța între bulă și frontieră mai mare de 5 ori raza maximă a bulei este suficientă pentru păstrarea simetriei sferice a bulei în timpul evoluției. În plus, ipoteza simetriei sferice a colapsului bulei rămâne valabilă numai atunci când forțele de tensiune superficială pe unitatea de suprafață, $2\sigma/R$, sunt mai mari decât neuniformitatea presiunii la peretele bulei care este de ordinul $R|\nabla p|$ cu ∇p gradientul presiunii pe partea lichidă a interfetei. În cazul forțelor hidrostactice $|\nabla p| = \rho g$ și condiția de păstrare a simetriei sferice a colapsului devine:

$$R < \left(\frac{2\sigma}{\rho g} \right)^{1/2} \quad (4.10)$$

care în cazul apei este $R < 3,84$ mm. Un rezultat similar se obține dacă se consideră forțele arhimedice. Dacă w este viteza de translație a bulei atunci $R|\nabla p| \sim \rho w^2$ (pt. fluid ideal) și $w^2 \sim Rg$.

La micșorarea volumului bulei presiunea și temperatura gazului (amestecului de gaze) din interiorul cavității vor crește și, de asemenea, temperatura lichidului din vecinătatea interfetei gaz-lichid, creștere datorată conductiei căldurii prin peretele bulei. Efectul conductiei căldurii prin peretele bulei și al vitezei finite de condensare a vaporilor din interiorul cavității se manifestă prin amortizarea oscilației bulei și câteva rezultate, obținute în ipoteza incompresibilității lichidului, au fost prezentate în paragraful 2.1.3. Ele își păstrează valabilitatea numai dacă viteza sunetului în lichidul în care este situată bula cavitațională este mult mai mare decât viteza peretelui bulei. Compresibilitatea lichidului este inclusă de Fujikawa și Akamatsu [89] care, considerând valoarea coeficientului de acomodare pentru condensare $\alpha_M = 0,04$ (vezi și relația (2.16)), valoare susținută și de Theofanous s.a. [143], obțin următoarele valori ale razei minime a bulei, R_{\min} , presiunii maxime în lichid la peretele bulei, $p_{w \max}$, și temperaturii maxime în lichid la peretele bulei, $T_{L \max}$. Rezultatele sunt comparate cu modelul adiabatic al evoluției gazului necondensabil din cavitate și considerând, în plus, echilibrul termodinamic la peretele bulei.

apă; $R_{\max}=1$ mm; $p_{\infty}=0,7025$ atm; $T_{\infty}=293,15$ K; $p_{g,0}/p_{\infty}=0,01$.

($p_{g,0}$: presiunea inițială a gazului necondensabil din cavitate)

α_M	R_{\min}/R_{\max}	$p_{w \max}/p_{\infty}$	$T_{L \max}/T_{\infty}$
0,04	0,057	1411	1,617
adiabatic	0,059	1470	1

Diferențele ne semnificative obținute între valorile R_{\min}/R_{\max} și $p_{w \max}/p_{\infty}$ demonstrează efectul neglijabil al conductivității căldurii prin pereții bulei și al vitezei finite de condensare a vaporilor din interiorul cavității asupra dinamicii bulei cavitationale. Există, totuși, o creștere cu aproximativ 200°C a temperaturii lichidului la pereții bulei și un rezultat similar este obținut de Kamath s.a. [144] fără a considera contribuția vaporilor ($T_{L \max}/T_{\infty}=1,14$). Timpul de manifestare al maximumului de temperatură este sub $2 \mu\text{s}$ ceea ce reprezintă 1,5% din timpul de colaps al bulei ($120,5 \mu\text{s}$) [89] astfel încât condiția la interfață pentru temperatură poate fi scrisă, cu o bună aproximație, sub forma:

$$T_L = T_{\infty} \quad (4.11)$$

Aceleși concluzii sunt stabilite și prin studiile analitice și numerice ale lui Thefanous s.a. [143], Wang [145], Mitchell și Hammitt [146], Tomita și Shima [147], Plesset și Prosperetti [148] și Prosperetti s.a. [149, 150]. Trebuie precizat că la temperaturi ridicate ale lichidului atât efectul transferului de căldură prin pereții bulei cât și contribuția vaporilor la dinamica bulei cavitationale au o influență majoră. După Tomita și Shima [147] și Plesset și Prosperetti [148] temperatura critică este de 60°C . La temperaturi scăzute ipotezele (b) și (c) își păstrează valabilitatea.

Ipoteza (d) poate fi justificată astfel. Fie ρ_g , p_g , u și τ densitatea, presiunea, viteza radială și efortul de frecare ale gazului din interiorul bulei. Ecuația de conservare a momentului este:

$$\rho_g \left(\frac{\partial u}{\partial t} + u \frac{\partial u}{\partial r} \right) + \frac{\partial p_g}{\partial r} = \nabla \tau \quad (4.12)$$

unde punctul $r = 0$ corespunde centrului bulei. Condiția la limită pentru viteză este:

$$u(r = R, t) = \dot{R} \quad (4.13)$$

Din (4.13) se poate estima $u \sim \dot{R}$ ca ordin de mărime al vitezei gazului. Dacă Δp_g este diferența maximă de presiune în interiorul cavității, echilibrând $\partial p_g / \partial r \sim \Delta p_g / R$ cu $\rho_g u (\partial u / \partial r) \sim \rho_g \dot{R}^2 / R$ se obține:

$$\frac{\Delta p_g}{p_g} \sim \rho_g \frac{\dot{R}^2}{p_g} \quad (4.14)$$

Raportul p_g / ρ_g este de ordinul vitezei sunetului la pătrat și, consecutiv, $\Delta p_g / p_g$ este de ordinul pătratului numărului Mach la pereții bulei, M_B . În mod similar, echilibrând $\partial p_g / \partial r$ cu $\rho_g \partial u / \partial t \sim \rho_g \dot{R} / t_c$, cu t_c timpul de colaps al bulei, se obține:

$$\frac{\Delta p_g}{p_g} \sim \rho_g \frac{R\dot{R}}{p_g t_c} \quad (4.15)$$

Folosind relatia Rayleigh pentru timpul de colaps al bulei, $t_c = R_{\max} \sqrt{\rho_\infty / p_\infty}$, rezultă:

$$\frac{\Delta p_g}{p_g} = k M_B \quad (4.16)$$

unde

$$k = \frac{R}{R_{\max}} \sqrt{\frac{\rho_g p_\infty}{\rho_\infty p_g}} < 1 \quad (4.17)$$

În ceea ce privește efortul de frecare, se poate estima ordinul de mărime sub forma $\nabla \tau \sim \mu_g \dot{R}/R^2$, cu μ_g viscozitatea dinamică a gazului, de unde rezultă că diferența maximă de presiune în interiorul cavității este de ordinul

$$\frac{\Delta p_g}{p_g} \sim \mu_g \frac{\dot{R}}{p_g R} \quad (4.18)$$

care este neglijabilă. Pe baza rezultatelor obținute se poate scrie:

$$\frac{\Delta p_g}{p_g} = O(M_B^2, k M_B) \quad (4.19)$$

și ipoteza distribuției spațiale uniforme a gazului în interiorul bulei este valabilă dacă viteza peretelui bulei este mai mică decât viteza sunetului în gaz. Această limitare este mai puțin stringentă decât ar părea atât timp cât referința se face la valoarea instantanee a vitezei sunetului în gaz care, în apropierea punctului final al colapsului, poate fi de câteva ori mai mare decât cea corespunzătoare condițiilor normale [149]. Analiza precedentă permite înlocuirea ecuației de conservare a momentului (4.12) cu

$$p_g = p_g(t) \quad (4.20)$$

Această ipoteză este susținută și de Prosperetti [150] care obține același rezultat, (4.20), folosind un raționament diferit.

Condiția (4.11) poate fi justificată și cu următorul argument. Fie T și K temperatura și conductivitatea termică a lichidului și T_g și K_g temperatura și conductivitatea termică a gazului din interiorul cavității. Dacă efectul schimbării de fază la interfața gaz-lichid este neimportant conservarea energiei la pereții bulei impune:

$$K_g \frac{\partial T_g}{\partial r} = K \frac{\partial T}{\partial r} \quad (4.21)$$

Gradientii de temperatură pot fi exprimați considerând grosimea stratului termic în gaz, δ_g , și în lichid, δ , prin:

$$\frac{\partial T_g}{\partial r} \sim \frac{T_g - T_l}{\delta_g}, \quad \frac{\partial T}{\partial r} \sim \frac{T_L - T_s}{\delta} \quad (4.22a, b)$$

cu T_g temperatura "centrului" bulei și T_L temperatura la interfața gaz-lichid. Estimând grosimea stratului termic $\delta \sim (D t_c)^{1/2}$, cu D difuzivitatea termică, se obține:

$$\frac{T_L - T_s}{T_g - T_l} \sim \frac{K_g}{K} \sqrt{\frac{D}{D_g}} \quad (4.23)$$

Pentru apă și considerând interiorul bulei ca fiind alcătuit din aer, $K = 1,43 \times 10^{-4}$ kcal/(m s °C), $K_g = 6,11 \times 10^{-6}$ kcal/(m s °C), $D = 1,43 \times 10^{-7}$ m²/s, $D_g = 6,12 \times 10^{-4}$ m²/s [89] astfel încât termenul din partea dreaptă a relației (4.23) este de ordinul 10^{-5} . Acest rezultat arată că cea mai mare parte a căderii de temperatură apare între "centrul" bulei și interfața și că temperatura lichidului la peretele bulei poate fi considerată aproximativ egală cu temperatura lichidului la infinit. Considerațiile precedente motivează importanța efectelor termice în gazul din interiorul bulei. O analiză detaliată a fost realizată de Prosperetti [150, 151] care include în setul de ecuații care descrie comportarea dinamică a bulei și ecuația entalpiei pentru gazul din interiorul cavității, considerat un gaz perfect:

$$\rho_g c_p \frac{dT_g}{dt} - \frac{dp_g}{dt} = \nabla (K_g \nabla T_g) \quad (4.24)$$

cu c_p căldura specifică la presiune constantă. Ecuația (4.24) poate fi rescrisă sub forma:

$$c_p \left[\frac{d}{dt} (\rho_g T_g) - T_g \frac{d\rho_g}{dt} \right] - \frac{dp_g}{dt} = \nabla (K_g \nabla T_g) \quad (4.25)$$

și folosind ecuația de continuitate

$$\frac{d\rho_g}{dt} + \rho_g \nabla u = 0 \quad (4.26)$$

se obține:

$$c_p \left[\frac{d}{dt} (\rho_g T_g) - \rho_g T_g \nabla u \right] - \frac{dp_g}{dt} = \nabla (K_g \nabla T_g) \quad (4.27)$$

unde s-a ținut seama că, pentru un gaz perfect, $c_p \rho_g T_g = \gamma p_g / (\gamma - 1)$. Ecuația (4.25) poate fi scrisă sub forma convenabilă:

$$\frac{1}{\rho_g T_g} \frac{d}{dt} (\rho_g T_g) - \frac{1}{\rho_g} \frac{d\rho_g}{dt} + \frac{1}{\gamma p_g} \frac{dp_g}{dt} - \frac{\gamma - 1}{\gamma p_g} \nabla (K_g \nabla T_g) + \nabla u = 0 \quad (4.28)$$

de unde rezultă, folosind ecuația de stare a gazului perfect, $p_g = \rho_g R_g T_g$, că diferența primilor doi termeni este nulă. Relația (4.28) se poate integra acum exact, dacă $p_g = p_g(t)$, rezultând:

$$u = \frac{1}{\gamma p_g} \left[(\gamma - 1) K_g \frac{\partial T_g}{\partial r} - \frac{r}{3} \frac{dp_g}{dr} \right] \quad (4.29)$$

și folosind condiția la interfață, $u(r = R, t) = \dot{R}$, se obține:

$$\frac{dp_g}{dt} = \frac{3}{R} \left[(\gamma - 1) K_g \frac{\partial T_g}{\partial r} \Big|_{r=R} - \gamma p_g \dot{R} \right] \quad (4.30)$$

Dacă $\left(\frac{\partial T_g}{\partial r} \right)_{r=R} = 0$ se obține $p_g R^{3\gamma} = \text{const.}$ adică evoluția gazului din interiorul bulei este adiabatică. Prosperetti s.a. [149, 150] și Kamath s.a. [144, 152] consideră și conducția căldurii prin pereții bulei și arată că influența efectelor termice în gazul din interiorul bulei este importantă doar în cazul în care bula parcurge multe cicluri de oscilație (de ordinul sutelor), caz specific comportării bulei situată într-un câmp de presiune oscilant. Cauza este difuzia rectificată a căldurii indusă de asimetria între faza de expansiune și cea de colaps a bulei. Când bula se află în faza expansiunii maxime, temperatura gazului este mai mică decât cea a lichidului înconjurător al bulei și transferul căldurii se face de la lichid la gaz. Evoluția bulei la volum minim este mult mai scurtă și, cu toate că acum temperatura gazului este mult mai mare decât cea a lichidului, energia pierdută de gaz prin conducție este mult mai mică decât cea câștigată în timpul expansiunii precedente. Mecanismul este amplificat și de diferența între aria laterală a bulei la volum maxim și minim în sensul că suprafața de schimb de căldură este mai mare în faza expansiunii maxime a bulei. Când bula parcurge sute de cicluri de oscilație temperatura gazului din interiorul bulei crește la fiecare ciclu pe baza mecanismului evidentiat anterior și va devia de la cea corespunzătoare evoluției adiabatică. Pentru un număr foarte mic de cicluri de oscilație ale bulei (5-6 cicluri), caz specific comportării bulei situată într-un câmp de presiune constant, evoluția gazului din interiorul bulei poate fi considerată adiabatică și un rezultat similar este obținut și de Nigmatulin și Khabeev [153]. Numai în acest caz ipoteza (e) își păstrează valabilitatea.

Ipotezele (f) și (g) au fost discutate în paragrafele 2.1.2 și, respectiv, 2.1.5. Atât influența difuziei gazului prin pereții bulei cât și efectul elasticității lichidului asupra comportării bulei sunt neglijabile [84, 92, 93]. Valabilitatea acestor două ipoteze este susținută și de Shulman și Levitskiy [154] care analizează comportarea bulei într-o soluție de 1,46% oxid de polietilenă în apă. Timpul de relaxare al acestei soluții este 4×10^{-3} s iar efectul elasticității lichidului asupra evoluției bulei este semnificativ doar atunci când raza maximă a bulei este mai mică de 0,01 mm. În acest caz, efectul elasticității lichidului se manifestă prin micșorarea timpului de colaps al bulei și prin diminuarea vitezei peretelui bulei în faza finală a colapsului [93].

Se precizează, în plus, că influența suspensiilor din lichid (suspensii solide și lanțuri de macromolecule în cazul soluțiilor de polimeri și hematii în cazul sângelui) asupra

comportării bulei se neglijează. De notat că în faza finală a colapsului, când dimensiunea bulei este de același ordin de mărime cu cea a suspensiilor, această influență poate fi semnificativă. Se manifestă în special prin distrugerea simetriei sferice a colapsului și, consecutiv, prin prelungirea timpului de colaps și reducerea vitezei peretelui bulei. După Bourne și Field [155] această influență este minoră. Ipoteza (i) a fost adoptată pe baza acestei concluzii. Cu toate acestea extinderea concluziei experimentului lui Bourne și Field [155] la prezenta problemă trebuie făcută cu oarecare rezervă atât timp cât autorii investighează colapsul bulei indus prin interacțiunea cu o undă de soc, cu o dinamică diferită de cea a colapsului liber al bulei cavitationale.

4.1.2. Ecuațiile care descriu comportarea dinamică a bulei cavitationale

În ipotezele adoptate mișcarea lichidului este guvernată de următoarele ecuații:

a) continuitate

$$\frac{\partial \rho}{\partial t} + v_r \frac{\partial \rho}{\partial r} + \rho \left(\frac{\partial v_r}{\partial r} + 2 \frac{v_r}{r} \right) = 0 \quad (4.31)$$

b) conservarea momentului

$$\frac{\partial v_r}{\partial t} + v_r \frac{\partial v_r}{\partial r} = -\frac{1}{\rho} \left(\frac{\partial p}{\partial r} + \frac{\partial \tau_{rr}}{\partial r} + \frac{2\tau_{rr} - \tau_{\theta\theta} - \tau_{\varphi\varphi}}{r} \right) \quad (4.32)$$

c) relații constitutive

$$\tau_{rr} = - \left[2\eta \frac{\partial v_r}{\partial r} + \frac{\lambda}{r^2} \frac{\partial}{\partial r} (r^2 v_r) \right] \quad (4.33)$$

$$\tau_{\theta\theta} = \tau_{\varphi\varphi} = - \left[2\eta \frac{v_r}{r} + \frac{\lambda}{r^2} \frac{\partial}{\partial r} (r^2 v_r) \right] \quad (4.34)$$

$$3\lambda + 2\eta = 0 \quad (4.35)$$

d) relația reologică (Williamson [79])

$$\eta = \eta_\infty + \frac{\eta_0 - \eta_\infty}{1 + \left(\frac{\dot{\gamma}}{k} \right)^n} \quad (4.36)$$

e) ecuația de stare

$$\frac{p + B}{p_\infty + B} = \left(\frac{\rho}{\rho_\infty} \right)^m \quad (4.37)$$

în care $v_r(r, t)$ este componenta radială a vitezei lichidului, $p(r, t)$ presiunea în lichid, $\rho(p)$ densitatea lichidului, $\tau_{rr}(r, t)$, $\tau_{\theta\theta}(r, t)$ și $\tau_{\varphi\varphi}(r, t)$ componentele efortului normal datorat viscozității lichidului în direcțiile r , θ și, respectiv, φ , η viscozitatea aparentă a lichidului, $\dot{\gamma}(r, t)$ viteza de deformare și λ al doilea coeficient de viscozitate. Tot aici η_∞ reprezintă viscozitatea corespunzătoare vitezei de deformare infinită, η_0 cea corespunzătoare vitezei de deformare zero, k și n sunt parametrii modelului reologic Williamson, în timp ce, p_∞ și ρ_∞ se referă la valorile presiunii și densității lichidului la infinit.

Pentru completarea formulării matematice se folosește condiția cinematică la interfață:

$$v_r(r = R(t), t) = \frac{dR}{dt} = \dot{R} \quad (4.38)$$

și condiția de echilibru a forțelor la peretele bulei:

$$p_B(t) = p_i(t) - \frac{2\sigma}{R} - (\tau_{rr})_{r=R} \quad (4.39)$$

cu $p_B(t) = p[r = R(t), t]$ presiunea în lichid la peretele bulei, $p_i(t)$ presiunea în interiorul bulei, σ tensiunea superficială la interfața gaz-lichid și \dot{R} viteza peretelui bulei. În sfârșit, la infinit ($r \rightarrow \infty$), $v_r = 0$.

Două considerații asupra acestor ecuații sunt necesare. Relația reologică adoptată pune în evidență valoarea finită a viscozității aparente a lichidului. Foarte multe investigații experimentale pun în evidență acest lucru [115]. Consecutiv, toți termenii din ecuația de conservare a momentului (4.32) vor avea o valoare finită. În contrast, dacă se consideră ca ecuație reologică, de exemplu, legea puterii, $\eta = k\dot{\gamma}^{n-1}$, cu $n < 1$ în cazul lichidelor pseudoplastice, pentru $\dot{\gamma} = 0$ partea dreaptă a relației (4.32) tinde către infinit. Acest rezultat ar face ca unele considerații ulterioare necesare pentru obținerea soluției să fie dificil de formulat. Relația reologică Williamson nu include proprietățile reopexice sau tixotropice ale lichidului. Ținând seama că timpul de colaps al bulei cavitationale este de ordinul microsecundelor iar timpul de manifestare al proprietăților reopexice sau tixotrope este, cel puțin, de ordinul secundelor se poate neglija variația în timp a efortului la viteză de deformare constantă. Pe de altă parte, ecuația de stare este sub formă dată de Tait [132] cu B și m constante. Valorile $B = 3049,13$ bari și $m = 7,15$ modelează foarte precis valorile experimentale obținute în cazul apei pentru presiuni de până la 10^5 bari [89] și vor fi folosite în exemplele numerice ale acestui capitol.

În ipoteza că efectele termice în lichid sunt neimportante, starea lichidului este complet determinată de o singură variabilă termodinamică, care permite introducerea vitezei sunetului în lichid:

$$c^2 = \frac{dp}{d\rho} \quad (4.40)$$

și a entalpiei lichidului:

$$h = \int_{p_\infty}^p dp / \rho \quad (4.41)$$

definită, în acest caz, în raport cu valoarea constantă a presiunii la infinit, p_∞ .

Prin diferentierea relației (4.37) se obține:

$$c^2 = \frac{m(p+B)}{\rho} \quad (4.42)$$

expresia vitezei sunetului la infinit fiind:

$$c_\infty^2 = \frac{m(p_\infty + B)}{\rho_\infty} \quad (4.43)$$

În plus:

$$c^2 = c_\infty^2 \left(\frac{\rho}{\rho_\infty} \right)^{m-1} \quad (4.44)$$

Folosind relația de definiție a entalpiei se obține:

$$h = \frac{c^2 - c_\infty^2}{m-1} \quad (4.45)$$

sau:

$$h = \frac{c_\infty^2}{m-1} \left[\left(\frac{p+B}{p_\infty+B} \right)^{\frac{m-1}{m}} - 1 \right] \quad (4.46)$$

O mișcare pur radială este irrotatională și introducerea potențialului vitezei, Φ , astfel încât $v_r = \frac{\partial \Phi}{\partial r}$ este justificată. Ecuația de continuitate și ecuația de conservare a momentului devin:

$$\frac{\partial \rho}{\partial t} + \frac{\partial \Phi}{\partial r} \frac{\partial \rho}{\partial r} + \rho \left(\frac{\partial^2 \Phi}{\partial r^2} + \frac{2}{r} \frac{\partial \Phi}{\partial r} \right) = 0 \quad (4.47)$$

$$\frac{\partial \Phi}{\partial t} + \frac{1}{2} \left(\frac{\partial \Phi}{\partial r} \right)^2 + h = -\frac{4}{3} \int_r^\infty \frac{1}{\rho} \frac{\partial}{\partial r} \left[\eta r \frac{\partial}{\partial r} \left(\frac{1}{r} \frac{\partial \Phi}{\partial r} \right) \right] dr - 4 \int_r^\infty \frac{\eta}{\rho} \frac{\partial}{\partial r} \left(\frac{1}{r} \frac{\partial \Phi}{\partial r} \right) dr \quad (4.48)$$

Ultima relație a fost obținută integrând, după înlocuirea $v_r = \frac{\partial \Phi}{\partial r}$, relația (4.32) de la $r = r$ la $r = \infty$ și folosind condiția $v_r(r \rightarrow \infty) = 0$.

Din punctul de vedere al formulării matematice ulterioare este convenabilă eliminarea densității din ecuația de continuitate. Aceasta se poate face folosind relațiile (4.45) și (4.48) pentru a obține:

$$\frac{c^2}{\rho} \frac{\partial \rho}{\partial t} = \frac{\partial h}{\partial t} \quad , \quad \frac{c^2}{\rho} \frac{\partial \rho}{\partial r} = \frac{\partial h}{\partial r} \quad (4.49a, b)$$

si care înlocuite în (4.47) rezultă:

$$\nabla^2 \Phi + \frac{1}{c^2} \left(\frac{\partial h}{\partial t} + \frac{\partial \Phi}{\partial r} \frac{\partial h}{\partial r} \right) = 0 \quad (4.50)$$

Sumarizând, ecuațiile care descriu comportarea dinamică a bulei cavitationale sferice situată într-un lichid nenuetonian pseudoplastic compresibil sunt:

$$\nabla^2 \Phi + \frac{1}{c^2} \left(\frac{\partial h}{\partial t} + \frac{\partial \Phi}{\partial r} \frac{\partial h}{\partial r} \right) = 0 \quad (4.51)$$

$$\frac{\partial \Phi}{\partial t} + \frac{1}{2} \left(\frac{\partial \Phi}{\partial r} \right)^2 + h = -\frac{4}{3} \int_r^{\infty} \frac{1}{\rho} \frac{\partial}{\partial r} \left[\eta r \frac{\partial}{\partial r} \left(\frac{1}{r} \frac{\partial \Phi}{\partial r} \right) \right] dr - 4 \int_r^{\infty} \frac{\eta}{\rho} \frac{\partial}{\partial r} \left(\frac{1}{r} \frac{\partial \Phi}{\partial r} \right) dr \quad (4.52)$$

cu η dat de relatia (4.36) si c de relatia (4.42), iar condițiile la limită, la peretele bulei ($r = R$), vor fi:

condiția cinematică:

$$\frac{\partial \Phi}{\partial r} = \dot{R} \quad (4.53)$$

condiția dinamică:

$$h = h_B \quad (4.54)$$

unde:

$$h_B = \frac{c_{\infty}^2}{m-1} \left[\left(\frac{p_B + B}{p_{\infty} + B} \right)^{\frac{m-1}{m}} - 1 \right] \quad (4.55)$$

cu p_B dat de relatia (4.39).

4.1.3. Forme particulare ale ecuațiilor de miscare

Folosind dezvoltările în serie Taylor si relatia (4.40) se poate scrie:

$$\begin{aligned}
h &= h_x + \left(\frac{dh}{dp} \right)_x dp = \left(\frac{d}{dp} \int_{p_x}^p \frac{dp}{\rho} \right)_x dp = \int_{p_x}^p \left(\frac{1}{\rho} \frac{d}{dp} dp - \frac{1}{\rho^2} dp \frac{d\rho}{dp} \right)_x dp = \\
&= \int_{p_x}^p \frac{dp}{\rho_x} - \int_{p_x}^p \frac{p - p_x}{\rho_x^2 c_x^2} dp = \frac{p - p_x}{\rho_x} - \frac{(p - p_x)^2}{2 \rho_x^2 c_x^2}
\end{aligned}$$

sau:

$$h = \frac{p - p_x}{\rho_x} \left(1 - \frac{p - p_x}{2 \rho_x c_x^2} \right) \quad (4.56)$$

si similar:

$$\frac{1}{\rho} = \frac{1}{\rho_x} \left(1 - \frac{p - p_x}{\rho_x c_x^2} \right) \quad (4.57)$$

$$\frac{1}{c^2} = \frac{1}{c_x^2} \left(1 - \frac{B}{A} \frac{p - p_x}{\rho_x c_x^2} \right) \quad (4.58)$$

cu $B/A = 2 \rho_x c_x (dc/dp)_x$ parametrul neliniar acustic standard.

Prin înlocuirea relatiilor (4.56), (4.57) si (4.58) în relatiile (4.51) si (4.52) ecuatia de continuitate devine:

$$\nabla^2 \Phi + \frac{1}{\rho_x c_x^2} \left(\frac{\partial p}{\partial t} + \frac{\partial \Phi}{\partial r} \frac{\partial p}{\partial r} \right) \left[1 - \left(1 + \frac{B}{A} \right) \frac{p - p_x}{\rho_x c_x^2} \right] = 0 \quad (4.59)$$

iar ecuatia de miscare este:

$$\begin{aligned}
&\frac{\partial \Phi}{\partial t} + \frac{1}{2} \left(\frac{\partial \Phi}{\partial r} \right)^2 + \frac{p - p_x}{\rho_x} \left(1 - \frac{p - p_x}{2 \rho_x c_x^2} \right) = \\
&= -\frac{4}{3 \rho_x} \int_r^\infty \left(1 - \frac{p - p_x}{\rho_x c_x^2} \right) \frac{\partial}{\partial r} \left[\eta r \frac{\partial}{\partial r} \left(\frac{1}{r} \frac{\partial \Phi}{\partial r} \right) \right] dr - \frac{4}{\rho_x} \int_r^\infty \eta \left(1 - \frac{p - p_x}{\rho_x c_x^2} \right) \frac{\partial}{\partial r} \left(\frac{1}{r} \frac{\partial \Phi}{\partial r} \right) dr
\end{aligned} \quad (4.60)$$

În relatiile (4.59) si (4.60) dacă $c_x \rightarrow \infty$ se obtine formularea pentru cazul lichidului incompresibil:

$$\nabla^2 \Phi = 0 \quad (4.61)$$

$$\frac{\partial \Phi}{\partial t} + \frac{1}{2} \left(\frac{\partial \Phi}{\partial r} \right)^2 + \frac{p - p_\infty}{\rho_\infty} = -\frac{4}{3\rho_\infty} \int_r^\infty \frac{\partial}{\partial r} \left[\eta r \frac{\partial}{\partial r} \left(\frac{1}{r} \frac{\partial \Phi}{\partial r} \right) \right] dr - \frac{4}{\rho_\infty} \int_r^\infty \eta \frac{\partial}{\partial r} \left(\frac{1}{r} \frac{\partial \Phi}{\partial r} \right) dr \quad (4.62)$$

Dacă, în plus, $\eta = \text{ct} \neq 0$, se obține formularea pentru cazul lichidului incompresibil newtonian:

$$\nabla^2 \Phi = 0 \quad (4.63)$$

$$\frac{\partial \Phi}{\partial t} + \frac{1}{2} \left(\frac{\partial \Phi}{\partial r} \right)^2 + \frac{p - p_\infty}{\rho_\infty} = \frac{4\eta}{\rho_\infty} \left[\frac{1}{r} \frac{\partial \Phi}{\partial r} + \frac{r}{3} \frac{\partial}{\partial r} \left(\frac{1}{r} \frac{\partial \Phi}{\partial r} \right) \right] \quad (4.64)$$

iar dacă $\eta = 0$ se obține formularea pentru cazul lichidului ideal incompresibil:

$$\nabla^2 \Phi = 0 \quad (4.65)$$

$$\frac{\partial \Phi}{\partial t} + \frac{1}{2} \left(\frac{\partial \Phi}{\partial r} \right)^2 + \frac{p - p_\infty}{\rho_\infty} = 0 \quad (4.66)$$

Relatiile (4.64) și (4.66) sunt echivalente pentru că folosind ecuația de continuitate partea dreaptă a relației (4.64) este nulă. Justificarea acestui rezultat se poate face plecând de la ecuația de conservare a momentului pentru lichid incompresibil:

$$\frac{\partial v_r}{\partial t} + v_r \frac{\partial v_r}{\partial r} = -\frac{1}{\rho} \frac{\partial p}{\partial r} - \frac{1}{\rho} \left(\frac{\partial \tau_{rr}}{\partial r} + \frac{3}{r} \tau_{rr} \right) \quad (4.67)$$

cu $\tau_{rr} = -2\eta \frac{\partial v_r}{\partial r}$. Relația (4.67) este obținută din (4.32) ținând seama că pentru lichid incompresibil suma eforturilor unitare normale datorate viscozității este nulă, $\tau_{rr} + \tau_{\theta\theta} + \tau_{\varphi\varphi} = 0$. Viteza radială a lichidului, v_r , se obține din ecuația de continuitate, folosind condiția la interfață (la $r = R$, $v_r = \dot{R}$), sub forma:

$$v_r = \frac{R^2}{r^2} \dot{R} \quad (4.68)$$

și imediat rezultă în cazul unui lichid newtonian:

$$\tau_{rr} = \frac{f(t)}{r^3} \quad (4.69)$$

unde $f(t)$ este o funcție numai de timp. Relația (4.67) se poate pune sub forma:

$$\frac{\partial v_r}{\partial t} + v_r \frac{\partial v_r}{\partial r} = -\frac{1}{\rho} \frac{\partial p}{\partial r} - \frac{r^3}{\rho} \frac{\partial}{\partial r} (\tau_{rr} r^3) \quad (4.70)$$

adică în cazul unui lichid newtonian incompresibil, la fiecare moment de timp, efortul unitar normal τ_{rr} variază invers proporțional cu cubul distanței r și, consecutiv, influența viscozității în ecuația de mișcare este nulă. În cazul unui lichid nenewtonian incompresibil viscozitatea este funcție de viteza de deformare $\partial v_r / \partial r$, și relația (4.69) își pierde valabilitatea. Variația în raport cu raza a produsului $r^3 \tau_{rr}$ nu este nulă și ecuația (4.64) va conține și viscozitatea lichidului.

Formulările incompresibile diferă de cea dată de relațiile (4.59) și (4.60) pentru că neglijează două efecte fizice importante: viteza finită de propagare a oricărei unde de presiune și energia de comprimare înmagazinată în lichid ca urmare a modificării volumului specific (termenul $(p - p_0) / \rho_0 c_s^2$). Influența ambelor efecte este minoră în apropierea peretelui bulei deoarece, pe de o parte, timpul de propagare al oricărei unde de presiune, $t_{up}^{R_0} = R_0 / c_s$, este mult mai mic decât timpul de colaps al bulei, $t_c \cong R_0 \times (\rho_0 / p_0)^{1/2}$:

$$\frac{t_{up}^{R_0}}{t_c} \cong \frac{\sqrt{p_0 / \rho_0}}{c_s} \ll 1 \quad (4.71)$$

și, pe de altă parte, în această zonă valoarea termenului $(p - p_0) / \rho_0 c_s^2$ este relativ mică. În aceste condiții este de așteptat ca formularea incompresibilă să fie valabilă în apropierea peretelui bulei, adică pentru:

$$r \sim R_0 \quad (4.72)$$

Departă de bulă, viteza finită de propagare a sunetului este esențială. Timpul de propagare al unei unde de presiune până la distanța r este:

$$t_{up}^r = \frac{r}{c_s}, \quad r > R_0 \quad (4.73)$$

Distanța r la care viteza finită de propagare a sunetului este importantă se obține din condiția:

$$t_{up}^r \sim t_c \quad (4.74)$$

de unde rezultă:

$$r \sim c_s t_c \quad (4.75)$$

În această zonă atât viteza lichidului cât și presiunea au valori neglijabile astfel încât relațiile (4.59) și (4.60) pot fi scrise sub forma:

$$\nabla^2 \Phi + \frac{1}{\rho_s c_s^2} \frac{\partial p}{\partial t} = 0 \quad (4.76)$$

$$\frac{\partial \Phi}{\partial t} + \frac{p - p_s}{\rho_s} = 0 \quad (4.77)$$

Variația în timp nu a fost neglijată pentru că în apropierea punctului final al colapsului este semnificativă.

Raportul relațiilor (4.72) și (4.75)

$$\varepsilon = \frac{R_0}{c_s t_c} = \frac{\sqrt{\rho_r / \rho_s}}{c_s} \quad (4.78)$$

este mult mai mic decât unitatea astfel încât existența a două zone în lichid “aproape de bulă” pentru $r \sim R_0$ și “departe de bulă” pentru $r \sim c_s t_c$, este clar pusă în evidență. Cele două zone determină ordinul de mărime al distanței r la care efectul vitezei finite (mai degrabă decât infinită) a sunetului este semnificativ.

4.1.4. Formularea adimensională

Se aleg ca mărimi caracteristice raza inițială a bulei, R_0 , pentru lungimi și $U = (p_r / \rho_s)^{1/2}$ pentru viteze cu excepția vitezei sunetului în lichid pentru care se alege valoarea corespunzătoare condițiilor la infinit, c_s . Cu ajutorul acestora variabilele adimensionale sunt definite de relațiile:

$$\begin{aligned} r &= R_0 r_* & R &= R_0 R_* & t &= \frac{R_0}{U} t_* & , & \quad \rho &= \rho_r \rho_* \\ \Phi &= R_0 U \Phi_* & h &= U^2 h_* & c &= c_s c_* & \quad \eta &= R_0 \rho_r U \eta_* \end{aligned} \quad (4.79)$$

În definiția lui Φ , s-a ales $R_0 U$ ca mărime de scară în conformitate cu relația $v_r = \partial \Phi / \partial r$. Relația $t = (R_0 / U) t_*$ stipulează că bula își modifică dimensiunea cu ordinul de mărime R_0 în

timpul $t = R_0/U$ și este corectă în situațiile în care câmpul de viteze în lichid este influențat în principal de mișcarea peretelui bulei [126, 133]. Folosind R_0/U drept mărime caracteristică pentru timp relația $h = U^2 h_*$ este fără consecință fiind dictată de (4.48).

În funcție de variabilele adimensionale ecuațiile (4.51), (4.52), (4.53) și (4.54) devin:

ecuația de continuitate:

$$\nabla_*^2 \Phi_* + \frac{\varepsilon^2}{c_*^2} \left(\frac{\partial h_*}{\partial t} + \frac{\partial \Phi_*}{\partial r} \frac{\partial h_*}{\partial r} \right) = 0 \quad (4.80)$$

ecuația de mișcare:

$$\begin{aligned} \frac{\partial \Phi_*}{\partial t_*} + \frac{1}{2} \left(\frac{\partial \Phi_*}{\partial r_*} \right)^2 + h_* = \\ = -\frac{4}{3} \int_{r_*}^{\infty} \frac{1}{\rho_*} \frac{\partial}{\partial r_*} \left[\eta_* r_* \frac{\partial}{\partial r_*} \left(\frac{1}{r_*} \frac{\partial \Phi_*}{\partial r_*} \right) \right] dr_* - 4 \int_{r_*}^{\infty} \frac{\eta_*}{\rho_*} \frac{\partial}{\partial r_*} \left(\frac{1}{r_*} \frac{\partial \Phi_*}{\partial r_*} \right) dr_* \end{aligned} \quad (4.81)$$

condițiile la limită la peretele bulei ($r_* = R_*$):

condiția cinematică:

$$\frac{\partial \Phi_*}{\partial r_*} = R_*'(t_*) \quad (4.82)$$

condiția dinamică:

$$h_* = h_{*B} \quad (4.83)$$

viteza sunetului în lichid:

$$c_*^2 = 1 + \varepsilon^2 (m-1) h_* \quad (4.84)$$

Cu c_* dat de relația (4.84) și h_* din relația (4.81) ecuația (4.80) se poate scrie sub forma:

$$\begin{aligned}
\nabla^2 \Phi_* = \varepsilon^2 & \left\{ \frac{\partial^2 \Phi_*}{\partial t_*^2} + 2 \frac{\partial \Phi_*}{\partial r_*} \frac{\partial^2 \Phi_*}{\partial t_* \partial r_*} + \left(\frac{\partial \Phi_*}{\partial r_*} \right)^2 \frac{\partial^2 \Phi_*}{\partial r_*^2} + \right. \\
& + 4 \frac{\partial}{\partial t_*} \left\{ \frac{1}{3} \int_{r_*}^{\infty} \frac{1}{\rho_*} \frac{\partial}{\partial r_*} \left[\eta_* r_* \frac{\partial}{\partial r_*} \left(\frac{1}{r_*} \frac{\partial \Phi_*}{\partial r_*} \right) \right] dr_* + \int_{r_*}^{\infty} \frac{\eta_*}{\rho_*} \frac{\partial}{\partial r_*} \left(\frac{1}{r_*} \frac{\partial \Phi_*}{\partial r_*} \right) dr_* \right\} + \\
& + 4 \frac{\partial}{\partial r_*} \left\{ \frac{1}{3} \int_{r_*}^{\infty} \frac{1}{\rho_*} \frac{\partial}{\partial r_*} \left[\eta_* r_* \frac{\partial}{\partial r_*} \left(\frac{1}{r_*} \frac{\partial \Phi_*}{\partial r_*} \right) \right] dr_* + \int_{r_*}^{\infty} \frac{\eta_*}{\rho_*} \frac{\partial}{\partial r_*} \left(\frac{1}{r_*} \frac{\partial \Phi_*}{\partial r_*} \right) dr_* \right\} + \quad (4.85) \\
& + (m-1) \left\{ \frac{\partial \Phi_*}{\partial t_*} + \frac{1}{2} \left(\frac{\partial \Phi_*}{\partial r_*} \right)^2 + \frac{4}{3} \int_{r_*}^{\infty} \frac{1}{\rho_*} \frac{\partial}{\partial r_*} \left[\eta_* r_* \frac{\partial}{\partial r_*} \left(\frac{1}{r_*} \frac{\partial \Phi_*}{\partial r_*} \right) \right] dr_* + \right. \\
& \left. + 4 \int_{r_*}^{\infty} \frac{\eta_*}{\rho_*} \frac{\partial}{\partial r_*} \left(\frac{1}{r_*} \frac{\partial \Phi_*}{\partial r_*} \right) dr_* \right\} \nabla^2 \Phi_* \}
\end{aligned}$$

Funcția Φ_* poate fi obținută rezolvând (4.85) cu condiția la limită (4.82) și apoi relația (4.81) pentru a calcula h . Datorită operatorilor diferențiali ce acționează asupra lui Φ_* în (4.81), o soluție pentru Φ_* precisă până la un anumit ordin în ε nu implică neapărat aceeași precizie pentru h . [156]. Pentru a înlătura această dificultate în obținerea soluției se aplică metoda dezvoltărilor asimptotice considerând simultan ecuațiile (4.81) și (4.85).

4.2. Strategia soluției

Prezența a două scări spațiale diferite, $r \sim R_0$ și $r \sim c_r (\rho_r / \rho_r)^{-1/2} R_0$, sugerează aplicarea metodei dezvoltărilor asimptotice prezentei probleme.

4.2.1. Metoda dezvoltărilor asimptotice

Aspectul cel mai important al metodei dezvoltărilor asimptotice este că permite o apreciere clară al ordinului de mărime al termenilor care apar în ecuațiile care descriu comportarea dinamică a bulei în diferite regiuni ale lichidului. Acest rezultat se obține introducând în ecuațiile de mișcare variabila de scară [135]:

$$r_\beta = \beta(\varepsilon) r_* \quad (4.86)$$

Diferite ordine de mărime ale funcției $\beta(\varepsilon)$ generează diferite forme limită ale ecuațiilor când $\varepsilon \rightarrow 0$. Fiecare formă limită a ecuațiilor este valabilă într-o regiune a lichidului precizată prin funcția $\beta(\varepsilon)$. Unele din aceste forme limită conțin alte forme limită în timp ce ele nu sunt continuate în nici o altă formă limită. Aceste forme limită, “cele mai complete”, sunt numite ecuații distincte și ele sunt ecuațiile a căror soluție este determinată.

Numai comportarea asimptotică a funcției $\beta(\varepsilon)$ când $\varepsilon \rightarrow 0$ este semnificativă în această metodă. Toate funcțiile β pentru care

$$\lim_{\varepsilon \rightarrow 0} \frac{\beta}{\bar{\beta}} = 1 \quad (4.87)$$

vor fi indicate prin ord $\bar{\beta}$ care precizează ordinul de mărime al funcției β . O ordonare a funcțiilor β după ordinul de mărime este stabilită prin:

$$\text{ord}\beta_1 < \text{ord}\beta_2 \quad (4.88)$$

dacă

$$\lim_{\varepsilon \rightarrow 0} \frac{\beta_1}{\beta_2} = 0 \quad (4.89)$$

oricare ar fi funcțiile β_1 și β_2 .

Prin introducerea variabilei $r_\beta = \beta(\varepsilon)r$, în (4.85) și (4.81) se obține:

$$\begin{aligned} & \beta^2 \left\{ 1 - \varepsilon^2(m-1) \left\{ \frac{\partial^2 \Phi_*}{\partial t_*^2} + \frac{1}{2} \beta^2 \left(\frac{\partial \Phi_*}{\partial r_\beta} \right)^2 + 4\beta^4 \left\{ \frac{1}{3} \int_{r_\beta}^{\infty} \frac{1}{\rho_*} \frac{\partial}{\partial r_\beta} \left[\eta_* r_\beta \frac{\partial}{\partial r_\beta} \left(\frac{1}{r_\beta} \frac{\partial \Phi_*}{\partial r_\beta} \right) \right] dr_\beta + \right. \right. \right. \\ & \quad \left. \left. \left. + \int_{r_\beta}^{\infty} \frac{\eta_*}{\rho_*} \frac{\partial}{\partial r_\beta} \left(\frac{1}{r_\beta} \frac{\partial \Phi_*}{\partial r_\beta} \right) dr_\beta \right\} \nabla_\beta^2 \Phi_* \right\} \nabla_\beta^2 \Phi_* = \\ & = \varepsilon^2 \left\{ \frac{\partial^2 \Phi_*}{\partial t_*^2} + 2\beta^2 \frac{\partial \Phi_*}{\partial r_\beta} \frac{\partial^2 \Phi_*}{\partial t_* \partial r_\beta} + \beta^4 \left\{ \left(\frac{\partial \Phi_*}{\partial r_\beta} \right)^2 \frac{\partial^2 \Phi_*}{\partial r_\beta^2} + \right. \right. \\ & \quad \left. \left. + 4 \frac{\partial}{\partial t_*} \left\{ \frac{1}{3} \int_{r_\beta}^{\infty} \frac{1}{\rho_*} \frac{\partial}{\partial r_\beta} \left[\eta_* r_\beta \frac{\partial}{\partial r_\beta} \left(\frac{1}{r_\beta} \frac{\partial \Phi_*}{\partial r_\beta} \right) \right] dr_\beta + \int_{r_\beta}^{\infty} \frac{\eta_*}{\rho_*} \frac{\partial}{\partial r_\beta} \left(\frac{1}{r_\beta} \frac{\partial \Phi_*}{\partial r_\beta} \right) dr_\beta \right\} \right\} + \\ & \quad \left. + 4\beta^4 \frac{\partial}{\partial r_\beta} \left\{ \frac{1}{3} \int_{r_\beta}^{\infty} \frac{1}{\rho_*} \frac{\partial}{\partial r_\beta} \left[\eta_* r_\beta \frac{\partial}{\partial r_\beta} \left(\frac{1}{r_\beta} \frac{\partial \Phi_*}{\partial r_\beta} \right) \right] dr_\beta + \int_{r_\beta}^{\infty} \frac{\eta_*}{\rho_*} \frac{\partial}{\partial r_\beta} \left(\frac{1}{r_\beta} \frac{\partial \Phi_*}{\partial r_\beta} \right) dr_\beta \right\} \right\} \end{aligned} \quad (4.90)$$

și

$$\begin{aligned} & \frac{\partial \Phi_*}{\partial t_*} + \frac{1}{2} \beta^2 \left(\frac{\partial \Phi_*}{\partial r_\beta} \right)^2 + h_* = \\ & = -4\beta^4 \left\{ \frac{1}{3} \int_{r_\beta}^{\infty} \frac{1}{\rho_*} \frac{\partial}{\partial r_\beta} \left[\eta_* r_\beta \frac{\partial}{\partial r_\beta} \left(\frac{1}{r_\beta} \frac{\partial \Phi_*}{\partial r_\beta} \right) \right] dr_\beta + \int_{r_\beta}^{\infty} \frac{\eta_*}{\rho_*} \frac{\partial}{\partial r_\beta} \left(\frac{1}{r_\beta} \frac{\partial \Phi_*}{\partial r_\beta} \right) dr_\beta \right\} \end{aligned} \quad (4.91)$$

Formele limită ale acestor ecuatii când $\varepsilon \rightarrow 0$ pentru diferite ordine de mărime ale funcției β sunt:

a) ord $\beta = \text{ord } 1$

$$\nabla_{\beta}^2 \Phi_* = 0$$

$$\frac{\partial \Phi_*}{\partial t_*} + \frac{1}{2} \left(\frac{\partial \Phi_*}{\partial r_{\beta}} \right)^2 + h_* = \quad (4.92a, b)$$

$$4 \left\{ \frac{1}{3} \int_{r_{\beta}}^{\infty} \frac{\partial}{\partial r_{\beta}} \left[\eta_* r_* \frac{\partial}{\partial r_{\beta}} \left(\frac{1}{r_{\beta}} \frac{\partial \Phi_*}{\partial r_{\beta}} \right) \right] dr_{\beta} + \int_{r_{\beta}}^{\infty} \eta_* \frac{\partial}{\partial r_{\beta}} \left(\frac{1}{r_{\beta}} \frac{\partial \Phi_*}{\partial r_{\beta}} \right) dr_{\beta} \right\}$$

b) ord $\beta = \text{ord } \varepsilon$

$$\nabla_{\beta}^2 \Phi_* - \frac{\partial^2 \Phi_*}{\partial t_*^2} = 0 \quad , \quad \frac{\partial \Phi_*}{\partial t_*} + h_* = 0 \quad (4.93a, b)$$

c) ord $\varepsilon < \text{ord } \beta < \text{ord } 1$

$$\nabla_{\beta}^2 \Phi_* = 0 \quad , \quad \frac{\partial \Phi_*}{\partial t_*} + h_* = 0 \quad (4.94a, b)$$

d) ord $\varepsilon > \text{ord } \beta$

$$\frac{\partial^2 \Phi_*}{\partial t_*^2} = 0 \quad , \quad \frac{\partial \Phi_*}{\partial t_*} + h_* = 0 \quad (4.95a, b)$$

În ecuatia (4.92b) s-a folosit $\rho_* = 1$ în conformitate cu relatia (4.57) care sub formă adimensională se scrie $1/\rho_* = 1 - \varepsilon^2 h_*$. Introducând $\rho_* = 1$ în (4.90) și (4.91) se introduce o eroare de ordinul ε^2 în ecuatii și rezultatele își vor păstra valabilitatea numai în cazul în care soluția sistemului (4.90) și (4.91) se determină la ordinul zero și unu în ε .

Forma limită (4.94) este conținută în (4.92) astfel încât se poate exprima că domeniul de valabilitate al formei limită (4.92) este:

$$D_i = \{ \beta \mid \text{ord } \varepsilon < \text{ord } \beta \leq \text{ord } 1 \} \quad (4.96)$$

Formele limită (4.94) și (4.95) sunt conținute în (4.93) și domeniul de valabilitate pentru (4.93) este:

$$D_e = \{ \beta \mid \text{ord } \beta < \text{ord } 1 \} \quad (4.97)$$

Ecuatiile (4.92) sunt identice cu formularea incompresibilă (4.61; 4.62), valabilă în zona “aproape de bulă” adică pentru $r \sim R_0$. În această zonă variabila spațială este $r_\beta = r$, dată de ordinul de mărime al funcției β care le-a generat. Ecuatiile (4.93) sunt identice cu formularea (4.76; 4.77) valabilă în zona “departe de bulă” adică pentru $r \sim c_\infty t_c$. Ecuatiile (4.93) au fost generate când $\text{ord } \beta = \text{ord } \varepsilon$ astfel încât variabila spațială în această zonă este $r_\beta = \tilde{r} = \varepsilon r$.

Domeniile (4.96) și (4.97) au o parte comună:

$$D = \{ \beta \mid \text{ord } \varepsilon < \text{ord } \beta < \text{ord } 1 \} \quad (4.98)$$

Deoarece în acest domeniu ambele sisteme (4.92) și (4.93) se reduc la (4.94) și soluțiile lor trebuie să se reducă la soluția sistemului (4.94). În acest mod, sistemului (4.92), deși valabil în apropierea peretelui bulei, îi va fi furnizat o condiție la limită la infinit iar sistemului (4.93) o condiție la limită la peretele bulei.

Soluția sistemelor (4.92) și (4.93) este căutată sub forma seriilor de puteri în ε astfel:

în zona “aproape de bulă” ($r_\beta = r$):

$$\Phi_* = \Phi_0 + \varepsilon \Phi_1 + \dots, \quad h_* = h_0 + \varepsilon h_1 + \dots \quad (4.99)$$

în zona “departe de bulă” ($r_\beta = \tilde{r} = \varepsilon r$):

$$\Phi_* = \tilde{\Phi}_0 + \varepsilon \tilde{\Phi}_1 + \dots, \quad H_* = H_0 + \varepsilon H_1 + \dots \quad (4.100)$$

4.2.2. Soluția la ordinul zero (modelul incompresibil)

Ecuatiile (4.92) se rescriu sub forma:

$$\nabla_*^2 \Phi_0 = 0$$

$$\frac{\partial^2 \Phi_0}{\partial t_*^2} + \frac{1}{2} \left(\frac{\partial \Phi_0}{\partial r_*} \right)^2 + h_0 = \quad (4.101a, b)$$

$$= \frac{4}{3} \left[\eta_* r_* \frac{\partial}{\partial r_*} \left(\frac{1}{r_*} \frac{\partial \Phi_0}{\partial r_*} \right) \right] - 4 \int_{r_*}^{\infty} \eta_* \frac{\partial}{\partial r_*} \left(\frac{1}{r_*} \frac{\partial \Phi_0}{\partial r_*} \right) dr_*$$

unde η_* este forma adimensională a relației (4.36).

Forma limită (4.92) este singura care include viscozitatea lichidului. În relația (4.36) viscozitatea aparentă, η , este funcție de viteza de deformare, $\dot{\gamma}$, exprimată în funcție de al doilea coeficient al tensorului vitezei de deformare [79, 84, 157]:

$$\dot{\gamma} = \sqrt{\frac{1}{2} I_{r^2}} \quad (4.102)$$

cu

$$\frac{1}{2} I_{r^2} = 2 \left[\left(\frac{\partial v_r}{\partial r} \right)^2 + 2 \left(\frac{v_r}{r} \right)^2 \right] \quad (4.103)$$

Folosind relatiile $v_r = \partial\Phi/\partial r$ si (4.101a) rezultă:

$$\dot{\gamma} = \frac{2\sqrt{3}}{r} \left| \frac{\partial\Phi}{\partial r} \right| \quad (4.104)$$

iar expresia functiei de viscozitate se obtine sub forma adimensională:

$$\eta_* = \eta_{\infty*} + \frac{\eta_{0*} - \eta_{\infty*}}{1 + \left(\frac{2\sqrt{3}}{k_* r_*} \left| \frac{\partial\Phi_*}{\partial r_*} \right| \right)^n} \quad (4.105)$$

unde $k_* = (R_0/U)k$. Pe de altă parte, efortul unitar normal în cazul unui lichid incompresibil se obtine din relatia (4.33):

$$\tau_{rr*} = -4\eta_* \frac{1}{r_*} \frac{\partial\Phi_*}{\partial r_*} \quad (4.106)$$

sau la ordinul zero:

$$\tau_{rr*} = 4 \left[\eta_{\infty*} + \frac{\eta_{0*} - \eta_{\infty*}}{1 + \left(\frac{2\sqrt{3}}{k_* r_*} \left| \frac{\partial\Phi_0}{\partial r_*} \right| \right)^n} \right] \frac{1}{r_*} \frac{\partial\Phi_0}{\partial r_*} \quad (4.107)$$

Solutia ecuatiei (4.101a) este:

$$\Phi_0 = -\frac{f_0(t_*)}{r_*} + g_0(t_*) \quad (4.108)$$

si impunând si conditia la limită la peretele bulei (4.82) rezultă:

$$f_0 = R_*^2 R_*' \quad (4.109)$$

Cu (4.108) relatia (4.101b) devine:

$$h_0 = \frac{f_0'(t_*)}{r_*} - g_0'(t_*) - \frac{1}{2} \frac{f_0^2(t_*)}{r_*^4} - 4(\eta_{0*} - \eta_{\infty*}) \left[1 + \left(\frac{2\sqrt{3}}{k_* r_*} |f_0| \right)^n \right]^{-1} \frac{f_0}{r_*^3} + 12(\eta_{0*} - \eta_{\infty*}) f_0 I \quad (4.110)$$

unde:

$$I = \int_{r_*}^{\infty} r_*^{-4} \left[1 + \left(\frac{2\sqrt{3}}{k_* r_*^3} |f_0| \right)^n \right]^{-1} dr_* \quad (4.111)$$

Cu schimbarea de variabilă:

$$y = \frac{a / r_*^{3n}}{1 + (a / r_*^{3n})} \quad , \quad a = \left(\frac{2\sqrt{3}}{k_*} |f_0| \right)^n \quad (4.112)$$

rezultă:

$$I = -\frac{1}{3n} a^{-1/n} \int_{\frac{a/r_*^{3n}}{1+(a/r_*^{3n})}}^0 y^{1/n-1} (1-y)^{-1/n} dy \quad (4.113)$$

Deoarece $|y| < 1$ se poate scrie:

$$(1-y)^{-1/n} = 1 + \sum_{s=0}^{\infty} C_{s-1/n}^{s-1} y^{s-1} \quad (4.114)$$

și în final:

$$I = \frac{1}{3r_*^3} \left[\frac{1}{1 + (a/r_*^{3n})} \right]^{1/n} \left\{ 1 + \sum_{s=0}^{\infty} C_{s-1/n}^{s-1} \frac{1}{ns+n+1} \left[\frac{1}{1 + (r_*^{3n}/a)} \right]^{s-1} \right\} \quad (4.115)$$

Folosind (4.115) relația (4.110) se scrie:

$$\begin{aligned} h_0 = & \frac{f_0'(t_*)}{r_*} - g_0'(t_*) - \frac{1}{2} \frac{f_0^2(t_*)}{r_*^4} - 4(\eta_{0*} - \eta_{r*}) \left[1 + \left(\frac{2\sqrt{3}}{k_* r_*^3} |f_0| \right)^n \right]^{-1} \frac{f_0(t_*)}{r_*^3} + \\ & + 4(\eta_{0*} - \eta_{r*}) \left[1 + \left(\frac{2\sqrt{3}}{k_* r_*^3} |f_0| \right)^n \right]^{-1/n} \times \\ & \times \left\{ 1 + \sum_{s=0}^{\infty} C_{s-1/n}^{s-1} \frac{1}{ns+n+1} \left[\frac{1}{1 + \left(\frac{2\sqrt{3}}{k_* r_*^3} |f_0| \right)^n} \right]^{s-1} \right\} \frac{f_0(t_*)}{r_*^3} \end{aligned} \quad (4.116)$$

Ecuațiile (4.93) se rescriu sub forma:

$$\tilde{\nabla}^2 \tilde{\Phi}_0 - \frac{\partial^2 \tilde{\Phi}_0}{\partial t_*^2} = 0 \quad , \quad \frac{\partial \tilde{\Phi}_0}{\partial t_*} + H_0 = 0 \quad (4.117a, b)$$

Solutia ecuatiei (4.117a) sub conditia la infinit $\partial \tilde{\Phi}_0 / \partial t_* = 0$ este:

$$\tilde{\Phi}_0 = \frac{1}{\tilde{r}} \left[F_0(t_* - \tilde{r}) + G_0(t_* + \tilde{r}) \right] + \alpha_0 \quad (4.118)$$

iar din (4.117b) rezultă:

$$H_0 = -\frac{1}{\tilde{r}} \left[F_0'(t_* - \tilde{r}) + G_0'(t_* + \tilde{r}) \right] \quad (4.119)$$

În domeniul $D = \{ \beta / \text{ord } \varepsilon < \text{ord } \beta < \text{ord } 1 \}$ coincidenta celor două solutii (4.108) si (4.118) se poate exprima sub forma:

$$\lim_{\varepsilon \rightarrow 0} \left[\Phi_0 \left(\frac{r_\beta}{\beta}, t_* \right) - \tilde{\Phi}_0 \left(\frac{\varepsilon}{\beta} r_\beta, t_* \right) \right] = 0 \quad (4.120)$$

sau:

$$\lim_{\varepsilon \rightarrow 0} \left[\frac{f_0(t_*)}{r_*} + g_0(t_*) - \frac{F_0(t_*) + G_0(t_*)}{\varepsilon r_*} - G_0'(t_*) + F_0'(t_*) - \alpha_0 \right] = 0 \quad (4.121)$$

de unde:

$$F_0 = -G_0 \quad (4.122)$$

$$g_0 = 2G_0' + \alpha_0 \quad (4.123)$$

Acelasi rezultat, (4.122) si (4.123), se obtine si atunci când conditia (4.120) se aplică pentru h_0 si H_0 .

Impunând conditia dinamică la peretele bulei, $h_* = h_{B*}$, si folosind (4.109), din (4.116) se obtine:

$$\begin{aligned}
h_{B*} = & R_* R_*'' + \frac{3}{2} R_*'^2 - 2G_0''(t_*) - 4(\eta_{0*} - \eta_{r*}) \left[1 + \left(\frac{2\sqrt{3} |R_*'|}{k_* R_*} \right)^n \right]^{-1} \frac{R_*'}{R_*} + \\
& + 4(\eta_{0*} - \eta_{r*}) \left[1 + \left(\frac{2\sqrt{3} |R_*'|}{k_* R_*} \right)^n \right]^{-1/n} \times \\
& \times \left\{ 1 + \sum_{s=0}^{\infty} C_{s+1}^{s+1} \frac{1}{ns+n+1} \frac{1}{\left[1 + \left(\frac{2\sqrt{3} |R_*'|}{k_* R_*} \right)^n \right]^{s+1}} \right\} \frac{R_*'}{R_*}
\end{aligned} \tag{4.124}$$

cu h_{B*} forma adimensională a relației (4.56) la ordinul zero:

$$h_{B*} = \frac{p_B}{p_*} - 1 \tag{4.125}$$

și p_B/p_* dat de (4.39), (4.107) și (4.109):

$$\frac{p_B}{p_*} = \frac{p_*}{p_*} - \frac{2\sigma}{R_0 p_* R_*} - 4 \left[\eta_{r*} + \frac{\eta_{0*} - \eta_{r*}}{1 + \left(\frac{2\sqrt{3} |R_*'|}{k_* R_*} \right)^n} \right] \frac{R_*'}{R_*} \tag{4.126}$$

Înlocuind relațiile (4.125) și (4.126) în (4.124) și considerând evoluția adiabatică a gazului din interiorul bulei, $p_* = p_0 R_*^{-3\gamma}$, se obține ecuația:

$$\begin{aligned}
R_* R_*'' + \frac{3}{2} R_*'^2 = & 2G_0''(t_*) - 1 + q R_*^{-3\gamma} - \frac{C}{R_*} - 4\eta_{r*} \frac{R_*'}{R_*} - \\
& - 4(\eta_{0*} - \eta_{r*}) \left[1 + \left(\frac{2\sqrt{3} |R_*'|}{k_* R_*} \right)^n \right]^{-1/n} \times \\
& \times \left\{ 1 + \sum_{s=0}^{\infty} C_{s+1}^{s+1} \frac{1}{ns+n+1} \frac{1}{\left[1 + \left(\frac{2\sqrt{3} |R_*'|}{k_* R_*} \right)^n \right]^{s+1}} \right\} \frac{R_*'}{R_*}
\end{aligned} \tag{4.127}$$

cu $q = p_0/p_\infty$, $C = 2\sigma/(R_0 p_\infty)$ și p_0 presiunea inițială a gazului din interiorul cavității. Ecuația (4.127) reprezintă ecuația de mișcare a peretelui bulei situată într-un lichid incompresibil newtonian cu comportare pseudoplastică descrisă de relația Williamson și coincide cu cea obținută, pe o cale diferită, în [77] când $2G_0''(t_*) = 0$. Dacă $\eta_{0*} = \eta_{\infty*} = \mu_*$, μ_* fiind viscozitatea newtoniană, se obține ecuația Rayleigh-Plesset (4.1) [123].

$$\begin{aligned} \rho_\infty \left(R\ddot{R} + \frac{3}{2}\dot{R}^2 \right) &= p_\infty [2G_0''(t_*) - 1] + p_0 \left(\frac{R_0}{R} \right)^{3\gamma} - \frac{2\sigma}{R} - 4\eta_\infty \frac{\dot{R}}{R} + \\ &+ 4(\eta_0 - \eta_\infty) \left[1 + \left(\frac{2\sqrt{3}}{k} \frac{|\dot{R}|}{R} \right)^n \right]^{-1/n} \times \\ &\times \left\{ 1 + \sum_{s=0}^{\infty} C_{s+1/n}^{s+1} \frac{1}{ns+n+1} \frac{1}{\left[1 + \left(\frac{2\sqrt{3}}{k} \frac{|\dot{R}|}{R} \right)^n \right]^{s+1}} \right\} \frac{\dot{R}}{R} \end{aligned} \quad (4.128)$$

Semnificația fizică a termenului $G_0(t_*)$ este următoarea. În (4.118) $F_0(t_* - \tilde{r})$ reprezintă unda de presiune directă care se propagă dinspre peretele bulei în timp ce $G_0(t_* + \tilde{r})$ este unda indirectă care se propagă înspre peretele bulei. În obținerea ecuației (4.127) lichidul a fost considerat incompresibil și, deci, oscilația bulei nu poate genera unde de presiune în lichid. În aceste condiții termenul G_0 poate fi interpretat ca fiind contribuția dată de un câmp de presiune exterior aplicat lichidului asupra oscilației bulei.

4.2.3. Soluția la ordinul unu (modelul compresibil)

În zona “aproape de bulă”, la ordinul unu:

$$\Phi_* = \Phi_0 + \varepsilon \Phi_1, \quad h_* = h_0 + \varepsilon h_1 \quad (4.129)$$

cu Φ_0 și h_0 date de (4.108) și (4.116) și satisfac (4.92). Prin înlocuirea relațiilor (4.129) în (4.90) și (4.91) se obține:

$$\begin{aligned}
& \beta^2 \left\{ 1 - \varepsilon^2 (m-1) \left\{ \frac{\partial \Phi_0}{\partial t_*} + \frac{1}{2} \beta^2 \left(\frac{\partial \Phi_0}{\partial r_\beta} \right)^2 + \varepsilon \left(\frac{\partial \Phi_1}{\partial t_*} + \beta^2 \frac{\partial \Phi_0}{\partial r_\beta} \frac{\partial \Phi_1}{\partial r_\beta} \right) + \frac{1}{2} \varepsilon^2 \beta^2 \left(\frac{\partial \Phi_1}{\partial r_\beta} \right)^2 + \right. \right. \\
& \quad \left. \left. + 4 \beta^6 \left\{ \left[\frac{1}{3} \int_{r_\beta}^{\infty} \frac{1}{\rho_*} \frac{\partial}{\partial r_\beta} \left[\eta_* r_\beta \frac{\partial}{\partial r_\beta} \left(\frac{1}{r_\beta} \frac{\partial \Phi_0}{\partial r_\beta} \right) \right] dr_\beta + \int_{r_\beta}^{\infty} \frac{\eta_*}{\rho_*} \frac{\partial}{\partial r_\beta} \left(\frac{1}{r_\beta} \frac{\partial \Phi_0}{\partial r_\beta} \right) dr_\beta \right\} + \right. \right. \\
& \quad \left. \left. + \varepsilon \left\{ \left[\frac{1}{3} \int_{r_\beta}^{\infty} \frac{1}{\rho_*} \frac{\partial}{\partial r_\beta} \left[\eta_* r_\beta \frac{\partial}{\partial r_\beta} \left(\frac{1}{r_\beta} \frac{\partial \Phi_1}{\partial r_\beta} \right) \right] dr_\beta + \int_{r_\beta}^{\infty} \frac{\eta_*}{\rho_*} \frac{\partial}{\partial r_\beta} \left(\frac{1}{r_\beta} \frac{\partial \Phi_1}{\partial r_\beta} \right) dr_\beta \right\} \right\} \nabla_\beta^2 (\Phi_0 + \varepsilon \Phi_1) \right\} \times \\
& \quad \cdot \nabla_\beta^2 (\Phi_0 + \varepsilon \Phi_1) = \varepsilon^2 \left\{ \frac{\partial^2 \Phi_0}{\partial t_*^2} + 2 \beta^2 \frac{\partial \Phi_0}{\partial r_\beta} \frac{\partial^2 \Phi_0}{\partial t_* \partial r_\beta} + \beta^4 \left\{ \left(\frac{\partial \Phi_0}{\partial r_\beta} \right)^2 \frac{\partial^2 \Phi_0}{\partial r_\beta^2} \right. \right. \\
& \quad \left. \left. + 4 \frac{\partial}{\partial t_*} \left\{ \frac{1}{3} \int_{r_\beta}^{\infty} \frac{1}{\rho_*} \frac{\partial}{\partial r_\beta} \left[\eta_* r_\beta \frac{\partial}{\partial r_\beta} \left(\frac{1}{r_\beta} \frac{\partial \Phi_0}{\partial r_\beta} \right) \right] dr_\beta + \int_{r_\beta}^{\infty} \frac{\eta_*}{\rho_*} \frac{\partial}{\partial r_\beta} \left(\frac{1}{r_\beta} \frac{\partial \Phi_0}{\partial r_\beta} \right) dr_\beta \right\} + \right. \\
& \quad \left. + 4 \beta^5 \frac{\partial}{\partial r_\beta} \left\{ \frac{1}{3} \int_{r_\beta}^{\infty} \frac{1}{\rho_*} \frac{\partial}{\partial r_\beta} \left[\eta_* r_\beta \frac{\partial}{\partial r_\beta} \left(\frac{1}{r_\beta} \frac{\partial \Phi_0}{\partial r_\beta} \right) \right] dr_\beta + \int_{r_\beta}^{\infty} \frac{\eta_*}{\rho_*} \frac{\partial}{\partial r_\beta} \left(\frac{1}{r_\beta} \frac{\partial \Phi_0}{\partial r_\beta} \right) dr_\beta \right\} + \right. \\
& \quad \left. + \varepsilon \left\{ \frac{\partial^2 \Phi_1}{\partial t_*^2} + 2 \beta^2 \left(\frac{\partial \Phi_0}{\partial r_\beta} \frac{\partial^2 \Phi_1}{\partial t_* \partial r_\beta} + \frac{\partial \Phi_1}{\partial r_\beta} \frac{\partial^2 \Phi_0}{\partial t_* \partial r_\beta} \right) + \right. \\
& \quad \left. + \beta^4 \left[2 \frac{\partial \Phi_0}{\partial r_\beta} \frac{\partial \Phi_1}{\partial r_\beta} \frac{\partial^2 \Phi_0}{\partial r_\beta^2} + \left(\frac{\partial \Phi_0}{\partial r_\beta} \right)^2 \frac{\partial^2 \Phi_1}{\partial r_\beta^2} \right] + 4 \frac{\partial}{\partial t_*} \left\{ \frac{1}{3} \int_{r_\beta}^{\infty} \frac{1}{\rho_*} \frac{\partial}{\partial r_\beta} \left[\eta_* r_\beta \frac{\partial}{\partial r_\beta} \left(\frac{1}{r_\beta} \frac{\partial \Phi_1}{\partial r_\beta} \right) \right] dr_\beta + \right. \\
& \quad \left. \left. + \int_{r_\beta}^{\infty} \frac{\eta_*}{\rho_*} \frac{\partial}{\partial r_\beta} \left(\frac{1}{r_\beta} \frac{\partial \Phi_1}{\partial r_\beta} \right) dr_\beta \right\} + 4 \beta^5 \frac{\partial}{\partial r_\beta} \left\{ \frac{1}{3} \int_{r_\beta}^{\infty} \frac{1}{\rho_*} \frac{\partial}{\partial r_\beta} \left[\eta_* r_\beta \frac{\partial}{\partial r_\beta} \left(\frac{1}{r_\beta} \frac{\partial \Phi_1}{\partial r_\beta} \right) \right] dr_\beta + \right. \\
& \quad \left. \left. + \int_{r_\beta}^{\infty} \frac{\eta_*}{\rho_*} \frac{\partial}{\partial r_\beta} \left(\frac{1}{r_\beta} \frac{\partial \Phi_1}{\partial r_\beta} \right) dr_\beta \right\} \right\} + \varepsilon^2 \left\{ 2 \beta^2 \frac{\partial \Phi_1}{\partial r_\beta} \frac{\partial^2 \Phi_1}{\partial t_* \partial r_\beta} + \right. \\
& \quad \left. + \beta^4 \left[2 \frac{\partial \Phi_0}{\partial r_\beta} \frac{\partial \Phi_1}{\partial r_\beta} \frac{\partial^2 \Phi_1}{\partial r_\beta^2} + \left(\frac{\partial \Phi_1}{\partial r_\beta} \right)^2 \frac{\partial^2 \Phi_0}{\partial r_\beta^2} \right] + \varepsilon^3 \beta^4 \left(\frac{\partial \Phi_1}{\partial r_\beta} \right)^2 \frac{\partial^2 \Phi_1}{\partial r_\beta^2} \right\} \quad (4.130)
\end{aligned}$$

si:

$$\begin{aligned}
& \frac{\partial \Phi_1}{\partial t_*} + \beta^2 \frac{\partial \Phi_0}{\partial r_\beta} \frac{\partial \Phi_1}{\partial r_\beta} + \frac{1}{2} \varepsilon \beta^2 \left(\frac{\partial \Phi_1}{\partial r_\beta} \right)^2 + h_1 = \\
& = -4 \beta^4 \left\{ \frac{1}{3} \int_{r_\beta}^{\infty} \frac{1}{\rho_*} \frac{\partial}{\partial r_\beta} \left[\eta_* r_\beta \frac{\partial}{\partial r_\beta} \left(\frac{1}{r_\beta} \frac{\partial \Phi_1}{\partial r_\beta} \right) \right] dr_\beta + \int_{r_\beta}^{\infty} \frac{\eta_*}{\rho_*} \frac{\partial}{\partial r_\beta} \left(\frac{1}{r_\beta} \frac{\partial \Phi_1}{\partial r_\beta} \right) dr_\beta \right\} \quad (4.131)
\end{aligned}$$

Funcția Φ_0 satisface (4.92a) astfel încât ultimele două relații pot fi scrise sub forma:

$$\nabla_{\beta}^2 \Phi_1 = \frac{\varepsilon}{\beta^2} [2G_0''(t_*) + O(\beta)] + \frac{\varepsilon^2}{\beta^2} \frac{\partial^2 \Phi_1}{\partial t_*^2} + O(\varepsilon^2, \varepsilon^4 \beta^2) \quad (4.132)$$

și:

$$\begin{aligned} & \frac{\partial \Phi_1}{\partial t_*} + \beta^3 \frac{f_0(t_*)}{r_{\beta}^2} \frac{\partial \Phi_1}{\partial r_{\beta}} + \frac{1}{2} \varepsilon \beta^2 \left(\frac{\partial \Phi_1}{\partial r_{\beta}} \right)^2 + h_1 = \\ & = -4\beta^2 \left\{ \frac{1}{3} \int_{r_{\beta}}^{\infty} \frac{\partial}{\partial r_{\beta}} \left[\eta_* r_{\beta} \frac{\partial}{\partial r_{\beta}} \left(\frac{1}{r_{\beta}} \frac{\partial \Phi_1}{\partial r_{\beta}} \right) \right] dr_{\beta} + \int_{r_{\beta}}^{\infty} \eta_* \frac{\partial}{\partial r_{\beta}} \left(\frac{1}{r_{\beta}} \frac{\partial \Phi_1}{\partial r_{\beta}} \right) dr_{\beta} \right\} \end{aligned} \quad (4.133)$$

Formele limită ale acestor ecuații când $\varepsilon \rightarrow 0$ pentru diferite ordine de mărime ale funcției β din domeniul D_1 sunt:

a) ord $\beta = \text{ord } 1$

$$\nabla_{\beta}^2 \Phi_1 = 0$$

$$\frac{\partial \Phi_1}{\partial t_*} + \frac{f_0(t_*)}{r_{\beta}^2} \frac{\partial \Phi_1}{\partial r_{\beta}} + h_1 = \frac{4}{3} \left[\eta_* r_{\beta} \frac{\partial}{\partial r_{\beta}} \left(\frac{1}{r_{\beta}} \frac{\partial \Phi_1}{\partial r_{\beta}} \right) \right] - 4 \int_{r_{\beta}}^{\infty} \eta_* \frac{\partial}{\partial r_{\beta}} \left(\frac{1}{r_{\beta}} \frac{\partial \Phi_1}{\partial r_{\beta}} \right) dr_{\beta} \quad (4.134a.b)$$

b) ord $\beta = \text{ord } \varepsilon^{1/2}$

$$\nabla_{\beta}^2 \Phi_1 = 2G_0''(t_*) \quad , \quad \frac{\partial \Phi_1}{\partial t_*} + h_1 = 0 \quad (4.135a. b)$$

c) ord $\varepsilon^{1/2} < \text{ord } \beta < \text{ord } 1$

$$\nabla_{\beta}^2 \Phi_1 = 0 \quad , \quad \frac{\partial \Phi_1}{\partial t_*} + h_1 = 0 \quad (4.136a. b)$$

d) ord $\varepsilon < \text{ord } \beta < \text{ord } \varepsilon^{1/2}$

$$0 = 2G_0''(t_*) \quad , \quad \frac{\partial \Phi_1}{\partial t_*} + h_1 = 0 \quad (4.137a. b)$$

Forma limită (4.136) este continuată în (4.134) și domeniul de valabilitate pentru (4.134) este:

$$D_{ii}^{(1)} = \{ \beta \mid \text{ord } \varepsilon^{1/2} < \text{ord } \beta \leq \text{ord } 1 \} \quad (4.138)$$

Formele limită (4.136) și (4.137) sunt continute în (4.135) și domeniul de valabilitate pentru (4.135) este:

$$D_{i\varepsilon}^{(1)} = \{\beta / \text{ord } \varepsilon < \text{ord } \beta < \text{ord } 1\} \quad (4.139)$$

Ecuatiile (4.134) au fost generate când $\text{ord } \beta = \text{ord } 1$ astfel încât variabila spațială în această zonă este $r_\beta = r_*$ în timp ce ecuațiile (4.135) au fost generate când $\text{ord } \beta = \text{ord } \varepsilon^{1/2}$ și variabila spațială în domeniul (4.139) este $r_\beta = \bar{r} = \varepsilon^{1/2} r_*$. Cele două domenii, (4.138) și (4.139), au partea comună:

$$D_i^{(1)} = \{\beta / \text{ord } \varepsilon^{1/2} < \text{ord } \beta < \text{ord } 1\} \quad (4.140)$$

Deoarece în acest domeniu sistemele (4.134) și (4.135) se reduc la sistemul (4.136) și soluțiile lor trebuie să se reducă una celeilalte.

În zona "departe de bulă", la ordinul 1.

$$\Phi_* = \tilde{\Phi}_0 + \varepsilon \tilde{\Phi}_1, \quad h_* = H_0 + \varepsilon H_1 \quad (4.141)$$

cu $\tilde{\Phi}_0$ și H_0 date de (4.118) și, respectiv, (4.119) și satisfac (4.93). Prin înlocuirea relațiilor (4.141) în (4.90) și (4.91) se obțin următoarele ecuații:

$$\begin{aligned} & \beta^2 \left\{ 1 - \varepsilon^2 (m-1) \left[\frac{\partial \tilde{\Phi}_0}{\partial t_*} + \frac{1}{2} \beta^2 \left(\frac{\partial \tilde{\Phi}_0}{\partial r_\beta} \right)^2 \right] + \varepsilon \left(\frac{\partial \tilde{\Phi}_1}{\partial t_*} + \beta^2 \frac{\partial \tilde{\Phi}_0}{\partial r_\beta} \frac{\partial \tilde{\Phi}_1}{\partial r_\beta} \right) + \frac{1}{2} \varepsilon^2 \beta^2 \left(\frac{\partial^2 \tilde{\Phi}_1}{\partial r_\beta^2} \right)^2 \right. \\ & \quad \left. + 4 \beta^6 \left\{ \left[\frac{1}{3} \int_{r_\beta}^{\infty} \frac{1}{\rho_*} \frac{\partial}{\partial r_\beta} \left[\eta_* r_\beta \frac{\partial}{\partial r_\beta} \left(\frac{1}{r_\beta} \frac{\partial \tilde{\Phi}_0}{\partial r_\beta} \right) \right] dr_\beta + \int_{r_\beta}^{\infty} \frac{\eta_*}{\rho_*} \frac{\partial}{\partial r_\beta} \left(\frac{1}{r_\beta} \frac{\partial \tilde{\Phi}_0}{\partial r_\beta} \right) dr_\beta \right] \right\} + \right. \\ & \quad \left. + 4 \beta^6 \varepsilon \left\{ \left[\frac{1}{3} \int_{r_\beta}^{\infty} \frac{1}{\rho_*} \frac{\partial}{\partial r_\beta} \left[\eta_* r_\beta \frac{\partial}{\partial r_\beta} \left(\frac{1}{r_\beta} \frac{\partial \tilde{\Phi}_1}{\partial r_\beta} \right) \right] dr_\beta + \int_{r_\beta}^{\infty} \frac{\eta_*}{\rho_*} \frac{\partial}{\partial r_\beta} \left(\frac{1}{r_\beta} \frac{\partial \tilde{\Phi}_1}{\partial r_\beta} \right) dr_\beta \right] \right\} \right\} \nabla_\beta^2 (\tilde{\Phi}_0 + \varepsilon \tilde{\Phi}_1) \Bigg\} \times \\ & \quad \times \nabla_\beta^2 (\tilde{\Phi}_0 + \varepsilon \tilde{\Phi}_1) = \varepsilon^2 \left\{ \frac{\partial^2 \tilde{\Phi}_0}{\partial t_*^2} + 2 \beta^2 \frac{\partial \tilde{\Phi}_0}{\partial r_\beta} \frac{\partial^2 \tilde{\Phi}_0}{\partial t_* \partial r_\beta} + \beta^4 \left\{ \left(\frac{\partial \tilde{\Phi}_0}{\partial r_\beta} \right)^2 \frac{\partial^2 \tilde{\Phi}_0}{\partial r_\beta^2} + \right. \right. \\ & \quad \left. \left. + 4 \frac{\partial}{\partial t_*} \left[\frac{1}{3} \int_{r_\beta}^{\infty} \frac{1}{\rho_*} \frac{\partial}{\partial r_\beta} \left[\eta_* r_\beta \frac{\partial}{\partial r_\beta} \left(\frac{1}{r_\beta} \frac{\partial \tilde{\Phi}_0}{\partial r_\beta} \right) \right] dr_\beta + \int_{r_\beta}^{\infty} \frac{\eta_*}{\rho_*} \frac{\partial}{\partial r_\beta} \left(\frac{1}{r_\beta} \frac{\partial \tilde{\Phi}_0}{\partial r_\beta} \right) dr_\beta \right] \right\} + \right. \\ & \quad \left. + 4 \beta^4 \frac{\partial}{\partial r_\beta} \left\{ \frac{1}{3} \int_{r_\beta}^{\infty} \frac{1}{\rho_*} \frac{\partial}{\partial r_\beta} \left[\eta_* r_\beta \frac{\partial}{\partial r_\beta} \left(\frac{1}{r_\beta} \frac{\partial \tilde{\Phi}_0}{\partial r_\beta} \right) \right] dr_\beta + \int_{r_\beta}^{\infty} \frac{\eta_*}{\rho_*} \frac{\partial}{\partial r_\beta} \left(\frac{1}{r_\beta} \frac{\partial \tilde{\Phi}_0}{\partial r_\beta} \right) dr_\beta \right\} + \right. \\ & \quad \left. + \varepsilon \left\{ \frac{\partial^2 \tilde{\Phi}_1}{\partial t_*^2} + 2 \beta^2 \left(\frac{\partial \tilde{\Phi}_0}{\partial r_\beta} \frac{\partial^2 \tilde{\Phi}_1}{\partial t_* \partial r_\beta} + \frac{\partial \tilde{\Phi}_1}{\partial r_\beta} \frac{\partial^2 \tilde{\Phi}_0}{\partial t_* \partial r_\beta} \right) + \right. \right. \end{aligned}$$

$$\begin{aligned}
& +\beta^4 \left[2 \frac{\partial \tilde{\Phi}_0}{\partial r_\beta} \frac{\partial \tilde{\Phi}_1}{\partial r_\beta} \frac{\partial^2 \tilde{\Phi}_0}{\partial r_\beta^2} + \left(\frac{\partial \tilde{\Phi}_0}{\partial r_\beta} \right)^2 \frac{\partial^2 \tilde{\Phi}_1}{\partial r_\beta^2} \right] + 4 \frac{\partial}{\partial t_1} \left\{ \frac{1}{3} \int_{r_\beta}^{\infty} \frac{1}{\rho_\bullet} \frac{\partial}{\partial r_\beta} \left[\eta_\bullet r_\beta \frac{\partial}{\partial r_\beta} \left(\frac{1}{r_\beta} \frac{\partial \tilde{\Phi}_1}{\partial r_\beta} \right) \right] dr_\beta + \right. \\
& \left. + \int_{r_\beta}^{\infty} \frac{\eta_\bullet}{\rho_\bullet} \frac{\partial}{\partial r_\beta} \left(\frac{1}{r_\beta} \frac{\partial \tilde{\Phi}_1}{\partial r_\beta} \right) dr_\beta \right\} + 4\beta^5 \frac{\partial}{\partial r_\beta} \left\{ \frac{1}{3} \int_{r_\beta}^{\infty} \frac{1}{\rho_\bullet} \frac{\partial}{\partial r_\beta} \left[\eta_\bullet r_\beta \frac{\partial}{\partial r_\beta} \left(\frac{1}{r_\beta} \frac{\partial \tilde{\Phi}_1}{\partial r_\beta} \right) \right] dr_\beta + \right. \\
& \left. + \int_{r_\beta}^{\infty} \frac{\eta_\bullet}{\rho_\bullet} \frac{\partial}{\partial r_\beta} \left(\frac{1}{r_\beta} \frac{\partial \tilde{\Phi}_1}{\partial r_\beta} \right) dr_\beta \right\} + \varepsilon^2 \left\{ 2\beta^2 \frac{\partial \tilde{\Phi}_1}{\partial r_\beta} \frac{\partial^2 \tilde{\Phi}_1}{\partial t_1 \partial r_\beta} + \right. \\
& \left. + \beta^4 \left[2 \frac{\partial \tilde{\Phi}_0}{\partial r_\beta} \frac{\partial \tilde{\Phi}_1}{\partial r_\beta} \frac{\partial^2 \tilde{\Phi}_1}{\partial r_\beta^2} + \left(\frac{\partial \tilde{\Phi}_1}{\partial r_\beta} \right)^2 \frac{\partial^2 \tilde{\Phi}_0}{\partial r_\beta^2} \right] \right\} + \varepsilon^3 \beta^4 \left(\frac{\partial \tilde{\Phi}_1}{\partial r_\beta} \right)^2 \frac{\partial^2 \tilde{\Phi}_1}{\partial r_\beta^2} \quad (4.142)
\end{aligned}$$

si:

$$\begin{aligned}
& \varepsilon \frac{\partial \tilde{\Phi}_1}{\partial t_1} + \frac{1}{2} \beta^2 \left(\frac{\partial \tilde{\Phi}_0}{\partial r_\beta} \right)^2 + \varepsilon \beta^2 \left[\frac{\partial \tilde{\Phi}_0}{\partial r_\beta} \frac{\partial \tilde{\Phi}_1}{\partial r_\beta} + \frac{1}{2} \varepsilon \left(\frac{\partial \tilde{\Phi}_1}{\partial r_\beta} \right)^2 \right] + \varepsilon H_1 = \\
& = -4\beta^4 \left\{ \frac{1}{3} \int_{r_\beta}^{\infty} \frac{1}{\rho_\bullet} \frac{\partial}{\partial r_\beta} \left[\eta_\bullet r_\beta \frac{\partial}{\partial r_\beta} \left(\frac{1}{r_\beta} \frac{\partial \tilde{\Phi}_0}{\partial r_\beta} \right) \right] dr_\beta + \int_{r_\beta}^{\infty} \frac{\eta_\bullet}{\rho_\bullet} \frac{\partial}{\partial r_\beta} \left(\frac{1}{r_\beta} \frac{\partial \tilde{\Phi}_0}{\partial r_\beta} \right) dr_\beta \right\} - \\
& - 4\varepsilon \beta^4 \left\{ \frac{1}{3} \int_{r_\beta}^{\infty} \frac{1}{\rho_\bullet} \frac{\partial}{\partial r_\beta} \left[\eta_\bullet r_\beta \frac{\partial}{\partial r_\beta} \left(\frac{1}{r_\beta} \frac{\partial \tilde{\Phi}_1}{\partial r_\beta} \right) \right] dr_\beta + \int_{r_\beta}^{\infty} \frac{\eta_\bullet}{\rho_\bullet} \frac{\partial}{\partial r_\beta} \left(\frac{1}{r_\beta} \frac{\partial \tilde{\Phi}_1}{\partial r_\beta} \right) dr_\beta \right\} \quad (4.143)
\end{aligned}$$

care pot fi scrise sub forma:

$$\nabla_\beta^2 \tilde{\Phi}_1 = \frac{\varepsilon^2 - \beta^2}{\varepsilon \beta^2} \frac{\partial^2 \tilde{\Phi}_0}{\partial t_1^2} + \frac{\varepsilon^2}{\beta^2} \frac{\partial^2 \tilde{\Phi}_1}{\partial t_1^2} + O(\varepsilon^2, \varepsilon^3 \beta^2) \quad (4.144)$$

si:

$$\begin{aligned}
& \frac{\partial \tilde{\Phi}_1}{\partial t_1} + \beta^2 \left[\frac{\partial \tilde{\Phi}_0}{\partial r_\beta} \frac{\partial \tilde{\Phi}_1}{\partial r_\beta} + \frac{1}{2} \varepsilon \left(\frac{\partial \tilde{\Phi}_1}{\partial r_\beta} \right)^2 \right] + H_1 = \quad (4.145) \\
& = -4\beta^4 \left\{ \frac{1}{3} \int_{r_\beta}^{\infty} \frac{\partial}{\partial r_\beta} \left[\eta_\bullet r_\beta \frac{\partial}{\partial r_\beta} \left(\frac{1}{r_\beta} \frac{\partial \tilde{\Phi}_1}{\partial r_\beta} \right) \right] dr_\beta + \int_{r_\beta}^{\infty} \eta_\bullet \frac{\partial}{\partial r_\beta} \left(\frac{1}{r_\beta} \frac{\partial \tilde{\Phi}_1}{\partial r_\beta} \right) dr_\beta \right\} + O\left(\frac{\beta^2}{\varepsilon}, \frac{\beta^4}{\varepsilon} \right)
\end{aligned}$$

Formele limită ale sistemului (4.144) si (4.145) când $\varepsilon \rightarrow 0$ pentru diferite ordine de mărime ale funcției β din domeniul D_c sunt:

a) $\text{ord } \beta = \text{ord } \varepsilon$

$$\nabla_{\beta}^2 \tilde{\Phi}_1 = \frac{\partial^2 \tilde{\Phi}_1}{\partial t_*^2} \quad , \quad \frac{\partial \tilde{\Phi}_1}{\partial t_*} + H_1 = 0 \quad (4.146a, b)$$

b) $\text{ord } \varepsilon < \text{ord } \beta < \text{ord } 1$

$$\nabla_{\beta}^2 \tilde{\Phi}_1 = 0 \quad , \quad \frac{\partial \tilde{\Phi}_1}{\partial t_*} + H_1 = 0 \quad (4.147a, b)$$

c) $\text{ord } \varepsilon > \text{ord } \beta$

$$0 = \frac{\partial^2 \Phi_1}{\partial t_*^2} \quad , \quad \frac{\partial \Phi_1}{\partial t_*} + H_1 = 0 \quad (4.148a, b)$$

Singura formă limită distinctă este (4.146) deoarece conține atât (4.147) cât și (4.148). Ecuatiile (4.146) sunt valabile în întreg domeniul D_e . Variabila spațială în domeniul D_e este $r_p = \tilde{r} = \varepsilon r_*$. Se observă că domeniul $D_{ii}^{(1)}$ este conținut în D_e astfel încât ecuațiile (4.135) nu mai trebuie considerate și domeniul comun între $D_{ii}^{(1)}$ și D_e este:

$$D^{(1)} = \{ \beta / \text{ord } \varepsilon^{1/2} < \text{ord } \beta < \text{ord } 1 \} = D_{ii}^{(1)} \quad (4.149)$$

Soluția sistemului (4.134) cu $r_p = r_*$ este:

$$\Phi_1 = -\frac{f_1(t_*)}{r_*} + g_1(t_*) \quad (4.150a, b)$$

$$h_1 = \frac{f_1'(t_*)}{r_*} - g_1'(t_*) - \frac{f_0(t_*)}{r_*^2} \frac{f_1(t_*)}{r_*^2} + \frac{4}{3} \left[\eta_* r_* \frac{\partial}{\partial r_*} \left(\frac{1}{r_*} \frac{f_1}{r_*^2} \right) \right] - 4 \int_{r_*}^{\infty} \eta_* \frac{\partial}{\partial r_*} \left(\frac{1}{r_*} \frac{f_1}{r_*^2} \right) dr_*$$

Impunând condiția cinematică la peretele bulei $\partial \Phi_1 / \partial r_* = R'$, din relația (4.109) rezultă:

$$f_1(t_*) = 0 \quad (4.151)$$

și deci:

$$\Phi_1 = g_1(t_*) \quad , \quad h_1 = -g_1'(t_*) \quad (4.152a, b)$$

Soluția sistemului (4.146) cu $r_p = \tilde{r} = \varepsilon r_*$ este:

$$\tilde{\Phi}_1 = \frac{1}{\tilde{r}} \left[F_1(t_* - \tilde{r}) + G_1(t_* + \tilde{r}) \right] + \alpha_1 \quad , \quad H_1 = -\frac{1}{\tilde{r}} \left[F_1'(t_* - \tilde{r}) + G_1'(t_* + \tilde{r}) \right] \quad (4.153a, b)$$

Condiția de coincidență a soluțiilor (4.152) și (4.153) în domeniul comun $D^{(1)}$ este:

$$\lim_{\varepsilon \rightarrow 0} \left[\left(\Phi_0 + \varepsilon \Phi_1 \right) \left(\frac{r_\beta}{\beta}, t_* \right) - \left(\tilde{\Phi}_0 + \varepsilon \tilde{\Phi}_1 \right) \left(\frac{\varepsilon}{\beta} r_\beta, t_* \right) \right] = 0 \quad (4.154)$$

adică:

$$\lim_{\varepsilon \rightarrow 0} \left[-\frac{f_0(t_*)}{r_*} - \frac{F_1 + G_1}{r_*}(t_*) + \varepsilon (g_1 - G'_1 + F'_1)(t_*) + g_0(t_*) + \right. \\ \left. + (G'_0 + F'_0)(t_*) - \alpha_0 - \alpha_1 - \frac{F_0 + G_0}{\varepsilon r_*}(t_*) \right] = 0 \quad (4.155)$$

de unde rezultă:

$$F_1 = -f_0 - G_1 \quad (4.156)$$

$$g_1 = 2G'_1 + f'_0 \quad (4.157)$$

$$\alpha_1 = 0 \quad (4.158)$$

În zona “aproape de bulă” potentialul la ordinul unu are forma:

$$\Phi_0 + \varepsilon \Phi_1 = -\frac{f_0(t_*)}{r_*} + \varepsilon f'_0(t_*) + \alpha_0 + 2[G'_0(t_*) - \varepsilon G'_0(t_*)] \quad (4.159)$$

în timp ce în zona “departe de bulă”:

$$\tilde{\Phi}_0 + \varepsilon \tilde{\Phi}_1 = \\ = \frac{1}{\tilde{r}} [G_0(t_* + \tilde{r}) - G_0(t_* - \tilde{r})] + \frac{\varepsilon}{\tilde{r}} [G_1(t_* + \tilde{r}) - G_1(t_* - \tilde{r}) - f_0(t_* - \tilde{r})] + \alpha_0 \quad (4.160)$$

Oscilația bulei poate induce o undă de presiune în lichid datorită compresibilității lichidului și componenta G_1 caracterizează această undă. Lichidul fiind extins la infinit oscilația bulei nu poate afecta undele reflectate, $G_1(t_* - r)$, astfel încât se poate considera $G_1 = 0$.

Folosind relația (4.109) se pot scrie acum formele finale ale potentialului și entalpiei valabile la ordinul unu. În zona “aproape de bulă”:

$$\Phi_0 + \varepsilon \Phi_1 = -\frac{R_*^2 R'_*}{r_*} + 2G'_0(t_*) + \varepsilon (R_*^2 R'_*)' + \alpha_0 \quad (4.161a)$$

$$\begin{aligned}
h_0 + \varepsilon h_1 &= \frac{(R_*^2 R_*')'}{r_*} - \frac{1}{2} \frac{(R_*^2 R_*')^2}{r_*^4} - 2G_0''(t_*) - \\
&- 4(\eta_{0*} - \eta_{r*}) \left[1 + \left(\frac{2\sqrt{3}}{k_* r_*^3} |R_*^2 R_*'| \right)^n \right]^{-1} \frac{R_*^2 R_*'}{r_*^3} + 4(\eta_{0*} - \eta_{r*}) \left[1 + \left(\frac{2\sqrt{3}}{k_* r_*^3} |R_*^2 R_*'| \right)^n \right]^{-1 n} \times \\
&\times \left\{ 1 + \sum_{s=0}^{\infty} C_{s+1}^{s+1} \frac{1}{ns+n+1} \frac{1}{\left[1 + \left(\frac{2\sqrt{3}}{k_* r_*^3} |R_*^2 R_*'| \right)^n \right]^{s-1}} \right\} \frac{R_*^2 R_*'}{r_*^3} - \varepsilon (R_*^2 R_*')''(t_*)
\end{aligned} \tag{4.161b}$$

iar în zona “departe de bulă”:

$$\tilde{\Phi}_0 + \varepsilon \tilde{\Phi}_1 = \frac{1}{\tilde{r}} [G_0(t_* + \tilde{r}) - G_0(t_* - \tilde{r})] - \frac{\varepsilon}{\tilde{r}} (R_*^2 R_*')'(t_* - \tilde{r}) \tag{4.162a}$$

$$H_0 + \varepsilon H_1 = -\frac{1}{\tilde{r}} [G_0'(t_* + \tilde{r}) - G_0'(t_* - \tilde{r})] + \frac{\varepsilon}{\tilde{r}} (R_*^2 R_*')'(t_* - \tilde{r}) \tag{4.162b}$$

În absența unui câmp de presiune extern care acționează asupra lichidului, în ecuațiile (4.161) și (4.162) $G_0 = 0$.

Împunând condiția dinamică la pereții bulei, $h_* = h_{B*}$ la $r_* = R_*$, din ecuația (4.161b) rezultă:

$$\begin{aligned}
R_* R_*'' + \frac{3}{2} R_*'^2 - \varepsilon (R_*^2 R_*'' + 6R_* R_*' R_*'' + 2R_*'^3) &= \\
= h_{B*} + 2G_0''(t_*) + 4(\eta_{0*} - \eta_{r*}) \left[1 + \left(\frac{2\sqrt{3}}{k_*} \frac{|R_*'|}{R_*} \right)^n \right]^{-1} \frac{R_*'}{R_*} - \\
- 4(\eta_{0*} - \eta_{r*}) \left[1 + \left(\frac{2\sqrt{3}}{k_*} \frac{|R_*'|}{R_*} \right)^n \right]^{-1 n} \times \\
\times \left\{ 1 + \sum_{s=0}^{\infty} C_{s+1}^{s+1} \frac{1}{ns+n+1} \frac{1}{\left[1 + \left(\frac{2\sqrt{3}}{k_*} \frac{|R_*'|}{R_*} \right)^n \right]^{s-1}} \right\} \frac{R_*'}{R_*}
\end{aligned} \tag{4.163}$$

unde h_{B*} este forma adimensională a relației (4.46) iar p_B/p_r dat de relația (4.126).

Ecuatia (4.163) reprezintă ecuația de mișcare a peretelui bulei situată într-un lichid newtonian compresibil cu comportare pseudoplastică descrisă de relația Williamson. Această ecuație este valabilă la ordinul unu în ε , sau ținând seama că $\varepsilon = U/c_*$, la ordinul unu al numărului Mach la peretele bulei.

Dacă h_{B*} este aproximat prin (4.125) și folosind (4.126) se obține ecuația:

$$\begin{aligned}
 & R_* R_*'' + \frac{3}{2} R_*'^2 - \varepsilon (R_*^2 R_*''' + 6R_* R_*' R_*'' + 2R_*'^3) = \\
 & = 2G_0''(t_*) - 1 + qR_*^{-3\gamma} - \frac{C}{R_*} - 4\eta_{e*} \frac{R_*'}{R_*} - 4(\eta_{0*} - \eta_{e*}) \left[1 + \left(\frac{2\sqrt{3} |R_*'|}{k_* R_*} \right)^n \right]^{-1/n} \times \\
 & \times \left\{ 1 + \sum_{s=0}^{\infty} C_{s-1}^{s-1} \frac{1}{ns+n+1} \frac{1}{\left[1 + \left(\frac{2\sqrt{3} |R_*'|}{k_* R_*} \right)^n \right]^{s-1}} \right\} \frac{R_*'}{R_*}
 \end{aligned} \tag{4.164}$$

Pentru lichid incompresibil $\varepsilon = 0$ și ecuația (4.164) este identică cu (4.127). Dacă $\eta_{0*} = \eta_{e*} = \mu_*$, din (4.164), se obține ecuația:

$$R_* R_*'' + \frac{3}{2} R_*'^2 - \varepsilon (R_*^2 R_*''' + 6R_* R_*' R_*'' + 2R_*'^3) = h_{B*} \tag{4.165}$$

sau, în termeni de presiune:

$$\begin{aligned}
 & R_* R_*'' + \frac{3}{2} R_*'^2 - \varepsilon (R_*^2 R_*''' + 6R_* R_*' R_*'' + 2R_*'^3) = \\
 & = 2G_0''(t_*) - 1 + qR_*^{-3\gamma} - \frac{C}{R_*} - 4\eta_{e*} \frac{R_*'}{R_*}
 \end{aligned} \tag{4.166}$$

valabile pentru cazul bulei situată într-un lichid newtonian compresibil.

Forma dimensională a ecuației (4.163) este:

$$\rho_{\infty} \left[R\ddot{R} + \frac{3}{2}\dot{R}^2 - \frac{1}{c_{\infty}}(R^2\ddot{R} + 6R\dot{R}\ddot{R} + 2\dot{R}^3) \right] =$$

$$= p_{\infty} \left[2G_0^*(t_*) - 1 \right] + p_0 (R_0/R)^{3\gamma} - \frac{2\sigma}{R} - 4\eta_{\infty} \frac{\dot{R}}{R} - 4(\eta_0 - \eta_{\infty}) \left[1 + \left(\frac{2\sqrt{3}|\dot{R}|}{k_* R} \right)^n \right]^{-1/n} \times (4.167)$$

$$\times \left\{ 1 + \sum_{s=0}^{\infty} C_{s+1/n}^{s+1} \frac{1}{ns+n+1} \frac{1}{\left[1 + \left(\frac{2\sqrt{3}|\dot{R}|}{k_* R} \right)^n \right]^{s+1}} \right\} \frac{\dot{R}}{R}$$

Câteva aspecte ale ecuațiilor care descriu oscilația bulei în lichide newtoniene necesită un comentariu. Singurele mecanisme de amortizare a oscilației bulei de care se ține seama în (4.164) sunt cele datorate viscozității lichidului (ultimii doi termeni) și radiației acustice (termenul ce conține c_{∞}). Unul din termenii ce induce amortizarea oscilației bulei pe seama viscozității lichidului conține numai viscozitatea corespunzătoare vitezei de deformare infinită iar al doilea termen conține întreaga caracteristică pseudoplastică a viscozității. În faza de colaps a bulei ambii termeni sunt pozitivi în timp ce în faza de recuperare sunt negativi. În cazul soluțiilor apoase de polimeri, la orice viteză de deformare, viscozitatea soluției este mai mare decât a apei și, consecutiv, este de așteptat ca amortizarea oscilației bulei să fie mai mare. Amortizarea acustică provine de la termenul ce conține viteza sunetului în lichid; cu cât valoarea vitezei sunetului este mai mică cu atât amortizarea oscilației bulei este mai mare. Tensiunea superficială la interfața gaz-lichid determină creșterea vitezei peretelui bulei în faza de colaps și micșorarea acesteia în faza recuperării, termenul ce conține tensiunea superficială fiind întotdeauna negativ. Ecuațiile de tipul (4.163) și (4.164) necesită trei condiții inițiale, pentru R_* , R'_* și R''_* . Condiția inițială suplimentară pentru R''_* se poate obține din ecuația (4.127) păstrând același ordin de precizie (în ε) în ecuațiile (4.163) și (4.164).

4.3. Distribuția presiunii în lichidul înconjurător bulei

Soluțiile obținute pentru funcția de potențial și entalpie, date de relațiile (4.161) și (4.162), sunt valabile în diferite regiuni ale lichidului. Pentru determinarea distribuției presiunii în lichidul înconjurător bulei este necesar să se cunoască expresiile funcției de potențial și entalpiei, atât la ordinul zero cât și la ordinul unu, valabile peste tot în lichid. Din analiza relațiilor (4.161) și (4.162) rezultă la ordinul zero:

$$\Phi_*^{(0)} = \frac{1}{\varepsilon r_*} \left[G_0(t_* + \varepsilon r_*) - G_0(t_* - \varepsilon r_*) \right] - \frac{(R_*^2 R'_*)(t_*)}{r_*} + \alpha_0 \quad (4.168a)$$

și:

$$\begin{aligned}
h_*^{(0)} = & -\frac{1}{\varepsilon r_*} \left[G'_0(t_* + \varepsilon r_*) - G'_0(t_* - \varepsilon r_*) \right] + \frac{(R_*^2 R'_*)'(t_*)}{r_*} - \frac{1}{2} \frac{(R_*^2 R'_*)^2(t_*)}{r_*^4} - \\
& -4(\eta_{0*} - \eta_{x*}) \left[1 + \left(\frac{2\sqrt{3}}{k_* r_*^3} |(R_*^2 R'_*)(t_*)| \right)^n \right]^{-1} \frac{(R_*^2 R'_*)(t_*)}{r_*^3} + 4(\eta_{0*} - \eta_{x*}) \left[1 + \left(\frac{2\sqrt{3}}{k_* r_*^3} |(R_*^2 R'_*)(t_*)| \right)^n \right] \\
& \times \left\{ 1 + \sum_{s=0}^{\infty} C_{s+1}^{s+1} \frac{1}{ns+n+1} \left[\frac{1}{1 + \left(\frac{2\sqrt{3}}{k_* r_*^3} |(R_*^2 R'_*)(t_*)| \right)^n} \right]^{s-1} \right\} \frac{(R_*^2 R'_*)(t_*)}{r_*^3}
\end{aligned} \tag{4.168b}$$

iar la ordinul unu:

$$\Phi_*^{(1)} = \frac{1}{\varepsilon r_*} \left[G_0(t_* + \varepsilon r_*) - G_0(t_* - \varepsilon r_*) \right] - \frac{(R_*^2 R'_*)(t_* - \varepsilon r_*)}{r_*} + \alpha_0 \tag{4.169a}$$

și:

$$\begin{aligned}
h_*^{(1)} = & -\frac{1}{\varepsilon r_*} \left[G'_0(t_* + \varepsilon r_*) - G'_0(t_* - \varepsilon r_*) \right] - \frac{(R_*^2 R'_*)'(t_* - \varepsilon r_*)}{r_*} - \frac{1}{2} \frac{(R_*^2 R'_*)^2(t_*)}{r_*^4} - \\
& -4(\eta_{0*} - \eta_{x*}) \left[1 + \left(\frac{2\sqrt{3}}{k_* r_*^3} |(R_*^2 R'_*)(t_*)| \right)^n \right]^{-1} \frac{(R_*^2 R'_*)(t_*)}{r_*^3} + 4(\eta_{0*} - \eta_{x*}) \left[1 + \left(\frac{2\sqrt{3}}{k_* r_*^3} |(R_*^2 R'_*)(t_*)| \right)^n \right]^{-1n} \times \\
& \times \left\{ 1 + \sum_{s=0}^{\infty} C_{s+1}^{s+1} \frac{1}{ns+n+1} \left[\frac{1}{1 + \left(\frac{2\sqrt{3}}{k_* r_*^3} |(R_*^2 R'_*)(t_*)| \right)^n} \right]^{s-1} \right\} \frac{(R_*^2 R'_*)(t_*)}{r_*^3}
\end{aligned} \tag{4.169b}$$

În funcție de valorile lui r_* aceste expresii se reduc la formele corespunzătoare domeniului “aproape de bulă” sau la cele corespunzătoare domeniului “departe de bulă”. Astfel, dacă r_* are valori mici:

$$\begin{aligned}
& \frac{1}{\varepsilon r_*} \left[G_0(t_* + \varepsilon r_*) - G_0(t_* - \varepsilon r_*) \right] = \\
& = \frac{1}{\varepsilon r_*} \left[G_0(t_*) - G_0(t_*) + \varepsilon r_* G'_0(t_*) + \varepsilon r_* G'_0(t_*) \right] = 2G'_0(t_*)
\end{aligned} \tag{4.170}$$

și:

$$\frac{1}{r_*} (R_*^2 R_*') (t_* - \varepsilon r_*) = \frac{1}{r_*} \left[(R_*^2 R_*') (t_*) - \varepsilon r_* (R_*^2 R_*')' (t_*) \right] \quad (4.171)$$

si relatiile (4.168a) si (4.169a) se reduc la formele (4.108) si (4.159) valabile în zona "aproape de bulă". Dacă r_* are valori mari termenul $1/r_*$ este neglijabil si relatiile (4.168) si (4.169) se reduc la formele (4.118) si (4.160) valabile în zona "departe de bulă". Consideratii similare se pot face si pentru relatiile corespunzătoare entalpiei, (4.168b) si (4.169b).

Relatiile (4.168) si (4.169), desi valabile peste tot în lichid, nu satisfac conditia cinematică la peretele bulei, $\partial\Phi/\partial r_* = R_*'$, decât dacă $\varepsilon \rightarrow 0$. Prin derivarea relatiei (4.168a) rezultă:

$$\begin{aligned} \frac{\partial\Phi^{(0)}}{\partial r_*} (R_*, t_*) - R_*' (t_*) - \frac{1}{R_*} \left[G_0'(t_* + \varepsilon R_*) + G_0'(t_* - \varepsilon R_*) \right] - \\ - \frac{1}{\varepsilon R_*^2} \left[G_0(t_* - \varepsilon R_*) - G_0(t_* + \varepsilon R_*) \right] \end{aligned} \quad (4.172)$$

si, deci, o eroare este introdusă de termenii G_0 pentru ε finit. Acelasi rezultat se obtine si pentru $\Phi^{(1)}$. Remediul constă în introducerea noii variabile:

$$\tau_* = t_* \pm \varepsilon \left[r_* - R_*(t_*) \right] \quad (4.173)$$

care permite satisfacerea conditiei cinematice la peretele bulei chiar si pentru ε finit. Cu noua variabilă (4.173) se obtin următoarele relatii pentru entalpie:

la ordinul zero:

$$\begin{aligned} h_*^{(0)} = -\frac{1}{\varepsilon r_*} \left[G_0'(\tau_*) - G_0'(\tau_*) \right] - \frac{R_*}{r_*} \left[G_0'(\tau_*) + G_0'(\tau_*) \right] + \frac{(R_*^2 R_*')'(t_*)}{r_*} - \frac{1}{2} \frac{(R_*^2 R_*')^2(t_*)}{r_*^4} - \\ - 4(\eta_{*,*} - \eta_{*,*}) \left[1 + \left(\frac{2\sqrt{3}}{k_* r_*^3} |(R_*^2 R_*')(t_*)| \right)^n \right]^{-1} \frac{(R_*^2 R_*')(t_*)}{r_*^3} + \\ + 4(\eta_{*,*} - \eta_{*,*}) \left[1 + \left(\frac{2\sqrt{3}}{k_* r_*^3} |(R_*^2 R_*')(t_*)| \right)^n \right]^{1-n} \times \\ \times \left\{ 1 + \sum_{s=0}^{\infty} C_{s-1}^{s-1} \frac{1}{ns+n+1} \left[\frac{1}{1 + \left(\frac{2\sqrt{3}}{k_* r_*^3} |(R_*^2 R_*')(t_*)| \right)^n} \right]^{s-1} \right\} \frac{(R_*^2 R_*')(t_*)}{r_*^3} \end{aligned} \quad (4.174)$$

si la ordinul unu:

$$\begin{aligned}
h_i^{(1)} = & -\frac{1}{\varepsilon r_*} [G_0'(\tau_+) - G_0'(\tau_-)] - \frac{R_*}{r_*} [G_0''(\tau_+) + G_0''(\tau_-)] - \frac{1}{2} \varepsilon \frac{R_*^2}{r_*} [G_0'''(\tau_+) - G_0'''(\tau_-)] + \\
& + \frac{(R_*^2 R_*')'(\tau_-) - \varepsilon R_*(t) (R_*^2 R_*')''(\tau_-)}{r_*} - \frac{1}{2} \frac{(R_*^2 R_*')^2(t)}{r_*^4} - \\
& - 4(\eta_{0*} - \eta_{r*}) \left[1 + \left(\frac{2\sqrt{3}}{k_* r_*^3} |(R_*^2 R_*')(t)| \right)^n \right]^{-1} \frac{(R_*^2 R_*')(t)}{r_*^3} + \\
& + 4(\eta_{0*} - \eta_{r*}) \left[1 + \left(\frac{2\sqrt{3}}{k_* r_*^3} |(R_*^2 R_*')(t)| \right)^n \right]^{1-n} \times \\
& \times \left\{ 1 + \sum_{s=0}^{\infty} C_{s-1}^{s-1} \frac{1}{ns+n+1} \left[\frac{1}{1 + \left(\frac{2\sqrt{3}}{k_* r_*^3} |(R_*^2 R_*')(t)| \right)^n} \right]^{s-1} \right\} \frac{(R_*^2 R_*')(t)}{r_*^3} \quad (4.175)
\end{aligned}$$

În cazul oscilației bulei într-un câmp de presiune constant $G_0 = 0$ și folosind relația $h = p/p_* - 1$ se obține la ordinul zero:

$$\begin{aligned}
\frac{p}{p_*}(r_*) = & 1 + \frac{R_*^2}{r_*} R_*'' + 2 \frac{R_*}{r_*} R_*'^2 - \frac{1}{2} \frac{R_*^4}{r_*^4} R_*''^2 - \\
& - 4(\eta_{0*} - \eta_{r*}) \left[1 + \left(\frac{2\sqrt{3}}{k_* r_*^3} |R_*^2 R_*'| \right)^n \right]^{-1} \frac{R_*^2 R_*'}{r_*^3} + 4(\eta_{0*} - \eta_{r*}) \left[1 + \left(\frac{2\sqrt{3}}{k_* r_*^3} |R_*^2 R_*'| \right)^n \right]^{1-n} \times \\
& \times \left\{ 1 + \sum_{s=0}^{\infty} C_{s-1}^{s-1} \frac{1}{ns+n+1} \left[\frac{1}{1 + \left(\frac{2\sqrt{3}}{k_* r_*^3} |R_*^2 R_*'| \right)^n} \right]^{s-1} \right\} \frac{R_*^2 R_*'}{r_*^3} \quad (4.176)
\end{aligned}$$

Pentru $r_* = R_*$ în relația (4.176) și folosind (4.127) pentru a elimina termenul $R_* R_*'' + (3/2) R_*'^2$ rezultă ecuația presiunii în lichid la peretele bulei:

$$\frac{p_B}{p_*} = q R_*^{-3\gamma} - \frac{C}{R_*} - 4 \left[\eta_{r*} + \frac{\eta_{0*} - \eta_{r*}}{1 + \left(\frac{2\sqrt{3}}{k_* R_*^3} |R_*'| \right)^n} \right] \frac{R_*'}{R_*} \quad (4.177)$$

Ecuatiile (4.176) și (4.177) sunt identice cu cele obținute, pe o altă cale, în [77] și valabile pentru lichid incompresibil.

În cazul oscilației bulei într-un câmp de presiune constant, folosind relația (4.46) se obține la ordinul unu:

$$\begin{aligned}
 \frac{p}{p_r}(r_*) &= -\frac{B}{p_r} + \left(1 + \frac{B}{p_r}\right) \left\{ 1 + \varepsilon^2 (m-1) \left[\frac{(R_*^2 R_*'' + 2R_* R_*'^2)(\tau_-)}{r_*} - \right. \right. \\
 &\quad \left. \left. - \varepsilon \frac{R_*(t_*)}{r_*} (R_*^2 R_*'' + 6R_* R_*' R_*'' + 2R_*'^3)(\tau_-) - \frac{1}{2} \frac{R_*^4 R_*'}{r_*^4} - \right. \right. \\
 &\quad \left. \left. - 4(\eta_{0*} - \eta_{r*}) \left[1 + \left(\frac{2\sqrt{3}}{k_* r_*^3} |R_*^2 R_*'| \right)^n \right]^{-1} \frac{R_*^2 R_*'}{r_*^3} + 4(\eta_{0*} - \eta_{r*}) \left[1 + \left(\frac{2\sqrt{3}}{k_* r_*^3} |R_*^2 R_*'| \right)^n \right]^{-1n} \times \right. \\
 &\quad \left. \left. \times \left\{ 1 + \sum_{s=0}^{\infty} C_{s-1}^{s+1} \frac{1}{ns+n+1} \left[\frac{1}{1 - \left(\frac{2\sqrt{3}}{k_* r_*^3} |R_*^2 R_*'| \right)^n} \right]^{s-1} \right\} \frac{R_*^2 R_*'}{r_*^3} \right\}^{\frac{m-1}{m}} \right\} \quad (4.178)
 \end{aligned}$$

Dacă $h^{(1)}$ este aproximat prin $p/p_r - 1$ se obține tot la ordinul unu:

$$\begin{aligned}
 \frac{p}{p_r}(r_*) &= 1 + \frac{(R_*^2 R_*'' + 2R_* R_*'^2)(\tau_-)}{r_*} - \varepsilon \frac{R_*(t_*)}{r_*} (R_*^2 R_*'' + 6R_* R_*' R_*'' + 2R_*'^3)(\tau_-) - \frac{1}{2} \frac{R_*^4 R_*'}{r_*^4} - \\
 &\quad - 4(\eta_{0*} - \eta_{r*}) \left[1 + \left(\frac{2\sqrt{3}}{k_* r_*^3} |R_*^2 R_*'| \right)^n \right]^{-1} \frac{R_*^2 R_*'}{r_*^3} + 4(\eta_{0*} - \eta_{r*}) \left[1 + \left(\frac{2\sqrt{3}}{k_* r_*^3} |R_*^2 R_*'| \right)^n \right]^{-1n} \times \\
 &\quad \times \left\{ 1 + \sum_{s=0}^{\infty} C_{s-1}^{s+1} \frac{1}{ns+n+1} \left[\frac{1}{1 - \left(\frac{2\sqrt{3}}{k_* r_*^3} |R_*^2 R_*'| \right)^n} \right]^{s-1} \right\} \frac{R_*^2 R_*'}{r_*^3} \quad (4.179)
 \end{aligned}$$

Pentru a păstra același ordin de precizie în calculul lui $p(r_*)$ ecuația (4.178) trebuie cuplată cu (4.163) iar ecuația (4.179) cu (4.164). Relațiile (4.178) și (4.179) descriu distribuția presiunii în lichidul înconjurător bulei, considerat compresibil, nenewtonian cu comportare pseudoplastică descrisă de relația Williamson. Pentru $r_* = R_*$ în cele două relații și folosind (4.163) în (4.178) și, respectiv, (4.164) în (4.179) pentru a elimina termenul $R_* R_*'' + (3/2) R_*'^2 - \varepsilon (R_*^2 R_*'' + 6R_* R_*' R_*'' + 2R_*'^3)$ se obține ecuația presiunii în lichid la peretele bulei sub forma:

$$\frac{p_B}{p_\infty} = qR_*^{-3\gamma} - \frac{C}{R_*} - 4 \left[\eta_{\infty*} + \frac{\eta_{0*} - \eta_{\infty*}}{1 + \left(\frac{2\sqrt{3}}{k_*} \frac{|R_*|}{R_*} \right)^n} \right] \frac{R_*'}{R_*} \quad (4.180)$$

identică cu cea din cazul incompresibil [77].

4.4. Raza de echilibru a bulei

După un număr finit de oscilații, din cauza disipării vâscoase și acustice a energiei bulei, se ajunge la o poziție de echilibru caracterizată prin raza de echilibru a bulei R_e . În acest caz:

$$\dot{R} = \ddot{R} = \ddot{R} = 0 \quad (4.181)$$

și din ecuația de mișcare a peretelui bulei, atât în modelul incompresibil (4.128) cât și în cel compresibil (4.164), rezultă:

$$qR_e^{-3\gamma} - \frac{C}{R_e} - 1 = 0 \quad (4.182)$$

sau în variabile dimensionale:

$$R_e^{3\gamma} + \frac{2\sigma}{p_\infty} R_e^{3\gamma-1} - \frac{p_0}{p_\infty} R_0^{3\gamma} = 0 \quad (4.183)$$

Parametrii care controlează raza de echilibru a bulei sunt presiunea lichidului la infinit, p_∞ , raza inițială a bulei, R_0 , presiunea inițială a gazului din interiorul bulei, p_0 , și tensiunea superficială la interfața gaz-lichid, σ . Caracteristica reologică a lichidului, $\eta = \eta(\dot{\gamma})$, și viteza sunetului în lichid nu au influență asupra razei de echilibru a bulei.

4.5. Raza critică de oscilație a bulei

Raza critică de oscilație a bulei se obține folosind soluția liniarizată. În cazul oscilației razei bulei, în jurul poziției de echilibru, cu amplitudine mică:

$$R = R_e(1 + \delta) \quad , \quad |\delta| \ll 1 \quad (4.184)$$

Introducând (4.184) în (4.128), cu aproximațiile $(1 - \delta)^\alpha \cong 1 - \alpha \delta$, rezultă:

$$\rho_{\infty} R_e^2 \left[(1+\delta) \ddot{\delta} + \frac{3}{2} \dot{\delta}^2 \right] = -p_{\infty} + \frac{p_0}{p_{\infty}} \left(\frac{R_0}{R_e} \right)^{3\gamma} (1-3\gamma\delta) - \frac{2\sigma}{R_e} (1-\delta) - 4\eta_{\infty} \dot{\delta} (1-\delta) -$$

$$-4(\eta_0 - \eta_{\infty}) \left[1 + \left(\frac{2\sqrt{3}}{k} |\dot{\delta}| (1-\delta) \right)^n \right]^{-1/n-1} \times$$

$$\times \left\{ 1 + \sum_{s=0}^{\infty} C_{s+1/n}^{s+1} \frac{1}{ns+n+1} \frac{1}{\left[1 + \left(\frac{2\sqrt{3}}{k} |\dot{\delta}| (1-\delta) \right)^n \right]^s} \right\} \dot{\delta} |\dot{\delta}| (1-\delta)^2$$
(4.185)

Neglijând termenii de ordin superior în δ și $\dot{\delta}$ și folosind relația (4.183) se obține:

$$\ddot{\delta} + \frac{4\eta_{\infty}}{\rho_{\infty} R_e^2} \dot{\delta} + \frac{1}{\rho_{\infty} R_e^2} \left[3\gamma p_{\infty} + (3\gamma - 1) \frac{2\sigma}{R_e} \right] \delta = 0$$
(4.186)

care reprezintă ecuația unui oscilator liniar liber cu amortizare vâscoasă. Frecvența naturală de oscilație pentru oscilatorul (4.186) este:

$$f_0 = \frac{1}{2\pi R_e} \sqrt{\frac{1}{\rho_{\infty}} \left[3\gamma p_{\infty} + (3\gamma - 1) \frac{2\sigma}{R_e} \right] - \left(\frac{2\eta_{\infty}}{\rho_{\infty} R_e} \right)^2}$$
(4.187)

Raza critică de oscilație, $R_{0,c}$, la care oscilația bulei devine supra-amortizată se obține din condiția $f_0 = 0$; cu relația (4.183) scrisă sub forma:

$$R_{0,c} = R_e \left\{ \frac{p_{\infty}}{p_0} \left[1 + \frac{2\sigma}{p_{\infty} R_e} \right] \right\}^{1/3\gamma}$$
(4.188)

rezultă:

$$R_{0,c} = \frac{3\gamma - 1}{3\gamma} \frac{\sigma}{p_{\infty}} \left[-1 + \sqrt{1 + 3\gamma \rho_{\infty} p_{\infty} \left[\frac{2\eta_{\infty}}{(3\gamma - 1) \sigma \rho_{\infty}} \right]^2} \right] \times$$

$$\times \left\{ \frac{p_{\infty}}{p_0} \left[1 + \frac{6\gamma}{(3\gamma - 1) \left[-1 + \sqrt{1 + 3\gamma \rho_{\infty} p_{\infty} \left[\frac{2\eta_{\infty}}{(3\gamma - 1) \sigma \rho_{\infty}} \right]^2} \right]} \right] \right\}^{1/3\gamma}$$
(4.189)

Relatia (4.189) indică raza critică de oscilație a bulei situată într-un lichid newtonian cu comportare pseudoplastică. Același rezultat este obținut și în [77].

Același raționament este folosit pentru obținerea razei critice de oscilație a bulei atunci când se consideră și compressibilitatea lichidului. Introducând (4.184) în (4.166) și neglijând termenii de ordin superior în δ și $\dot{\delta}$ se obține:

$$\rho_{\infty} R_e^2 \left(\ddot{\delta} - \frac{R_e}{c_{\infty}} \ddot{\delta} \right) + 4\eta_{\infty} \dot{\delta} + \left[3\gamma p_{\infty} + (3\gamma - 1) \frac{2\sigma}{R_e} \right] \delta = 0 \quad (4.190)$$

Derivata de ordinul trei poate fi obținută prin derivarea relației (4.186) păstrând aceeași eroare, $O(1/c_{\infty}^2)$, în (4.190). Procedând astfel, relația (4.190) se scrie:

$$\begin{aligned} \left(1 + \frac{4\eta_{\infty}}{\rho_{\infty} c_{\infty} R_e} \right) \ddot{\delta} + \left\{ \frac{4\eta_{\infty}}{\rho_{\infty} R_e^2} + \frac{1}{\rho_{\infty} c_{\infty} R_e^2} \left[3\gamma p_{\infty} + (3\gamma - 1) \frac{2\sigma}{R_e} \right] \right\} \dot{\delta} + \\ + \frac{1}{\rho_{\infty} R_e^2} \left[3\gamma p_{\infty} + (3\gamma - 1) \frac{2\sigma}{R_e} \right] \delta = 0 \end{aligned} \quad (4.191)$$

Frecvența naturală de oscilație a oscilatorului liniar amortizat (4.191) este:

$$\begin{aligned} f_0 = \frac{1}{2\pi R_e} \left\{ \frac{1}{\rho_{\infty}} \left[3\gamma p_{\infty} + (3\gamma - 1) \frac{2\sigma}{R_e} \right] - \left(\frac{2\eta_{\infty}}{\rho_{\infty} R_e} \right)^2 - \right. \\ \left. - \frac{1}{c_{\infty}} \frac{2\eta_{\infty}}{\rho_{\infty} R_e} \left\{ \frac{3}{\rho_{\infty}} \left[3\gamma p_{\infty} + (3\gamma - 1) \frac{2\sigma}{R_e} \right] - 4 \left(\frac{2\eta_{\infty}}{\rho_{\infty} R_e} \right)^2 \right\} \right\}^{1/2} \end{aligned} \quad (4.192)$$

În obținerea relației (4.192) a fost folosită dezvoltarea:

$$\left(1 + \frac{4}{c_{\infty}} \frac{\eta_{\infty}}{\rho_{\infty} R_e} \right)^{-1} = 1 - \frac{4}{c_{\infty}} \frac{\eta_{\infty}}{\rho_{\infty} R_e} \quad (4.193)$$

care cere:

$$\frac{4\eta_{\infty}}{\rho_{\infty} c_{\infty} R_e} \ll 1 \quad (4.194)$$

Relația (4.192) reprezintă frecvența naturală de oscilație a bulei situată într-un lichid newtonian compressibil. Dacă, în (4.192), $c_{\infty} \rightarrow \infty$, rezultă frecvența naturală de oscilație a bulei situată într-un lichid newtonian incompressibil, (4.187). Dacă $\eta_{\infty} = \mu$, μ fiind viscozitatea newtoniană, se obține ecuația frecvenței naturale de oscilație a bulei situată într-un lichid newtonian compressibil [126].

Raza critică de oscilație a bulei se obține din condiția $f_0 = 0$. Cu notațiile:

$$M = \frac{1}{\rho_x} \left[3\gamma p_x + (3\gamma - 1) \frac{2\sigma}{R_e} \right] \quad , \quad N = \frac{2\eta_x}{\rho_x R_e} \quad (4.195)$$

rezultă, dacă (4.194) este îndeplinită, neglijând termenii în c_x^2 :

$$M - N^2 - \frac{3MN}{c_x} = 0 \quad (4.196)$$

Înlocuind (4.195) în (4.196) se obține:

$$R_{e,c}^2 \left[\begin{array}{cc} (3\gamma - 1)\sigma & 3\eta_x \\ 3\gamma p_x & \rho_x c_x \end{array} \right] R_{e,c} - \frac{4\eta_x}{3\gamma p_x p_x} \left[\begin{array}{cc} \eta_x & 3(3\gamma - 1)\sigma \\ \eta_x & c_x \end{array} \right] = 0 \quad (4.197)$$

o ecuație de forma:

$$R_{e,c}^2 + aR_{e,c} - b = 0 \quad , \quad a > 0 \quad , \quad b > 0 \quad (4.198)$$

Cu $\operatorname{tg} \varphi = \frac{2\sqrt{b}}{a}$ rezultă:

$$R_{e,c} = \sqrt{b} \operatorname{tg} \left(\frac{\varphi}{2} \right) \quad (4.199)$$

sau:

$$R_{e,c} = \frac{3\gamma - 1}{3\gamma} \frac{\sigma}{p_x} \left[1 - \frac{9\gamma p_x \eta_x}{(3\gamma - 1)\sigma \rho_x c_x} \right] \times \left\{ -1 + \sqrt{1 + 3\gamma \rho_x p_x \left[\frac{2\eta_x}{(3\gamma - 1)\sigma \rho_x} \right]^2 \left[1 + \frac{3(3\gamma - 1)\sigma}{\eta_x c_x} \left[1 - \frac{9\gamma p_x \eta_x}{(3\gamma - 1)\sigma \rho_x c_x} \right]^{-2}} \right\} \quad (4.200)$$

și folosind (4.188) se obține:

$$R_{0,c} = \frac{3\gamma - 1}{3\gamma} \frac{\sigma}{p_x} \left[1 - \frac{9\gamma p_x \eta_x}{(3\gamma - 1)\sigma \rho_x c_x} \right] \times \left\{ -1 + \sqrt{1 + 3\gamma \rho_x p_x \left[\frac{2\eta_x}{(3\gamma - 1)\sigma \rho_x} \right]^2 \left[1 + \frac{3(3\gamma - 1)\sigma}{\eta_x c_x} \left[1 - \frac{9\gamma p_x \eta_x}{(3\gamma - 1)\sigma \rho_x c_x} \right]^{-2}} \right\} \times \left[\frac{p_x}{p_0} \left[-1 + \frac{\frac{6\gamma}{(3\gamma - 1)} \left[1 - \frac{9\gamma p_x \eta_x}{(3\gamma - 1)\sigma \rho_x c_x} \right]^{-1}}{-1 + \sqrt{1 + 3\gamma \rho_x p_x \left[\frac{2\eta_x}{(3\gamma - 1)\sigma \rho_x} \right]^2 \left[1 + \frac{3(3\gamma - 1)\sigma}{\eta_x c_x} \left[1 - \frac{9\gamma p_x \eta_x}{(3\gamma - 1)\sigma \rho_x c_x} \right]^{-2}}} \right] \right]^{1/3\gamma} \quad (4.201)$$

Relatia (4.201) reprezintă raza critică de oscilație a bulei într-un lichid newtonian compresibil. Dacă $c_r \rightarrow \infty$ se obține raza critică de oscilație a bulei situată într-un lichid incompresibil, (4.189).

Valoarea lui $R_{0,c}$ din relațiile (4.189) și (4.201) determină comportarea bulei:

Dacă $0 < R_0 \leq R_{0,c}$ oscilația este supra-amortizată

Dacă $R_0 > R_{0,c}$ oscilația este amortizată.

4.6. Rezultate și discuții

Ecuatiile diferențiale (4.127), (4.176), (4.177) și (4.163), (4.178), (4.180) care descriu comportarea dinamică a bulei cavitationale sferice situată într-un lichid newtonian incompresibil, respectiv, compresibil au fost integrate numeric folosind o schemă cu diferențe finite.

Condițiile inițiale adoptate în calculele numerice sunt:

$$\text{la } t_* = 0 \quad R_* = 1 \quad \text{și} \quad R_*' = 0 \quad (4.202)$$

care implică, din punct de vedere experimental, cunoașterea razei bulei în faza expansiunii maxime. Tehnicile optice moderne permit determinarea razei maxime a bulei cu o precizie foarte bună [138, 142, 158]. Setul de ecuații (4.163), (4.178) și (4.180) necesită o condiție inițială suplimentară pentru accelerația peretelui bulei, R_*'' . Păstrând același ordin de precizie asupra efectului compresibilității lichidului condiția pentru R_*'' poate fi obținută substituind condițiile (4.202) în (4.127). Se obține:

$$\text{la } t_* = 0 \quad , \quad R_*'' = -1 + q - C \quad (4.203)$$

Calculele numerice sunt conduse pentru cazul situării bulei într-un câmp de presiune constant ($G_0 = 0$) cu amplitudinea $p_r = 101325 \text{ N/m}^2$. Valoarea adoptată pentru exponentul adiabatic este $\gamma = 1,4$ și este unanim acceptată în literatură [126, 131, 132, 149]. Influența comportării newtoniene a lichidului asupra dinamicii bulei este investigată pentru valori ale razei inițiale a bulei cuprinse între 10^{-2} și 1 mm iar raportul presiunilor inițiale între interiorul și exteriorul bulei, $q = p_o / p_r$, este modificat între 10^{-4} și 10^{-2} . Valoarea $s = 100$ pentru numărul de termeni ai sumei ce apare în ecuațiile de mișcare este adoptată.

Lichidele testate sunt o soluție apoasă de 0,5% carboximetilceluloză (CMC) și respectiv, 0,5% poli(acrilamidă) (PAM), frecvent folosite în investigațiile experimentale asupra evoluției cavității și distrugerilor cavitationale [14, 34, 37, 38], iar rezultatele sunt comparate cu cazul apei. Calculele numerice sunt conduse și pentru cazul situării bulei în sânge uman.

4.6.1. Variația în timp a razei bulei

Figurile 4.2 și 4.3 prezintă variația în timp a razei bulei în cele patru lichide testate

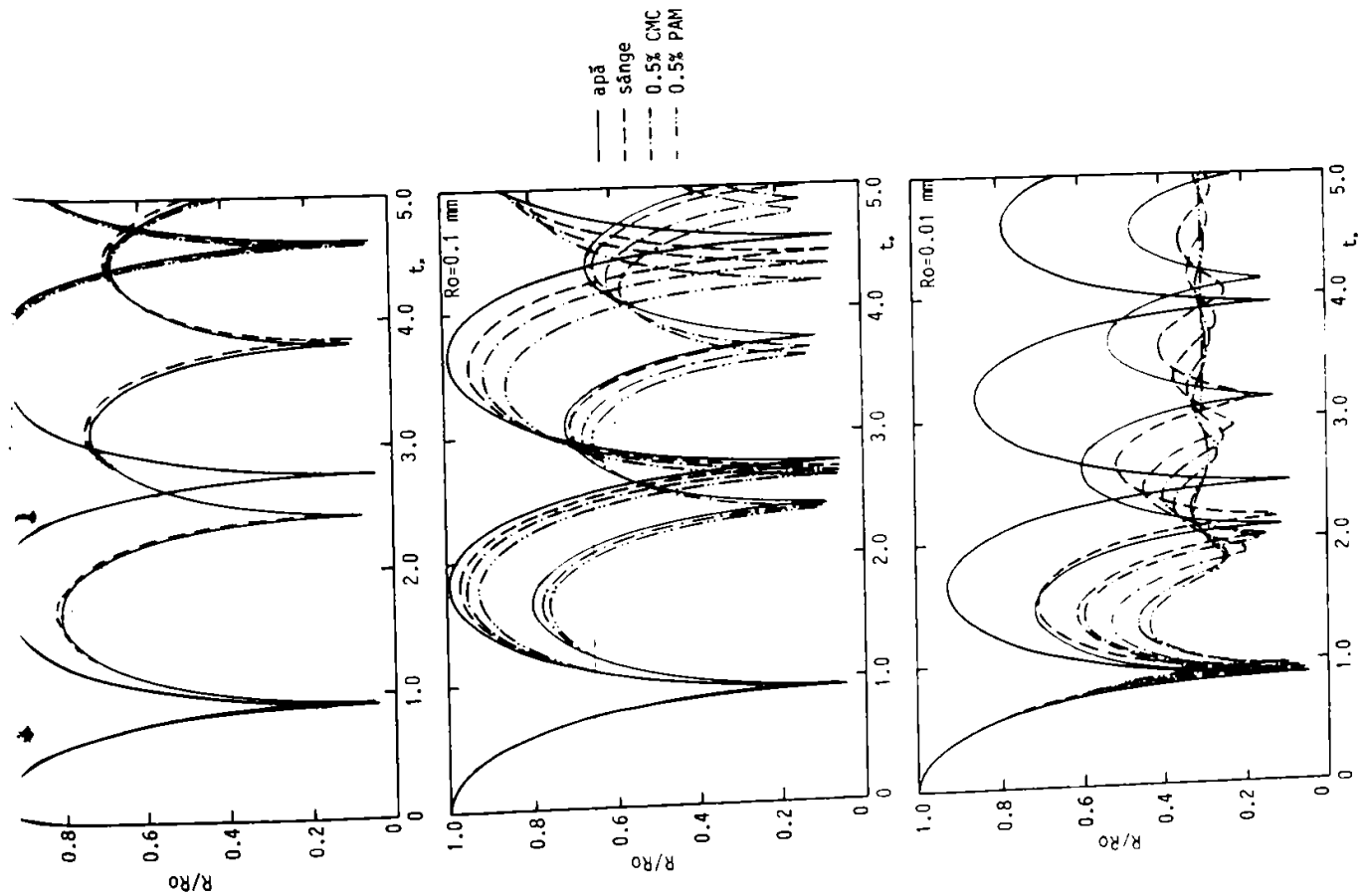


Figura 4.2. Variația în timp a razei bulei pentru $q=0.01$. Cu negru este ilustrată soluția modelului incompresibil iar cu roșu soluția modelului compresibil

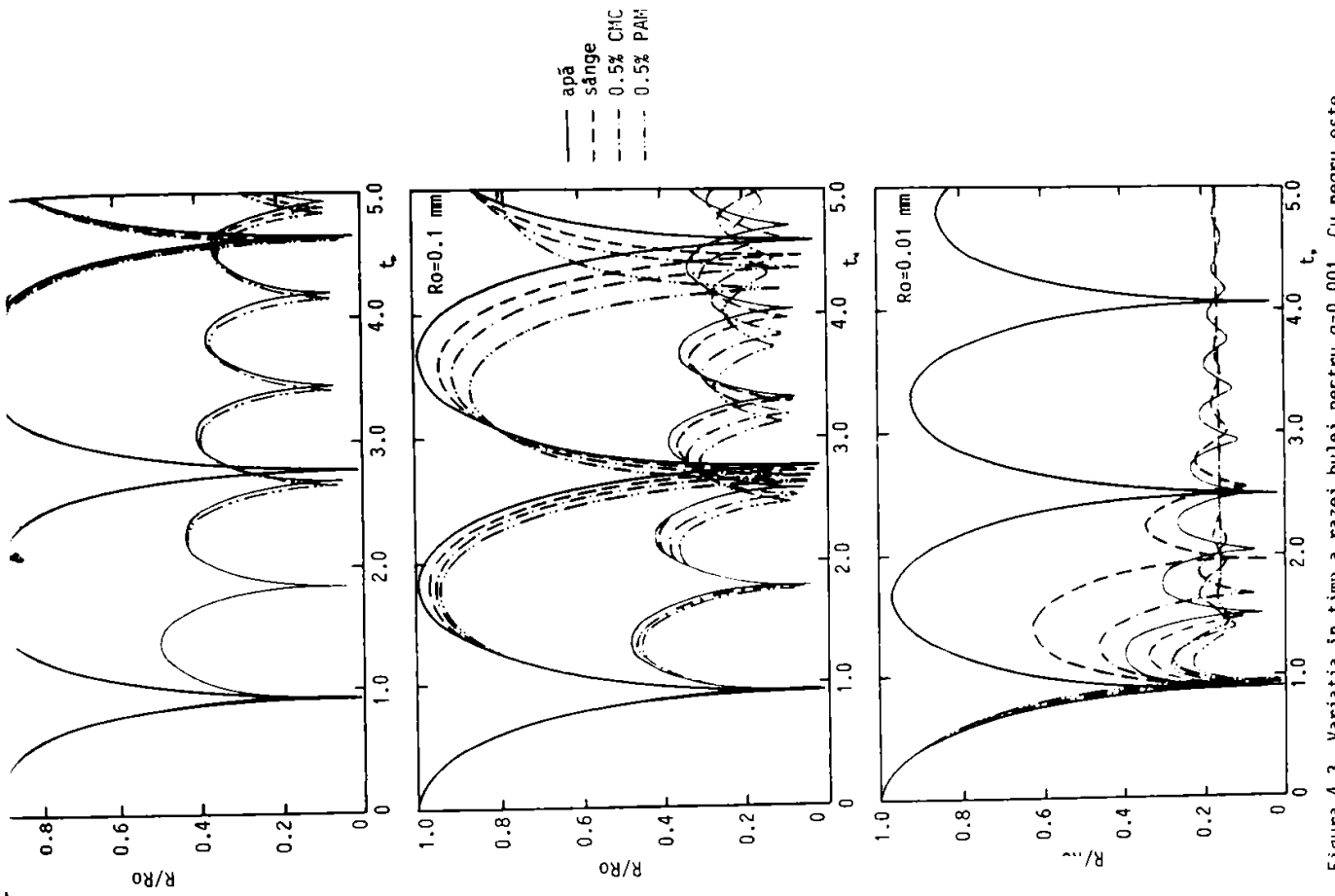


Figura 4.3. Variația în timp a razei bulei pentru $q=0.001$. Cu negru este ilustrată soluția modelului incompresibil iar cu roșu soluția modelului compresibil

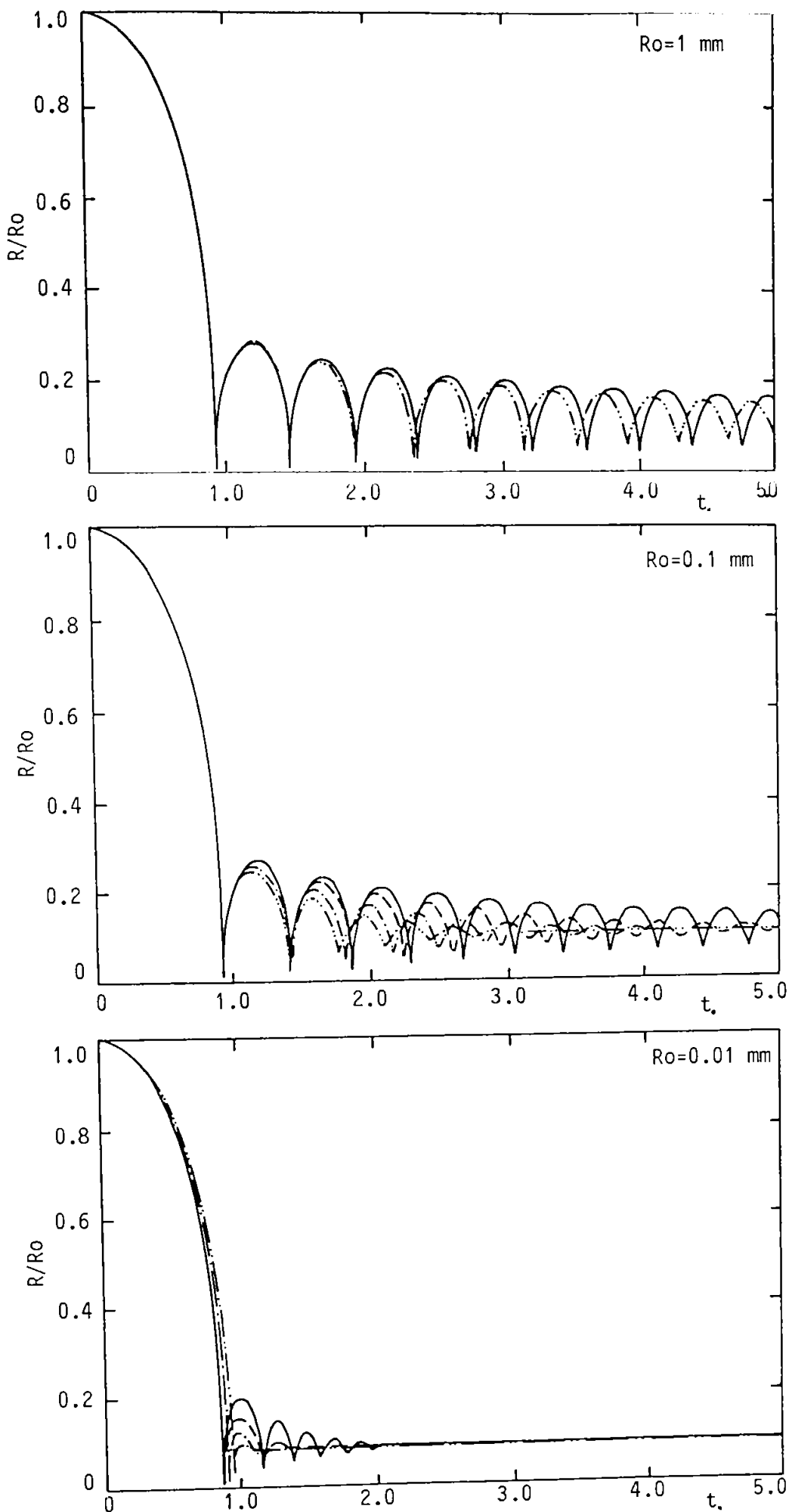


Figura 4.4. Variația în timp a razei bulei pentru $q=0,0001$. Numai soluția modelului compresibil este ilustrată

pentru $q = 10^{-2}$, respectiv, $q = 10^{-3}$ și valori ale razei inițiale a bulei $R_0 = 1, 10^{-1}$ și 10^{-2} mm. În ambele figuri cu negru este prezentată soluția modelului incompresibil iar cu roșu soluția modelului compresibil. Influența viscozității lichidului se manifestă prin amortizarea oscilației bulei și este cu atât mai mare cu cât raza inițială a bulei și raportul presiunilor inițiale între interiorul și exteriorul bulei sunt mai mici. Influența parametrilor reologici asupra oscilației bulei este sumarizată astfel. Cu cât valoarea parametrilor η_0 și η_1 este mai mare cu atât oscilația bulei este mai amortizată. În particular, influența viscozității corespunzătoare vitezei de deformare infinită este esențială. Același rezultat este obținut și în investigațiile numerice anterioare bazate pe formulări incompresibile și diverse ecuații reologice pentru descrierea caracteristicii pseudoplastice a viscozității [67, 71, 73, 74, 75, 77, 78, 88]. Influența viscozității corespunzătoare vitezei de deformare zero, η_0 , asupra oscilației bulei este minoră. Această observație se bazează pe compararea rezultatelor obținute folosind valorile adoptate pentru parametrii reologici (și prezentate în Tabelul 3.3) cu cele din cazul $\eta_0 = \eta_1$. Pentru comparație s-a folosit valoarea razei bulei $R_* = R/R_0$ la timpul $t_* = 5$. Pentru toate soluțiile testate, diferențele între valorile $R_*(t_* = 5)$ obținute în cele două cazuri sunt mai mici de 2%. Tabelul 4.1. prezintă, ca un exemplu, rezultatele obținute pentru bula situată în soluția de poliacrilamidă pentru $R_0 = 10^{-2}$ mm și $q = 10^{-2}$ când diferențele sunt pronunțate.

Tabelul 4.1. Influența parametrului reologic η_1 asupra oscilației bulei precizată prin valoarea razei bulei, sub formă adimensională, R_* la timpul $t_* = 5$. Rezultatele sunt obținute folosind modelul compresibil. Bula este situată în soluția apoasă de poliacrilamidă în concentrație 0,5%. $R_0 = 0,01$ mm și $q = 0,01$. Valorile η_0 , η_1 , k și n sunt cele date în Tabelul 3.3.

	η_0, η_1	$\eta_0 = \eta_1$
$R_*(t_* = 5)$	0,241791	0,237213

Efectul compresibilității lichidului se manifestă prin amortizarea oscilației bulei și este cu atât mai puternic cu cât raportul presiunilor inițiale, q , este mai mic și cu cât raza inițială a bulei este mai mare. Pentru $R_0 = 0,01$ mm influența compresibilității lichidului asupra oscilației bulei este redusă, amortizarea foarte mare fiind datorată, în special, viscozității corespunzătoare vitezei de deformare infinită. O tendință contrară a efectului compresibilității în raport cu raza inițială a bulei este observată în cazul apei. Rezultatele obținute pentru cazul apei, când $q = 10^{-2}$, sunt identice cu cele prezentate de Tomita și Shima [126].

Figura 4.4 prezintă variația în timp a razei bulei, pentru $q = 10^{-4}$ și $R_0 = 1, 10^{-1}$ și 10^{-2} mm, folosind modelul compresibil. Amortizarea celui de-al doilea ciclu de oscilație al bulei este remarcabilă dar minoră pentru ciclurile ulterioare cu excepția cazului în care $R_0 = 0,01$ mm. În acest caz, pentru soluția apoasă 0,5% PAM, există un singur ciclu de oscilație al bulei după care raza bulei se menține la o valoare de echilibru. Un rezultat diferit se obține pentru oscilația bulei situată în sânge uman atunci când raza inițială a bulei este 1 mm. Deși viscozitatea sângelui este mai mare decât cea a apei valoarea razei maxime a bulei după primul colaps este mai mare. Această tendință nu este, însă, amplificată la fiecare ciclu ulterior de oscilație al bulei și nici nu este observată la raze inițiale mai mici ale bulei.

De remarcat că atunci când raza inițială a bulei este de ordinul 1 mm influența aditivării cu polimeri asupra oscilației bulei este nesemnificativă. Această observație este susținută experimental de Chahine și Fruman [105] pentru bule cu rază maximă mai mare de 5 mm și Kezios și Schowalter [106] pentru bule cu raza maximă cuprinsă între 1,5 și 3,5 mm.

4.6.2. Viteza maximă de colaps a bulei

Figurile 4.5 - 4.9 indică valorile vitezei maxime de colaps a bulei, V_{max} , prezentate în funcție de raza minimă atinsă de bulă în punctul final al colapsului, R_{min} , pentru diferite valori ale raportului presiunilor inițiale între interiorul și exteriorul bulei, q , și valori ale razei inițiale $R_0 = 1, 0,1$ și $0,01$ mm. În fiecare figură simbolurile închise indică soluția modelului incompresibil iar cele deschise soluția modelului compresibil.

Compresibilitatea lichidului are un rol important în atenuarea colapsului bulei contribuind, în special, la reducerea semnificativă a vitezei maxime de colaps a bulei și, într-o măsură mai mică, la creșterea volumului minim atins de bulă în faza finală a colapsului. Efectul compresibilității lichidului asupra vitezei maxime de colaps este mai puternic la valori mari ale razei inițiale a bulei, R_0 , și ale raportului q . Valorile obținute folosind modelul incompresibil devin din ce în ce mai nerealistice la micșorarea raportului q - de exemplu, la $q = 5 \times 10^{-4}$ și $R_0 = 1$ mm (Figura 4.8), $V_{max} = 12$ km/s(!) - și din acest motiv numai rezultatele modelului compresibil sunt interpretate. Tot din acest motiv în Figura 4.9 se prezintă numai soluția modelului compresibil.

În cazul colapsului bulei cu $R_0 = 1$ mm în apă valorile V_{max} variază între aproximativ 190 m/s la $q = 10^{-2}$ și 2150 m/s la $q = 10^{-4}$ iar valorile R_{min}/R_0 între 0,059 la $q = 10^{-2}$ și 0,0073 la $q = 10^{-4}$. O ușoară tendință de creștere a valorii V_{max} și diminuare a valorii R_{min}/R_0 este observată la scăderea razei inițiale a bulei. Diferențele între valorile obținute la $R_0 = 10^{-2}$ mm și $R_0 = 1$ mm sunt mai mici de 6% la orice valoare q . Pentru valori mari ale raportului q ($q = 10^{-2}$ și $q = 5 \times 10^{-3}$) rezultatele sunt identice cu cele obținute în investigațiile numerice conduse de Fujikawa și Akamatsu [89], Tomita și Shima [126] și Prosperetti și Lezzi [132].

Aditivarea apei cu mici cantități de polimeri conduce la diminuarea vitezei maxime de colaps a peretelui bulei și la creșterea razei minime atinsă de bulă în punctul final al colapsului. Diferențele sunt cu atât mai pronunțate cu cât raza inițială a bulei este mai mică. În comparație cu cazul apei, la $R_0 = 10^{-2}$ mm, valorile V_{max} sunt de circa 4 ori mai mici în cazul soluției 0,5% PAM și de circa 2 ori mai mici în cazul soluției 0,5% CMC. În contrast, la $R_0 = 1$ mm diferențele sunt minore (practic nule) la orice valoare a raportului q . În plus, spre deosebire de cazul apei, în ambele soluții de polimeri valoarea vitezei maxime a peretelui bulei scade la micșorarea razei inițiale a bulei.

O comportare diferită este observată în cazul situării bulei în sânge uman. Colapsul bulei este mai violent decât în cazul apei atunci când raza inițială a bulei este 1 mm și această tendință este amplificată la micșorarea raportului presiunilor inițiale între interiorul și exteriorul bulei. Pentru $R_0 = 1$ mm și $q = 10^{-4}$ (Figura 4.9), viteza maximă de colaps a bulei în sânge uman este mai mare cu 71 m/s decât cea corespunzătoare cazului apei. Numai pentru $q = 10^{-4}$ colapsul bulei în sânge uman este mai violent decât în apă la $R_0 = 0,1$ mm. Totuși, la $R_0 = 0,01$ mm, atenuarea colapsului bulei este mai mare decât în apă. Singurele date disponibile în literatură pentru comparație sunt cele prezentate de Choi s.a. [159] care modelează analitic și numeric interacțiunea între o undă de soc cu amplitudinea 50 MPa cu o bulă cavitațională situată într-un lichid cu valori ale proprietăților fizice similare cu cele ale sângelui uman. În domeniul investigat, $R_0 = 3 - 30$ μ m, găsesc o atenuare a colapsului bulei în comparație cu cazul apei, rezultat similar cu cel obținut în prezenta investigație. Studiul lui Choi s.a. [159] este important din punctul de vedere al efectelor colaterale generate de evoluția bulei cavitaționale în litotritia extracorporală cu unde de soc. În acest caz, prezintă interes bulele a căror dimensiune inițială este de ordinul de mărime al nucleelor cavitaționale. În litotritia indusă cu laser, unde bulele cavitaționale sunt generate prin focalizarea razei laser

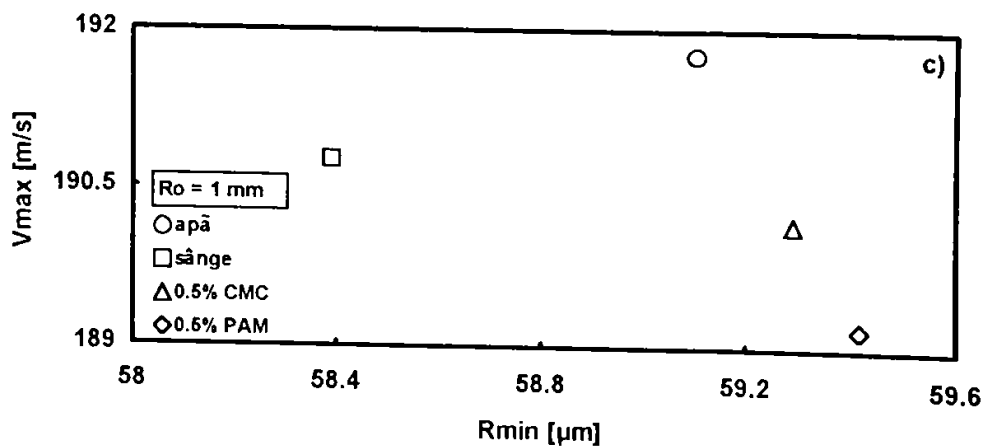
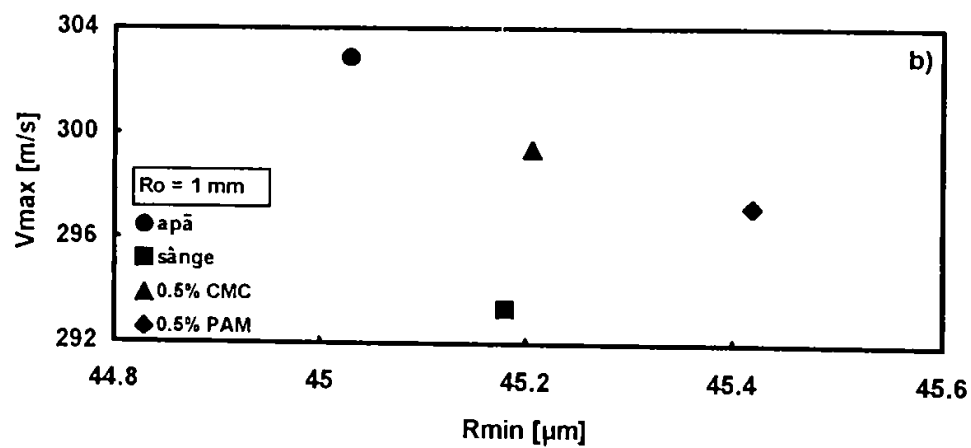
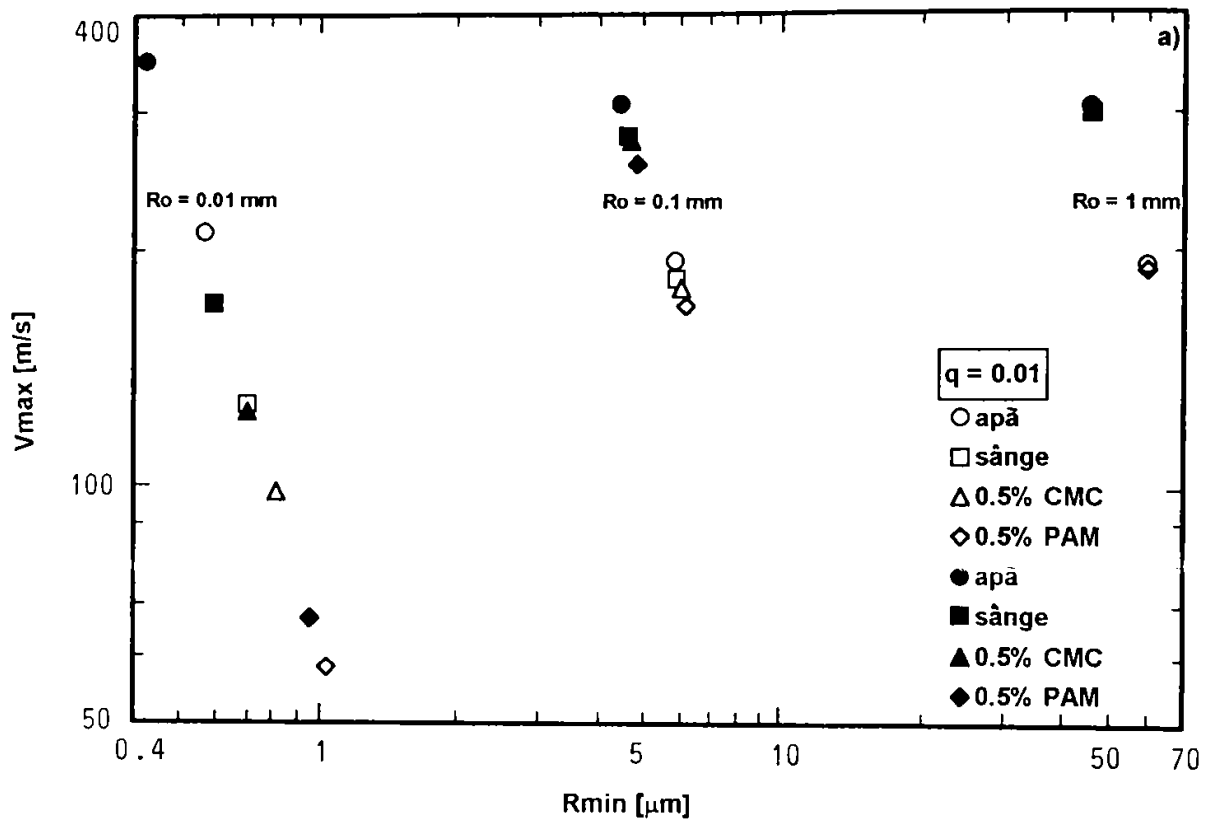


Figura 4.5. Viteza maximă de colaps a peretelui bulei în funcție de raza minimă a bulei în punctul final al colapsului pentru $q=0,01$ (a). Simbolurile închise indică soluția modelului incompresibil iar simbolurile deschise soluția modelului compresibil.(b) și (c) arată valorile obținute pentru $Ro=1$ mm.

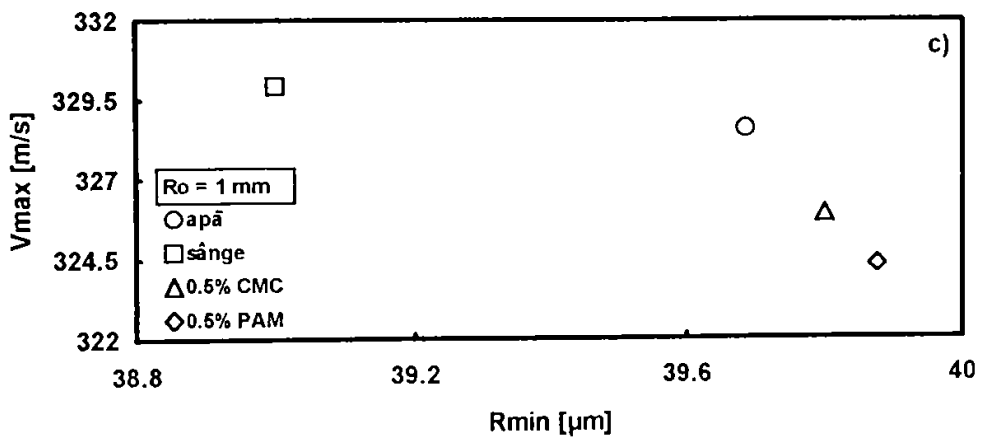
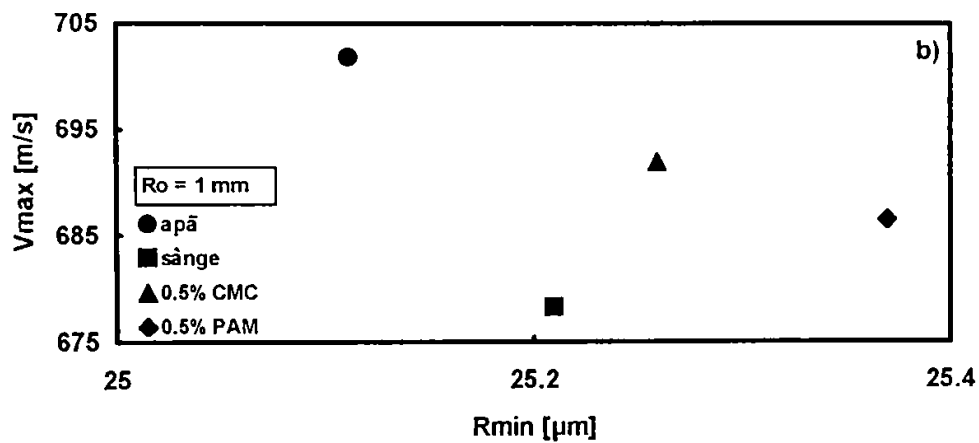
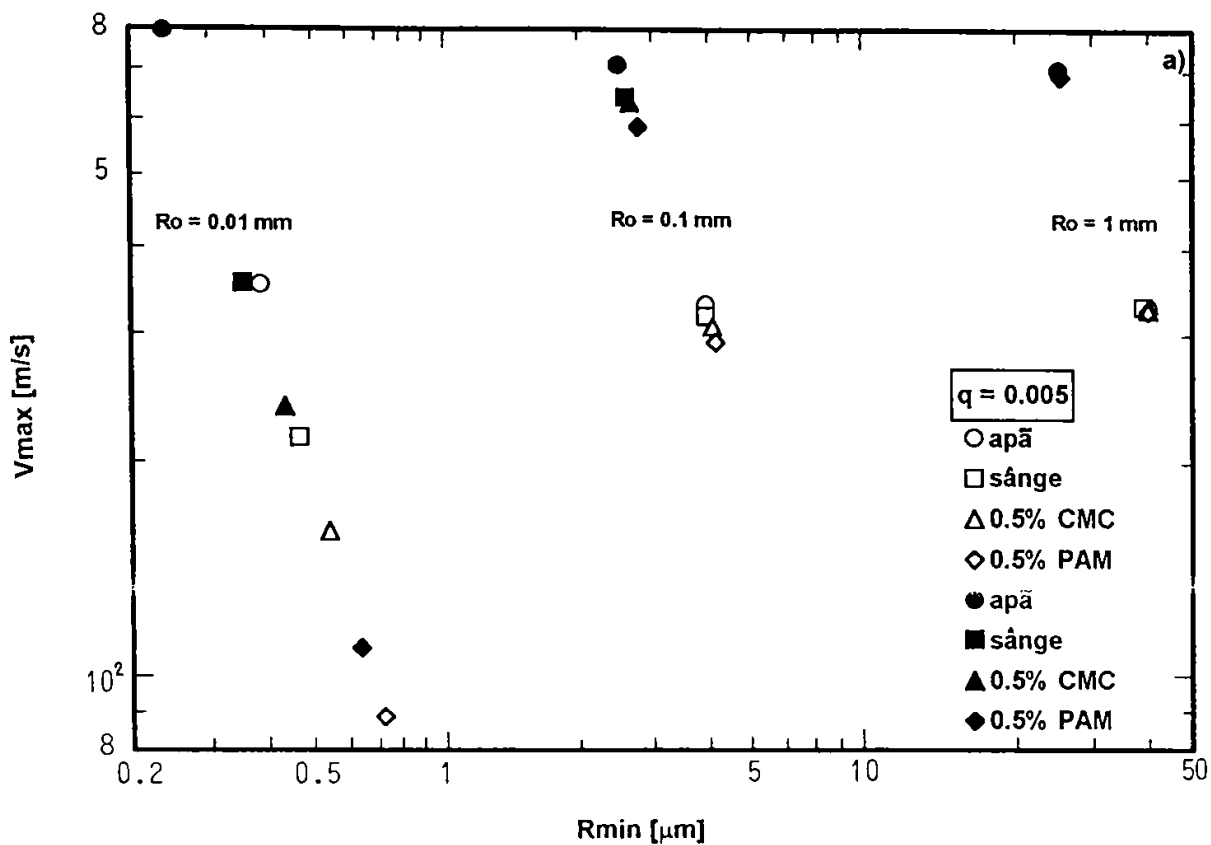


Figura 4.6. Viteza maximă de colaps a peretelui bulei în funcție de raza minimă a bulei în punctul final al colapsului pentru $q=0,005$ (a). Simbolurile închise indică soluția modelului incompresibil iar simbolurile deschise soluția modelului compresibil. (b) și (c) arată valorile obținute la $Ro=1$ mm.

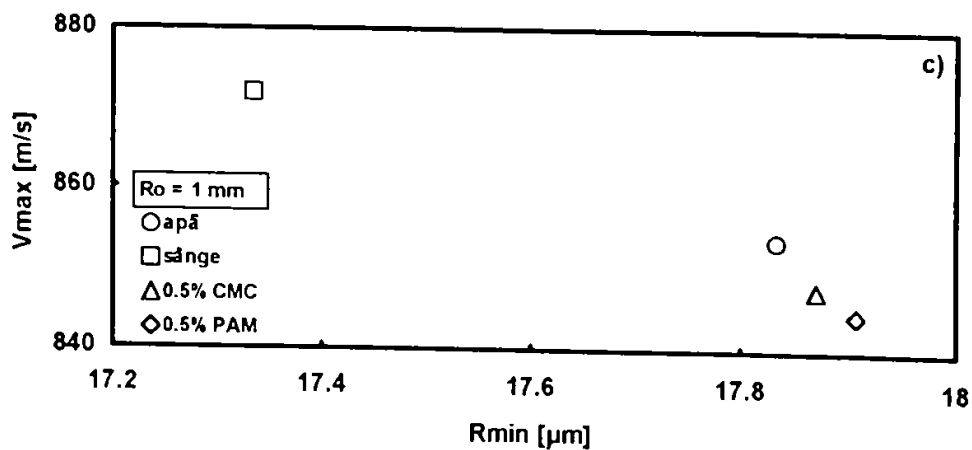
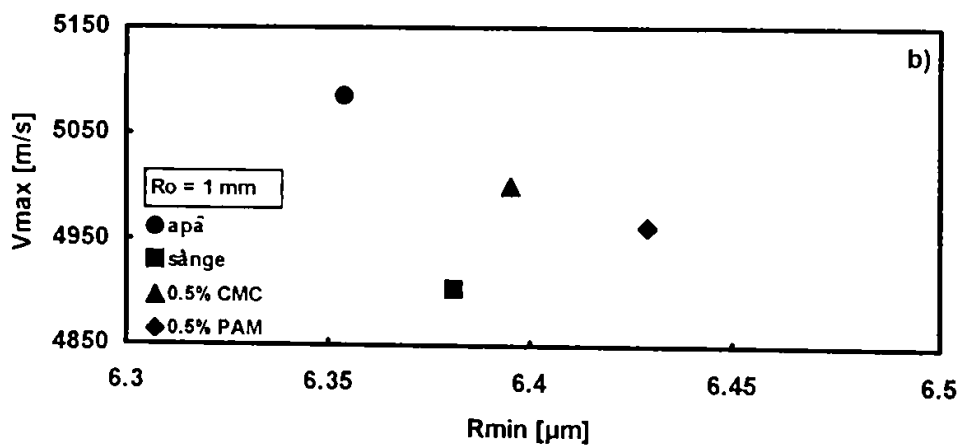
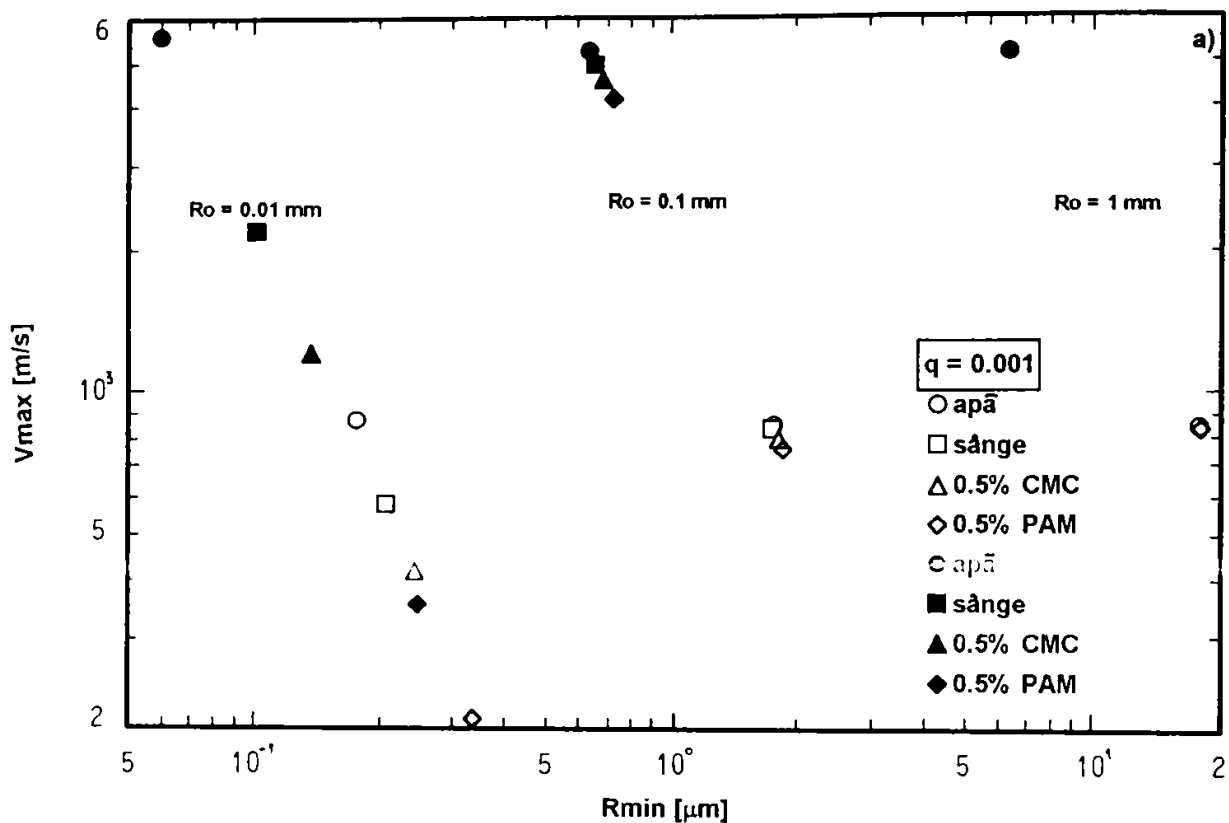


Figura 4.7. Viteza maximă de colaps a peretelui bulei în funcție de raza minimă a bulei în punctul final al colapsului pentru $q=0,001$ (a). Simbolurile închise indică soluția modelului incompresibil iar simbolurile deschise soluția modelului compresibil. (b) și (c) arată valorile obținute la $R_o=1$ mm

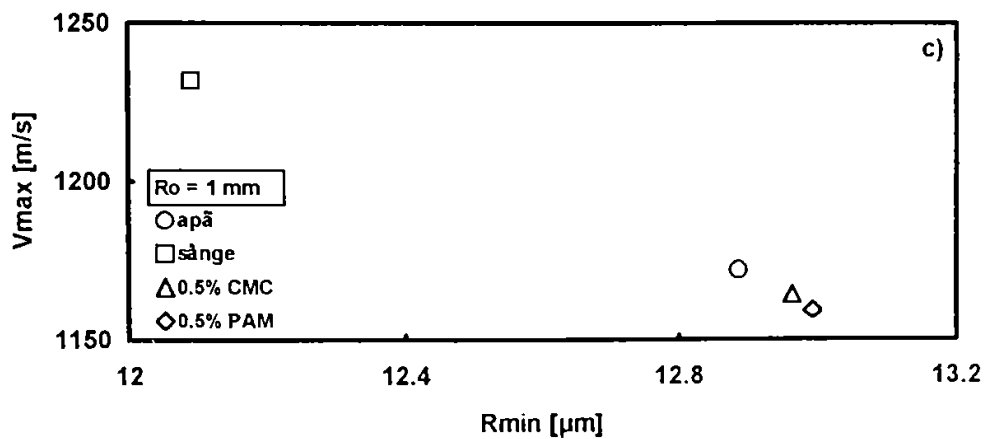
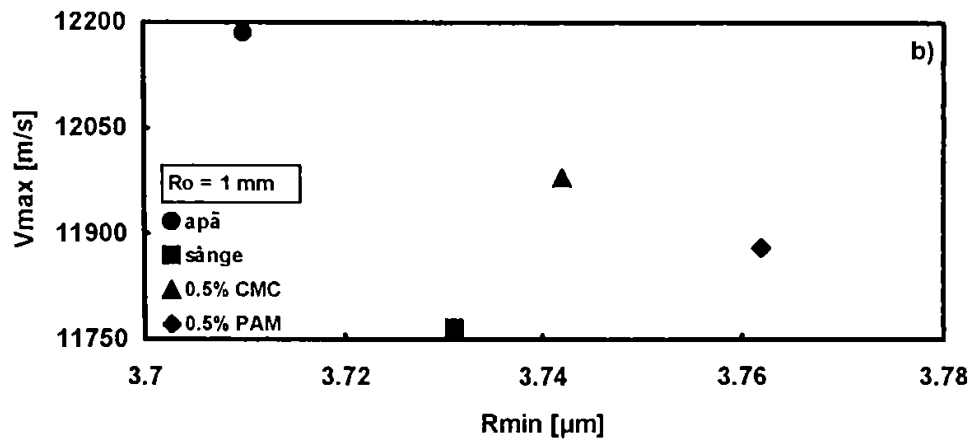
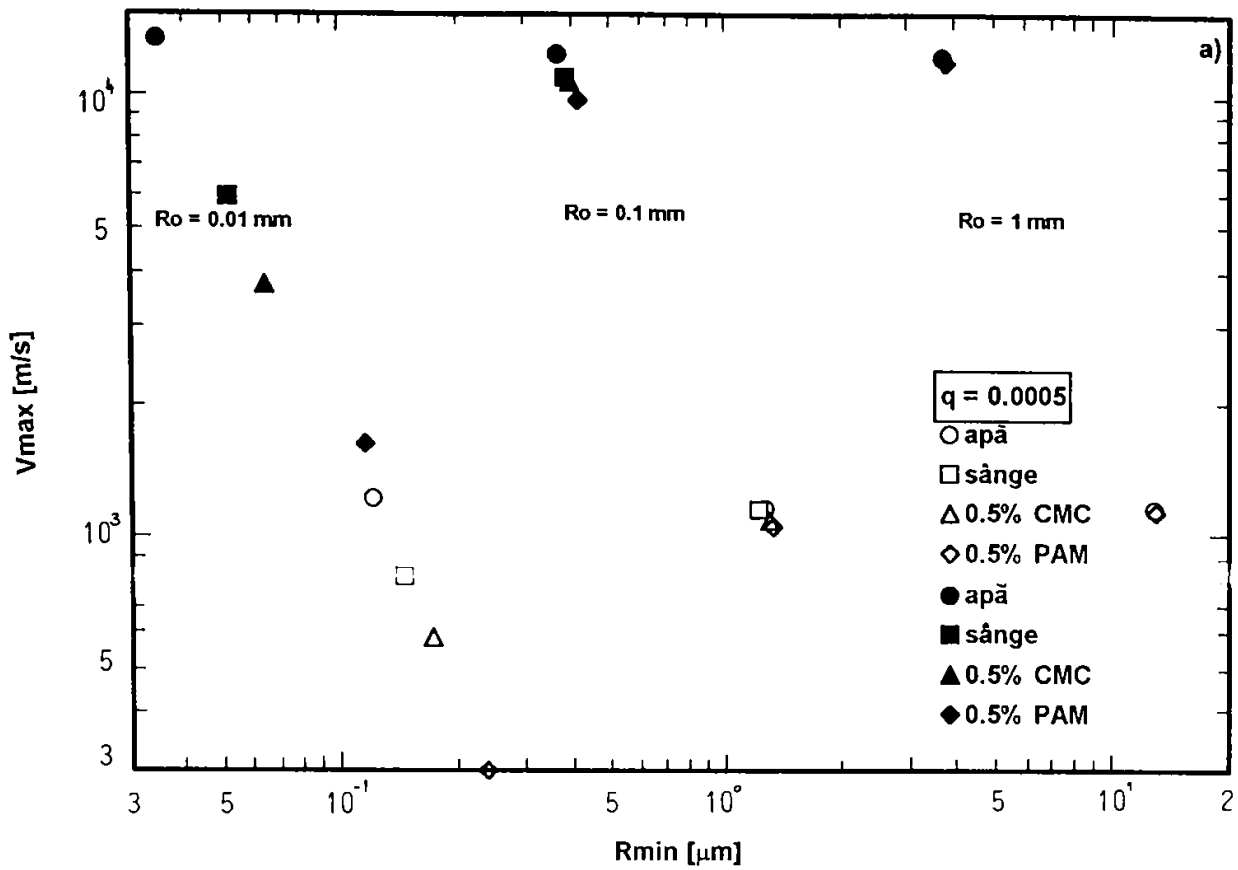


Figura 4.8. Viteza maximă de colaps a peretelui bulei în funcție de raza minimă a bulei în punctul final al colapsului pentru $q=0,0005$ (a). Simbolurile închise indică soluția modelului incompresibil iar simbolurile deschise soluția modelului compresibil. (b) și (c) arată valorile obținute la $Ro=1 \text{ mm}$

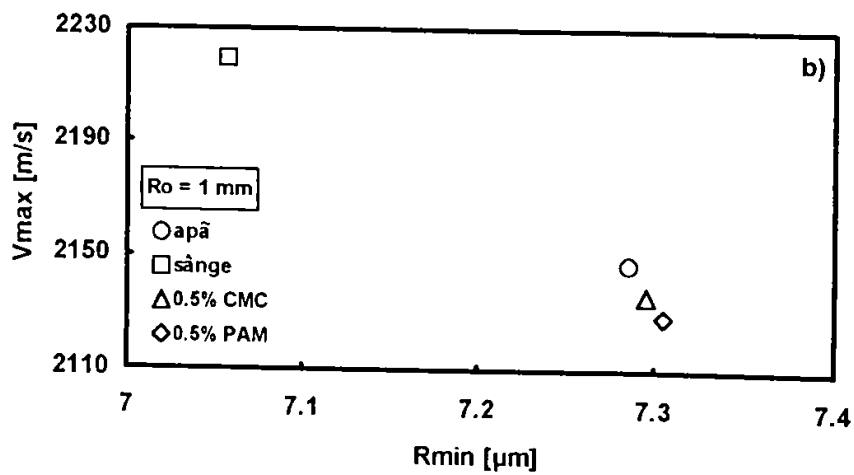
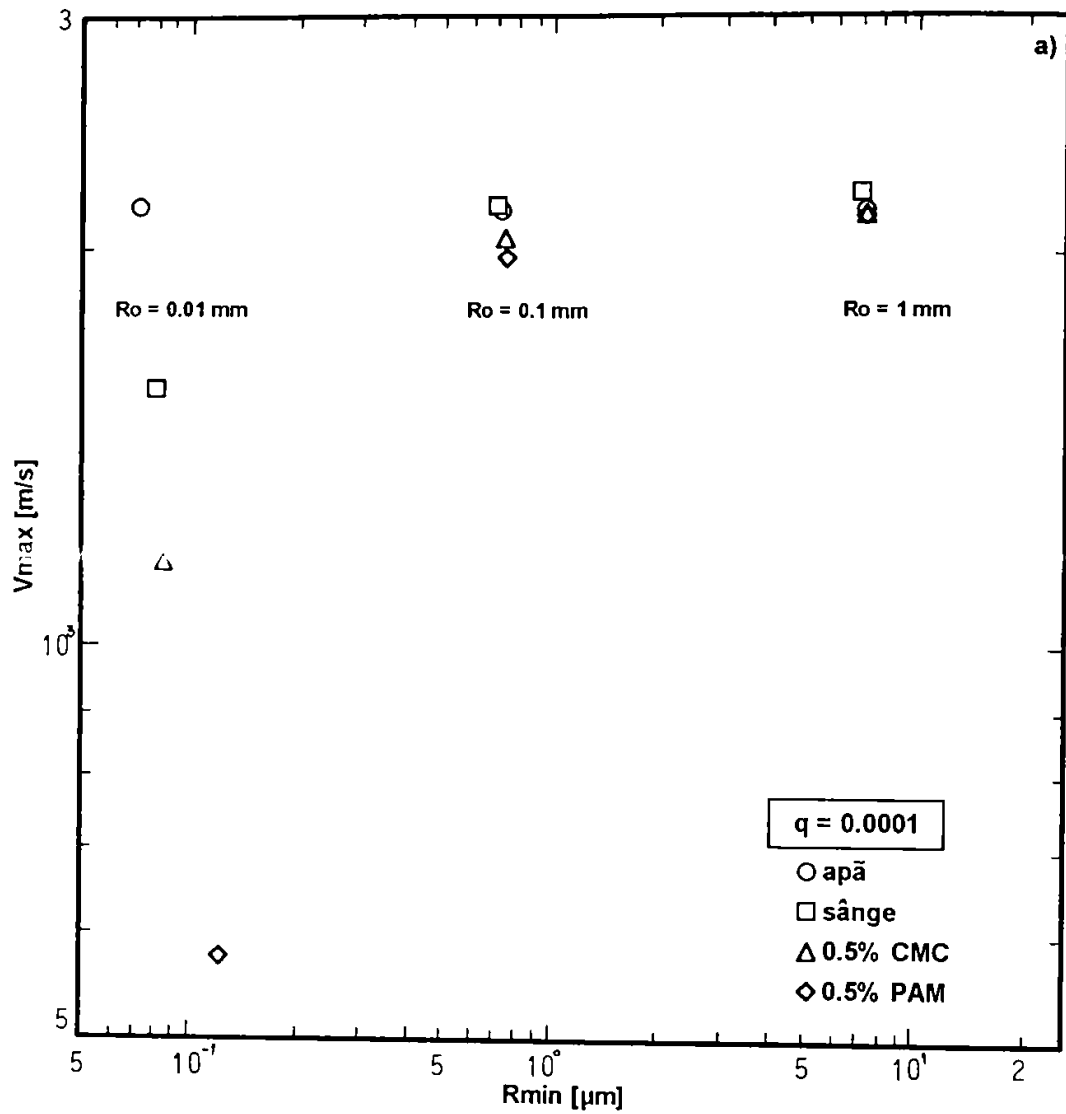


Figura 4.9. Viteza maximă de colaps a peretelui bulei în funcție de raza minimă a bulei în punctul final al colapsului pentru $q=0,0001$ (a). Numai soluția modelului compresibil este ilustrată. (b) arată valorile obținute la $Ro=1$ mm

în lichid, dimensiunea maximă a bulei este dependentă de durata și energia pulsului laser. Bule cu dimensiunea maximă de ordinul zecimilor de milimetri și chiar milimetrilor, pentru care intensificarea colapsului bulei în sânge uman a fost evidentiată, pot fi generate cu laserii cu durata pulsului de ordinul microsecundelor [160].

Un comentariu care încearcă să explice calitativ rezultatele obținute pe baza proprietăților fizice ale lichidelor este convenabil aici. Pentru a stabili influența proprietăților fizice ale lichidelor asupra valorilor critice V_{\max} și R_{\min}/R_0 este util de a evalua mărimea fiecărui parametru adimensional care intră în ecuația de mișcare a peretelui bulei (4.163). Atât timp cât ponderea viscozității corespunzătoare vitezei de deformare zero este minoră parametrii adimensionali supuși evaluării sunt $\eta_{r,*} = \eta_r / [R_0 (p_r \rho_r)^{1/2}]$, $C = 2\sigma / (R_0 p_r)$ și $\varepsilon = (p_r / \rho_r)^{1/2} / c_r$. De notat că influența viscozității corespunzătoare vitezei de deformare zero asupra colapsului bulei se manifestă în același mod ca și viscozitatea η_r , însă cu o intensitate mult mai mică. Primul parametru, negativ în ecuația de mișcare, este multiplicat cu R_0^3 care în faza de colaps a bulei are valoare negativă și, deci, influența acestui parametru este de a atenua colapsul bulei, în timp ce, al doilea parametru fiind tot timpul negativ va accelera colapsul bulei. Cel de-al treilea parametru este multiplicat în ecuația de mișcare a peretelui bulei de termenul $(R_0^2 R_0')$ care este pozitiv în faza de colaps și influența acestui parametru este de a atenua colapsul bulei. Valori mici ale tensiunii superficiale și vitezei sunetului în lichid și valori mari ale viscozității corespunzătoare vitezei de deformare infinită conduc la atenuarea colapsului bulei. Influența densității lichidului poate fi neglijată datorită valorilor aproximativ egale pentru toate soluțiile testate [80]. În ambele soluții de polimeri valoarea η_r este mai mare cea a apei, în timp ce, valorile σ și c_r sunt aproximativ egale. Parametrul $\eta_{r,*}$ fiind mai mare în ambele soluții de polimeri colapsul bulei este mai atenuat iar atenuarea este cu atât mai mare cu cât valoarea η_r este mai mare. În plus, $\eta_{r,*}$ depinde invers proporțional cu raza inițială a bulei și, în consecință, atenuarea colapsului este mult mai mare la raze mici ale bulei. În cazul sângelui uman valoarea tensiunii superficiale este mai mică decât cea a apei iar viscozitatea η_r este mai mare. În aceste condiții colapsul bulei este mai atenuat decât în apă și această atenuare este clar observată în rezultatele obținute folosind modelul incompresibil. Pe de altă parte, viteza sunetului în sânge uman este mai mare decât în apă. Parametrul adimensional ε va avea valori mai mici și colapsul bulei va fi mai violent. Valoarea lui ε este independentă de raza inițială a bulei, în timp ce, ponderea lui $\eta_{r,*}$ și C crește la scăderea lui R_0 . În consecință, colapsul bulei va fi din ce în ce mai atenuat pe măsura micșorării razei inițiale a bulei. Aceste tendințe sunt puse în evidență de rezultatele obținute folosind modelul compresibil.

Se observă că, în coordonate logaritmice, dependența vitezei maxime de colaps a peretelui bulei cu raza minimă a bulei este liniară. Acest lucru sugerează existența unei relații simple între cei doi parametri. Figura 4.10 prezintă variația vitezei maxime de colaps a bulei raportată la viteza medie de colaps, U , în funcție de raza minimă a acesteia. Numai influența raportului presiunilor inițiale între interiorul și exteriorul bulei, q , este semnificativă în timp ce influența proprietăților fizice ale lichidului este neglijabilă. Relația (4.164) descrie oscilația bulei situată într-un lichid newtonian compresibil cu comportare pseudoplastică. Când viteza peretelui bulei este maximă accelerația este nulă. Pentru foarte multe lichide, inclusiv cele testate, parametrul ε are valori apropiate de 10^{-3} și termenul care conține acest parametru poate fi neglijat. În ipoteza că bula este situată într-un câmp de presiune constant, neglijând influența proprietăților fizice ale lichidului, se obține:

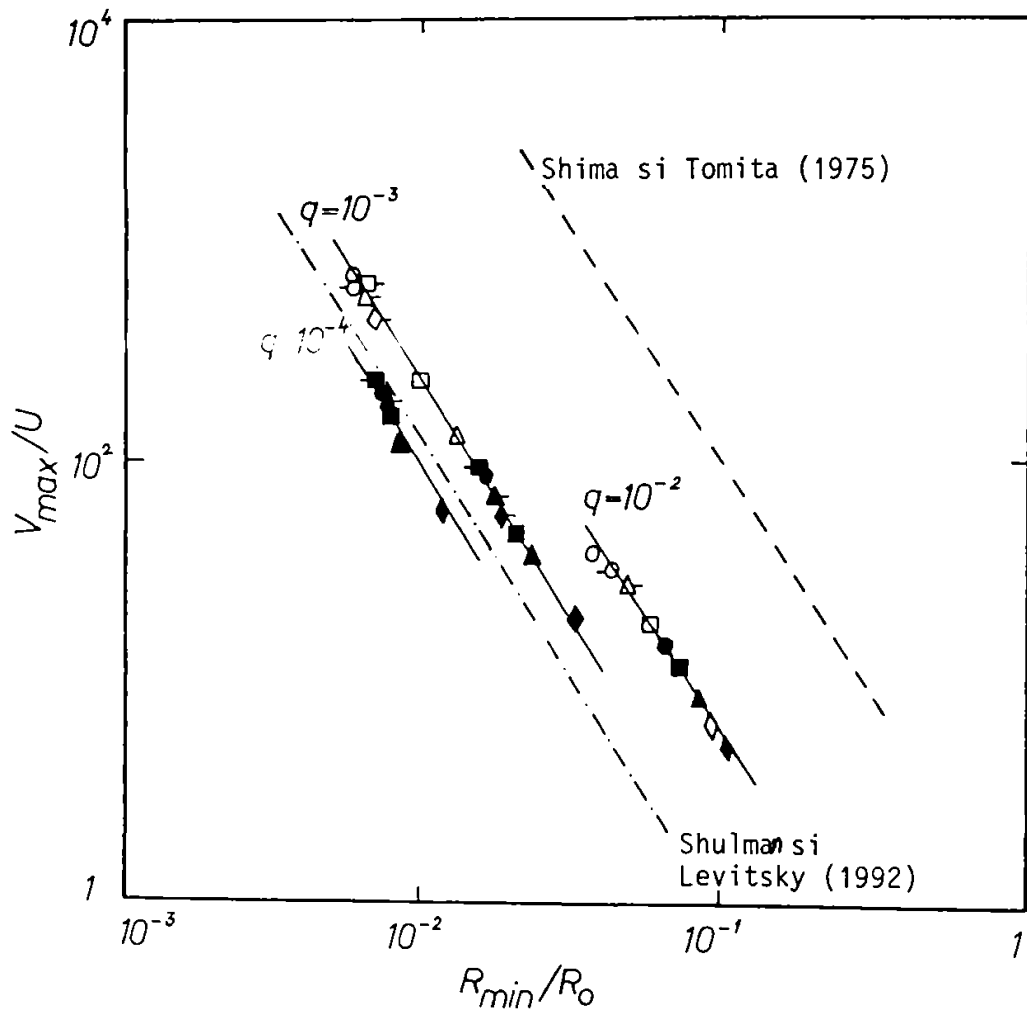


Figura 4.10. Viteza maximă de colaps a peretelui bulei raportată la viteza medie de colaps funcție de raza minimă a bulei raportată la raza inițială a bulei. Simbolurile închise reprezintă rezultatele numerice obținute folosind modelul compresibil iar simbolurile deschise modelul incompresibil. Cerc: apă, pătrat: sânge, triunghi: 0,5% CMC, romb: 0,5% PAM. Bara atasată simbolului în stânga: $R_0=1$ mm; bara atasată simbolului în dreapta: $R_0=0,1$ mm; fără bară: $R_0=0,01$ mm

$$\frac{V_{\max}}{U} = \sqrt{\frac{2}{3} \left[q \left(\frac{R_{\min}}{R_0} \right)^{-3\gamma} - 1 \right]} \quad (4.204)$$

Dacă $\gamma = 1$ și $q = 1$ relația (4.204) este similară cu cea obținută de Rayleigh. Valoarea maximă a vitezei peretelui bulei este obținută înainte de punctul final al colapsului și nu la raza minimă a bulei (în acest punct viteza este nulă). Rezultatele numerice arată că poziția temporală a punctului caracterizat prin viteza maximă a peretelui bulei depinde de raportul q astfel încât un coeficient de corecție trebuie atașat relației (4.204):

$$\frac{V_{\max}}{U} = \xi \sqrt{\frac{2}{3} \left[q \left(\frac{R_{\min}}{R_0} \right)^{-3\gamma} - 1 \right]} \quad (4.205)$$

Liniiile continue din figură reprezintă valorile obținute cu relația (4.205) la diferite valori q . Pentru $q = 10^{-2}$ și $q = 10^{-3}$ valoarea coeficientului este $\xi = 0,61$ iar la $q = 10^{-4}$ este $\xi = 0,75$. Linia întreruptă reprezintă rezultatele obținute folosind relația prezentată de Shima și Tomita [80], identice cu cele obținute folosind relația Rayleigh [123], iar linia întreruptă cu un punct indică rezultatele obținute folosind relația propusă de Shulman și Levitsky [154]. Superioritatea relației (4.205) în modelarea rezultatelor numerice este evidentă.

4.6.3. Timpul de colaps al bulei

Figura 4.11 variația primului timp de colaps al bulei, T_{c1} , în funcție de raza inițială a bulei, folosind atât modelul incompresibil cât și modelul compresibil, pentru valori q cuprinse între 10^{-2} și 10^{-4} . Pentru a evidenția comportarea bulei în fiecare lichid testat timpul de colaps este raportat la timpul de colaps Rayleigh [80] al bulei situată în apă:

$$T_{R,a} = 0,915 R_0 \sqrt{\frac{\rho_{\text{apă}}}{\rho_s}} \quad (4.206)$$

O primă observație este că în toate lichidele testate compresibilitatea lichidului conduce la o prelungire a primului timp de colaps al bulei iar influența raportului inițial al presiunilor între interiorul și exteriorul bulei este minoră. De exemplu, folosind rezultatele modelului incompresibil, pentru soluția 0,5% PAM la $R_0 = 1$ mm diferența între valoarea primului timp de colaps la $q = 10^{-2}$ și $q = 10^{-4}$ este de 1,045 μ s. Aditivarea apei cu mici cantități de polimeri determină o creștere a primului timp de colaps al bulei [75, 77]. În valori absolute diferențele între valorile primului timp de colaps al bulei, în ambele soluții de polimeri și apă, sunt relativ mici. Astfel, la $q = 10^{-4}$, între soluția 0,5% PAM și apă diferența este de 227 ns la $R_0 = 1$ mm, de 97 ns la $R_0 = 0,1$ mm și de 87 ns la $R_0 = 0,01$ mm, și de aproximativ 1,5 ori mai mică între soluția 0,5% CMC și apă. Asemenea mici diferențe ridică probleme din punct de vedere experimental în evaluarea influenței aditivării cu polimeri asupra primului timp de colaps al bulei. Deși timpul de colaps al bulei poate fi măsurat cu o precizie de 10 ns [138, 140] trebuie avut în vedere că determinarea razei maxime a bulei este esențială. O eroare de evaluare de 1 μ m asupra razei maxime a bulei conduce, chiar și în

cazul unui colaps perfect sferic, la o modificare a primului timp de colaps cu aproximativ 90 ns, valoare ce este de ordinul de mărime al diferenței dată de aditivarea apei cu polimeri. Se poate concluziona că influența aditivării cu mici cantități de polimeri asupra primului timp de colaps al bulei este nesemnificativă. O concluzie similară poate fi stabilită și în ceea ce privește comportarea bulei în sânge uman.

Figura 4.12 prezintă valorile celui de-al doilea timp de colaps al bulei, T_{c2} , raportat la timpul de colaps Rayleigh al bulei situată în apă în funcție de raza inițială a bulei pentru valori q cuprinse între 10^{-2} și 10^{-4} . În acest caz compresibilitatea lichidului conduce la reducerea considerabilă a valorii T_{c2} , în special, la valori ale razei inițiale a bulei cuprinse între 0,1 și 1 mm. Al doilea timp de colaps al bulei este mult mai sensibil la modificarea raportului presiunilor inițiale între interiorul și exteriorul bulei. Cu cât raportul q este mai mic cu atât valoarea T_{c2} este mai mică. De exemplu, folosind soluția modelului compresibil, la $R_0 = 1$ mm, valoarea T_{c2} pentru bula situată în soluția 0,5% PAM, la $q = 10^{-2}$, este cu 75.800 μ s mai mare decât cea corespunzătoare la $q = 10^{-4}$.

Aditivarea cu polimeri conduce la diminuarea celui de-al doilea timp de colaps al bulei. La $q = 10^{-4}$, diferențele între soluția 0,5% PAM și apă sunt de 966 ns la $R_0 = 1$ mm, de 282 ns la $R_0 = 0,1$ mm și de 81 ns la $R_0 = 0,01$ mm. O eroare de evaluare a razei maxime a bulei de 1 μ m conduce la o modificare a celui de-al doilea timp de colaps al bulei cu aproximativ 150 ns care este și în acest caz de ordinul de mărime al diferenței induse prin aditivarea apei cu polimeri. Concluzia referitoare la influența aditivării cu polimeri asupra primului timp de colaps se extinde și la al doilea timp de colaps al bulei. O prelungire a celui de-al doilea timp de colaps al bulei cu aproximativ 3% față de cazul apei este observată în sânge uman.

Ceea ce va prezenta interes deosebit în cadrul experimentului este faptul că spre deosebire de primul timp de colaps al bulei influența raportului presiunilor inițiale între interiorul și exteriorul bulei asupra celui de-al doilea timp de colaps este semnificativă.

4.6.4. Amortizarea oscilației bulei

Rezultatele prezentate anterior pun în evidență amortizarea oscilației bulei datorată compresibilității și viscozității lichidului, în special, a viscozității corespunzătoare vitezei de deformare infinită, η_v . Putem adăuga încă un exemplu celor deja date. Figura 4.13 prezintă valorile vitezei maxime a peretelui bulei înainte, V_{max} , și după primul colaps al bulei, V'_{max} . Rezultatele sunt obținute folosind modelul compresibil pentru $q = 10^{-4}$ și $R_0 = 1$ și 0,1 mm. O puternică reducere a vitezei maxime a peretelui bulei este observată după primul colaps al bulei. Comparând rezultatele obținute în cazul soluțiilor de polimeri cu cele din cazul apei se constată că valoarea raportului celor două viteze, înainte și după primul colaps, scade la micșorarea razei inițiale a bulei și la creșterea viscozității η_v . Cele mai mari valori se obțin în cazul colapsului în sânge uman datorită valorii superioare a vitezei sunetului în sânge. Rezultatele obținute și în acest exemplu confirmă tendințele prezentate anterior.

Amortizarea oscilației bulei este datorată pierderii de energie în timpul colapsului. În momentul în care bula se află în faza expansiunii maxime viteza peretelui bulei este zero și energia totală a sistemului este dată de energia potențială a bulei care este proporțională, într-o primă aproximație, cu cubul razei maxime a bulei. Pierderea de energie a bulei în timpul colapsului poate fi determinată comparând valorile maxime ale razei bulei între două cicluri de oscilație consecutive. Rezultatele obținute folosind modelul compresibil indică efectul cumulat al viscozității și compresibilității lichidului asupra amortizării oscilației bulei,

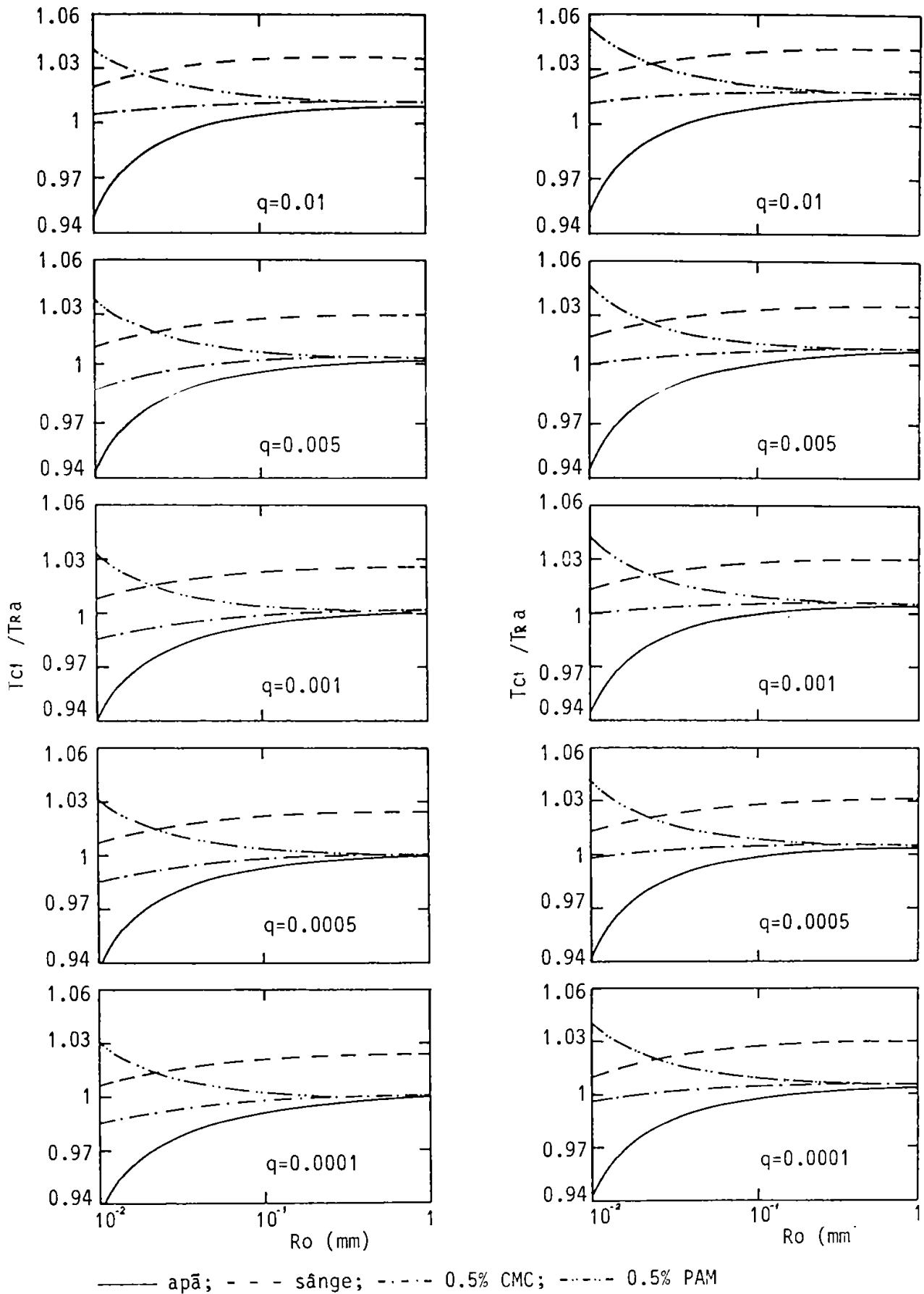


Figura 4.11. Variația primului timp de colaps al bulei în funcție de raza inițială a bulei. Coloana din stânga indică rezultatele obținute folosind modelul incompresibil iar coloana din dreapta rezultatele modelului compresibil

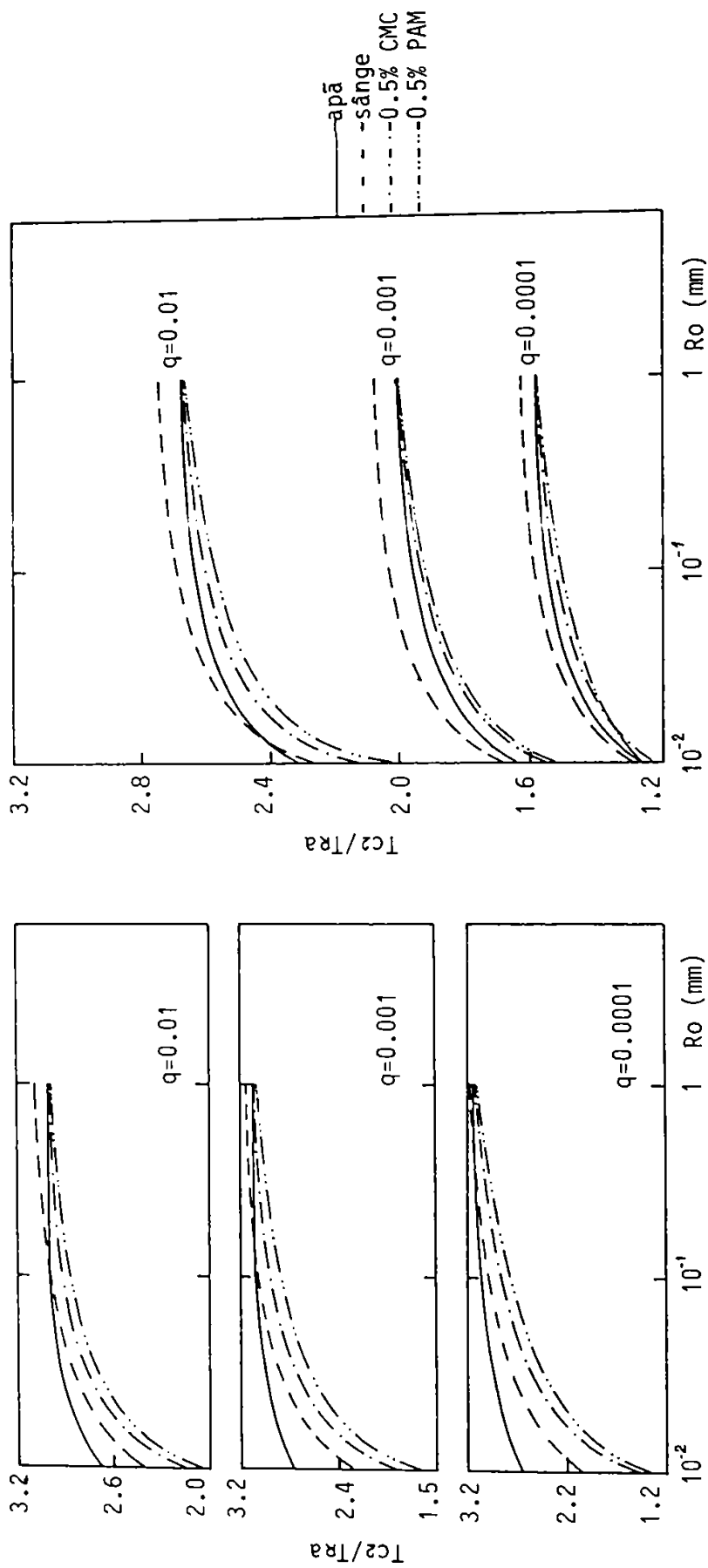


Figura 4.12. Variatia celui de-al doilea timp de colaps în functie de raza inițială a bulei. Coloana din stânga indică rezultatele obținute folosind modelul incompresibil iar coloana din dreapta rezultatele modelului compresibil

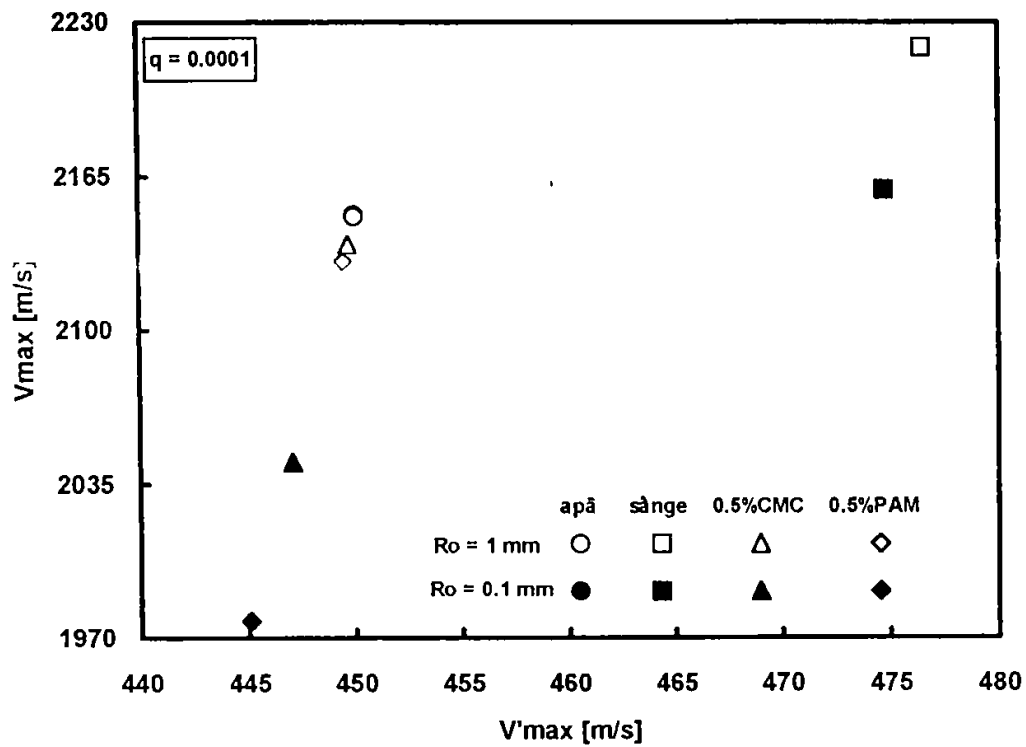


Figura 4.13. Viteza maximă de colaps a peretelui bulei înainte, V_{max} , și după primul colaps al bulei, V'_{max} , pentru $q=0,0001$. Rezultatele sunt obținute folosind modelul compresibil

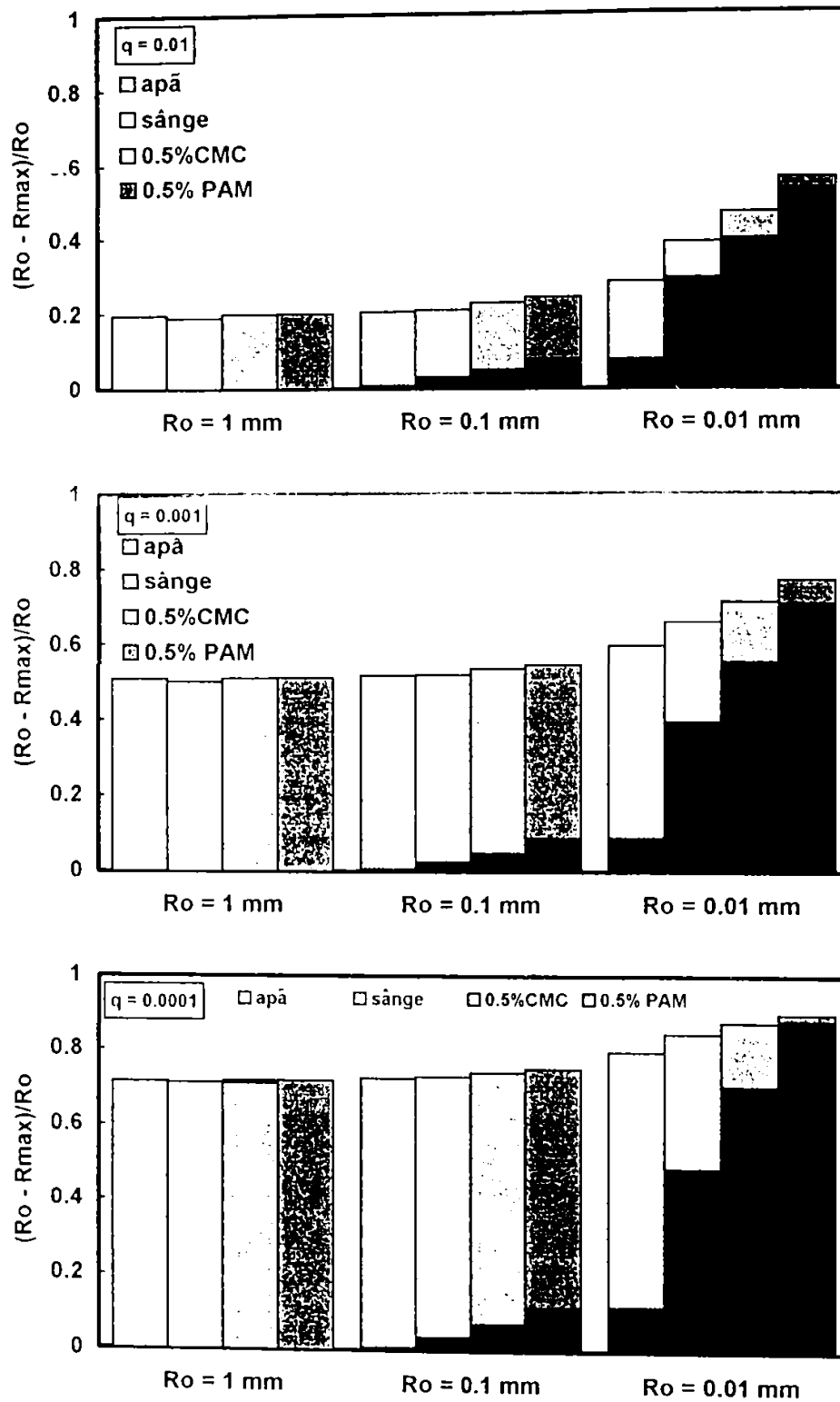


Figura 4.14. Coeficientul de amortizare a oscilației bulei $(R_o - R_{max})/R_o$. R_{max} este raza maximă a bulei după primul colaps. Zonele cu fond negru indică ponderea viscozității lichidului la amortizarea oscilației iar zonele cu fond specific indică ponderea compresibilității lichidului

în timp ce, rezultatele obținute folosind modelul incompresibil indică numai efectul viscozității lichidului.

Figura 4.14 arată valoarea coeficientului de amortizare a oscilației bulei, $(R_0 - R_{\max}) / R_0$ [89, 126], pentru valori $q = 10^{-2}$, 10^{-3} și 10^{-4} și valori $R_0 = 1$, 10^{-1} și 10^{-2} mm. R_{\max} indică raza maximă atinsă de bulă în al doilea ciclu de oscilație (după primul colaps). Zonele cu fond negru indică ponderea viscozității lichidului la amortizarea oscilației bulei iar zonele cu fond specific indică ponderea compresibilității lichidului. Suma lor este valoarea totală a amortizării oscilației bulei după primul colaps și este obținută folosind rezultatele modelului compresibil. Atunci când raza inițială a bulei este $R_0 = 1$ mm amortizarea oscilației este datorată în exclusivitate compresibilității lichidului indiferent de valoarea raportului presiunilor inițiale între interiorul și exteriorul bulei. Aproximativ 48% din energia inițială a bulei situată în apă este pierdută în timpul primului colaps când $q = 10^{-2}$ și aproximativ 96% când $q = 10^{-4}$. Valorile sunt similare și pentru celelalte lichide testate. Viscositatea are o pondere din ce în ce mai mare la micșorarea razei inițiale a bulei și la valori mari ale raportului q . La $R_0 = 10^{-2}$ mm, pentru $q = 10^{-4}$, pierderea de energie în timpul primului colaps al bulei este 99% în cazul apei, din care 27% datorată viscozității lichidului, și 99,9% în cazul soluției 0,5% PAM, din care 99,8% pe seama viscozității lichidului. La $R_0 = 10^{-1}$ mm, pierderea de energie a bulei în timpul primului colaps este datorată în cea mai mare parte compresibilității lichidului în cazul tuturor lichidelor testate. Rezultatele obținute în cazul apei pentru $q = 10^{-2}$ sunt identice cu cele obținute de Tomita și Shima [126] și sunt comparabile cu cele prezentate de Fujikawa și Akamatsu [89], Herring [124], Trilling [125], Gilmore [128] și Prosperetti și Lezzi [132].

4.6.5. Variația în timp a presiunii în lichid la peretele bulei

Figurile 4.15 și 4.16 arată variația în timp a presiunii în lichid la peretele bulei pentru valori $q = 10^{-2}$ și, respectiv, $q = 10^{-4}$. Cu negru este prezentată soluția modelului incompresibil iar cu roșu soluția modelului compresibil. Pulsuri de presiune sunt generate în timpul fiecărei faze finale de colaps a bulei. Valoarea maximă a presiunii în lichid la peretele bulei este atinsă în punctul final al colapsului iar variația în timp a pulsului de presiune este simetrică față de punctul final al colapsului pentru valori $p_w/p_r \geq 10$, indiferent de valoarea razei inițiale a bulei și a raportului presiunilor inițiale între interiorul și exteriorul bulei. Aceleași tendințe puse în evidență în cazul variației în timp a razei bulei sunt regăsite și în cazul prezent. Pe scurt, compresibilitatea și viscositatea lichidului conduc la atenuarea variației în timp a presiunii în lichid la peretele bulei iar componenta viscozității corespunzătoare vitezei de deformare infinită este parametrul reologic dominant. Cu cât raportul presiunilor inițiale între interiorul și exteriorul bulei este mai mic cu atât atenuarea variației p_w/p_r în timp este mai pronunțată. Efectul aditivării cu polimeri este minor la raze inițiale ale bulei mai mari de 10^{-1} mm și semnificativ la $R_0 = 10^{-2}$ mm. Notăm că aceleași concluzii referitoare la influența aditivării cu polimeri sunt obținute în numeroasele investigații numerice folosind modelul incompresibil [66, 67, 71, 73, 77, 78]. Pentru cazul bulei situată în apă, la $q = 10^{-2}$ mm, rezultatele sunt identice cu cele prezentate de Tomita și Shima [126].

Figura 4.17 prezintă variația în timp a presiunii în lichid la peretele bulei atunci când $q = 10^{-4}$. Numai soluția modelului compresibil este ilustrată în figură. Cea mai pronunțată atenuare este observată pentru bulele cu raza inițială $R_0 = 10^{-2}$ mm. De exemplu, în cazul soluției 0,5% PAM, după primul colaps al bulei, presiunea în lichid la peretele bulei este

egală cu presiunea statică a lichidului ambiant. Durata de manifestare a pulsului de presiune la primul colaps al bulei, determinată ca durata la care $p_w/p_r \geq 1$, este de aproximativ $1,5 \mu\text{s}$ la $R_0 = 1 \text{ mm}$ pentru toate lichidele investigate și substantial mai mică la valori mici ale razei initiale a bulei. Astfel, la $R_0 = 10^{-2} \text{ mm}$, durata de manifestare a pulsului de presiune este de 12 ns în cazul apei și de numai 3 ns în cazul soluției 0,5% PAM. La valori ale raportului q mai mari durata de manifestare a pulsului de presiune este mai mare dar păstrează ordinul de mărime al valorilor prezentate. De exemplu, valorile corespunzătoare la $q = 10^{-2}$ sunt de aproximativ două ori mai mari decât cele obținute la $q = 10^{-4}$. Pentru cazul situării bulei în apă valori similare sunt prezentate și de Radek [161].

4.6.6. Presiunea maximă în lichid la peretele bulei

Figurile 4.18 - 4.22 prezintă valoarea presiunii maxime în lichid la peretele bulei, p_{max}/p_r , în funcție de raza minimă a bulei, în cele patru lichide investigate, pentru valori q cuprinse între 10^{-2} și 10^{-4} și $R_0 = 1, 10^{-1}$ și 10^{-2} mm . Atât soluția modelului incompresibil (simbolurile închise) cât și soluția modelului compresibil (simbolurile deschise) este indicată. Pentru $q = 10^{-4}$ (Figura 4.22) numai rezultatele obținute folosind modelul compresibil sunt prezentate. Fiecare figură arată în detaliu valorile presiunilor maxime în lichid la peretele bulei pentru $R_0 = 1 \text{ mm}$.

Efectul compresibilității lichidului se manifestă prin diminuarea valorii p_{max}/p_r , cu atât mai mult cu cât raportul q este mai mic și raza inițială a bulei este mai mare. Pentru $q > 10^{-3}$, la $R_0 = 1 \text{ mm}$, modelul incompresibil indică valori ale presiunii maxime în lichid la peretele bulei de ordinul 10^7 bar care, evident, sunt puțin credibile. La aceste valori ale raportului q viteza peretelui bulei în faza finală a colapsului este de același ordin de mărime cu viteza sunetului în lichid și efectul compresibilității lichidului este important. Singura observație pusă în evidență folosind rezultatele modelului incompresibil este că, la orice valoare q , presiunea maximă la peretele bulei este cu atât mai mică cu cât viscozitatea lichidului este mai mare. Viscozitatea corespunzătoare vitezei de deformare infimă este dominantă. Această tendință este precizată și în investigațiile numerice anterioare [67, 71, 73, 74, 75, 77, 78]. Analiza care va urma se bazează pe rezultatele modelului compresibil.

Se analizează mai întâi comportarea bulei situată în apă. Câteva rezultate numerice există în literatură [124, 125, 126, 162] și pot fi folosite pentru comparație. Prima observație este că valoarea p_{max}/p_r crește la micșorarea razei initiale a bulei. La $q = 10^{-2}$ valoarea p_{max}/p_r , când $R_0 = 10^{-2} \text{ mm}$, este cu aproximativ 18% mai mare decât cea corespunzătoare la $R_0 = 1 \text{ mm}$ ($p_{\text{max}}/p_r = 1442$). Rezultatul este similar cu cel obținut de Tomita și Shima [126] care indică valoarea $p_{\text{max}}/p_r = 1376$ la $R_0 = 1 \text{ mm}$. Diferența între cele două valori se explică prin faptul că ecuația de mișcare folosită de Tomita și Shima [126] este scrisă în termeni de presiune, în timp ce, prezenta investigație se bazează pe o ecuație scrisă în termeni de entalpie. Valori mai mari ale presiunii maxime la peretele bulei folosind ecuații scrise în termeni de entalpie sunt indicate și de Prosperetti și Lezzi [132]. Diferența între valorile p_{max}/p_r la valori extreme ale razei initiale a bulei devine însă din ce în ce mai mică la micșorarea raportului q . La $q = 10^{-4}$ valoarea p_{max}/p_r la $R_0 = 10^{-2} \text{ mm}$ este cu numai 1,5% mai mare decât cea corespunzătoare la $R_0 = 1 \text{ mm}$. A doua observație este că *presiuni de ordinul 10^5 bar pot fi generate* dacă raportul presiunilor initiale între interiorul și exteriorul bulei este de ordinul 10^{-4} . De exemplu, la $q = 10^{-4}$ și $R_0 = 1 \text{ mm}$, presiunea maximă la peretele bulei este $p_{\text{max}}/p_r = 9,499 \times 10^4$. Acest rezultat nu este susținut de alte investigații numerice dar notăm că toate investigațiile anterioare sunt restrânse la valori $q \leq 10^{-3}$. Pentru $q = 10^{-3}$, valoarea

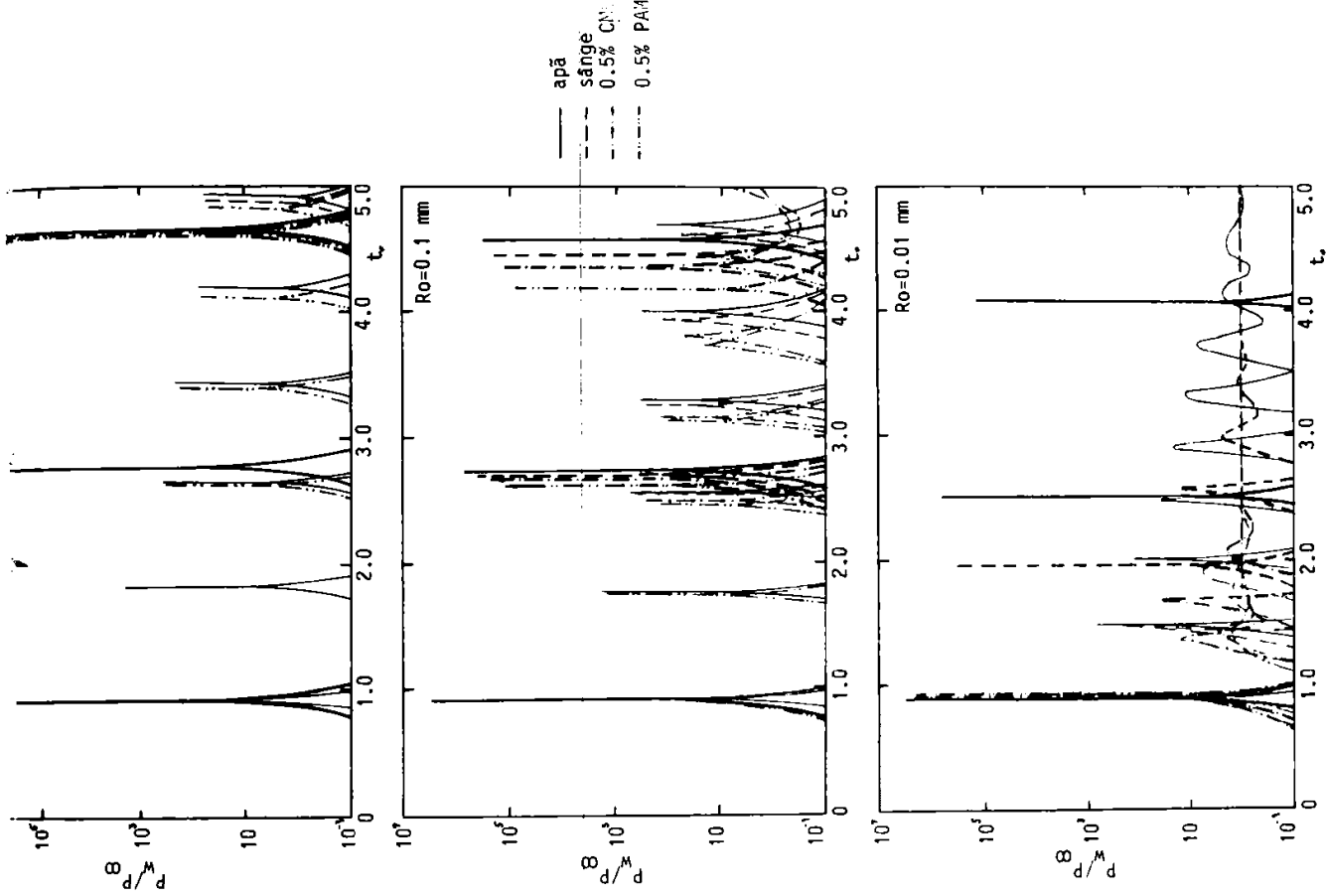


Figura 4.15. Variația în timp a presiunii în lichid la peretele bulei pentru $q=0,01$. Cu negru este ilustrată soluția modelului incompresibil iar cu roșu soluția modelului compresibil

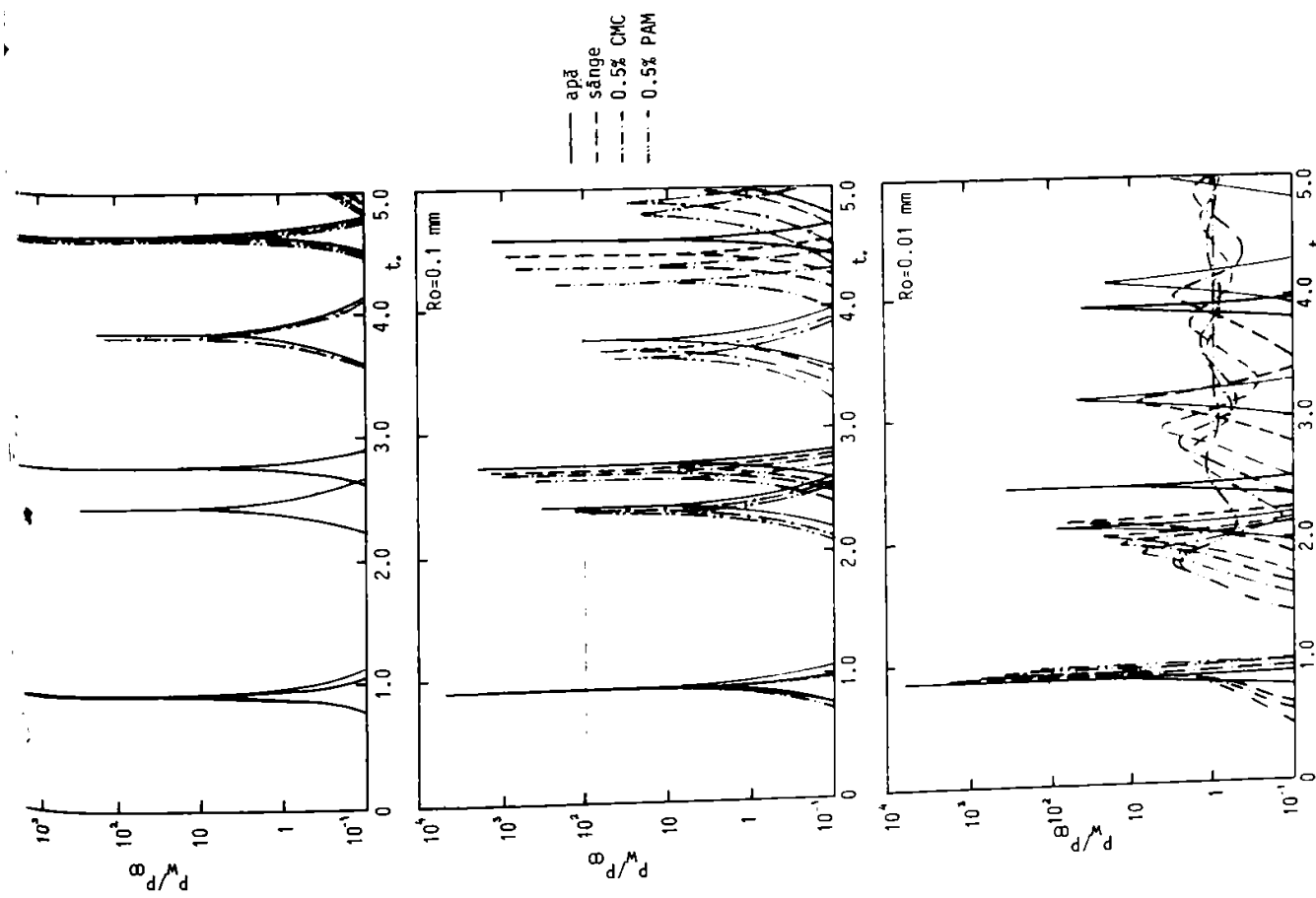


Figura 4.16. Variația în timp a presiunii în lichid la peretele bulei pentru $q=0,001$. Cu negru este ilustrată soluția modelului incompresibil iar cu roșu soluția modelului compresibil

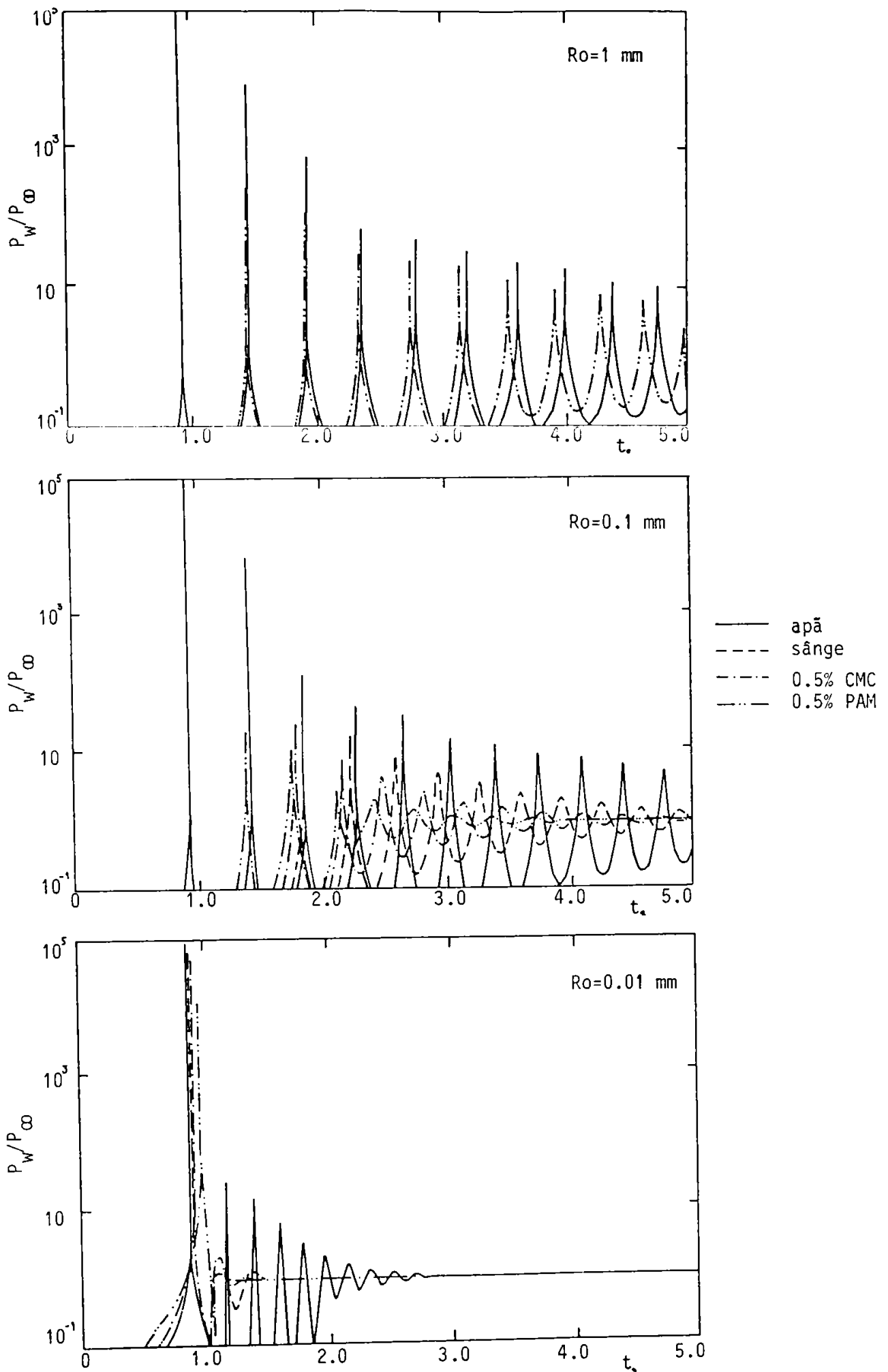


Figura 4.17. Variația în timp a presiunii în lichid la peretele bulei pentru $q=0,0001$. Numai soluția modelului compresibil este ilustrată

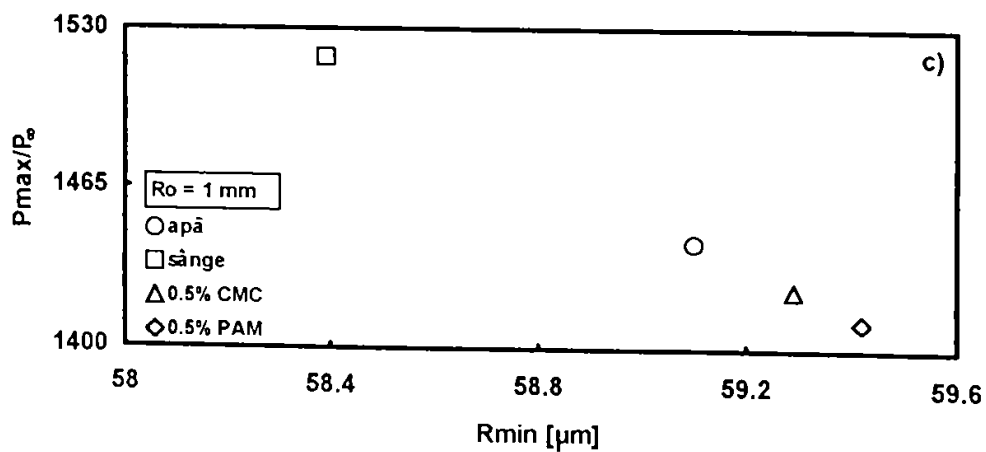
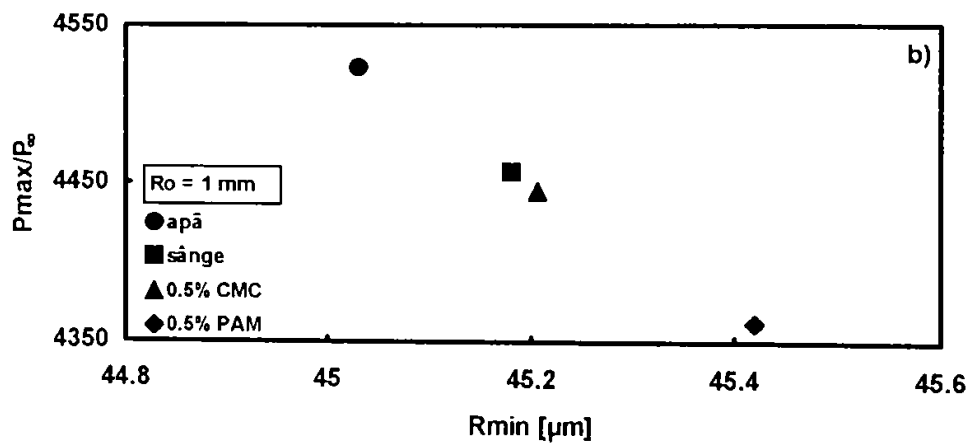
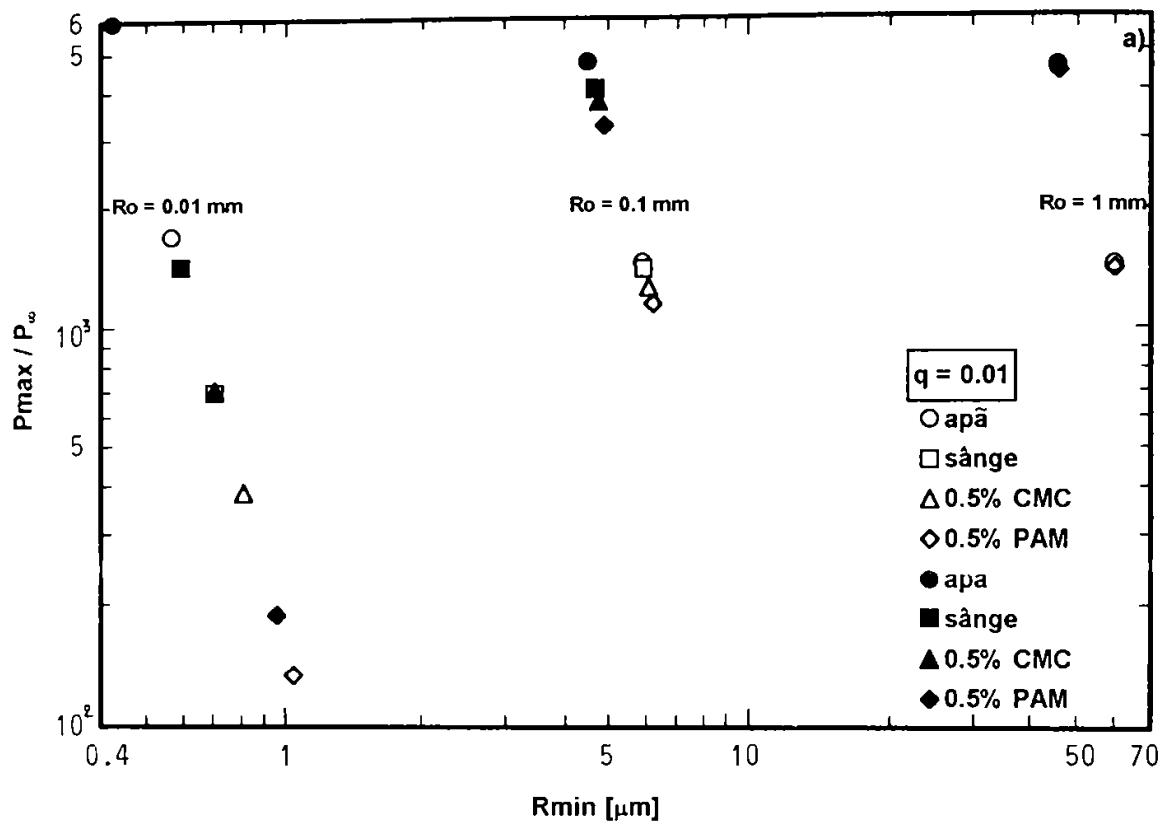


Figura 4.18. Presiunea maximă în lichid la peretele bulei în funcție de raza minimă a bulei în punctul final al colapsului pentru $q=0,01$ (a). Simbolurile închise indică soluția modelului incompresibil iar simbolurile deschise soluția modelului compresibil. (b) și (c) arată valorile obținute la $Ro=1$ mm

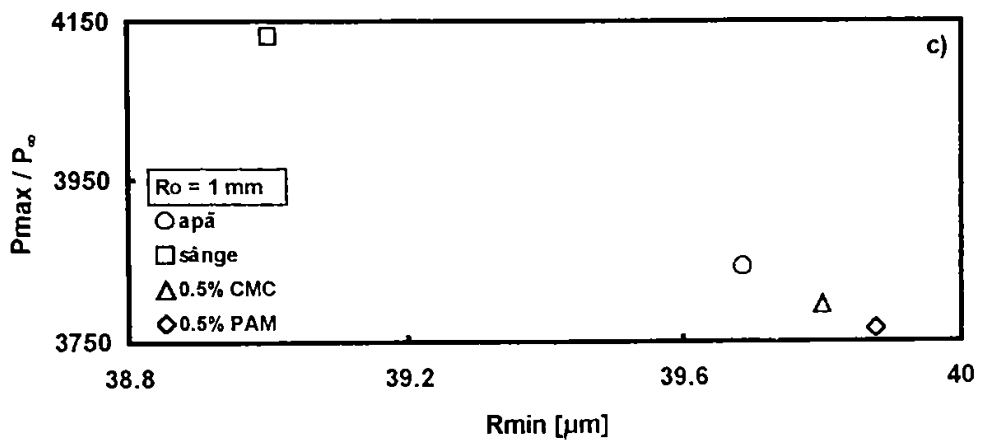
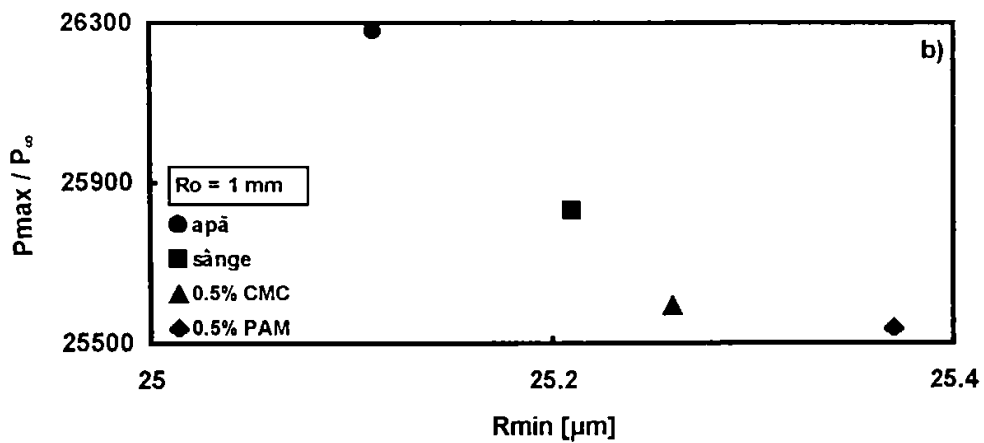
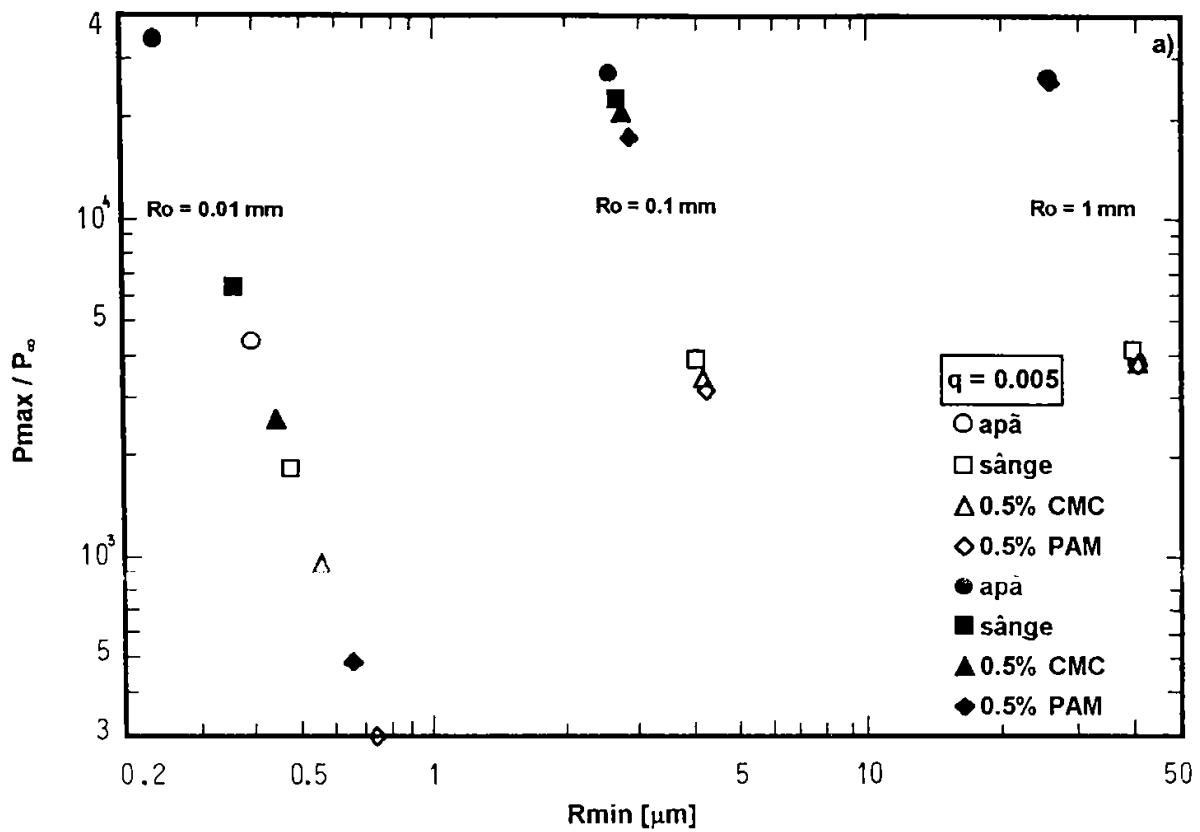


Figura 4.19. Presiunea maximă în lichid la peretele bulei în funcție de raza minimă a bulei în punctul final al colapsului pentru $q=0,005$ (a) Simbolurile închise indică soluția modelului incompresibil iar simbolurile deschise soluția modelului compresibil. (b) și (c) arată valorile obținute la $Ro=1$ mm

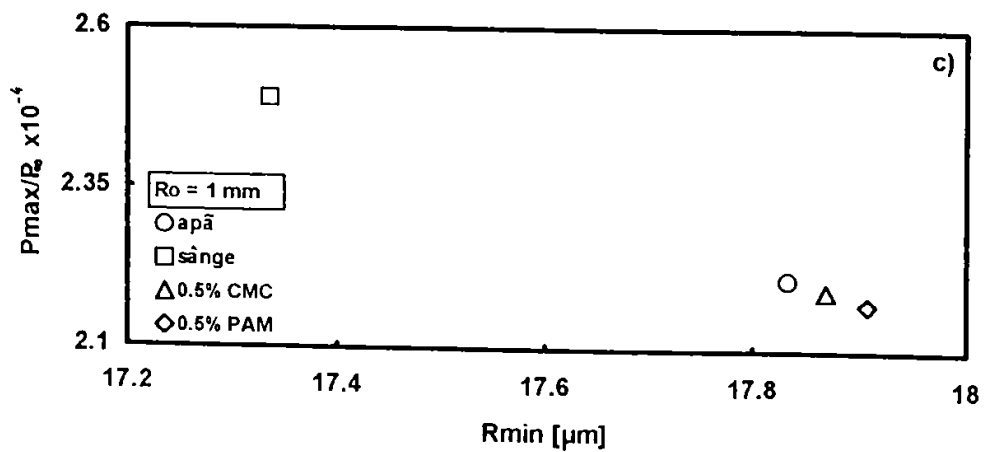
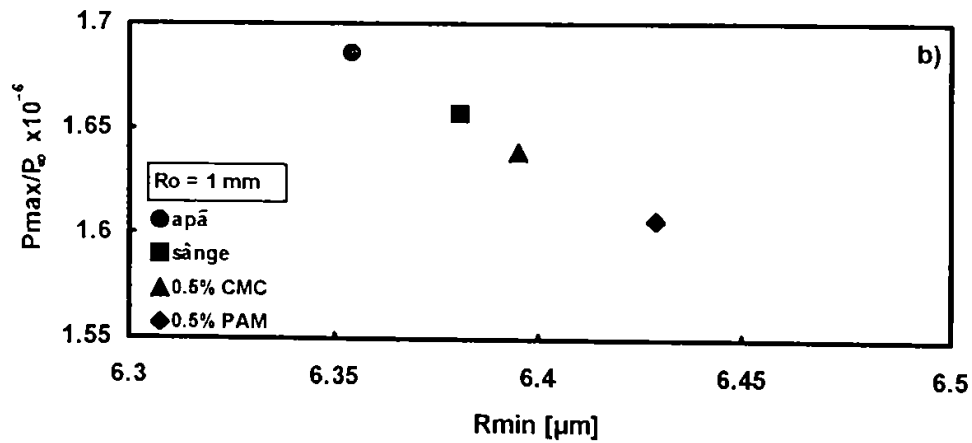
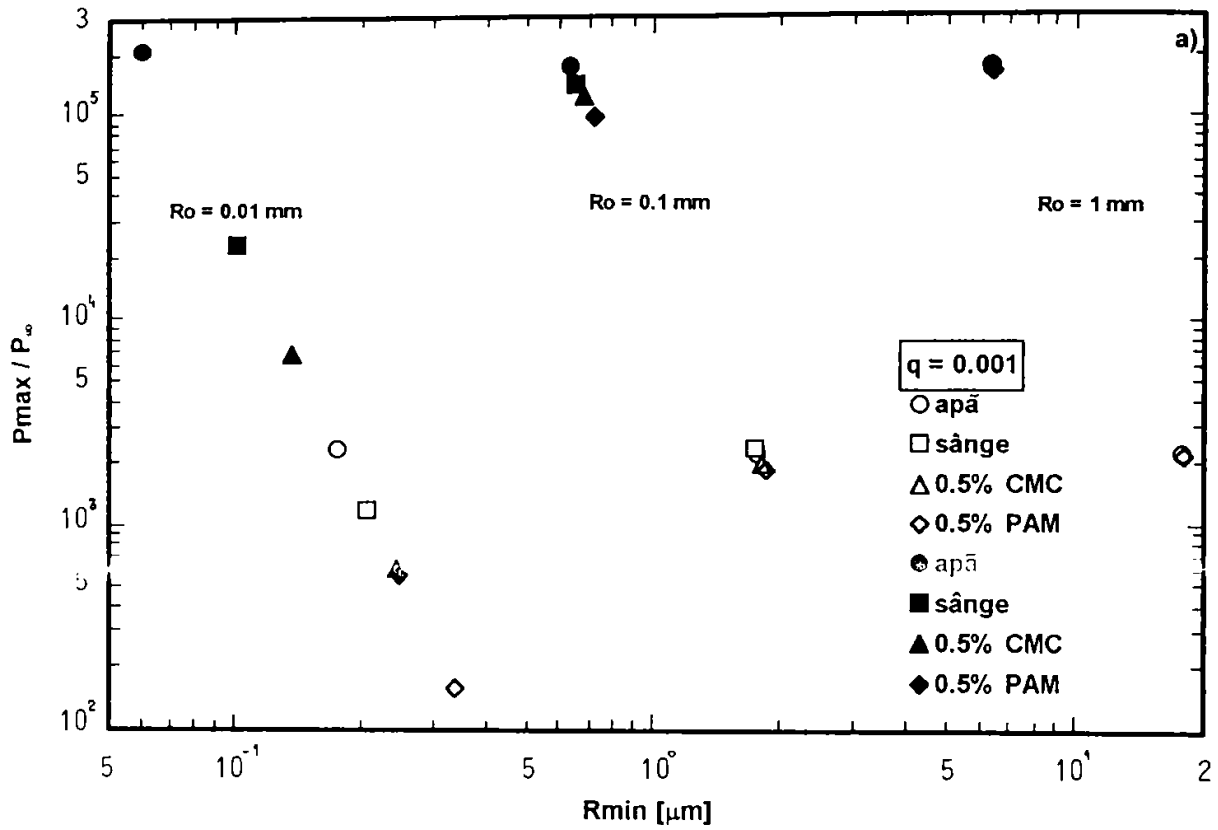


Figura 4.20. Presiunea maximă în lichid la peretele bulei în funcție de raza minimă a bulei în punctul final al colapsului pentru $q=0,001$ (a) Simbolurile închise indică soluția modelului incompresibil iar simbolurile deschise soluția modelului compresibil. (b) și (c) arată valorile obținute la $Ro=1$ mm

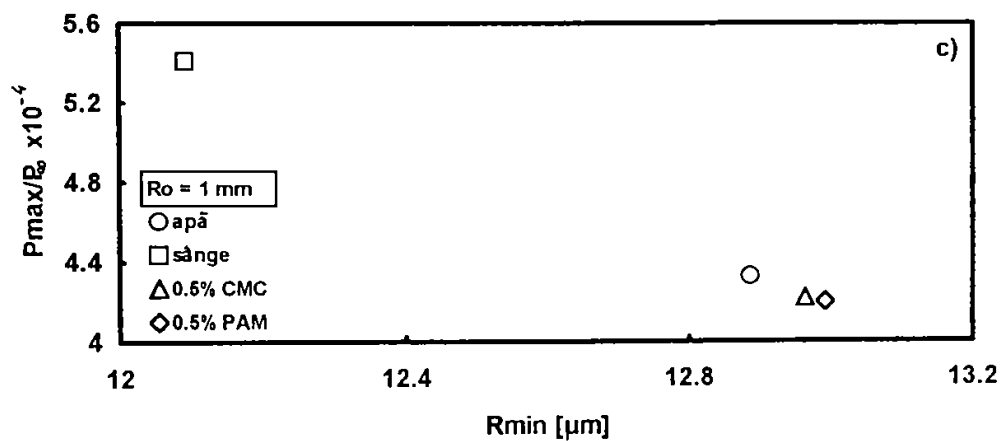
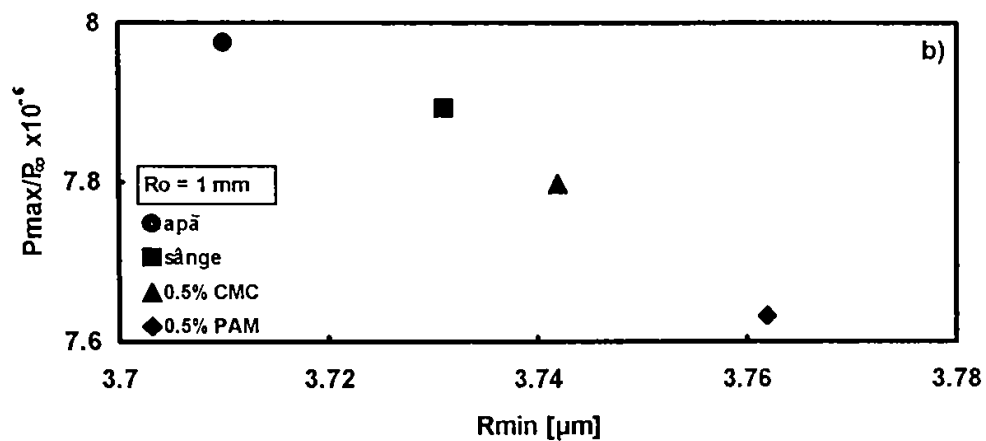
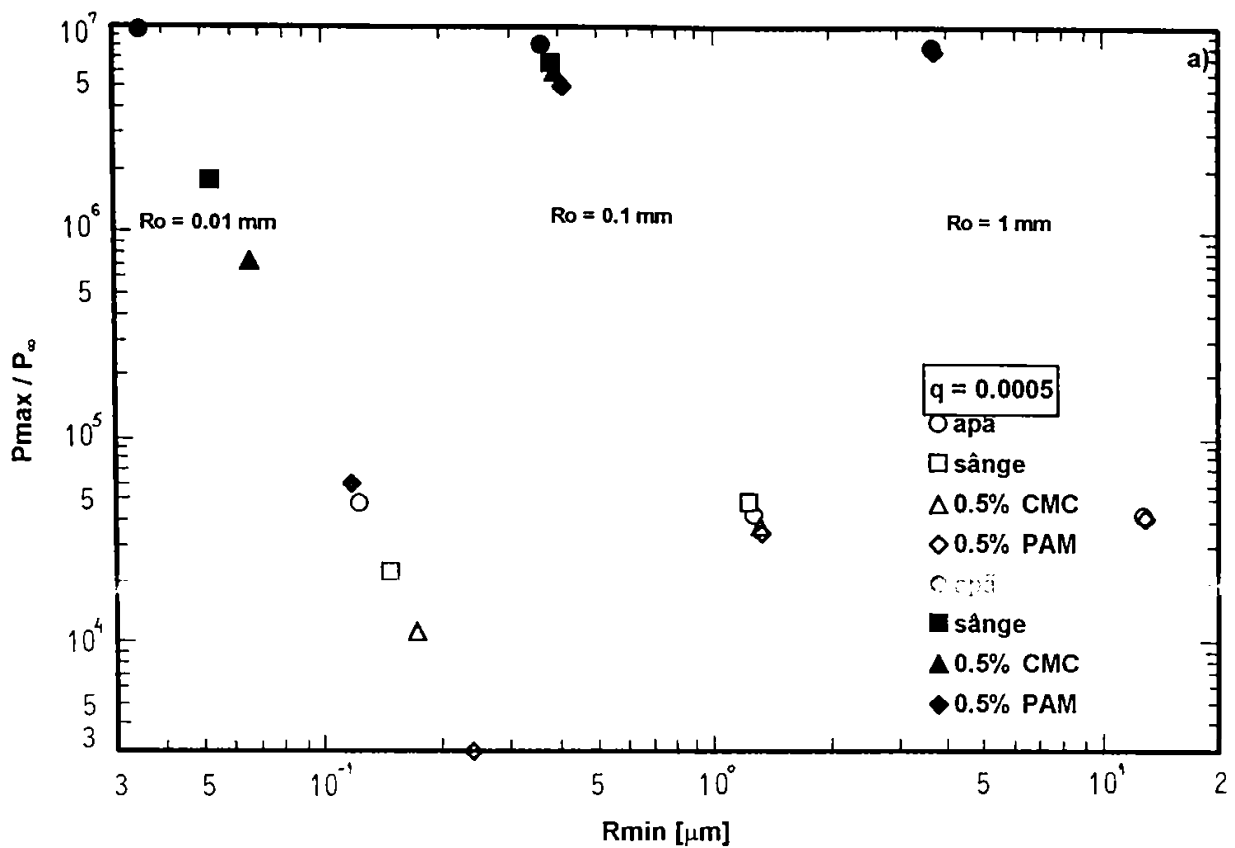


Figura 4.21. Presiunea maximă în lichid la peretele bulei în funcție de raza minimă a bulei în punctul final al colapsului pentru $q=0,0005$. (a). Simbolurile închise indică soluția modelului incompresibil iar simbolurile deschise soluția modelului compresibil. (b) și (c) arată valorile obținute la $R_o=1$ mm

obținută la $R_0 = 1 \text{ mm}$ ($p_{\max}/p_r = 2,212 \times 10^4$) este similară cu cea prezentată de Hickling și Plesset [162]. Câteva date experimentale există în literatură dar, deocamdată, este prematur de a compara rezultatele din cauza necunoașterii valorii raportului presiunilor între interiorul și exteriorul bulei în faza expansiunii maxime.

Influența aditivării cu polimeri se manifestă prin reducerea valorii maxime a presiunii în lichid la peretele bulei. La $R_0 = 1 \text{ mm}$ și la orice valoare a raportului presiunilor inițiale între interiorul și exteriorul bulei influența aditivării cu polimeri este nesemnificativă. Este însă cu atât mai mare cu cât raza inițială a bulei este mai mică. La $q = 10^{-2}$, pentru $R_0 = 10^{-2} \text{ mm}$, valoarea p_{\max}/p_r este de 12,5 ori mai mică în soluția 0,5% PAM și de 5 ori mai mică în soluția 0,5% CMC în comparație cu cazul apei. La micșorarea valorii raportului q diferențele devin din ce în ce mai mici. Astfel, la $q = 10^{-4}$ și $R_0 = 10^{-2} \text{ mm}$, valoarea p_{\max}/p_r este de 8,5 ori mai mică în soluția 0,5% PAM și de numai 2 ori mai mică în soluția 0,5% CMC în comparație cu cazul apei. De notat că, la $q = 10^{-4}$ și $R_0 = 10^{-2} \text{ mm}$, chiar și în cazul soluției 0,5% PAM valoarea p_{\max}/p_r este remarcabilă, fiind de ordinul 10^1 bar ($p_{\max}/p_r = 1,114 \times 10^1$).

Încheiem acest paragraf cu câteva considerații asupra comportării bulei cavitationale în sânge uman. Rezultatele sunt comparate cu cazul situării bulei în apă, caz în care experimentele sunt mult mai ușor de realizat. Valoarea presiunii maxime în lichid la peretele bulei este, indiferent de raportul q , mai mare decât cea corespunzătoare în apă dacă $R_0 = 1 \text{ mm}$. De exemplu, la $q = 10^{-2}$, valoarea p_{\max}/p_r în sânge este cu 5 % mai mare decât în cazul apei dar cu 20% mai mare la $q = 10^{-4}$ ($p_{\max}/p_r = 1,137 \times 10^5$). Chiar și pentru $R_0 = 10^{-1} \text{ mm}$, dacă $q \geq 10^{-3}$, presiunea maximă la peretele bulei este mai mare decât în apă. La $q = 10^{-4}$, valoarea p_{\max}/p_r în sânge uman este cu 9% mai mare decât în apă ($1,036 \times 10^5$ în sânge și $9,515 \times 10^4$ în apă). La $R_0 = 10^{-2} \text{ mm}$ viscozitatea corespunzătoare vitezei de deformare infinită este dominantă și comportarea bulei în sânge uman este mai atenuată în comparație cu cazul apei. Întrebarea care se pune de la sine se referă la ordinul de mărime al bulelor cavitationale produse în aplicațiile clinice. Am arătat deja că bule cu raza maximă de ordinul milimetrilor pot fi generate în litotritia indusă cu laser. În acest caz raza laser este transmisă printr-o fibră optică care este de preferat a fi în contact direct cu calculul biliar supus fragmentării [163]. Peretele bulei cavitationale creată în punctul de focalizare al fibrei optice este în contact direct cu calculul biliar astfel încât în estimarea efectelor colaterale generate de colapsul bulei valoarea maximă a presiunii la peretele bulei trebuie considerată. Bule cavitationale cu raza maximă de ordinul milimetrilor se obțin și în cazul angioplastiei cu laser. Aici fibra optică este introdusă în vasul sanguin iar efectele colaterale generate de colapsul bulei sunt deformarea structurală a țesutului adiacent bulei și distrugerea celulelor sângelui. Un experiment remarcabil în această privință a fost realizat, *in vitro* (bulele fiind generate în apă), de Vogel s.a. [164]. După Doukas s.a. [165] valoarea minimă a pulsului de presiune care produce distrugerea celulelor sângelui și a țesutului adiacent bulei este de aproximativ 1 kbar, valoare cu două ordine de mărime mai mică decât rezultatele obținute la $q = 10^{-4}$. Bule cu raza maximă de ordinul zecimilor de milimetru au fost puse în evidență în cazul angioplastiei rotationale de Zotz s.a. [166] folosind ca lichid de lucru atât apă cât și sângele (prelevat de la unul din autorii experimentului). Cu toate că numărul bulelor cavitationale observate este mai mare în sânge decât în apă nu este clar dacă colapsului bulei este mai violent în sânge. Rezultă că bule cavitationale cu dimensiunea maximă similară cu cea investigată în acest studiu sunt posibil de generat în aplicațiile clinice. A fost arătat că, pentru bulele cu raza inițială de ordinul milimetrilor, presiunea maximă la peretele bulei situată în sânge uman este cu cel puțin 3 kbar (până la 19 kbar la $q = 10^{-4}$) mai mare decât în

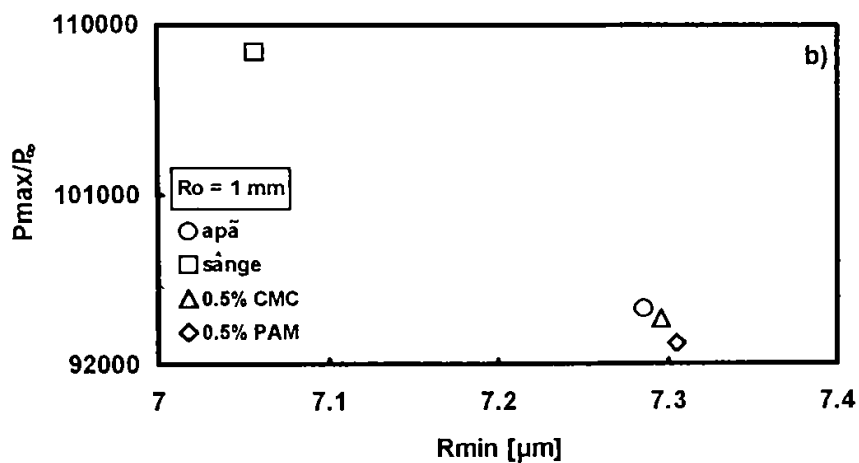
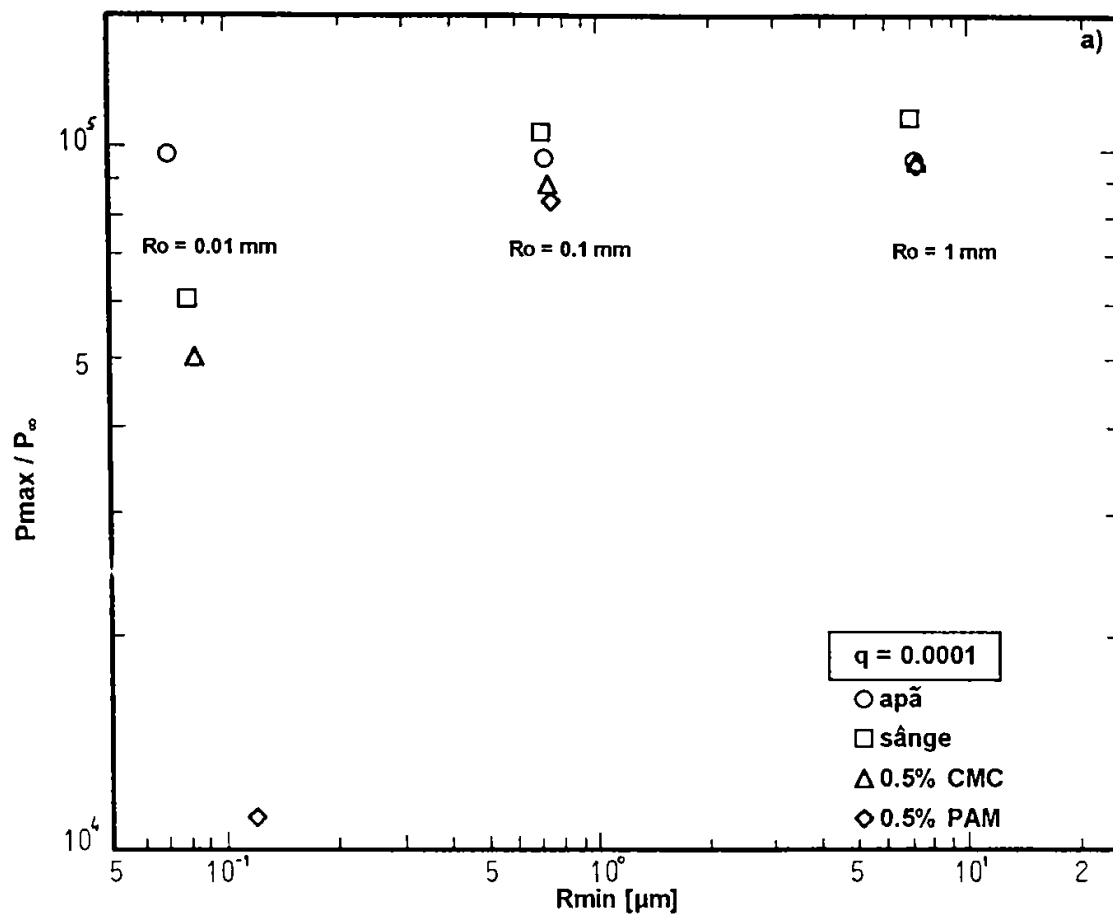


Figura 4.22. Presiunea maximă în lichid la peretele bulei în funcție de raza minimă a bulei în punctul final al colapsului pentru $q=0,0001$ (a). Numai soluția modelului compresibil este ilustrată. (b) a-rată valorile obținute la $Ro=1$ mm

apă. În consecință, *este sugerat că efectele colaterale generate de comportarea bulei în sânge uman în timpul tratamentului clinic (in vivo) sunt subestimate prin experimentele asupra comportării dinamice a bulei realizate in vitro atunci când lichidul ambiant este apă.*

Observațiile referitoare la dependența vitezei maxime de colaps a peretelui bulei cu raza minimă a bulei sunt valabile și pentru presiunea maximă în lichid la peretele bulei. Figura 4.23 prezintă această dependență pentru diferite valori ale raportului presiunilor inițiale între interiorul și exteriorul bulei q . O relație simplă care să descrie dependența celor doi parametri se poate obține analizând relația care descrie presiunea în lichid la peretele bulei (4.177). Neglijând influența proprietăților fizice ale lichidului se obține:

$$\frac{p_{\max}}{p_0} = q \left(\frac{R_{\min}}{R_0} \right)^{-3\gamma} \quad (4.207)$$

Relația (4.207) este obținută și de Shima s.a. [72], Shima și Tsujino [71, 75] și Tomita și Shima [126]. Liniile continue din figură reprezintă valorile obținute folosind relația (4.207). În plus, o relație simplă care să descrie dependența presiunii maxime în lichid la peretele bulei cu viteza maximă de colaps se obține folosind relațiile (4.205) și (4.207) sub forma:

$$\frac{p_{\max}}{p_0} = 1 + \frac{3}{2\xi^2} \left(\frac{V_{\max}}{U} \right)^2 \quad (4.208)$$

Figura 4.24 prezintă rezultatele obținute folosind această relație. Linia continuă indică situația $\xi = 0,61$ (valabilă pentru $q = 10^{-2}$ și $q = 10^{-3}$) iar linia întreruptă cazul $\xi = 0,75$ (valabil pentru $q = 10^{-4}$). Linia întreruptă cu un punct indică rezultatele obținute folosind relația prezentată de Shima și Tomita [80] iar linia întreruptă cu două puncte relația propusă de Shulman și Levitsky [154]. Și în acest caz superioritatea relației (4.208) în modelarea rezultatelor numerice este evidentă.

Relațiile (4.205), (4.207) și (4.208) prezintă importanță deosebită din punct de vedere aplicativ. Fiind ușor calculabile, măsurând unul din parametrii pot fi determinate valorile celorlalți doi și deci informații aproape complete asupra intensității colapsului liber al bulei cavitationale. Cel mai ușor măsurabil parametru este raportul R_{\min}/R_0 prin filmare ultrarapidă cu diferiți timpi de întârziere. Cunoșcând valoarea R_{\min}/R_0 se poate determina, cu relațiile menționate, viteza maximă de colaps și presiunea maximă la peretele bulei evitând astfel dificultățile experimentale generate de colapsul rapid al bulei și durata foarte mică de manifestare a pulsului de presiune. Cea mai importantă aplicație a acestor relații constă în estimarea efectelor colaterale generate de colapsul bulei cavitationale indusă cu laser în tratamentele medicale specifice prin precizarea presiunii maxime la peretele bulei și a vitezei maxime de colaps. Mai mult, odată determinată experimental dependența razei minime atinsă de bulă cu energia pulsului laser minimizarea efectelor colaterale negative induse de colapsul bulei poate fi realizată printr-un control adecvat al energiei pulsului laser. O a doua aplicație a acestor relații rezidă într-o primă evaluare a distrugerilor cavitationale având în vedere că energia eliberată în procesul de cavitație, prin surparea bulelor, este direct proporțională cu presiunea maximă a unde de soc emisă în punctul final al colapsului bulelor și numărul pulsurilor de presiune [8]. Consecutiv, folosind modelul Steller (vezi [6], pag. 313 - 320), volumul de material erodat poate fi calculat din raportul între energia eliberată în procesul de

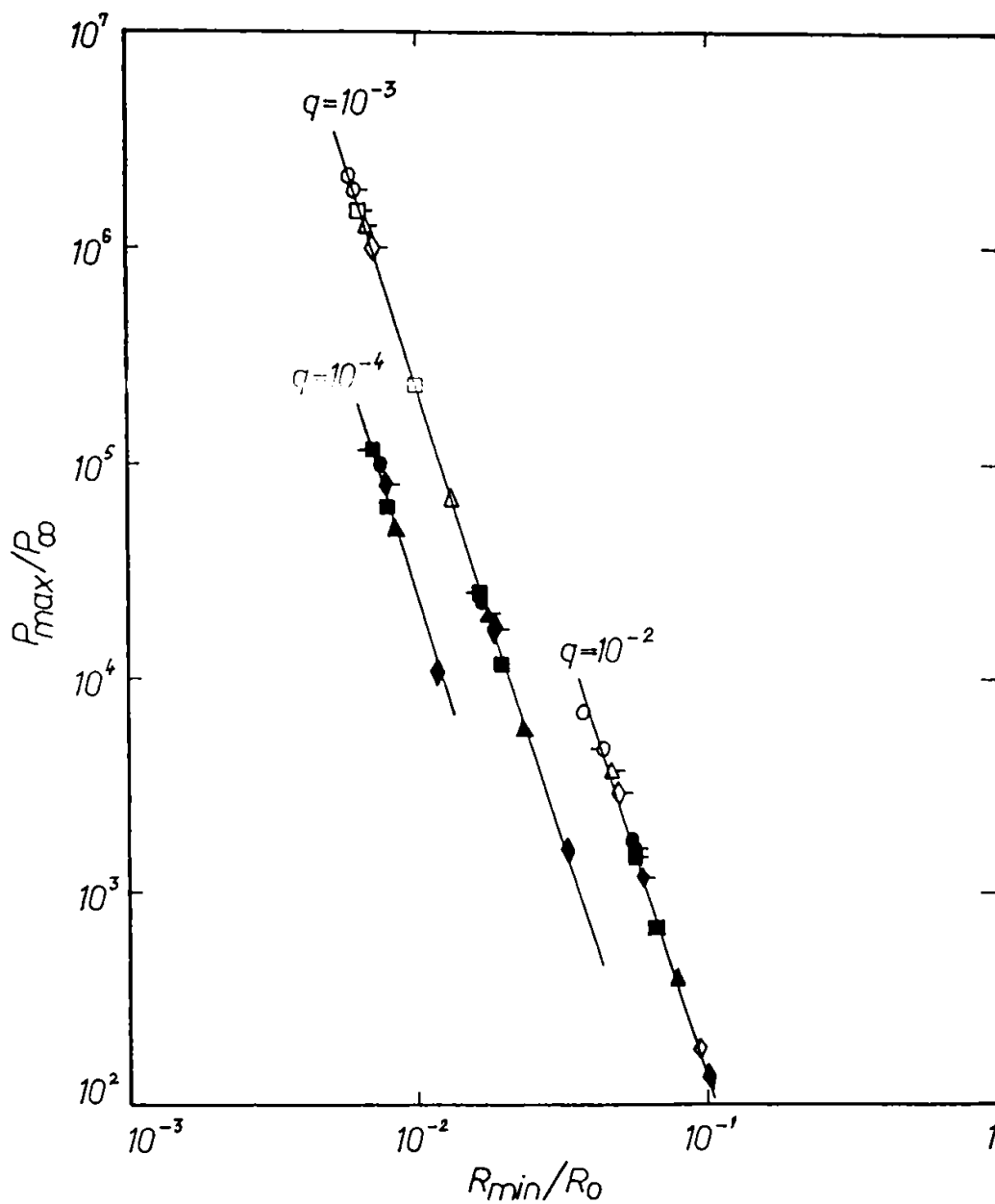


Figura 4.23. Presiunea maximă la peretele bulei raportată la presiunea statică din lichid la infinit funcție de raza minimă a bulei raportată la raza inițială a bulei. Semnificatia simbolurilor este identică cu cea din Figura 4.10

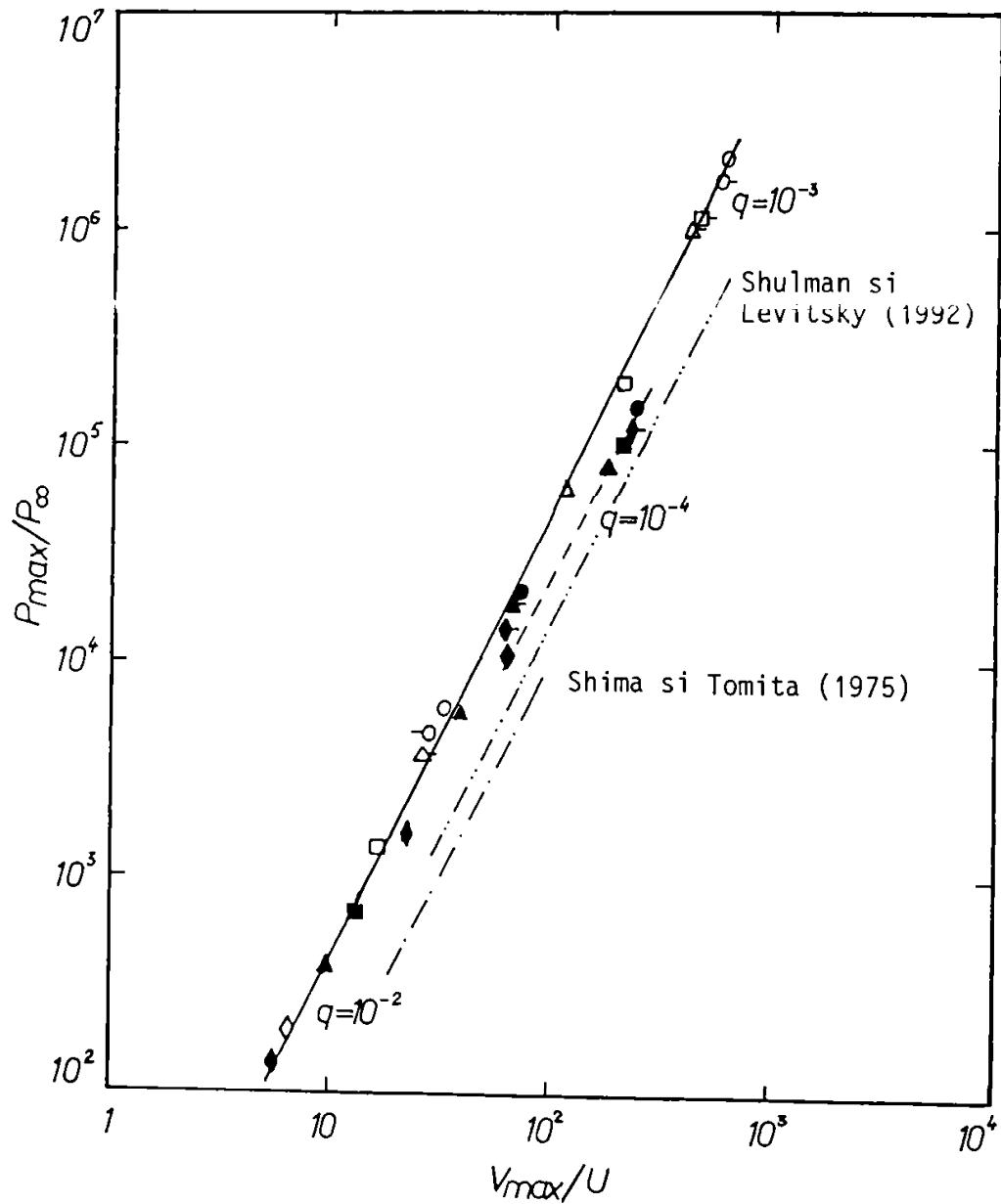


Figura 4.24. Presiunea maximă la peretele bulei raportată la presiunea statică din lichid la infinit funcție de viteza maximă de colaps a peretelui bulei raportată la viteza medie de colaps. Semnificatia simbolurilor este identică cu cea din Figura 4.10

cavitatie si rezistenta momentană a materialului la cavitatie. Desigur că folosirea acestor relatii nu rezolvă complet problema datorită, pe de o parte, necunoasterii presiunii gazului din interiorul bulei în faza expansiunii maxime pentru conditii similare cavitatiei hidrodinamice iar, pe de altă parte, faptului că intensitatea distrugerilor cavitationale nu este constantă pentru toate regimurile de functionare a masinilor si echipamentelor hidraulice.

4.6.7. Distributia presiunii în lichidul înconjurător bulei

Figura 4.25 prezintă distributia presiunii în lichidul înconjurător bulei situată în solutia 0,5% PAM, pentru $R_0 = 1$ mm si $q = 10^{-2}$, folosind modelul compresibil. În figură linia întreruptă cu un punct reprezintă locul geometric a valorilor presiunii la peretele bulei. Distributia presiunii în lichidul înconjurător bulei înainte de punctul final al colapsului este similară cu cea obținută folosind modelul incompresibil. Câteva exemple pentru diferite solutii de polimeri în concentratie 0,2-1% sunt date în [77]. Distributia presiunii în lichidul înconjurător bulei este însă diferită în faza de recuperare a bulei. O undă de presiune se propagă în lichid imediat după după punctul final al colapsului si viteza de propagare a acestei unde de presiune este egală cu viteza sunetului în lichid. Această observatie este valabilă si atunci când raportul presiunilor initiale între interiorul si exteriorul bulei este considerabil mai mic. Un exemplu este prezentat în Figura 4.26 care arată distributia presiunii în lichid după colapsul bulei situată în solutia 0,5% PAM când $R_0 = 1$ mm si $q = 10^{-4}$. Amplitudinea presiunii undei scade abrupt pe măsura depărtării de peretele bulei. Valoarea presiunii în lichid la $r/R_0 = 7,08$ este $p/p_0 = 11,8$ pentru $q = 10^{-2}$ si este $p/p_0 = 54,4$ la $r/R_0 = 12,5$ pentru $q = 10^{-4}$. Ca si în cazul colapsului bulei în apă [89, 126, 162], într-un lichid newtonian cu comportare pseudoplastică presiunea maximă în lichid este atenuată în raportul $1/r$ în lichid. În ambele exemple ilustrate diferentele între cazul apei, solutiei de polimeri 0,5% CMC si solutiei 0,5% PAM sunt prea mici pentru a fi prezentate în grafic. Notăm, totusi, că pentru $q = 10^{-4}$ legea de atenuare $1/r$ este evidentiată numai pentru valori $r/R_0 \leq 12,5$. Nu a fost posibil de a obtine legea de atenuare a presiunii în lichid pentru valori $r/R_0 > 12,5$ pentru că lățimea frontului undei de presiune este foarte mică în această zonă. Variatia presiunii în lichid este dependentă de istoria miscării peretelui bulei (prin relatia 4.173). Discretizarea temporală ajunge de ordinul $\Delta t = 10^{-15}$ (si probabil substantial mai mică la valori r/R_0 mai mari), valoare care este la limita preciziei de calcul al oricărui program (de exemplu, 10^{-19} pentru TurboC ++).

Figura 4.27 prezintă distributia presiunii în lichidul înconjurător bulei situată în solutia 0,5% CMC, respectiv, 0,5% PAM în comparatie cu cazul apei, pentru $q = 10^{-4}$ si $R_0 = 10^{-2}$ mm. Colapsul bulei în ambele solutii de polimeri, la raze initiale ale bulei de ordinul 10^{-2} mm, este mai puțin violent decât în apă si emisia acustică este diminuată. La orice distanță în lichid amplitudinea maximă a undei de presiune emisă după colapsul bulei este mai mică în cazul solutiilor de polimeri. Pentru apă distributia presiunii este similară cu cea prezentată de Tomita si Shima [126]. La fel ca în cazul $R_0 = 1$ mm caracteristica pseudoplastică a viscozității lichidului nu modifică legea $1/r$ de atenuare, în lichid, a presiunii maxime la peretele bulei. Observatiile sunt valabile si în cazul bulei sânge uman ilustrat în Figura 4.28 prin comparatie cu cazul situării bulei în apă.

Nu există încă observatii experimentale care să confirme (sau infirme) legea de atenuare $1/r$ după colapsul bulei. Câteva experimente sunt efectuate asupra emisiei acustice generate de spărtura optică a laserului în lichid [167]. Pentru un puls laser cu energia 1 mJ (6 ns durata pulsului) legea $1/r$ este aproximativ valabilă în imediata vecinătate a centrului de

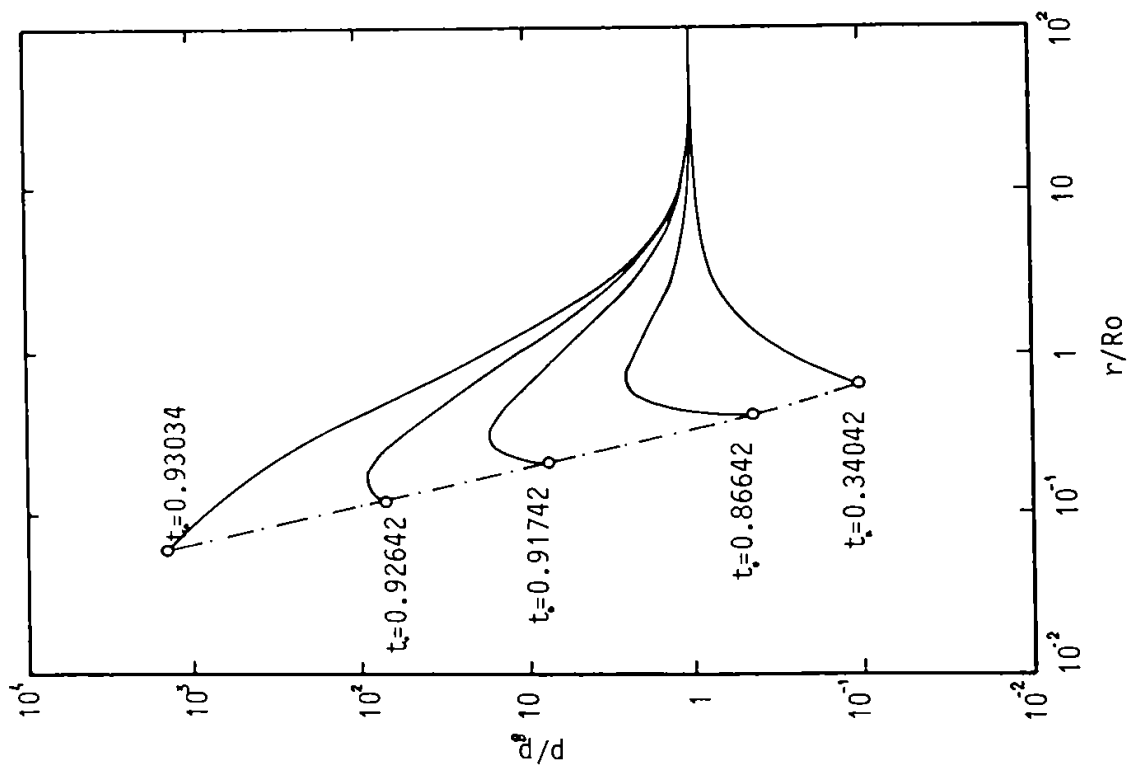
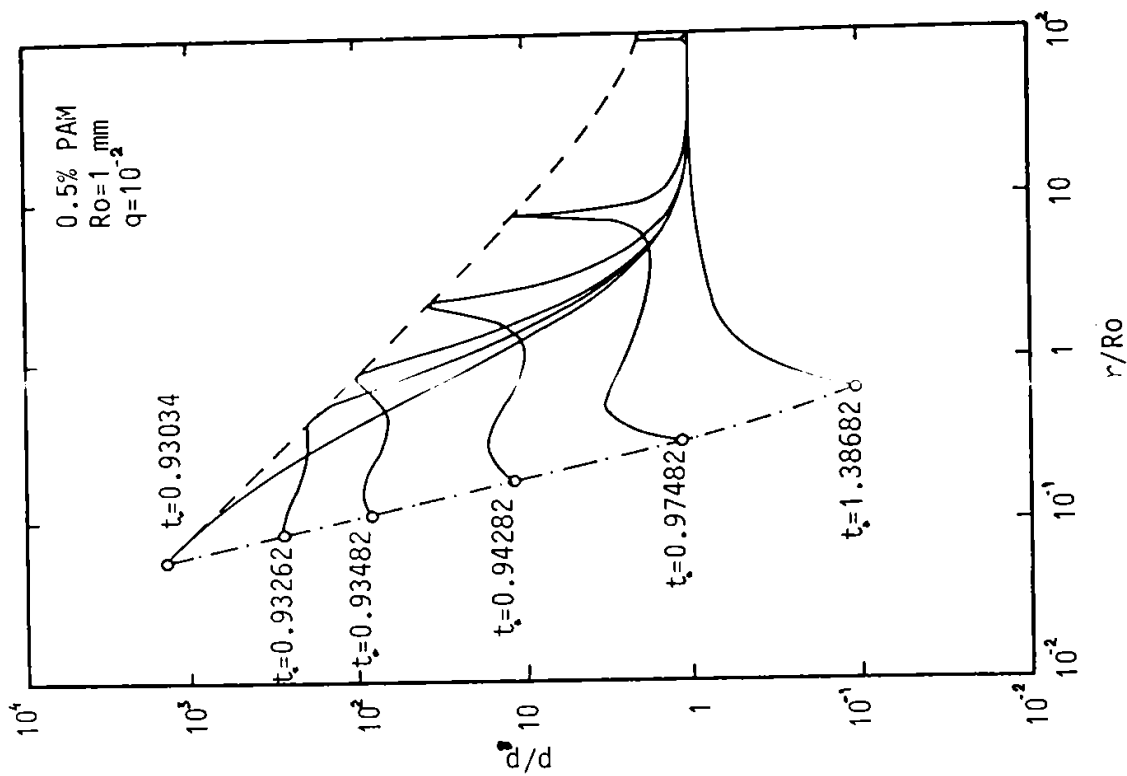


Figura 4.25. Distribuția presiunii în lichidul înconjurător bulei situată în soluția 0,5% PAM înainte (stânga) și după primul colaps al bulei (dreapta). Linia întreruptă cu un punct indică peretele bulei

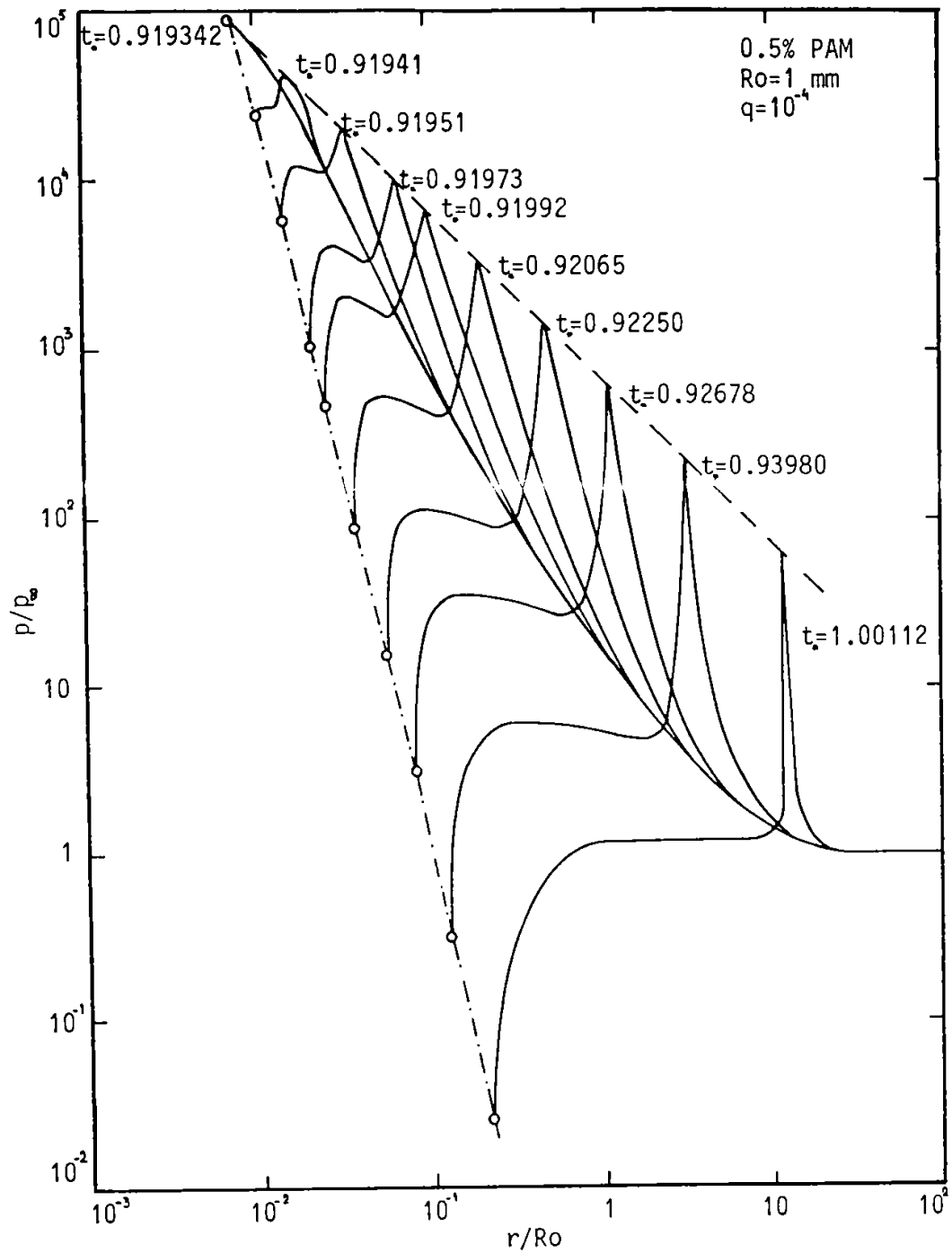


Figura 4.26. Distribuția presiunii în lichidul înconjurător bulei situată în soluția 0,5% PAM după primul colaps al bulei. Linia întreprinsă cu un punct indică peretele bulei.

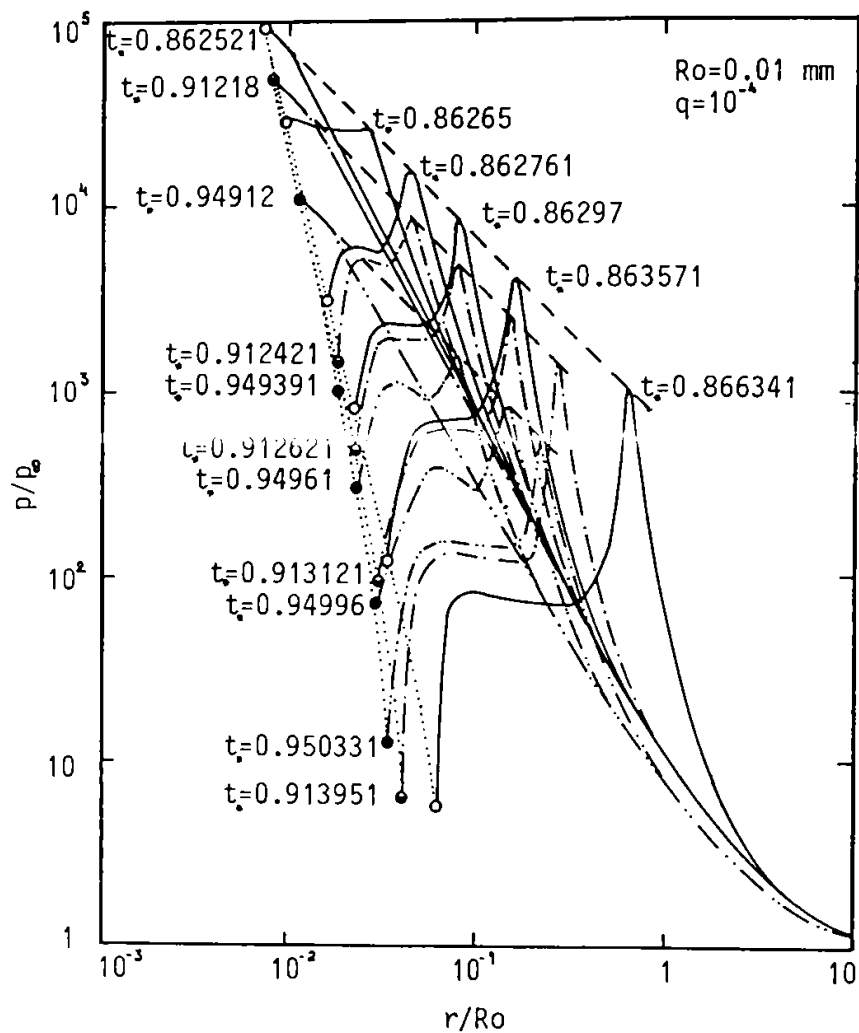


Figura 4.27. Distribuția presiunii în lichidul înconjurător bulei situată în apă (linia continuă), 0,5% CMC (linia întreruptă cu un punct) și 0,5% PAM (linia întreruptă cu două puncte). Linia punctată indică peretele bulei

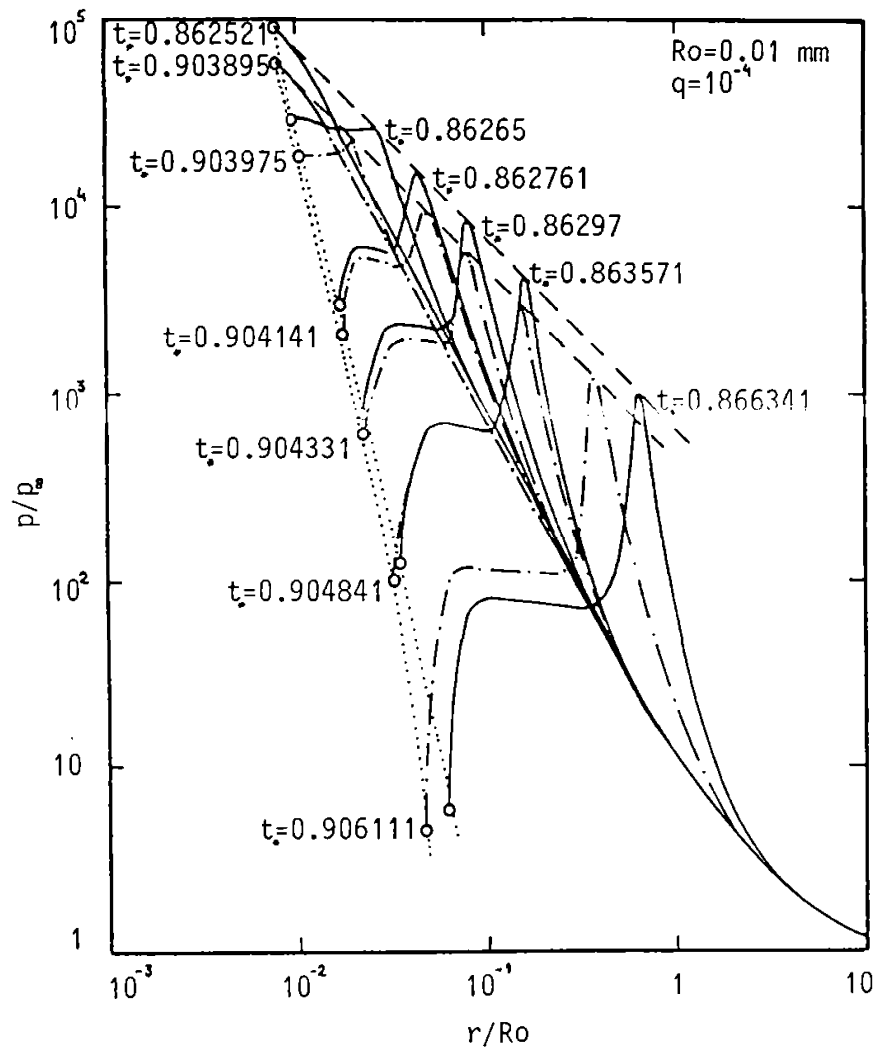


Figura 4.28. Distribuția presiunii în lichidul înconjurător bulei situată în apă (linia continuă) și sânge uman (linia întreruptă cu un punct). Linia punctată indică peretele bulei

emisie ($r^{-1.02}$ pentru $r = 10 \div 40 \mu\text{m}$) și la distanțe mari ($r^{-1.05}$ pentru $r = 5 \times 10^2 \div 10^5 \mu\text{m}$). Între aceste două regiuni atenuarea presiunii în lichid este mai accentuată, legea de variație fiind aproximativ $r^{-1.5}$. Rezultatele sunt confirmate și de Doukas s.a. [168]. Energia pulsului laser are o influență majoră asupra legii de atenuare a presiunii în lichid; la o valoare a energiei pulsului de 10 mJ legea de atenuare în regiunea $r = 40 \div 500 \mu\text{m}$ este $r^{-1.79}$ dar foarte apropiată de legea $1/r$ în rest. Devierea de la legea $1/r$ de atenuare a presiunii în lichid în secvențele ulterioare spărturii optice poate fi explicată prin natura diferită a emisiei acustice. Viteza de propagare a acestei unde este mai mare de 2200 m/s. O parte a energiei cinetice a frontului unde este transformată în căldură astfel încât atenuarea presiunii în lichid este mai mare [168]. Oricum, diferențele față de legea $1/r$ sunt modeste.

4.6.8. Raza de echilibru a bulei

Figura 4.29 prezintă raza de echilibru, R_e , a bulei situată în soluția 0,5% PAM în funcție de raza inițială a bulei pentru trei valori ale raportului presiunilor inițiale între interiorul și exteriorul cavității, $q = 10^{-2}$, 10^{-3} și 10^{-4} . Din cauza valorilor aproximativ egale ale tensiunii superficiale diferențele între valorile R_e pentru cele patru lichide investigate sunt prea mici pentru a fi prezentate. Valoarea razei de echilibru crește la creșterea razei inițiale a bulei și la creșterea raportului presiunilor inițiale între interiorul și exteriorul bulei.

Cunoscând raza de echilibru a bulei se poate calcula, folosind relația (4.183), raportul presiunilor inițiale între interiorul și exteriorul cavității, q . Cunoașterea valorii raportului q este necesară pentru compararea modelului matematic care descrie comportarea bulei cu datele experimentale. În acest mod procedează Shima și Tomita [169] care determină valoarea razei de echilibru a bulei generată cu arc electric prin fotografiere ultrarapidă. Diferențele obținute între rezultatele modelului matematic și datele experimentale sunt însă mari. Este, totuși, dificil de obținut în realitate un colaps perfect sferic al bulei pe multe cicluri de oscilație așa cum este asumat în modelul matematic. Pierderea simetriei sferice a bulei în timpul evoluției induce o modificare a valorii razei de echilibru. O mică eroare în estimarea valorii R_e conduce la o valoare eronată a raportului q și în final la o modelare incorectă a comportării bulei. Același acord modest între teorie și experiment este obținut și de Hentschel și Lauterborn [170] care folosesc modelul Gilmore pentru descrierea oscilației bulei. Și în acest caz valoarea razei de echilibru este afectată de distrugerea simetriei sferice a bulei în timpul evoluției. În consecință, o altă metodă este necesară pentru determinarea raportului presiunilor inițiale între interiorul și exteriorul bulei.

4.6.9. Raza critică de oscilație a bulei

Figura 4.30 prezintă valorile razei critice de oscilație a bulei, $R_{0,c}$, în funcție de raportul presiunilor inițiale între interiorul și exteriorul cavității folosind atât modelul incompresibil cât și modelul compresibil. În figură sunt ilustrate și rezultatele obținute folosind ecuația de mișcare a peretelui bulei în comparație cu cele obținute folosind soluția liniarizată. Raza critică de oscilație a bulei determină comportarea bulei: supra-amortizată dacă $0 < R_0 \leq R_{0,c}$ și amortizată dacă $R_0 > R_{0,c}$. Comportarea supra-amortizată a bulei se caracterizează prin descreșterea continuă a volumului bulei de la cel corespunzător razei inițiale la cel corespunzător razei de echilibru. Exemple de oscilații supra-amortizate ale bulei, folosind modelul incompresibil, sunt date în [77].

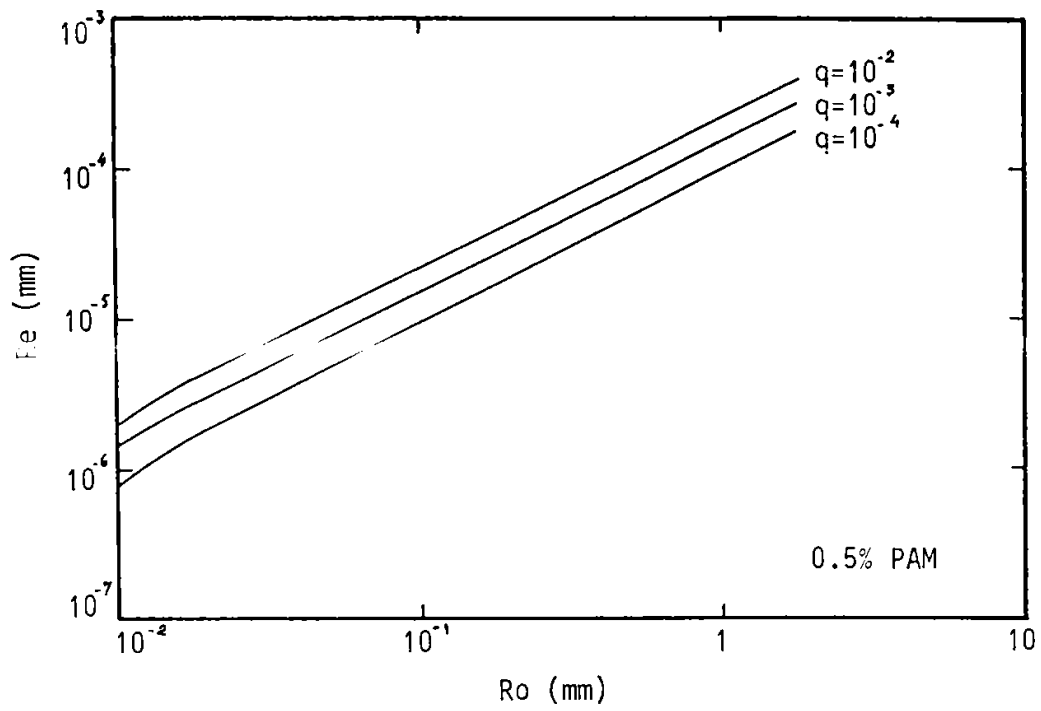


Figura 4.29. Raza de echilibru a bulei în funcție de raza inițială a bulei situată în solutia apoasă 0.5% PAM

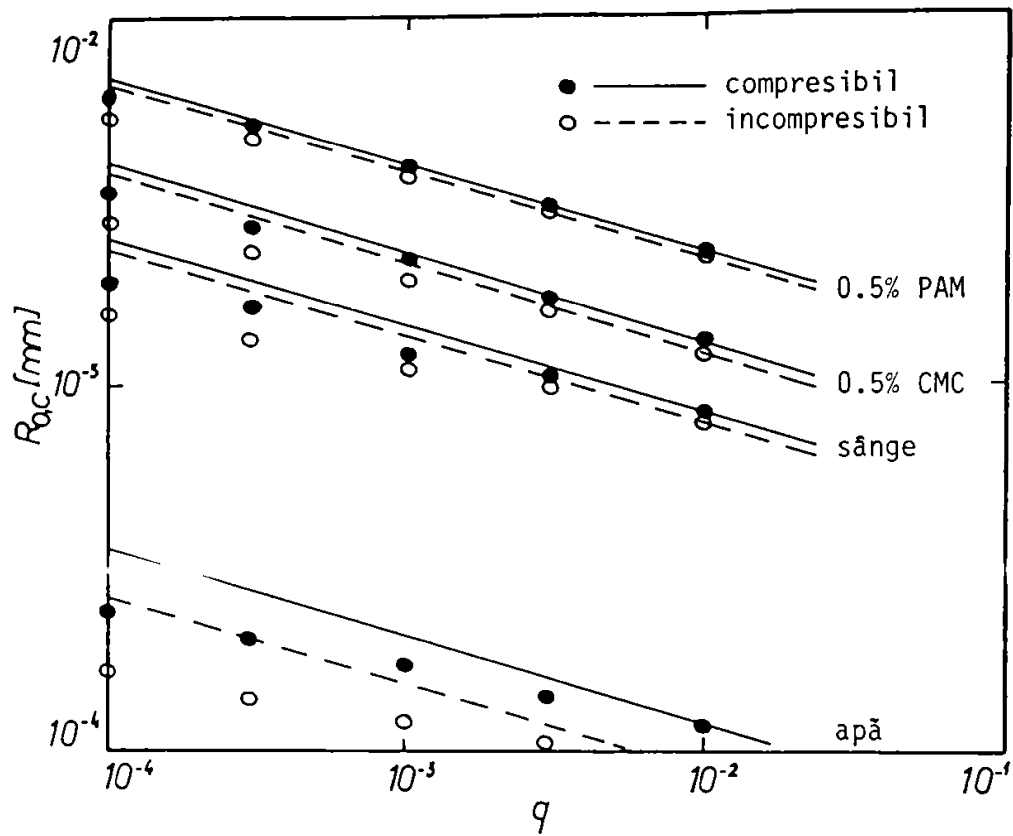


Figura 4.30. Raza critică de oscilație a bulei în funcție de raportul presiunilor inițiale între interiorul și exteriorul bulei. Simbolurile indică rezultatele obținute folosind ecuația de mișcare a peretelui bulei (închise pentru modelul compresibil și deschise pentru modelul incompresibil) iar liniile indică rezultatele soluției liniarizate (continuă pentru modelul compresibil și întreruptă pentru modelul incompresibil)

Prin aditivarea apei cu mici cantități de polimeri valoarea razei critice de oscilație a bulei crește, fiind, în ambele soluții testate, cu un ordin de mărime mai mare decât cea corespunzătoare în cazul apei. Viscositatea corespunzătoare vitezei de deformare infinită este parametrul cu cea mai mare influență asupra razei critice de oscilație a bulei. Cele mai mari valori pentru $R_{0,c}$ se obțin în soluția 0,5% PAM, urmate de cele corespunzătoare soluției 0,5% CMC, sânge și apă. Compresibilitatea lichidului se manifestă, de asemenea, prin creșterea valorii $R_{0,c}$ însă influența ei este mai redusă decât a componentei η_{∞} a viscosității. Valoarea razei critice de oscilație a bulei este cu atât mai mare cu cât raportul presiunilor inițiale între interiorul și exteriorul bulei este mai mic. Folosind soluția liniarizată se obțin rezultate identice cu cele date de ecuația de mișcare a peretelui bulei la valori mari ale raportului q ($q = 10^{-2}$) dar diferențele sunt din ce în ce mai mari la micșorarea raportului q . Cauza este creșterea neliniarității ecuației de mișcare a peretelui bulei la micșorarea raportului q și în acest caz, simplificările adoptate pentru obținerea soluției liniarizate își pierd valabilitatea. În domeniul investigat, $R_0 \geq 10^{-1}$ mm, oscilația supra-amortizată nu este pusă în evidență. O comportare a bulei foarte apropiată de cea supra-amortizată se observă în soluția 0,5% PAM atunci când $R_0 = 10^{-2}$ mm și $q = 10^{-4}$ folosind modelul compresibil (Figura 4.4). În acest caz, ambele valori ale razei critice de oscilație, atât folosind soluția liniarizată cât și ecuația de mișcare a peretelui bulei, sunt însă inferioare razei inițiale a bulei.

4.7. Aspecte specifice ale comportării dinamice a bulei cavitationale sferice în lichide newtoniene

Pentru descrierea colapsului sferic al bulei cavitationale individuale în lichide newtoniene este dezvoltat un nou model matematic care încorporează caracteristica pseudoplastică a viscosității lichidului, compresibilitatea lichidului, tensiunea superficială la interfața gaz-lichid și efectul gazului necondensabil din interiorul cavității. Ipotezele simplificatorii adoptate în elaborarea modelului matematic sunt prezentate și discutate în paragraful 4.1.1. Notăm că, din punctul de vedere al acestei lucrări, cea mai importantă ipoteză simplificatorie este neglijarea elasticității lichidului. Soluționarea modelului matematic este realizată folosind metoda diferențelor finite. S-a optat pentru discretizarea temporală cu pas constant cu avantajul diminuării timpului de calcul necesar pentru obținerea soluției numerice în comparație cu discretizarea cu pas variabil funcție de viteza peretelui bulei. Algoritmul de calcul folosit permite obținerea valorilor vitezei maxime de colaps a peretelui bulei, V_{max} , și a presiunii maxime la peretele bulei, p_{max} , până la valori ale raportului inițial al presiunilor între interiorul și exteriorul bulei $q = 10^{-6}$, cu trei ordine de mărime mai mari decât rezultatele prezente în literatură. La valori $q = 10^{-3}$ rezultatele obținute în cazul bulei situată în apă sunt similare cu cele prezentate în literatură [124, 126, 128, 132, 133, 162]. Programele de calcul utilizate, de concepție originală, sunt scrise în limbajele C++ sub DOS (numeric), IDL sub UNIX (numeric) și Pascal 6.0 sub DOS (grafic). Calculatoarele folosite sunt SUN 4.0, IBM PC 100 și SISTEMA DX4. Rezultatele investigațiilor analitice și numerice prezentate pun în evidență următoarele aspecte specifice ale dinamicii bulei cavitationale sferice situată într-un lichid newtonian cu comportare pseudoplastică.

Influența comportării newtoniene a lichidului asupra comportării dinamice a bulei se manifestă puternic numai atunci când raza inițială a bulei este de ordinul 10^{-2} mm și este neglijabilă când $R_0 > 0,1$ mm. Viscositatea corespunzătoare vitezei de deformare infinită, η_{∞} , este parametrul reologic dominant asupra oscilației bulei. Se manifestă prin amortizarea oscilației bulei, diminuarea vitezei maxime de colaps a peretelui bulei și a presiunii maxime în

lichid la peretele bulei precum și prin creșterea valorii razei critice de oscilație a bulei. Influența viscozității corespunzătoare vitezei de deformare zero, η_0 , asupra colapsului liber al bulei cavitationale are o pondere foarte mică fiind semnificativă doar în cazul colapsului foarte lent al bulei nespecific fenomenului cavitațional. Caracteristica pseudoplastică a viscozității lichidului nu influențează raza de echilibru a bulei.

Influența compresibilității lichidului se manifestă, de asemenea, prin amortizarea oscilației bulei. În cazul lichidelor newtoniene, efectul compresibilității este dominant pentru bulele cavitationale a căror rază inițială $R_0 \geq 0,1$ mm și este neglijabil atunci când ordinul de mărime al razei inițiale al bulei este 10^{-2} mm. Cu cât valoarea vitezei sunetului în lichid este mai mare cu atât amortizarea oscilației bulei este mai mică. Din acest motiv comportarea dinamică a bulei cavitationale în sânge uman este mai violentă decât în cazul apei dacă raza inițială a bulei $R_0 > 0,1$ mm. Bule cavitationale cu asemenea dimensiuni sunt generate în tratamentele clinice cu laser [160, 163, 164] astfel încât efectele colaterale negative sau pozitive generate de colapsul bulei pot fi subestimate prin experimentele în care lichidul ambiant bulei este apa. De altfel, nu există până în prezent un experiment care să evidențieze aspectele specifice colapsului bulei cavitationale în sânge uman. Prezenta investigație analitică și numerică asupra oscilației libere a bulei cavitationale în sânge uman este unică în literatură.

Pentru valori $R_0 \geq 0,1$ mm influența caracteristicii pseudoplastice a viscozității lichidului asupra primului timp de colaps al bulei este neglijabilă dar este semnificativă asupra celui de-al doilea timp de colaps. Această observație permite determinarea raportului inițial al presiunilor între interiorul și exteriorul bulei (în faza expansiunii maxime a bulei), q , pentru compararea rezultatelor numerice cu cele experimentale. În investigațiile anterioare determinarea raportului q era realizată folosind raza de echilibru a bulei [169, 170] însă pierderea simetriei sferice a bulei după multe cicluri de oscilație introduce erori semnificative în stabilirea corectă a raportului q . Numai la valori ale razei inițiale a bulei de ordinul 10^{-2} mm influența caracteristicii pseudoplastice a viscozității lichidului se manifestă prin prelungirea primului timp de colaps al bulei.

Pierderea de energie a bulei cavitationale în timpul primului colaps, obținută prin compararea energiei bulei înainte și după colaps, este datorată în exclusivitate compresibilității lichidului atunci când raza inițială a bulei este $R_0 > 0,1$ mm, indiferent de valoarea raportului q . Caracteristica pseudoplastică a viscozității lichidului are o pondere din ce în ce mai mare la micșorarea razei inițiale a bulei și la creșterea valorii raportului q .

În cazul apei valorile vitezei maxime de colaps a peretelui bulei și a presiunii maxime în lichid la peretele bulei cresc la diminuarea razei inițiale a bulei, rezultat în concordanță cu investigațiile numerice anterioare [126, 162]. În contrast, în cazul soluțiilor apoase de polimeri testate, valorile V_{max} și p_{max} scad la diminuarea razei inițiale a bulei. Pentru $R_0 > 0,1$ mm valorile vitezei maxime de colaps a peretelui bulei sunt cuprinse între 200 m/s la $q = 10^{-2}$ și 2100 m/s la $q = 10^{-4}$. Valorile presiunii maxime la peretele bulei situată în apă cât și în soluțiile de polimeri, pentru $R_0 > 0,1$ mm, sunt cuprinse între 10^3 bar la $q = 10^{-2}$ și 10^5 la $q = 10^{-4}$. Presiunea maximă în lichid la peretele bulei situată în sânge uman este cu 3 până la 19 bar mai mare decât în cazul apei dacă $R_0 > 0,1$ mm.

Au fost obținute relații simple care exprimă dependența vitezei maxime de colaps raportată la viteza medie de colaps (Rayleigh), V_{max}/U , și presiunii maxime la peretele bulei raportată la presiunea statică inițială în lichid, p_{max}/p_r , cu raza minimă a bulei raportată la raza inițială a cavitației, R_{min}/R_0 . Proprietățile fizice ale lichidului nu influențează aceste dependente. În comparație cu alte relații prezente în literatură [80, 123, 154] relațiile

obținute modelează mult mai bine rezultatele numerice. Fiind ușor calculabile, cu aceste relații se pot obține informații aproape complete asupra intensității colapsului liber al bulei cavitationale evitând astfel dificultățile experimentale generate de colapsul rapid al bulei și durata foarte mică de manifestare a pulsului de presiune în faza finală a colapsului.

Existența undei de soc emisă în punctul final al colapsului bulei este pusă în evidență și în cazul unui lichid nenevtonian cu comportare pseudoplastică. Ca o contribuție originală a fost arătat că această caracteristică pseudoplastică a viscozității lichidului nu modifică legea $1/r$ de atenare în lichid a presiunii maxime la peretele bulei iar viteza de propagare a undei de soc este egală cu viteza sunetului în lichid.

O soluție liniarizată pentru raza critică de oscilație a bulei este obținută. Soluția liniarizată coincide cu cea numerică la valori $q = 10^{-2}$ dar acordul este din ce în ce mai modest la diminuarea raportului q . Neliniaritatea ecuației care descrie oscilația bulei crește la mărirea raportului q și simplificările adoptate pentru obținerea soluției liniarizate își pierd valabilitatea. Influența viscozității lichidului asupra razei critice de oscilație a bulei este dominantă față de cea de compresibilitate a lichidului.

5. Dinamica bulei cavitationale generată cu laser în lichide newtoniene. Experiment

Investigațiile experimentale asupra comportării dinamice a bulei cavitationale situată în lichide newtoniene sunt extrem de reduse. Reamintim aici lucrările lui Chahine și Fruman [105] și Kezios și Schowalter [106] care utilizează soluții apoase de polimeri ca lichid test. Din propria experiență remarcăm că unul din obstacolele principale în efectuarea experimentului este diminuarea transparenței lichidului prin aditivarea apei cu polimeri ceea ce implică utilizarea unor tehnici sofisticate (și costisitoare) de investigare.

Prezenta investigație experimentală încearcă să evidențieze câteva aspecte fizice fundamentale ale comportării bulei cavitationale indusă cu laser în lichide newtoniene. Este studiată atât comportarea bulei situată într-un lichid extins la infinit cât și în apropierea unui perete solid. Lichidele newtoniene testate sunt soluția apoasă 0,5% carboximetilceluloză și soluția apoasă 0,5% poli(acrilamidă) iar rezultatele sunt comparate cu cazul situării bulei în apă.

5.1. Aranjamente experimentale

Investigațiile experimentale au fost efectuate la Institut für Angewandte Physik, TH Darmstadt și la Institute of Fluid Science, Tohoku University, Sendai. Aranjamentul experimental folosind cinematografia secvențială rapidă este construit de Prof. Werner Lauterborn iar aranjamentul experimental folosind interferometria holografică dublu expusă de Prof. Kazuyoshi Takayama.

5.1.1. Aranjamentul experimental pentru investigarea evoluției bulei cavitationale folosind cinematografia secvențială rapidă

Diagrama schematică care descrie aranjamentul experimental folosit pentru investigarea comportării bulei cavitationale generată cu laser este prezentată în Figura 5.1. Bulele sunt generate într-o cuvă umplută cu lichidul testat folosind un laser Nd:YAG cu emisie sacadată (Lumonics, model HY 750). În modul operational fundamental lungimea de undă a radiației este 1064 nm, durata pulsului este 8 ns și energia maximă a pulsului 200 mJ. Fluctuațiile energiei razei laser de la puls la puls sunt cuprinse în intervalul $\pm 2\%$. Cu toate măsurile de protecție considerate 15% din radiația laserului este în ultraviolet. Fascicolul laser, cu diametrul 10,5 mm, este focalizat cu ajutorul a două lentile, L1, biconvexă, cu lungimea focală 50 mm și L2, acromat, cu lungimea focală 25 mm, rezultând un unghi de focalizare de 21° (în apă). Lentila acromat este folosită pentru a elimina efectul difracției luminii prin sticlă, în timp ce, valoarea mare a unghiului de focalizare a fascicolului laser a

fost aleasă pentru a reduce probabilitatea de apariție a multor puncte, în regiunea de focalizare din lichid, în care intensitatea luminii să depășească valoarea de prag pentru formarea plasmei. Poziția punctului de focalizare este astfel aleasă încât evoluția bulei cavitationale să nu fie afectată de peretele cuvei sau de suprafața liberă a lichidului din cuvă. La fiecare iradiere energia pulsului laser este măsurată cu un detector piroelectric (Laser Precision Rj 7100).

Alinierea sistemului optic este realizată cu un laser He-Ne cu emisie continuă vizibilă. Laserul He-Ne se folosește și la determinarea distanței între peretele solid și punctul de focalizare al laserului Nd:YAG atunci când se urmărește evoluția bulei în vecinătatea unui perete solid. Peretele solid este adus în apropierea punctului de focalizare al laserului He-Ne până când intersecția între conul razei laser și perete este un singur punct și apoi poziționat cu un micrometru cu translație pe trei direcții perpendiculare.

Secvențe ale evoluției bulei cavitationale sunt preluate de un convertor de imagine Imacon (John Hadland 700) cu o viteză maximă de filmare de 20.000.000 imagini/s, fotografiate cu o cameră CCD sistem AT200A (Photometrics, rezoluție 1317x1035 în 12 bit) și citită cu un procesor de imagine PMIS (Microsoft) folosind un PC 486 DX4/100 MHz. Magnificatia maximă a camerei Imacon este 12,7. Pentru observarea interiorului bulei se folosește iluminarea difuză prin dispunerea între sursa de lumină și cuva umplută cu lichid a unui ecran mat. Pentru vizualizarea undei de soc în faza de recuperare a bulei se folosește și iluminarea paralelă (tehnica Schlieren) [138]. Dimensiunea fiecărui cliseu fotografic este obținută prin fotografierea unui desen cu dimensiuni cunoscute înaintea fiecărui set de filmări. Dimensiunea bulei este măsurată folosind, sub PMIS, diferența de luminozitate între zona cliseului fotografic în care este situată bula și zona înconjurătoare bulei. În acest mod, incertitudinea asupra măsurării dimensiunii bulei este mai mică de 0,3%.

Undele de soc emise în timpul spărturii optice și colapsului bulei sunt detectate cu un hidrofön Ceram amplasat la o distanță de aproximativ 20 mm de punctul de focalizare. Sensibilitatea hidrofönului este 50 mV/bar iar timpul de răspuns 50 ns. Semnalul dat de hidrofön este preluat, cu o frecvență de 50 MHz, de un înregistrator de semnale rapide (Sony/Tektronix 390 AD) și monitorizat pe un osciloscop. Capacitatea de stocare a înregistratorului este 64K (8 bit), suficientă pentru a urmări întregul ciclu de evoluție al bulei. Timpul de răspuns al hidrofönului este mult mai mare decât durata pulsurilor de presiune din faza finală a colapsului bulei (10 - 40 ns [138, 168]) astfel încât amplitudinea presiunii în lichidul înconjurător bulei nu poate fi determinată.

Sincronizarea tuturor aparatelor pentru înregistrarea unei secvențe specifice a evoluției bulei este realizată cu ajutorul unui computer separat (Atari, interfață cu 8 canale) care permite alegerea timpilor de întârziere necesari pentru declansarea laserului, camerelor de filmat și a blitzului, cu o precizie de 0,5 μs.

5.1.2. *Principiul metodei și aranjamentul experimental pentru investigarea evoluției bulei cavitationale folosind interferometria holografică cu dublă expunere*

Holografia este metoda de înregistrare și reconstrucție a undelor de lumină. Fizicianul englez Dennis Gabor a propus în 1948 această metodă de a înregistra atât amplitudinea cât și faza unei unde de lumină, numită undă obiect, care poate fi ulterior reconstruită cu ajutorul unei unde de referință. Absența unei surse de lumină suficient de coerentă a fost principalul

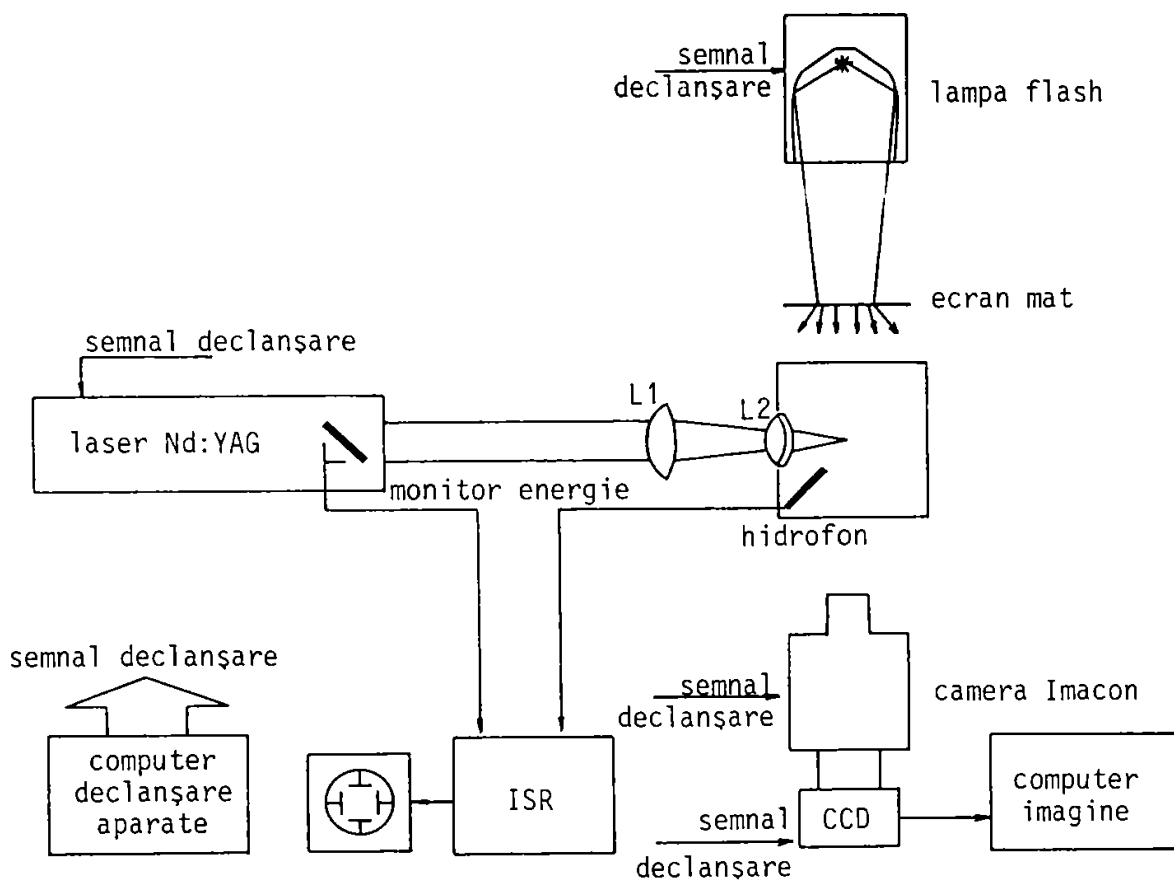


Figura 5.1. Aranjamentul experimental pentru investigarea evoluției bulei cavitationale folosind cinematografia secvențială rapidă

obstacol în folosirea tehnicilor holografice în primii ani după descoperire. Introducerea laserilor în 1960 a îmbunătățit substanțial tehnica holografică și în 1963 metoda este aplicată cu succes de Leith și Upatnieks [171]. În 1971 Dennis Gabor a fost recompensat cu premiul Nobel pentru descoperirea sa.

A. Principiul metodei

Procesul holografic este compus din două operații: înregistrarea și reconstrucția unei unde de lumină. Unda de lumină coerentă a laserului este separată într-o undă obiect și o undă de referință. Unda obiect este unda reflectată de obiectul situat în lungul liniei optice a razei laser sau transmisă prin acest obiect. Unda obiect, înregistrată pe filmul holografic, este reprezentată prin:

$$O(x, y) = O(x, y) \exp[-i\Psi(x, y)] \quad (5.1)$$

în timp ce unda de referință prin:

$$R(x, y) = R(x, y) \exp[-i\phi(x, y)] \quad (5.2)$$

Unda de referință se combină cu unda obiect pentru a produce o nouă undă a cărei intensitate este funcție de intensitățile celor două unde individuale și diferența lor de fază. Distribuția intensității totale pe filmul holografic este:

$$I(x, y) = |O(x, y) + R(x, y)|^2 = |O(x, y)|^2 + |R(x, y)|^2 + 2O(x, y)R(x, y) \cos[\Psi(x, y) - \phi(x, y)] \quad (5.3)$$

unde $O(x, y)$ și $R(x, y)$ reprezintă intensitățile celor două unde separate. În procesul de reconstrucție, dacă holograma este iluminată cu o undă de reconstrucție similară cu unda de referință $R(x, y)$, un front de undă cu aceeași amplitudine și fază cu cele ale unde originale este creat. Unda de reconstrucție este transformată într-o copie a unde obiect.

Rezultate remarcabile referitoare la evoluția bulei cavitationale generată cu laser folosind holografia convențională au fost obținute de Lauterborn, Hentschel și Ebeling și sunt sintetizate în [172]

B. Interferometria holografică

În interferometria holografică două stări ale obiectului, corespunzătoare unor momente de timp diferite dar localizate identic în spațiu, sunt înregistrate pe același film holografic și reconstruite simultan. Intensitatea totală a luminii înregistrată pe filmul holografic datorată dublei expuneri a obiectului este:

$$I(x, y) = I_1(x, y) + I_2(x, y) \quad (5.4)$$

În procesul de reconstrucție intensitatea totală a luminii este proporțională cu termenul $O_1(x, y) + O_2(x, y)$ unde

$$O_1(x, y) = O(x, y) \exp[-ik\Phi_1(x, y)] \quad (5.5)$$

$$O_2(x, y) = O(x, y) \exp[-ik\Phi_2(x, y)] \quad (5.6)$$

si $k = 2\pi/\lambda$. Filmul holografic înregistrează suma intensităților celor două unde obiect si această sumă este modulată printr-un termen de interferență datorat variației indicelui de refracție al lichidului între cele două expuneri. Distribuția intensității totale de lumină pe imaginea reconstruită este:

$$I = 2|O(x, y)|^2 \{1 + \cos k[\Phi_2(x, y) - \Phi_1(x, y)]\} \quad (5.7)$$

unde $\Delta\Phi = \Phi_2 - \Phi_1$ reprezintă diferența între lungimea drumului optic a celor două unde obiect. Dacă $\Delta\Phi = N\lambda/2$ ($N = 1, 2, 3, \dots$) intensitatea totală a luminii este nulă si o franjă neagră va apărea pe hologramă. În contrast, dacă $\Delta\Phi = N\lambda$ intensitatea totală a luminii este maximă si o franjă albă apare pe hologramă. Fiecare franjă (albă sau neagră) reprezintă contururi de constantă fază optică între cele două expuneri. Fiecare franjă succesivă reprezintă o diferență între lungimile drumului optic, corespunzătoare celor două expuneri, egală cu jumătate din lungimea de undă a luminii coerente a laserului folosit în procesul de înregistrare. Modificarea lungimii drumului optic datorată schimbării indicelui de refracție este:

$$\Delta\Phi(x, y) = \Phi_2(x, y) - \Phi_1(x, y) = \int [n_2(x, y, z) - n_1(x, y, z)] dz \quad (5.8)$$

unde integrarea este efectuată în lungul liniei optice a unei obiect iar n_1 si n_2 sunt indicii de refracție la timpul în care primul si, respectiv, al doilea puls laser traversează obiectul test. Relația este valabilă dacă obiectul test este transparent (de exemplu lichid unde refracția este neglijabilă) si dacă cele două pulsuri traversează exact aceleasi regiuni optice. Indicele de refracție al lichidului poate fi corelat cu densitatea lichidului prin relația Lorentz-Lorentz [173]:

$$\frac{n^2 - 1}{\rho(n^2 + 2)} = \bar{r}(\lambda) \quad (5.9)$$

cu $\bar{r}(\lambda)$ refracția specifică (funcție numai de lungimea de undă a luminii) si ρ densitatea lichidului. Legătura între densitatea si presiunea lichidului poate fi exprimată, de exemplu, sub forma [173]:

$$\kappa = \frac{d}{dp} (\ln \rho) \quad (5.10)$$

unde κ este compresibilitatea iar p presiunea lichidului. În cazul micilor variații relația poate fi exprimată sub forma:

$$\kappa = \frac{\ln \rho - \ln \rho_0}{p - p_0} \quad (5.11)$$

cu ρ_0 densitatea lichidului neperturbat la presiunea p_0 .

Ecuatia (5.9) poate fi scrisă sub forma:

$$\frac{n^2 - 1}{\rho(n^2 + 2)} = \frac{n_0^2 - 1}{\rho_0(n_0^2 + 2)} \quad (5.12)$$

cu n_0 indicele de refractie al lichidului neperturbat. Folosind relatiile (5.11) si (5.12) se obtine:

$$n = \left(\frac{3}{1 - \left[\frac{n_0^2 - 1}{n_0^2 + 2} \right] \exp\left\{ \kappa(p - p_0) \right\}} - 2 \right)^{1/2} \quad (5.13)$$

si în final:

$$n_2(x, y, t_2) - n_1(x, y, t_1) = \left(\frac{3}{1 - \left[\frac{n_0^2 - 1}{n_0^2 + 2} \right] \exp\left\{ \kappa[p_2(x, y, t_2) - p_0] \right\}} - 2 \right)^{1/2} - \left(\frac{3}{1 - \left[\frac{n_0^2 - 1}{n_0^2 + 2} \right] \exp\left\{ \kappa[p_1(x, y, t_1) - p_0] \right\}} - 2 \right)^{1/2} \quad (5.14)$$

cu p_1 si p_2 valorile presiunii în lichid la primul si, respectiv, al doilea puls laser. Combinând relatiile (5.7), (5.8) si (5.14) rezultă că distributia intensității totale a luminii pe filmul holografic descrie distributia de presiune în lichid. Fiecare franjă de pe hologramă reprezintă o linie izopicnică si, deci, un contur de egală presiune în lichid. Variatii mari de presiune într-o anumită regiune din lichid implică un număr mare de franje în regiunea corespunzătoare de pe hologramă. În cazul miscărilor plan-paralele unde raza laser străbate regiuni în care valoarea indicelui de refractie al lichidului este constantă distributia presiunii în lichid este determinată cu precizie atât în ceea ce priveste localizarea conturilor de egală presiune cât si în specificarea valorii presiunii pe fiecare contur. Pentru miscările axial-simetrice (cazul miscării bulei în apropierea unui perete solid) indicele de refractie al lichidului nu are o valoare constantă în lungul liniei optice a obiectului si franjele nu vor corespunde exact izopicnicelor. Franjele indică corect conturile de egală presiune dar amplitudinea presiunii pe fiecare contur nu poate fi precizată [158, 173, 174, 175, 176]. Pentru descrierea completă a distributiei presiunii în lichid proiectii interferometrice simultane din diferite directii sunt necesare. Tehnicile de reconstructie pentru obtinerea distributiei indicelui de refractie din datele interferometrice (în special metoda tomografică) sunt discutate de Lauterborn si Vogel

[158], Vest [173], Sweeney si Vest [177] si Takayama [178]. Prezenta investigatie este restrânsă doar la descrierea calitativă a distributiei de presiune în lichid fără a preciza amplitudinea presiunii pe fiecare contur.

C. Aranjamentul experimental

Aranjamentul experimental pentru investigarea evolutiei bulei cavitationale folosind interferometria holografică cu dublă expunere este prezentat în Figura 5.2. Sursa de lumină coerentă este un laser holografic cu rubin cu emisie sacadată (Apollo Lasers Inc., model 22HD). Lungimea de undă a radiatie este 694,3 nm cu o durată a pulsului de 25 ns si energie maximă 2 J/puls. Aproape 25% din radiatia emisă de laser este în infrarosu. Un divizor optic imparte 60% din raza laser pe linia optica a obiectului si 40% pe linia optica de referință. Câteva teste preliminare precum si teste anterioare [174] au arătat că acest raport conduce la cele mai bune rezultate. Unda obiect este expandată cu o lentilă concavă cu lungimea focală $f = -100$ mm si reflectată de o oglindă Schlieren cu diametrul 300 mm si lungimea focală 3000 mm. Unda de referință este expandată cu o lentilă concavă cu $f = -30$ mm astfel pozitionată încât diametrul celor două unde, obiect si de referință, să aibă acelasi diametru pe filmul holografic. Unda obiect este normală pe filmul holografic în timp ce unghiul de incidentă al razei de referință este 43° . Aceasta este valoarea optimă pentru obtinerea corectă a distributiei indicelui de refractie al luminii si a fost determinată prin încercări succesive în intervalul cuprins între 30° si 50° . Este un parametru important si, probabil, cauza obtinerii unor rezultate foarte modeste de către Alloncle s.a. [183] este alegerea incorectă a acestui unghi. Diferenta între lungimea liniei optice a obiectului si cea a liniei optice de referință este mai mică de 20 mm. Bulele sunt generate cu un laser Nd:YAG (Laser Photonics, model MYL 100) cu emisie sacadată. Lungimea de undă a radiatie este 1064 nm, durata pulsului 7 ns si energia maximă 20 mJ/puls. Recipientul în care se găseste lichidul testat are un volum de $0,08$ m³ si este prevăzut cu două ferestre din plexiglas cu grosimea 10 mm. Distanța între punctul de focalizare al laserului Nd:YAG si cel mai apropiat perete al recipientului este suficient de mare ca unda de soc emisă în timpul spărturii optice si reflectată de perete să nu afecteze comportarea bulei. Un circuit de întârziere permite declansarea decalată în timp a celor doi laseri pentru obtinerea unui cadru specific din evolutia bulei. Precizia circuitului de întârziere este 1 μ s dar deviatii de ± 80 ns au fost observate. Din acest motiv circuitul de întârziere este folosit pentru obtinerea de secvente din evolutia bulei numai până în punctul final al colapsului. Pentru înregistrarea pe filmul holografic a undei de soc emisă în timpul recuperării bulei cei doi laseri sunt sincronizati chiar de către unda de soc. Acest lucru este realizat prin modularea intensității razei unui laser He-Ne care este culeasă de o fotodiodă cu timp de răspuns de 2 ns. Modificarea aproape instantanee a semnalului fotodiodei, atunci când unda de soc traversează raza laserului He-Ne, declansează laserul holografic. Filmul holografic folosit este Agfa-Gevaert 10E75. Dimensiunea fiecărui cadru în hologramă este obtinută prin înregistrarea, în prealabil, a unui desen cu dimensiuni cunoscute. Reconstructia hologramei este realizată cu ajutorul unui laser argon-ion care emite pe lungimea de undă de 514,5 nm păstrând acelasi unghi de incidentă pe hologramă cu cel al razei de referință din timpul înregistrării hologramei.

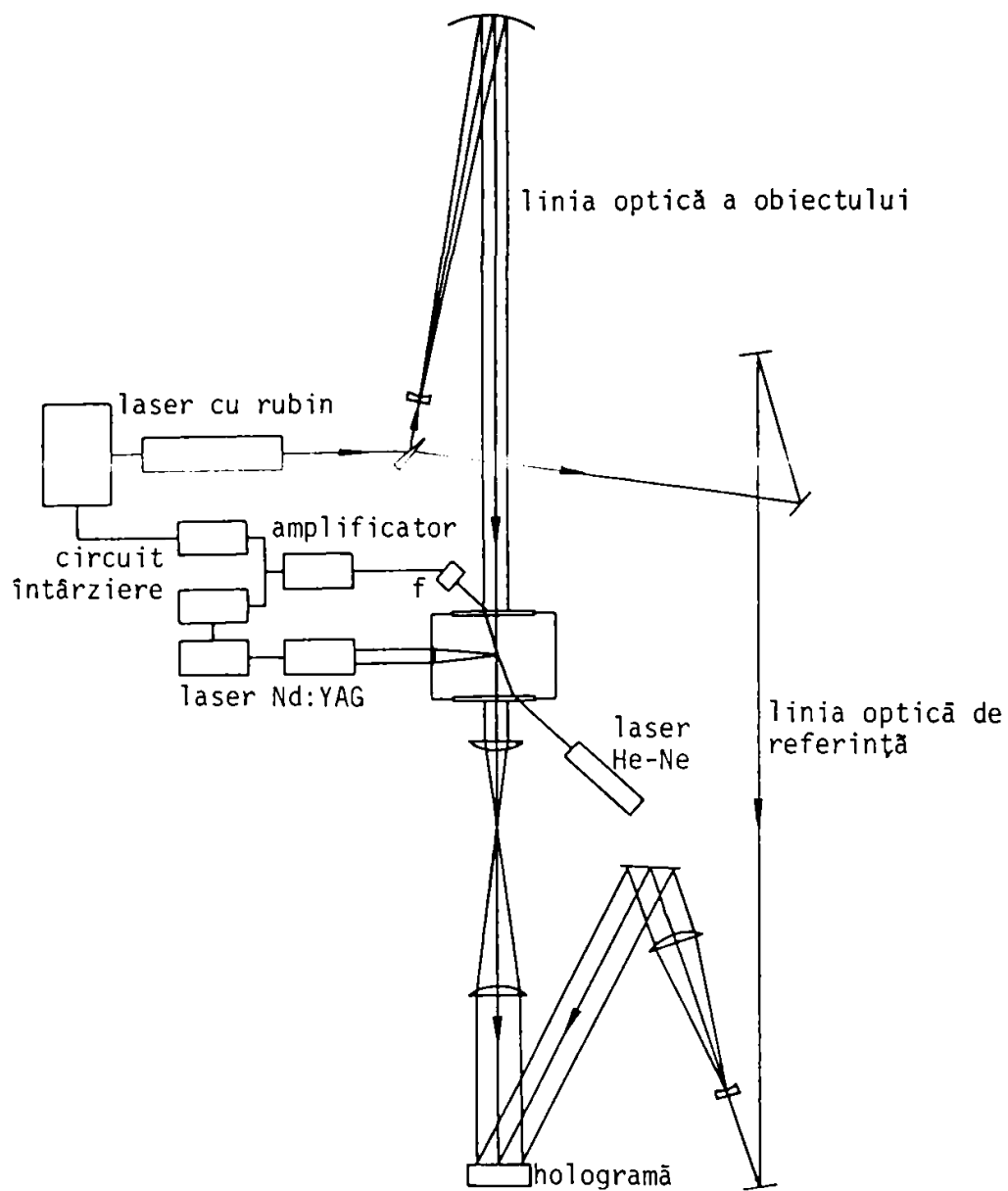


Figura 5.2. Aranjamentul experimental pentru investigarea evoluției bulei cavitationale folosind interferența holografică cu dublă expunere

5.2. Comportarea bulei cavitationale situată într-un lichid nenevtonian extins la infinit

Comportarea bulei cavitationale sferice este investigată folosind cinematografia secvențială rapidă. Rezultatele experimentale sunt comparate cu cele numerice în cazul variației în timp a razei bulei, timpului de colaps și pierderii de energie a bulei în timpul colapsului.

5.2.1. Generarea bulei cavitationale

Figura 5.3. prezintă valoarea razei maxime a bulei cavitationale generată în punctul de focalizare al laserului în funcție de energia pulsului, E_l , în cazul soluției 0,5% CMC și, respectiv, 0,5% PAM. Raza maximă a bulei a fost determinată prin filmarea secvenței oscilației bulei din faza expansiunii maxime cu o viteză de 200.000 imagini/s. Rezultatele sunt comparate cu cele obținute de Vogel s.a. [179] în cazul focalizării razei laser în apă. În acest caz durata pulsului este 6 ns. Valoarea energiei de prag a pulsului laser, E_{lp} , necesară pentru generarea bulei cavitationale scade prin aditivarea apei cu polimeri. Pentru soluția 0,5% CMC $E_{lp} = 38,6 \mu\text{J}$ iar pentru soluția 0,5% PAM $E_{lp} = 60 \mu\text{J}$ în timp ce pentru apă $E_{lp} = 265 \mu\text{J}$. Rezultatele obținute nu indică o influență a proprietăților fizice ale lichidului asupra valorii de prag a energiei pulsului. Capacitatea lichidului de absorbție a luminii este însă importantă. În cazul soluțiilor de polimeri această capacitate este amplificată datorită prezentei lanțurilor de macromolecule și a particulelor solide în suspensie în punctul de focalizare al razei laser. Consecutiv, formarea plamei și a bulei cavitationale, ca rezultat al expansiunii plamei, este favorizată. Diminuarea valorii energiei de prag a pulsului laser în lichide cu impurități este observată și de Docchio s.a. [180]. Cea mai mică dimensiune a bulei se obține în soluțiile de polimeri. Valorile minime ale razei bulei în faza expansiunii maxime sunt $R_{\max} = 0,23 \text{ mm}$ pentru soluția 0,5% CMC și $R_{\max} = 0,266 \text{ mm}$ pentru soluția 0,5% PAM, valori de aproximativ două ori mai mici decât în cazul apei ($R_{\max} = 0,47 \text{ mm}$). Valoarea razei maxime a bulei este cu atât mai mare cu cât energia pulsului laser este mai mare. Și în cazul soluțiilor de polimeri dependența $R_{\max} - E_l$ este aceeași cu cea observată în investigațiile anterioare folosind ca lichid ambiant apă [55, 179, 181]. Anume, raza maximă a bulei este proporțională cu rădăcina cubică a energiei pulsului, $R_{\max} = aE_l^{1/3}$ (a : constantă). Pentru ambele soluții de polimeri cea mai bună modelare a valorilor experimentale se obține pentru $a = 0,79$ în timp ce pentru apă $a = 0,84$ (liniile continue din figură). Devieri de la această dependență se observă pentru valori ale energiei razei laser apropiate de valoarea de prag. În ambele soluții de polimeri testate, la valori ale energiei pulsului laser mai mari de 900 μJ bulele generate își pierd simetria sferică în timpul expansiunii. Ca urmare, "fereastra" disponibilă pentru studiul comportării bulei cavitationale generată cu laserul Nd:YAG cu durata pulsului de 8 ns este caracterizată de valori ale energiei pulsului cuprinse între 39 μJ și 900 μJ . Intervalul de variație al razei maxime a bulei corespunzător acestor energii este cuprins între 0,23 mm și 0,74 mm.

Cele două valori diferite pentru apă și soluțiile de polimeri ale constantei din relația care descrie dependența $R_{\max} - E_l$ sugerează o eficiență diferită de conversie a energiei

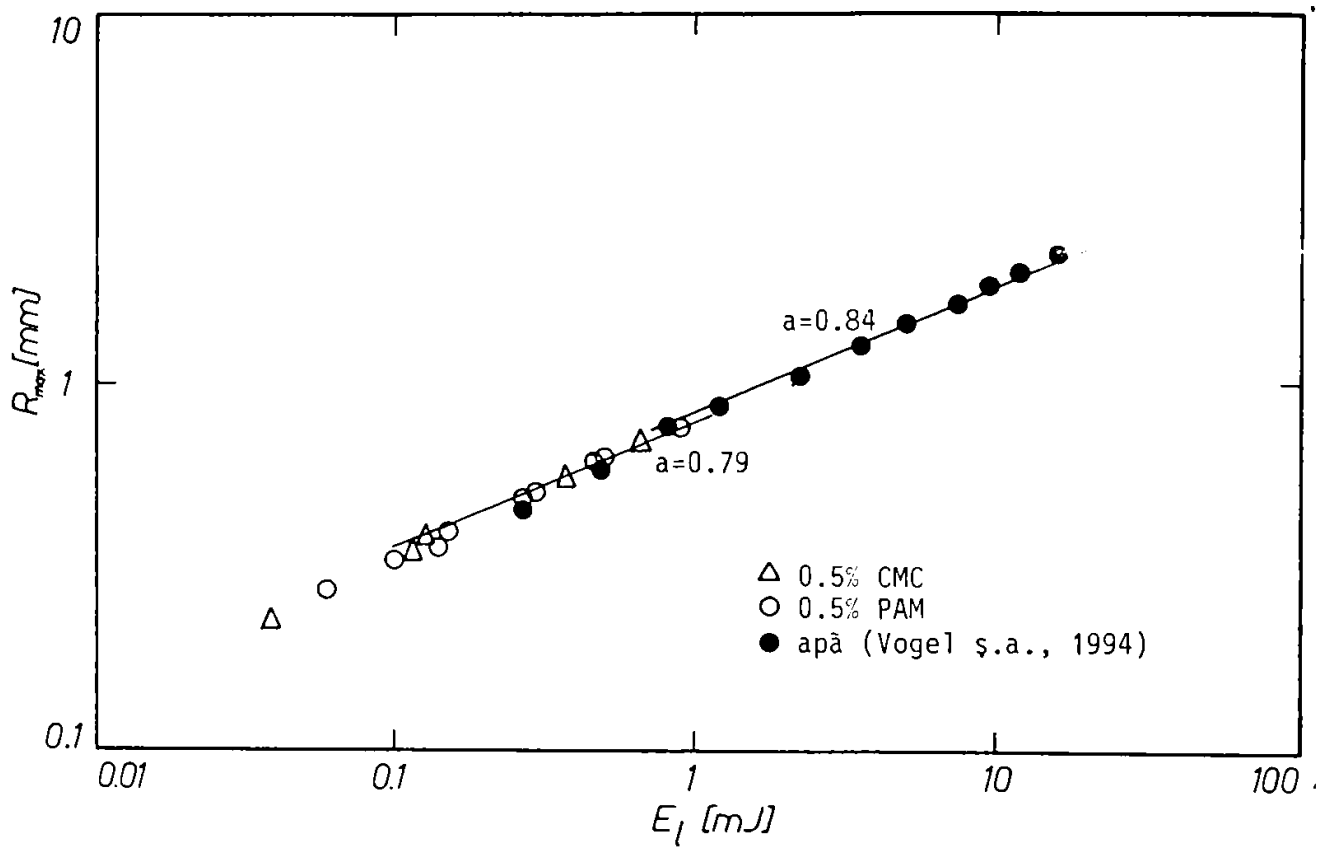


Figura 5.3. Raza maximă a bulei cavitationale în funcție de energia pulsului laser. Dependenta este de forma $R_{max}=aE_l^a$. Când bula este generată în apă $a=0,84$ iar în soluțiile de polimeri $a=0,79$

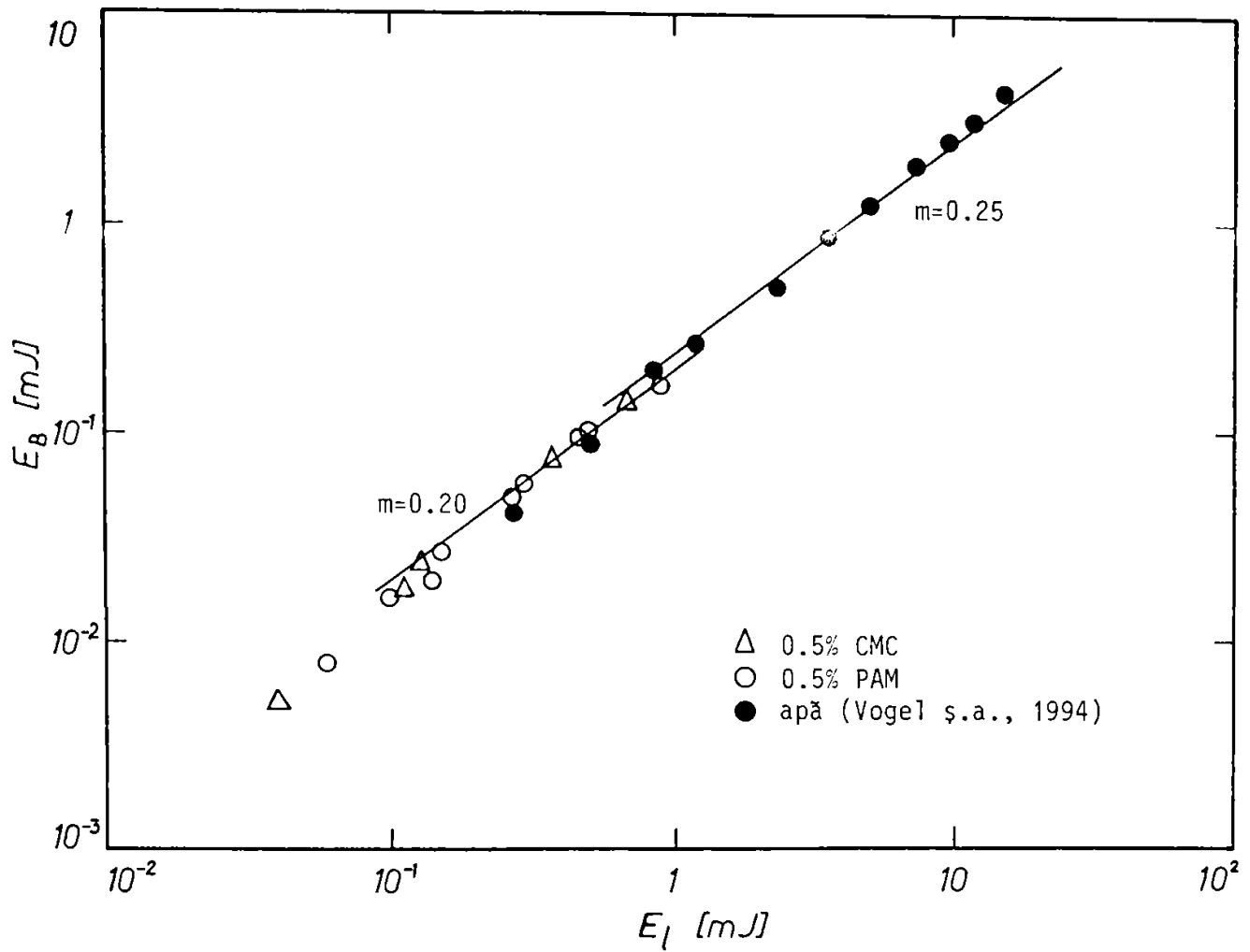


Figura 5.4. Energia potențială a bulei cavitaționale în momentul expansiunii maxime în funcție de energia pulsului laser. Eficiența conversiei energiei pulsului laser în energie potențială a bulei este 25% în apă și 20% în soluțiile de polimeri

pulsului în energie potențială a bulei. Figura 5.4. prezintă variația energiei potențiale a bulei în funcție de energia pulsului laser. Simbolurile închise indică rezultatele obținute de Vogel s.a. [179] în cazul apei. Energia potențială a bulei, în faza expansiunii maxime, este definită prin:

$$E_B = \frac{4\pi}{3} (p_s - p_i) R_{\max}^3 \quad (5.15)$$

cu p_s , presiunea statică a lichidului ambiant bulei și p_i , presiunea în interiorul cavității în faza expansiunii maxime. Pentru obținerea valorilor E_B termenul p_i a fost neglijat. Cele două linii continue indicate în figură reprezintă cea mai bună modelare a rezultatelor obținute pentru apă și, respectiv, pentru soluțiile de polimeri. În cazul apei panta liniei este $m = 0,25$ ceea ce înseamnă că eficiența conversiei energiei pulsului laser în energie potențială a bulei este 25%. Această valoare este mai mică în cazul soluțiilor de polimeri unde eficiența conversiei este 20%. Valoarea mai mică obținută în cazul soluțiilor de polimeri indică un mecanism diferit de generare a bulei cavitationale atât timp cât influența tensiunii superficiale, a viscozității și elasticității lichidului asupra razei maxime a bulei, R_{\max} , este practic nulă [85, 98, 182].

5.2.2. Variația razei bulei în timp

Figura 5.5 prezintă evoluția bulei cavitationale generată în soluția 0,5% PAM prin focalizarea unui puls laser cu energia 0,27 mJ. Viteza de filmare este 200.000 imagini/s. Raza maximă a bulei astfel creată este $R_{\max} = 0,488$ mm. Timpul de colaps al bulei este determinat din intervalul de timp între pulsul de presiune emis în timpul spărturii optice și cel corespunzător primului colaps al bulei, ΔT_1 . Pentru bule sferice, când elasticitatea lichidului este neglijabilă, acest interval de timp este dublul timpului de colaps T_c al bulei. Al doilea timp de colaps, T_{c2} , este determinat din intervalul de timp între pulsul de presiune emis în timpul spărturii optice și cel corespunzător celui de-al doilea colaps al bulei ΔT_2 . În final, $T_{c2} = \Delta T_2 - T_c$. Pentru exemplul din figură, $2T_c = 89,93 \mu s$ și $T_{c2} = 67,9 \mu s$. Din cauza timpului scurt de înregistrare al camerei Imacon sunt utilizate trei serii de secvențe, decalate în timp, ale evoluției bulei, care provin de la trei bule generate separat. Fiecare dintre aceste trei bule este generată astfel încât al doilea timp de colaps, corespunzător fiecărei bule, să fie identic. În acest mod fiecare bulă va avea aceeași dimensiune maximă și își va păstra simetria sferică și după primul colaps. Primele 10 cadre constituie prima secvență și prezintă faza de creștere a bulei. Dimensiunea maximă a bulei este în cadrul 10. Cadrele 11 - 21 constituie a doua secvență și cadrul 11 este preluat la $50 \mu s$ de la declansarea laserului. Primul colaps al bulei este între cadrele 18 și 19. Cadrele 22 - 24 constituie a treia secvență cu cadrul 22 preluat la $105 \mu s$ de la declansarea laserului. Al doilea colaps al bulei este între cadrele 23 și 24. O simplă inspecție vizuală pune în evidență amortizarea foarte puternică a celui de-al doilea ciclu de oscilație a bulei. Prin prisma rezultatelor numerice prezentate anterior, este evident că modelul compresibil, caracterizat de setul de ecuații (4.163), (4.178) și (4.180), va descrie mult mai bine comportarea bulei cavitationale decât modelul incompresibil și, în consecință, va fi folosit pentru modelarea teoretică a evoluției bulei.

Pentru compararea rezultatelor modelului matematic propus pentru descrierea comportării dinamice a bulei cavitationale cu rezultatele experimentale este necesar să se cunoască valorile parametrilor care intervin în condițiile inițiale, și anume, raza bulei $R(t=0)$,

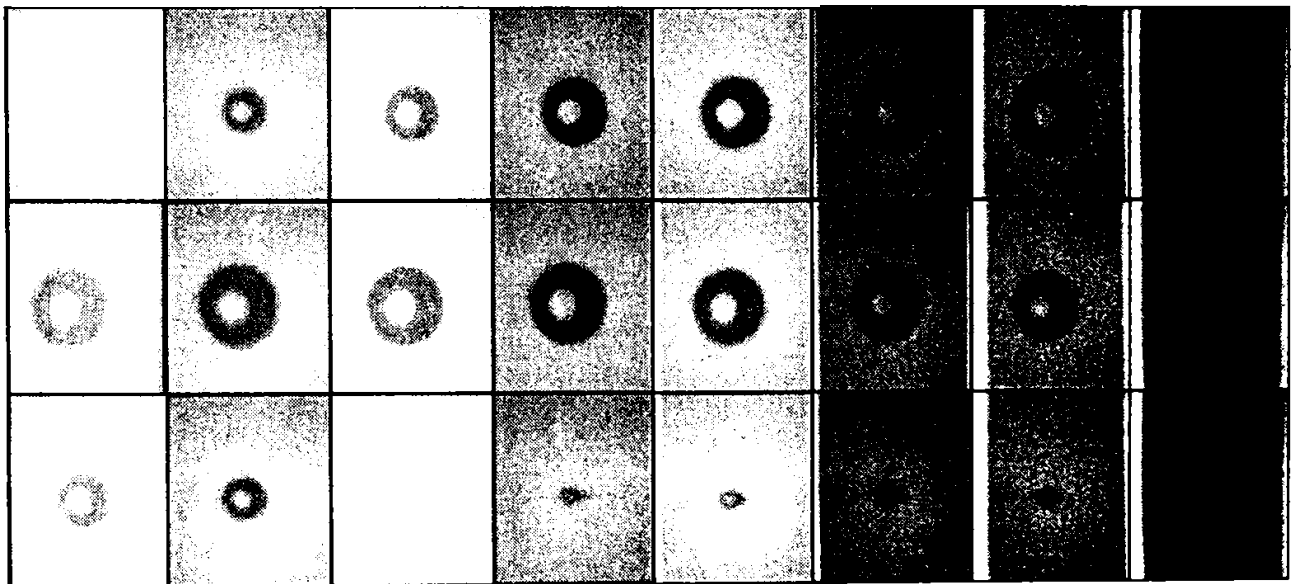


Figura 5.5. Evolutia bulei cavitationale sferice generată prin focalizarea unui puls laser cu energia 0,27 mJ în solutia 0,5% PAM. Raza maximă a bulei este $R_{max}=0,488$ mm. Intervalul între cadre este 5 μ s

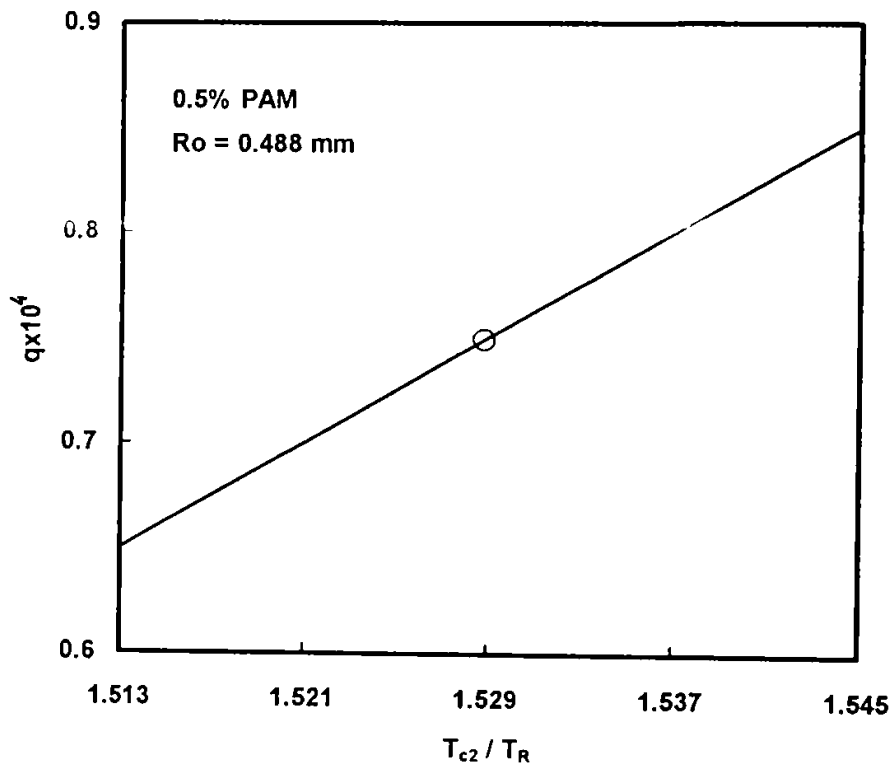


Figura 5.6. Dependenta raportului presiunilor initiale între interiorul și exteriorul bulei cu al doilea timp de colaps al bulei. Bula cu raza inițială $R_0=0,488 \text{ mm}$ este situată în soluția 0,5% PAM. Simbolul deschis indică valoarea q la valoarea T_{c2} obținută experimental ($q=7,5 \times 10^{-5}$). Soluția modelului compresibil este folosită

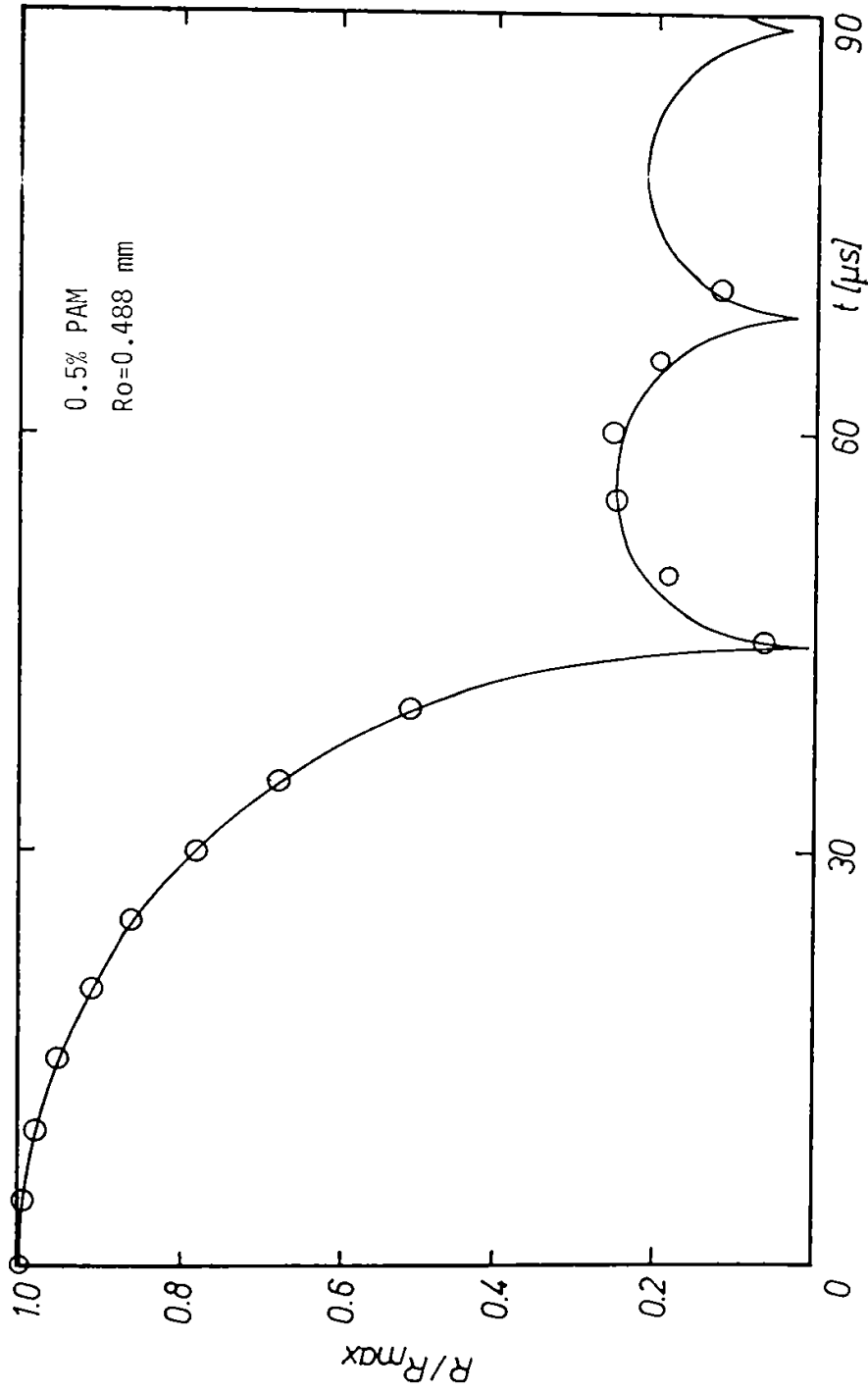


Figura 5.7. Variația în timp a razei bulei situată în soluția 0,5% PAM. Raza maximă a bulei este $R_0=0,488$ mm. Punctele reprezintă valorile obținute experimental (Figura 5.5) și linia continuă reprezintă soluția modelului compresibil pentru $q=7,5 \times 10^{-5}$.

viteza peretelui bulei $\dot{R}(t = 0)$ și raportul presiunilor inițiale între interiorul și exteriorul bulei $q(t = 0)$. Este dificil de estimat valorile acestor parametri în momentul generării bulei și, în general, este dificil de modelat matematic faza inițială a generării bulei datorită necunoașterii în totalitate a mecanismului fizic de generare a plasmei și, consecutiv, a bulei cavitationale. Este însă mult mai convenabil ca modelarea matematică să înceapă de la momentul de timp la care se obține dimensiunea maximă a bulei. În acest caz, $R(t = 0) = R_{\max}$ și $\dot{R}(t = 0) = 0$. Valoarea $q(t = 0)$ se obține folosind al doilea timp de colaps al bulei ținând seama că influența raportului q asupra valorii T_{c2} este semnificativă (vezi Figura 4.12). Dependenta celui de-al doilea timp de colaps al bulei, cu raza inițială $R_0 = 0,488$ mm situată în soluția 0,5% PAM, cu raportul inițial al presiunilor între interiorul și exteriorul bulei este prezentat în Figura 5.6. Aici T_R este timpul de colaps Rayleigh al bulei. În intervalul investigat dependenta $q - T_{c2}$ este liniară. Valoarea $q(t = 0)$ adoptată este aceea pentru care valoarea T_{c2} obținută numeric este identică cu cea obținută experimental. Se obține $q = 7,5 \times 10^{-5}$. Variația în timp a razei bulei este ilustrată în Figura 5.7. Linia continuă reprezintă soluția modelului compresibil dat de ecuația (4.163) iar punctele indică valorile razei bulei corespunzătoare fiecărui cadru fotografic din Figura 5.5. Se remarcă o bună concordanță atât pentru faza primului colaps cât și pentru al doilea ciclu de oscilație a bulei.

Figura 5.8 prezintă evoluția bulei cavitationale situată în soluția 0,5% PAM generată prin focalizarea unui puls laser cu energia 0,151 mJ. Raza maximă a bulei este 0,4 mm. Viteza de filmare este 208.300 imagini/s. Trei secvențe ale oscilației bulei care provin de la trei bule generate separat sunt ilustrate, și anume, cadrele 1 - 8 (care prezintă faza de creștere a bulei), 9 - 14 și 15 - 18. Dimensiunea maximă a bulei este în cadrul 8. Cadrul 9 este obținut la 42,5 μ s de la declansarea laserului în timp ce cadrul 15 la 73 μ s. Punctul final al colapsului bulei este între cadrele 15 și 16. Pentru acest exemplu $2T_c = 73,9$ μ s și $T_{c2} = 55,7$ μ s. În aceeași figură este prezentată și variația razei bulei în timp. Linia continuă reprezintă soluția modelului compresibil cu condițiile inițiale $R(t = 0) = R_{\max}$ și $\dot{R}(t = 0) = 0$ iar punctele reprezintă valorile obținute experimental. Valoarea raportului presiunilor inițiale între interiorul și exteriorul bulei este obținută folosind al doilea timp de colaps al bulei. Dependenta $q - T_{c2}$ este identică cu cea prezentată în Figura 5.6, influența razei maxime a bulei, $R_{\max} = 0,4$ mm în acest caz față de $R_{\max} = 0,488$ mm în cazul precedent, fiind nesemnificativă. În consecință, $q(t = 0) = 7,5 \times 10^{-5}$. Concordanța între soluția modelului matematic propus și rezultatele experimentale este și în acest caz foarte bună.

Un al treilea exemplu al evoluției bulei în soluția 0,5% PAM este prezentat în Figura 5.9. Energia pulsului laser este 0,292 mJ iar raza maximă a bulei este $R_{\max} = 0,51$ mm. Aici $2T_c = 93,1$ μ s și $T_{c2} = 71$ μ s. Cele trei secvențe separate corespund cadrelor 1 - 9, 10 - 18 și 19 - 26. Cadrul 10 este înregistrat la 46,5 μ s iar cadrul 19 la 91,5 μ s de la declansarea laserului. Dimensiunea maximă a bulei este în cadrul 10, punctul final al primului colaps este între cadrele 19 și 20 iar al celui de-al doilea colaps al bulei între cadrele 24 și 25. Variația razei bulei în timp este de asemenea prezentată în figură. Și în acest caz influența razei maxime a bulei asupra dependentei $q - T_{c2}$ prezentată în Figura 5.6 este nesemnificativă astfel încât $q = 7,5 \times 10^{-5}$. În cadrele 2 - 18 forma bulei nu este perfect sferică și în această situație se folosește raza echivalentă a bulei dată de relația $R_{equiv} = \sqrt[3]{R_v R_{or}^2}$ cu R_v raza bulei pe direcția verticală și R_{or} raza bulei pe direcția orizontală. Diferențe mari între soluția numerică și valorile experimentale sunt observate după al doilea colaps al bulei și sunt datorate rușii bulei inițiale în două cavități, clar observate în cadrele 25 și 26. Numai evoluția cavității mari a fost urmărită. Ultimul punct lipsește din secvența fotografică din cauza contrastului foarte slab.

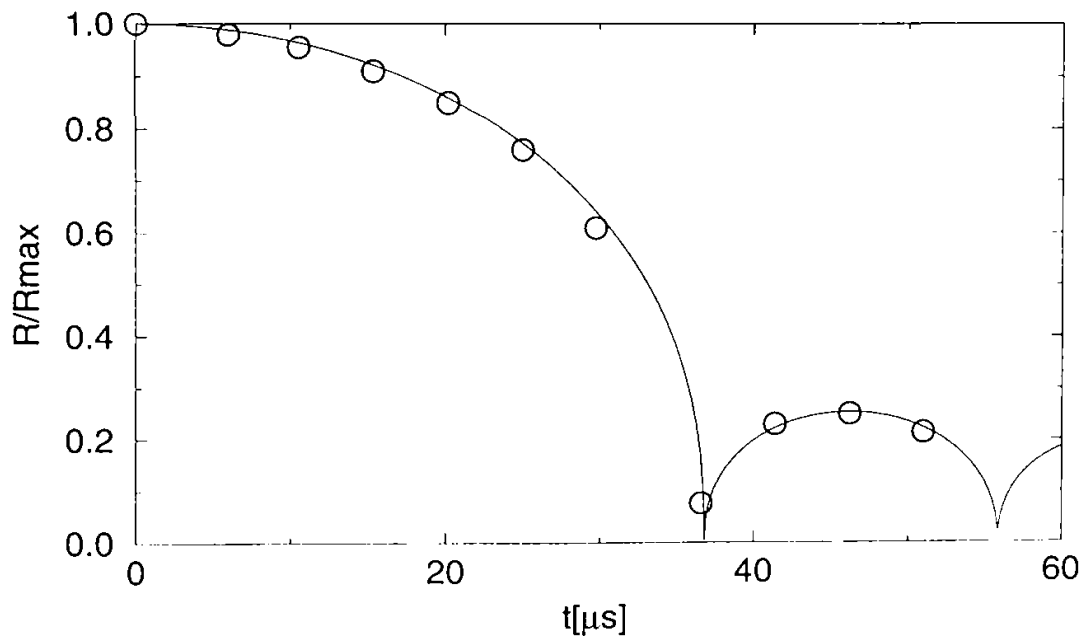
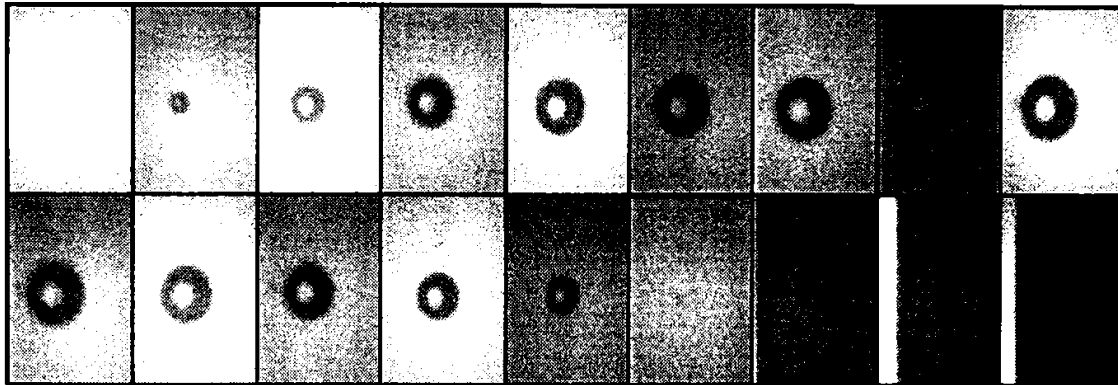


Figura 5.8. Variația în timp a razei bulei situată în soluția 0,5 PAM. Raza maximă a bulei este $R_{\text{max}}=0,4$ mm. Punctele reprezintă valorile obținute experimental (sus) și linia continuă reprezintă soluția modelului compresibil pentru $q=7,5 \times 10^{-5}$. Intervalul între cadre este $4,8 \mu\text{s}$

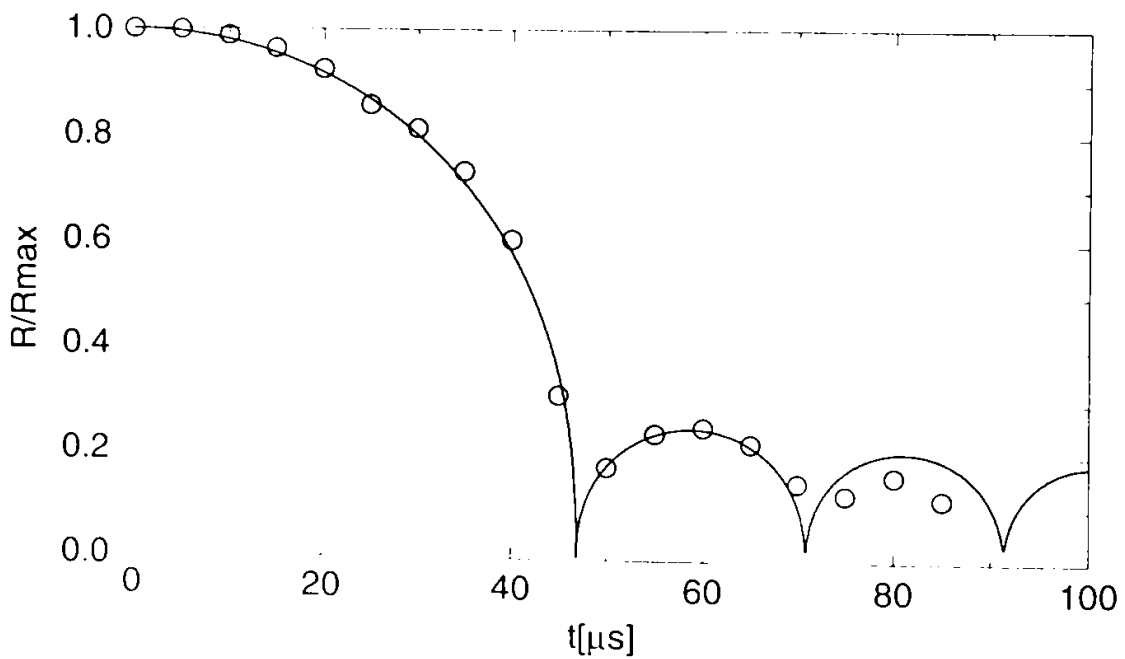
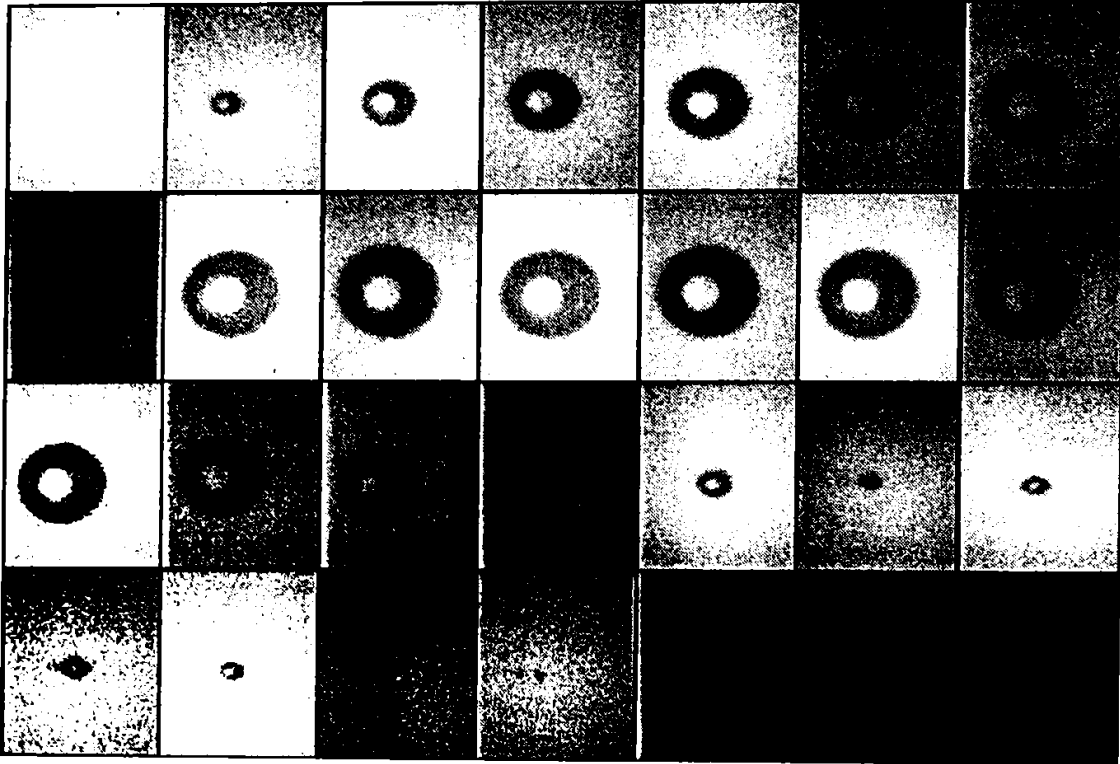


Figura 5.9. Variația în timp a razei bulei situată în soluția 0,5% PAM. Raza maximă a bulei este $R_{\text{max}}=0,51$ mm. Punctele reprezintă valorile obținute experimental (sus) și linia continuă reprezintă soluția modelului compresibil pentru $q=7,5 \times 10^{-5}$. Intervalul între cadre este $5 \mu\text{s}$.

Figura 5.10 prezintă evoluția bulei cavitationale generată în soluția 0,5% CMC prin focalizarea unui puls laser cu energia 0,126 mJ. Raza maximă a bulei este $R_{\max} = 0,38$ mm determinată prin filmare cu viteza de 208.300 imagini/s. În acest exemplu $2T_c = 73$ μ s și $T_{c2} = 53,7$ μ s. Cadrele 1 - 8 corespund unei secvențe care conține faza de creștere a bulei, cadrele 9 - 16 corespund unei a doua secvențe cu cadrul 9 preluat la 36,5 μ s de la declansarea laserului și cadrele 17 - 21 corespund celei de a treia secvențe cu cadrul 17 preluat la 75 μ s de la declansarea laserului. Raza maximă a bulei este în cadrul 9. Primul colaps al bulei este între cadrele 16 și 17 iar al doilea colaps între cadrele 20 și 21. În aceeași figură este prezentată și variația razei bulei în timp. Punctele reprezintă valorile razei bulei obținute experimental. Valoarea corespunzătoare cadrului 20 nu este inclusă în grafic din cauza lipsei contrastului. Linia continuă reprezintă soluția modelului compresibil cu condițiile inițiale $R(t=0) = R_{\max}$, $\dot{R}(t=0) = 0$ și $q(t=0) = 9 \times 10^{-5}$. Valoarea $q(t=0)$ a fost determinată impunând ca valoarea T_{c2} obținută numeric, pentru diferite valori q , să fie identică cu cea obținută experimental. Figura 5.11 prezintă dependența $q - T_{c2}$ pentru o bulă cu raza maximă $R_{\max} = 0,38$ mm situată în soluția 0,5% CMC precum și valoarea adoptată pentru $q(t=0)$ (simbolul deschis). Concordanța între soluția numerică și experiment este mai modestă decât în cazul soluției 0,5% PAM. Cauza probabilă este prezența particulelor solide în suspensie, mult mai numeroase în soluția 0,5% CMC, și clar observate prin iluminarea cu laserul He-Ne. Efectul acestor particule se manifestă puternic asupra fazei inițiale de generare a bulei, atât timp cât o expansiune sferică a bulei este mai dificil de obținut în soluția 0,5% CMC. Totuși, concordanța teorie-experiment poate fi considerată satisfăcătoare chiar dacă efectul particulelor solide aflate în suspensie în lichidul ambiant al bulei a fost neglijat în stabilirea modelului teoretic.

O concordanță foarte bună teorie-experiment se obține și în ceea ce privește timpul de colaps al bulei. Figura 5.12 prezintă variația timpului de colaps al bulei situată în soluția 0,5% CMC și, respectiv, 0,5% PAM în funcție de raza maximă a bulei. În figură sunt prezentate și rezultatele obținute de Vogel s.a. [179] pentru cazul bulei situată în apă (simbolurile închise). Linia continuă reprezintă valoarea timpului de colaps al bulei obținut folosind soluția modelului compresibil:

$$T_c = 0,919 R_{\max} \sqrt{\frac{\rho_l}{p_l}} \quad (5.16)$$

valabilă pentru $0,5 \times 10^{-4} < q < 1 \times 10^{-4}$ în cazul celor două soluții de polimeri testate. Pentru intervalul R_{\max} investigat, $R_{\max} > 0,1$ mm, influența aditivării cu polimeri asupra colapsului bulei sferice este neglijabilă. Același rezultat este sugerat și de Chahine și Fruman [105] și Kezios și Schowalter [106].

Ceea ce nu a fost posibil de pus în evidență explicit în acest experiment sunt valorile vitezei maxime de colaps, V_{\max} , și ale presiunii maxime în lichid la peretele bulei, p_{\max} . Tabelul 5.1 sumarizează rezultatele obținute numeric pentru exemplele din Figurile 5.5, 5.8, 5.9 și 5.10.

Tabelul 5.1. Valorile vitezei maxime de colaps a peretelui bulei și ale presiunii maxime în lichid la peretele bulei pentru cazurile investigate experimental. Soluția modelului compresibil (ecuația (4.163)) este folosită.

Soluția	0,5% PAM $R_{\max} = 0,4$ mm	0,5% PAM $R_{\max} = 0,488$ mm	0,5% PAM $R_{\max} = 0,51$ mm	0,5% CMC $R_{\max} = 0,38$ mm
V_{\max} (m/s)	2311	2319	2321	2194
p_{\max} (kbar)	111.2	119.9	120	100.6

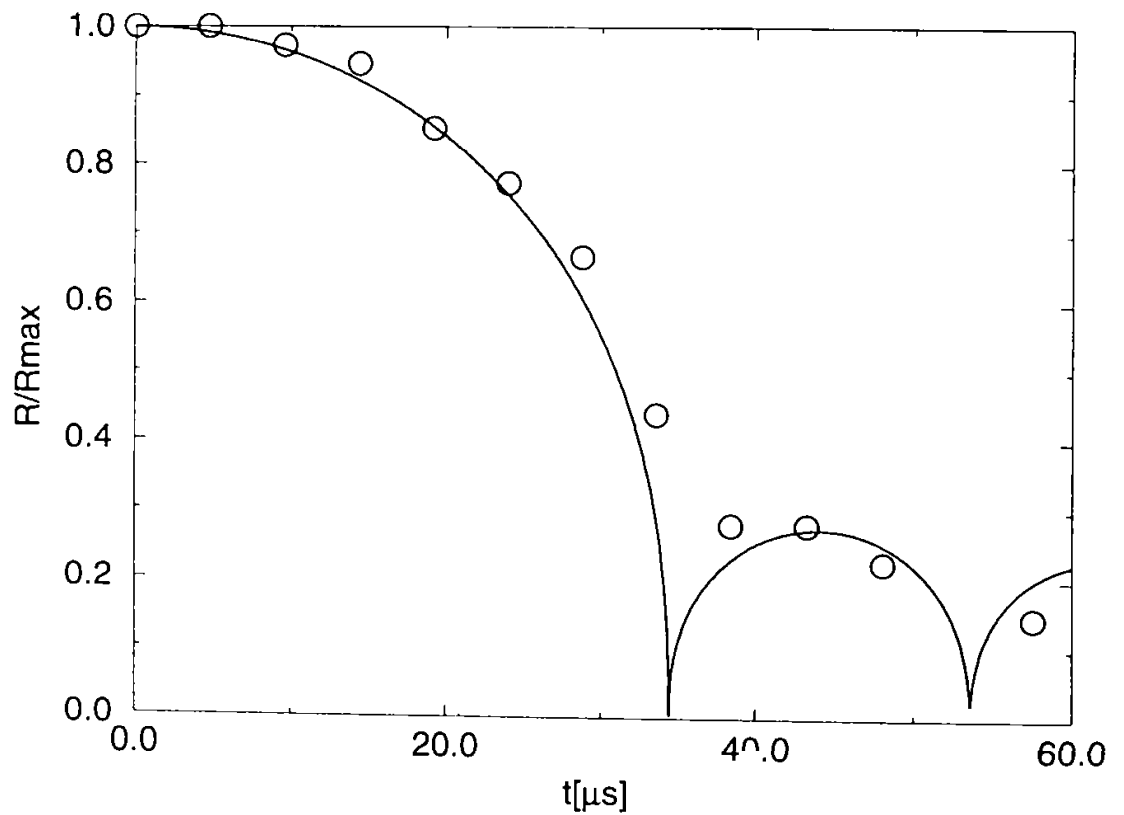
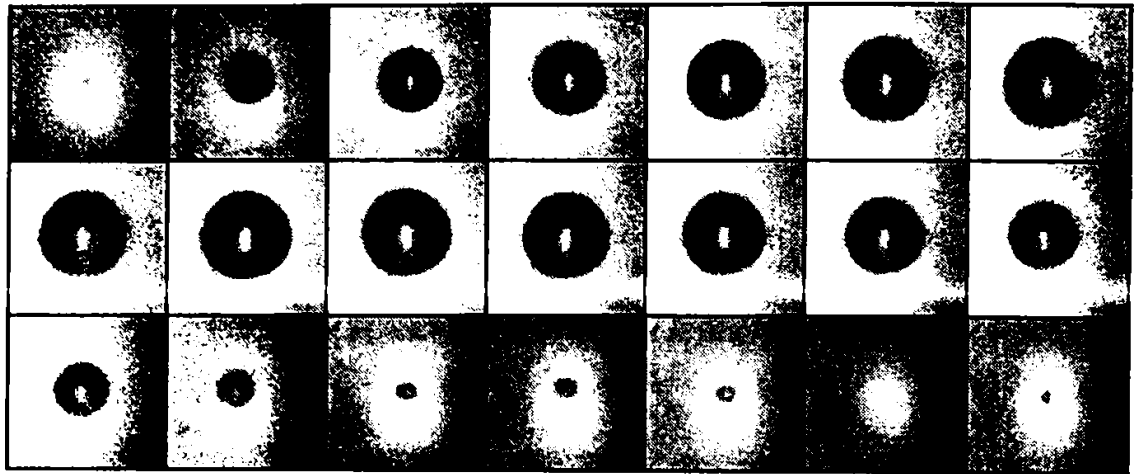


Figura 5.10. Variația în timp a razei bulei situată în soluția 0,5% CMC. Raza maximă a bulei este $R_{\text{max}}=0,38$ mm. Punctele reprezintă valorile obținute experimental (sus) și linia continuă reprezintă soluția modelului compresibil pentru $q=9 \times 10^{-7}$. Intervalul între cadre este $4,8 \mu\text{s}$.

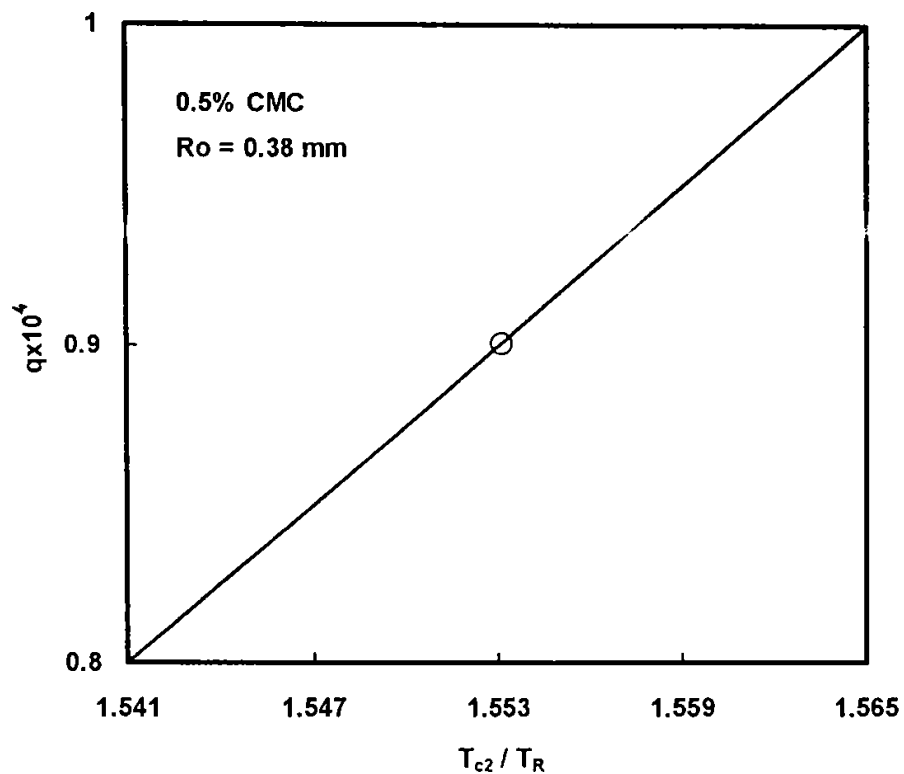


Figura 5.11. Dependenta raportului presiunilor initiale între interiorul și exteriorul bulei cu al doilea timp de colaps al bulei. Bula cu raza inițială $R_o=0,38$ mm este situată în soluția 0,5% CMC. Simbolul deschis indică valoarea q la valoarea T_{c2} obținută experimental ($q=9 \times 10^{-5}$). Soluția modelului compresibil este folosită

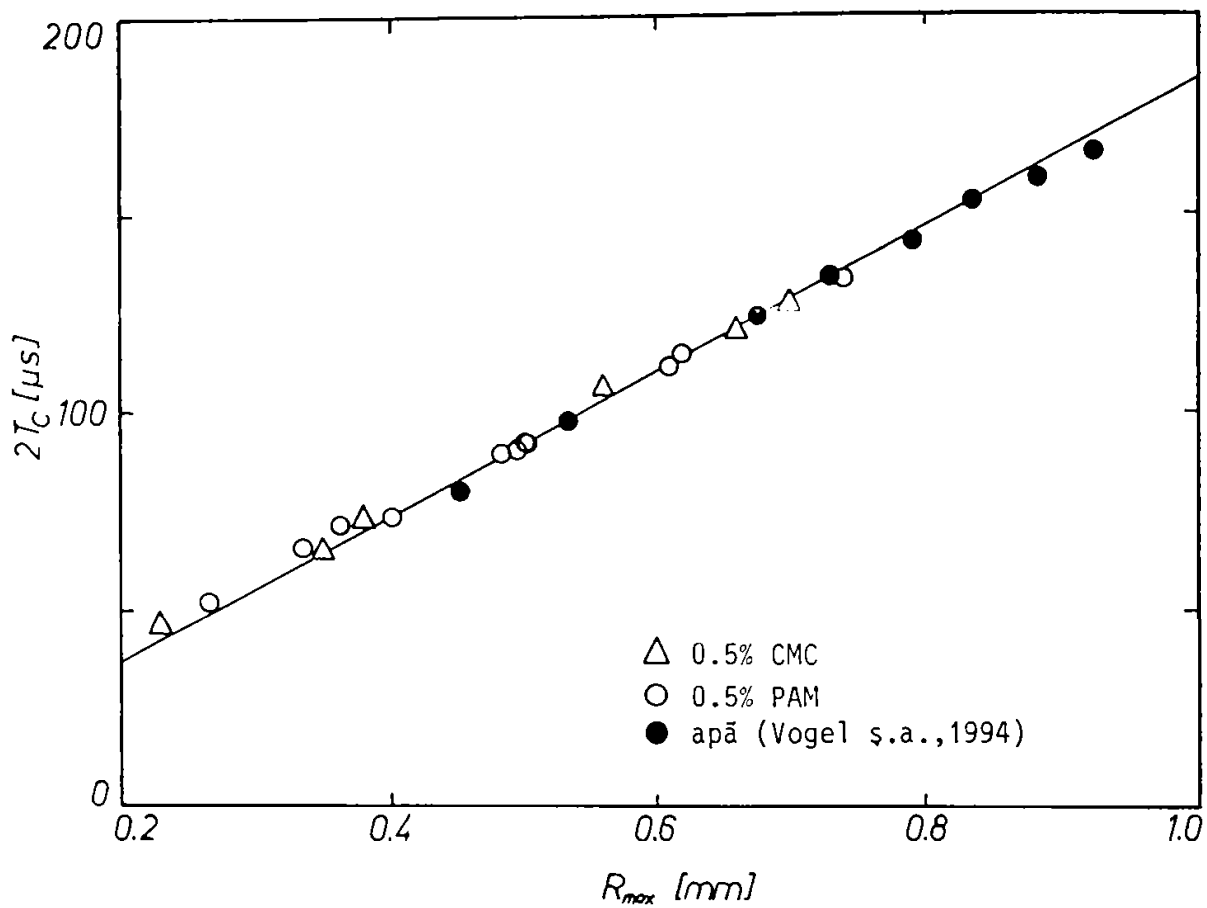


Figura 5.12. Timpul de colaps în funcție de raza maximă a bulei generată într-un lichid extins la infinit. Linia continuă reprezintă soluția modelului compresibil (vezi text)

Doar două rezultate referitoare la viteza maximă de colaps a bulei situată în apă sunt raportate în literatură. Vogel s.a. [138] obțin în cazul colapsului unei bule cu $R_{\max} = 3,5$ mm valoarea $V_{\max} = 260$ m/s, mediată într-un interval de $1 \mu\text{s}$, iar Alloncle s.a. [183] obțin pentru colapsul unei bule cu $R_{\max} = 0,8$ mm valoarea $V_{\max} = 500$ m/s, mediată într-un interval de $0,5 \mu\text{s}$. Ambele valori sunt mult mai mici decât cele obținute teoretic dar o evaluare corectă a vitezei maxime de colaps a bulei implică utilizarea unei viteze de filmare de 1 miliard de imagini/s, valoare cu mult superioară celei deja folosită (maxim 2 milioane de imagini/s în [183]). În ceea ce privește presiunea maximă la peretele bulei dificultățile experimentale sunt date de timpul de manifestare al pulsului de presiune, cuprins între 10 și 40 ns, care este mult mai mic decât timpul de răspuns al hidrofoanelor comerciale disponibile (aproximativ 50 ns). Vogel și Lauterborn [184], utilizând o metodă optică de determinare a profilului temporal al pulsului de presiune emis în faza finală a colapsului bulei, determină la distanța $r = 10$ mm de centrul bulei valoarea $p = 300$ bar. În acest experiment este investigat colapsul unei bule sferice situată în apă cu $R_{\max} = 3,5$ mm. Folosind legea $1/r$ de atenuare în lichid a presiunii maxime la peretele bulei și stabilind valoarea razei maxime a bulei atinsă în punctul final al colapsului din soluția modelului compresibil ($R_{\min} = 25,5 \mu\text{m}$) rezultă $p_{\max} = 117,6$ kbar. În consecință, având în vedere concordanța foarte bună teorie-experiment pentru variația razei bulei în timp (în particular, pentru timpul de colaps și raza maximă a bulei în al doilea ciclu de oscilație) precum și rezultatele investigațiilor experimentale anterioare se poate concluziona că viteze maxime de colaps de aproximativ 2300 m/s și presiuni maxime în lichid la peretele bulei de aproximativ 110 kbar sunt posibil de obținut în cazul bulelor cavitaționale sferice generate cu laser într-un lichid extins la infinit, dacă $R_{\max} > 0,1$ mm.

5.2.3. Pierderea de energie a bulei în timpul colapsului

În prezenta lucrare modelarea oscilației bulei este restrânsă numai la primul colaps și la al doilea ciclu de oscilație. O modelare matematică a ciclurilor ulterioare de oscilație a bulei este dificil de realizat atât timp cât bula (chiar generată cu laser) își pierde simetria sferică după al doilea colaps. De notat, însă, că cele mai critice secvențe ale evoluției bulei se petrec în punctul final al primului colaps.

Energia E_B a bulei cavitaționale în faza expansiunii maxime este dată de relația (5.15). Pierderea de energie în timpul colapsului (primului colaps) se obține comparând valorile energiei bulei înainte, E_{B_i} , și după colapsul bulei, E_{B_d} :

$$\Delta E_B = 1 - \frac{E_{B_d}}{E_{B_i}} \quad (5.17)$$

Valoarea termenului p_i în relația (5.15) este determinată considerând evoluția adiabatică a gazului în interiorul cavității. Figura 5.13 prezintă pierderea de energie a bulei în timpul primului colaps în funcție de raza maximă a bulei. Simbolurile deschise indică rezultatele obținute în cazul generării bulei cu un laser cu durata pulsului 8 ns (cu excepția simbolului romb) în timp ce simbolurile închise indică cazul generării bulei cu un laser cu durata pulsului 30 ns. Simbolul cerc indică cazul bulei situată în soluția 0,5% PAM, simbolul triunghi cazul bulei situată în soluția 0,5% CMC iar restul simbolurilor cazul situării bulei în apă (Ebeling

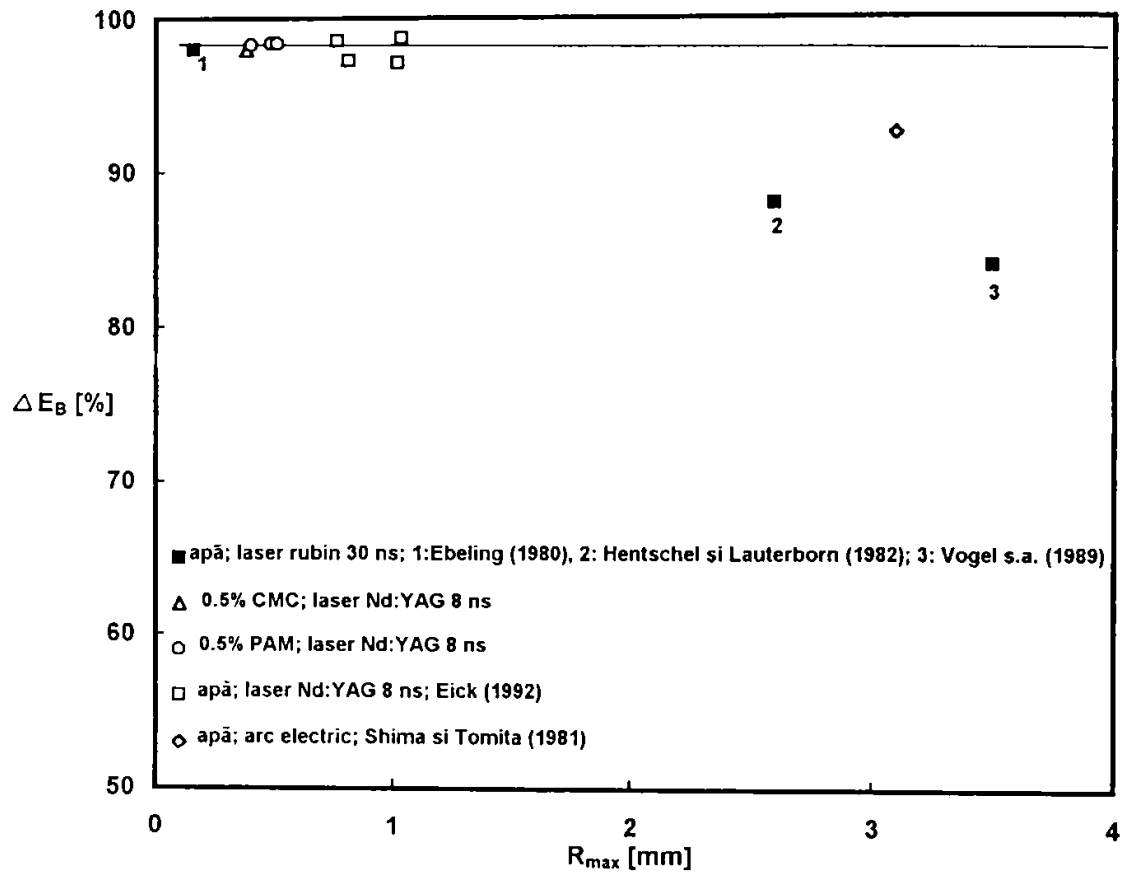


Figura 5.13. Pierderea de energie a bulei în timpul primului colaps. Linia continuă reprezintă soluția modelului compresibil pentru $q=7,5 \times 10^{-5}$. Dacă bula își păstrează simetria sferică, aproximativ 98% din energia bulei este pierdută în timpul primului colaps

[185], Shima si Tomita [169], Hentschel si Lauterborn [170], Vogel s.a. [138] si Eick [186]). Linia continuă reprezintă solutia modelului compresibil pentru cazul situării bulei în apă când $q = 7,5 \times 10^{-5}$. O usoară reducere a valorii ΔE_B la cresterea razei maxime a bulei ($\Delta E_B = 98,4\%$ la $R_{max} = 0,1$ mm si $\Delta E_B = 98\%$ la $R_{max} = 4$ mm) este obținută din analizele numerice. Pentru valorile R_{max} investigate experimental, când temperatura lichidului este 25°C , pierderea de energie a bulei cavitationale în timpul primului colaps este în medie 98% . Cea mai mare parte, aproximativ $97,5\%$, este datorată emisiei acustice în timpul recuperării bulei. Influenta viscozității lichidului, conductiei căldurii si difuziei gazului prin peretele bulei precum si efectul vitezei finite de condensare a vaporilor din interiorul cavității sunt nesemnificative. Aceste observatii sunt sustinute si de investigatiile teoretice realizate de Nishiyama si Akaizawa [187] si Fujikawa si Akamatsu [89] si de investigatiile experimentale conduse de Vogel s.a. [138, 184]. Mai mult, se poate considera că nici elasticitatea solutiei nu joacă un rol important asupra oscilatiei bulei sferice atât timp cât rezultatele obtinute în cazul solutiei $0,5\%$ PAM, cu componentă elastică, sunt practic identice cu cele obtinute în cazul situării bulei într-un lichid numai cu componentă vâscoasă (în particular, sunt identice cu cazul situării bulei în apă). Această observatie sustine rezultatele investigatiilor teoretice prezentate de Hara si Schowalter [92]. Acordul teorie-experiment referitor la dependenta $\Delta E_B - R_{max}$ este foarte bun pentru bulele a căror rază maximă este cuprinsă între $0,1$ mm si $1,04$ mm si modest pentru bulele cu $R_{max} > 2$ mm. În acest caz, valorile ΔE_B sunt cu 6 până la 14 procente mai mici decât cele obtinute numeric. Cauza acestui acord modest este pierderea simetriei sferice a bulei în timpul colapsului. Aceasta este clar observată în clișeele fotografice prezentate de Shima si Tomita [169] (simbolul romb) si de Vogel s.a. [138] (simbolul inchis pătrat cu indicele 3). Desi Hentschel si Lauterborn [170] nu prezintă o dovadă fotografică a evolutiei bulei si în acest caz simetria sferică a bulei este distrusă în timpul colapsului [188].

Analizele teoretice descrise în capitolul precedent arată că efectul aditivării cu polimeri este semnificativ pentru bulele a căror rază maximă este de ordinul 10^{-2} mm si se manifestă prin atenuarea colapsului bulei. Bule cu asemenea dimensiuni nu pot fi generate cu un laser cu durata pulsului de ordinul nanosecundelor dar, recent, s-a reusit obtinerea lor în apă cu un laser cu durata pulsului de ordinul femtosecundelor ($R_{max} = 0,01$ mm folosind un laser Nd:YAG cu durata pulsului 3 fs si energia pulsului $0,5 \mu\text{J}$) [189]. Date experimentale suplimentare par posibil de obtinut.

5.3. Comportarea bulei cavitationale situată în lichide newtoniene si în apropierea unui perete solid

Comportarea dinamică a bulei cavitationale situată în vecinătatea unui perete solid depinde de distanta adimensională γ între bulă si perete:

$$\gamma = \frac{s}{R_{max}} \quad (5.18)$$

cu R_{max} raza maximă a bulei si s distanta între locul de formare al bulei (punctul de focalizare al razei laser) si peretele solid. Înainte însă de a prezenta detalii referitoare la influenta parametrului γ asupra comportării bulei în solutiile de polimeri investigate este util să

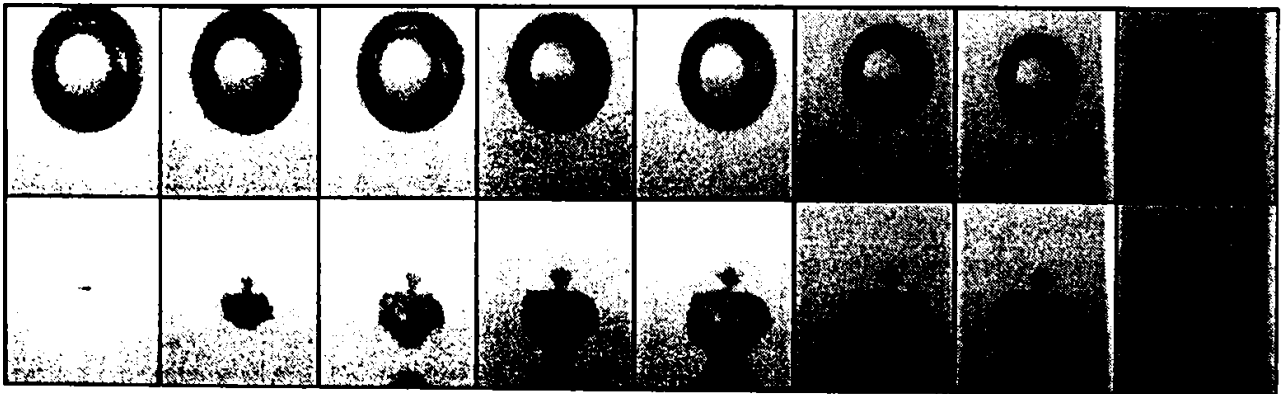


Figura 5.14. Evolutia bulei situată în apă și în apropierea unui perete solid. $R_{max}=0,68$ mm și $\lambda=1,47$. Peretele solid este poziționat la baza cadrului fotografic. Intervalul între cadre este $4,8 \mu s$

evidențiem aspectele tipice ale evoluției bulei situată în apă. Figura 5.14 prezintă secvența corespunzătoare fazei finale a colapsului unei bule cavitationale cu $R_{\max} = 0,68$ mm, situată în apă, când $\gamma = 1,47$. Două secvențe care provin de la două bule generate separat sunt prezentate (cadrele 1-10 și 11-16) iar intervalul între două cadre succesive este $4,8 \mu\text{s}$. Peretele solid este situat la baza fiecărui cadru fotografic. O primă observație este că, în faza de colaps, bula devine elongată pe direcția normală la peretele solid (cadrele 1-7). Ulterior, peretele superior al bulei (peretele bulei opus frontierei solide) este aplatisat indicând formarea unui jet lichid care va străbate interiorul bulei (cadrul 8). Intervalul temporal destul de mare între cadre nu permite vizualizarea jetului înainte de punctul final al colapsului (cadrul 9) dar jetul este vizibil în faza de recuperare a bulei (cadrele 11-16). Colapsul bulei este însoțit și de o migrație a bulei înspre peretele solid. Deplasarea bulei înspre frontiera solidă este mult mai accentuată după formarea jetului. Continua apropiere a bulei de peretele solid face ca jetul lichid să lovească peretele (cadrul 13; imaginea în oglindă a bulei se observă pe suprafața peretelui începând cu cadrul 11) iar contactul între bulă și perete se face pe o suprafață din ce în ce mai mare. Tot în faza de recuperare a bulei se evidențiază și structura formată la partea superioară a bulei și interpretată de Vogel s.a. [138] ca un contrajet (un jet cu o mișcare opusă jetului principal). Identificarea acesteia cu un contrajet este, totuși, dificil de justificat atât timp cât desprinderi ale structurii de bula cavitațională pot fi observate în cadrul 13 și, în special, în cadrul 16. Observații similare, pentru cazul situării bulei în apă, sunt prezentate de Lauterborn [190], Lauterborn și Bolle [191], Lauterborn și Timm [192], Giovanneschi și Dufresne [193], Tomita și Shima [137,142], Tomita s.a. [194], van der Meulen [195] și Lauterborn s.a. [196]. Notăm că, spre deosebire de experimentele anterioare, în prezentul experiment, este investigată evoluția unor bule cavitationale cu dimensiuni mai mici, la limita generării bulei cu laserul Nd:YAG cu durata pulsului 8 ns (în medie $R_{\max} = 0,65$ mm față de $R_{\max} > 2$ mm în [138, 190, 191, 192] și $R_{\max} > 3,5$ mm în [137, 195]) și corespunde valorilor energiei pulsului laser utilizate în aplicațiile medicale ale laserului Nd:YAG [55, 56, 57, 59].

5.3.1. Aspectul bulei cavitationale în secvența corespunzătoare fazei finale a colapsului

Figurile 5.15 - 5.21 prezintă influența parametrului γ și a aditivării cu polimeri asupra evoluției bulei în secvența corespunzătoare fazei finale a colapsului. Soluțiile de polimeri testate sunt 0,5% carboximetilceluloză (CMC) și 0,5% poliacrilamidă (PAM) iar rezultatele sunt comparate cu cazul situării bulei în apă. Pentru toate secvențele ilustrate viteza de filmare este 208.300 imagini/s. Nu întotdeauna intervalul între două cadre succesive este $4,8 \mu\text{s}$ și aceste situații sunt precizate în legenda fiecărei figuri. Cele trei secvențe, corespunzătoare fiecărui lichid, sunt aranjate pe verticală în ordinea creșterii viscozității și a elasticității lichidului.

Figura 5.15 prezintă evoluția bulei situată în apă (sus, $R_{\max} = 0,63$ mm), 0,5% CMC (mijloc, $R_{\max} = 0,47$ mm) și 0,5% PAM (jos, $R_{\max} = 0,63$ mm) când $\gamma = 3,17$. Peretele solid este situat la partea inferioară a cadrului fotografic și în afara acestuia. Aspectele specifice evoluției bulei în apă sunt migrația bulei către peretele solid, observată pregnant după ce peretele superior al bulei își schimbă curbura (cadrul 10), și formarea jetului lichid orientat spre peretele solid. Pentru $\gamma = 3,17$ structura la partea superioară a bulei nu este observată. Aceleași aspecte ale evoluției bulei sunt observate și în cazul bulei situată în soluția 0,5%

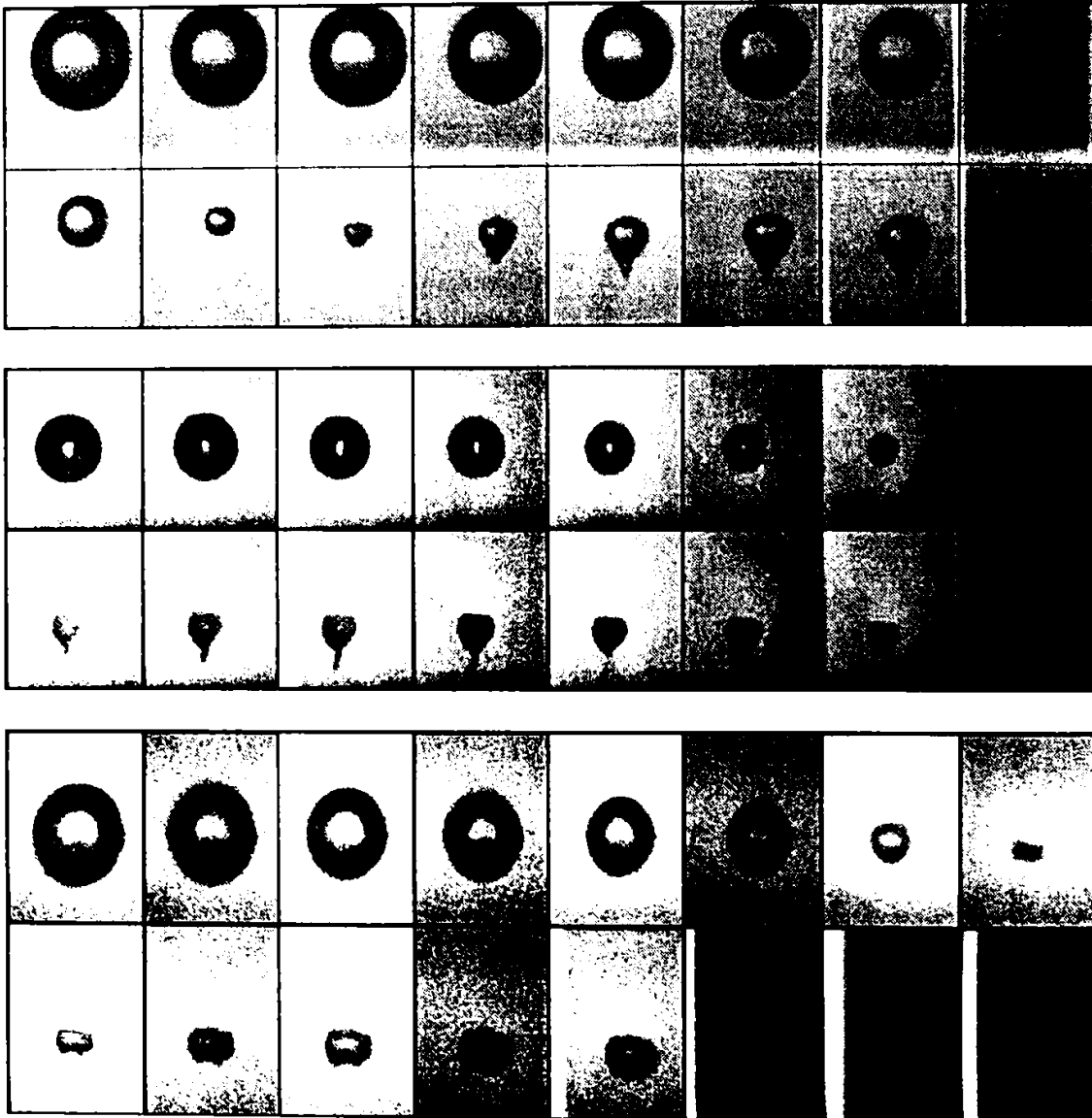


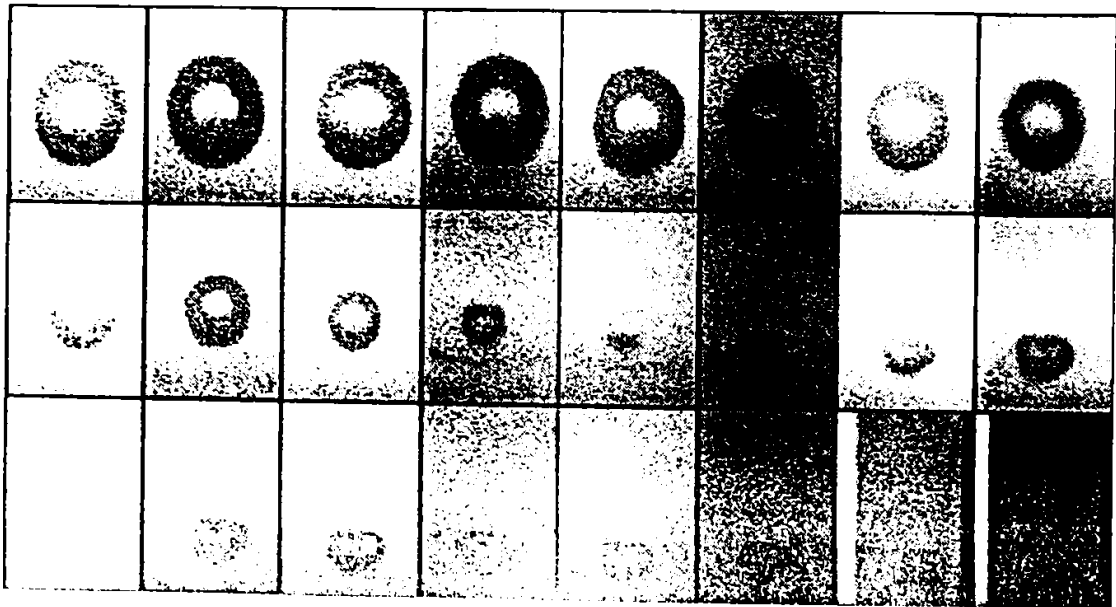
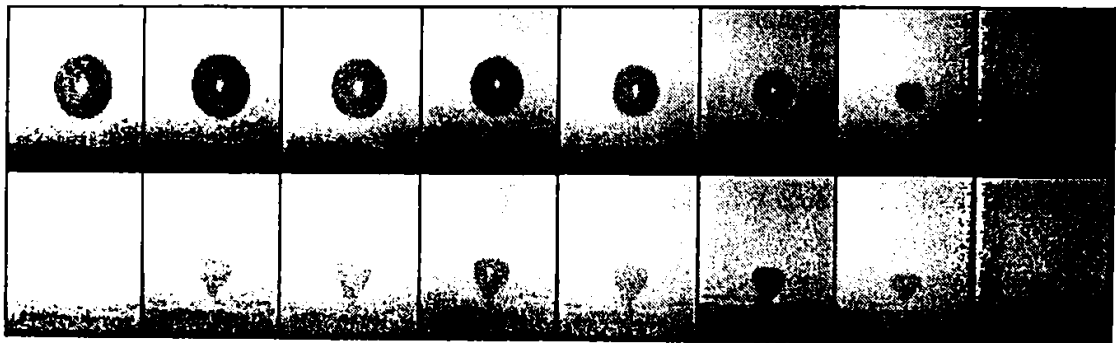
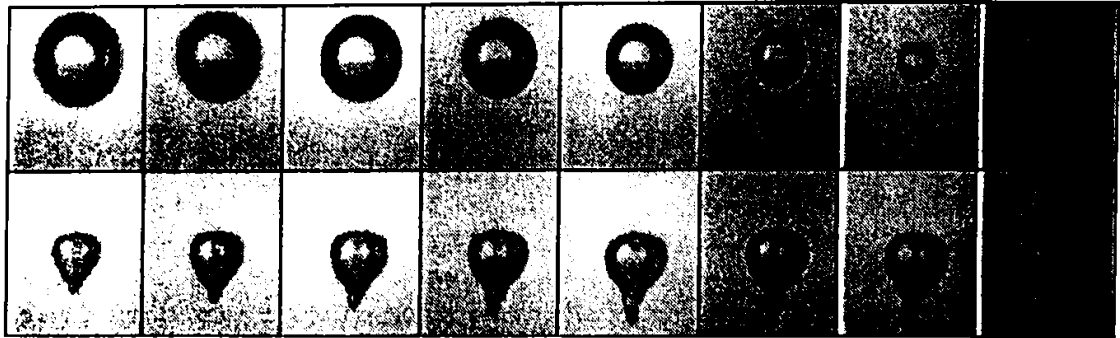
Figura 5.15. Evolutia bulei situată în apă (sus, $R_{max}=0,63\text{mm}$), solutia 0,5% CMC (mijloc, $R_{max}=0,47\text{mm}$) și solutia 0,5% PAM (jos, $R_{max}=0,63\text{mm}$) pentru $I=3,17$. Peretele solid este poziționat la baza cadrelor fotografice. Intervalul între cadre este $4,8 \mu\text{s}$

CMC însă atât intensitatea jetului cât și migrația bulei înspre peretele solid sunt diminuate. Cele mai mari diferențe sunt observate în cazul evoluției bulei în soluția 0,5% PAM (cu comportare elastică). Se remarcă forma ovală a bulei în al doilea ciclu de oscilație (cadrele 8 - 16), absența jetului lichid care străbate interiorul bulei iar deplasarea bulei înspre peretele solid este aproape insesizabilă. Elongatia bulei înainte de punctul final al colapsului este mai mare în ambele soluții de polimeri testate. În intervalul temporal investigat contactul bulei cu peretele solid nu este observat.

Figura 5.16 prezintă evoluția bulei când distanța adimensională între bulă și peretele solid este redusă la $\gamma = 2,17$. Dimensiunea bulei situată în apă este $R_{\max} = 0,62$ mm, a bulei situată în soluția 0,5% CMC este $R_{\max} = 0,46$ mm și este $R_{\max} = 0,62$ mm pentru bula situată în soluția 0,5% PAM. Aspectele evoluției bulei sunt similare cu cele ilustrate în cazul anterior. Există însă câteva diferențe. În primul rând structura la partea superioară a bulei, deși este observată imediat după colapsul bulei (cadrul 8), este absentă în al doilea ciclu de oscilație al bulei situată în apă. Structura nu este observată când colapsul bulei are loc în soluțiile de polimeri. În al doilea rând, jetul lichid se observă în interiorul bulei situată în soluția 0,5% PAM (cadrele 15 - 21) dar intensitatea acestuia nu este suficient de mare pentru a penetra peretele inferior al bulei. Aceasta cu toate că evoluția bulei a fost urmărită pe toată durata celui de-al doilea ciclu de oscilație. Și în acest caz aditivarea cu polimeri a apei conduce la reducerea migrației bulei înspre peretele solid, a intensității jetului și la creșterea elongației bulei. Contactul jetului cu peretele solid este sesizat în cazul bulei situată în apă (cadrul 16) dar nu este observat atunci când bula este situată în soluțiile de polimeri.

Figura 5.17 prezintă evoluția bulei în secvența corespunzătoare fazei finale a colapsului când $\gamma = 1,98$. Dimensiunea maximă a bulei este $R_{\max} = 0,63$ mm (apă), $R_{\max} = 0,51$ mm (0,5% CMC) și $R_{\max} = 0,63$ mm (0,5% PAM). Jetul lichid care străbate interiorul bulei este remarcat în cazul situării bulei în toate cele trei lichide investigate. Acum structura la partea superioară a bulei situată în apă este observată pe toată durata investigată din al doilea ciclu de oscilație al bulei. Este observată chiar și în cazul bulei situată în soluția 0,5% CMC. Excepția este, și în acest caz, evoluția bulei în soluția 0,5% PAM unde nici structura superioară și nici împingerea jetului în peretele bulei opus acestuia nu sunt observate. Contactul între jet și peretele solid este observat numai în cazul bulei situată în apă (cadrul 16) și soluția 0,5% CMC (cadrul 12). Din nou se remarcă creșterea elongației bulei și reducerea migrației bulei înspre peretele solid prin aditivarea apei cu polimeri.

Când $\gamma = 1,67$ (Figura 5.18) aspectul bulei situată în apă și în ambele soluții de polimeri este aproape identic. Raza maximă a bulei situată în apă și soluția 0,5% PAM este $R_{\max} = 0,6$ mm și a bulei situată în soluția 0,5% CMC este $R_{\max} = 0,45$ mm. Migrația bulei înspre peretele solid este sesizabilă chiar și în cazul soluției 0,5% PAM (începând cu cadrul 10). În toate lichidele investigate se remarcă structura la partea superioară a bulei iar bula lovește peretele solid în al doilea ciclu de oscilație. Se poate preciza acum că structura superioară este prezentă pentru bulele situate în apă și soluția 0,5% CMC dacă $\gamma > 2$ iar pentru bulele situate în soluția 0,5% PAM dacă $\gamma > 1,9$. Valoarea indicată pentru apă este susținută și de experimentul lui Vogel și al [138], când structura este prezentă la $\gamma > 2,15$ dar nu este observată la $\gamma < 1,56$, și de Tomita și Shima [142] care nu îi evidențiază apariția la $\gamma > 2,24$. Nu există alte date în literatură în ceea ce privește soluțiile de polimeri. Figura 5.18 ilustrează la o scară mai mare evoluția bulei în soluția 0,5% PAM. Exemplul este prezentat numai pentru a preciza că în acest caz jetul are suficientă intensitate pentru a împinge peretele inferior al bulei. Impactul jetului cu peretele opus înainte de punctul final al colapsului bulei situată în soluția 0,5% PAM se observă în cadrul 12.



1. *Chromosoma* (1942)

1942

2. *Chromosoma* (1942)
 3. *Chromosoma* (1942)
 4. *Chromosoma* (1942)

5. *Chromosoma* (1942)
 6. *Chromosoma* (1942)
 7. *Chromosoma* (1942)

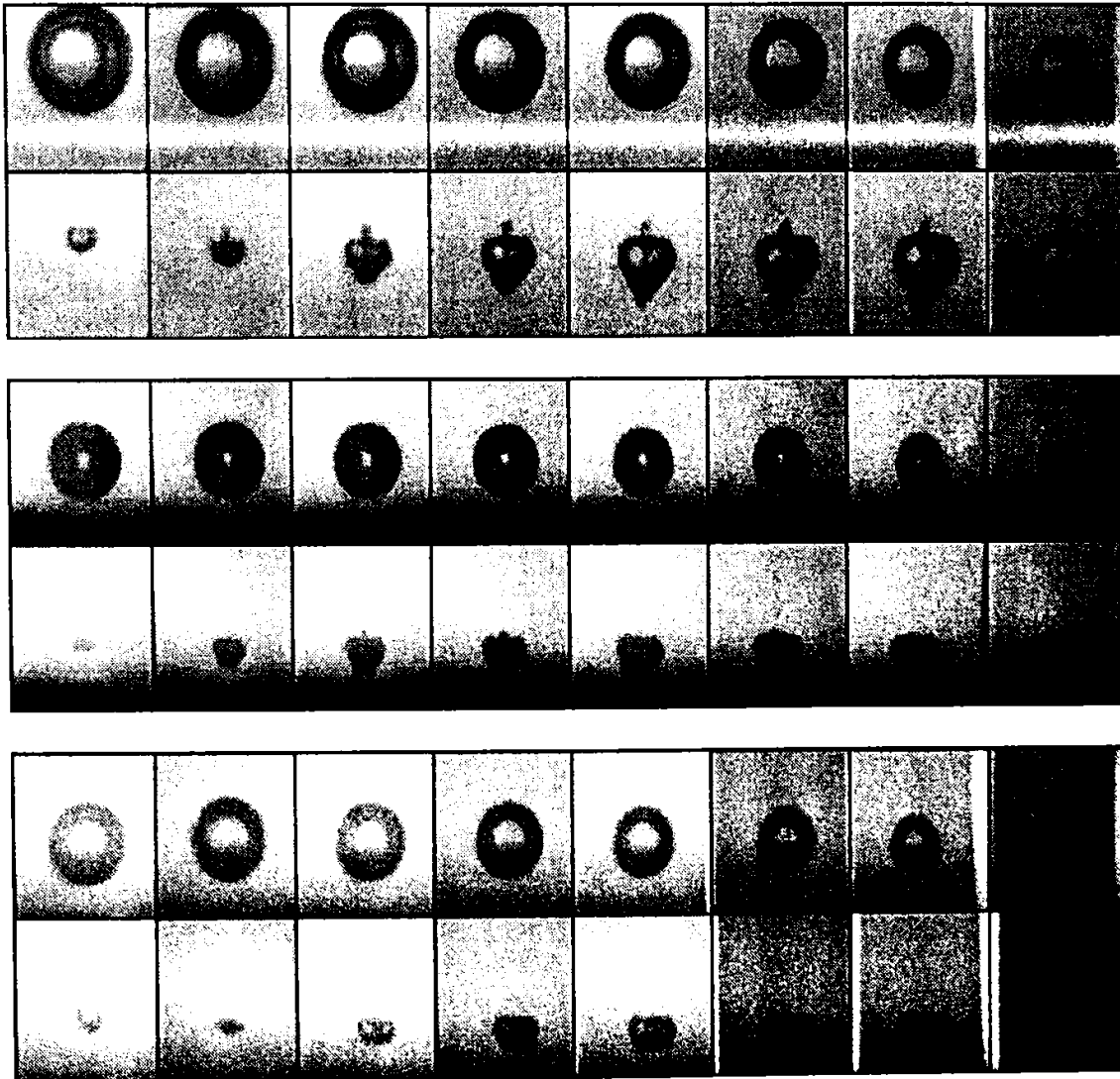


Figura 5.17. Evoluția bulei situată în apă (sus, $R_{\max}=0,63\text{mm}$), soluția 0,5% CMC (mijloc, $R_{\max}=0,51\text{mm}$) și soluția 0,5% PAM (jos, $R_{\max}=0,63\text{mm}$) pentru $\Gamma=1,98$. Peretele solid este poziționat la baza cadrelor fotografice. Intervalul între cadre este $4,8\ \mu\text{s}$.

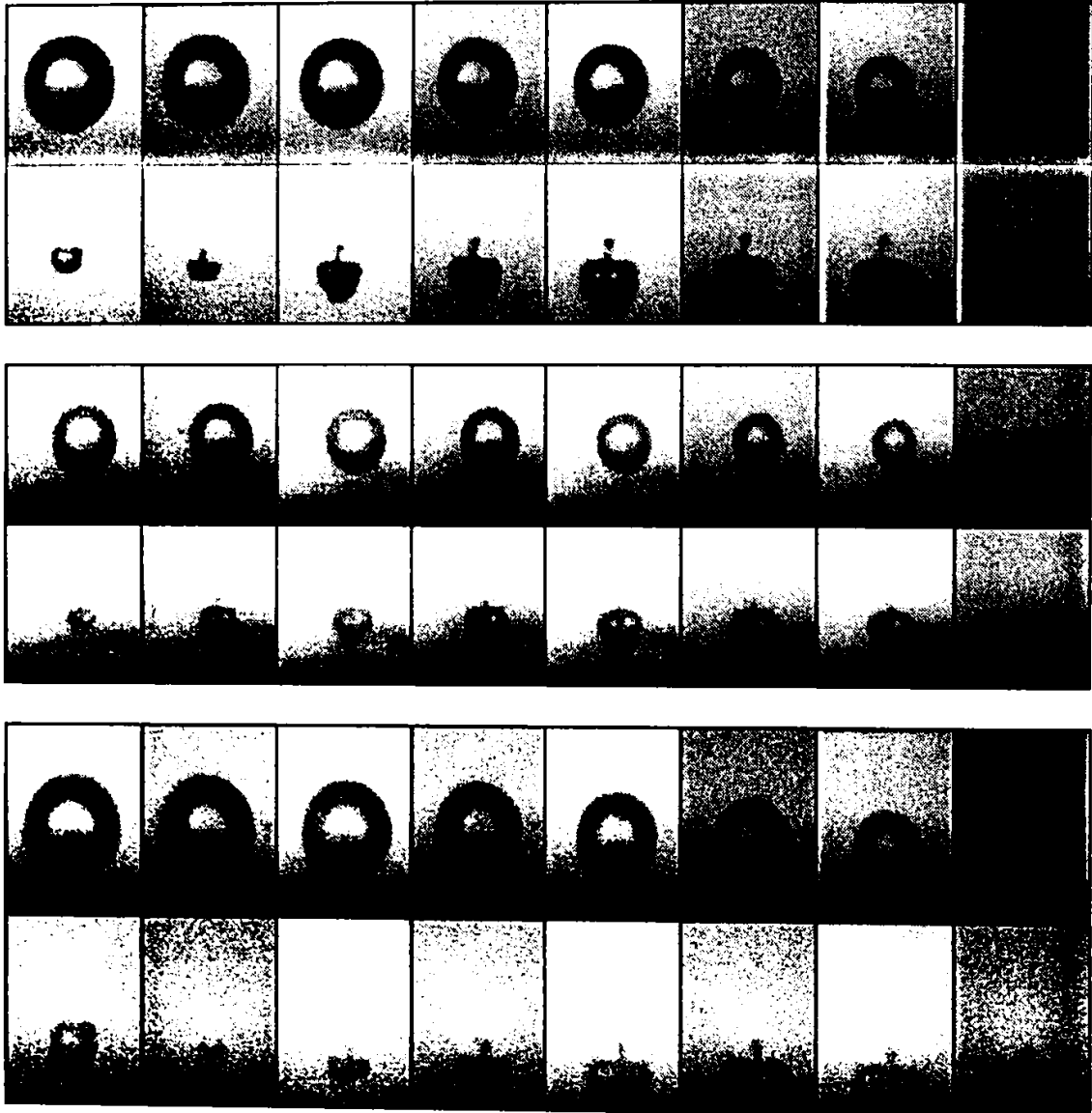


Figura 5.18. Evolutia bulei situată în apă (sus, $R_{max}=0,6mm$), solutia 0,5% CMC (mijloc, $R_{max}=0,45mm$) si solutia 0,5% PAM (jos, $R_{max}=0,6mm$) pentru $\lambda=1,67$. Peretele solid este positionat la baza cadrelor fotografice. Intervalul între cadre este $4,8 \mu s$. Intre cadrele 8 si 9 ale secventei corespunzătoare solutiei 0,5% PAM intervalul este $1 \mu s$.

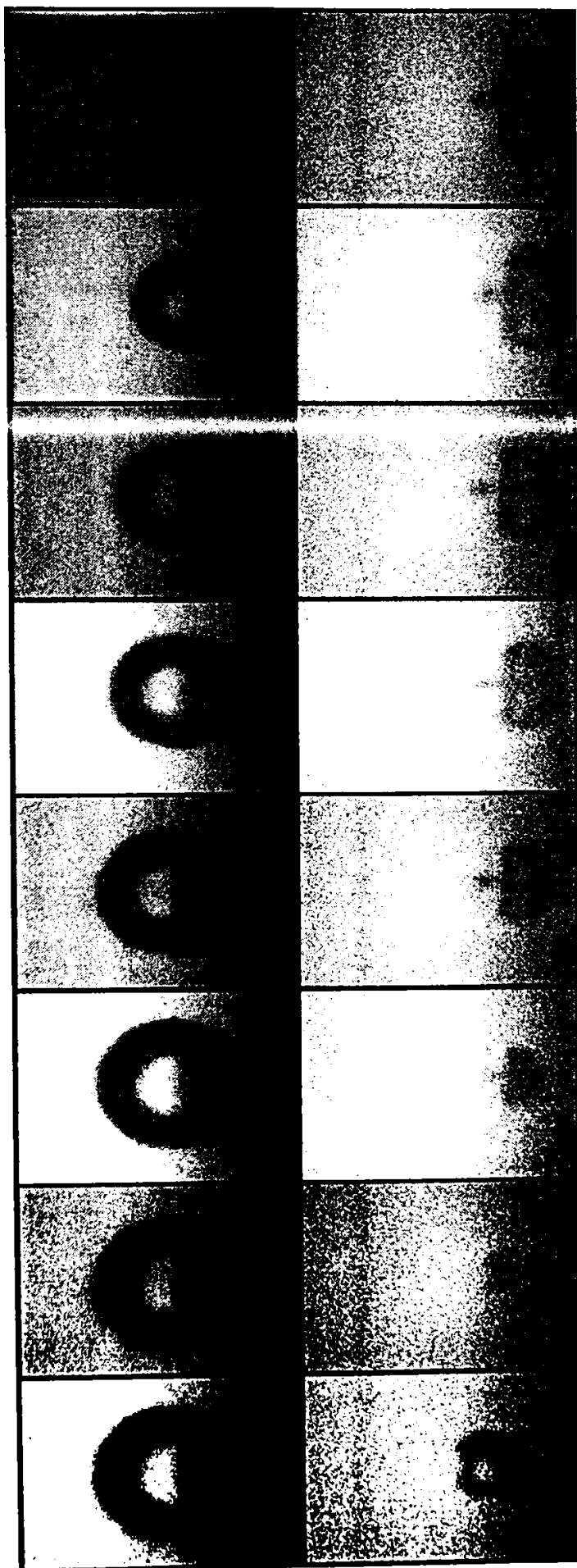


Figura 5.19. Detaliu al evoluției bulei situată în soluția 0,5% PAM pentru $\delta=1,67$

Figura 5.20 care arată evoluția bulei când $\gamma = 1,47$ nu ilustrează deosebiri importante față de cazul prezentat anterior. În acest caz, dimensiunea maximă a bulei este $R_{\max} = 0,68$ mm (apă), $R_{\max} = 0,51$ mm (0,5% CMC) și $R_{\max} = 0,68$ mm (0,5% PAM). Toate aspectele evidențiate pentru $\gamma = 1,67$, inclusiv inhibarea evoluției jetului în cazul soluției 0,5% PAM sunt observate și la $\gamma = 1,47$.

Încercarea de a prezenta aspectul evoluției bulei în vecinătatea unui perete solid pentru valori $\gamma \leq 1$ esuează din cauza contrastului foarte slab al cadrelor fotografice obținute folosind sistemul CCD și transparenței reduse a ambelor soluții de polimeri. Un exemplu, la limita vizualizării, este prezentat în Figura 5.21 care ilustrează evoluția bulei cavitationale în soluția 0,5% PAM când $\gamma = 1,07$. Raza maximă a bulei este $R_{\max} = 0,488$ mm. Structura superioară nu este prezentă iar bula, în al doilea ciclu de oscilație, își păstrează forma plată. Pentru comparație se prezintă în Figura 5.22 evoluția bulei situată în apă când $\gamma = 1,1$ (sus) și $\gamma = 1$ (jos). În acest caz $R_{\max} = 1,45$ mm iar viteza de filmare este 50.000 imagini/s. Primele patru cicluri de oscilație ale bulei sunt prezentate. Jetul se poate observa în interiorul bulei înainte de punctul final al colapsului în ambele secvențe (cadru 2 în secvența corespunzătoare cazului $\gamma = 1,1$ și cadru 4 în secvența corespunzătoare cazului $\gamma = 1$). Câteva aspecte mai spectaculoase apar când mai multe cicluri de oscilație sunt observate. De remarcat desprinderea bulei de peretele solid în al treilea ciclu de oscilație și forma de ciupercă după desprindere. Există și o limită inferioară a valorii γ pentru care structura la partea superioară a bulei este observată. Pentru apă valoarea limită este $\gamma = 1$ (la $\gamma = 1,03$ Vogel s.a. [138] observă această structură) și probabil corectă și pentru soluția 0,5% CMC în timp ce pentru soluția 0,5% PAM valoarea limită se poate considera $\gamma = 1,1$.

Influența aditivării cu polimeri este mult mai pregnantă în cazul evoluției bulei în apropierea unui perete solid decât în cazul evoluției într-un lichid extins la infinit. Aspectele specifice care însoțesc colapsul bulei cavitationale în apropierea unui perete solid (elongația bulei, evoluția jetului care străbate interiorul bulei în timpul colapsului, migrația bulei înspre peretele solid și prezenta structurii la partea superioară a bulei) sunt alterate de prezenta aditivilor polimerici testați. Diferențele cele mai pronunțate sunt observate în soluția 0,5% PAM. Ele se referă, în special, la inhibarea puternică a evoluției jetului lichid care străbate interiorul bulei. Lipsa unor experimente similare în soluții de polimeri face imposibilă comparația cu alte rezultate.

5.3.2. Timpul de colaps

Prezenta peretelui solid în apropierea bulei cavitationale conduce la o prelungire a timpului de colaps față de valoarea corespunzătoare colapsului bulei într-un lichid extins la infinit. Timpul de colaps al bulei este cu atât mai mare cu cât distanța adimensională γ între bulă și peretele solid este mai mică. Cele două tendințe au fost puse în evidență în cazul bulei situată în apă de investigațiile experimentale conduse de Vogel s.a. [138] și de cele numerice ale lui Zhang s.a. [197].

Dependența factorului de prelungire al timpului de colaps al bulei, definit prin:

$$k = \frac{\mathbf{T}}{2T} \quad (5.19)$$

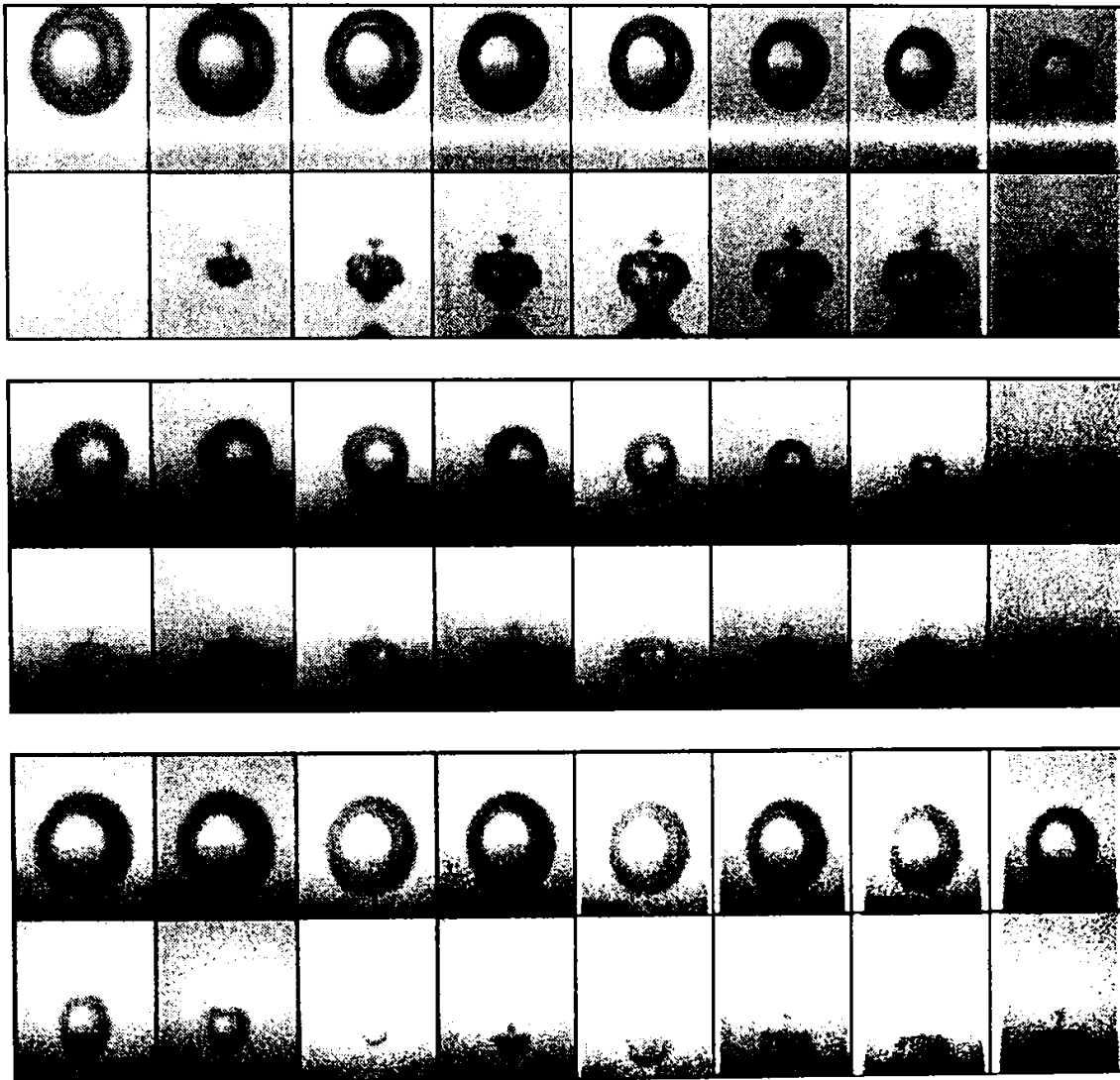


Figura 5.20. Evoluția bulei situată în apă (sus, $R_{max}=0,68\text{mm}$), soluția 0,5% CMC (mijloc, $R_{max}=0,51\text{mm}$) și soluția 0,5% PAM (jos, $R_{max}=0,68\text{mm}$) pentru $\lambda=1,47$. Peretele solid este poziționat la baza cadrelor fotografice. Intervalul între cadre este $4,8 \mu\text{s}$. Între cadrele 10 și 11 ale secvenței corespunzătoare soluției 0,5% PAM intervalul este $1 \mu\text{s}$

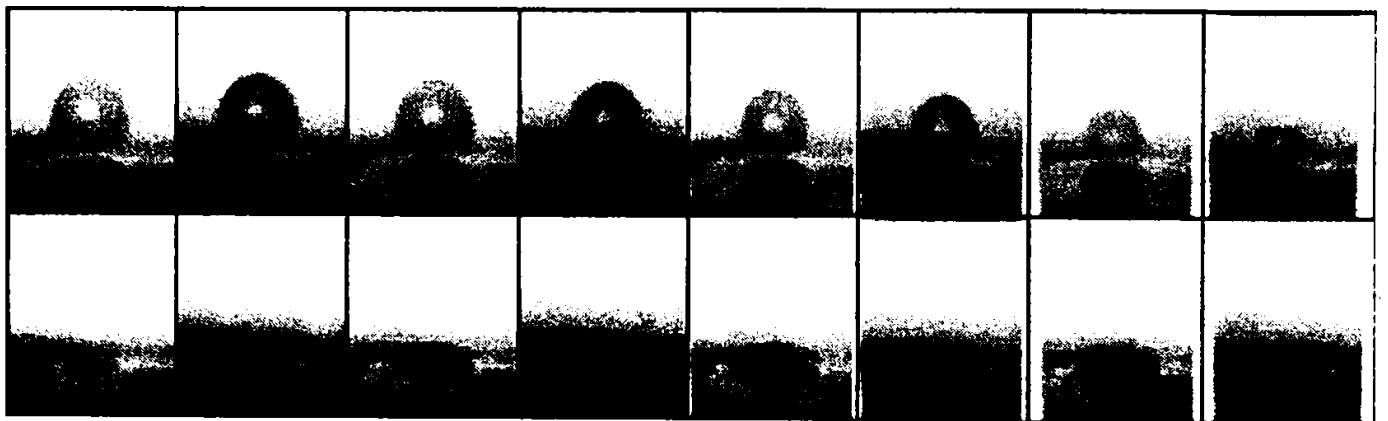
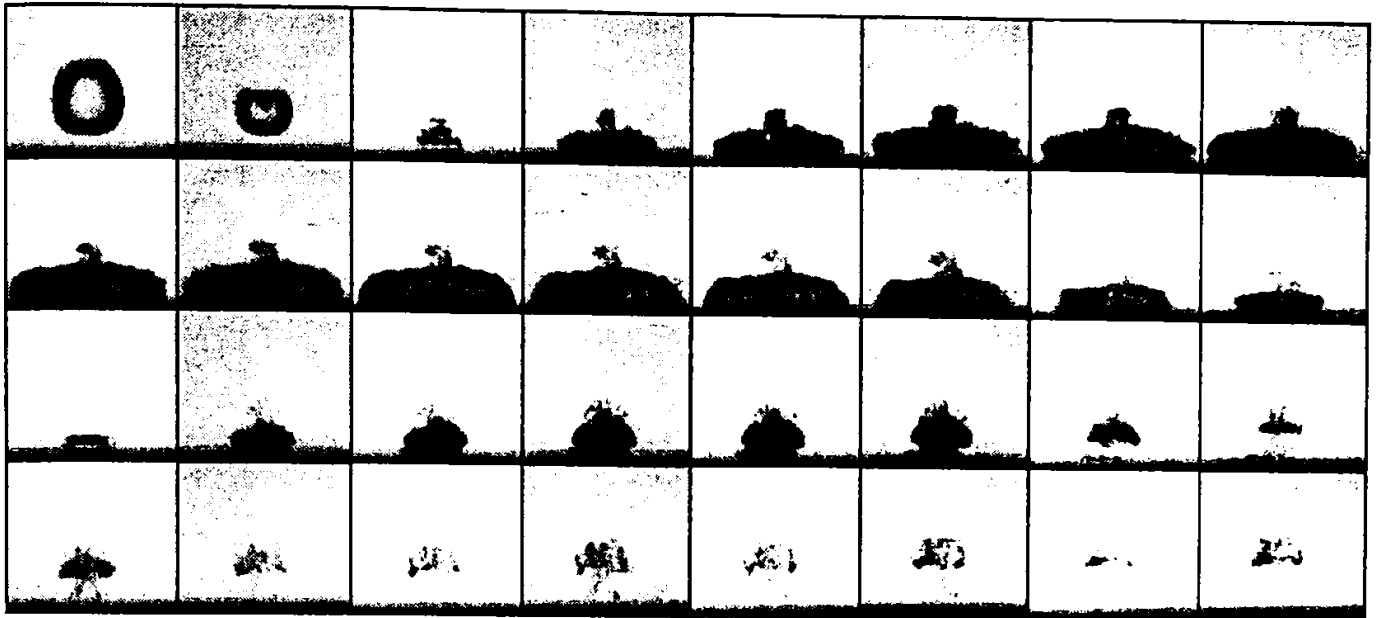
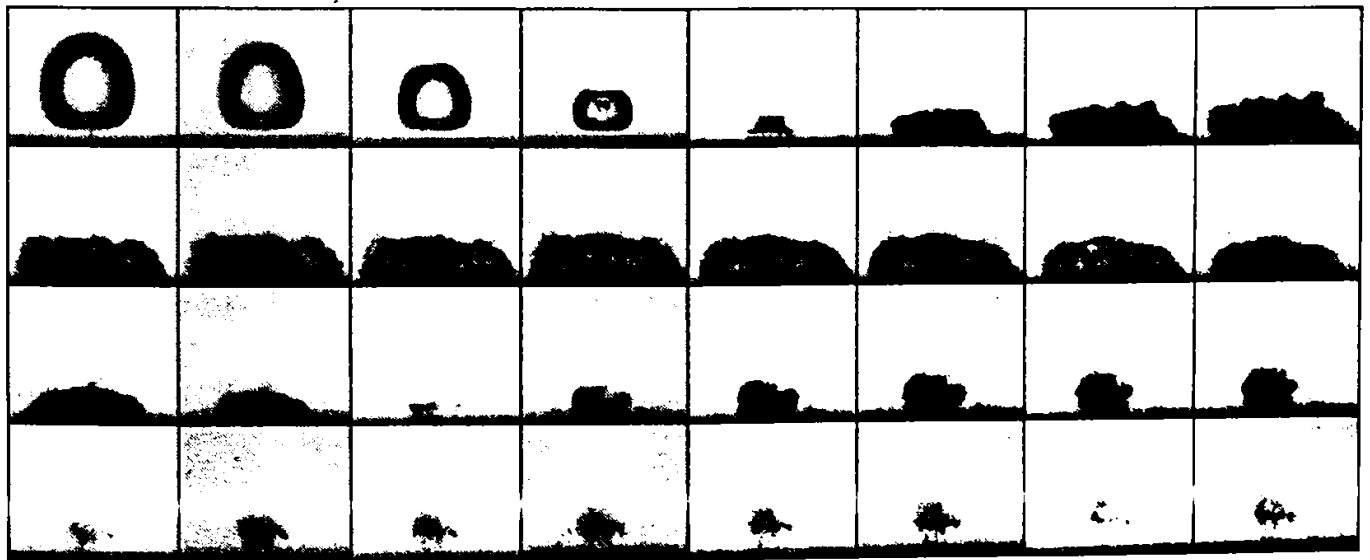


Figura 5.21. Evolutia bulei situată in solutia 0,5% PAM pentru $\delta=1,07$.
 $R_{max}=0,488\text{mm}$. Intervalul între cadre este $4,8 \mu\text{s}$



$R_{\max} = 1.45 \text{ mm}$ $\gamma = 1.1$



$R_{\max} = 1.45 \text{ mm}$ $\gamma = 1.0$

Figura 5.22. Evolutia bulei situată în apă pentru $\zeta=1,1$ și $\delta=1,0$.
Intervalul între cadre este $20 \mu\text{s}$

cu τ timpul scurs între pulsul de presiune emis în momentul spărturii optice și cel emis în punctul final al colapsului bulei și T_c timpul de colaps Rayleigh al bulei sferice, de distanță adimensională γ , este prezentat în Figura 5.23. Valoarea medie pentru raza maximă a bulelor investigate este $R_{max} = 0,64$ mm în apă, $R_{max} = 0,48$ mm în soluția 0,5% CMC și $R_{max} = 0,65$ mm în soluția 0,5% PAM. În figură se prezintă, pentru comparație, și rezultatele teoretice obținute de Rattray (vezi [198] pag.285) referitoare la timpul de colaps al unei bule, fără conținut de vapori sau gaz, situată într-un lichid ideal incompresibil:

$$k = 1 + \frac{0,205}{\gamma} \quad (5.20)$$

În aceleași ipoteze, valori similare pentru k sunt obținute numeric de Zhang s.a. [197], Taib s.a. [199] și Blake s.a. [200].

În cazul bulei situată în apă comparația arată o bună concordanță între teorie și experiment pe întreg domeniul γ investigat. Tendința de creștere a valorii timpului de colaps la reducerea distanței între bulă și peretele solid este observată și în ambele soluții de polimeri testate. Influența aditivării cu polimeri asupra timpului de colaps se manifestă însă numai pentru valori mici ale parametrului γ . Este remarcată pentru valori $\gamma < 1,75$ în cazul bulei situată în soluția 0,5% PAM și $\gamma < 1,5$ în cazul soluției 0,5% CMC. În aceste regiuni cele mai mari valori ale factorului de prelungire sunt observate pentru colapsul bulei în soluția 0,5% PAM urmate de cele corespunzătoare colapsului bulei în soluția 0,5% CMC. De exemplu, la $\gamma = 1,47$, valoarea coeficientului k pentru soluția 0,5% PAM este cu aproximativ 9% mai mare decât valoarea corespunzătoare cazului apei în timp ce pentru soluția 0,5% CMC valoarea coeficientului k este cu numai 1% mai mare față de cazul apei. Diferențele față de cazul colapsului bulei în apă sunt datorate viscozității mai mari a ambelor soluții de polimeri. Tendința de prelungire a timpului de colaps la creșterea viscozității lichidului este remarcată și de Tomita [201] și Takahashi s.a. [202] care folosesc glicerina ca lichid ambiant bulei. Viscositatea glicerinei este de aproximativ 1000 de ori mai mare ca a apei în timp ce viteza sunetului este cu numai 34%. Timpul de colaps al bulei în glicerină este mai mare decât în apă cu 26% când $\gamma = 2,5$ [202], cu 19% când $\gamma = 4,5$ [201] și cu 18% când $\gamma \rightarrow \infty$ [202]. Prelungirea timpului de colaps al bulei situată într-o soluție apoasă de 0,025% oxid de polietilenă este observată și de Chahine și Fruman [105], pentru valori $\gamma < 1,5$, când raza maximă a bulei este cuprinsă între 5 și 40 mm. Efectul elasticității lichidului asupra timpului de colaps, deși mai accentuat în cazul colapsului nesferic al bulei, este totuși minor în comparație cu cel al viscozității [92, 100].

5.3.3. Formarea jetului

Jetul lichid care străbate interiorul bulei în timpul colapsului este unul din aspectele specifice ale evoluției bulei în apropierea unui perete solid. Jetul este observat și atunci când mici cantități de polimeri sunt adăugate apei dar prezenta aditivilor polimerici determină unele particularități ale comportării jetului. Se consideră în acest paragraf influența aditivilor asupra formării jetului.

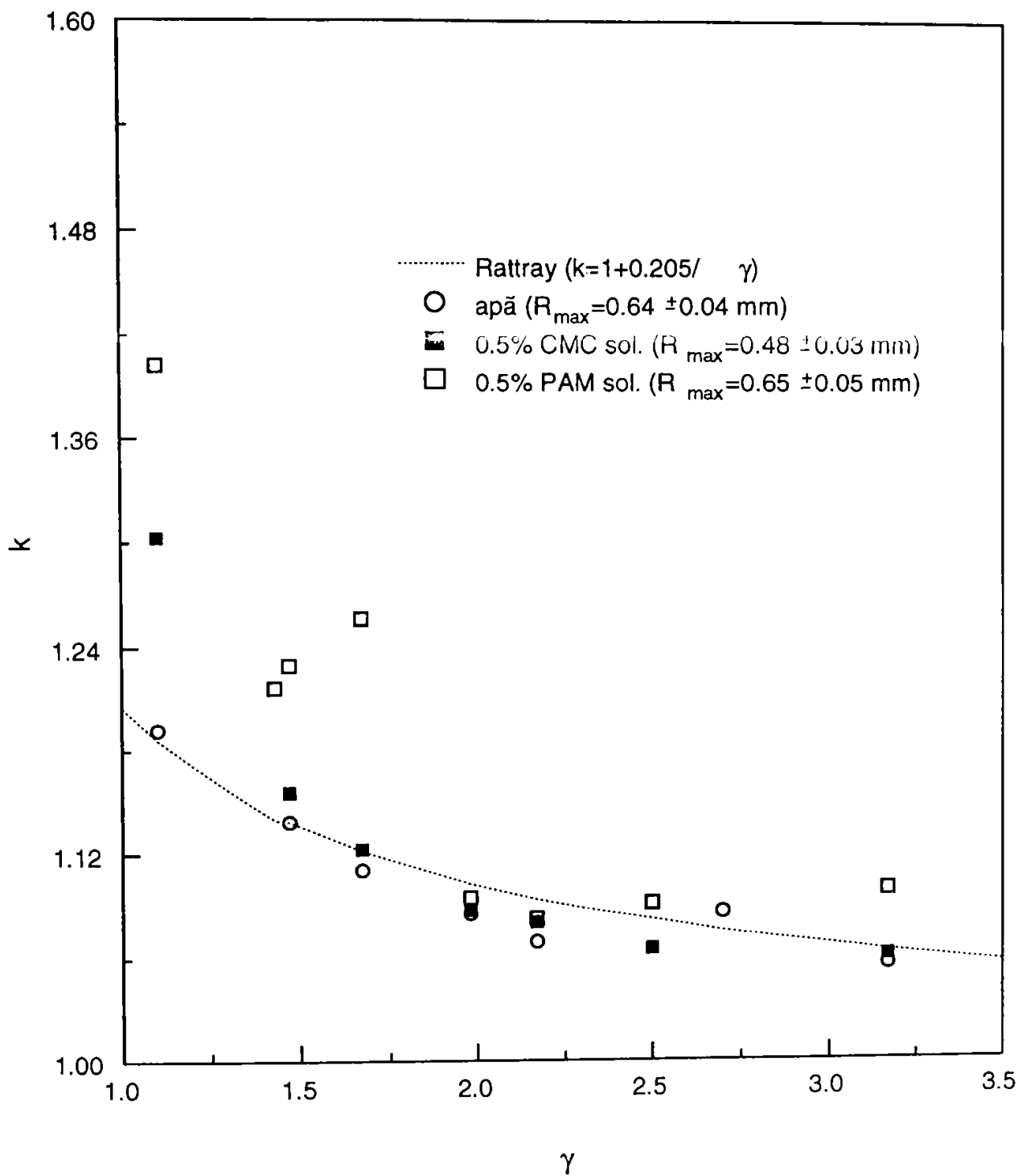


Figura 5.23. Dependenta factorului de prelungire al timpului de colaps al bulei situată în vecinătatea unui perete solid cu distanța adimensională între bulă și peretele solid.

Figura 5.24 prezintă evoluția bulei cavitationale situată în apă, soluția 0,5% CMC și soluția 0,5% PAM pentru două valori ale distanței adimensionale între bulă și peretele solid, $\gamma = 3,17$ și $\gamma = 1,98$. Fiecare secvență corespunde unei singure înregistrări realizată cu o viteză de filmare de 1.000.000 imagini/s. În cazul apei, când $\gamma = 3,17$, peretele superior al bulei este aplatizat pentru a forma jetul cu 3 μ s înainte de punctul final al colapsului în timp ce la $\gamma = 1,98$, jetul este deja format cu 5 μ s înainte de punctul final al colapsului. În ambele soluții de polimeri, la $\gamma = 3,17$, jetul se formează cu 2 μ s înainte de punctul final al colapsului dar cu 4 μ s când $\gamma = 1,98$. Este evident că jetul se formează mai repede la descreșterea valorii γ și, în comparație cu cazul situării bulei în apă, atât în soluția 0,5% CMC cât și în soluția 0,5% PAM, jetul se formează mai târziu.

Considerații fundamentale asupra mecanismului de formare a jetului, prin analogie cu colapsul bulei sferice, au fost publicate de Lauterborn încă din 1982 [203]. Investigațiile optice asupra evoluției bulei în apă au stat la baza formulării acestor considerații. Analiza care urmează evidențiază câteva argumente suplimentare în sprijinul mecanismului propus de Lauterborn. Punctul de plecare în stabilirea acestui scenariu este observația că în timpul colapsului bula devine elongată pe direcția normală la perete. Figura 5.25 prezintă elongația bulei ε , definită prin raportul între raza bulei pe direcția paralelă la peretele solid în momentul elongației maxime și distanța între acest nivel și partea superioară a bulei (vezi și diagrama schematică din figură), la diferite valori ale parametrului γ . În figură sunt prezentate și câteva rezultate experimentale obținute de Vogel s.a. [138] în cazul colapsului bulei situată în apă (simbolurile închise). Este prezentată și modelarea rezultatelor experimentale cu ajutorul relației:

$$\varepsilon = 1 + \frac{a}{\gamma} \quad (5.21)$$

valabilă pentru $\gamma \geq 1$, unde $a = 0,242$ în cazul bulei situată în apă (linia continuă), $a = 0,289$ în cazul bulei situată în soluția 0,5% CMC (linia întreruptă cu un punct) și $a = 0,381$ în cazul bulei situată în soluția 0,5% PAM (linia întreruptă cu două puncte). Linia întreruptă reprezintă modelarea rezultatelor obținute de Vogel s.a. [138] ($a = 0,17$). Expresia funcției (5.20) este stabilită folosind sub MathCAD metoda celor mai mici pătrate. La micșorarea distanței adimensionale între bulă și peretele solid elongația bulei, situată atât în apă cât și în cele două soluții de polimeri testate, crește. Tendința este susținută și de analizele numerice realizate de Taib s.a. [199] și Blake s.a. [200] care modelează colapsul unei bule într-un lichid ideal incompresibil și obțin valorile $\varepsilon = 1,055$ la $\gamma = 1,5$ și $\varepsilon = 1,23$ la $\gamma = 1$. Pe de altă parte, elongația bulei este mai mare în ambele soluții de polimeri în comparație cu cazul apei, cele mai mari valori fiind obținute atunci când bula este situată în soluția 0,5% PAM. Rezultatul este în contradicție cu cel prezentat de Kezios și Schowalter [106] care pun în evidență o reducere a elongației bulei prin aditivarea apei cu polimeri dar, așa cum este descris experimentul lor, este investigată mai degrabă evoluția unei bule situată între doi pereți solizi iar poziția bulei între cei doi pereți nu este precizată. Creșterea elongației bulei la creșterea viscozității lichidului este observată și de Nakajima și Shima [204]. În acest caz este modelat colapsul bulei considerând și viscozitatea lichidului (corespunzătoare apei). Valoarea obținută la $\gamma = 1,5$ este $\varepsilon = 1,21$ cu aproximativ 15% mai mare decât cea raportată de Blake s.a. [200].

Consecința imediată a formei elongate pe direcția normală la frontiera solidă este curbura diferită a peretelui bulei. Curbura peretelui superior este mai mare decât cea a

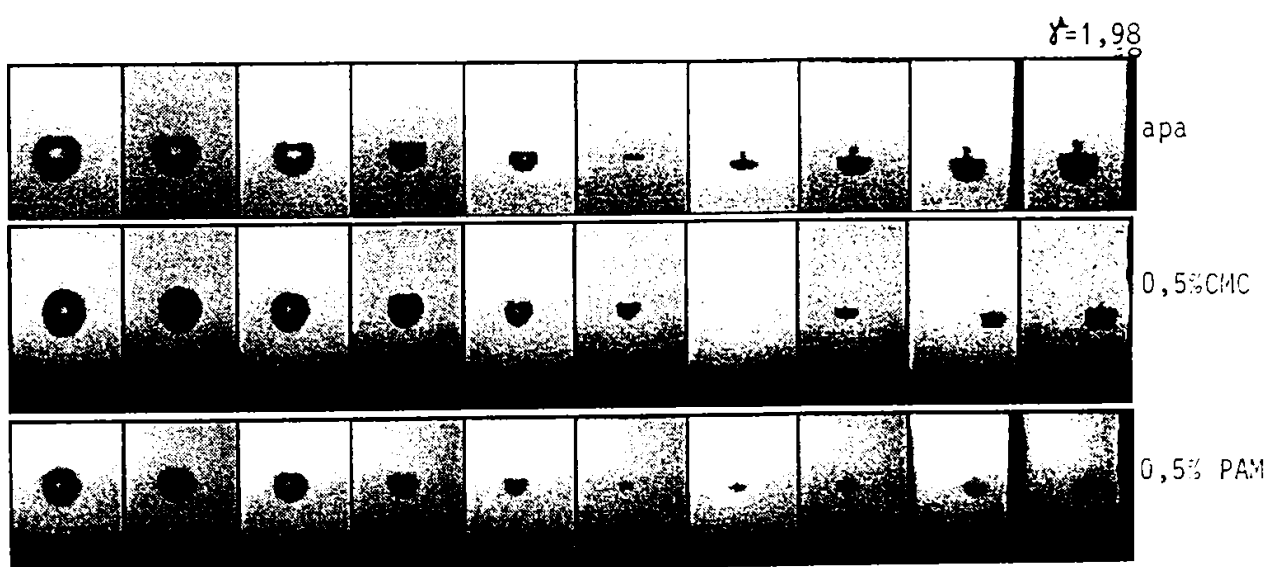
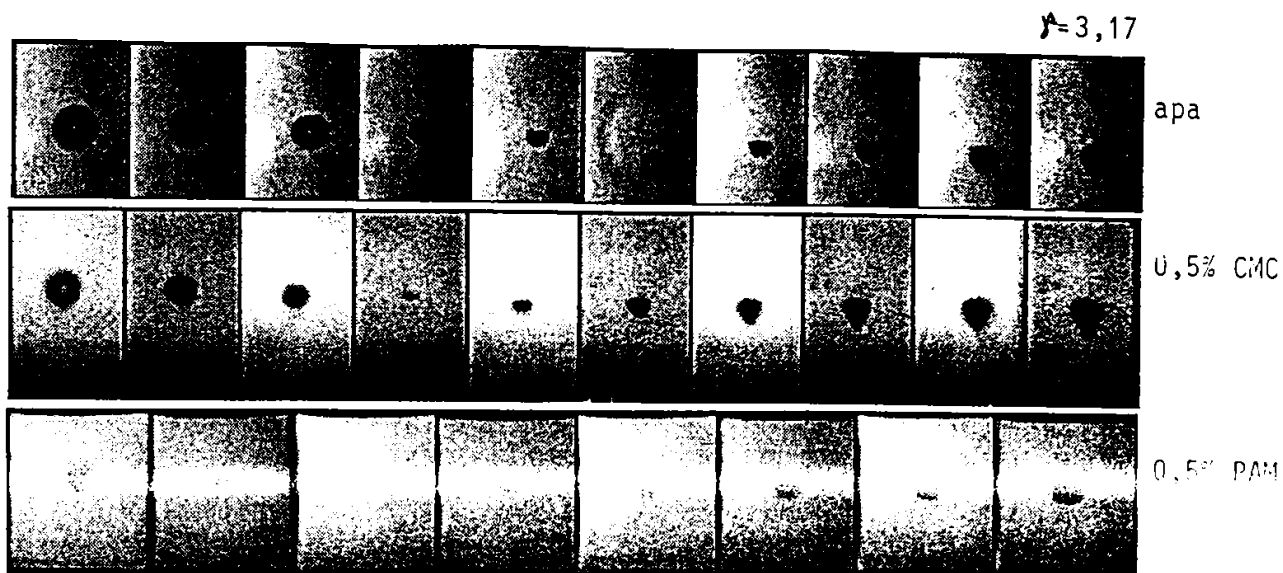
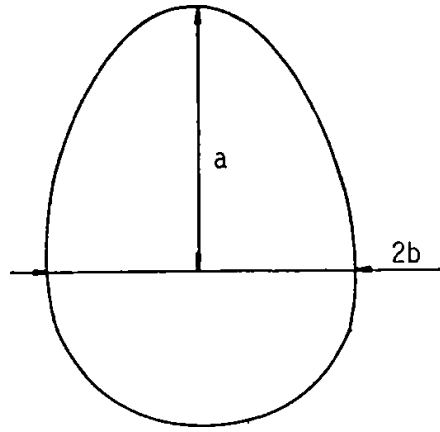


Figura 5.24. Evolutia bulei situată în apă, solutia 0,5% CMC si solutia 0,5% PAM pentru $\gamma = 3,17$ si $\gamma = 1,98$. Intervalul între cadre este $1 \mu s$

peretelui inferior (echivalent, raza de curbură este mai mică) care la rândul ei poate fi mai mare decât cea a peretilor laterali. Primul aspect este mai greu de observat în cadrele fotografice la valori γ mari dar este clar vizibil în exemplele prezentate în Figurile 5.21 și 5.22 când $\gamma \cong 1$. Legătura între elongatia bulei și formarea jetului poate fi înțeleasă ținând seama că timpul de colaps al unei bule sferice este proportional cu raza maximă a acesteia. Situate în același lichid, bulele sferice mici (cu rază de curbură mică) vor colapsa mai repede decât cele mari. În cazul unei bule elongate, zonele peretelui bulei cu cea mai mare curbură (cu cea mai mică rază de curbură) au un colaps mai rapid decât cele cu curbură mai mică. Exemple în sprijinul acestei considerații sunt prezentate de Shima și Nakajima [205] care analizează teoretic un caz similar cu cel al colapsului unei bule elongate situată într-un lichid extins la infinit. Jetul este întotdeauna format prin involuția peretelui bulei cu cea mai mică rază de curbură. De aceea, geometria peretelui bulei este factorul cel mai important în formarea jetului. Accelerarea diferită a diferitelor zone ale peretelui bulei, care conduce în final la formarea jetului, este determinată de curbura fiecărei zone. Cauza formării jetului este concentrarea unei cantități finite de energie pe un volum mic. Când bula este situată în apropierea unui perete solid, peretele superior va colapsa mai repede decât oricare altă parte a peretelui bulei și determină formarea jetului. Deoarece curbura peretelui superior al bulei este cu atât mai mare cu cât elongatia bulei este mai mare iar elongatia bulei crește la scăderea valorii γ jetul se formează mai repede la valori γ mici. În fiecare din cele trei lichide testate formarea jetului este observată mai devreme la $\gamma = 1,98$ decât la $\gamma = 3,17$.

Respectând aceleași argumente este de așteptat ca jetul să se formeze mai repede în timpul colapsului unei bule situată în oricare din soluțiile de polimeri testate, unde elongatia bulei este mai mare decât în apă. Numai că timpul de colaps al bulei, cu aceeași rază de curbură a peretelui, situată în fiecare din cele două soluții de polimeri este mai mare decât în apă. Figura 4.11 ilustrează clar acest lucru, în special, când raza bulei este mai mică de 0,1 μm . Este suficient de mare pentru a compensa și depăși micile diferențe induse de valoarea mai mică a razei de curbură a peretelui superior al bulei situată în soluțiile de polimeri. În plus, vitezele de colaps sunt mult mai mici în cazul bulei situată în soluțiile de polimeri în comparație cu cazul apei. Diferențele sunt cu atât mai mari cu cât raza de curbură a peretelui bulei situată în soluțiile de polimeri este mai mică decât cea bulei situată în apă. Figurile 4.5 - 4.9 ilustrează acest lucru. În consecință, accelerarea peretelui superior al bulei situată în soluțiile de polimeri și în apropierea unui perete solid este mai mică decât cea corespunzătoare bulei în apă, deși raza de curbură a peretelui este mai mică, iar jetul va fi format mai târziu. Creșterea viscozității lichidului, deși determină creșterea elongatiei bulei, conduce în final la întârzierea formării jetului. Un exemplu convingător este comparația între rezultatele numerice prezentate de Nakajima și Shima [204] cu cele obținute de Blake s.a. [200]. Cu toate că elongatia bulei este mai mare atunci când se consideră și viscozitatea lichidului ($\epsilon = 1,21$ [204] în comparație cu $\epsilon = 1,055$ [200]) jetul este format mai târziu; intervalul de timp scurs între momentul expansiunii maxime a bulei și cel corespunzător formării jetului este cu aproximativ 5% mai mare atunci când colapsul bulei are loc în lichidul vâscos. Întârzierea formării jetului prin aditivarea apei cu polimeri este observată și de Chahine și Fruman [105] iar datele prezentate par să indice chiar și creșterea elongatiei bulei (vezi și Figura 2.21). A fost observată numai pentru valori $\gamma < 1,5$ dar notăm că Chahine și Fruman [105] investighează evoluția bulei situată într-o soluție de 0,025 % oxid de polietilenă a cărei viscozitate este mult mai mică decât cea a soluțiilor de polimeri testate în prezentul experiment.



$$\epsilon = a/b$$

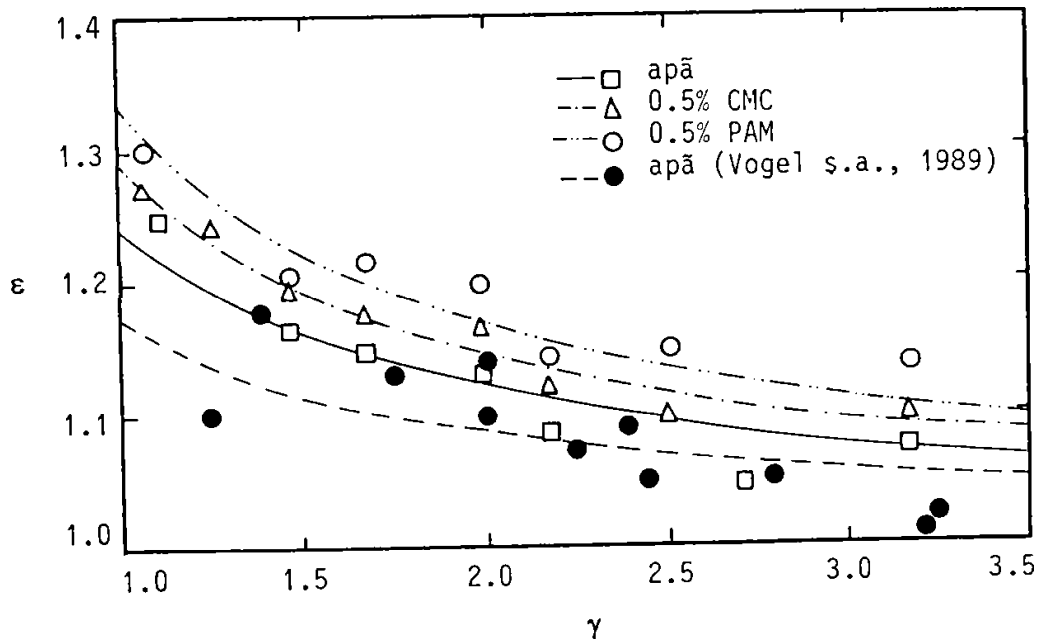


Figura 5.25. Elongatia maximă a bulei în funcție de distanța adimensională între bulă și peretele solid

Efectul aditivării cu polimeri se manifestă prin întârzierea formării jetului în timpul colapsului bulei situată în apropierea unui perete solid și este datorat viscozității lichidului.

5.3.4. Viteza jetului

Experimentele asupra colapsului bulei în apă arată că jetul lichid care străbate interiorul bulei este întotdeauna prezent dacă distanța între bulă și peretele solid este de cinci ori mai mică decât raza maximă a bulei [138, 190, 206]. Prima investigație numerică a colapsului bulei a fost realizată de Plesset și Chapman [198] urmată de o serie de rezultate care descriu, mai mult sau mai puțin, întreaga evoluție a jetului [186, 197, 199, 200, 204, 205, 207 - 218]. De remarcat rafinamentul experimentelor numerice conduse de Blake s.a. [199, 200] care au constituit punctul de plecare al studiilor teoretice realizate de Best și Kucera [210], Best [212] și Tomita și Shima [217]. Un program independent a fost dezvoltat de Duncan s.a. [197, 208, 216] și Chahine [209, 215].

Figura 5.26 ilustrează jetul lichid în interiorul bulei situată în apă când $\gamma = 1.3$. Raza maximă a bulei este $R_{\max} = 1,2$ mm. Cadrul fotografic este obținut la $170 \mu\text{s}$ de la declansarea laserului, în faza de recuperare a bulei după primul colaps. Peretele solid este situat la baza cadrului fotografic și este observat ca o dungă neagră. Forma jetului este conică cu unghiul conului $2\alpha = 17^\circ$. Un singur jet este observat în interiorul bulei iar forma acestuia confirmă mișcarea jetului înspre peretele solid. La această valoare a parametrului γ structura în apropierea peretelui superior al bulei este prezentă dar nu este ilustrată în figură din cauza poziționării gresite a camerei Imacon. Oricum, existența contrajetului care ar determina formarea structurii superioare nu este remarcată în interiorul bulei.

O estimare corectă a vitezei jetului impune vizualizarea acestuia în interiorul bulei până în faza finală a colapsului bulei. Din distanța parcursă de vârful jetului într-un interval de timp, dat de viteza de filmare, se poate calcula viteza jetului. Figura 5.27 prezintă colapsul bulei situată în apă când $\gamma = 1$. Raza maximă a bulei este $R_{\max} = 1,45$ mm. Intervalul între două cadre este $1 \mu\text{s}$. În această figură, succesiunea cadrelor este de jos în sus și de la stânga la dreapta. Jetul este clar observat în interiorul bulei. Cu toate acestea, curbura peretelui bulei situat între jet și camera Imacon generează un efect de lentilă și induce erori în estimarea poziției vârfului jetului. Este un obstacol de neînlăturat atunci când evoluția jetului este investigată optic. Vizualizarea jetului este diminuată în cazul bulelor cavitaționale mici ($R_{\max} < 1$ mm), în cazul aditivării apei cu mici cantități de polimeri și la creșterea vitezei de filmare. Viteza maximă de filmare a camerei Imacon 700 este $20.000.000$ imagini/s, însă la această viteză condițiile de iluminare sunt determinante în obținerea unui contrast bun pentru fiecare cadru fotografic. Din aceste motive, în acest experiment, viteza jetului a fost determinată ca fiind viteza peretelui superior al bulei. În toate investigațiile experimentale realizate până acum viteza jetului se determină în acest mod astfel încât comparația între prezentele rezultate și cele anterioare este justificată. Notăm, totuși, că viteza jetului este mai mare decât viteza peretelui superior al bulei dar diferențele nu depășesc $10 - 15\%$ [186, 190].

Viteza peretelui superior al bulei este determinată măsurând variația poziției acestui perete într-un interval de timp de $1 \mu\text{s}$. Este determinată chiar în punctul final al colapsului, pus în evidență prin existența undei de soc, emisă în timpul recuperării bulei, în cadrul fotografic. Figurile 5.28 - 5.36 prezintă exemple ale evoluției bulei cavitaționale situată în apă, soluția $0,5\%$ CMC și soluția $0,5\%$ PAM pentru diferite valori ale parametrului γ ($\gamma =$

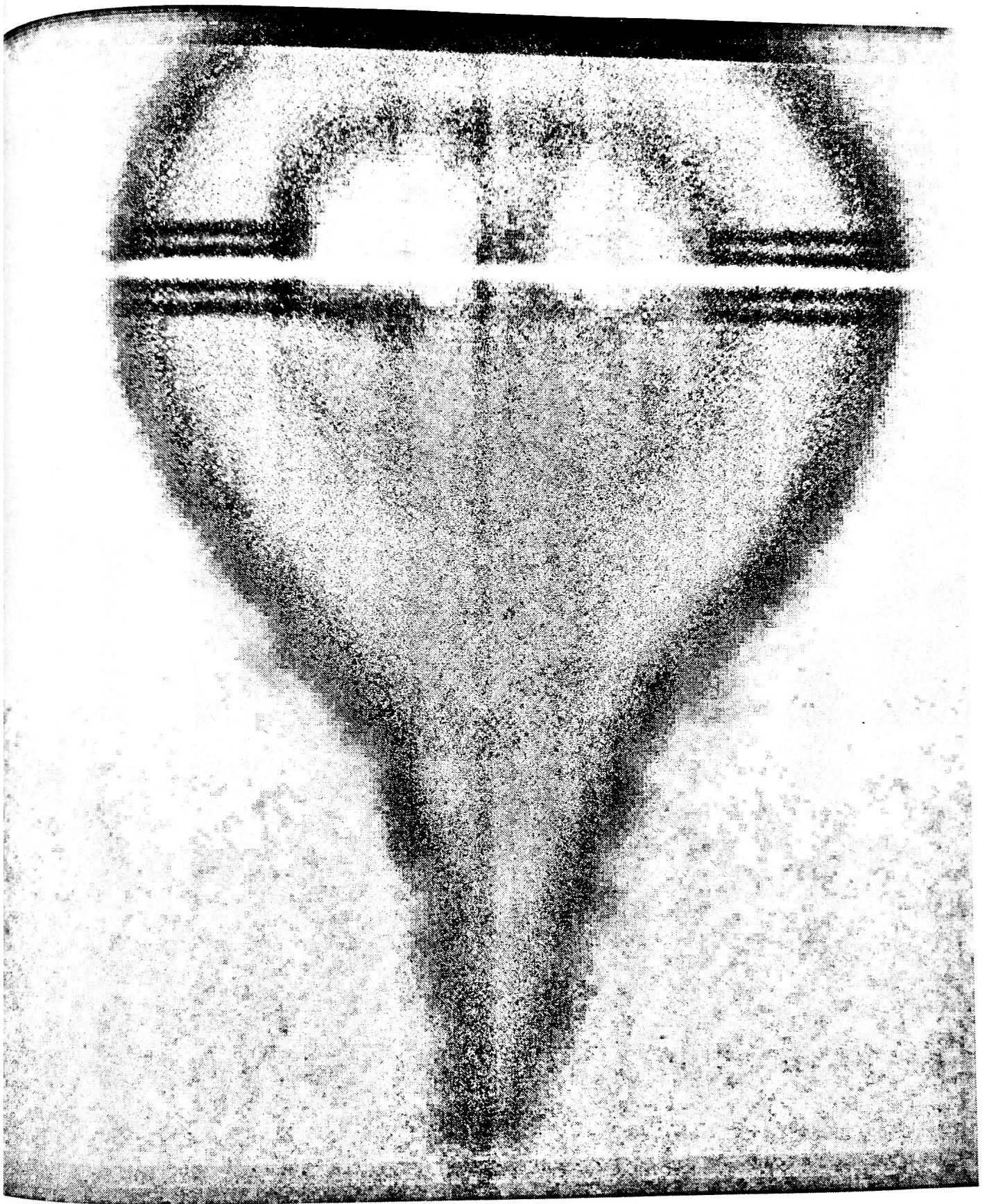


Figura 5.26. Aspectul jetului lichid în interiorul bulei situată în apă pentru $\beta=1,3$. $R_{\max}=1,2\text{mm}$.

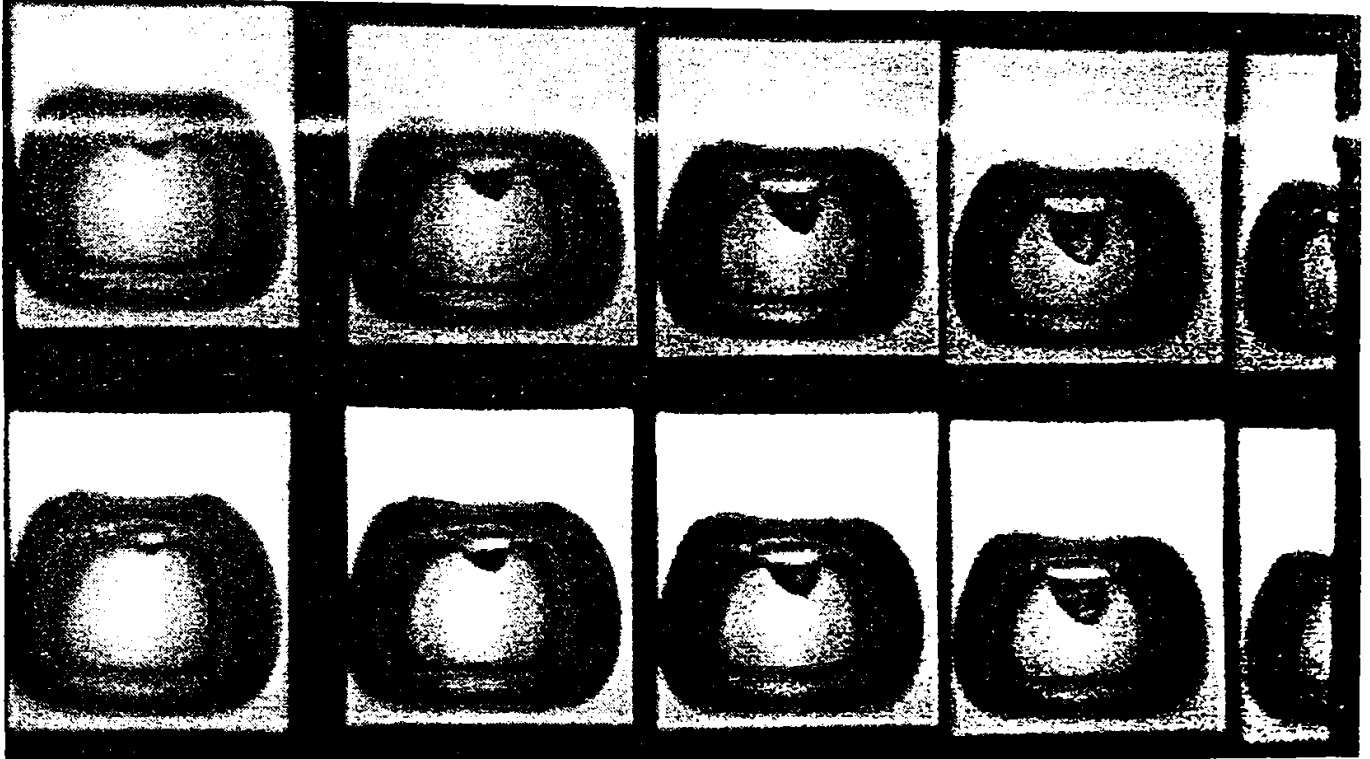


Figura 5.27. Evolutia bulei situatã în apă pentru $\lambda=1$. Raza maximã a bulei este 1,45mm. Succesiunea cadrelor este de jos în sus si de la stânga la dreapta. Intervalul între cadre este $1 \mu s$

3,17; 1,98; 1,67). În figuri sunt prezentate poziția peretelui superior (indicată cu S), a peretelui inferior (indicată cu I), a mijlocului bulei (indicată cu M și calculată cu relația $(S+I)/2$) și a “contrajetului” (indicată cu C). Raza maximă a fiecărei bule precum și valoarea γ este precizată în legenda figurilor. Unde de soc emisă în punctul final al colapsului bulei este clar pusă în evidență în cadrul 6 al Figurii 5.28. Poate fi observată și în celelalte figuri însă cu un contrast mai slab (câteodată este invizibilă). O primă observație în figurile prezentate este că, la orice valoare γ , volumul minim al bulei situată în soluțiile de polimeri este mai mare decât cel corespunzător bulei situată în apă. Singura excepție este cazul $\gamma = 1,67$ unde volumul minim al bulei situată în apă este mai mare. În acest caz însă valoarea indicată în grafic nu corespunde punctului final al colapsului bulei (situat între cadrele 5 - 6 în Figura 5.34). Valoarea mai mare a volumului minim al bulei situată în soluțiile de polimeri dă o primă indicație asupra atenuării mai mari a colapsului bulei. Gazul din interiorul bulei este mai puțin comprimat decât în cazul în care bula este situată în apă iar presiunea maximă în lichid la peretele bulei va avea valori mai mici. Diferențele observate par să fie suficient de mari pentru a putea fi detectate cu condiția ca timpul de răspuns al hidrofonului să fie suficient de mic (mai mic de 20 ns). Timpul de răspuns al hidrofonului folosit (50 ns) este prea mare pentru a detecta aceste diferențe. A doua observație este viteza nulă a “contrajetului”. Atunci când structura la partea superioară a bulei este prezentă ea este observată imediat după punctul final al colapsului indiferent dacă bula este situată în apă sau în oricare din soluțiile de polimeri testate, dar poziția ei rămâne aproape neschimbată în timp (Figurile 5.31 - 5.36). În fiecare cadru corespunzător punctului final al colapsului bula are forma unui disc paralel cu peretele solid. Această formă este datorată colapsului mai rapid al peretilor superior și inferior ai bulei în comparație cu peretii laterali, determinat de curbura mai mare a peretelui bulei la partea superioară și inferioară. Evoluția temporală a mijlocului bulei (linia M) indică migrația bulei înspre peretele solid, foarte accentuată după formarea jetului.

Valoarea vitezei maxime a jetului (de fapt a peretelui superior al bulei) la diferite valori ale distanței adimensionale între bulă și peretele solid este prezentată în Figura 5.37. Simbolurile cerc indică rezultatele obținute experimental anterior de Lauterborn și Bolle [191] ($R_{\max} > 3,5$ mm), Tomita și Shima [137] ($R_{\max} = 3,5$ mm), Vogel s.a. [138] ($R_{\max} = 3,5$ mm) și Tomita s.a. [219] ($R_{\max} = 3,5$ mm). Acestea sunt singurele valori pentru care valoarea parametrului γ se cunoaște cu precizie. Simbolurile pătrat indică valorile obținute în prezentul experiment ($R_{\max} = 0,55 \pm 0,1$ mm). Modelarea rezultatelor experimentale este realizată folosind o regresie liniară în γ a valorilor vitezei maxime a jetului:

$$v_{jet} = a_0 + a_1 \gamma \quad (5.22)$$

și metoda celor mai mici pătrate. Pentru apă ($R_{\max} \sim 0,55$ mm) $a_0 = 84,89$ m/s și $a_1 = 7,96$ (linia continuă), pentru soluția 0,5% CMC $a_0 = 50,82$ m/s și $a_1 = 15,52$ (linia întreruptă cu un punct), pentru soluția 0,5% PAM $a_0 = 42,16$ m/s și $a_1 = 14,23$ (linia întreruptă cu două puncte) iar pentru apă, când $R_{\max} \geq 3,5$ mm, $a_0 = 66,34$ m/s și $a_1 = 26,39$ (linia continuă). Pentru cazul apei există tendința de descreștere a vitezei maxime a jetului la reducerea parametrului adimensional γ . Tendința este remarcată și în investigațiile numerice conduse de Blake s.a. [200] și Zhang s.a. [197]. Este, de asemenea, observată o ușoară influență a razei maxime a bulei asupra valorii maxime a vitezei jetului. La descreșterea razei maxime a bulei valoarea vitezei maxime a jetului scade. Valoarea tipică a vitezei maxime a jetului este 100 m/s când $R_{\max} = 0,64$ mm. Influența razei maxime a bulei este sesizată la valori $\gamma > 1,75$ unde

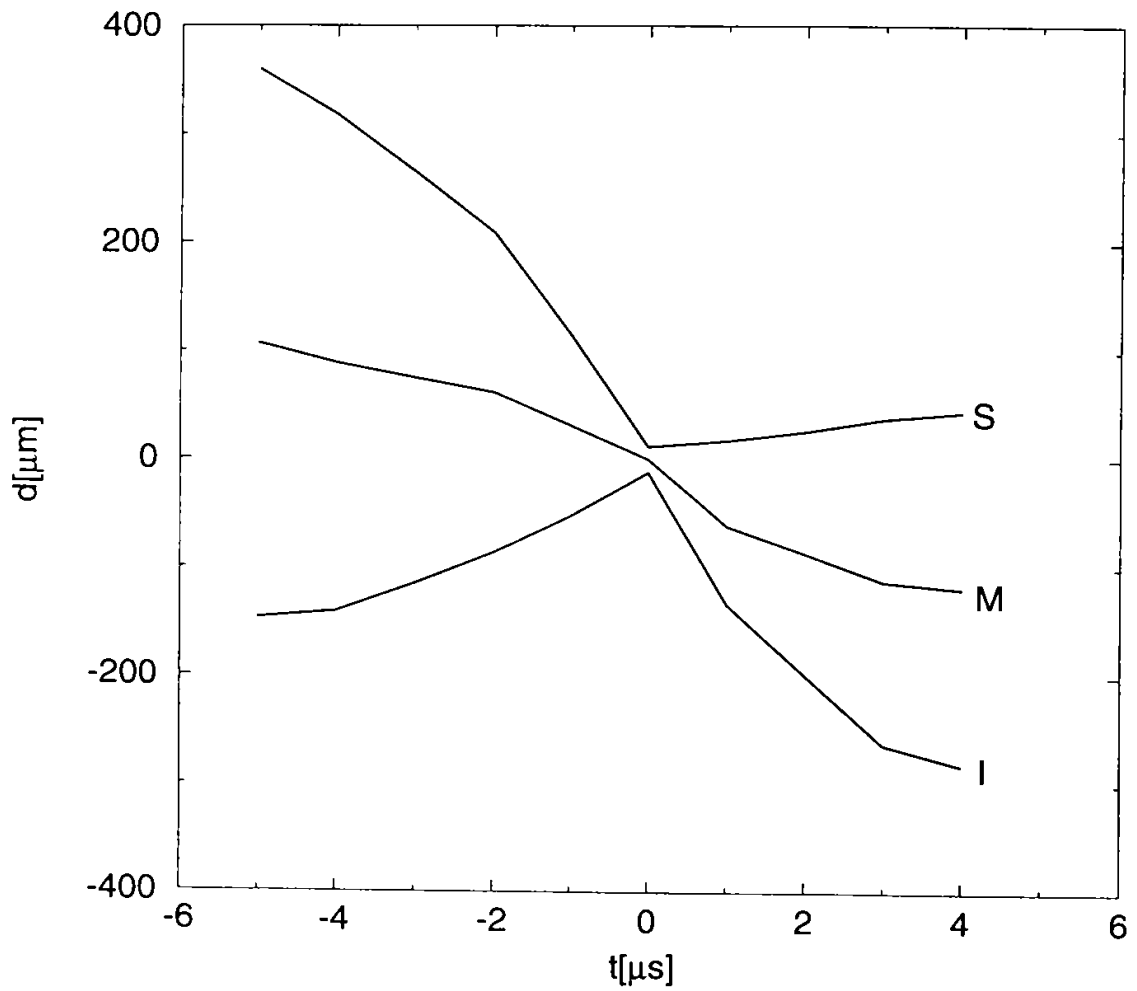
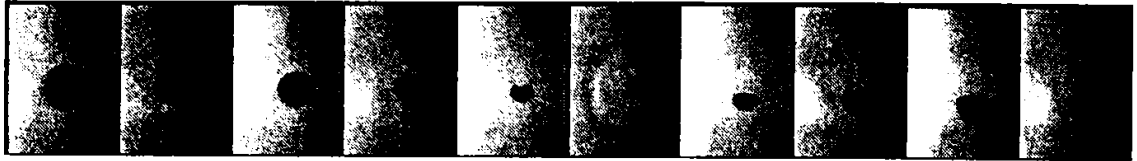


Figura 5.28. Variația în timp a poziției peretelui superior (S), mijlocului (M) și peretelui inferior (I) al bulei situată în apă pentru $\delta=3,17$. $R_{max}=0,63\text{mm}$. Intervalul între cadre este $1\mu\text{s}$

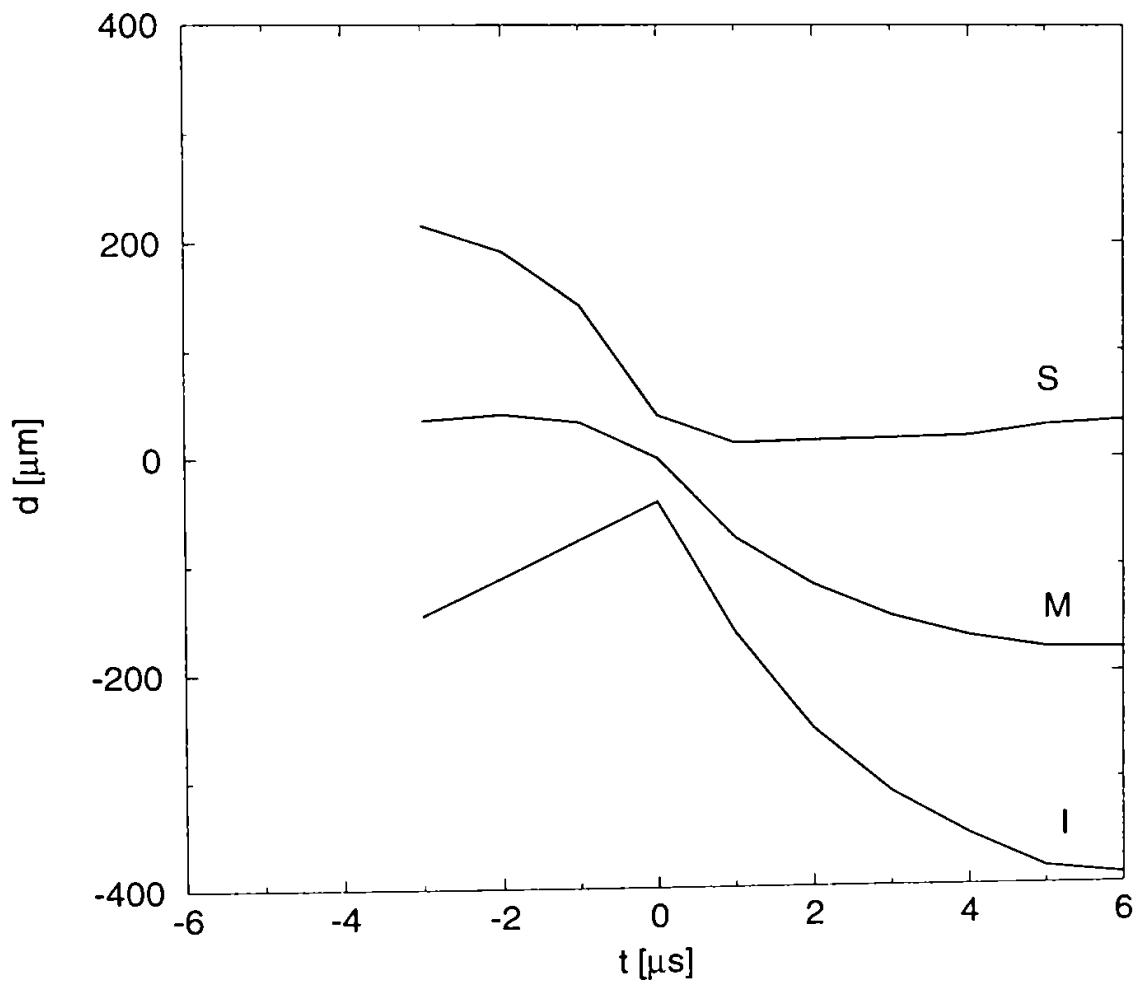
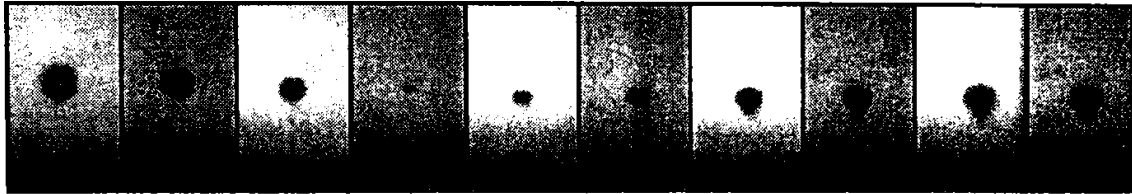


Figura 5.29. Variația în timp a poziției peretelui superior (S), mijlocului (M) și peretelui inferior (I) al bulei situată în soluția 0,5% CMC pentru $\gamma=3,17$. $R_{max}=0,47$ mm. Intervalul între cadre este 1μ s

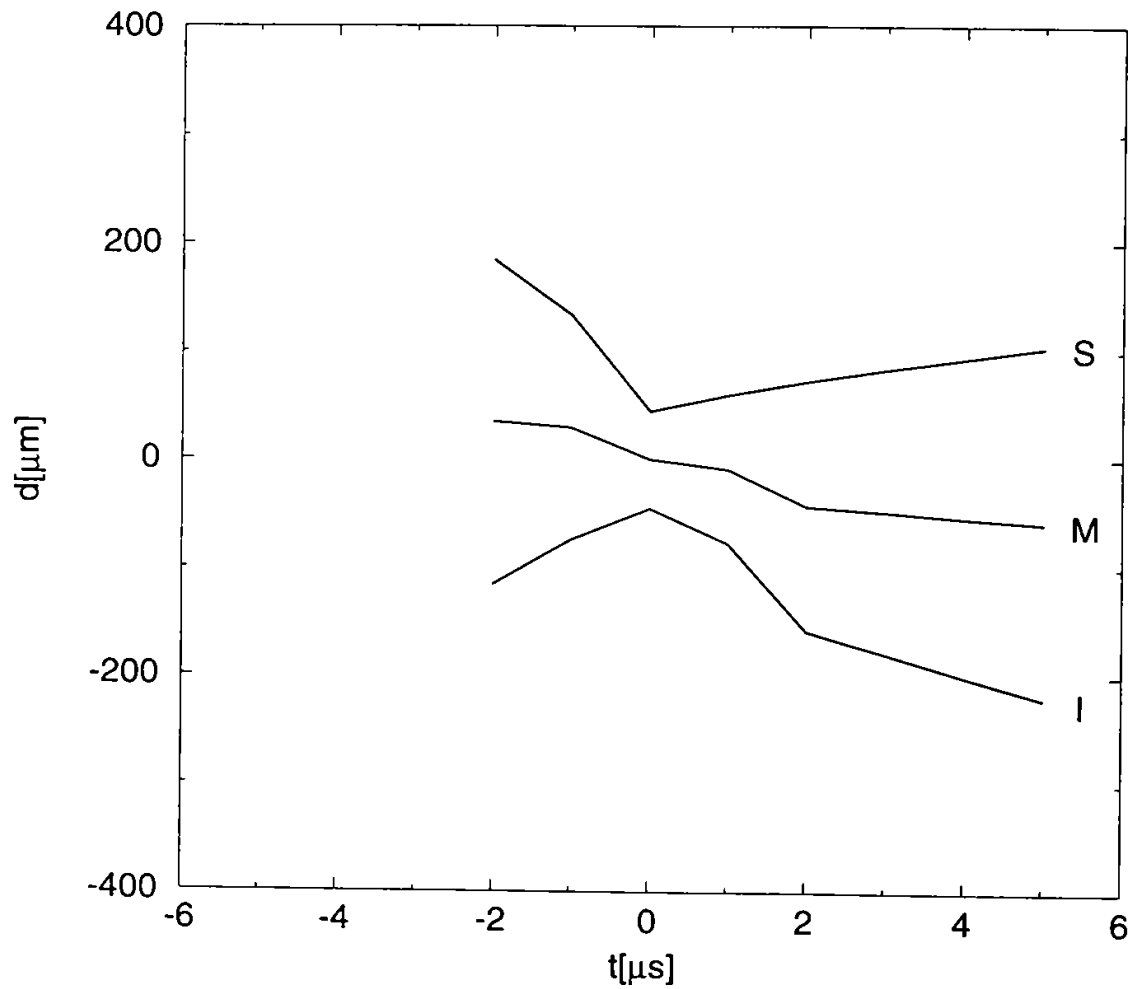
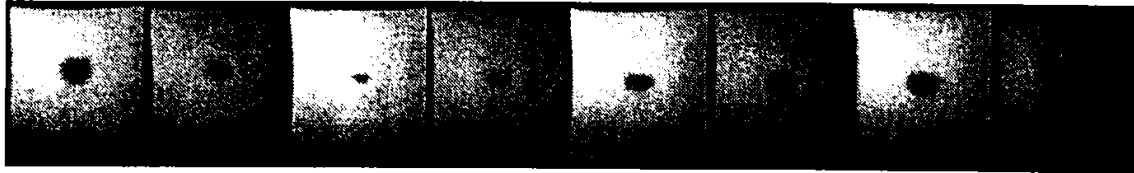


Figura 5.30. Variatia în timp a poziției peretelui superior (S), mijlocului (M) și peretelui inferior (I) al bulei situată în soluția 0,5% PAM pentru $\lambda=3,17$. $R_{max}=0,63\text{mm}$. Intervalul între cadre este $1\ \mu\text{s}$

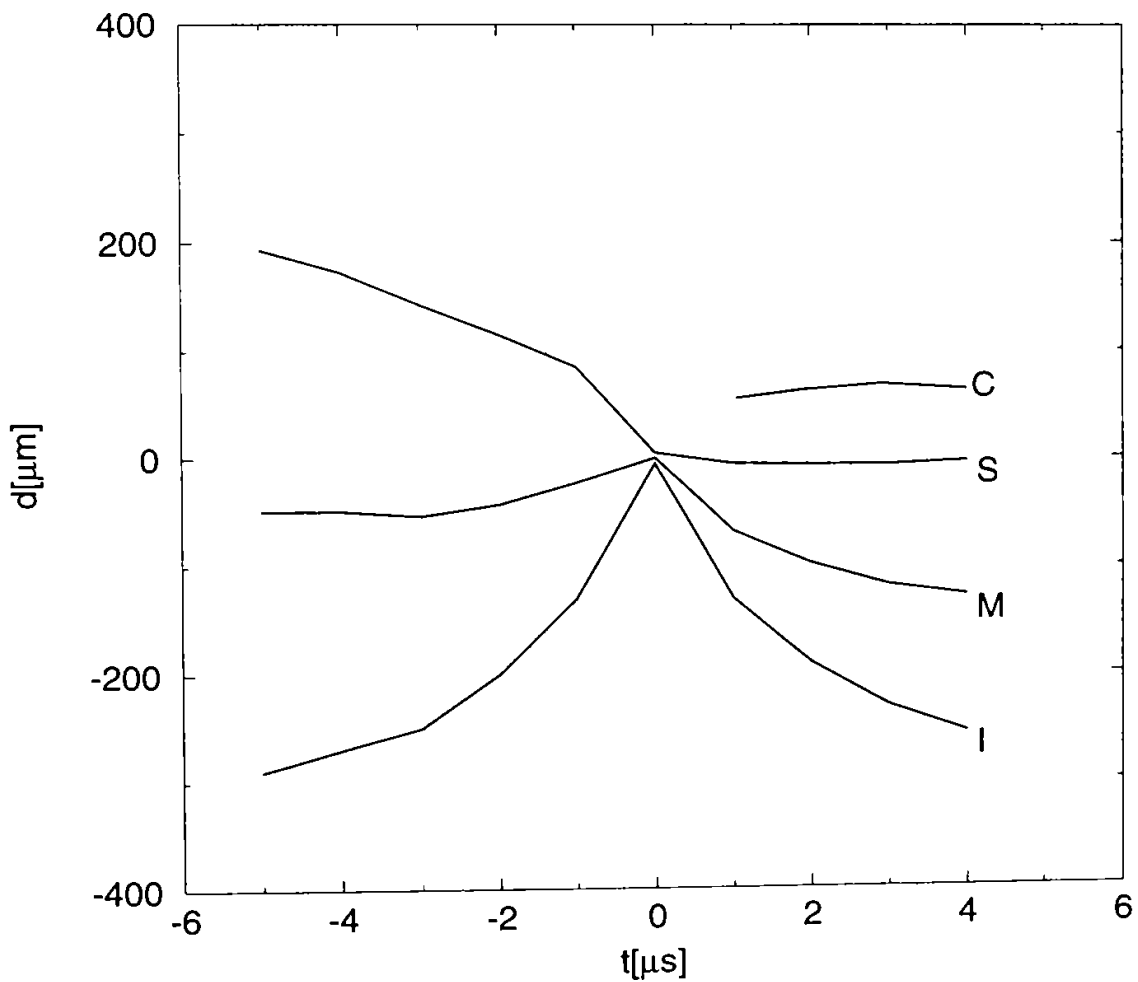
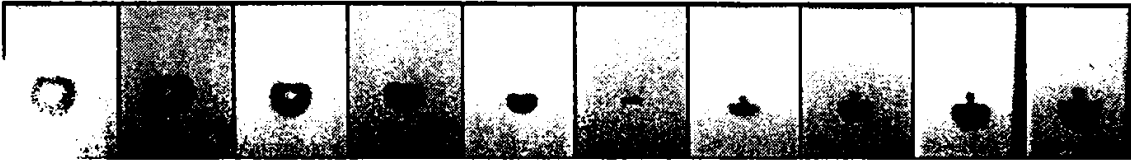


Figura 5.31. Variatia în timp a poziției "contrajetului" (C), peretelui superior (S), mijlocului (M) și peretelui inferior (I) al bulei situată în apă pentru $\zeta=1,98$. $R_{max}=0,63\text{mm}$. Intervalul între cadre este $1\ \mu\text{s}$

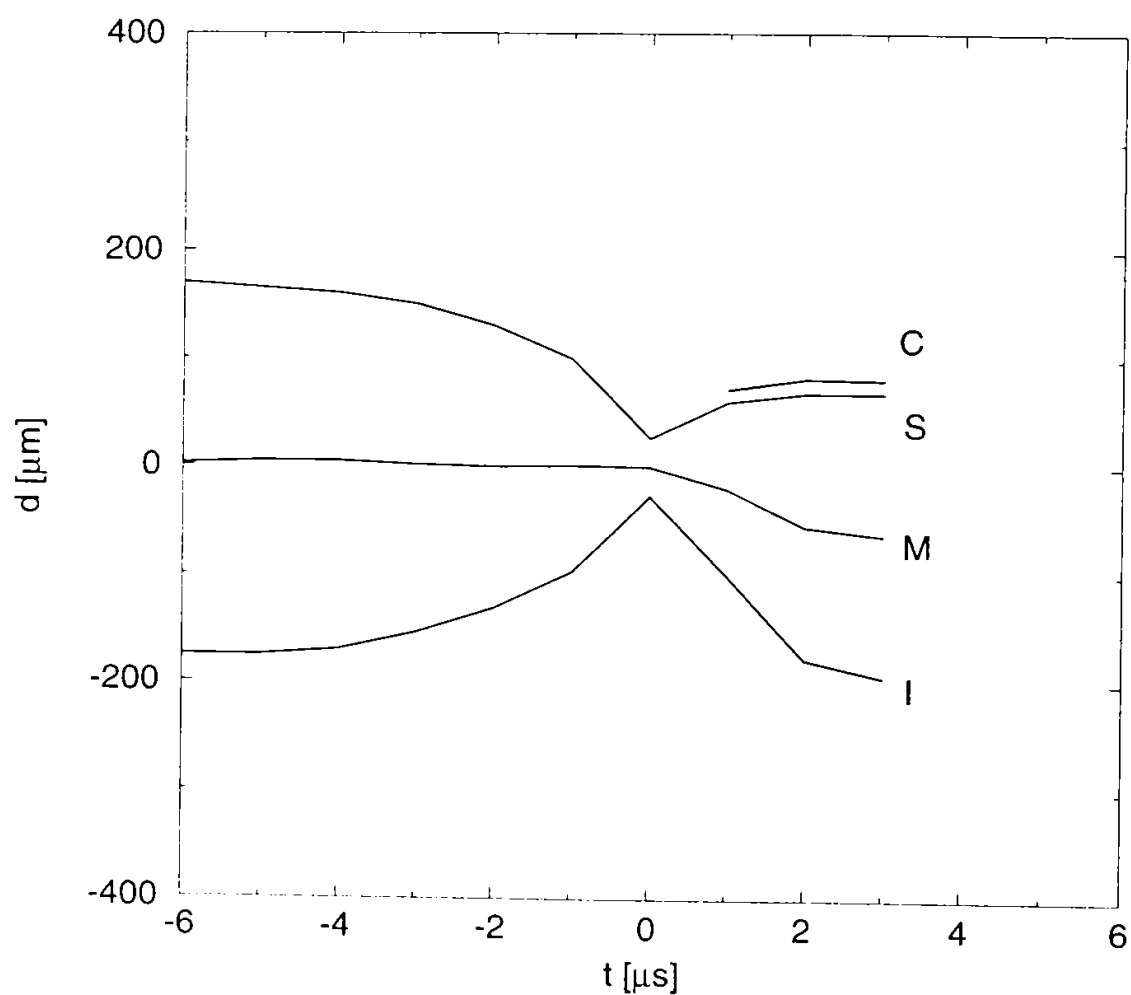
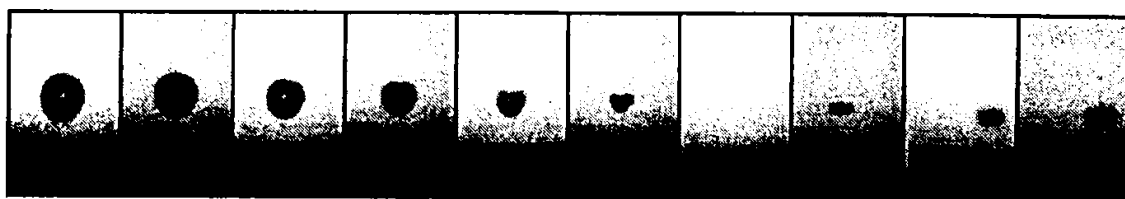


Figura 5.32. Variatia in timp a pozitiei "contrajetului" (C), peretelui superior (S), mijlocului (M) si peretelui inferior (I) al bulei situată in solutia 0,5% CMC pentru $\zeta=1,98$. $R_{max}=0,51$ mm. Intervalul între cadre este 1 μ s

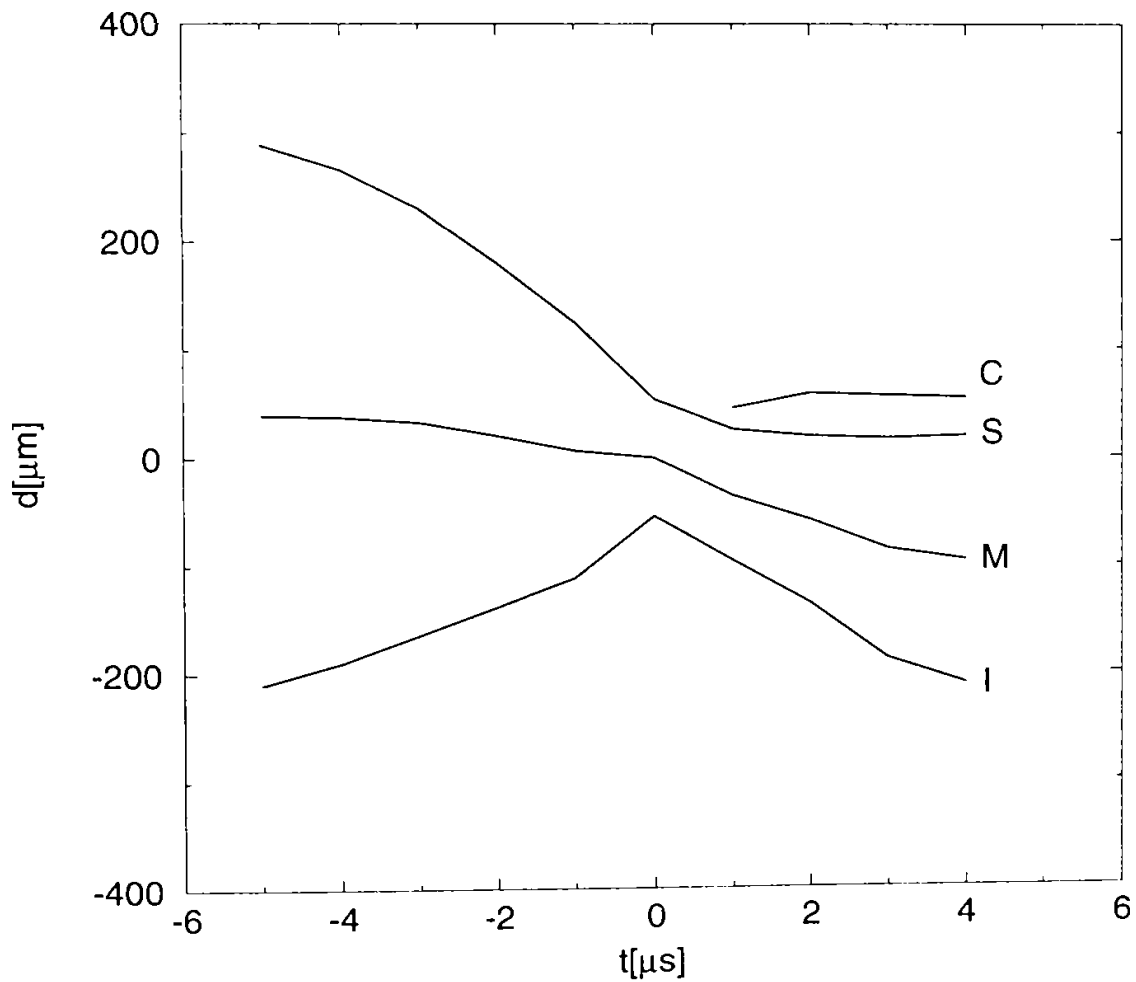


Figura 5.33. Variatia in timp a pozitiei "contrajetului" (C), peretelui superior (S), mijlocului (M) si peretelui inferior (I) al bulei situată in solutia 0,5% PAM pentru $t=1,98$. $R_{max}=0,63$ mm. Intervalul între cadre este 1μ s

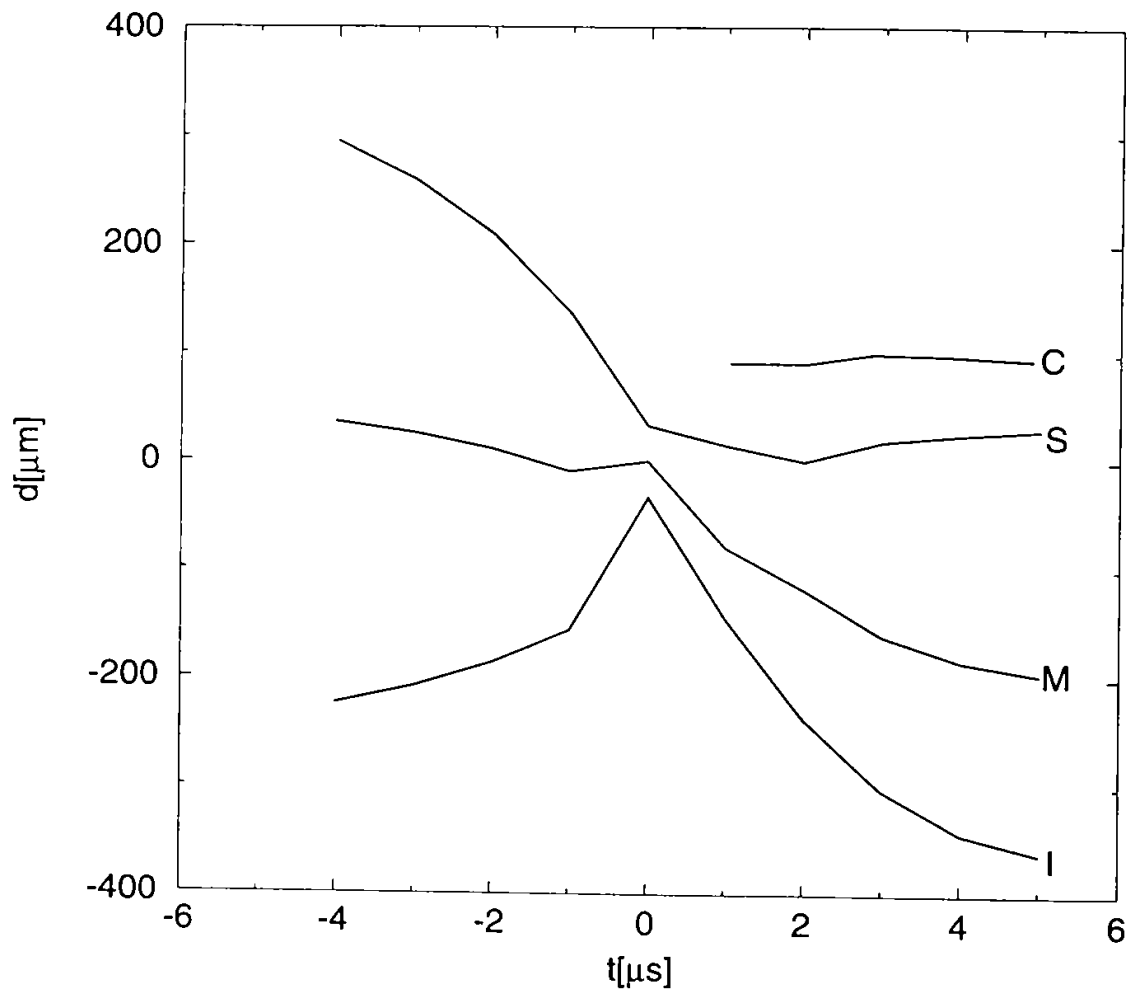


Figura 5.34. Variatia în timp a poziției "contrajetului" (C), peretelui superior (S), mijlocului (M) și peretelui inferior (I) al bulei situată în apă pentru $\beta=1,67$. $R_{max}=0,61\text{mm}$. Intervalul între cadre este $1\ \mu\text{s}$

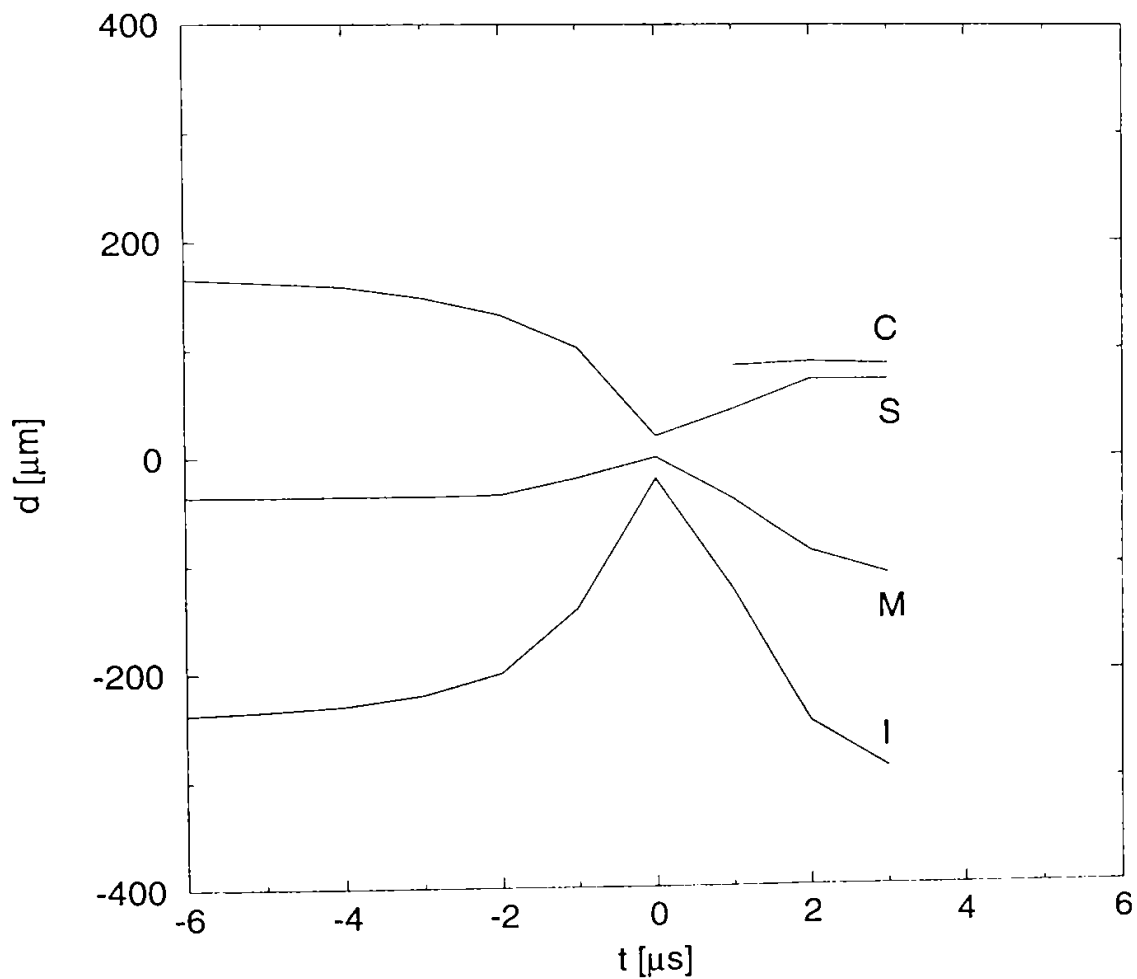
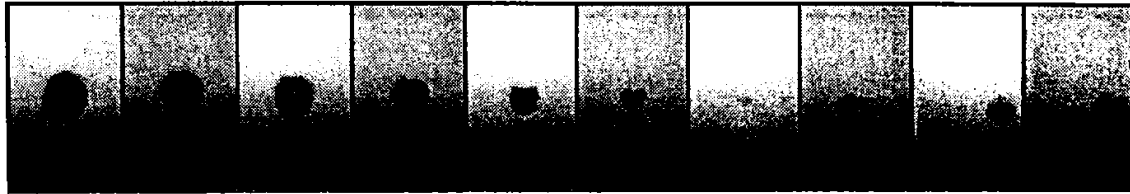


Figura 5.35. Variatia în timp a pozitiei "contrajetului" (C), peretelui superior (S), mijlocului (M) și peretelui inferior (I) al bulei situată în solutia 0,5% CMC pentru $\gamma=1,67$. $R_{max}=0.45\text{mm}$. Intervalul între cadre este $1\ \mu\text{s}$

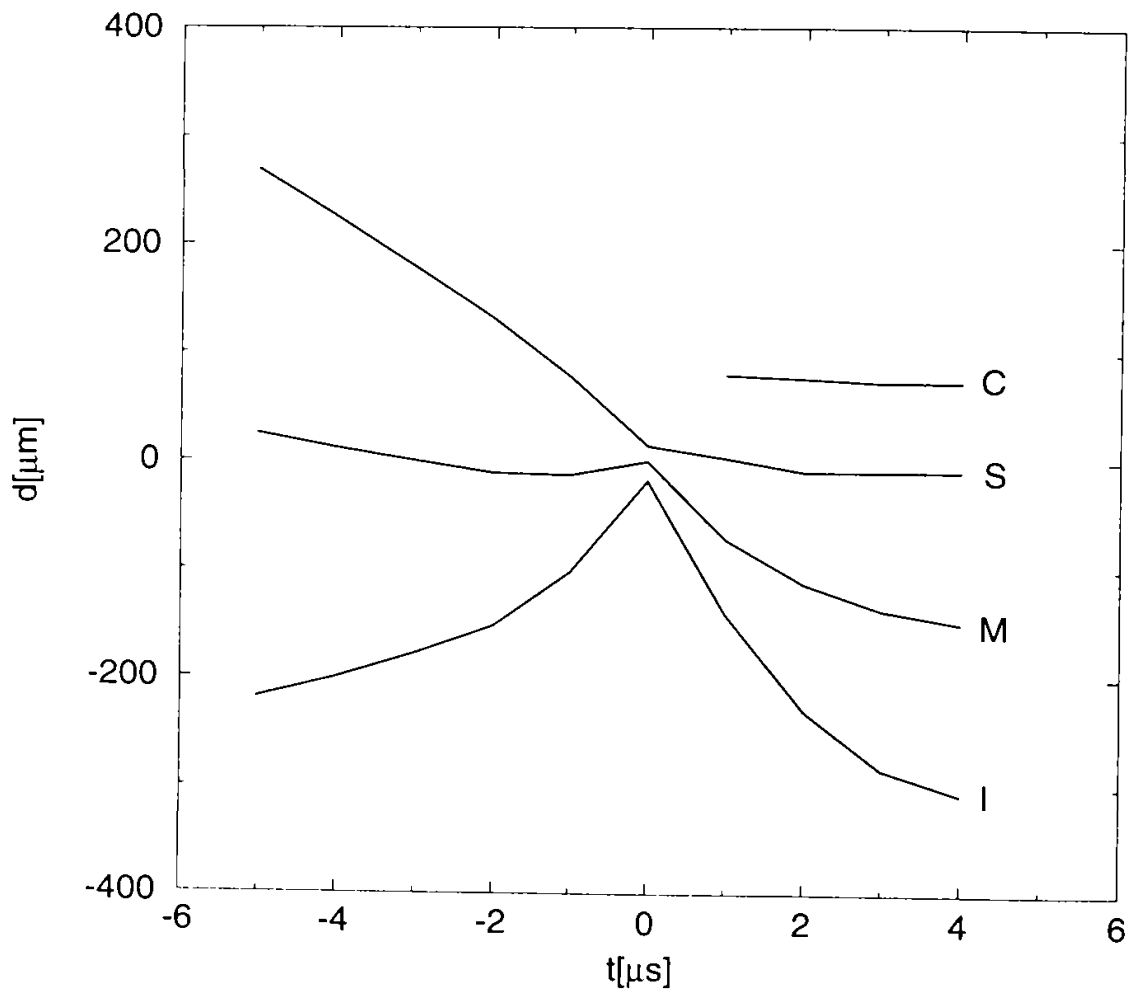


Figura 5.36. Variația în timp a poziției "contrajetului" (C), peretelui superior (S), mijlocului (M) și peretelui inferior (I) al bulei situată în soluția 0.5% PAM pentru $\gamma=1,67$. $R_{max}=0,5\text{mm}$. Intervalul între cadre este $1\ \mu\text{s}$

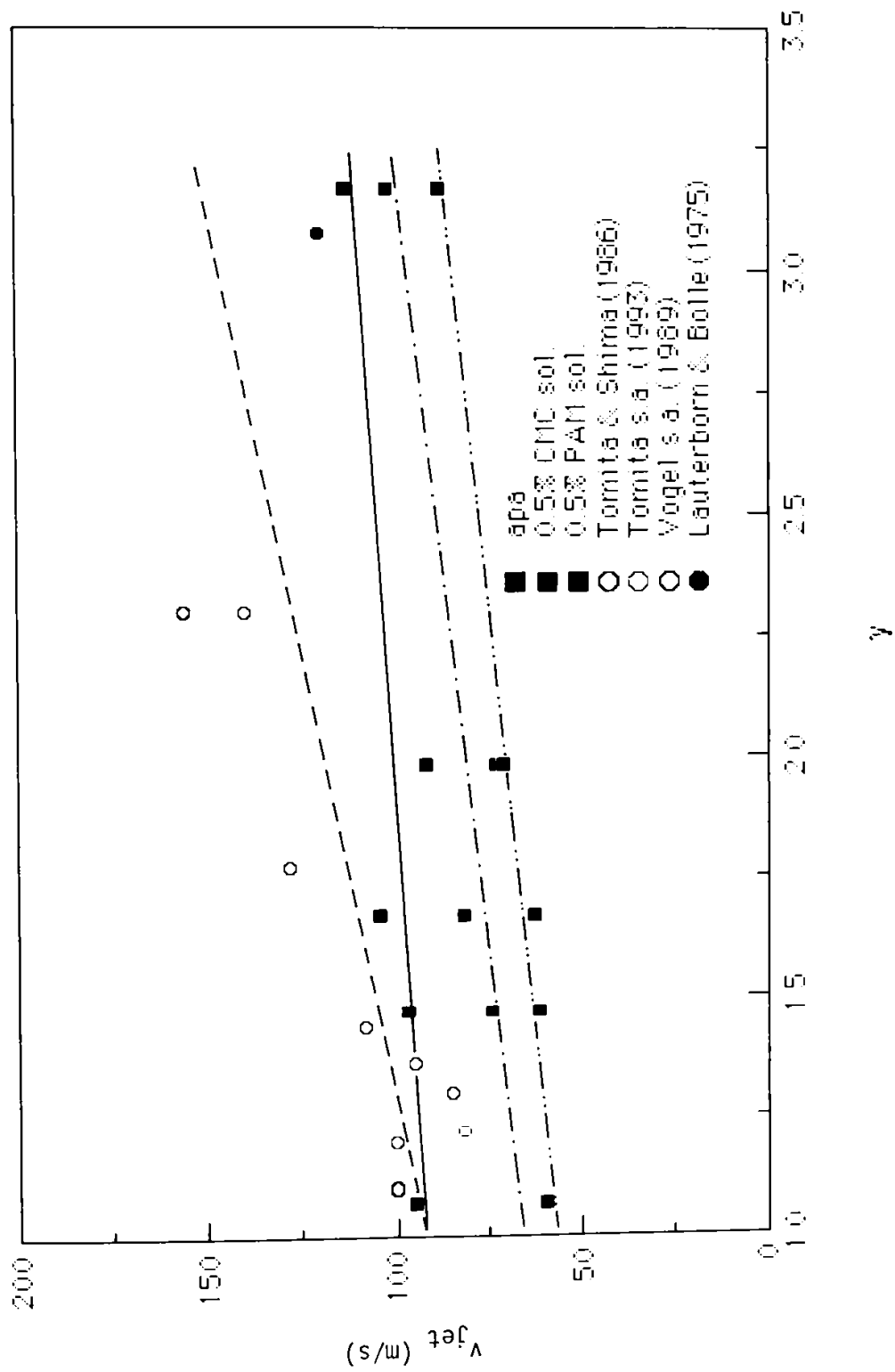


Figura 5.37. Viteza maxima a jetului lichid care strabate interiorul bulei în timpul colapsului în functie de distanta adimensionala între bula si peretele solid

viteza maximă a jetului este aproximativ 140 m/s când $R_{\max} > 3$ mm. Notăm, totuși, că numărul valorilor obținute experimental este mult prea mic pentru a clarifica influența razei maxime a bulei dar această influență este sugerată și de rezultatele experimentale obținute de Tomita și Shima [137].

Influența aditivării cu polimeri se manifestă prin reducerea vitezei maxime a jetului și este observată pe întreg domeniul γ investigat. Comparativ cu cazul apei viteza maximă a jetului este, în medie, mai mică cu 18% în cazul bulei situată în soluția 0,5% CMC și cu 31% în cazul bulei situată în soluția 0,5% PAM. Reducerea vitezei maxime a jetului la micșorarea parametrului γ este observată și atunci când colapsul bulei are loc în soluțiile de polimeri. De exemplu, la $\gamma = 3,17$ valoarea maximă a vitezei jetului este 113 m/s când bula este situată în apă, 102 m/s când bula este situată în soluția 0,5% CMC și 88 m/s când bula este situată în soluția 0,5% PAM, în timp ce, la $\gamma = 1,67$ valorile corespunzătoare sunt 104 m/s (apă), 82 m/s (0,5% CMC) și, respectiv, 63 m/s (0,5% PAM). În cazul colapsului bulei în soluții apoase de polimeri nici o altă dată, experimentală sau numerică, nu există în literatură pentru comparație.

Diminuarea vitezei maxime a jetului observată în cazul bulei situată în soluția 0,5% CMC și, respectiv, 0,5% PAM este datorată viscozității mai mari a soluțiilor de polimeri. Forțele de viscozitate sunt invers proporționale cu raza de curbură a peretelui bulei. Efectul forțelor de viscozitate se manifestă prin decelerarea peretelui superior al bulei și este mult mai puternic după formarea jetului din cauza diferențelor între razele de curbură ale peretelui superior al bulei înainte și după formarea jetului (pentru vizualizarea acestei diferențe vezi Figura 5.22). Dar și elasticitatea lichidului contribuie la diminuarea vitezei jetului. După cum a fost arătat de Kim [93] efectul elasticității lichidului se manifestă prin atenuarea puternică a fazei finale a colapsului bulei. Chiar și în cazul unei elasticități mici a lichidului, corespunzătoare unei valori a timpului de relaxare de 10^{-5} s, atenuarea fazei finale a colapsului este mai mare decât în cazul unui lichid newtonian. Atenuarea este datorată efortului viscoelastic a cărui valoare crește substanțial la creșterea vitezei de deformare a lichidului (proporțională cu viteza peretelui bulei și invers proporțională cu raza de curbură a acestuia). Viteza peretelui superior al bulei este superioară vitezei oricărei alte regiuni a peretelui bulei iar raza de curbură a jetului este cea mai mică astfel încât influența elasticității lichidului se manifestă puternic asupra jetului. Va determina decelerarea jetului și, în final, diminuarea vitezei maxime a acestuia. O componentă elastică are soluția 0,5% PAM și în acest caz inhibarea evoluției jetului este evidentă. Din analiza datelor prezentate în Figurile 5.28 - 5.36 rezultă că în momentul formării jetului viteza peretelui superior al bulei este cuprinsă între 5 și 20 m/s cu aproximativ un ordin de mărime mai mică decât valoarea corespunzătoare în apropierea punctului final al colapsului. Însă efectul elasticității lichidului se manifestă numai la viteze mari și raze de curbură mici ale peretelui bulei și, în consecință, influența elasticității lichidului asupra evoluției inițiale a jetului este nesemnificativă. Această observație este susținută și de concluzia investigațiilor teoretice ale lui Hara și Schowalter [92] referitoare la rolul minor al elasticității lichidului atât timp cât investigațiile lor sunt restrânse la faza incipientă a colapsului bulei.

Valorile vitezei maxime ale jetului obținute în cazul colapsului bulei în apă sunt mai mici decât cele obținute în experimentele numerice. Tabelul 5.2 prezintă valorile obținute numeric precum și ipotezele simplificatorii adoptate în aceste investigații. Cu excepția a două rezultate, [186, 204], ipoteza de bază este neglijarea viscozității lichidului. Numai într-un singur experiment numeric [211] se consideră compresibilitatea lichidului. O reducere a vitezei maxime a jetului se remarcă atunci când se consideră viscozitatea lichidului precum și

Tabelul 5.2. Viteza maximă a jetului obținută prin modelarea matematică a colapsului bulei în apropierea unui perete solid .

Sursa	Ipozeze adoptate	Viteza jetului (m/s)	γ
Plesset si Chapman (1971) [198]	$\eta = 0 ; \sigma = 0 ; C_{\infty} \rightarrow \infty ;$ fără continut de gaz în interiorul cavității	130	1
		170	1,5
Blake s.a. (1986) [200]	$\eta = 0 ; \sigma = 0 ; C_{\infty} \rightarrow \infty ;$ fără continut de gaz în interiorul cavității	86	1
		110	1,5
		161	2
Zhang s.a. (1993) [197]	$\eta = 0 ; \sigma = 0 ; C_{\infty} \rightarrow \infty ;$ fără continut de gaz în interiorul cavității	91	1,1
		116	1,5
		121	1,75
Tomita s.a. (1996) [217]	$\eta = 0 ; \sigma = 0 ; C_{\infty} \rightarrow \infty ;$ fără continut de gaz în interiorul cavității	81	1
		102	1,5
		148	2
		232	2,5
		300	3
Best si Kucera (1992) [210]	$\eta = 0 ; \sigma = 0 ; C_{\infty} \rightarrow \infty ;$ interiorul cavității cu continut de gaz ; evolutie adiabatică	95	1,5
Tipton s.a. (1992) [211]	$\eta = 0 ; \sigma = 0 ; C_{\infty} \rightarrow \infty ;$ fără continut de gaz în interiorul cavității	100	1,4
Nakajima si Shima (1977) [204]	$\eta = 10^{-3} \text{ Pas} ; \sigma = 0 ; C_{\infty} \rightarrow \infty$ fără continut de gaz în interiorul cavității	60	1,5
Eick (1992) [186]	$\eta = 10^{-3} \text{ Pas} ; \sigma = 0 ; C_{\infty} \rightarrow \infty$ fără continut de gaz în interiorul cavității	84	1,5
		79	2

evolutia gazului din interiorul cavitatii. Acordul teorie-experiment pentru colapsul bulei în apă este bun pentru valori mici ale parametrului γ dar modest la valori γ mari ($\gamma \cong 2,5$ sau $\gamma \cong 3$). Valoarea vitezei maxime a jetului obținută experimental este 120 m/s la $\gamma = 3,08$ în [191] și 113 m/s la $\gamma = 3,17$ în prezenta investigație în comparație cu valoarea 300 m/s obținută numeric la $\gamma = 3$ [217]. În plus, valoarea obținută experimental este 140 m/s [218] și 156 m/s când $\gamma = 2,3$ dar valoarea obținută numeric este 232 m/s când $\gamma = 2,5$ [217]. Cauza principală a acestor diferențe este, mai degrabă, neglijarea compresibilității decât a viscozității apei. După cum a fost arătat, în cazul colapsului sferic al bulei în apă, compresibilitatea lichidului este parametrul cel mai important în atenuarea colapsului în timp ce influența viscozității este nesemnificativă. La valori γ mari colapsul bulei este sferic în cea mai mare parte a evoluției cu excepția fazei finale a colapsului când se formează jetul. Vitezele de colaps ale peretelui bulei sunt, în acest caz, de ordinul de mărime al vitezei sunetului în lichid și compresibilitatea lichidului trebuie considerată. Când colapsul are loc la valori γ mici simetria sferică a colapsului este distrusă mai devreme (jetul se formează mai devreme la valori γ mici decât la valori γ mari) astfel încât vitezele de colaps ale peretelui bulei sunt mult mai mici decât viteza sunetului în lichid și ipoteza compresibilității lichidului este valabilă. Din această cauză acordul teorie-experiment pentru evoluția jetului format în timpul colapsului bulei în apă este bună la valori γ mici. Experimentul numeric prezentat de Tipton s.a. [211], care include efectul compresibilității lichidului, este neconcludent atât timp cât la valoarea γ investigată ($\gamma = 1,4$) cea mai mare viteză de colaps a peretelui bulei (110 m/s pentru jet) este mult inferioară vitezei sunetului în lichid și influența compresibilității este oricum neglijabilă. Modelarea corectă a colapsului bulei în lichide newtoniene este extrem de complicată pentru că trebuie să considere, pe lângă compresibilitatea lichidului, atât viscozitatea (dependentă de viteza peretelui bulei) cât și elasticitatea lichidului (timpul de relaxare al lichidului poate fi la rândul său dependent de viteza peretelui bulei)

5.3.5. Natura structurii prezentă în apropierea peretelui superior al bulei

Prezentul experiment a scos în evidență că structura la partea superioară a bulei este prezentă dacă $1 < \gamma < 2$ iar influența aditivării cu polimeri se manifestă prin reducerea intervalului γ pentru care structura este observată. De exemplu, când bula evoluează în soluția 0,5% PAM structura este observată pentru $1,1 < \gamma < 1,9$. Observații similare pentru cazul situării bulei în apă sunt prezentate de van der Meulen [195] când $\gamma = 1,71$ și Tomita [201] când $\gamma < 2$.

Ipoteza contrajetului, adică a unui jet format prin involuția peretelui inferior al bulei, a fost sugerată pentru prima dată de Vogel s.a. [138]. La baza acestei ipoteze a stat observația că, în faza finală a colapsului, viteza peretelui inferior al bulei este superioară celei a peretelui superior pentru valori $\gamma < 2$. După Vogel s.a. [138], care urmăresc evoluția bulei situată în apă, când $\gamma > 2,3$, viteza maximă a jetului este 110 m/s în timp ce viteza maximă a peretelui inferior este 90 m/s, însă, când $\gamma < 2$, viteza maximă a peretelui inferior al bulei (140 m/s) este mai mare decât cea a peretelui superior (110 m/s). Jetul este format cu atât mai devreme cu cât parametrul adimensional γ are valori mai mici. Imediat ce jetul este format, peretele superior al bulei este decelerat mult mai puternic decât peretele inferior al

bulei (care are o rază de curbură mai mare) și viteza finală a peretelui superior va fi mai mică la valori γ mici. Pentru comparație se prezintă în Tabelul 5.3 valorile obținute în prezenta investigație, pentru viteza maximă a peretelui superior și inferior al bulei situată atât în apă cât și în cele două soluții de polimeri. Valorile sunt determinate folosind variația în timp a poziției peretelui superior și inferior al bulei prezentată în Figurile 5.28 - 5.36.

Tabelul 5.3. Valorile vitezei maxime ale peretelui superior (vps) și inferior (vpi) al bulei pentru trei valori ale parametrului γ .

Solutia apă	Viteze	$\gamma = 3,17$	$\gamma = 1,98$	$\gamma = 1,67$
		vps (m/s)	113	90
	vpi (m/s)	40	125	123
0,5% CMC	vps (m/s)	102	73	82
	vpi (m/s)	35	70	120
0,5% PAM	vps (m/s)	88	71	63
	vpi (m/s)	30	57	126

Pentru anumite valori γ , atât în apă cât și în soluțiile de polimeri, viteza peretelui inferior al bulei este mai mare decât cea a peretelui superior. La $\gamma = 3,17$, în orice lichid testat, valoarea vitezei maxime a peretelui superior al bulei este superioară celei a peretelui inferior și structura nu este observată (Figura 5.15) în timp ce, la $\gamma = 1,67$, valoarea maximă a vitezei peretelui inferior este mai mare și structura este observată (Figura 5.18). La $\gamma = 1,98$ structura este prezentă când bula este situată în apă și soluția 0,5% CMC dar nu este observată în cazul soluției 0,5% PAM (Figura 5.17). În acest ultim caz (0,5% PAM) viteza maximă a peretelui superior al bulei este mai mare decât cea a peretelui inferior. Valorile vitezelor obținute par să sprijine ipoteza contrajetului. Singura deficiență (și cea mai importantă) în susținerea ipotezei contrajetului este faptul că acest contrajet nu a fost observat nici în prezentul experiment, nici în experimentele anterioare [138, 142, 191, 195, 196, 201]. Figura 5.26 este un exemplu care ilustrează clar absența contrajetului. Alte exemple sunt prezentate în Figurile 5.38 - 5.40 care arată evoluția bulei situată în apă în faza finală a colapsului când $\gamma = 1,89$, $\gamma = 1,41$ și, respectiv, $\gamma = 1,2$. Este urmărită evoluția bulei în apă deoarece contrastul cadrului fotografic este cel mai bun. Raza maximă a bulei este $R_{\max} = 1,45$ mm iar secvențele sunt înregistrate cu 1.000.000 imagini/s. Succesiunea cadrelor este de jos în sus și de la stânga la dreapta. Înainte de punctul final al colapsului numai jetul îndreptat spre peretele solid este observat în orice cadru al figurilor.

Punctul de plecare în stabilirea unui nou scenariu care să explice formarea structurii la partea superioară a bulei este observația că la valori $\gamma < 2$ impactul între jet și peretele inferior al bulei are loc înainte de punctul final al colapsului, când jetul și peretele inferior al bulei se deplasează unul către celălalt. Impactul este observat cu $1 \mu\text{s}$ înainte de punctul final al colapsului când $\gamma = 1,89$, cu $2 \mu\text{s}$ când $\gamma = 1,41$ și cu $5 \mu\text{s}$ când $\gamma = 1,2$. Observația este valabilă și în cazul bulei situată în soluția 0,5% PAM când $\gamma = 1,67$ (Figura 5.19). În momentul impactului mici cavități din gazul din interiorul bulei aflat între frontul jetului și peretele inferior al bulei sunt captate și împinse în direcția în care se deplasează peretele bulei cu viteza cea mai mare. În Figura 5.39 cavitățile de gaz captat pot fi observate în interiorul bulei ca o pată neagră în cadrul 3 iar în următoarea microsecundă (cadrul 4) sunt împinse la partea superioară a bulei. Ulterior punctului final al colapsului cavitățile se vor comporta ca mici bule care evoluează separat. Captarea unor mici cantități de gaz este observată și de Shi s.a. [220] în cazul impactului unui jet cilindric (cu o viteză mai mare de 300 m/s) cu suprafața

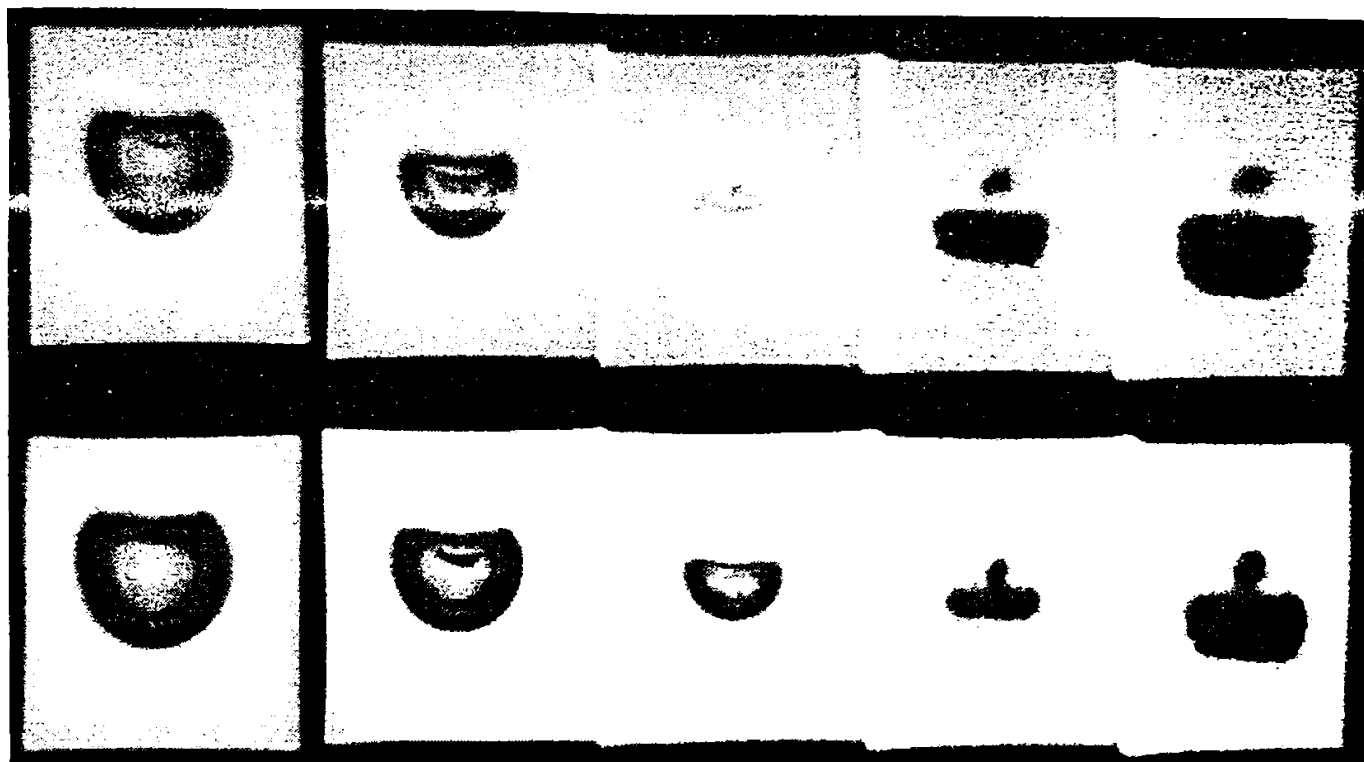


Figura 5.38. Evolutia bulei situata în apă pentru $\gamma=1,89$. $R_{max}=1,45$ mm. Succesiunea cadrelor este de jos în sus și de la stânga la dreapta. Intervalul între cadre este $1 \mu s$

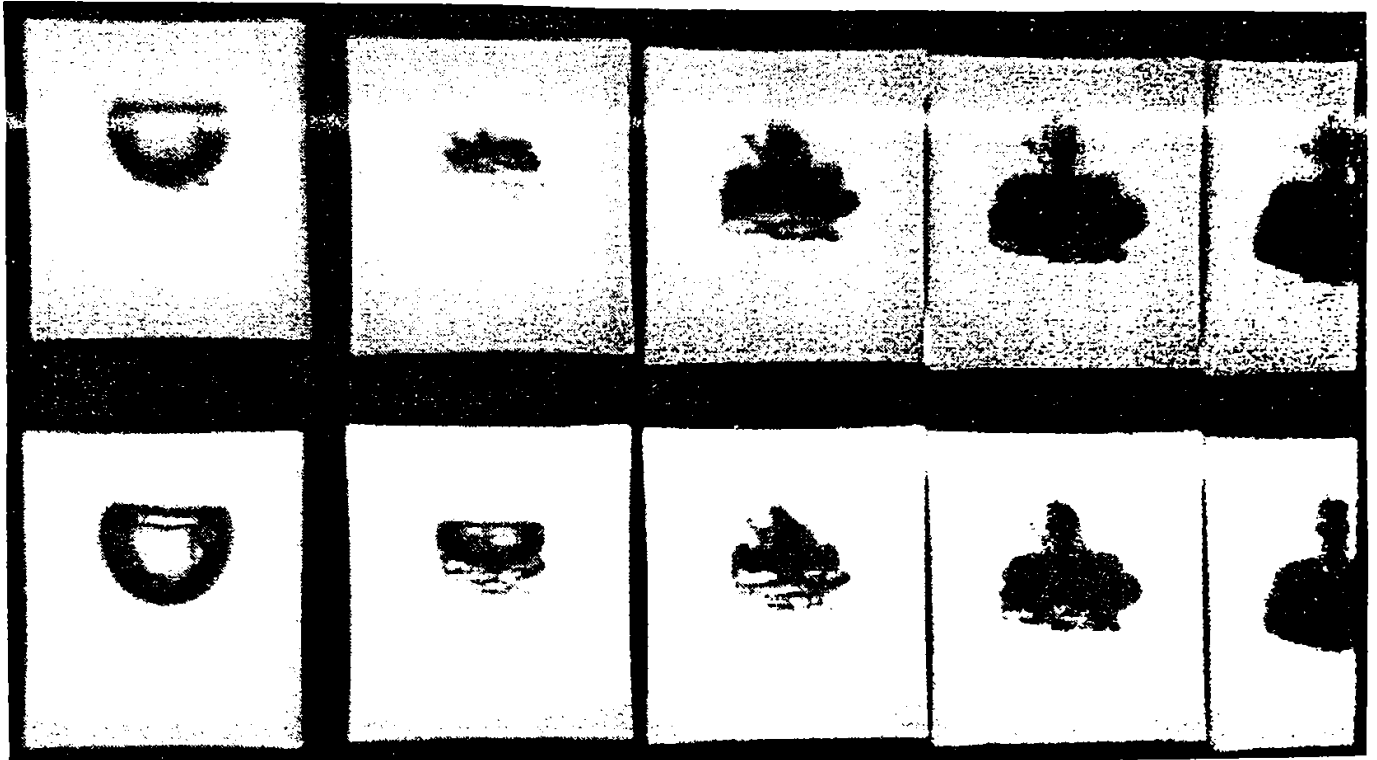


Figura 5.39. Evolutia bulei situată în apă pentru $r=1,41$. $R_{max}=1.45\text{mm}$. Succesiunea cadrelor este de jos în sus și de la stânga la dreapta. Intervalul între cadre este $1\ \mu\text{s}$

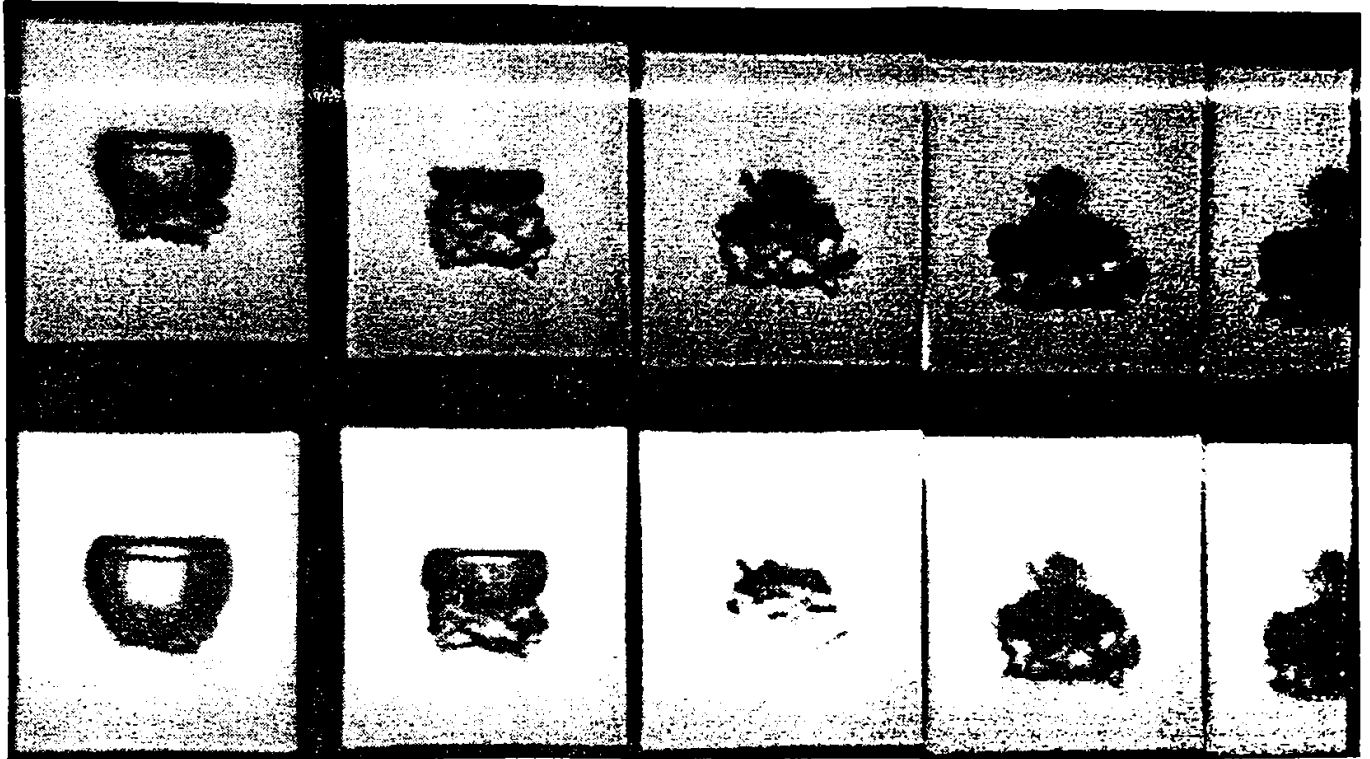
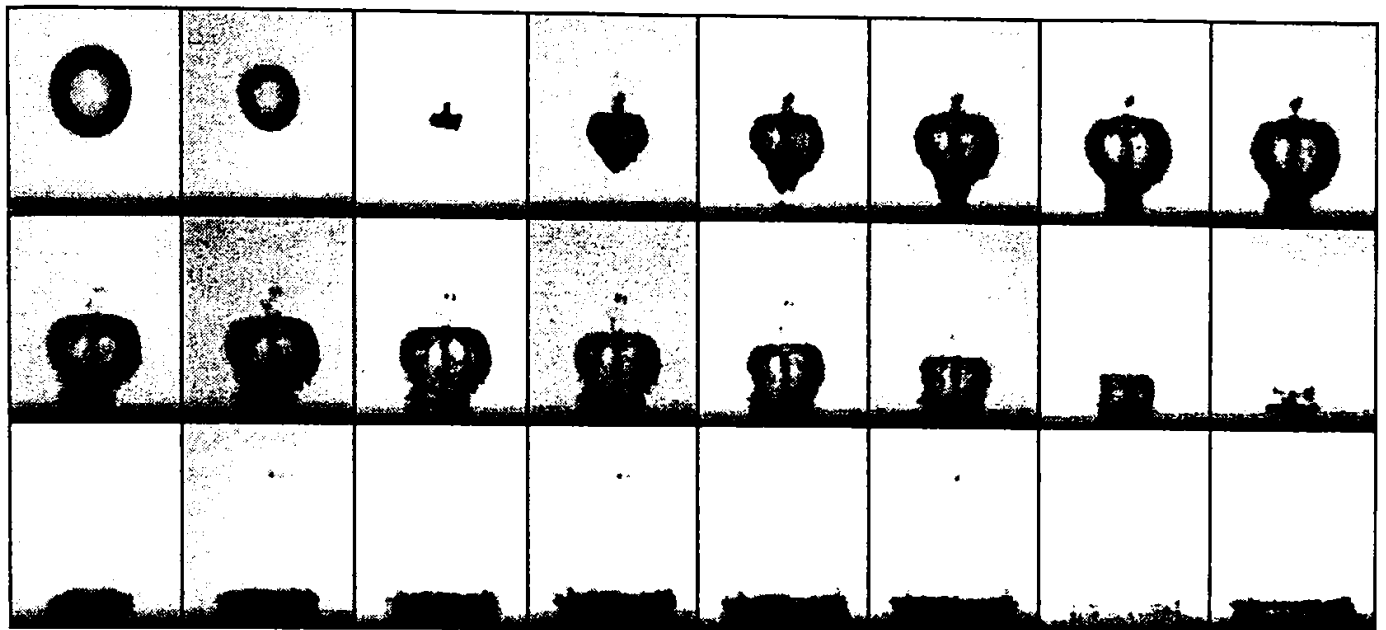
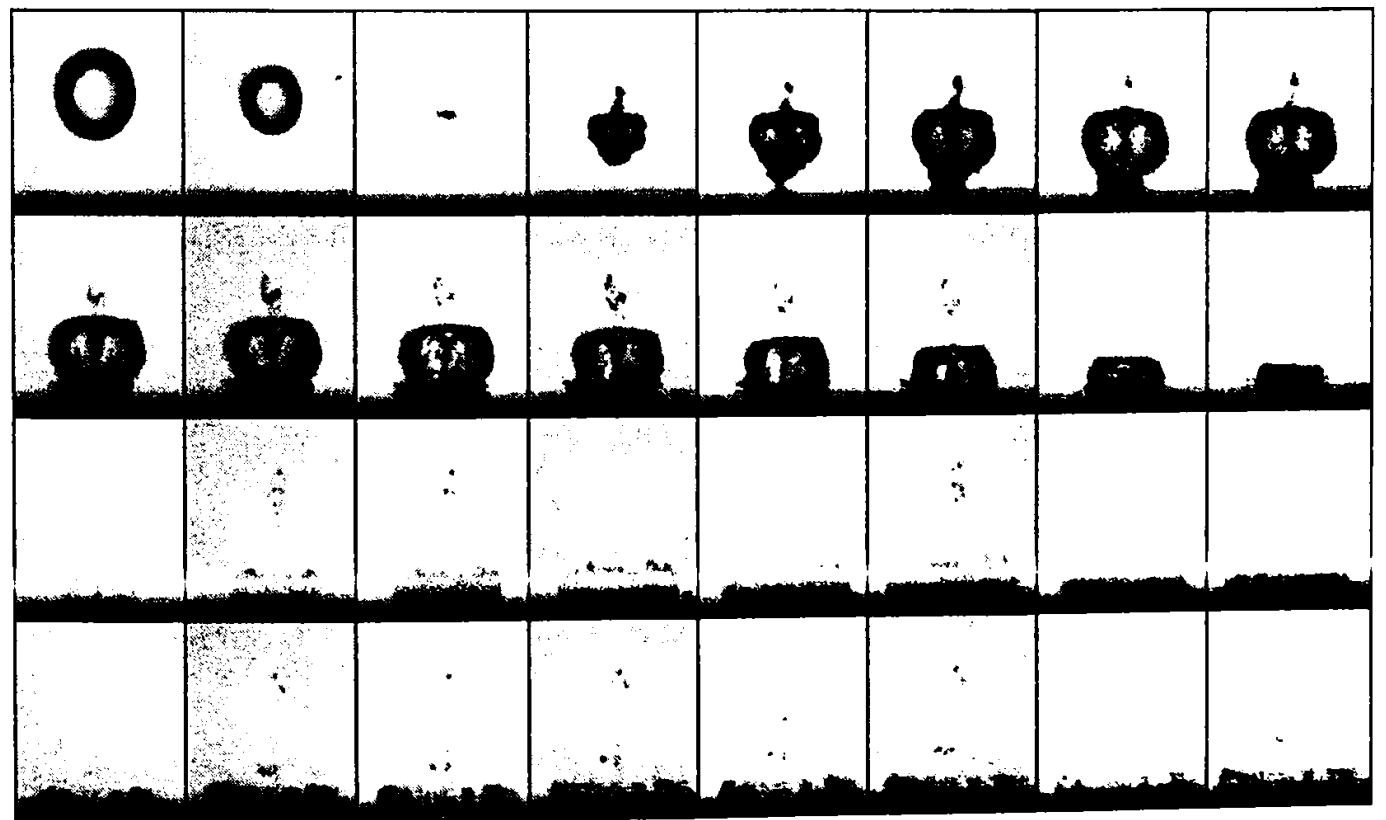


Figura 5.40. Evolutia bulei situată în apă pentru $\delta=1,2$. $R_{max}=1,45mm$. Succesiunea cadrelor este de jos în sus și de la stânga la dreapta. Intervalul între cadre este $1 \mu s$



$R_{\max} = 1.45 \text{ mm}$ $\gamma = 1.7$



$R_{\max} = 1.45 \text{ mm}$ $\gamma = 1.6$

Figura 5.41. Evolutia bulei situată în apă pentru $\gamma=1,7$ și $\gamma=1,6$. Raza maximă a bulei este 1,45 mm. Intervalul între cadre este 20 μs

liberă a unui lichid aflat în repaus. Cavitățile sunt împinse în direcția în care se deplasează suprafața cu viteza mai mare (jetul). La valori γ mari ($\gamma > 2$) viteza maximă a peretelui inferior este mai mică decât cea a jetului iar cavitățile captate în urma impactului sunt împinse înspre peretele solid. Un exemplu în acest sens este observat în cazul bulei situată în soluția 0,5% CMC când $\gamma = 3,17$ (Figura 5.15). În plus, după Vogel s.a. [138], la valori $\gamma > 2$, impactul jetului cu peretele opus al bulei are loc după punctul final al colapsului când jetul și peretele inferior se deplasează în același sens. Structura nu este formată nici la valori $\gamma < 1$ pentru că prezența peretelui solid determină o viteză foarte mică a peretelui inferior al bulei și, deși impactul are loc înainte de punctul final al colapsului, cavitățile de gaz sunt împinse înspre peretele solid.

Reducerea vitezei relative de impact a peretelui superior și inferior al bulei situată în soluțiile de polimeri este cauza inhibării formării și evoluției structurii. După cum a fost arătat în paragraful precedent viscozitatea și elasticitatea soluției contribuie la diminuarea vitezei finale a celor doi pereti ai bulei. La $\gamma = 1,98$, viteza relativă de impact este 215 m/s în cazul apei, 143 m/s în cazul soluției 0,5% CMC și numai 128 m/s în cazul soluției 0,5% PAM. Absența cavităților de gaz atât la partea inferioară cât și la partea superioară a bulei situată în soluția 0,5% PAM pentru valorile $\gamma = 1,98$ (Figura 5.17), $\gamma = 2,17$ (Figura 5.16) și $\gamma = 3,17$ (Figura 5.15) se datorează faptului că în aceste cazuri nu există un impact între jet și peretele opus al bulei nici înainte și nici după punctul final al colapsului. Atât în apă cât și în soluțiile de polimeri viteza relativă între peretele superior și inferior crește la reducerea distanței adimensionale între bulă și peretele solid. De exemplu, în cazul soluției 0,5% PAM viteza relativă între polul superior și inferior al bulei este 118 m/s la $\gamma = 3,17$, 128 m/s la $\gamma = 1,98$ și 169 m/s la $\gamma = 1,67$. Aceasta explică de ce structura este mai pregnant observată la valori γ mici și, în particular, apariția structurii la partea superioară a bulei situată în soluția 0,5% PAM când $\gamma = 1,67$ și $\gamma = 1,47$. Cea mai clară vizualizare a faptului că structura la partea superioară a bulei este formată din mici cavități de gaz se poate face atunci când se urmărește evoluția bulei o perioadă mare de timp. Figura 5.41 prezintă evoluția bulei situată în apă când $\gamma = 1,7$ și, respectiv, $\gamma = 1,6$. Peretele solid este situat la baza fiecărui cadru fotografic. Deși în faza inițială a recuperării bulei structura este compactă ulterior se observă micile cavități din care este formată și care oscilează separat de bulă care le-a generat. Cavitățile se observă în cadrele 9 -24 când $\gamma = 1,7$ și în cadrele 9 - 32 când $\gamma = 1,6$.

În concluzie, existența contrajetului, adică a unui al doilea jet în interiorul bulei cu o mișcare opusă jetului îndreptat spre peretele solid, este contestată. Structura observată la partea superioară a bulei este alcătuită din mici cavități de gaz captate în urma impactului între jet și peretele opus al bulei înainte de punctul final al colapsului. Mărirea vitezei finale a peretelui inferior și superior al bulei (influențată de proprietățile viscoelastice ale lichidului) determină sensul în care cavitățile sunt împinse. Acest mecanism a fost sugerat inițial în [221].

5.3.6. Distribuția presiunii în lichidul înconjurător bulei

Distribuția presiunii în lichidul înconjurător bulei este determinată calitativ folosind interferometria holografică cu dublă expunere. Este pentru prima dată când distribuția de presiune în lichidul înconjurător cavității este pusă în evidență în cazul oscilației libere a bulei.

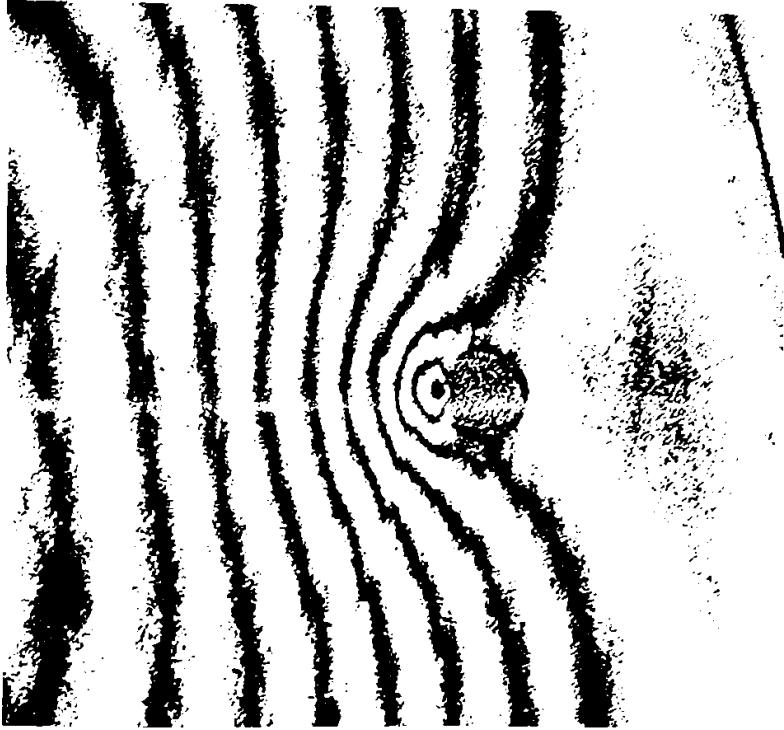
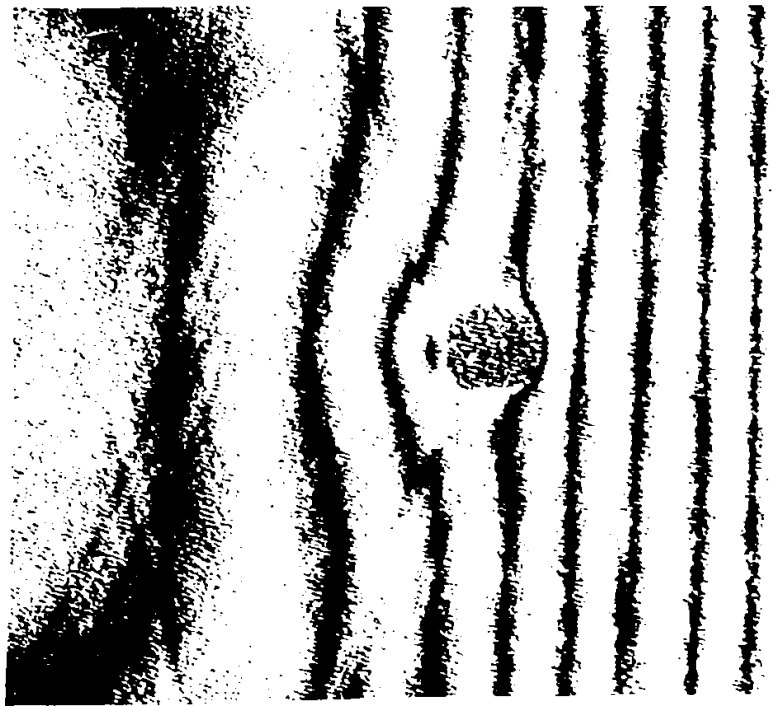


Figura 5.42. Distribuția presiunii în lichidul înconjurător bulei situată în apă pentru $f=1,5$. $R_{max}=1,5\text{mm}$. Franjele indică contururile de egală presiune

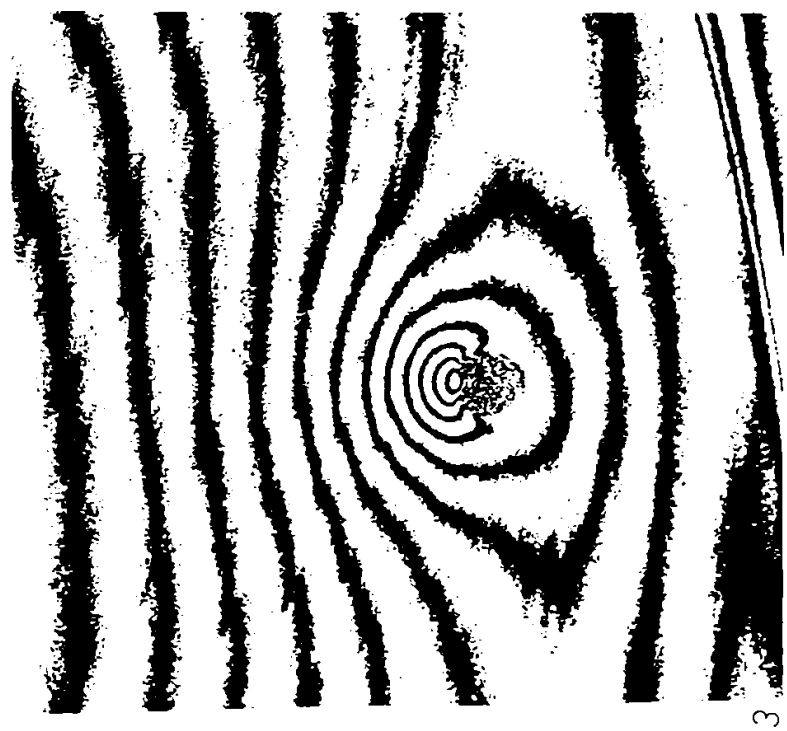
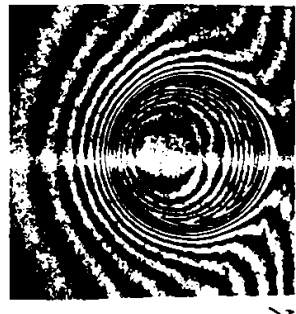
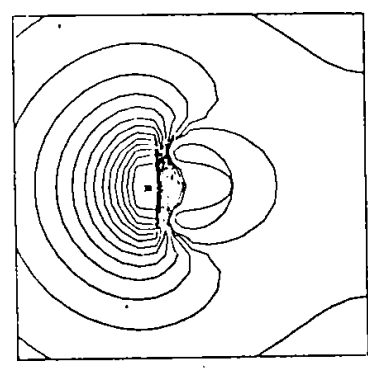
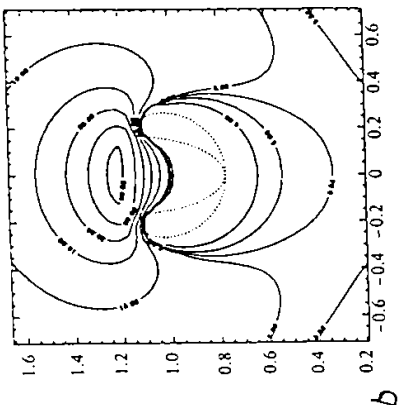
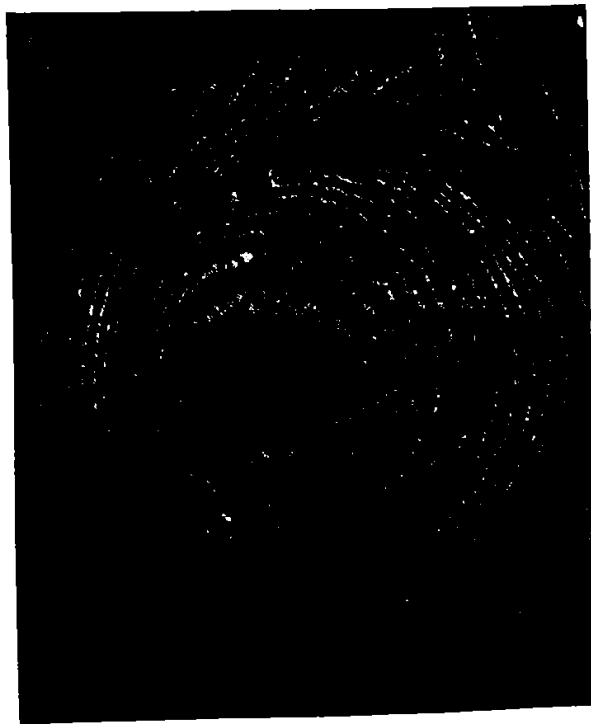
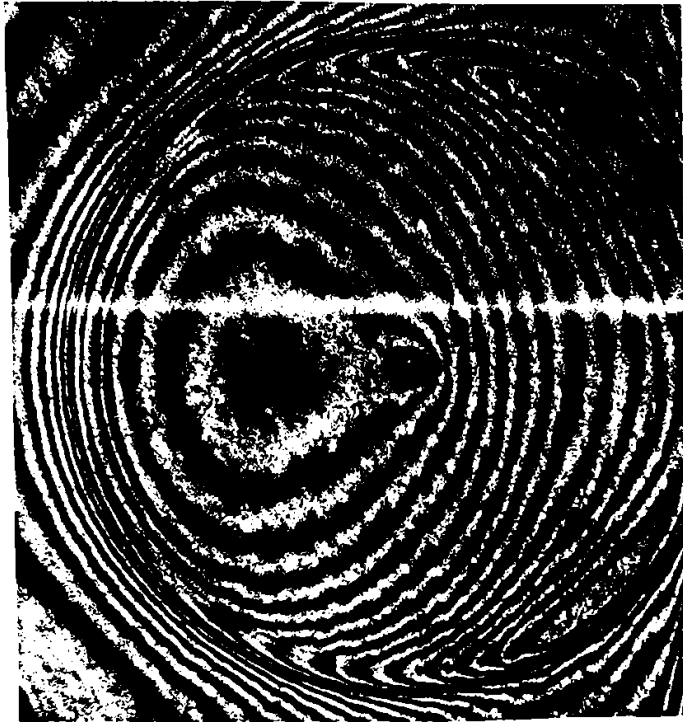


Figura 5.42. continuare



1



2

Figura 5.43. Distribuția presiunii în lichidul înconjurător bulei situată în soluția 0,5% PAM pentru $f=1,5$ în două momente ale evoluției bulei în faza de recuperare. $R_{max}=1,6\text{mm}$. Franjele indică contururile de egală presiune

Figura 5.42 prezintă faza finală a colapsului bulei situată în apă când $\gamma = 1,5$. Raza maximă a bulei este 1,5 mm și a fost determinată ținând seama că este proporțională cu rădăcina cubică a energiei pulsului laser. Intervalul de timp între două cadre succesive este 1000 ± 80 ns iar primul cadru este preluat la 166 μ s de la declansarea laserului. Peretele solid este localizat la partea inferioară a fiecărui cadru holografic și în afara acestuia. După cum a fost deja menționat franjele indică contururile de egală presiune dar amplitudinea presiunii pe fiecare contur nu poate fi precizată din cauza caracterului tridimensional al mișcării. O concentrare a franjelor într-o anumită zonă pe hologramă indică o creștere a presiunii în regiunea corespunzătoare din lichid. După cum se observă în primul cadru al secvenței, imediat ce curbura peretelui superior al bulei devine convexă pentru a forma jetul, un maxim de presiune este localizat la partea superioară a bulei. Restul franjelor (contururilor de egală presiune) sunt paralele cu suprafața peretelui solid cu o ușoară distorsiune în regiunea de pe hologramă (din lichid) din vecinătatea bulei. Pe măsura continuării colapsului bulei amplitudinea maximului local de presiune crește și o asimetrie a distribuției de presiune pe direcția normală la peretele solid este observată. Franjele sunt mult mai dense în partea superioară a bulei decât în partea inferioară indicând o valoare mai mare a presiunii deasupra bulei (cadrul 2). Cadrul 3 este obținut înaintea punctului final al colapsului dar intervalul de timp până în acest punct nu poate fi precizat. Maximul local de presiune în apropierea peretelui superior al bulei este acum cel mai bine vizualizat. În aceeași figură, pentru comparație cu experimentul, sunt prezentate și două portrete ale distribuției de presiune în lichidul înconjurător bulei obținute numeric de Blake s.a. [200] și Zhang s.a. [197] folosind metoda elementului de frontieră. Ipotezele în care cele două experimente numerice au fost conduse sunt prezentate în Tabelul 5.2. Este de evidențiat acordul remarcabil între experiment și teorie în ceea ce privește contururile de egală presiune în lichidul înconjurător bulei. Contururile situate la partea superioară a bulei sunt descrise perfect de experimentul numeric. Cadrul 4 este preluat după punctul final al colapsului în faza de recuperare a bulei. Nici în acest caz intervalul de timp scurs între punctul final al colapsului și momentul înregistrării cadrului nu poate fi precizat. Unda de soc emisă în timpul recuperării bulei este vizibilă ca un set de franje circulare (în realitate contururile de egală presiune sunt sferice) în jurul bulei. Centrul acestor contururi nu corespunde exact cu centrul bulei din cauza migrației bulei înspre peretele solid în timpul scurs între emisia undei de soc și momentul înregistrării cadrului.

Figura 5.43 prezintă două aspecte ale evoluției bulei situată în soluția 0,5% PAM. Cu toate eforturile depuse aspectul bulei înainte de punctul final al colapsului nu a putut fi înregistrat. Cadrele prezintă aspectul bulei în faza de recuperare. În acest caz $\gamma = 1,5$ și raza maximă a bulei este $R_{\max} = 1,6$ mm. Aspectul franjelor, care indică unda de soc, arată o anizotropie a distribuției presiunii atât timp cât numărul franjelor este mai mic la partea superioară decât la partea apropiată de peretele solid. Franjele se despart de conturul frontului undei de soc pe măsura depărtării de peretele solid. Observația este valabilă și în cazul bulei situată în apă (cadrul 4 al Figurii 5.42). Un rezultat similar este obținut și de Vogel s.a. [138] care, prin măsurători acustice, găsește că valoarea presiunii la 10 mm de centrul cavității este mai mică la partea superioară a bulei decât la partea inferioară când $\gamma > 1$. Amplitudinea presiunii undei de soc emisă în punctul final al colapsului bulei situată în soluția 0,5% PAM este mai mică decât în cazul situării bulei în apă. Cadrul 4 în Figura 5.42 și cadrul 1 în Figura 5.43 sunt preluate atunci când frontul undei de soc este situat la aproximativ aceeași distanță de bulă. Numărul franjelor care alcătuiesc frontul undei de soc este mai mic atunci când bula este situată în soluția 0,5% PAM decât în cazul corespunzător

bulei situată în apă. De exemplu, la partea superioară a frontului undei de soc se observă numai două franje (cadrul 1; Figura 5.43) în comparație cu 3 franje în cadrul 4 din Figura 5.42. Valoarea mai mică a presiunii este datorată colapsului mai puțin violent al bulei situată în soluția 0,5% PAM și, consecutiv, diminuării emisiei acustice în faza de recuperare a bulei.

Aspectul interesant este modificarea distribuției presiunii în lichidul din interiorul zonei mărginite de frontul undei de soc. Atât în cazul bulei situată în apă cât și în cazul bulei situată în soluția 0,5% PAM franjele sunt mai dense la partea inferioară a bulei indicând o valoare mai mare a presiunii în lichid în această regiune. Aceasta este în contrast cu distribuția presiunii înainte de emisia undei de soc când presiunea era mai mare la partea superioară a bulei. După cum a fost arătat, pentru valoarea parametrului adimensional γ investigată, intensitatea jetului lichid care străbate interiorul bulei este suficient de mare pentru a împinge peretele inferior al bulei înainte de punctul final al colapsului. Urmare a impactului o undă de presiune se propagă în lichid ca o undă de compresiune. Presiunea este mai mare în spatele frontului acestei unde și determină o creștere a presiunii în lichidul aflat la partea inferioară a bulei. Unda de presiune datorată impactului jetului cu peretele opus al bulei fiind emisă înaintea celei din punctul final al colapsului nu este observată în cadrele Figurilor 5.42 și 5.43.

Deși investigațiile numerice descriu corect distribuția presiunii în lichidul înconjurător bulei în imediata apropiere a punctului final al colapsului există totuși o neconcordanță între teorie și experiment. Prezența maximumului de presiune în vecinătatea peretelui superior al bulei este observată în prezentul experiment după formarea jetului în timp ce investigațiile numerice precizează apariția acestuia înainte de formarea jetului [186, 222]. De exemplu, experimentul numeric condus de Eick [186] arată că maximumul de presiune este prezent cu 10 μ s înainte de formarea jetului. Cauza probabilă a acestei diferențe se găsește în faza inițială a formării bulei. În ambele investigații teoretice, deși se consideră faza de expansiune a cavității, modelarea matematică a evoluției bulei începe de la o anumită dimensiune a acesteia într-un lichid în care presiunea este uniform distribuită. În cazul generării bulei cavitationale cu laser o undă de soc este emisă în timpul spărturii optice și propagarea acestei unde va modifica distribuția presiunii în lichid în faza inițială a expansiunii bulei.

5.3.7. Migrația bulei înspre peretele solid

Investigațiile optice asupra colapsului bulei în apropierea unui perete solid au pus în evidență deplasarea bulei înspre frontiera solidă. Figura 5.44 prezintă variația poziției liniei mijlocii a bulei în punctul final al colapsului, $b_{R_{min}}$, cu distanța adimensională γ între locul de formare al bulei și peretele solid. Dimensiunea maximă a bulei situată în apă este $R_{max} = 0,64 \pm 0,04$ mm, a bulei situată în soluția 0,5% CMC este $R_{max} = 0,48 \pm 0,03$ mm și a bulei situată în soluția 0,5% PAM este $R_{max} = 0,65 \pm 0,05$ mm. În figură sunt incluse și rezultatele obținute de Shima s.a. [206, 223] pentru cazul bulei situată în apă când $R_{max} = 3,5$ mm. În fiecare lichid testat deplasarea bulei înspre frontiera solidă este cu atât mai mare cu cât valoarea parametrului γ este mai mică. Influența aditivării cu polimeri se manifestă prin reducerea migrației bulei iar efectul este cu atât mai pronunțat cu cât distanța adimensională γ este mai mică și viscozitatea soluției mai mare. Un rezultat similar referitor la influența viscozității lichidului este obținut de Tomita [201] atunci când bula este situată într-o soluție de glicerină a carei viscozitate este substanțial mai mare decât a apei (vezi

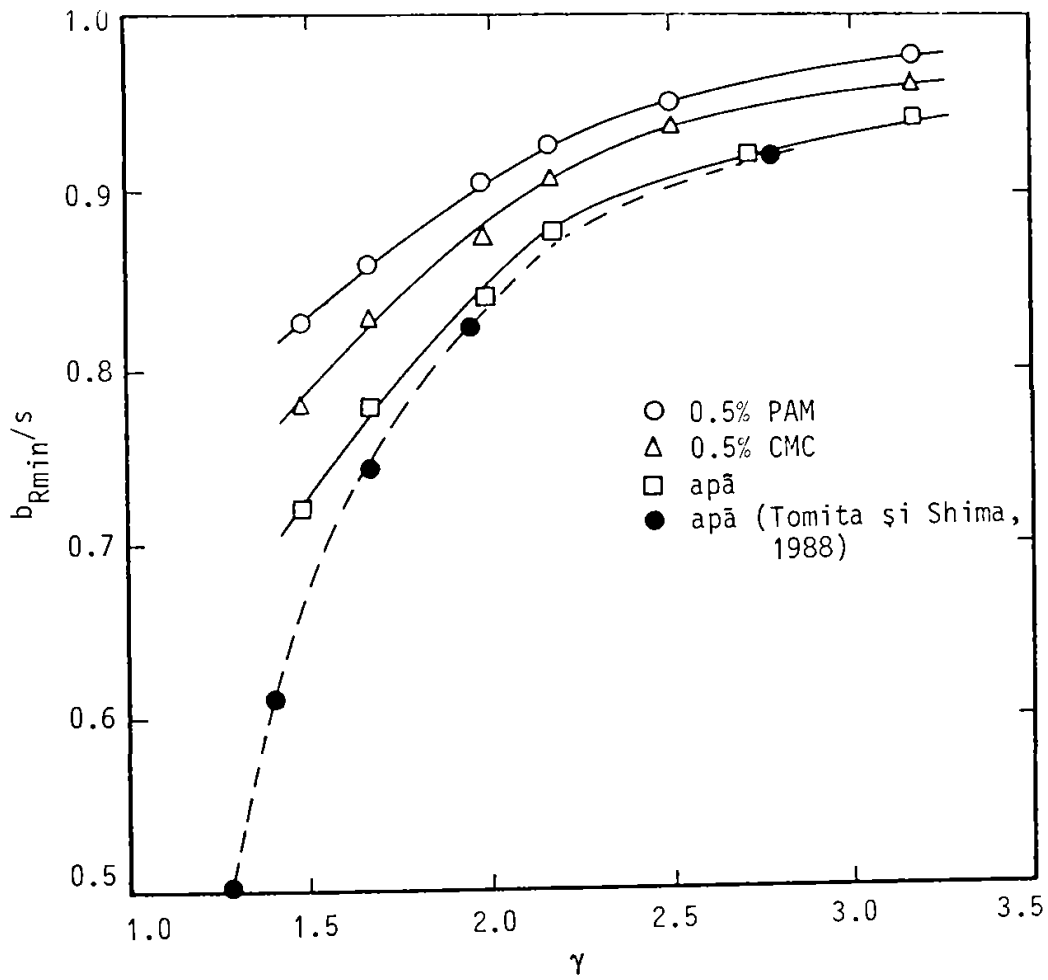
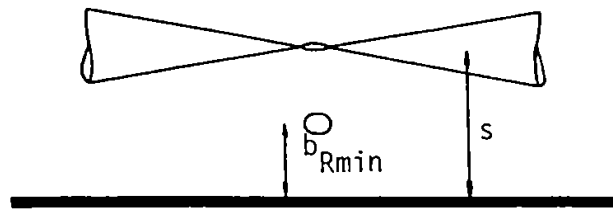


Figura 5.44. Migratia bulei înspre peretele solid.

paragraful 5.3.2.). În acest caz, când $\gamma = 1,19$, deplasarea bulei înspre peretele solid nu este observată. În cazul bulei situată în apă se observă reducerea deplasării bulei înspre peretele solid la diminuarea dimensiunii maxime a acesteia.

Migratia bulei înspre peretele solid este o consecință a efectului Bjerknes prin care deplasarea este indusă de modificarea (micsorarea) volumului bulei situată în apropierea unui perete solid. Această considerație a fost inițial sugerată de Benjamin și Ellis [224]. Faptul că efectul Bjerknes se manifestă numai în cazul bulei situată în apropierea unui perete solid a fost pus în evidență de Blake [225]. Forța Bjerknes generată de modificarea volumului bulei în timpul colapsului este forța care se exercită asupra bulei de către frontierele domeniului curgerii și este forța care trebuie aplicată bulei pentru a induce mișcarea de translație a acesteia din repaus. Trebuie notat că forța Bjerknes nu este forța hidrodinamică adică forța care acționează asupra bulei datorată presiunii exercitate de lichid [226]. În ipoteza că bula își păstrează simetria sferică tot timpul evoluției, Blake [225] și Best și Blake [226] obțin expresia componentei în direcția normală la peretele solid a forței Bjerknes, care sub formă adimensională se scrie:

$$F_{\Sigma}^{\Sigma} = \pi \frac{R_0^4 \dot{R}_0^2}{\gamma^2} \quad (5.23)$$

cu R_0 raza instantanee a bulei. Cu cât F_{Σ}^{Σ} are valori mai mari cu atât deplasarea bulei înspre frontiera solidă este mai mare. Deoarece magnitudinea forței Bjerknes este invers proporțională cu pătratul distanței adimensionale între bulă și perete, în același lichid, migrația bulei este mai accentuată la descreșterea parametrului γ . Pentru a stabili influența aditivării cu polimeri asupra migrației bulei este util să evaluăm mărimea forței Bjerknes în punctul final al colapsului. Tabelul 5.4 prezintă valorile obținute în cele trei lichide testate când $R_0 = 1 \text{ mm}$ și $q = 10^{-4}$ folosind modelul compresibil. În tabel sunt incluse și rezultatele obținute în cazul bulei situată în apă când $R_0 = 0,1 \text{ mm}$.

Tabelul 5.4. Valorile $F_{\Sigma}^{\Sigma} \times 10^4$ obținute folosind modelul compresibil în punctul final al colapsului bulei situată în apă, soluția 0,5% CMC și soluția 0,5% PAM.

γ	apă $R_0 = 0,1 \text{ mm}$	apă $R_0 = 1 \text{ mm}$	0,5% CMC $R_0 = 1 \text{ mm}$	0,5% PAM $R_0 = 1 \text{ mm}$
3,5	0,3286	0,3287	0,3278	0,3276
3	0,4473	0,4474	0,4463	0,446
2,5	0,6441	0,6443	0,6426	0,6422
2	1,0064	1,0067	1,0041	1,0035
1,5	1,7891	1,7896	1,7851	1,784

Cele mai mari ale forței Bjerknes sunt obținute în cazul bulei situată în apă, urmate de cele corespunzătoare soluției 0,5% CMC și, în final, cele corespunzătoare soluției 0,5% PAM. Tendința de reducere a migrației bulei prin aditivarea apei cu polimeri este o consecință a atenuării colapsului bulei (valori $R_0^4 \dot{R}_0^2$ mai mici) caz în care magnitudinea forței Bjerknes este diminuată. Observația este valabilă și în ceea ce privește reducerea migrației bulei la diminuarea dimensiunii maxime a cavității.

Nu doar efectul Bjerknes contribuie la migrația bulei înspre peretele solid. În faza finală a colapsului migrația bulei este amplificată și de asimetria distribuției de presiune în

lichidul înconjurător bulei pe direcția normală la peretele solid datorată prezentei maximumului local de presiune în vecinătatea peretelui superior al bulei (Figura 5.42). Prin aditivarea apei cu mici cantități de polimeri bula își păstrează simetria sferică o perioadă de timp mai lungă pentru că jetul este format mai târziu în comparație cu cazul apei. Consecutiv, durata de manifestare a acestei asimetrie a distribuției de presiune este mai mică și migrația bulei situată în soluțiile de polimeri este diminuată.

Prezenta investigație arată că migrația bulei înspre peretele solid este influențată atât de prezenta aditivilor polimerici cât și de dimensiunea bulei în faza expansiunii maxime. Consecința imediată a reducerii migrației înspre peretele solid este diminuarea potențialului distructiv al bulei.

5.4. Aspecte specifice ale evoluției bulei cavitationale generată cu laser în lichide newtoniene

Comportarea dinamică a bulei cavitationale generată cu un laser Nd:YAG cu durata pulsului 8 ns și lungimea de undă a radiației 1064 nm este investigată experimental folosind cinematografia secvențială rapidă și interferometria holografică cu dublă expunere. Măsurători acustice sunt, de asemenea, efectuate dar sunt restrânse numai la determinarea timpului de colaps al bulei cavitationale. Aranjamentele experimentale folosite sunt cele de la Institut für Angewandte Physik, TH Darmstadt (Germania) și Institute of Fluid Science, Tohoku University, Sendai (Japonia). Atât colapsul bulei cavitationale sferice cât și în apropierea unui perete solid este studiat. Lichidele testate sunt o soluție apoasă de 0,5% CMC (cu componentă vâscoasă) și o soluție apoasă de 0,5% PAM (și cu componentă elastică). Aspectele specifice ale comportării dinamice a bulei cavitationale în lichide newtoniene sunt sumarizate în continuare. Datorită numărului redus de investigații experimentale (doar două, [105,] restrâns numai la evaluarea timpului de colaps și [106], care analizează numai elongația bulei în timpul colapsului) prezentele rezultate au, în totalitate caracter de noutate. Se precizează, în plus, că dimensiunea maximă a bulelor cavitationale generate în prezentul experiment ($R_{\max} \sim 0,65$ mm) este cu aproximativ un ordin de mărime mai mică decât în experimentele anterioare [137, 138, 190, 191, 192, 195] și corespunde unor valori ale energiei pulsului laser utilizate frecvent în aplicațiile medicale ale laserului Nd:YAG [55, 56, 57, 59].

Bule cavitationale sferice au fost generate cu succes prin focalizarea razei laserului Nd:YAG cu emisie sacadată în ambele soluții de polimeri testate în intervalul de valori al energiei pulsului laser cuprins între 0,039 mJ și 0,9 mJ. Ca și în cazul lichidelor newtoniene raza maximă a bulei este proporțională cu rădăcina cubică a energiei pulsului laser dar eficiența conversiei pulsului laser în energie potențială a bulei este mai mică în cazul lichidelor newtoniene ceea ce indică un mecanism diferit de generare a plamei în punctul de focalizare al laserului.

Valabilitatea modelului teoretic este pusă în evidență experimental în cazul variației razei bulei cavitationale sferice în timp. Pentru valori ale razei maxime a bulei, R_{\max} , mai mari de 0,1 mm influența elasticității lichidului asupra oscilației bulei este nesemnificativă. În cazul bulelor generate cu laser, pentru $R_{\max} > 0,1$ mm, viteza maximă de colaps a peretelui bulei este aproximativ 2300 m/s iar presiunea maximă în lichid la peretele bulei este aproximativ 110 kbar.

Pierderea de energie a bulei cavitationale sferice, cu $R_{max} > 0,1$ mm, în timpul primului colaps este aproximativ 98% și este datorată emisiei undei de soc în punctul final al colapsului. Această valoare este cu 6 până la 14 procente mai mare decât alte valori prezentate în literatură [138, 169, 170] dar în aceste experimente simetria sferică a bulei în faza de recuperare este distrusă.

Influența proprietăților viscoelastice ale lichidului asupra comportării dinamice a bulei cavitationale este mult mai accentuată în cazul situării bulei în apropierea unui perete solid decât în cazul situării bulei într-un lichid extins la infinit.

O prelungire a timpului de colaps al bulei situată în lichide newtoniene a fost observată numai pentru valori mici ale distanței adimensionale între bulă și peretele solid γ , și anume pentru $\gamma < 1,75$ în cazul soluției 0,5% PAM și pentru $\gamma < 1,5$ în cazul soluției 0,5% CMC. Rezultatul este în concordanță cu cel obținut de Chahine și Fruman [105] în cazul bulelor cavitationale a căror dimensiune maximă este cu un ordin de mărime mai mare ($R_{max} > 5$ mm).

Rezultatele obținute în prezentul experiment confirmă mecanismul sugerat de Lauterborn [203] pentru formarea jetului lichid, orientat spre peretele solid, care străbate interiorul bulei în timpul colapsului. Jetul este format cu atât mai devreme cu cât distanța adimensională γ și viscozitatea lichidului au valori mai mici. Influența elasticității lichidului asupra formării jetului este nesemnificativă.

Elongația bulei în faza de colaps este mai mare în cazul lichidelor newtoniene în comparație cu cazul apei. Acest rezultat este în contradicție cu observațiile lui Kezios și Schowalter [106] care indică o diminuare a elongației bulei. Diferențele sunt probabil datorate geometriei diferite în care sunt generate bulele cavitationale în cele două experimente. În fiecare lichid testat elongația bulei crește la reducerea distanței adimensionale între bulă și peretele solid.

Influența proprietăților viscoelastice ale lichidului newtonian se manifestă prin diminuarea vitezei jetului lichid. Comparativ cu cazul apei, valoarea maximă a vitezei jetului este cu 18% mai mică în cazul soluției apoase 0,5% CMC și cu 31% în cazul soluției apoase 0,5% PAM. Valoarea vitezei maxime a jetului scade la reducerea distanței adimensionale între bulă și peretele solid, γ , și la diminuarea razei bulei în faza expansiunii maxime. Pentru $\gamma = 3,17$, jetul lichid în interiorul bulei situată în soluția 0,5% PAM nu a fost observat. Aditivarea apei cu mici cantități de polimeri determină și reducerea vitezei peretelui inferior al bulei.

Structura observată în apropierea peretelui superior al bulei (peretele bulei opus frontierei solide), pentru valori $1 < \gamma < 2$, este formată din mici cavități de gaz captat la impactul jetului cu peretele opus al bulei. Proprietățile viscoelastice ale lichidului determină inhibarea formării și evoluției acestei structuri. Un mecanism diferit de formare al structurii a fost sugerat de Vogel s.a. [138] prin existența unui "contrajet" în interiorul bulei (un jet orientat în sens opus peretelui solid) dar investigațiile optice, cu până la 1.000.000 imag/s, nu pun în evidență existența contrajetului.

În interferometria holografică unghiul optim de incidentă al liniei optice de referință pe placa holografică pentru obținerea corectă a distribuției indicelui de refracție al luminii, în cazul colapsului liber al bulei cavitationale, este 43° , atât în cazul apei cât și în cazul soluției 0,5% PAM, și a fost determinat prin încercări succesive în intervalul cuprins între 30° și 50° . Alegerea incorectă a valorii acestui unghi este, probabil, cauza obținerii unor rezultate neconcludente de către Alloncle s.a. [183].

Investigatiile holografice indică prezenta unui maxim local de presiune în vecinătatea peretelui superior al bulei în faza finală a colapsului în apropierea unei frontiere solide. Distribuția presiunii în lichidul înconjurător al bulei este calitativ în acord cu investigațiile numerice realizate de Blake s.a. [200] și Zhang s.a. [197]. Unda de soc emisă în punctul final al colapsului bulei este vizualizată prin interferometrie holografică cu dublă expunere. Amplitudinea presiunii undei de soc este diminuată în cazul lichidelor nenevtoniene în comparație cu cazul apei; numărul franjelor care alcătuiesc frontul undei de soc este mai mic atunci când bula este situată într-un lichid nenevtonian. Aceasta deoarece volumul minim atins de bula situată în lichide nenevtoniene este mai mare decât în cazul apei, gazul din interiorul cavității este mai puțin comprimat, iar emisiile acustice sunt diminuate.

Migrația bulei înspre peretele solid este redusă prin aditivarea apei cu mici cantități de polimeri și prin diminuarea dimensiunii bulei în faza expansiunii maxime. Migrația bulei este cu atât mai accentuată cu cât distanța între bulă și peretele solid este mai mică. Asimetria distribuției de presiune pe direcția normală la peretele solid amplifică deplasarea bulei înspre frontiera solidă.

6. Consideratii asupra mecanismului de distrugere cavitatională

Există suficiente evidente care confirmă că efectul cavitatiei asupra unui perete solid este datorat colapsului bulelor individuale [6, 7, 8, 9]. Studiul evoluției bulelor cavitationale individuale este cheia înțelegerii procesului de distrugere și, în particular, a mecanismului de reducere a distrugerilor în prezenta aditivilor polimerici. Considerațiile referitoare la distrugerea cavitatională se limitează la colapsul liber al bulei cavitationale individuale. În plus, numai mecanismul mecanic este considerat adică impactul jetului lichid format în timpul colapsului și acțiunea undelor de soc emise în faza finală a colapsului bulei.

6.1. Potentialul distructiv al jetului lichid care străbate interiorul bulei

Expresia presiunii de impact a unui jet lichid pe o suprafață solidă a fost determinată de Lush [65]. Pentru jeturile conice valoarea presiunii de impact este dată de relația:

$$p = 2,9 \rho_l c_l v_{jet} \quad (6.1)$$

cu o eroare mai mică de 3% pentru viteze de impact cuprinse între 70 și 340 m/s. Relația (6.1) este obținută considerând că suprafața solidă este rigidă până când un anumit efort de compresiune este atins iar apoi se comportă ca un solid perfect plastic pentru care efortul rămâne constant la o valoare p_Y . Jetul lichid este format atât în timpul colapsului liber al bulei în apropierea unui perete solid cât și prin interacțiunea unei unde de soc (presiune) cu o bulă cavitatională chiar dacă aceasta nu este situată în vecinătatea unei suprafețe solide. În cazul colapsului liber al bulei cavitationale situată în apropierea unui perete solid viteza maximă a jetului depinde de distanța adimensională între locul de formare al bulei și peretele solid, de dimensiunea bulei în faza expansiunii maxime și de proprietățile viscoelastice ale lichidului. Viteza maximă a jetului format prin interacțiunea unei unde de soc cu o bulă cavitatională depinde de dimensiunea maximă a bulei și de amplitudinea presiunii undei de soc [227, 228]. Valori extraordinar de mari ale vitezei jetului sunt obținute în acest caz. Viteze de ordinul 700 m/s au fost măsurate de Philipp și al. [227] când amplitudinea presiunii undei de soc este 65 MPa. Valorile determinate de Bourne și Field [228] sunt cuprinse între 130 m/s când amplitudinea presiunii undei de soc este $p_s = 300$ MPa și 8000 m/s când $p_s = 3500$ MPa.

Figura 6.1 prezintă valorile presiunii de impact a jetului format în timpul colapsului liber al bulei în apropierea unui perete solid situată în apă, soluția 0,5% CMC și soluția 0,5% PAM precum și valorile corespunzătoare cazului în care jetul este format prin interacțiunea bulei cu o undă de soc în funcție de raza maximă a bulei. Materialele adesea utilizate pentru testarea potențialului distructiv al bulei cavitationale individuale sunt aluminiul de mare puritate și indiumul. Datorită similarității procesului de deformare prin impactul jetului cu

testul de determinare a durtății unui material solid, efortul necesar pentru deformarea plastică a materialului solid este dat de testul de duritate. Dacă duritatea materialului este determinată cu o metodă statică efortul necesar este $p_Y = 400$ MPa pentru aluminiul 99% (duritatea Vickers [229], linia orizontală întreruptă în figură) dar folosind o metodă dinamică valoarea corespunzătoare a efortului este 1300 MPa (testul cu bilă căzătoare [229], linia orizontală continuă în figură). Testul dinamic de determinare a durtății modelează mult mai bine impactul jetului cu suprafața solidă decât testul static. Din acest motiv, valoarea efortului necesar pentru deformarea plastică a aluminiului 99% se poate considera 1300 MPa. Această valoare este superioară presiunii de impact a jetului format în timpul colapsului liber și deformarea suprafeței solide este exclusă. Pentru bulele situate în apă, lipsa deformațiilor prin impactul jetului este evidențiată de Popoviciu [230] și Shaw s.a. [231]. Observația este valabilă și atunci când un material mai moale, cum ar fi indiumul, este testat [136, 137]. Observațiile sporadice efectuate asupra suprafeței solide (aluminiu 99%) în prezentul experiment nu indică deformații prin impactul jetului. În contrast, Naude și Ellis [232] și Lush s.a. [233] observă deformații ale suprafeței în urma colapsului liber al bulei. În aceste experimente bulele sunt generate cu scânteii electrice și foarte aproape de suprafața solidă ($\gamma \ll 1$) astfel încât și scânteia electrică și pulsul de presiune emis în punctul final al colapsului pot cauza deformațiile. Pe de altă parte, folosind un microscop confocal cu baleiaj laser, Philipp și Lauterborn [234] observă că adâncimea deformației cauzate de impactul jetului lichid, format în timpul colapsului bulei generată cu laser, cu suprafața unei probe de aluminiu 99% este aproximativ 3 μm . Această valoare este mult prea mică astfel încât se poate considera că potențialul distructiv al jetului lichid format în timpul colapsului liber al bulei este minor. În acest caz, explicarea reducerii distrugerilor cavitationale în soluții apoase de polimeri prin impactul jetului esuează atât timp cât chiar și în cazul bulei situată în apă potențialul distructiv este nesemnificativ. Însă impactul jetului generat prin interacțiunea unei unde de soc cu bula cavitațională deformează plastic materialul. Tomita și Shima [137] observă aceste deformații când $p_s = 5$ MPa iar Bourne și Field [235] când $p_s = 300$ MPa. Totuși, Bourne și Field precizează că dacă bula este situată la o distanță de 3 mm de perețele solid distrugerea nu este produsă. În plus, pentru bule cu raza maximă mai mică de 0,2 mm, Tomita s.a. [236] nu observă distrugerea suprafeței solide (indium) dacă $p_s < 1,5$ MPa. Rezultă că pentru a evidenția potențialul distructiv al jetului trebuie considerate acele jeturi formate prin interacțiunea unei unde de soc cu bula cavitațională dar, și în acest caz, există o valoare de prag a presiunii unde de soc necesară pentru producerea distrugerii. Această valoare de prag este dependentă de profilul temporal al unde de soc și de dimensiunea bulei.

6.2. Reducerea distrugerilor cavitationale prin aditivarea apei cu polimeri

Aspectul distrugerii cauzate de colapsul liber al bulei cavitationale este caracterizat printr-o zonă circulară a deformațiilor cu diametrul aproximativ egal cu dimensiunea maximă a bulei. În interiorul zonei circulare distrugerea materialului nu este observată. Acest aspect al distrugerilor este pus în evidență de Shutler și Mesler [136] și Tomita și Shima [137] folosind o probă din indium. Popoviciu [230], folosind aluminiul de mare puritate ca material test, prezintă un set de clisee fotografice care ilustrează aspectul distrugerii materialului ca urmare a colapsului liber al bulei cavitationale generată cu scânteii electrice. După colapsul a 10 bule cavitationale pe suprafața materialului se pot observa un număr de aproximativ 40 de

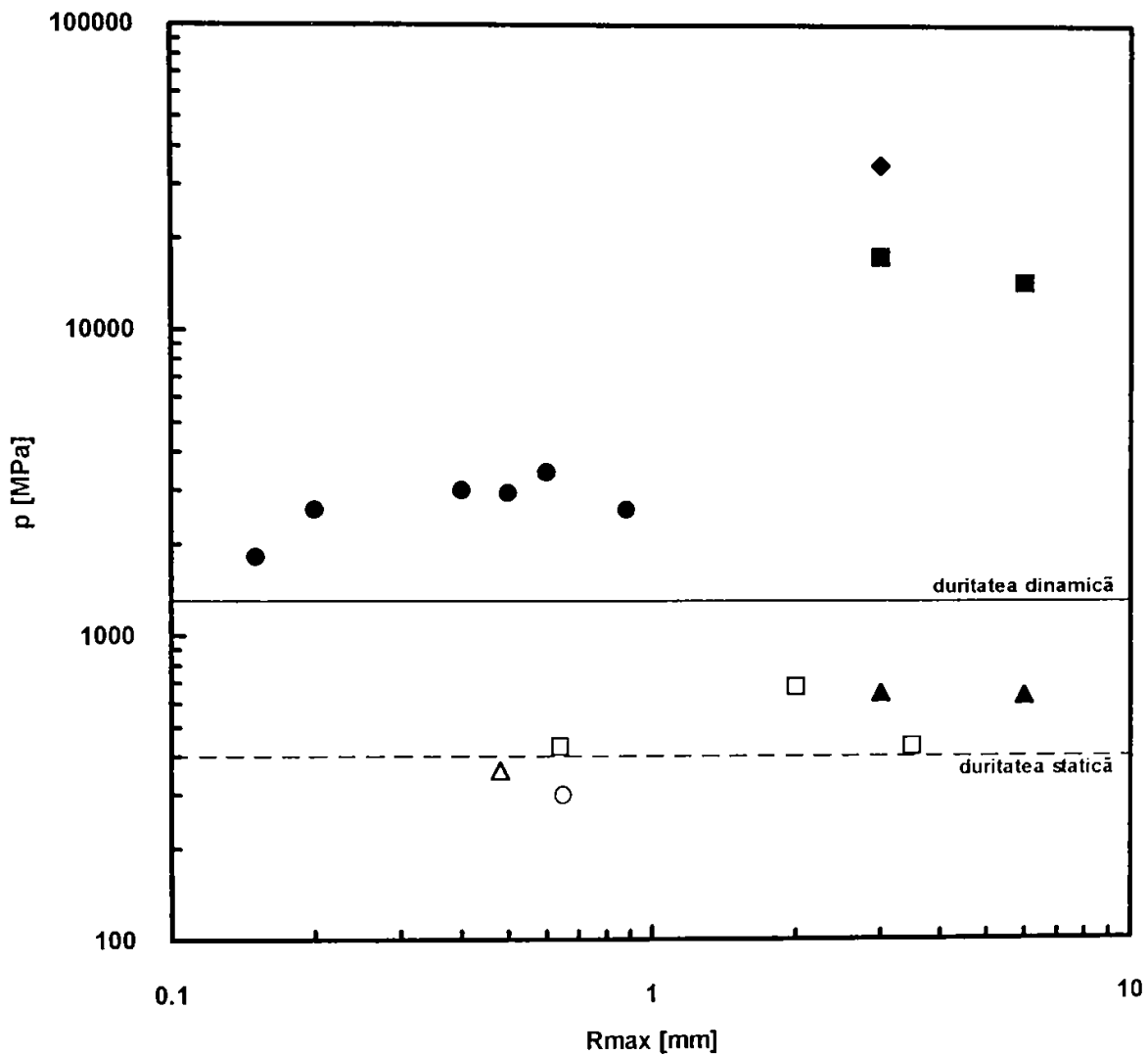


Figura 6.1. Presiunea de impact a jetului lichid format în timpul colapsului bulei în funcție de raza maximă a bulei. În figură se prezintă valorile durității dinamice și statice pentru aluminiu 99%. Simbolurile deschise indică valorile corespunzătoare colapsului liber al bulei în apropierea unui perete solid (\square apă; \triangle soluția 0,5% C:Al; \circ soluția 0,5% PA:Al). Simbolurile închise indică valorile corespunzătoare interacțiunii între o undă de soc cu amplitudinea P_s și o bula cavitațională (cerc: $P_s=65$ MPa, triunghi: $P_s=300$ MPa, pătrat: $P_s=1900$ MPa, romb: $P_s=3500$ MPa)

mici deformatii locale (caverne). Dintre acestea, cele mai mari caverne (aproximativ 15) sunt dispuse în afara zonei centrale a probei unde s-au aflat vârfulurile electrozilor. Numărul cavelnelor observate pe suprafața probei crește la creșterea numărului bulelor cavitationale care evoluează în apropierea probei. După colapsul a 66 de bule cavitationale zona circulară, pe care se dispun deformatiile materialului, este clar observată. Și în acest caz, în centrul probei, unde acțiunea jetului este cea mai probabilă, deformatiile locale ale materialului sunt absente. Un aspect similar este obținut de Philipp și Lauterborn [234], după colapsul a 100 de bule cavitationale generate cu laser, care precizează că adâncimea deformatiilor este 150 μm (de 50 de ori mai mare decât cea provocată de impactul jetului). Pentru descrierea mecanismului implicat în formarea deformatiilor locale observate se consideră secvența evoluției bulei ilustrată în Figura 5.41. După impactul jetului cu peretele opus al bulei, mișcarea jetului prin interiorul bulei și în lungul suprafeței probei conduce la generarea unei forme toroidale a bulei. Mișcarea lichidului este prin centrul bulei orientată înspre peretele solid și în jurul peretelui exterior al torului orientată în sens contrar peretelui solid. Investigatiile numerice conduse de Zhang s.a. [197] confirmă observația. Acest tor oscilează în apropierea peretelui solid și în final este dezintegrat în mici bule (microbule). Microbulele individuale pot fi observate în cadrele 25 - 32 când $\gamma = 1.6$ și în cadrul 23 când $\gamma = 1.7$. Dimensiunea maximă a microbulelor obținute în urma dezintegrării torului este $R_{max} \cong 10^{-2}$ mm. Microbulele sunt dispuse pe un contur circular cu diametrul aproximativ egal cu dimensiunea maximă a bulei cavitationale inițiale. Fiecare din aceste microbule evoluează separat și datorită dimensiunii foarte mici își pot păstra simetria sferică până în punctul final al colapsului. În acest caz, formarea unui jet lichid în timpul colapsului pare puțin probabilă. Considerând că diametrul jetului este o zecime din diametrul maxim al bulei [198, 211] raza de curbură a unui asemenea jet este de ordinul 10^{-3} mm. Dacă se consideră însă forma conică a jetului raza de curbură a vârfului jetului este considerabil mai mică. Forțele de tensiune superficială și forțele de viscozitate decelerează puternic jetul și simetria sferică a microbulei este păstrată în timpul colapsului. Atunci numai impactul undelor de soc emise în punctul final al colapsului microbulei reprezintă cauza deformatiilor observate pe suprafața probelor de material testat. În cazul bulei situată în apă, o dovadă experimentală, care evidențiază fotografic undele de soc emise în punctul final al colapsului fiecărei microbule, este prezentată de Philipp și Lauterborn [234]. Mai mult, autorii precizează că diametrul zonei circulare în care deformatiile suprafeței probei de material sunt observate este egal cu diametrul torului care prin dezintegrare generează microbulele. Aceste observații demonstrează pregnant că distrugerea materialului solid ca urmare a colapsului liber al bulei cavitationale este datorată colapsului în contact cu suprafața solidă a microbulelor ($R_{max} \cong 10^{-2}$ mm) formate prin dezintegrarea torului generat în timpul evoluției bulei inițiale în apropierea unui perete solid.

Pentru stabilirea influenței aditivării cu polimeri asupra distrugerilor cavitationale se prezintă în Figura 6.2 amplitudinea presiunii undei de soc emisă de microbulele cu raza maximă $R_{max} = 10^{-2}$ mm în funcție de distanța între microbulă și peretele solid. Simbolurile deschise reprezintă presiunea maximă în lichid la peretele microbulei situată în apă (linia întreruptă cu un punct), soluția 0,5% CMC (linia întreruptă cu două puncte) și soluția 0,5% PAM (linia întreruptă cu trei puncte). În cazul apei, amplitudinea undei de soc este superioară valorii durității dinamice a aluminiului 99% dacă distanța $r/R_{max} = 0,032$. Această valoare poate fi atinsă datorită migrației microbulei înspre frontiera solidă. În soluțiile de polimeri, chiar în situația în care microbula, în punctul final al colapsului, este în contact direct cu suprafața solidă, presiunea maximă la peretele microbulei este mai mică decât

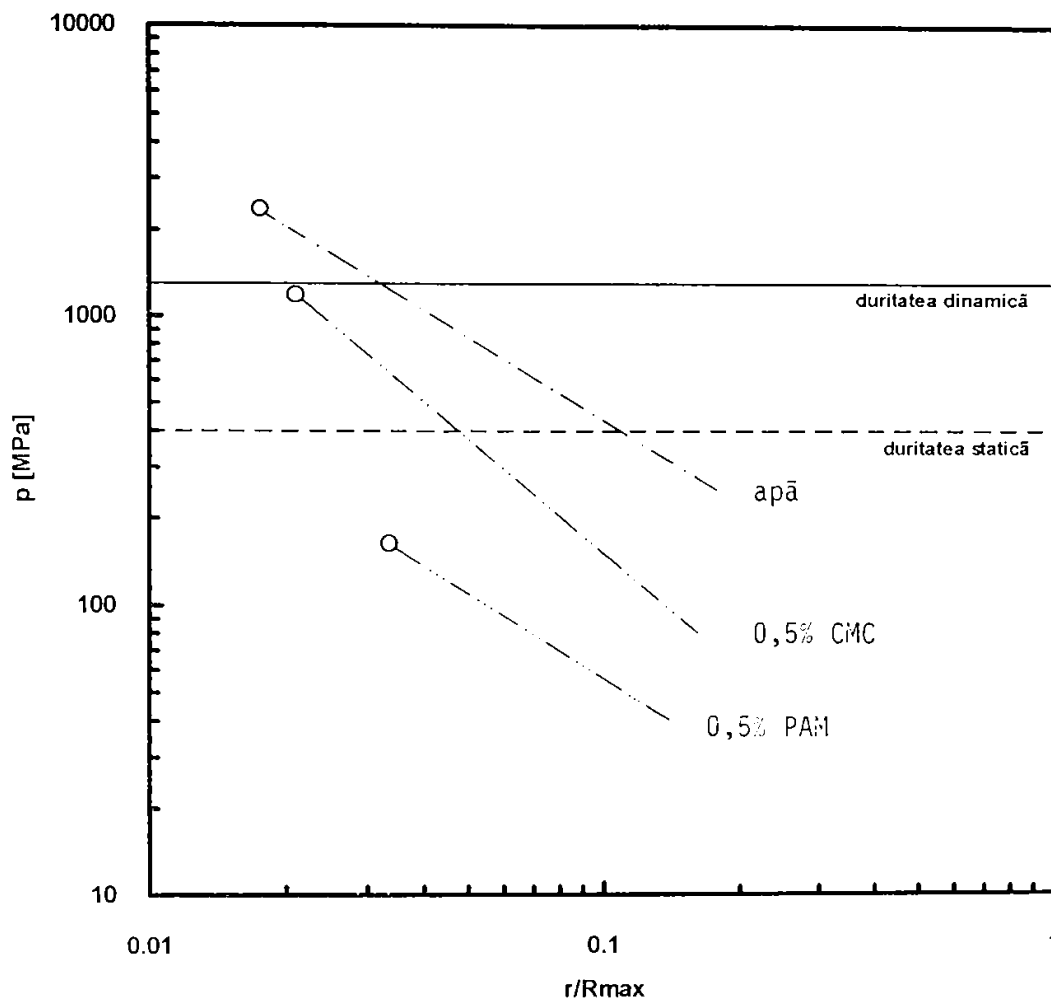


Figura 6.2. Amplitudinea presiunii undei de soc emisă în punctul final al colapsului microbulei cu $R_{max}=0,01\text{mm}$ la distanța r în lichid ($q=0,001$). În figură se prezintă și valorile durității dinamice și statice pentru aluminu 99%. Simbolurile indică presiunea la peretele bulei

valoarea corespunzătoare durității dinamice a materialului. De notat că migrația bulei înspre peretele solid este diminuată prin aditivarea apei cu polimeri. Exemplul prezentat arată posibilitatea generării, în cazul apei, a unei valori a presiunii undei de soc emisă de microbulă suficient de mare pentru a depăși valoarea durității dinamice a materialului solid și atenuarea puternică a amplitudinii presiunii în cazul soluțiilor de polimeri.

În plus, Tomita și Shima [137] consideră că distrugerea cavitațională este cauzată și de acțiunea undei de soc emisă în punctul final al colapsului liber al bulei cavitaționale în apropierea unui perete solid. După Vogel s.a. [138], când bula, situată în apă, este atată peretelui solid ($\gamma = 1$), presiunea maximă la peretele bulei este 250 MPa, valoare mai mică chiar decât duritatea statică a aluminiului 99%. Diminuarea amplitudinii presiunii undei de soc prin aditivarea apei cu polimeri a fost evidențiată în prezentul experiment la $\gamma = 1,5$ și probabil este prezentă și la $\gamma = 1$. Oricum, potențialul distructiv al acestei unde de soc este comparabil cu cel al jetului lichid și poate fi considerat minor. O concluzie similară a fost prezentată recent și de Shaw s.a. [231].

Sumarizând, prin prisma investigațiilor teoretice și experimentale din prezentul studiu asupra *colapsului liber al bulei cavitaționale*, reducerea distrugerilor cavitaționale prin aditivarea apei cu mici cantități de polimeri este datorată atenuării puternice a colapsului microbulelor generate prin dezintegrarea torului indus de mișcarea jetului lichid prin interiorul bulei și, cu o pondere mult mai mică, diminuării vitezei jetului lichid și a presiunii undei de soc emisă în punctul final al colapsului bulei. Reducerea migrației bulei înspre peretele solid (și, consecutiv, a torului) prin aditivarea apei cu polimeri contribuie suplimentar la reducerea distrugerilor cavitaționale. În cazul cavitației hidrodinamice, caracterizată prin prezența unui nor de bule cavitaționale atât impactul jetului, generat prin interacțiunea unei unde de soc emisă de o bulă cavitațională vecină, cu peretele solid cât și undele de soc emise în punctul final al colapsului microbulelor contribuie la distrugerea suprafeței solide. Ponderea fiecăruia din aceste două mecanisme asupra reducerii distrugerilor cavitaționale prin aditivarea apei cu polimeri este, deocamdată, dificil de stabilit atât timp cât influența proprietăților viscoelastice ale lichidului asupra colapsului bulei generat de interacțiunea cu o undă de soc este necunoscut.

6.3. Efecte biologice generate de evoluția bulei cavitaționale indusă cu laser

Înainte de prezenta unele considerații asupra efectelor biologice induse de evoluția bulei cavitaționale trebuie precizat că efectul clinic urmărit este obținut prin interacțiunea între plasma generată în punctul de focalizare al laserului și țesutul biologic și nu ca urmare a interacțiunii bulă-țesut. Valoarea energiei de prag a pulsului laser necesară pentru incizia dorită este în cele mai multe din aplicațiile clinice superioară valorii corespunzătoare pentru generarea bulei cavitaționale și, în acest caz, întotdeauna, în punctul de focalizare al laserului, o bulă cavitațională este formată. Colapsul bulei cavitaționale amplifică efectul produs de interacțiunea plasmă-țesut dar simultan efecte biologice colaterale nedorite sunt generate. Detalierea mecanismului prin care plasma acționează asupra țesutului nu este scopul acestei lucrări și numai aspectele pozitive și negative ale caracterului distructiv al bulei cavitaționale generată cu laser sunt considerate.

Efectele biologice generate de colapsul bulei cavitaționale sunt puse în evidență prin compararea valorilor presiunii de impact a jetului și a undei de soc emisă în punctul final al

colapsului cu valoarea presiunii minime necesare pentru distrugerea tesuturilor sau celulelor biologice. Este dificil de precizat valoarea limită pentru fiecare tesut sau celulă biologică dar pentru câteva cazuri valorile sunt cunoscute. Doukas s.a. [165], care investighează efectul pulsurilor de presiune asupra celulelor rosii, arată că, după expunerea la 5 pulsuri cu amplitudinea de 180 MPa, 20% din numărul total al celulelor rosii au fost complet distruse în timp ce 40% au membrana distrusă. Delius [237] precizează că valoarea necesară pentru distrugerea ureterului, canalului bilei și vasului sanguin este 100 MPa deși chiar valori mai mici pot produce distrugerea tesutului în funcție de profilul temporal al undei de presiune. Undele de presiune folosite de Delius sunt generate cu un litotripter iar profilul lor temporal este diferit de cel al undelor emise în faza recuperării bulei generată cu laser. Însă, valoarea limită obținută de Delius este susținută și de Tidd s.a. [238] în cazul interacțiunii tesuturilor cu un puls de presiune cu un profil temporal similar cu cel emis de bula cavitațională. Valoarea limită este aproximativ 60 MPa în cazul calculilor biliari sau renali [237]. Acești calculi sunt un conglomerat de componente organice și cristaline. Din punct de vedere acustic sunt neomogeni cu multe zone cu impedanță acustică diferită. Un puls de presiune care se propagă dintr-o zonă cu impedanță acustică mare într-o zonă cu impedanță mică este parțial reflectat ca o undă de tensiune. Aceste unde au un potențial distructiv ridicat atât timp cât calculii sunt de aproximativ 5 ori mai susceptibili la eforturi de întindere decât la eforturi de comprimare [160]. După Vogel s.a. [55] valoarea 100 MPa poate fi considerată o valoare limită și pentru distrugerea corneei oculare. Recent, Brümmer s.a [239], Kessel s.a. [240] și Jeffers s.a. [241] au arătat că celulele leucemice L1210 și HL60 sunt distruse în proporție de 70% prin interacțiunea acestora cu pulsuri de presiune cu amplitudinea de 40 MPa. Mai mult, efectul citotoxic al dimetilformamidelor [242] este amplificat de acțiunea pulsurilor de presiune [241].

În chirurgia intraoculară pulsuri laser cu durata impulsului de ordinul nano sau picosecundelor (și chiar de ordinul femtosecundelor [243]) sunt focalizate în ochi. Laserul folosit este Nd:YAG cu lungimea de undă a radiației 1064 nm sau orice alt laser cu emisie sacadată cu o lungime de undă în jurul valorii de 1 μm. La aceste valori riscul distrugerii retinei este minim deoarece coeficientul de absorbție al luminii pentru epiteliumul pigmentat al retinei este mic. Viscositatea lichidului ocular, deși cu o comportare pseudoplastică [4], este foarte apropiată de cea a apei și potențialul distructiv al bulei cavitaționale poate fi estimat folosind rezultatele obținute în cazul apei. Se consideră aici numai efectele colaterale induse de evoluția bulei cavitaționale asupra corneei. În litotritia indusă cu laser este preferată folosirea laserilor cu durata impulsului 1 - 2 μs și cu lungimea de undă a radiației 504 nm sau 590 nm. Valori ale energiei impulsului cuprinse între 40 mJ până la 70 mJ sunt necesare pentru fragmentarea eficientă a calculilor [244]. Lungimile de undă mai mari de 650 nm sunt prea puțin absorbite de calculi și posibilitatea de generare a plasmă este redusă. La lungimi de undă de 504 nm sau 590 nm coeficientul de absorbție al luminii pentru sânge este suficient de mare pentru ca plasma și, consecutiv, bula cavitațională să fie generate [163]. Recent a fost demonstrat că pulsurile laser cu durata de ordinul nanosecundelor (7 -8 ns) emise de laseri Nd:YAG cu lungimea de undă a radiației 1064 nm pot fi de asemenea folosite în litotritia indusă cu laser [56, 244, 245]. În acest caz datorită absorbției reduse a radiației de către calculi este necesară o secvență de pulsuri la o valoare a energiei impulsului mai mică de 1 mJ. Pulsuri laser de ordinul picosecundelor sau femtosecundelor sunt dificil de transmis prin fibra optică fără a cauza distrugerea acesteia și, consecutiv, a tesutului biologic. Aceasta deoarece plasma este formată în interiorul fibrei optice iar fragmentele care provin din explozia fibrei sunt împinse în tesutul biologic înconjurător [246]. Litotritia indusă cu laser

este folosită mai rar în comparație cu litotritia extracorporală cu unde de soc deoarece necesită o incizie a țesutului pentru introducerea fibrei optice. Este însă avantajoasă când în ureter există un sir de calculi sau atunci când calculii biliari sunt poziționați în canalul bilei. Efectele colaterale generate de bula cavitațională se manifestă atât asupra calculilor, ureterei, canalului biliar cât și asupra celulelor roșii din sânge. În angioplastia cu laser fibra optică este introdusă în vasul sanguin iar acțiunea plasmăi, generată în punctul de focalizare al laserului, distruge placa calcificată care poate obtura vasul sanguin. Detaliile referitoare la tipul laserului folosit în angioplastia cu laser sunt identice cu cele din litotritia indusă cu laser inclusiv folosirea laserului Nd:YAG cu lungimea de undă a radiației 1064 nm și durata pulsului 8 ns. În acest caz, celulele roșii și peretele vasului sanguin sunt supuse acțiunii bulei cavitaționale.

Figura 6.3 prezintă valorile presiunii de impact a jetului și ale presiunii undei de soc emisă în punctul final al colapsului la distanța $r = 0,5$ mm de centrul bulei în funcție de raza maximă a bulei. Bula este situată în apă (simbolul cerc), sânge (simbolul triunghi) și într-un lichid a cărui vâscozitate corespunzătoare vitezei de deformare infinită este de 10 ori mai mare ca a apei (simbolul pătrat). Acest ultim caz este considerat ținând seama că vâscozitatea sângelui poate fi local modificată din cauza schimbărilor biochimice în structura acestuia [107, 110, 111, 112]. Valoarea $r = 0,5$ mm a fost aleasă având în vedere geometria țesutului biologic în/lângă care evoluează bula cavitațională. Valorile sunt obținute folosind relația (6.1) pentru presiunea de impact a jetului (pentru sânge s-a considerat că viteza de impact a jetului este 100 m/s) și folosind rezultatele modelului compresibil (relațiile (4.163) și (4.180)) și legea $1/r$ de atenuare a presiunii în lichid pentru amplitudinea undei de soc. Valoarea adoptată pentru raportul presiunilor între interiorul și exteriorul bulei în faza expansiunii maxime este $q = 10^{-4}$ și este de ordinul de mărime al valorii obținute în cazul expansiunii sferice a bulei generată cu laserul Nd:YAG cu lungimea de undă 1064 nm și durata pulsului 8 ns (vezi paragraful 5.2.2.). Intervalul de variație al razei maxime a bulei este cuprins între 0,1 și 2 mm. Bule cavitaționale cu aceste dimensiuni sunt generate cu laserii folosiți în aplicațiile clinice menționate [55, 59, 164, 167]. În figură liniile orizontale indică valoarea minimă a presiunii necesare pentru distrugerea fiecărui țesut sau celulă biologică.

Sursa principală a efectelor colaterale generate de colapsul bulei cavitaționale este poziționarea greșită a punctului de focalizare al laserului sau a fibrei optice. Distrugerea țesutului poate fi datorată impactului jetului atât timp cât valoarea presiunii de impact este de 4 ori mai mare decât valoarea maximă a presiunii suportată de țesut. Morfologia țesutului după iradiere indică acțiunea distructivă a jetului. Perforări ale ureterei și canalului biliar au fost observate de Tidd s.a. [238] iar distrugerii ale corneei sub forma unor cratere cu diametrul de același ordin de mărime cu diametrul jetului lichid care străbate interiorul bulei sunt observate de Zysset s.a. [181] și Vogel s.a. [55]. Când punctul de focalizare al laserului este localizat în interiorul corneei o cavitate cu un volum de 10 ori mai mare decât cel al plasmăi este formată și dispare după aproximativ 1 oră de la iradiere. Aceasta conduce la o dizlocare a lamelor din stromă și la distrugerea epiteliumului corneei [247]. Unda de soc emisă în punctul final al colapsului poate avea, de asemenea, un efect negativ asupra țesutului amplificând efectul produs de impactul jetului. La valori mari ale energiei pulsului laser hemoragii și chiar rupturi ale țesutului au fost observate [238, 244]. Dimensiunea maximă a bulei este proporțională cu rădăcina cubică a energiei pulsului laser. Valori mari ale energiei pulsului laser implică bule cavitaționale cu dimensiuni mari. După cum se observă în figură, în cazul bulelor cu $R_{max} = 0,7$ mm, când $r = 0,5$ mm, amplitudinea presiunii

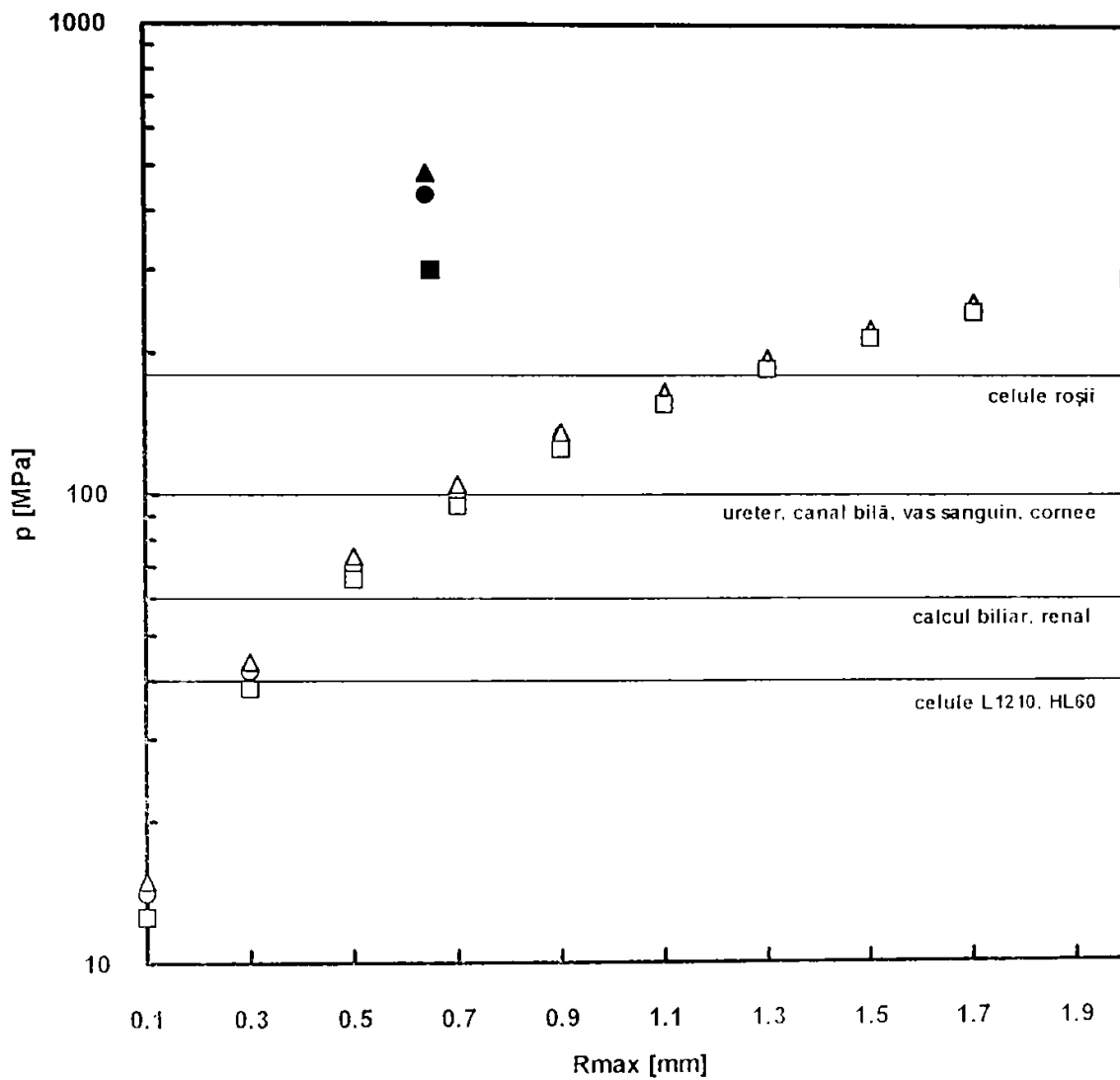


Figura 6.3. Presiunea de impact a jetului de apă în momentul colapsului orlei în apropierea celulelor încălzite și presiunea punctului final al colapsului în simbolurile descrise) în funcție de R_{max} . În figura 6.3 prezintă valoarea necesară pentru distrugerea celulei biliar, canal biliar, vas sanguin, cornee, apă bătrân, și altele (PAI).

unde de soc este suficient de mare pentru a produce distrugerea tesutului. Cele mai mari valori ale presiunii unde de soc sunt obtinute în cazul situării bulei în sânge dar sunt suficient de mari si în cazul în care bula este situată în lichidul cu viscozitatea η , mai mare de 10 ori decât a apei. Efectul este amplificat la micșorarea distantei r între centrul bulei în faza finală a colapsului si tesut si la cresterea numărului pulsurilor laser prin actiunea repetată a jetului si a pulsurilor de presiune. În cazul angioplastiei cu laser, vasul sanguin este brusc dilatat ca urmare a expansiunii bulei cavitationale, strangulat în timpul colapsului (diametrul vasului sanguin poate atinge 18% din valoarea inițială [164]) si supus actiunii unde de soc. Modificări structurale ale vasului sanguin, inclusiv deformatii de lungă durată, au fost observate [248].

În cazul focalizării pulsului laser în apropierea calcului biliar sau renal atât impactul jetului cât si unda de soc contribuie la distrugerea acestuia. Este un efect pozitiv indus de colapsul bulei cavitationale în litotritia indusă cu laser. Probabil că un efect similar există si în angioplastia cu laser desi valoarea limită a presiunii pentru distrugerea plăcii calcificate nu este cunoscută

Observatiile histologice evidentiază un proces disruptiv complex indus si de evolutia bulei cavitationale generată în aplicatiile clinice ale laserilor. Se prezintă în continuare unele strategii de optimizare a interactiunii laser-tesut pentru minimizarea efectelor colaterale generate de evolutia bulei cavitationale folosind atât rezultatele prezentului studiu teoretic si experimental cât si rezultatele prezentate în literatură.

O primă metodă constă în reducerea energiei pulsului laser la valori care să genereze bule cavitationale cu dimensiunea maximă cât mai mică. În acest mod valorile presiunii unde de soc emisă în punctul final al colapsului si a vitezei maxime a jetului lichid format în interiorul bulei sunt diminuate. Pentru laserul Nd:YAG cu durata pulsului 8 ns si lungimea de undă a radiatiei 1064 nm, în cazul specific capsulotomiei, intervalul optim al energiei pulsului laser este cuprins între 0,265 mJ si 0,53 mJ. Valoarea minimă adoptată este valoarea de prag pentru formarea plasmei în cazul apei iar valoarea maximă este valoarea la care presiunea unde de soc emisă în punctul final al colapsului bulei este inferioară presiunii maxime suportată de cornee si corespunde unei raze maxime a bulei $R_{max} = 0,68$ mm. În cazul litotritiei cu laser sau angioplastiei cu laser intervalul optim de valori al energiei pulsului laser este cuprins între 0,15 mJ si 0,6 mJ. Valoarea minimă adoptată este valoarea necesară pentru distrugerea calcului si corespunde unei raze maxime a bulei $R_{max} = 0,42$ mm în timp ce valoarea maximă este aleasă astfel încât presiunea unde de soc să fie mai mică decât presiunea maximă suportată de ureter, canalul bilei sau vasul sanguin si corespunde unei raze maxime a bulei $R_{max} = 0,66$ mm. Figura 6.4, care prezintă dependentă amplitudinii presiunii unde de soc la distanta $r = 0,5$ mm de centrul de emisie în functie de energia pulsului laser atât în cazul bulei situată în apă (simbol cerc deschis) cât si în sânge (simbol triunghi deschis), ilustrează aceste consideratii. Cea mai bună modelare a rezultatelor este descrisă de relatia

$$p = a \cdot E_0^{1/3} \quad (6.2)$$

cu $a = 117,8$ pentru apă si $a = 119$ pentru sânge. În aceeași figură simbolurile închise indică presiunea de impact a jetului lichid. Relatia de proportionalitate între raza maximă a bulei si rădăcina cubică a energiei pulsului laser folosită pentru cazul sângelui uman este cea obtinută în cazul solutiilor de polimer testate ($R_{max} = 0,79 \times E_0^{1/3}$). Pentru valorile mentionate

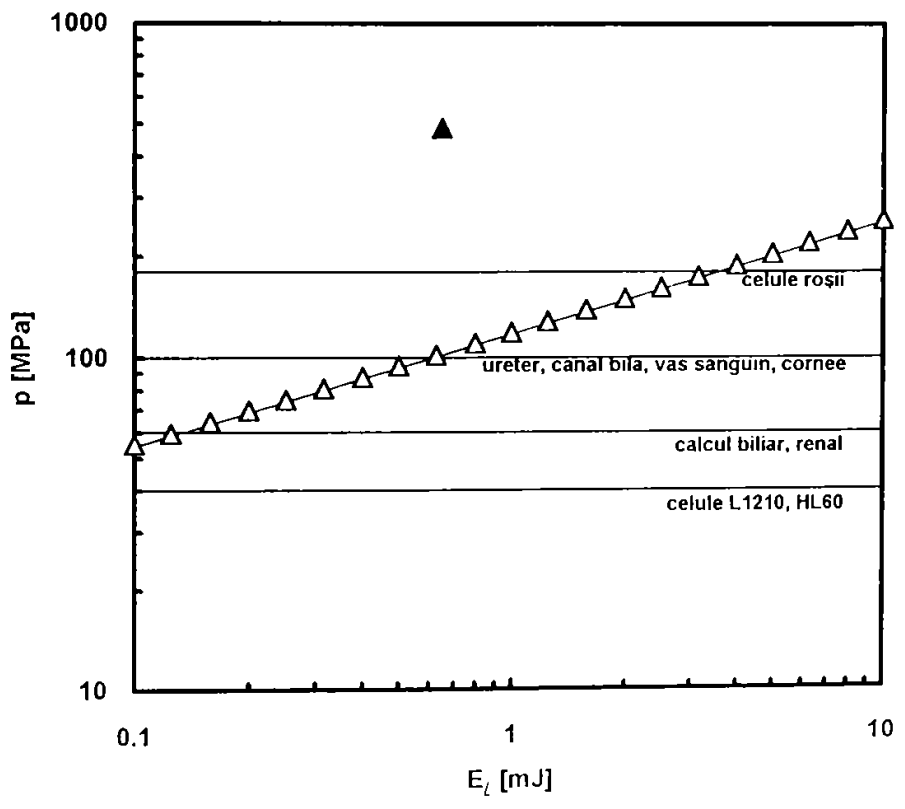
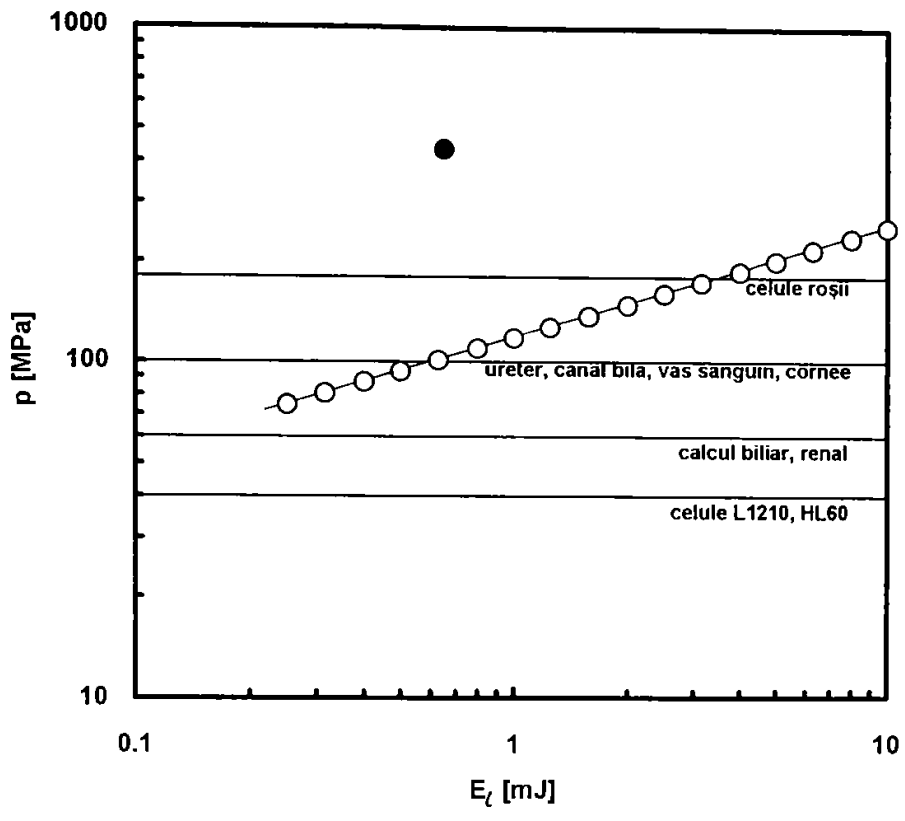


Figura 6.4. Presiunea de impact a jetului lichid (simbolurile închiise) și presiunea undei de soc emisă în punctul final al colapsului bulei în funcție de energia pulsului laser. Semnificația simbolurilor este identică cu cea din Figura 6.3.

ale energiei pulsului laser presiunea de impact a jetului lichid este totuși suficient de mare pentru a genera distrugerea tesuturilor biologice.

Inconvenientul indus de evoluția jetului lichid format în timpul colapsului bulei în apropierea unei frontiere solide poate fi înlăturat în cazul litotritiei sau angioplastiei cu laser prin poziționarea corectă a fibrei optice astfel încât jetul lichid să fie orientat înspre calculul supus fragmentării. Poziționarea corectă a fibrei optice poate fi realizată folosind metoda spectroscopiei fluorescente descrisă pentru prima dată de Engelhardt s.a. [249] și ulterior de Rosen s.a. [250]. Simultan cu pulsul laser un semnal fluorescent este transmis prin fibră în timpul părții inițiale a pulsului laser. Semnalul fluorescent reflectat este mult mai puternic în cazul calculului supus fragmentării decât în cazul tesutului biologic, în special, atunci când capătul fibrei este foarte aproape de calcul. Emisia laser este oprită înainte de formarea plasmăi dacă semnalul fluorescent nu depășește o anumită valoare. În acest mod distrugerea tesutului biologic este evitată chiar dacă capătul fibrei este în contact direct cu tesutul biologic. Această tehnică a fost aplicată cu succes în practica clinică de Ell s.a. [251] și Neuhaus s.a. [252].

Efectele colaterale negative pot fi diminuate folosind și un concept dezvoltat recent pentru reducerea intensității fenomenului cavitațional indus prin focalizarea razei laser [164]. Pulsul laser este divizat într-un puls inițial cu energie scăzută și un al doilea puls cu energie ridicată. Pulsul inițial generează bula cavitațională cu o dimensiune foarte mică și cel de-al doilea puls este emis atunci când bula creată este în faza expansiunii maxime. Astfel, interacțiunea plasmă-tesut are loc într-un mediu gazos și generarea unei noi bule cavitaționale de către al doilea puls este exclusă. Alegând un raport corespunzător între valorile energiei celor două pulsuri, al doilea puls nu mărește dimensiunea bulei generată de pulsul inițial iar raza maximă a bulei este mai mică chiar decât cea a bulei indusă de un singur puls laser cu energie echivalentă. Pentru apă metoda dă rezultate foarte bune dacă raportul energiilor este cuprins între 1:17 și 1:30. Nu se cunosc detalii referitoare la raportul energiilor pulsurilor laser focalizate în sânge uman. Conceptul poate fi aplicat atât în cazul capsulotomiei cât și în cazul litotritiei induse cu laser sau angioplastiei cu laser. În aceste ultime două cazuri metoda prezintă un avantaj suplimentar în sensul că dilatarea și strangularea ureterei, canalului bielei sau a vasului sanguin este absentă.

O altă metodă care minimizează efectele colaterale negative produse de evoluția bulei cavitaționale constă în scăderea locală a temperaturii lichidului biologic în care este focalizat pulsul laser. Consecutiv, viscozitatea lichidului crește (de exemplu, în cazul sângelui uman la temperatura 3°C viscozitatea corespunzătoare vitezei de deformare infinit este 58×10^{-3} Pas cu aproximativ un ordin de mărime mai mare decât la 37°C [253]) și colapsul bulei este puternic atenuat atât în ceea ce privește presiunea undei de soc emisă în punctul final al colapsului cât și în ceea ce privește viteza maximă a jetului lichid. Influența viscozității lichidului asupra atenuării colapsului bulei este pregnantă numai la valori mici ale razei maxime a bulei astfel încât energia pulsului laser trebuie scăzută până la valori apropiate de valoarea de prag corespunzătoare generării plasmăi. La asemenea valori ale energiei pulsului extinderea spațială a plasmăi este considerabil diminuată și potențialul distructiv al plasmăi redus. Din acest motiv, o secvență de pulsuri este necesară pentru a amplifica efectul distructiv al plasmăi. Pare a fi singura metodă pentru reducerea vitezei maxime a jetului lichid care străbate interiorul bulei având în vedere că forțele de viscozitate, care decelerează jetul, sunt proportionale cu viscozitatea corespunzătoare vitezei de deformare infinit a lichidului, η , și invers proportionale cu raza de curbură a jetului. Reducerea vitezei jetului la creșterea viscozității η , a fost observată în prezentul experiment

în cazul soluțiilor apoase de polimeri testate. În plus, după Bakke s.a. [121], viteza sunetului în sânge uman este diminuată la scăderea temperaturii lichidului. De exemplu, la temperatura 3°C valoarea vitezei sunetului în sânge uman este cu 5% mai mică decât la 37°C. Este un element suplimentar care amplifică atenuarea colapsului bulei cavitationale.

Alegerea corespunzătoare a unghiului de focalizare al razei laser este esențială deoarece se reduce astfel probabilitatea generării de multiple puncte în lichid în care intensitatea luminii să depășească valoarea de prag pentru formarea plasmei și, consecutiv, generării de multiple bule cavitationale în punctul de focalizare al razei laser. Deși în faza de expansiune influența acestor bule nu este sesizabilă în faza de colaps devine importantă. În prezentul experiment unghiul conului de focalizare al razei laser a fost de 21° și cu câteva excepții (aproximativ 8% din numărul total de iradieri) o singură bulă cavitațională a fost generată în punctul de focalizare al laserului. Valori mai mici de 21° au condus la generarea de multiple bule cavitationale în punctul de focalizare, în special, în cazul soluțiilor apoase de polimeri din cauza suspensiilor solide din lichid. Notăm, totuși, că valori mai mari de 21° nu au fost folosite din cauza geometriei recipientului în care au fost generate bulele cavitationale. Eick [186] prezintă rezultate similare la valori cuprinse între 20° și 23° când în 6% din numărul total de iradieri au fost generate multiple bule în punctul de focalizare al razei laser în apă. Este posibil ca la valori mai mari ale acestui unghi rezultatele să fie superioare. Mai mult, se recomandă ca lentila finală de focalizare să fie o lentilă acromat care elimină efectul difracție luminii prin sticlă. În cazul traversării printr-o lentilă acromat liniile spectrale albastru și roșu ale radiației au același punct de focalizare și aberațiile geometrice ale plasmei sunt diminuate. O concluzie similară este prezentată și de Vogel s.a. [160].

Amplificarea preciziei intervenției chirurgicale și reducerea distrugerilor colaterale pot fi realizate prin scăderea duratei pulsului laser la ordinul picosecundelor sau femtosecundelor. În cazul pulsurilor laser cu durată 30 - 40 ps valoarea de prag necesară pentru generarea plasmei este cu un factor de 13 mai mică decât în cazul pulsurilor cu durată 8 ns [179, 181]. La valori atât de scăzute ale energiei pulsului amplitudinea presiunii undei de soc emisă în timpul spărturii optice și intensitatea colapsului bulei cavitationale sunt considerabil diminuate. Sunt posibile astfel aplicații clinice care necesită un efect chirurgical asupra țesutului biologic mult mai precis localizat decât în cazul folosirii pulsurilor de ordinul nanosecundelor. Și în acest caz, din cauza reducerii energiei pulsului laser, o secvență de pulsuri este necesară. Laserii clinici cu durată pulsului de ordinul picosecundelor emit atât pulsuri individuale cât și o serie de pulsuri cu frecvența de emisie cuprinsă între 10 Hz și 1 kHz. Aceasta oferă noi modalități de tratamente față de aplicațiile clasice ale laserului Nd:YAG. De exemplu, o iridotomie trebuie să aibă un diametru de aproximativ 1 mm pentru a evita reînchiderea. Încercarea de a produce deschiderea cu un singur puls laser cu energie ridicată distruge endoteliul corneal adiacent iar producerea deschiderii cu multe pulsuri individuale cu energie scăzută este posibilă dar este incomodă și de durată. În schimb, folosirea unei serii de pulsuri cu durată de ordinul picosecundelor cu energia 0,15 mJ s-a dovedit a fi o metodă rapidă cu efecte colaterale minime [247, 254]. Alte aplicații potențiale ale laserilor Nd:YAG cu durată pulsului de ordinul picosecundelor sunt descrise de Vogel s.a. [247].

7. Concluzii finale

Comportarea dinamică a bulei cavitationale sferice situată într-un lichid nenenewtonian este investigată analitic, numeric și experimental. Investigatiile experimentale sunt extinse și asupra comportării bulei situată în apropierea unui perete solid. Bulele cavitationale sunt generate cu laser și principalele tehnici investigative experimentale sunt cinematografia secvențială rapidă și interferometria holografică cu dubla expunere. Lichidele testate sunt sângele uman, o soluție apoasă de 0,5% carboximetilceluloză (CMC) și o soluție apoasă de 0,5% poliacrilamidă (PAM) iar rezultatele sunt comparate cu cazul dispunerii bulei în apă. Intervalul de variație pentru raza maximă a bulei, R_{max} , este cuprins între 0,01 și 1,5 mm iar distanța relativă a bulei de peretele solid, $\gamma = s/R_{max}$, cu s distanța între peretele solid și punctul de focalizare al laserului, între 1 și 3,2.

Contribuțiile originale la studiul comportării dinamice a bulei cavitationale în lichide nenenewtoniene sunt următoarele:

A fost dezvoltat un model matematic care descrie comportarea dinamică a bulei cavitationale sferice în lichide nenenewtoniene cu comportare pseudoplastică. Originalitatea modelului matematic constă în includerea compresibilității lichidului nenenewtonian în setul de ecuații care descrie dinamica bulei cavitationale. Folosind metoda dezvoltărilor asimptotice, pentru reducerea ecuațiilor integro-diferențiale care descriu mișcarea lichidului la ecuații diferențiale valabile la peretele bulei, sunt obținute ecuația de mișcare a peretelui bulei (4.163), ecuația presiunii în lichid (4.178), ecuația razei de echilibru a bulei (4.183) și ecuația razei critice de oscilație a bulei (4.201). Noile relații simple obținute care exprimă dependența vitezei maxime de colaps cu raza minimă a bulei (4.205), respectiv, cu presiunea maximă la peretele bulei (4.208) modelează mult mai bine rezultatele numerice decât relațiile existente în literatură.

Investigațiile teoretice asupra colapsului liber al bulei cavitationale sferice în sânge uman reprezintă o noutate. Pe baza acestor rezultate se pot obține, într-o primă aproximatie, informații asupra efectelor colaterale generate de evoluția bulei cavitationale în aplicațiile medicale ale laserilor.

Algoritmul de calcul folosit pentru soluționarea modelului matematic, bazat pe metoda diferențelor finite, prezintă avantajul obținerii soluției numerice până la valori ale raportului presiunilor inițiale între interiorul și exteriorul bulei $q = 10^{-6}$, cu trei ordine de mărime mai mari decât cele prezente în literatură. Valori ale raportului q de ordinul 10^{-4} - 10^{-5} modelează foarte bine colapsul bulei generat cu laser astfel încât interesul pentru stabilirea unui algoritm de calcul corespunzător este justificat. Programele de calcul sunt scrise în limbajele C++ și IDL (numeric) și Pascal 6.0 (grafic) și sunt de concepție originală.

Studiul experimental asupra *colapsului liber* al bulei cavitationale generată cu laser în lichide nenenewtoniene este în totalitate original. Aranjamentele experimentale folosite sunt

cele de la Institut für Angewandte Physik, TH Darmstadt (Germania) și Institute of Fluid Science, Tohoku University, Sendai (Japonia). Principalele aspecte cu caracter de noutate ale studiului experimental sunt:

- investigațiile asupra oscilației bulei cavitationale sferice considerând și faza de recuperare a bulei după primul colaps și chiar după cel de-al doilea colaps al bulei.
- investigațiile asupra comportării dinamice a bulei cavitationale situată în apropierea unui perete solid și, în particular, precizarea naturii structurii observată în apropierea peretelui bulei opus frontierei solide.
- investigațiile holografice asupra distribuției presiunii în lichidul înconjurător bulei cavitationale în imediata vecinătate a punctului final al colapsului și stabilirea unghiului optim al liniei optice de referință pe placa holografică pentru obținerea corectă a distribuției indicelui de refracție al luminii.

Se precizează că, spre deosebire de investigațiile anterioare dimensiunea bulelor generate în acest experiment corespunde valorilor energiei pulsului laserului Nd:YAG folosite în aplicațiile medicale (capsulotomie, litotritie indusă cu laser și angioplastie cu laser).

Metoda folosită pentru determinarea raportului inițial al presiunilor între interiorul și exteriorul bulei în faza expansiunii maxime (una din condițiile inițiale pentru setul de ecuații care descrie dinamica bulei cavitationale) este originală și constă în identificarea celui de-al doilea timp de colaps al bulei obținut experimental cu cel teoretic. Această metodă este considerabil superioară celei deja utilizată în literatură care folosește raza de echilibru a bulei.

Pentru evidențierea efectelor colaterale generate de colapsul bulei cavitationale generată cu laser asupra țesuturilor biologice se folosește o metodă originală care constă în compararea valorii presiunii maxime suportată de țesuturi cu valoarea presiunii de impact a jetului lichid care străbate interiorul bulei și a presiunii unde de soc emisă în punctul final al colapsului.

Principalele rezultate obținute în cadrul investigațiilor analitice, numerice și experimentale sunt următoarele:

1. Valabilitatea modelului matematic care descrie comportarea dinamică a bulei cavitationale sferice în lichide newtoniene compresibile cu comportare pseudoplastică este pusă în evidență experimental, în ambele soluții de polimeri testate, în cazul variației razei bulei în timp.
2. Factorii cu cea mai mare influență asupra oscilației libere a bulei cavitationale sferice în lichide newtoniene sunt compresibilitatea lichidului, dominantă pentru bulele cu $R_{\max} > 10^{-1}$ mm, și viscozitatea corespunzătoare vitezei de deformare infinită, dominantă pentru bulele cu $R_{\max} = 10^{-2}$ mm. În domeniul investigat experimental, $1 \text{ mm} > R_{\max} > 0,1 \text{ mm}$, influența componentei elastice a lichidului asupra oscilației bulei este nesemnificativă.
3. Pentru condiții similare generării bulei cu laser, comportarea dinamică a bulei cavitationale sferice situată în sânge uman este mai violentă decât în apă dacă raza maximă a bulei este $R_{\max} > 0,1 \text{ mm}$. Efectele colaterale induse de evoluția bulei în tratamentele clinice cu laser pot fi subestimate prin experimentele *in vitro* în care lichidul ambiant bulei este apă.
4. Caracteristica pseudoplastică a viscozității lichidului nu modifică legea $1/r$ de atenuare în lichid a presiunii maxime la peretele bulei.

5. În cazul generării bulei cavitationale sferice cu laser, pentru $R_{\max} > 0.1$ mm, viteza maximă de colaps a peretelui bulei este aproximativ 2300 m/s în timp ce presiunea maximă în lichid la peretele bulei este aproximativ 110 kbar. În domeniul investigat experimental, emisia acustică este principalul mecanism de amortizare a oscilației bulei și, în medie, 98% din energia bulei este pierdută în timpul primului colaps.
6. Valoarea de prag a energiei pulsului laser necesară pentru generarea bulei cavitationale scade prin aditivarea apei cu mici cantități de polimeri. Eficiența conversiei energiei pulsului laser în energie potențială a bulei scade de la 25% în cazul apei la 20% în ambele soluții de polimeri testate.
7. Aditivarea apei cu mici cantități de polimeri conduce la prelungirea timpului de colaps al bulei. Efectul este cu atât mai pronunțat cu cât distanța între bulă și peretele solid este mai mică. În cazul bulei sferice cu $R_{\max} > 0,1$ mm, influența aditivării cu polimeri asupra timpului de colaps este nesemnificativă.
8. Viteza maximă a jetului lichid format în timpul colapsului bulei în apropierea unui perete solid, determinată ca viteza peretelui superior al bulei, este diminuată prin aditivarea apei cu polimeri. Comparativ cu cazul apei viteza maximă a jetului este mai mică cu 18% în cazul soluției 0,5% CMC și cu 31% în cazul soluției 0,5% PAM. Atât componenta vâscoasă cât cea elastică a lichidului contribuie la această diminuare.
9. Un al doilea jet lichid în interiorul bulei, orientat în sens opus peretelui solid, nu a fost observat în investigațiile optice. Structura formată la partea superioară a bulei (opusă frontierei solide) este formată din mici cavități de gaz captat la impactul jetului cu peretele opus al bulei. Proprietățile viscoelastice ale lichidului contribuie la inhibarea formării și evoluției acestei structuri.
10. Un maxim de presiune localizat în apropierea peretelui superior al bulei este pus în evidență prin interferometrie holografică. Distribuția de presiune în lichidul înconjurător bulei este într-un remarcabil acord calitativ cu investigațiile numerice existente. Asimetria distribuției de presiune între peretele superior și inferior al bulei amplifică migrația bulei înspre frontiera solidă.
11. Analiza hologramelor obținute evidențiază că prezenta aditivilor polimerici conduce la diminuarea amplitudinii presiunii unde de soc emisă în punctul final al colapsului bulei situată în apropierea unui perete solid. Diminuarea emisiei acustice este datorată atenuării colapsului bulei în soluțiile apoase de polimeri.
12. Migrația bulei înspre peretele solid este redusă prin aditivarea apei cu polimeri. Reducerea migrației este cu atât mai mare cu cât distanța relativă între bulă și peretele solid este mai mică.
13. Comportarea bulei cavitationale în apropierea unei frontiere solide este influențată și de dimensiunea bulei în faza expansiunii maxime. Diminuarea valorii razei maxime a bulei conduce la reducerea migrației bulei înspre frontiera solidă și a vitezei maxime a jetului.
14. Prin prisma investigațiilor asupra colapsului liber al bulei cavitationale în apropierea unui perete solid reducerea distrugerilor cavitationale în soluții apoase de polimeri este datorată atenuării puternice a microbulelor ($R_{\max} \sim 10^{-2}$ mm) obținute prin dezintegrarea formei toroidale a cavității generată de mișcarea jetului lichid în interiorul bulei. Diminuarea presiunii maxime la peretele bulei, migrației bulei înspre peretele solid și a vitezei jetului lichid contribuie suplimentar la reducerea distrugerilor cavitationale.
15. În cazul bulei cavitationale generată cu laserul Nd:YAG cu durata pulsului 8 ns în tratamentele clinice atât jetul lichid cât și unda de soc emisă în punctul final al colapsului pot genera efecte colaterale negative prin distrugerea tesuturilor sau celulelor biologice.

Aceasta deoarece valoarea maximă a presiunii suportată de tesuturi este inferioară valorii presiunii de impact a jetului și a undei de soc.

Rezultatele obținute permit evidențierea următoarelor concluzii cu caracter aplicativ pentru diminuarea efectelor colaterale negative generate de evoluția bulei bulei cavitationale în aplicațiile medicale ale laserilor:

- În cazul folosirii laserului Nd:YAG cu durata pulsului 8 ns și lungimea de undă a radiației 1064 nm se recomandă ca energia pulsului să fie cuprinsă între 0,265 mJ și 0,53 mJ în cazul capsulotomiei și între 0,15 mJ și 0,6 mJ în cazul litotritiei sau angioplastiei cu laser. Pentru aceste valori ale energiei pulsului laser intensitatea colapsului bulei cavitationale este suficient de scăzută pentru a evita distrugerea tesuturilor biologice dar suficient de ridicată pentru fragmentarea calculilor renali sau biliari.
- Se recomandă scăderea locală a temperaturii lichidului biologic în care raza laser este focalizată. Consecutiv, creșterea viscozității lichidului și diminuarea vitezei sunetului în lichid conduc la atenuarea puternică a presiunii undei de soc emisă în punctul final al colapsului și a vitezei maxime a jetului lichid.
- Se recomandă ca unghiul de focalizare al razei laser să fie cel puțin 21° pentru a evita generarea de multiple bule cavitationale în lichidul biologic. În plus, folosirea unei lentile acromat ca ultimă lentilă de focalizare este avantajoasă pentru minimizarea aberațiilor geometrice ale plasmăi.
- În cazul litotritiei sau angioplastiei cu laser poziționarea corectă a fibrei optice este esențială pentru evitarea interacțiunii plasmă-tesut și poate fi realizată utilizând răspunsul diferit al semnalului fluorescent, emis simultan cu pulsul laser, reflectat de tesut sau calcul. În cazul capsulotomiei diminuarea pulsului laser la ordinul picosecundelor (30 -40 ps) conduce la amplificarea preciziei inciziei chirurgicale. În ambele cazuri, interacțiunea plasmă-tesut în absența lichidului biologic poate fi realizată prin divizarea pulsului laser în două pulsuri astfel încât al doilea puls, cu energie ridicată, să fie emis în momentul expansiunii maxime a bulei cavitationale generată de primul puls cu o valoare mică a energiei. Raportul optim al energiei celor două pulsuri este cuprins între 1:17 și 1:30.

Perspectivile investigațiilor asupra comportării dinamice a bulei cavitationale în lichide newtoniene pot fi sumarizate astfel:

1. Obținerea unui model matematic care să descrie comportarea bulei situată în lichide newtoniene și în apropierea unui perete solid. Pentru modelarea corectă a colapsului bulei formularea matematică trebuie să includă compresibilitatea lichidului, caracteristica pseudoplastică a viscozității și elasticitatea lichidului.
2. Determinarea amplitudinii presiunii undei de soc emisă în punctul final al colapsului bulei prin măsurători acustice și, consecutiv, verificarea experimentală a legii $1/r$ de atenuare în lichid a presiunii maxime la peretele bulei.
3. Determinarea cantitativă a distribuției presiunii în lichidul înconjurător bulei prin combinarea metodei interferometriei holografice cu dublă expunere cu metode tomografice. Avantajul acestor metode constă în precizarea presiunii până în imediata vecinătate a peretelui bulei.

- 4 . Efectuarea de cercetări experimentale asupra evoluției bulei cavitationale generată cu laser în sânge uman și, pe cât posibil, în geometrii identice cu cele ale tesuturilor biologice.
- 5 . Continuarea investigațiilor experimentale asupra dinamicii bulei cavitationale în soluții apoase de polimeri la valori $\gamma < 1$.
- 6 . Evaluarea distrugerilor cavitationale generate de colapsul bulei cavitationale individuale în lichide nenumtoniene.

Mulumiri

Îi sunt profund recunoscător Domnului Academician Ioan Anton pentru sfaturile si comentariile deosebit de valoroase si stimulative asupra lucrării în timpul elaborării ei. Sunt onorat că am avut sansa să lucrez sub conducerea stiintifică a Domniei Sale.

Le rămân extrem de recunoscător Domnilor Profesor Werner Lauterborn (Universität Göttingen) si Profesor Kazuyoshi Takayama (Tohoku University) pentru sprijinul generos acordat în realizarea întregii părți experimentale si pentru comentariile si sugestiile valoroase privind această lucrare.

Îi rămân îndatorat Domnului Profesor Emerit Akira Shima (Tohoku University) pentru comentariile si încurajările generoase pe toată durata elaborării lucrării. Entuziasmul meu pentru studiul dinamicii bulei cavitationale a fost stimulat de lucrările Domniei Sale

Îi sunt în mod deosebit recunoscător Domnului Profesor Yukio Tomita (Hakodate University) care a urmărit întreaga lucrare, începând cu primele rezultate, si pentru comentariile pline de competență.

Doresc în mod deosebit să îi multumesc Domnului Dr. Michael Delius (Ludwig-Maximilians Universität) pentru informatiile furnizate în legătură cu aplicatiile laserilor în medicină si pentru discutiile asupra efectelor biologice generate de evolutia bulei cavitationale.

Pentru discutiile asupra anumitor subiecte datorez, de asemenea, mulțumiri lui Claus-Dieter Ohl (Universität Göttingen), Dr. Alfred Vogel (Medizinisches Laserzentrum Lubeck), Dr. Kiyoshi Yamada (Tohoku University) si Dr. Achim Philipp (TH Darmstadt)

Mulumesc Domnilor Profesor Victor Ancusa si Profesor Mircea Popoviciu (de la Universitatea "Politehnica" din Timisoara) pentru sprijinul acordat si pentru discutiile interesante asupra unor aspecte ale lucrării

Îi multumesc Domnului Profesor Adrian Badea (Universitatea "Politehnica" din Bucuresti) pentru sprijinul generos acordat în folosirea tehnicii de calcul de la CET-Laborator, Catedra de Centrale si Rețele Electrice a UPB

Nu pot spera că această lucrare este acum fără greșeli sau puncte obscure dar sunt sigur că este cu mult mai clară decât ar fi fosti fără ajutorul generos pe care l-am primit

Această lucrare a fost finanțată de Deutsche Forschungsgemeinschaft prin Sonderforschungsbereich 185 - Nichtlineare Dynamik în 1994 și de Tohoku University prin Shock Wave Research Grant în 1995. Sprijinul financiar oferit de Gesellschaft für Angewandte Mathematik und Mechanik în 1993, Acoustical Society of America în 1994 și Institut für Chirurgische Forschung - Ludwig Maximilians Universität München în 1994 este de asemenea recunoscut.

Toate ilustrațiile fotografice sunt protejate împotriva copiei. Detinătorii dreptului de copie sunt Deutsche Forschungsgemeinschaft și Japan Society for the Promotion of Science. Dreptul de copie conține drepturile exclusive de a reproduce ilustrațiile fotografice în orice formă și prin orice mijloace, fotografice, electronice, electrostatice, magnetice sau mecanice, în orice material destinat comercializării.

BIBLIOGRAFIE

1. **P. Chantraine**, Dictionnaire etymologique de la langue française. *Klincksiek*, Paris, 1968.
2. **C.T. Lewis, C. Short**, A latin dictionary. *Clarendon*, Oxford, 1975.
3. **J.A. Simpson, E.S.C. Weiner** (ed.), Oxford English dictionary. *Clarendon*, Oxford, 1989.
4. **A.H. Skelland**, Non-Newtonian flow and heat transfer. *Wiley*, New York, 1967.
5. **B.A. Toms**, Some observations on the flow of linear polymer solutions through straight tubes at large Reynolds numbers. *Proc. First Intern. Congr. Rheology*, 1948, 135 - 141.
6. **I. Anton**, Cavitatia I. *Edit. Academiei*, Bucuresti, 1984.
7. **F.R. Young**, Cavitation. *McGraw - Hill*, London, 1989.
8. **R.T. Knapp, J.W. Daily, F.G. Hammitt**, Cavitation. *McGraw - Hill*, New York, 1970.
9. **W. Lauterborn** (ed.), Cavitation and inhomogeneities in underwater acoustics. *Springer - Verlag*, Berlin, 1980.
10. **A.T. Ellis, J.W. Hoyt**, Some cavitation experiments in other liquids than water. *ASME Cavitation Forum*, 1968, 2.
11. **A.T. Ellis, J.G. Waugh, R.Y. Ting**, Cavitation suppression and stress effects in high-speed flows of water with dilute macromolecule additives. *Trans. ASME : J. Basic Engng.* **94** (1970), 459 - 466.
12. **J.H.J. Van der Meulen**, Cavitation suppression by polymer injection. *ASME Cavitation and Polyphase Flow Forum*, 1976, 1 - 3.
13. **C. Brennen**, Some cavitation experiments with dilute polymer solutions. *J. Fluid Mech.*, **44** (1970), 51 - 63.
14. **R.Y. Ting**, Characteristics of flow cavitation in dilute solutions of polyethylene oxide and polyacrilamide. *Phys. Fluids*, **21** (1978), 898 - 901.
15. **J.W. Hoyt**, Effect of polymer additives on jet cavitation. *Trans ASME : J. Fluids Engng.* **98** (1976), 106 - 112.
16. **C.B. Baker, J.W. Holl, R.E.A. Arndt**, Influence of gas content and polyethylene oxide additive upon confined cavitation in water. *ASME Cavitation and Polyphase Forum*, 1976, 6 - 8.
17. **R. Oba, Y. Ito, K. Uranishi**, Effect of polymer additives on cavitation development and noise in water flow through an orifice. *Trans ASME : J. Fluids Engng.* **100** (1978), 493 - 499.
18. **R. Oba, K.T. Kim, K. Uranishi**, Singular behaviour of cavitation in undersaturated water. *Rep. Inst. High Speed Mech., Tohoku Univ.*, **46** (1983), 75 - 88.
19. **R. Oba, Y. Ito, H. Miakura, J. Higuchi, K. Sato**, Stochastic behaviour (randomness) of acoustic pressure pulses in the near - subcavitating range. *JSMIE International Journal*, **30** (1987), 581 - 586.
20. **R. Oba, H. Miyakura, R. Ikeda, S. Igarashi**, A mechanism of dissolved gas content effect upon cavitation inception. *Rep. Inst. High Speed Mech., Tohoku Univ.*, **57** (1989), 27 - 38.

21. **C.A. Johnsson**, Cavitation inception on head forms. Further tests. *Proc. 12th Intern. Tower Tank Conf.*, Rome, 1969, 381 - 392.
22. **R. Oba, Y. Ito**, Cavitation aspects in a Venturi ("Johnsson effects" in a low turbulent flow). *Rep. Inst. High Speed Mech., Tohoku Univ.*, **46** (1983), 89 - 102.
23. **R. Oba, K. Uranishi, S. Yasu**, "Johnsson effects" in cavitating flow through an orifice with enormous pressure fluctuations. *Rep. Inst. High Speed Mech., Tohoku Univ.*, **44** (1981), 25 - 34.
24. **R. Oba, T. Ikohagi, K.T. Kim**, Cavitation in an extremely limited flow through very small orifices. *Trans. ASME : J. Fluids Engng.* **104** (1982), 94 - 98.
25. **R.E.A. Arndt**, Semiempirical analysis of cavitation in the wake of a sharp-edged disk. *Trans ASME : J. Fluids Engng.* **98** (1976), 560 - 562.
26. **E. Yilmaz, F.G. Hammitt, A. Keller**, Cavitation inception thresholds in water and nuclei spectra by light-scattering technique. *J. Acoust. Soc. Am.*, **59** (1976), 329 - 338
27. **O. Ahmed, F.G. Hammitt**, Cavitation nuclei size distribution in high speed water tunnel under cavitating and non-cavitating conditions. *Univ. Michigan, ORA Report UMIC/H 013570-23-T* (1972).
28. **G. Haussman**, Determination of bubble size spectra by digital processing of holograms. In: Cavitation and inhomogeneities in underwater acoustics; Ed.: W. Lauterborn, *Springer-Verlag*, Berlin, 1980, 219 - 224.
29. **G. ter Haar, S. Daniels**, Evidence for ultrasonically induced cavitation in vivo. *Phys. Med. Biol.*, **26** (1981), 1145 - 1149.
30. **R. Oba, K.T. Kim, H. Niitsuma, T. Ikohagi, R. Sato**, Cavitation nuclei measurements by a newly made Coulter-counter without adding salt in water. *Rep. Inst. High Speed Mech., Tohoku Univ.*, **43** (1981), 163 - 176.
31. **A. Shima, T. Tsujino, J. Tanaka**, On the equation for the size distribution of bubble nuclei in liquids. *Rep. Inst. High Speed Mech., Tohoku Univ.*, **50** (1985), 59 - 66.
32. **R. Oba, Y. Ito**, Cavitation shock pressures in a Venturi. *Rep. Inst. High Speed Mech., Tohoku Univ.*, **32** (1975), 33 -49.
33. **I.F. Shapoval, K.K. Shal'nev**, Cavitation and erosion in aqueous solutions of polyacrylamide. *Sov. Phys. Dokl.*, **22** (1977), 635 - 637.
34. **V. Ashworth, R.P.M. Procter**, Cavitation damage in dilute polymer solutions. *Nature*, **258** (1975), 64 - 66.
35. **A. Shima, T. Tsujino, H. Nanjo, N. Miura**, Cavitation damage in polymer aqueous solutions. *Trans. ASME : J. Fluids Engng.* **107** (1985), 134 - 138.
36. **H. Nanjo, A. Shima, T. Tsujino**, Formation of damage pits by cavitation in a polymer solution. *Nature*, **320** (1986), 516 - 517.
37. **T. Tsujino, A. Shima, H. Nanjo**, Effects of various polymer additives on cavitation damage. *Proc. Instn. Mech. Engrs.*, **200 (C4)** (1986), 231 - 235.
38. **T. Tsujino**, Cavitation damage and noise spectra in a polymer solution. *Ultrasonics*, **25** (1987), 67 - 72.
39. **P.A. Barnes, K.E. Rieckhoff**, Laser induced underwater sparks. *Appl. Phys. Lett.*, **13** (1968), 282 - 284.
40. **A. Vogel, W. Hentschel, J. Holzfuss, W. Lauterborn**, Cavitation bubble dynamics and acoustic transient generation in ocular surgery with pulsed Neodymium:YAG lasers. *Ophthalmology*, **93** (1986), 1259 - 1269.
41. **M.M. Krasnov**, Q-Switched laser goniopuncture. *Arch. Ophthal.*, **92** (1974), 37 - 41.

42. M.M. Krasnov, Q-Switched laser iridotomy and Q-Switched laser goniopuncture. *Actv. Ophthalm.*, **34** (1977), 192 - 196.
43. F. Frankhauser, P. Roussel, J. Steffen, E. van der Zypen, A. Chrenkova, Clinical studies on the efficiency of high power laser radiation upon some structures of the anterior segment of the eye. *Int. Ophthalmol.*, **3** (1981), 129 - 139.
44. D. Aron-Rosa, J. Aron, J. Griesemann, R. Thyzel, Use of the neodymium:YAG laser to open the posterior capsule after lens implant surgery: A preliminary report. *J. Amer. Intraocul. Implant Soc.*, **6** (1980), 352 - 354.
45. V.P. Gabel, L. Neubauer, H. Zink, R. Birngruber, Ocular side effects following neodymium:YAG laser irradiation. *Int. Ophthalmol. Clin.*, **25** (1985), 137 - 149.
46. P. Coonan, W.E. Fung, R.G. Webster, A.W. Allen, R.L. Abbott, The incidence of retinal detachment following extracapsular cataract extraction. A ten year study. *Ophthalmology*, **92** (1985), 1096 - 1101.
47. C.D. Binhorst, Five hundred planned extracapsular extractions with irido-capsular and iris clip lens implantation in senile cataract. *Ophthalmic Surg.*, **8** (1977), 37-44.
48. F.G. Hurite, E.M. Sorr, W.G. Everett, The incidence of retinal detachment following phacoemulsification. *Ophthalmology*, **86** (1979), 2004-2006.
49. N.S. Jaffe, H.M. Clayman, M.S. Jaffe, Retinal detachment in myopic eyes after intracapsular and extracapsular cataract extraction. *Am. J. Ophthalmol.*, **97** (1984), 48-52
50. K.R. Wilhelmus, J.M. Emery, Posterior capsule opacification following phacoemulsification. *Ophthalmic Surg.*, **11** (1980), 264-267.
51. M.J. Flohr, A.L. Robin, J.S. Kelley, Early complications following Q-Switched neodymium:YAG laser posterior capsulotomy. *Ophthalmology*, **92** (1985), 636-640.
52. S.R. Leff, J.C. Welch, W. Tasman. Rhegmatogenous retinal detachment after YAG laser posterior capsulotomy. *Ophthalmology*, **94** (1987), 1222 - 1225.
53. R.L. Winslow, B.C. Taylor, Retinal complications following YAG laser capsulotomy. *Ophthalmology*, **92** (1985), 785 - 789.
54. R.R. Ober, C.P. Wilkinson, J.V. Fiore Jr., J.M. Maggiano. Rhegmatogenous retinal detachment after neodymium: YAG laser capsulotomy in phakic and pseudophakic eyes. *Am. J. Ophthalmol.*, **101** (1986), 81-89.
55. A. Vogel, P. Schweiger, A. Frieser, M.N. Asiyo, R. Birngruber, Intraocular Nd:YAG laser surgery: Light-tissue interaction, damage range, and reduction of collateral effects *IEEE J. Quantum Electron.*, **QE - 26** (1990), 2240 - 2260.
56. H. Schmidt-Kloiber, E. Reichel, H. Schoffman, Laser induced shock-wave lithotripsy. *Biomed. Technik*, **30** (1985), 173 - 181.
57. F. Frank, A. Hoffstetter, E. Keiditsch, F. Wondrazek, Experimental investigation of Nd:YAG laser induced shock waves for lithotripsy. *Eur. Urol.*, **12** (1986), 54 - 57.
58. B. Zysset, J.G. Fujimoto, T.F. Deutsch, Time resolved measurements of picosecond optical breakdown. *Appl. Phys. B*, **48** (1989), 139 -147.
59. P. Teng, N.S. Nishioka, R.R. Anderson, T.F. Deutsch, Optical studies of pulsed-laser fragmentation of biliary calculi. *Appl. Phys. B*, **42** (1987), 73 - 78.
60. J.L. Lumley, Drag reduction by additives. *Ann. Rev. Fluid Mech.*, **1** (1969), 36 -55.
61. L.A. Crum, J.E. Brossey, Effect of dilute polymer additives on the acoustic cavitation threshold of water. *Trans. ASME : J. Fluids Engng.* **106** (1984), 99 - 104.
62. A. Casale, R.S. Porter, Polymer stress reactions. *Academic Press*, New York, 1979.
63. Y. Ito, R. Oba, Several types of cavitation. especially on streamer-cavitation *Rep. Inst. High Speed Mech., Tohoku Univ.*, **49** (1984), 23 - 38.

64. **G. Bohme, L.Rupart**, Einblick in die theoretische Analyse der Strömungen viskoelastischer Flüssigkeiten. *GAMM Mitteilungen*, **16(1)** (1993), 59 - 97.
65. **P.A. Lush**, Impact of a liquid mass on a perfectly plastic solid. *J. Fluid Mech.*, **135** (1983), 373-387.
66. **W.J. Yang, H.C. Yeh**, Theoretical study of bubble dynamics in purely viscous fluids. *AIChE J.*, **12** (1966), 927 - 931.
67. **A. Shima, T. Tsujino**, The behaviour of bubbles in polymer solutions. *Chem. Engng Sci.*, **31** (1976), 863 - 869.
68. **A. Shima, T. Tsujino**, The behaviour of gas bubbles in the Casson Fluid. *Trans. ASME : J. Appl. Mech.*, **100** (1978), 37 - 42.
69. **A. Shima, T. Tsujino**, The behaviour of bubbles in an Ellis fluid. *Rep. Inst. High Speed Mech., Tohoku Univ.*, **42** (1980), 25 - 41.
70. **A. Shima, T. Tsujino**, The behaviour of bubbles in a Carreau model fluid. *Rep. Inst. High Speed Mech., Tohoku Univ.*, **42** (1980), 43 - 58.
71. **A. Shima, T. Tsujino**, The effect of polymer concentration on the bubble behaviour and impulse pressure. *Chem. Engng Sci.*, **36** (1981), 931 - 935.
72. **A. Shima, T. Tsujino, J. Tanaka**, Studies of bubble behaviour and non-Newtonian viscosity of polymer solutions (Report 1). *Rep. Inst. High Speed Mech., Tohoku Univ.*, **46** (1983), 103 - 129.
73. **T. Tsujino, A. Shima**, Studies of bubble behaviour and non-Newtonian viscosity of polymer solutions (Report 2). *Rep. Inst. High Speed Mech., Tohoku Univ.*, **46** (1983), 131 - 151.
74. **T. Tsujino, A. Shima**, Studies of bubble behaviour and non-Newtonian viscosity of polymer solutions (Report 3). *Rep. Inst. High Speed Mech., Tohoku Univ.*, **46** (1983), 153 - 180.
75. **A. Shima, T. Tsujino**, On the dynamics of bubbles in polymer aqueous solutions. *Appl. Sci. Res.*, **38** (1982), 255 - 263.
76. **A. Shima, T. Tsujino, K. Yokoyama**, The behaviour of bubbles in Sutterby model fluids. *Rep. Inst. High Speed Mech., Tohoku Univ.*, **49** (1984), 39 - 52.
77. **E.A. Brujan**, The effect of polymer additives on the bubble behaviour and impulse pressure. *Chem. Engng Sci.*, **48** (1993), 3519 - 3527.
78. **E.A. Brujan**, The behaviour of bubbles in Bueche model fluids. *Pol. Engng Sci.*, **34** (1994), 1550 - 1559.
79. **J.M. McKelvey**, Polymer Processing. *Wiley*, New York, 1962.
80. **A. Shima, Y. Tomita**, On the impulse pressure accompanying spherical bubble collapse in liquids. *Rep. Inst. High Speed Mech., Tohoku Univ.*, **31** (1975), 97 - 135.
81. **J. Szekely, G.P. Martins**, Non-equilibrium effects in the growth of spherical gas bubbles due to solute diffusion. *Chem. Engng Sci.*, **26** (1971), 147 - 152.
82. **J. Szekely, S. Fang**, Non-equilibrium effects in the growth of spherical gas bubbles due to solute diffusion - II. *Chem. Engng Sci.*, **28** (1973), 2127 - 2133.
83. **D.E. Rosner, M.Epstein**, Effects of interface kinetics, capillarity and solute diffusion on bubble growth rates in highly supersaturated solutions. *Chem. Engng Sci.*, **27** (1972), 69 - 78.
84. **J.E. Burman, G.J. Jameson**, Growth of spherical gas bubbles by solute diffusion in non-Newtonian (power-law) liquids. *Int. J. Heat Mass Transfer*, **21** (1978), 127 - 136.
85. **Y. Sato, A. Shima**, The growth of bubbles in viscous incompressible liquids. *Rep. Inst. High Speed Mech., Tohoku Univ.*, **40** (1979), 23 - 49.

86. **J.R. Street, A.L. Frick, L.P. Reiss**, Dynamics of phase growth in viscous, non-Newtonian liquids. *Ind. Eng. Chem. Fundam.*, **10** (1971), 54 - 64.
87. **R.W. Schrange**, A theoretical study of interface mass transfer. *Columbia University Press*, New York, 1953.
88. **E.A. Brujan**, Nonequilibrium bubble collapse in non-Newtonian liquids. *Int. J. Heat Mass Transfer* (sub tipar).
89. **S. Fujikawa, T. Akamatsu**, Effects of the non-equilibrium condensation of vapour on the pressure wave produced by the collapse of a bubble in a liquid. *J. Fluid Mech.*, **97** (1980), 481-512.
90. **A. Shima, T. Tsujino, H. Nanjo**, The behaviour of bubbles in electroviscous fluid. *Rep. Inst. High Speed Mech., Tohoku Univ.*, **50** (1985), 43 - 58.
91. **H.S. Fogler, J.D. Goddard**, Collapse of spherical cavities in viscoelastic fluids. *Phys. Fluids*, **13** (1970), 1135 - 1141.
92. **S.K. Hara, W.R. Schowalter**, Dynamics of nonspherical bubbles surrounded by viscoelastic fluid. *J. Non-Newtonian Fluid Mech.*, **14** (1984), 249 - 264.
93. **C. Kim**, Collapse of spherical bubbles in Maxwell fluids. *J. non-Newtonian Fluid Mech.*, **55** (1994), 37-58.
94. **I. Tanasawa, W.J. Yang**, Dynamic behaviour of a gas bubble in viscoelastic liquids. *J. Appl. Phys.*, **41** (1970), 4526 - 4531.
95. **R.Y. Ting**, Viscoelastic effect of polymers on single bubble dynamics. *AIChE J.*, **21** (1975), 810-812.
96. **T. Tsujino, A. Shima, J. Tanaka**, Effect of viscoelasticity on bubble collapse and induced impulsive pressure. *Rep. Inst. High Speed Mech., Tohoku Univ.*, **55** (1988), 1 - 15
97. **A. Shima, T. Tsujino, J. Oikawa**, The collapse of bubbles in viscoelastic fluids. *Rep. Inst. High Speed Mech., Tohoku Univ.*, **55** (1988), 17 - 34.
98. **R.Y. Ting**, Effect of polymer viscoelasticity on the initial growth of a vapour bubble from gas nuclei. *Phys. Fluids*, **20** (1977), 1427 - 1431.
99. **C. Inge, F.H. Bark**, Surface tension driven oscillations of a bubble in a viscoelastic liquid. *Appl. Sci. Res.*, **38** (1982), 231 - 238.
100. **W.R. Schowalter**, Growth and collapse of bubbles in rheologically complex liquids. *Proc. IX Intl. Congress on Rheology*, Mexico, 1984, 225 - 242.
101. **W.D. McComb, S. Ayyash**, The production, pulsation and damping of small air bubbles in dilute polymer solutions. *J. Phys. D: Appl. Phys.*, **13** (1980), 773 - 787.
102. **A. Shima, Y. Tomita, T. Ohno**, The collapse of minute gas bubbles in a dilute polymer solution. *Phys. Fluids*, **27** (1984), 539 - 540.
103. **A. Prosperetti**, Viscous effects on perturbed spherical flows. *Q. Appl. Math.*, **34** (1977), 339 - 352.
104. **A. Prosperetti**, On the dynamics of non-spherical bubbles. In: Cavitation and inhomogeneities in underwater acoustics; Ed: W. Lauterborn, *Springer-Verlag*, Berlin, 1980, 13-22.
105. **G.L. Chahine, D.H. Fruman**, Dilute polymer solution effects on bubble growth and collapse. *Phys. Fluids*, **22** (1979), 1406 - 1407.
106. **P.S. Kezios, W.R. Schowalter**, Rapid growth and collapse of single bubbles in polymer solutions undergoing shear. *Phys. Fluids*, **29** (1986), 3172 - 3181.
107. **H. Chmiel, E. Walitza**, On the rheology of human blood and synovial fluids. *Research Studies Press*, Chichester, 1980.

108. Wissenschaftliche Tabellen Geigy, Teiband Hämatologie und Humangenetik, 8. Auflage, Basel, 1979.
109. X. Wang, G. Maurice, M. Lucius, J.F. Stolz, Etude comparative de modele rheologiques applicables au sang. *ITBM*, **10** (1989), 367-382.
110. T.F. MacKintosh, C.H.M. Walker, Blood viscosity in the newborn. *Arch. Dis. Childh.*, **48** (1973), 547-553.
111. G. Rosenblatt, J. Stokes, D.R. Bassett, Whole blood viscosity, hematocrit, and serum lipid levels in normal subjects and patients with coronary heart disease. *J. Lab. Clin. Med.*, **65** (1965), 202-211.
112. M. Strumia, M. Phillips, Effect of red cell factor on the relative viscosity of whole blood. *Am. J. Clin. Path.*, **39** (1963), 464-474.
113. E. Schmidt, Properties of water and steam in SI-units. *Springer-Verlag*, Berlin, 1989.
114. A. Derdouri, A. Ait-Kadi, P.J. Carreau, Rheological properties of polymer-added lubricating oils. *Can. J. Chem. Engng.*, **66** (1988), 709-713.
115. W.R. Schowalter, Mechanics of Non-Newtonian Fluids, *Pergamon Press*, London, 1978.
116. D.D. Joseph, G.S. Beavers, A. Cers, C. Dewald, A. Hoger, P.T. Than, Climbing constants for various liquids. *J. Rheol.*, **28** (1984), 325-345.
117. Ca si reometrul con-placă de la Institut für Angewandte Physik, TH Darmstadt.
118. C. Leake, M. Kohl, G. Stebbins, Diurnal variations in the blood specific gravity and erythrocyte count in healthy human adults. *Am. J. Physiol.*, **81** (1927), 493.
119. D. van Slyke, R. Phillips, V. Dole, P. Hamilton, R. Archibald, J. Plazin, Calculation of hemoglobin from blood specific gravities. *J. Biol. Chem.*, **183** (1950), 349-360.
120. L. Haar, J. Gallagher, G. Kell, NBS/NRC Wasserdampfafelm. *Springer-Verlag*, Berlin, 1988.
121. T. Bakke, T. Gytre, A. Haagenen, L. Giezendanner, Ultrasonic measurement of sound velocity in whole blood. *Scand. J. Clin. Lab. Invest.*, **35** (1975), 473-478.
122. W. Heimisch, Die sonomikrometrie in der herz und kreislaufforschung. *Dissertation*, Ludwig-Maximilians-Universität, München, 1989.
123. A. Prosperetti, Bubble dynamics: a review and some recent results. *Appl. Sci. Res.*, **38** (1982), 145-164.
124. C. Herring, Theory of the pulsations of the gas bubble produced by an underwater explosion. *OSRD Rep.* **236** (1941).
125. L. Trilling, The collapse and rebound of a gas bubble. *J. Appl. Phys.*, **23** (1952), 14-17.
126. Y. Tomita, A. Shima, On the behaviour of a spherical bubble and the impulse pressure in a viscous compressible liquid. *Bull. JSME*, **20** (1977), 1453-1460.
127. H. Rath, Free and forced oscillations of spherical gas bubbles and their translational motion in a compressible fluid. In: Cavitation and inhomogeneities in underwater acoustics; Ed.: W. Lauterborn, *Springer-Verlag*, Berlin, 1980, 64-71.
128. F.R. Gilmore, The collapse and growth of a spherical bubble in a viscous compressible liquid. *CIT Hydrodyn. Lab.*, Rep. **26-4** (1952).
129. E. Cramer, The dynamics and acoustic emission of bubble driven by a sound field. In: Cavitation and inhomogeneities in underwater acoustics; Ed.: W. Lauterborn, *Springer-Verlag*, Berlin, 1980, 54-63.

130. **J.B. Keller, I.I. Kolodner**, Damping of underwater explosion bubble oscillations. *J. Appl. Phys.*, **27** (1956), 1152-1161.
131. **J.B. Keller, M. Miksis**, Bubble oscillations of large amplitude. *J. Acoust. Soc. Am.*, **68** (1980), 628-633.
132. **A. Prosperetti, A. Lezzi**, Bubble dynamics in a compressible liquid. Part 1. First-order theory. *J. Fluid Mech.*, **168** (1986), 457-478.
133. **A. Lezzi, A. Prosperetti**, Bubble dynamics in a compressible liquid. Part 2. Second-order theory. *J. Fluid Mech.*, **185** (1987), 289-321.
134. **A. Prosperetti**, The equation of bubble dynamics in a compressible liquid. *Phys. Fluids*, **30** (1987), 3626-3628.
135. **P.A. Lagerstrom, R.G. Carsten**, Basic concepts underlying singular perturbation techniques. *SIAM Rev.*, **14** (1972), 63-120.
136. **N.D. Shutler, R.B. Mesler**, A photographic study of the dynamics and damage capabilities of bubbles collapsing near solid boundaries. *Trans. ASME D: J. Basic Engng.*, **87** (1965), 511-517.
137. **Y. Tomita, A. Shima**, Mechanism of impulsive pressure generation and damage pit formation by bubble collapse. *J. Fluid Mech.*, **169** (1986), 535-564.
138. **A. Vogel, W. Lauterborn, R. Timm**, Optical and acoustic investigations of the dynamics of laser-produced cavitation bubbles near a solid boundary. *J. Fluid Mech.*, **206** (1989), 299-338.
139. **J.R. Blake, B.B. Taib, G. Doherty**, Transient cavities near boundaries. Part 2. Free surface. *J. Fluid Mech.*, **181** (1987), 197-212.
140. **T. Kodama, Y. Tomita, A. Shima, R. Iwata**, Growth and collapse of a laser-produced cavitation bubble near a free surface. *ASME Cavitation Forum, FED-116*, 1991, 27-32.
141. **C.L. Mader**, Initiation of detonation by the interaction of shocks with density discontinuities. *Phys. Fluids*, **8** (1965), 1811-1816.
142. **Y. Tomita, A. Shima**, High-speed photographic observations of laser-induced cavitation bubbles in water. *Acustica*, **71** (1990), 161-171.
143. **T.G. Theofanous, L. Biasi, H.S. Isbin, H.K. Fauske**, Nonequilibrium bubble collapse: a theoretical study. *Chem. Engng Progr. Symp. Ser.*, **66** (1970), 37-47.
144. **V. Kamath, A. Prosperetti, F.N. Egolfopoulos**, A theoretical study of sonoluminescence. *J. Acoust. Soc. Am.*, **94** (1993), 248-260.
145. **T. Wang**, Effects of evaporation and diffusion on an oscillating bubble. *Phys. Fluids*, **17** (1974), 1121-1126.
146. **T. Mitchell, F.G. Hammitt**, On the effects of heat transfer upon collapsing bubbles. *Nucl. Sci. Engng.*, **53** (1974), 263-276.
147. **Y. Tomita, A. Shima**, The effects of heat transfer on the behaviour of a bubble and the impulse pressure in a viscous compressible liquid. *ZAMM*, **59** (1979), 297-306.
148. **M.S. Plesset, A. Prosperetti**, Bubble dynamics and cavitation. *Ann. Rev. Fluid Mech.*, **9** (1977), 145-185.
149. **A. Prosperetti, L.A. Crum, K.W. Commander**, Nonlinear bubble dynamics. *J. Acoust. Soc. Am.*, **83** (1988), 502-514.
150. **A. Prosperetti**, The thermal behaviour of oscillating gas bubbles. *J. Fluid Mech.*, **222** (1991), 587-616.
151. **A. Prosperetti**, Physics of acoustic cavitation. In: *Frontiers in Physical Acoustics*, Ed D. Sette, *North-Holland*, 1986, 145-188.

152. **V. Kamath, H.N. Oguz, A. Prosperetti**, Bubble oscillations in the nearly adiabatic limit. *J. Acoust. Soc. Am.*, **94** (1992), 2016-2023.
153. **R.I. Nigmatulin, N.S. Khabeev**, Heat exchange between a gas bubble and a liquid. *Fluid Dyn.*, **9** (1974), 759-764.
154. **Z.P. Shulman, S.P. Levitsky**, Heat/mass transfer and dynamics of bubbles in high-polymer solutions-1. Free oscillations. *Int. J. Heat Mass Transfer*, **35** (1992), 1077-1084.
155. **N.K. Bourne, J.E. Field**, Cavity collapse in a liquid with solid particles. *J. Fluid Mech.*, **259** (1994), 149-165.
156. **F. Obermeier**, The application of singular perturbation methods to aerodynamic sound generation. *Lecture Notes in Mathematics*, **596** (1976), 400-418.
157. **A. Shima, T. Tsujino**, The dynamics of cavity clusters in polymer aqueous solutions subjected to an oscillating pressure. In: *Bubble dynamics and interface phenomena*; Ed.: J.R. Blake s.a., *Kluwer Academic Publishers*, 1994, 81-92.
158. **W. Lauterborn, A. Vogel**, Modern optical techniques in fluid mechanics. *Ann. Rev. Fluid Mech.*, **16** (1984), 223 - 244.
159. **M.J. Choi, A.J. Coleman, J.E. Saunders**, The influence of fluid properties and pulse amplitude on bubble dynamics in the field of a shock wave lithotripter. *Phys. Med. Biol.*, **38** (1993), 1561 - 1573.
160. **A. Vogel**, Non-linear absorption. Intraocular microsurgery and laser lithotripsy. *Phys. Med. Biol.*, (sub tipar).
161. **U. Radek**, Kavitationserzeugte Druckimpulse und Materialzerstörung. *Acustica*, **26** (1972), 270 - 283.
162. **R. Hickling, M.S. Plesset**, Collapse and rebound of a spherical bubble in water. *Phys. Fluids*, **7** (1964), 7 - 14.
163. **G. Watson, S. Murray, S. Dretler, J. Parrish**, The pulsed dye laser for fragmenting urinary calculi. *J. Urol.*, **138** (1987), 195 - 198.
164. **A. Vogel, R. Engelhardt, U. Behnle, U. Parlitz**, Minimization of cavitation effects in pulsed laser ablation illustrated on laser angioplasty. *Appl. Phys. B*, **62** (1996), 173 - 182.
165. **A. Doukas, D. McAuliff, T. Flotte**, Biological effects of laser-induced shock waves: Structural and functional cell damage in vitro. *Ultrasound Med. Biol.*, **19** (1993), 137 - 146.
166. **R. Zotz, R. Erbel, A. Philipp, A. Judt, H. Wagner, W. Lauterborn, J. Meyer**, High-speed rotational angioplasty-induced echo contrast in vivo and in vitro optical analysis. *Cathet. Cardiovasc. Diagn.*, **26** (1992), 98 - 109.
167. **A. Vogel, S. Busch, U. Parlitz**, Shock wave emission and cavitation bubble generation by picosecond and nanosecond optical breakdown in water. *J. Acoust. Soc. Am.*, **100** (1996), 148 - 175.
168. **A. Doukas, A. Zweig, J. Frisoli, R. Birngruber, T. Deutsch**, Non-invasive determination of shock wave pressure generated by optical breakdown. *Appl. Phys. B*, **53** (1991), 237 - 245.
169. **A. Shima, Y. Tomita**, The behaviour of a spherical bubble near a solid wall in a compressible liquid. *Ing.-Arch.*, **51** (1981), 243 - 255.
170. **W. Hentschel, W. Lauterborn**, Acoustic emission of single laser-produced cavitation bubbles and their dynamics. *Appl. Sci. Res.*, **38** (1982), 225 - 230.
171. **E. Leith, J. Upatnieks**, Wavefront reconstruction with continuous stone objects. *J. Opt. Soc. Am.*, **53** (1963), 1377 - 1381.
172. **W. Lauterborn, W. Hentschel**, Holografische Hochgeschwindigkeitskinematografie. In: *Praxis der Holografie*; Ed: H. Marwitz (expert verlag, Ehningen), 1990, 354 - 370.

173. **C.M. Vest**, Holographic Interferometry, *Wiley*, New York, 1979.
174. **K. Takayama**, Optical flow visualization of shock wave phenomena. In: Shock waves; Eds: R. Brun, L.Z. Dumitrescu, *Springer Verlag*, Berlin, 1995, 7 - 16.
175. **K. Takayama**, Holographic interferometry study of shock wave propagation in two-phase media. In: Proc. 16th Intl. Symp. Shock Tubes and Waves; Ed: H. Grönig, Aachen, 1987, 238 - 249.
176. **J. Langhammer, S. Graciet, I. Vik, M. Espeland, O. Lokberg**, Holographic studies of the bubble generated by a seismic airgun. *J. Acoust. Soc. Am.*, **97** (1995), 362 - 369.
177. **D.W. Sweeney, C.M. Vest**, Reconstruction of three-dimensional refractive index fields from multidirectional interferometric data. *Appl. Opt.*, **12** (1973), 2649 - 2664.
178. **K. Takayama**, Application of holographic interferometry to shock wave research. *Proc. SPIE*, **398** (1983), 174 - 180.
179. **A. Vogel, S. Busch, K. Jungnickel, R. Birngruber**, Mechanisms of intraocular photodisruption with picosecond and nanosecond laser pulses. *Lasers Surg. Med.*, **15** (1994), 32 - 43.
180. **F. Docchio, C.A. Sacchi, J. Marshall**, Experimental investigation of optical breakdown thresholds in ocular media under single pulse irradiation with different pulse duration. *Lasers Ophthalmol.*, **1** (1988), 83 - 93.
181. **B. Zysset, J.G. Fujimoto, C.A. Puliafito, R. Birngruber, T.F. Deutsch**, Picosecond optical breakdown: tissue effects and reduction of collateral damage. *Lasers Surg. Med.*, **9** (1989), 193 - 204.
182. **V. Ancusa**, A theoretical method for determination of the cavitation bubble development in a flow past a body. *Proc. 4th Conf. Hydraulic Machinery and Hydrodynamics, Timisoara*, **2**, pp. 73 - 80 (1994).
183. **A.P. Alloncle, D. Dufresne, M. Autric**, Visualization of laser-induced vapor bubbles and pressure waves. In: Bubble dynamics and interface phenomena. Eds: J.R. Blake s.a., *Kluwer Academic Publishers*, 1994, 365 - 371.
184. **A. Vogel, W. Lauterborn**, Acoustic transient generation by laser-produced cavitation bubbles near solid boundaries. *J. Acoust. Soc. Am.*, **84** (1988), 719 - 731.
185. **K.J. Ebeling**, Hochfrequenzholografie lasererzeugter und akustisch erzeugter Kavitationsblasen. *Dissertation, Universität Göttingen*, 1976.
186. **I. Eick**, Experimentelle und numerische Untersuchungen zur Dynamik sphärischer und asphärischer Kavitationblasen. *Dissertation, TH Darmstadt*, 1992.
187. **T. Nishiyama, M. Akaizawa**, Pressure waves produced by the collapse of a spherical bubble. *Technol. Rep. Tohoku Univ.*, **44** (1979), 579 - 602.
188. **W. Lauterborn**, Comunicare personală.
189. **D. Hammer, R. Thomas, M. Frenz, E. Duco Jansen, G.D. Noojin, S.J. Diggs, J. Noack, A. Vogel, B.A. Rockwell**, Shock wave and cavitation bubble measurements of ultrashort pulse laser-induced breakdown in water. *Proc. SPIE*, **2681** (1996) (sub tipar)
190. **W. Lauterborn**, Kavitation durch Laserlicht. *Acustica*, **31** (1974), 51 - 78.
191. **W. Lauterborn, H. Bolle**, Experimental investigations of cavitation-bubble collapse in the neighbourhood of a solid boundary. *J. Fluid Mech.*, **72** (1975), 391 - 399.
192. **W. Lauterborn, R. Timm**, Bubble collapse studies at a million frames per second. In: Cavitation and inhomogeneities in underwater acoustics; Ed: W. Lauterborn, *Springer-Verlag*, Berlin, 1980, 42 - 46.
193. **P. Giovanneschi, D. Dufresne**, Experimental study of laser-induced cavitation bubbles. *J. Appl. Phys.*, **58** (1985), 651 - 652.

194. **Y. Tomita, A. Shima, H. Takahashi**, The behaviour of a laser-produced bubble near a rigid wall with various configurations. *ASME Cavitation Forum*, **FED-116** (1991), 19 - 25.
195. **J.H.J. van der Meulen**, On laser-induced cavitation bubbles and the impact on nearby solid boundaries. In: Proc. Second International Symposium on Cavitation; Ed: K. Sato, 1994, 12 - 23.
196. **W. Lauterborn, I. Eick, A. Philipp**, Approaching bubble dynamics with lasers, holography and computers. In: Bubble dynamics and interface phenomena; Eds: J.R. Blake s.a., *Kluwer Academic Publishers*. 1994, 229 - 310.
197. **S. Zhang, J.H. Duncan, G.L. Chahine**, The final stage of the collapse of a cavitation bubble near a rigid wall. *J. Fluid Mech.*, **257** (1993), 147 - 181.
198. **M.S. Plesset, R.B. Chapman**, Collapse of an initially spherical vapour cavity in the neighbourhood of a solid boundary. *J. Fluid Mech.*, **47** (1971), 283 - 290.
199. **B.B. Taib, G. Doherty, J.R. Blake**, Boundary integral methods applied to cavitation bubble dynamics. In: Mathematical Programming and Numerical Analysis Workshop; Eds.: S.A. Gustafson, R.S. Womersley, *A.U.U.* 1984, 166 - 186.
200. **J.R. Blake, B.B. Taib, G. Doherty**, Transient cavities near boundaries. Part 1. Rigid boundary. *J. Fluid Mech.*, **170** (1986), 479 - 497.
201. **Y. Tomita**, Non-spherical motion of laser-produced cavitation bubbles near boundaries. *Proc. Intern. Congr. Acoustics, Beijing*, **C2-2**, 1992.
202. **K. Takahashi, A. Shima, Y. Tomita**, Investigation on the behaviour of laser produced bubbles in water-glycerol solutions. *Trans. J. Soc. Mech. Engrs.*, **56** (1990), 1 - 5.
203. **W. Lauterborn**, Cavitation bubble dynamics - new tools for an intricate problem. *Appl. Sci. Res.*, **38** (1982), 165 - 178.
204. **K. Nakajima, A. Shima**, Analysis of the behaviour of a bubble in a viscous incompressible liquid by finite element method. *Ing -Arch.*, **46** (1977), 21 - 34.
205. **A. Shima, K. Nakajima**, The collapse of a non-hemispherical bubble attached to a solid wall. *J. Fluid Mech.*, **80** (1977), 369 - 391.
206. **A. Shima, Y. Tomita, T. Ohno**, Temperature effects on single bubble collapse and induced impulsive pressure. *Trans. ASME: J. Fluids Engng.*, **110** (1988), 194 - 199.
207. **G.L. Chahine, A.G. Bovis**, Pressure field generated by nonspherical bubble collapse. *Trans. ASME: J. Fluids Engng.*, **105** (1983), 356 - 363.
208. **J.H. Duncan, S. Zhang**, On the interaction of a collapsing cavity and a compliant wall. *J. Fluid Mech.*, **226** (1991), 401 - 433.
209. **G.L. Chahine**, Dynamics of the interaction of non-spherical cavities. In: Mathematical approaches in hydrodynamics; Ed: T. Miloh, *SIAM*, 1991.
210. **J.P. Best, A. Kucera**, A numerical investigation of non-spherical rebounding bubbles. *J. Fluid Mech.*, **245** (1992), 137 - 154.
211. **R.E. Tipton, D.J. Steinberg, Y. Tomita**, Bubble expansion and collapse near a rigid wall. *JSMF Intern. J.*, **35** (1992), 67 - 75.
212. **J.P. Best**, The formation of toroidal bubbles upon the collapse of transient cavities. *J. Fluid Mech.*, **251** (1993), 79 - 107.
213. **N. Pelekasis, J.A. Tsamopoulos**, Bjerknes forces between two bubbles. Part 1. Response to a step change in pressure. *J. Fluid Mech.*, **254** (1993), 467 - 499.
214. **J.R. Blake, P.A. Robinson, A. Shima, Y. Tomita**, Interaction of two cavitation bubbles with a rigid boundary. *J. Fluid Mech.*, **255** (1993), 707 - 721.

215. **G.L. Chahine**, Strong bubble/bubble and bubble/flow interactions. In: Bubble dynamics and interface phenomena; Eds: J.R. Blake s.a., *Kluwer Academic Publishers*, 1994, 195 - 206.
216. **S. Zhang, J.H. Duncan**, On the nonspherical collapse and rebound of a cavitation bubble. *Phys. Fluids*, **6** (1994), 2352 - 2362.
217. **Y. Tomita, A. Shima**, Interactive problems in bubble dynamics. In: Current Topics in Acoustical Research; Ed.: J. Menon, *Research Trends*, 1994, 231 - 246.
218. **K. Sato, Y. Tomita, A. Shima**, Numerical analysis of the behaviour of a cavitation bubble near a vibrating rigid wall by the boundary integral method. In: Boundary elements; Eds: M. Tanaka s.a., *Springer-Verlag*, Berlin, 1990, 73 - 83.
219. **Y. Tomita, K. Sato, A. Shima**, *Trans. J. Soc. Mech. Engrs*, **59** (1993), 1891 - 1901. (în japoneză).
220. **H.H. Shi, J.E. Field, N.K. Bourne**, Air entrapment during high-speed liquid jet entry in a deep water surface. *Fluid Dynamics Research*, **11** (1993), 79 - 83.
221. **E.A. Brujan, C.D. Ohl, W. Lauterborn, A. Philipp**, Dynamics of laser-induced cavitation bubbles in polymer solutions. *Acustica*, **82** (1996), 423 - 430.
222. **P. Cerone, J.R. Blake**, A note on the instantaneous streamlines, pathlines and pressure contours for a cavitation bubble near a boundary. *J. Austral. Math. Soc. Ser. B*, **26** (1984), 31 - 44.
223. **A. Shima, Y. Tomita, D.C. Gibson, J.R. Blake**, The growth and collapse of cavitation bubbles near composite surfaces. *J. Fluid Mech.*, **203** (1989), 199 - 214.
224. **T.B. Benjamin, A.T. Ellis**, The collapse of cavitation bubbles and the pressures thereby produced against solid boundaries. *Phil. Trans. R. Soc. Lond., A*, **260** (1966), 221 - 240.
225. **J.R. Blake**, The Kelvin impulse: application to cavitation bubble dynamics. *J. Austral. Math. Soc. Ser. B*, **30** (1988), 127 - 146.
226. **J.P. Best, J.R. Blake**, An estimate of the Kelvin impulse of a transient cavity. *J. Fluid Mech.*, **261** (1994), 75 - 93.
227. **A. Philipp, M. Delius, C. Scheffczyk, A. Vogel, W. Lauterborn**, Interaction of lithotripter-generated shock waves with air bubbles. *J. Acoust. Soc. Am.*, **93** (1993), 2496 - 2509.
228. **N.K. Bourne, J.E. Field**, Shock-induced collapse of single cavities in liquids. *J. Fluid Mech.*, **244** (1992), 225 - 240.
229. **H. Wellinger, R. Gimmel**, Werkstofftabelle der Metalle, *Alfred Kröner Verlag*, Stuttgart, 1963.
230. **M.O. Popoviciu**, Evolutia bulelor cavitationale produse prin scantei electrice. *Rezumatul tezei de doctorat*. I.P. Timisoara, 1971.
231. **S.J. Shaw, Y.H. Jin, W.P. Schiffrs, D.C. Emmony**, The interaction of a single laser-generated cavity in water with a solid surface. *J. Acoust. Soc. Am.*, **99** (1996), 2811 - 2824.
232. **C.F. Naudé, A.T. Ellis**, On the mechanism of cavitation damage by nonhemispherical cavities collapsing in contact with a solid boundary. *Trans. ASME D: J. Basic Engng*, **83** (1961), 648 - 656.
233. **P.A. Lush, R.J.K. Wood, L.J. Carpanini**, Pitting in soft aluminium produced by spark-induced cavitation bubbles. In: Proc. 6th Intl. Conf. on Erosion by Liquid and Solid Impact; Eds: J.E. Field, R. Corney, Cambridge, 1983, 5.

- 234. A. Philipp, W. Lauterborn**, Damage of solid surfaces by single-produced cavitation bubbles. *Acustica* (sub tipar).
- 235. N.K. Bourne, J.E. Field**, Cavitation damage by bubbles collapsed by shock-waves. Proc. Inst. Mech. Engrs Conf. on Cavitation, Cambridge, 1992, 49 - 54.
- 236. Y. Tomita, A. Shima, K. Takayama**, Formation and limitation of damage pits caused by bubble-shock wave interaction. *Proc. 1988 National Symp. on Shock Wave Phenomena*. Ed.: K. Takayama, Tohoku Univ., 1989, 149 - 160.
- 237. M. Delius**, Effect of lithotripter shock waves on tissues and materials. In: Frontiers of nonlinear acoustics; Eds: M.F. Hamilton, D.T. Blackstock, *Elsevier Science Publishers*, London, 1990, 31 - 46.
- 238. M.J. Tidd, J. Webster, H.W. Cameron, I.R. Harrison**, Mode of action of a surgical electronic lithocast-high speed pressure, cinematography and Schlieren recordings following an ultrashort underwater electronic discharge. *Biomed. Eng.*, **12** (1976), 5 - 11.
- 239. F. Brümmer, J. Brenner, T. Bräuner, D. Hülser**, Effect of shock waves on suspended and immobilized L1210 cells. *Ultrasound Med. Biol.*, **15** (1989), 229 - 239.
- 240. D. Kessel, R. Jeffers, J.B. Fowlkes, C.A. Cain**, Porphyrin-induced enhancement of ultrasound cytotoxicity. *Int. J. Radiat. Biol.*, **66** (1994), 221 - 228.
- 241. R. Jeffers, R. Feng, J.B. Fowlkes, J.W. Hunt, D. Kessel, C.A. Cain**, Dimethylformamide as an enhancer of cavitation-induced cell lysis in vitro. *J. Acoust. Soc. Am.*, **97** (1995), 669 - 676.
- 242. G.A.M.S. van Dongen, B.J.M. Braakhuis, A. Leyva, H.R. Hendriks, B.B.A. Kipp, M. Bagnay, G.B. Snow**, Anti-tumor and differentiation-inducing activity of N,N-dimethylformamide (DMF) in head-and-neck cancer xenografts. *Int. J. Cancer*, **43** (1989), 285 - 292.
- 243. R. Birngruber, C.A. Puliafito, A. Gawande, W.Z. Lin, R.T. Schoelein, J.G. Fujimoto**, Femtosecond laser-tissue interactions: retinal injury studies. *IEEE J. Quant. Electr.*, **QE-23** (1987), 1836 - 1844.
- 244. S. Thomas, J. Pensel, R. Engelhardt, W. Meyer, A.G. Hofstetter**, The pulsed dye laser versus the Q-switched Nd:YAG laser in laser-induced shock wave lithotripsy. *Lasers Surg. Med.*, **8** (1988), 363 - 370.
- 245. W. Shi, T. Papaioannou, L. Daykhovsky, S. Vari, W. Grunfes**, Fragmentation of biliary stones. *Laser Surg. Med.*, **10** (1990), 284 - 290.
- 246. G. Fleming, R. Brinkman, C. Strunge, R. Engelhardt**, Fiber fragmentation during laser lithotripsy. *SPIE Proc.*, **1421** (1991), 146 - 152.
- 247. A. Vogel, M.R.C. Capon, M.B. Asiyo-Vogel, R. Birngruber**, Intraocular photodisruption with picosecond and nanosecond laser pulses: tissue effects in cornea, lens and retina. *Invest. Ophthalmol. Vis. Sci.*, **35** (1994), 3032 - 3044.
- 248. T.G. van Leeuwen, J.H. Meertens, E. Velema, M.J. Post, C. Borst**, Intraluminal vapor bubble induced by excimer laser pulse causes microsecond arterial dilatation and invagination leading to extensive wall damage in the rabbit. *Circulation*, **87** (1993), 1258 - 1263.
- 249. R. Engelhardt, W. Meyer, P. Hering**, Spectroscopy during laser induced shock wave lithotripsy. *SPIE Proc.*, **906** (1988), 200 - 204.
- 250. D. Rosen, C. Goldey, S. Dretler**, Real-time optical feedback control of laser lithotripsy. *SPIE Proc.*, **1879** (1993), 149 - 159.

- 251. C. Ell, J. Hochberger, A. May, W. Fleig, R. Bauer, L. Mendez, E. Hahn,** Laser lithotripsy of difficult bile duct stones by means of a rhodamine-6G laser an integrated automatic stone-tissue detection system. *Gastrointest. Endosc.*, **39** (1993), 755 - 762.
- 252. H. Neuhaus, W. Hoffmann, K. Gottlieb, M. Classen,** Endoscopic lithotripsy of bile duct stones using a new laser with automatic stone recognition. *Gastrointest. Endosc.*, **40** (1994), 708 - 715.
- 253. M. Delius,** Comunicare personală.
- 254. M. Niemz, T. Hoppeler, T. Juhasz, J. Bille,** Intrastromal ablations for refractive corneal surgery using picosecond infrared laser pulses. *Lasers Light Ophthalmol.*, **5** (1993), 149 - 155.

ANEXA 1. Programul de calcul pentru solutionarea modelului incompresibil

```
#include <graphics.h>
#include <stdio.h>
#include <conio.h>
#include <string.h>
#include <ctype.h>
#include <stdlib.h>
#include <math.h>
#include <alloc.h>
#include <fcntl.h>
#include <dos.h>
#include <time.h>

long double beta[3].betar.betar.betas[3].dbeta.beta02.dteta2.sval.m.a.pw_p.v.v0;
double p.s.sigma.ita0.ita.k.dens.n.m.n.m.n.m.pw_p1;
float q.r0.dteta.tau;
unsigned long int points_no.points_nr.point_lim.i;
int b.i_tra;
char *endptr;
char buffer[40].file_name[20].file_out[20].ch;
FILE *in_file.*out_file;
char *read_mode = "rt".*write_mode = "wt";
char string2[80].string3[20].string4[20];
int x_mesg1=100;
int y_mesg1=100;
char *t_1 = "( Numarul de valori calculate : %8ld )\n( Numarul de iteratii pentru S : %8d ) n";
char *t_3 = "( Indicele de start pt. distributia de presiuni : %8ld ) n";
char *t_4 = "( Q = %5.2f )\n( SIGMA = %7.4f )\n( R0 = %8.5f ) n";
char *t_7 = "( P = %10.0f )\n( ITA = %10.7f )\n( ITA0 = %10.7f ) n";
char *t_10 = "( K = %7.4f )\n( N = %7.4f )\n( DENS = %10.4f ) n";
char *f_1 = "Nume fisier iesire ? : ";
char *f_21 = "Fisierul de iesire pentru distr.de presiuni ? : ";
char *f_3 = "Calculul pentru BETA,viteze si distr. de presiuni (polimeri)";
char *f_6 = "Numarul de puncte ? : ";
char *f_7 = "Intervalul elementar ? : ";
char *f_8 = "Constanta Q ? : ";
char *f_9 = "Constanta r0 ? : ";
char *f_19 = "Fisier inexistent! ";
char *f_10 = "X%7.7f Y%12.10Lf V%12.10Lf P%12.10Lf I%1d\n";
char *f_22 = "X%7.5Lf P%12.10Lf I%1d\n";
char *f_11 = "Marimea intervalului de reprezentare ? : ";
char *f_12 = "Constanta SIGMA ? : ";
char *f_13 = "Constanta P ? : ";
char *f_14 = "Constanta ITA0 ? : ";
char *f_15 = "Constanta ITA ? : ";
char *f_16 = "Constanta K ? : ";
char *f_17 = "Constanta n ? : ";
char *f_18 = "Densitatea ? : ";
char *f_20 = "Limita de calcul a val. S : ";
char *f_23 = "Indicele valorii initiale in distr.de presiuni ? : ";

void graphics(void);
void write_dat(char *car_dest);
void write_rec1(char *car_dest);
void write_rec(char *car_dest);
```

```

void sfun(void);
void press(void);
int input_str(int x,int y,char *string,char *temp_str,int str_col,
              int in_col,int bk_col,int limit,int flag);

/*****/

void graphics(void)
/* initialize grafica */
{
/* request auto detection */
int gdriver = DETECT, gmode, errorcode;

/* initialize graphics mode */
initgraph(&gdriver, &gmode, "");

/* read result of initialization */
errorcode = graphresult();

if (errorcode != grOk) /* an error occurred */
{
printf("Graphics error: %s\n", grapherrormsg(errorcode));
printf("Press any key to halt:");
getch();
exit(1); /* return with error code */
}
}

/*****/

void write_dat(char *car_dest)
{
sprintf(car_dest.t_1.points_no.b);
fputs(car_dest.out_file);
sprintf(car_dest.t_3.point_lim);
fputs(car_dest.out_file);
sprintf(car_dest.t_4.q.sigma.r0);
fputs(car_dest.out_file);
sprintf(car_dest.t_7.p.ita.ita0);
fputs(car_dest.out_file);
sprintf(car_dest.t_10.k.n.dens);
fputs(car_dest.out_file);
}

/*****/

void write_rec1(char *car_dest)
{
sprintf(car_dest.f_10.tau.beta[2].v_v0.pw_p.i_tra);
fputs(car_dest.out_file);
}

/*****/

void write_rec(char *car_dest)

```

```

{
    sprintf(car_dest.f_22.betax.pw_p.i_tra);
    fputs(car_dest.out_file);
}

/*****/

int input_str(int x,int y,char *string,char *temp_str,int str_col,
              int in_col,int bk_col,int limit,int flag)
/* introducere sir de caractere cu afisare la terminal si posibilitate de
   corectare a sirului
   x,y - coord. pozitie sir de caract.:
   string - mesaj pe linia de afisare:
   str_col - culoare afisare mesaj:
   in_col - culoare afisare sir introdus:
   bk_col - culoare background:
   limit - limita sirului introdus:
   flag - 0 - afiseaza doar mesaj si iese la apasare tasta.
           1 - mesaj+introducere text
   t_str - sir introdus:
   temp_str - adresa la care se transfera sirul introdus
return
   ch - tasta apasata ultima data */
{
char *t_str.ch;
int chr;

t_str = buffer;
buffer[0] = 0;
setfillstyle(SOLID_FILL,bk_col);
if (string != "") {
    setcolor(str_col);
    outtextxy(x,y,string);
    x += strlen(string)*8; }
if (!flag) {
    chr = getch();
    if(!chr) chr = getch()+500;
    return(chr); }
bar(x,y,x+limit*8,y+8);
do {
    ch = getch();

    if(strlen(buffer) < limit)
        if(isalnum(ch) || ispunct(ch) || (ch==32)) {
            *t_str++ = ch;*t_str = 0;
            bar(x,y,x+strlen(buffer)*8,y+8);
            setcolor(in_col);
            outtextxy(x,y,buffer); }
        if (ch == 8) { /* backspace */
            if(strlen(buffer) > 0) {
                t_str--;*t_str = 0;
                bar(x+strlen(buffer)*8,y,x+strlen(buffer)*8+8,y+8); } }
    } while ((ch != 13) && (ch != 27));
strcpy(temp_str,buffer);
return(ch);
}

```

```

/*****/

void sfun(void)
{
int j;
double kj,hj,z[2],f[2],s[2];
s[0]=1;
f[0]=1;
z[0]=1;
for(j=1;j<=b;j++)
{
kj=(n*(j-1)+1)/(j*n+1);
hj=(1/n+j-1)/j;
f[1]=f[0]*hj/a;
z[1]=z[0]*kj;
s[1]=s[0]+f[1]*z[1];
f[0]=f[1];z[0]=z[1];s[0]=s[1];
}
sval=s[1];
}

/*****/

void press(void)
{
/* CALCULUL VALORILOR PENTRU BETA,VITEZE SI PRESIUNI (polimeri) */
double expo,expo2,expo3;
long double beta0,v2,exp5;
double m1,exp1,exp2,exp3,exp4;
bar(0,0,getmaxx(),getmaxy());
ch = input_str(x_msg1,y_msg1-20,f_21,file_out,LIGHTCYAN,YELLOW,BLUE,55,1);
/* fisicul de iesire pt. distr.presiunilor */
out_file = fopen(file_out,write_mode);
ch = input_str(x_msg1,y_msg1+20,f_6,buffer,LIGHTCYAN,YELLOW,BLUE,40,1);
points_nr=atoi(buffer); /* numarul de puncte */
ch = input_str(x_msg1,y_msg1+36,f_7,buffer,LIGHTCYAN,YELLOW,BLUE,40,1);
dteta=atof(buffer); /* intervalul elementar */
dteta2=dteta*dteta;
ch = input_str(x_msg1,y_msg1+52,f_11,buffer,LIGHTCYAN,YELLOW,BLUE,40,1);
num= strtod(buffer, &endptr); /* marimea intervalului de repr. */
numa=num-1;

i_tra=1;
expo=1-1/n;
expo3=3;
expo2=4;
v2=4*(ita0-ita)/r0/sqrt(p*dens);
m1=sqrt(12)/k*sqrt(p/dens)/r0;
m=pow(m1,n);
betar=betas[0];
beta02=betas[0]*betas[0];
beta04=beta02*beta02;
exp1=beta02*(betas[2]-2*betas[1]+betas[0])/dteta2;
exp2=(betas[1]*betas[1]-2*betas[0]*betas[1]+beta02)/dteta2;
exp3=beta02*(betas[1]-betas[0])/dteta2;

```

```

for(i=1;i<points_nr;i++)
{ if(i>1)i_tra=0;
  numa++;
  if( !fmod(numa,num) )
    { exp4=exp3/pow(betar,expo3);
      exp5=fabs(exp4);
      a=1+1/(m*pow(exp5,n));
      exp5=1+m*pow(exp5,n);
      sfun();
      pw_p=1+exp1/betar+exp2*(2*betas[0]/betar-
        0.5*beta04/pow(betar,expo2)) -
        v2*exp4/exp5*(1-pow(exp5,expo))*sval;
      pw_p=log10(pw_p);
      betax=log10(betar);
      betax=betar;
      write_rec(string?);
    }
  betar=betar+dteta;
}
fclose(out_file);
}

/*****

void main(void)
{
/*      CALCULUL VALORILOR PENTRU BETA.VITEZE SI PRESIUNI (polimeri) */
char str[25];
double expo=5.2,expo2,expo3=4.2;
long double c.c1,c2,v1,v2,exp5;
double m1,exp1,exp2,exp3,exp4;
graphics();
setcolor(LIGHTCYAN);
outtextxy(x_mesgl,y_mesgl-40,f_3);
ch = input_str(x_mesgl,y_mesgl-20,f_1,file_out,LIGHTCYAN,YELLOW,BLUE,40,1);
/* fisierul de iesire */
ch = input_str(x_mesgl,y_mesgl+20,f_6,buffer,LIGHTCYAN,YELLOW,BLUE,40,1);
points_no=atol(buffer); /* numarul de puncte */
ch = input_str(x_mesgl,y_mesgl+40,f_7,buffer,LIGHTCYAN,YELLOW,BLUE,40,1);
dteta=atof(buffer); /* intervalul elementar */
dteta2=dteta*dteta;
ch = input_str(x_mesgl,y_mesgl+60,f_11,buffer,LIGHTCYAN,YELLOW,BLUE,40,1);
num= strtod(buffer, &endptr); /* marimea intervalului de repr. */
numa=num-1;
input_str(x_mesgl,y_mesgl+80,f_8,buffer,LIGHTCYAN,YELLOW,BLUE,40,1);
q=atof(buffer);
input_str(x_mesgl,y_mesgl+100,f_9,buffer,LIGHTCYAN,YELLOW,BLUE,40,1);
r0=atof(buffer);
input_str(x_mesgl,y_mesgl+120,f_12,buffer,LIGHTCYAN,YELLOW,BLUE,40,1);
sigma=strtod(buffer, &endptr);
input_str(x_mesgl,y_mesgl+140,f_13,buffer,LIGHTCYAN,YELLOW,BLUE,40,1);
p= strtod(buffer, &endptr);
input_str(x_mesgl,y_mesgl+160,f_15,buffer,LIGHTCYAN,YELLOW,BLUE,40,1);
ita=strtod(buffer, &endptr);
input_str(x_mesgl,y_mesgl+180,f_14,buffer,LIGHTCYAN,YELLOW,BLUE,40,1);

```



```

ita0=strtod(buffer, &endptr);
input_str(x_msg1,y_msg1+200,f_16,buffer,LIGHTCYAN,YELLOW,BLUE,40,1);
k=strtod(buffer, &endptr);
input_str(x_msg1,y_msg1+220,f_17,buffer,LIGHTCYAN,YELLOW,BLUE,40,1);
n=strtod(buffer, &endptr);
input_str(x_msg1,y_msg1+240,f_18,buffer,LIGHTCYAN,YELLOW,BLUE,40,1);
dens=strtod(buffer, &endptr);

ch = input_str(x_msg1,y_msg1+260,f_23,buffer,LIGHTCYAN,YELLOW,BLUE,50,1);
point_lim=atol(buffer); /* pct. de start pt.calc.distr.de pres.*/
ch = input_str(x_msg1,y_msg1+280,f_20,buffer,LIGHTCYAN,YELLOW,BLUE,40,1);
b=atoi(buffer);

expo2=-1/n;
c=2*sigma/r0/p;
v1=4*ita/r0/sqrt(p*dens);
v2=4*(ita0-ita)/r0/sqrt(p*dens);

i_tra=1;
beta[0]=1;
beta[1]=1;
m1=sqrt(12)/k*sqrt(p/dens)/r0;
m=pow(m1,n);
out_file = fopen(file_out,write_mode);
write_dat(string2);
for(i=1;i<points_no;i++)
{ if(i>1)i_tra=0;
  dbeta=beta[1]-beta[0];
  beta02=beta[0]*beta[0];
  exp1=fabs(dbeta/beta[0]/dteta);
  if (exp1)
    a=1+1/m/pow(exp1,n);
  else
    a=1;
  sfun();

  exp2=1+m*pow(exp1,n);
  exp3=pow(exp2,expo2);
  exp4=beta[0];
  exp5=pow(exp4,expo);
  beta[2]=5*beta[1]-2.5*beta[0]-1.5*beta[1]*beta[1]/beta[0]-
    dteta2/beta[0] + q*dteta2/exp5-
    c*dteta2/beta02 -
    (v1+v2*exp3*sval)*dteta*dbeta/beta02;
  if(i==point_lim+2)
  {betas[0]=beta[0];
   betas[1]=beta[1];
   betas[2]=beta[2];}
tau=dteta*i;
numa++;
if( !fmod(numa,num) )
  { v_v0=dbeta/dteta;
    exp5=pow(exp4,expo3);
    pw_p1=q/exp5-c/beta[0]-
      (dbeta/beta[0]/dteta)*(v1+v2/exp2);
    if(pw_p1 > 0) pw_p=log10(pw_p1);
  }
}

```

```
        write_rec1(string2);
    }
    beta[0]=beta[1];
    beta[1]=beta[2];
}
fclose(out_file);
press();
closegraph();
}
```

ANEXA 2. Programul de calcul pentru solutionarea modelului compresibil

```
#include <graphics.h>
#include <stdio.h>
#include <conio.h>
#include <string.h>
#include <ctype.h>
#include <stdlib.h>
#include <math.h>
#include <alloc.h>
#include <fcntl.h>
#include <dos.h>
#include <time.h>

long double beta[4],betar,betax,betas[3],dbeta,beta02,dteta2,sval,m,a,pw_p,v_v0;
double p,sigma,ita0,es,ita,k,dens,n,nama,numa,pw_p1;
float q,r0,dteta,tau;
unsigned long int points_no,points_nr,point_lim,i;
int b,i_tra;
char *endptr;
char buffer[40],file_name[20],file_out[20],ch;
FILE *in_file,*out_file;
char *read_mode = "rt",*write_mode = "wt";
char string2[80],string3[20],string4[20];
int x_msgl=100;
int y_msgl=100;
char *t_1 = "( Numarul de valori calculate : %8ld )\n( Numarul de iteratii pentru S : %8d )\n";
char *t_3 = "( Indicele de start pt. distributia de presiuni : %8ld )\n";
char *t_4 = "( Q = %8.5f )\n( SIGMA = %7.4f )\n( R0 = %8.5f )\n";
char *t_7 = "( P = %10.0f )\n( ITA = %10.7f )\n( ITA0 = %10.7f )\n";
char *t_10 = "( K = %7.4f )\n( N = %7.4f )\n( DENS = %10.4f )\n";
char *f_1 = "Nume fisier iesire ? : ";
char *f_21 = "Fisierul de iesire pentru distr.de presiuni ? : ";
char *f_3 = "Calculul pentru BETA,viteze si distr. de presiuni (polimeri)";
char *f_6 = "Numarul de puncte ? : ";
char *f_7 = "Intervalul elementar ? : ";
char *f_8 = "Constanta Q ? : ";
char *f_9 = "Constanta r0 ? : ";
char *f_19 = "Fisier inexistent! ";
char *f_10 = "X%7.7f Y%12.10Lf V%12.10Lf P%12.10Lf I%1d\n";
char *f_22 = "X%7.5Lf P%12.10Lf I%1d\n";
char *f_11 = "Marimea intervalului de reprezentare ? : ";
char *f_12 = "Constanta SIGMA ? : ";
char *f_13 = "Constanta P ? : ";
char *f_14 = "Constanta ITA0 ? : ";
char *f_15 = "Constanta ITA ? : ";
char *f_16 = "Constanta K ? : ";
char *f_17 = "Constanta n ? : ";
char *f_18 = "Densitatea ? : ";
char *f_20 = "Limita de calcul a val. S : ";
char *f_23 = "Indicele valorii initiale in distr.de presiuni ? : ";
char *f_24 = "Constanta CS ? : ";

void graphics(void);
void write_dat(char *car_dest);
void write_recl(char *car_dest);
```

```

void write_rec(char *car_dest);
void sfun(void);
void press(void);
int input_str(int x,int y,char *string,char *temp_str,int str_col,
              int in_col,int bk_col,int limit,int flag);

```

```

/*****/

```

```

void graphics(void)
/* inizializare grafica */
{
/* request auto detection */
int gdriver = DETECT, gmode, errorcode;

/* initialize graphics mode */
initgraph(&gdriver, &gmode, "");

/* read result of initialization */
errorcode = graphresult();

if (errorcode != grOk) /* an error occurred */
{
printf("Graphics error: %s\n", grapherrormsg(errorcode));
printf("Press any key to halt:");
getch();
exit(1); /* return with error code */
}
}

```

```

/*****/

```

```

void write_dat(char *car_dest)
{
printf(car_dest.t_1.points_no.b);
fputs(car_dest.out_file);
printf(car_dest.t_3.point_lim);
fputs(car_dest.out_file);
printf(car_dest.t_4.q.sigma.r0);
fputs(car_dest.out_file);
printf(car_dest.t_7.p.ita.ita0);
fputs(car_dest.out_file);
printf(car_dest.t_10.k.n.dens);
fputs(car_dest.out_file);
}

```

```

/*****/

```

```

void write_rec1(char *car_dest)
{
printf(car_dest.f_10.tau.beta[3].v_v0.pw_p.i_tra);
fputs(car_dest.out_file);
}

```

```

/*****/

```

```

void write_rec(char *car_dest)
{
    sprintf(car_dest.f_22.betax.pw_p.i_tra);
    fputs(car_dest.out_file);
}

/*****/

int input_str(int x,int y,char *string,char *temp_str,int str_col,
             int in_col,int bk_col,int limit,int flag)
/*  introducere sir de caractere cu afisare la terminal si posibilitate de
    corectare a sirului
    x,y - coord. pozitie sir de caract.;
    string - mesaj pe linia de afisare;
    str_col - culoare afisare mesaj;
    in_col - culoare afisare sir introdus;
    bk_col - culoare background;
    limit - limita sirului introdus;
    flag - 0 - afiseaza doar mesaj si iese la apasare tasta.
           1 - mesaj+introducere text
    t_str - sir introdus;
    temp_str - adresa la care se transfera sirul introdus
return
    ch - tasta apasata ultima data */
{
char *t_str;
int chr;

    t_str = buffer;
    buffer[0] = 0;
    setfillstyle(SOLID_FILL,bk_col);
    if (string != "") {
        setcolor(str_col);
        outtextxy(x,y,string);
        x += strlen(string)*8; }
    if (!flag) {
        chr = getch();
        if(!chr) chr = getch()+500;
        return(chr); }
    bar(x,y,x+limit*8,y+8);
    do {
        ch = getch();

        if(strlen(buffer) < limit)
            if(isalnum(ch) || ispunct(ch) || (ch==32)) {
                *t_str++ = ch;*t_str = 0;
                bar(x,y,x+strlen(buffer)*8,y+8);
                setcolor(in_col);
                outtextxy(x,y,buffer); }
            if (ch == 8) { /* backspace */
                if(strlen(buffer) > 0) {
                    t_str--;*t_str = 0;
                    bar(x+strlen(buffer)*8,y,x+strlen(buffer)*8+8,y+8); } }
    } while ((ch != 13) && (ch != 27));
    strcpy(temp_str,buffer);
    return(ch);
}

```

```

}

/*****/

void sfun(void)
{
int j;
double kj,hj,z[2],f[2],s[2];
s[0]=1;
f[0]=1;
z[0]=1;
for(j=1;j<=b;j++)
{
kj=(n*(j-1)+1)/(j*n+1);
hj=(1/n+j-1)/j;
f[1]=f[0]*hj/a;
z[1]=z[0]*kj;
s[1]=s[0]+f[1]*z[1];
f[0]=f[1];z[0]=z[1];s[0]=s[1];
}
sval=s[1];
}

/*****/

void press(void)
{
/* CALCULUL VALORILOR PENTRU BETA,VITEZE SI PRESIUNI (polimeri) */
double expo,expo2,expo3;
long double beta04,v2,exp5;
double m1,exp1,exp2,exp3,exp4;
bar(0.0,getmaxx().getmaxy());
ch = input_str(x_mesg1,y_mesg1-20,f_21,file_out,LIGHTCYAN,YELLOW,BLUE,55,1);
/* fisierul de iesire pt distr.presiunilor */
out_file = fopen(file_out,write_mode);
ch = input_str(x_mesg1,y_mesg1+20,f_6,buffer,LIGHTCYAN,YELLOW,BLUE,40,1);
points_nr=atoi(buffer); /* numarul de puncte */
ch = input_str(x_mesg1,y_mesg1+36,f_7,buffer,LIGHTCYAN,YELLOW,BLUE,40,1);
dteta=atof(buffer); /* intervalul elementar */
dteta2=dteta*dteta;
ch = input_str(x_mesg1,y_mesg1+52,f_11,buffer,LIGHTCYAN,YELLOW,BLUE,40,1);
num= strtod(buffer, &endptr); /* marimea intervalului de repr. */
numa=num-1;

i_tra=1;
expo=1-1/n;
expo3=3;
expo2=4;
v2=4*(ita0-ita)/r0/sqrt(p*dens);
m1=sqrt(12)/k*sqrt(p/dens)/r0;
m=pow(m1,n);
betar=betas[0];
beta02=betas[0]*betas[0];
beta04=beta02*beta02;
exp1=beta02*(betas[2]-2*betas[1]+betas[0])/dteta2;
exp2=(betas[1]*betas[1]-2*betas[0]*betas[1]+beta02)/dteta2;

```

```

exp3=beta02*(betas[1]-betas[0])/dteta2;
for(i=1;i<points_nr;i++)
{ if(i>1)i_tra=0;
  numa++;
  if( !fmod(numa.num) )
    { exp4=exp3/pow(betar.expo3);
      exp5=fabs(exp4);
      a=1+1/(m*pow(exp5.n));
      exp5=1+m*pow(exp5.n);
      sfun();
      pw_p=1+exp1/betar+exp2*(2*betas[0]/betar-
        0.5*beta04/pow(betar.expo2)) -
        v2*exp4/exp5*(1-pow(exp5.expo))*sval;
      pw_p=log10(pw_p);
      betax=log10(betar);
      betax=betar;
      write_rec(string2);
    }
  betar=betar+dteta;
}
fclose(out_file);
}

/*****

void main(void)
{
/*      CALCULUL VALORILOR PENTRU BETA, VITEZE SI PRESIUNI (polimeri) */
char str[25];
double expo=-4.2,expo2,expo3=4.2,expo6=7.15,B1=304913000;
long double c,c1,c2,v1,v2,exp5,eps,c3,v3,c4;
long double m1,exp1,exp2,exp3,exp4,exp100,exp101,exp102,exp103,exp104,exp105,exp106;
graphics();
setcolor(LIGHTCYAN);
outtextxy(x_mesgl,y_mesgl-40,f_3);
ch = input_str(x_mesgl,y_mesgl-20,f_1,file_out,LIGHTCYAN,YELLOW,BLUE,40,1);
/* fisierul de iesire */
ch = input_str(x_mesgl,y_mesgl+20,f_6,buffer,LIGHTCYAN,YELLOW,BLUE,40,1);
points_no=atol(buffer); /* numarul de puncte */
ch = input_str(x_mesgl,y_mesgl+40,f_7,buffer,LIGHTCYAN,YELLOW,BLUE,40,1);
dteta=atof(buffer); /* intervalul elementar */
dteta2=dteta*dteta;
ch = input_str(x_mesgl,y_mesgl+60,f_11,buffer,LIGHTCYAN,YELLOW,BLUE,40,1);
num= strtod(buffer, &endptr); /* marimea intervalului de repr. */
numa=num-1;
input_str(x_mesgl,y_mesgl+80,f_8,buffer,LIGHTCYAN,YELLOW,BLUE,40,1);
q=atof(buffer);
input_str(x_mesgl,y_mesgl+100,f_9,buffer,LIGHTCYAN,YELLOW,BLUE,40,1);
r0=atof(buffer);
input_str(x_mesgl,y_mesgl+120,f_12,buffer,LIGHTCYAN,YELLOW,BLUE,40,1);
sigma=strtod(buffer, &endptr);
input_str(x_mesgl,y_mesgl+140,f_13,buffer,LIGHTCYAN,YELLOW,BLUE,40,1);
p=strtod(buffer, &endptr);
input_str(x_mesgl,y_mesgl+160,f_15,buffer,LIGHTCYAN,YELLOW,BLUE,40,1);
ita=strtod(buffer, &endptr);

```

```

input_str(x_mesg1,y_mesg1+180,f_14,buffer.LIGHTCYAN,YELLOW,BLUE,40,1);
ita0=strtod(buffer, &endptr);
input_str(x_mesg1,y_mesg1+200,f_16,buffer.LIGHTCYAN,YELLOW,BLUE,40,1);
k=strtod(buffer, &endptr);
input_str(x_mesg1,y_mesg1+220,f_17,buffer.LIGHTCYAN,YELLOW,BLUE,40,1);
n=strtod(buffer, &endptr);
input_str(x_mesg1,y_mesg1+240,f_18,buffer.LIGHTCYAN,YELLOW,BLUE,40,1);
dens=strtod(buffer, &endptr);
input_str(x_mesg1,y_mesg1+260,f_24,buffer.LIGHTCYAN,YELLOW,BLUE,40,1);
cs=strtod(buffer, &endptr);

ch = input_str(x_mesg1,y_mesg1+280,f_23,buffer.LIGHTCYAN,YELLOW,BLUE,50,1);
point_lim=atol(buffer); /* pct. de start pt.calc.distr.de pres.*/
ch = input_str(x_mesg1,y_mesg1+300,f_20,buffer.LIGHTCYAN,YELLOW,BLUE,40,1);
b=atoi(buffer);

expo2=-1/n;
c=2*sigma/r0/p;
v1=4*ita/r0/sqrt(p*dens);
v2=4*(ita0-ita)/r0/sqrt(p*dens);
v3=b1/p;
eps=sqrt(p/dens)/cs;
c3=(exp6-1)/exp6;
c4=1/(1+v3);

i_tra=1;
beta[0]=1;
beta[1]=1;
beta[2]=1+(q-c-1)*dteta2;
m1=sqrt(12)/k*sqrt(p/dens)/r0;
m=pow(m1,n);
out_file = fopen(file_out,write_mode);
write_dat(string2);
for(i=1;i<points_no;i++)
{ if(i>1)i_tra=0;
  dbeta=beta[1]-beta[0];
  beta02=beta[0]*beta[0];
  exp1=fabs(dbeta/beta[0]/dteta);
  if (exp1)
    a=1+1/m/pow(exp1,n);
  else
    a=1;
  sfun();

  exp2=1+m*pow(exp1,n);
  exp3=pow(exp2,expo2);
  exp4=beta[0];
  exp5=pow(exp4,expo);
  exp100=beta[1]/beta[0]-1;
  exp101=beta[2]-2*beta[1]+beta[0];
  exp102=c4*(q*exp5-c/beta[0]-v1*dbeta/beta[0]/dteta+v3);
  exp103=pow(exp102,c3);
  exp104=1.5*exp100*exp100+exp101/beta[0];
  exp105=dteta/eps;
  exp106=(exp103-1)/beta02/(exp6-1);

```



```

beta[3]=3*beta[2]-3*beta[1]+beta[0]-6*exp100*exp101-2*exp100*exp100*exp100*beta[0]+
exp105*exp104-exp105*exp105*exp105*exp106+v2*pow(exp3,-1)*dteta*dbeta/beta02-
v2*exp3*sval*dteta*dbeta/beta02;
if(i==point_lim+2)
{betas[0]=beta[0];
beta[1]=beta[1];
beta[2]=beta[2];}
tau=dteta*i;
numa++;
if( !fmod(numa.num) )
{ v_v0=dbeta/dteta;
exp5=pow(exp4,expo3);
pw_p1=q/exp5-c/beta[0]-
(dbeta/beta[0]/dteta)*(v1+v2/exp2);
if(pw_p1 > 0) pw_p=log10(pw_p1);
write_rec1(ctring?);
}
beta[0]=beta[1];
beta[1]=beta[2];
beta[2]=beta[1];
}
fclose(out_file);
press();
closegraph();
}

```

ANEXA 3. Grafică

```
program Cav;
uses Crt,Graph ;

const
  MaxPoint=400;
  XMinF=0.0;
  XMaxF=6.0;
  aYMinF=0.0;
  aYMaxF=1.0;
  bYMinF=-1.0;
  bYMaxF=4.0;
  MaxNrFun=4;
  ColFun=array[1..MaxNrFun] of integer = (Red,Green,Blue,Brown);
  rXVSMax=1.0;
  rYVSMax=1.0;

type
  PointT=record
    X:real;
    Y:real;
  end;
  FileNameT=string[8];

var
  {functii}
  NrFun:integer;
  Points:array[1..MaxPoint] of PointT;
  NrPoints:integer;
  YMinF,YMaxF:real;
  DimXF,DimYF:real;

  {grafica}
  XMinS,YMinS,XMaxS,YMaxS:integer;
  XMinV,YMinV,XMaxV,YMaxV:integer;
  DimXS,DimYS:integer;
  DimXV,DimYV:integer;
  rXVS,rYVS:real;
  XF,YF:real;
  Xi,Yi:integer;
  GMaxCol:integer;
  GResult:integer;
  GDriver:integer;
  GMode:integer;
  {fisiere}
  ValFile:text;
  InImgFile:file;
  OutImgFile:file;
  AnyFile:file;
  FileName:FileNameT;
  FileNames:array[1..MaxNrFun] of FileNameT;

  {imagini}
  ImgPointer:pointer;
```

```

    ImgSize:word;
    {diverse}
    Opt:char;
    TipFun:char;

function ReadString(c.I:integer;Prompt:string):string;
var
    Value:string;
begin
    GotoXY(c.I); Write(Prompt); ClrEol;
    ReadLn(Value);
    ReadString:=Value;
end;

function ReadInteger(c.I:integer;Prompt:string):integer;
var
    Value:integer;
begin
    GotoXY(c.I); Write(Prompt); ClrEol;
    ReadLn(Value);
    ReadInteger:=Value;
end;

function ReadChar(c.I:integer;Prompt:string):char;
var
    Value:char;
begin
    GotoXY(c.I); Write(Prompt); ClrEol;
    ReadLn(Value);
    ReadChar:=Value;
end;

procedure Init;
{initializari}
begin
    {sistem grafic}
    GDriver:=VGA;
    GMode:=VGAHi;
    InitGraph(GDriver,GMode,'C:\TP5');
    GResult:=GraphResult;
    RestoreCrtMode;
    if GResult <> GrOK
    then
        begin
            WriteLn('Eroare ',GResult,' la grafica');
            Halt;
        end;
    {limite ecran}
    XMinS:=0;
    YMinS:=0;
    XMaxS:=GetMaxX;
    YMaxS:=GetMaxY;
    {dreptunghi incadrare}
    DimXS:=XMaxS-XMinS+1;
    DimYS:=YMaxS-YMinS+1;
    rXVS:=1/2;

```

```
rYVS:=1/2;
```

```
end;
```

```
procedure DefineViewPort:
```

```
begin
```

```
DimXV:=Round(DimXS*rXVS);
```

```
DimYV:=Round(DimYS*rYVS);
```

```
XMinV:=Round(XMinS+(DimXS-DimXV)/2);
```

```
YMinV:=Round(YMinS+(DimYS-DimYV)/2);
```

```
XMaxV:=Round(XMaxS-(DimXS-DimXV)/2);
```

```
YMaxV:=Round(YMaxS-(DimYS-DimYV)/2);
```

```
end;
```

```
procedure DrawFrame:
```

```
begin
```

```
SetLineStyle(DottedLn,0, NormWidth);
```

```
SetColor(Magenta);
```

```
DefineViewPort;
```

```
Rectangle(XMinV,YMinV,XMaxV,YMaxV);
```

```
end;
```

```
procedure Convert:
```

```
begin
```

```
Xi:= Round((XF-XMinF)*DimXV/DimXF);
```

```
Yi:=DimYV-Round((YF-YMinF)*DimYV/DimYF);
```

```
end;
```

```
function FileOK(FileName:FileNameT):boolean.
```

```
begin
```

```
Assign(AnyFile.FileName);
```

```
{!-} Reset(AnyFile); {!+}
```

```
if IOResult=0
```

```
then
```

```
begin
```

```
FileOK:=True;
```

```
Close(AnyFile);
```

```
end
```

```
else FileOK:=False;
```

```
end;
```

```
procedure DrawGraph:
```

```
var
```

```
i:integer;
```

```
begin
```

```
{primul punct}
```

```
XF:=Points[1].X;
```

```
YF:=Points[1].Y;
```

```
Convert;
```

```
MoveTo(Xi,Yi);
```

```
for i:=1 to NrPoints do
```

```
begin
```

```
XF:=Points[i].X;
```

```
YF:=Points[i].Y;
```

```
Convert;
```

```
LineTo(Xi,Yi);
```

```
end;
```

end;

```
procedure ReadVal:
var
  v1,v2,v3,v4:real;
  v5:integer;
begin
  Assign(ValFile.FileName+'.VAL');
  Reset(ValFile);
  NrPoints:=0;
  while not Eof(ValFile) do
  begin
    ReadLn(ValFile,v1,v2,v3,v4,v5);
    NrPoints:=NrPoints+1;
    Points[NrPoints].X:=v1;
    case TipFun of
      'a':Points[NrPoints].Y:=v2;
      'b':Points[NrPoints].Y:=v4;
    end;
  end;
  Close(ValFile);
end;
```

```
procedure ErrMsg(Msg:string);
{ mesaj de eroare }
begin
  GotoXY(1,20); WriteLn(Msg);
  ReadLn;
  GotoXY(1,20); ClrEol;
end;
```

```
procedure SaveImg(SaveFileName:FileNameT);
begin
  SetViewPort(XMinS,YMinS,XMaxS,YMaxS,False);
  ImgSize:=ImageSize(XMinV,YMinV,XMaxV,YMaxV);
  if ImgSize=0
  then ErrMsg('Imagine prea mare')
  else
  begin
    Assign(OutImgFile.SaveFileName+'.IMG');
    Rewrite(OutImgFile,1);
    GetMem(ImgPointer,ImgSize);
    GetImage(XMinV,YMinV,XMaxV,YMaxV,ImgPointer^);
    BlockWrite(OutImgFile,ImgPointer^,ImgSize);
    FreeMem(ImgPointer,ImgSize);
    Close(OutImgFile);
  end;
end;
```

```
procedure LoadImg(LoadFileName:FileNameT);
var
  NrRead:word;
begin
  Assign(InImgFile.LoadFileName+'.IMG');
  Reset(InImgFile,1);
```

```

ImgSize:=FileSize(InImgFile);
GetMem(ImgPointer,ImgSize);
BlockRead(InImgFile,ImgPointer^,ImgSize,NrRead);

SetGraphMode(GMode);
SetViewPort(XMinS,YMinS,XMaxS,YMaxS,False);
SetLineStyle(SolidLn,0,NormWidth);
SetBkColor(Cyan);
DefineViewPort;

PutImage(XMinV,YMinV,ImgPointer^,0);
FreeMem(ImgPointer,ImgSize);
Close(InImgFile);
ReadLn;

RestoreCrtMode;
end;

procedure CopyFile(InFileName,OutFileName:string);
var
Buffer:array[1..512] of char;
NrRead,NrWritten:word;
begin
Assign(InImgFile,InFileName);
Reset(InImgFile,1);
Assign(OutImgFile,OutFileName);
Rewrite(OutImgFile,1);
repeat
BlockRead(InImgFile,Buffer,SizeOf(Buffer),NrRead);
BlockWrite(OutImgFile,Buffer,NrRead,NrWritten);
until (NrRead=0) or (NrRead <> NrWritten);
Close(InImgFile);
Close(OutImgFile);
end;

procedure Draw;
var
i:integer;
Gata:boolean;
StrNrFun:string[2];
begin
ClrScr;
repeat
TipFun:=ReadChar(20,10,'Tip functie : ');
until TipFun in ['a','b'];
Gata:=False;
NrFun:=0;
while (NrFun < MaxNrFun) and not (Gata) do
begin
Str(NrFun+1:2,StrNrFun);
FileName:=ReadString(20,13+NrFun,'Nume fisier '+StrNrFun+' : ');
if FileName <> "
then
begin
if FileOK(FileName+'.VAL')

```

```

    then
    begin
        NrFun:=NrFun+1;
        FileNames[NrFun]:=FileName;
    end
    else ErrMsg('Fisier '+FileName+'.VAL inexistent');
end
else Gata:=True;
end;
if NrFun <> 0
then
begin
    SetGraphMode(GMode);
    DrawFrame;
    DefineViewPort;
    SetViewPort(XMinV,YMinV,XMaxV,YMaxV,Trace);
    SetLineStyle(SolidLn,0,NormWidth);
    SetBkColor(Cyan);
    case TipFun of
    'a':begin
        YMinF:=aYMinF;
        YMaxF:=aYMaxF;
    end;
    'b':begin
        YMinF:=bYMinF;
        YMaxF:=bYMaxF;
    end;
    end;
    DimXF:=XMaxF-XMinF;
    DimYF:=YMaxF-YMinF;
    for i:=1 to NrFun do
    begin
        FileName:=FileNames[i];
        ReadVal;
        SetColor(ColFun[i]);
        DrawGraph;
    end;
    ReadLn;
    SaveImg('TMP');
    RestoreCrtMode;
end;
end;

procedure Load;
var
    Gata:boolean;
begin
    ClrScr;
    Gata:=False;
    repeat
        FileName:=ReadString(20,10,'Fisier imagine : ');
        if FileName <> ""
        then
            begin
                if not FileOK(FileName+'.IMG')
                then ErrMsg('Fisierul '+FileName+'.IMG inexistent')
            end;
        end;
    until Gata;
end;

```

```

else
begin
LoadImg(FileName);
Gata:=True;
end;
end
else Gata:=True;
until Gata;
end;

```

```

procedure Save;
begin
ClrScr;
if FileOK('TMP.IMG')
then
begin
FileName:=ReadString(20,10,'Fisier imagine : ');
CopyFile('TMP.IMG',FileName+'.IMG');
end
else ErrMsg('Lipsa fisier TMP.IMG');
end;

```

```

procedure Frame;
begin
SetGraphMode(GMode);
DefineViewPort;
DrawFrame;
ReadLn;
RestoreCrtMode;
end;

```

```

procedure ScaleP(c.l:integer;Coord:string;var Old,New:real);
var
Ans:Char;
begin
ClrScr;
repeat
Ans:=UpCase(ReadChar(c.l,'Modificare (d.n) '+Coord+'? '));
until Ans in ['D','N'];
if UpCase(Ans)='D'
then
begin
Old:=ReadInteger(c.l+1,Coord+'vechi =');
New:=ReadInteger(c.l+2,Coord+'nou =');
end;
end;
end;

```

```

procedure Units;
var
rx,ry:real;
Ok:boolean;
DimXPO,DimXPN:real;
DimYPO,DimYPN:real;
begin

```



```

ClrScr;
Ok:=False;
repeat
ScaleP(20,10,'X',DimXPO,DimXPN);
rx:=DimXV*DimXPN/(DimXS*DimXPO);
if rx <= rXVSMax
then
begin
rXVS:=rx;
OK:=True;
end
else ErrMsg('Raport prea mare');
until OK;
Ok:=False;
repeat
ScaleP(20,10,'Y',DimYPO,DimYPN);
ry:=DimYV*DimYPN/(DimYS*DimYPO);
if ry <= rYVSMax
then
begin
rYVS:=ry;
OK:=True;
end
else ErrMsg('Raport prea mare');
until OK;
end.

```

```

{program principal}
begin
Init;
repeat
ClrScr;
GotoXY(20,10); Write('X - eXit');
GotoXY(20,11); Write('D - Draw');
GotoXY(20,12); Write('S - Save');
GotoXY(20,13); Write('L - Load');
GotoXY(20,14); Write('F - Frame');
GotoXY(20,15); Write('U - Units');
repeat
Opt:=UpCase(ReadKey);
until Opt in['X','D','S','L','F','U'];
case Opt of
'X':Exit;
'D':Draw;
'S':Save;
'L':Load;
'F':Frame;
'U':Units;
end;
until Opt='X';
CloseGraph;
end.

```